### <銀河系研究会2006>

2006年2月20日~22日 国立天文台すばる解析棟大セミナー室

### 講演プログラム

===== 2月20日(月)======

<プロジェクト紹介> <u>13:30-14:30</u>

小林 秀行 (NAOJ) VERA プロジェクトの現状

郷田 直輝 (NAOJ) JASMINE (赤外線位置天文観測衛星)計画について

和田 桂一 (NAOJ) 天の川創成プロジェクトについて

<銀河系中心> <u>14:30-15:30</u>

牧野 淳一郎 (東大) 銀河中心の恒星系力学

小山 友明 (NAOJ) メーザーで探る銀河系中心

村井 優香 (京大) 近赤外サーベイ観測による銀河系中心領域での若い星の選出

~~~ コーヒーブレーク ~~~

<銀河系中心> <u>16:00-17:00</u>

坪井 昌人 (NAOJ) 銀河系中心超新星残骸 SgrAEast と 5 0 km/s 分子雲

との相互作用

羽部 朝男 (北大) 我々の銀河中心の巨大ブッラクホールへのガス供給

三好 真 (NAOJ) 銀河系中心ブラックホ - ル SgrA\*の降着円盤

<銀河円盤> 17:00-18:05

廣田 朋也 (NAOJ) 15 VERA による近傍大質量星形成領域 Orion KL の距離決定

本間 希樹 (NAOJ) 15 VERA を用いた銀河系位置天文計測

亀谷 收 (NAOJ) 15 パルサーによる銀河系研究

松元 亮治 (千葉大) 銀河ガス円盤の大局的3次元磁気流体数値実験

### ===== 2月21日(火)======

<銀河円盤、バルジ> <u>10:20 - 11:40</u>

浅田 秀樹 (弘前大) 2体の軌道・質量決定法の新展開

西山 正吾 (名大) 近赤外線サーベイで探るバルジの構造と金属量分布

大西 浩次 (長野高専) 銀河系によるマクロな重力レンズ効果

出口 修至 (NAOJ) 一酸化珪素メーザー観測から探る銀河バルジ内部棒状構造

### ~~~ 昼休み、ポスター ~~~

<銀河円盤> 13:00 - 15:20

大西 利和 (名大) New View of Molecular Gas Distribution of

the Southern Sky: CO survey with NANTEN

半田 利弘 (東大) 60cm 望遠鏡による CO(2-1),13CO(2-1)銀河面サーベイ

中西 裕之 (NAOJ) 銀河系の水素原子・分子ガス3次元分布

祖父江 義明 (東大) 銀河中心および反中心方向のアーム距離決定: dv/dl 法

和田 桂一 (NAOJ) 銀河円盤ガスの統計的構造

小林 尚人 (東大) 銀河系最外縁における星間物質と星生成 長谷川 隆 (ぐんま) 銀河系円盤外縁の降着起源の散開星団の探査

### ~~~ コーヒーブレーク、ポスター ~~~

<銀河円盤、ハロー> 16:00 - 18:15

小林 尚人 (東大) 近赤外高分散分光による銀河系構造 / 化学組成の

研究

近藤 荘平 (東大) 近赤外高分散分光による QSO/GRB 吸収線系の観測

西 亮一 (新潟大) 星に刻まれた化石情報から天の川銀河の歴史を探れるか

上田 晴彦 (秋田大)15 銀河系の力学構造とトーラス構築法

林 寛人 (東北大) 銀河系円盤と暗黒物質サブハローとの力学相互作用

中島 紀 (NAOJ) 密度カスプ構造の力学的不安定性

村木 綏 (名大) NZ MOA望遠鏡を使った観測の現状

### ===== 2月22日(水)======

< 八口一、銀河系進化 > 9:30 - 11:30

中田 好一 (東大) 銀河系構造プローブとしてのレッドクランプ

千葉 柾司 (東北大) 銀河系古成分の動力学構造

吉田 直紀 (名大) Structure of dark halos in a LCDM universe

長島 雅裕 (京大) CDM 構造形成と銀河系の化学組成進化

小宮 悠 (北大) 初期銀河ハロー質量関数と炭素過剰超金属欠乏星の進化

中里 直人 (理研) PROGRAPE による銀河シミュレーション

~~~ 昼休み、ポスター ~~~

< 八口一、銀河系進化 > 13:00 - 15:00

須佐 元 (立教大) 宇宙の再電離と小質量天体での星形成

加瀬 啓之 (NAOJ) 銀河団における矮小銀河問題

有本 信雄 (NAOJ) Origin of Two Distinct Populations in

**Dwarf Spheroidal Galaxies** 

沢 武文 (愛教大) The Origin and Dynamics of the Local Group of Galaxies

まとめ

### ###### ポスター ######

| P1  | 山田 良透 (京大)   | JASMINE シミュレータ                                 |
|-----|--------------|--|
| P2  | 辻本 拓司 (NAOJ) | JASMINE で期待される星の数と GAIA との比較                   |
| P3  | 矢野 太平 (NAOJ) | JASMINE-light(75cm 級)-小型化-のための観測手法             |
| P4  | 丹羽 佳人 (NAOJ) | JASMINE 計画のためのレーザー干渉計型角度変動                     |
|     |              | モニターの研究開発                                      |
| P5  | 小林 行泰 (NAOJ) | Nano-JASMINE プロジェクト                            |
| P6  | 菅沼 正洋 (NAOJ) | Nano-JASMINE 搭載超小型望遠鏡の開発                       |
| P7  | 山内 雅浩 (東大)   | 超小型衛星 Nano-JASMINE の TDI 制御とオンボード処理            |
| P8  | 高橋 労太 (東大)   | Radiatively Inefficient Accretion Flow around  |
|     |              | Kerr Black Hole                                |
| P9  | 徂徠 和夫 (北大)   | 北大苫小牧 11m 望遠鏡による NH3 探査観測                      |
| P10 | 澤田 剛士 (NAOJ) | Nobeyama/CSO/ASTE Galactic Plane CO Survey     |
| P11 | 長島 雅裕 (京大)   | 微小 HI 雲の進化から銀河ディスクガスを探る                        |
| P12 | 穂積 俊輔 (滋賀大)  | Dynamical Evolution of Galactic Disks Embedded |
|     |              | in Live Halos                                  |
| P13 | 馬場 淳一 (東北大)  | ダークハローを伴った球状星団系の力学進化モデルの構築                     |
| P14 | 井上 進 (NAOJ)  | 「すばる」による低金属ハロー星のリチウムー 6 同位                     |
|     |              | 体観測と銀河系形成史に対する示唆                               |
| P15 | 藤井 通子 (東大)   | 衛星銀河からできたハロー星の軌道の分布                            |
| P16 | 岡本 桜子 (東大)   | すばるによる新矮小銀河 Ursa Major の色ー等級図                  |
| P17 | 小山 博子 (早稲田)  | Tully-Fisher 関係における、超新星フィードバックに                |
|     |              | 伴う力学応答の重要性                                     |
| P18 | 松永 典之(東大)    | ミラ型変光星で探るバルジの構造                                |

# VERAの現状と今後

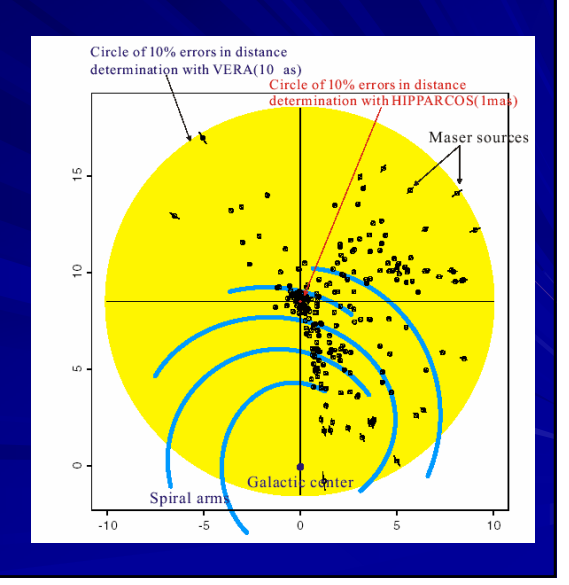
小林秀行(国立天文台) 2006/2/20 銀河系研究会@三鷹

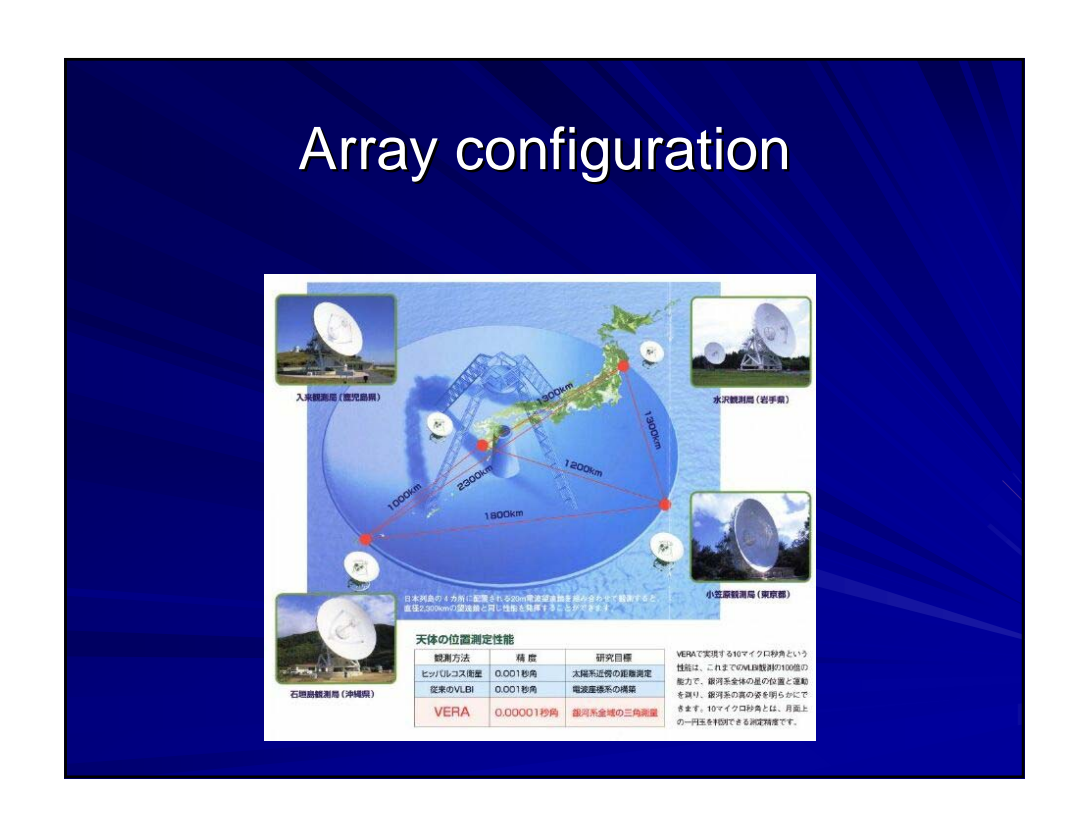
# Scientific goal

- Astrometry with 10 μ arcsec. accuracy between background object and galactic object within 2.2 degree separation
  - Proper motion and parallax measurements
    - 3D map and velocity field of the Galaxy
    - Detailed 3D velocity structure of molecular gas around evolved stars and star forming regions
- Phase referencing to improve sensitivity with long integration

# VERA scientific goal

- Measurements of distance and proper motions of galactic maser objects
- Dynamics of the Galaxy Maser object: luminous point-like objects
  - -> triangulation point of the Galaxy!





# **Specifications**

■ Antenna diameter ; 20m

– surface accuracy ; 250 μm

■ Observing bands ; 2GHz, 8GHz,

22GHz, 43GHz

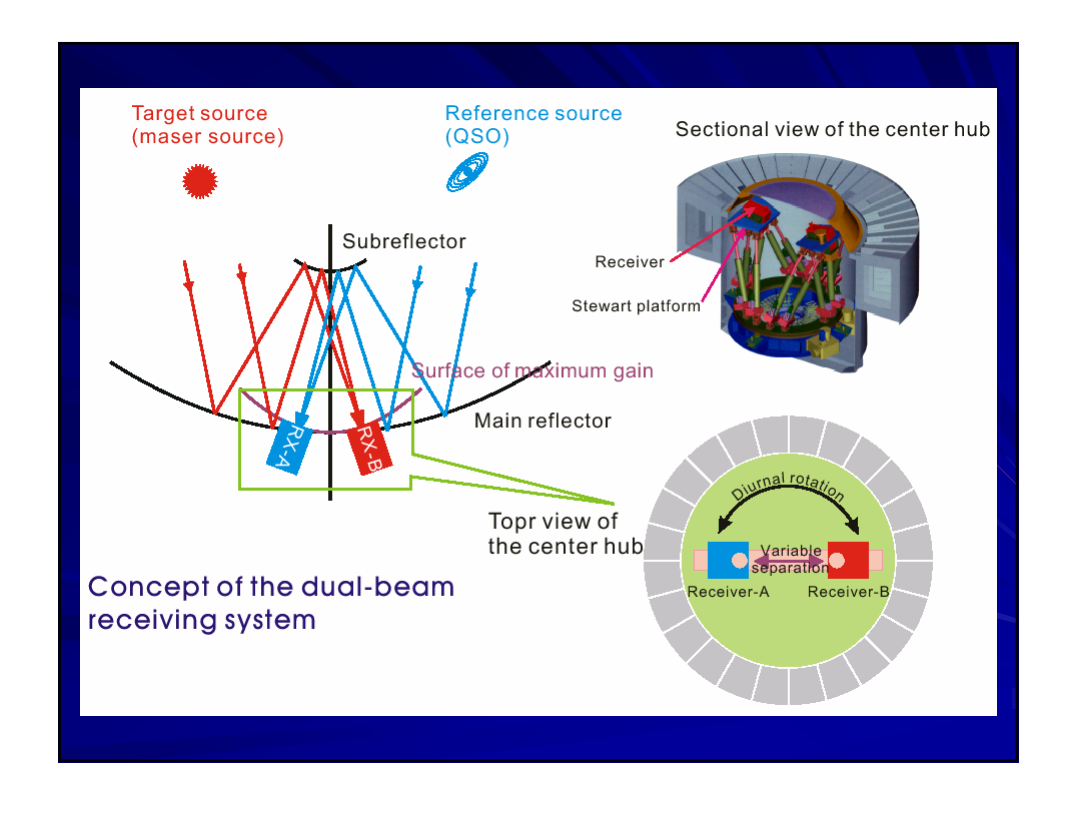
■ Tape recording rate ; 1Gbps

■ 2 beam system for phase referencing

■ Path error between 2 beam; 100 µ m



# 



# Radiator for 2 beam phase correction on the surface





# 現状の精度 (~50 µ 秒角)

■ = L/D L: 2B光路長誤差 D:ベースライン長 -> 0.1 mm => 10 μ 秒角

■ 短期変動要因 (ランダム誤差)

- 装置起因 : 0.1mm 以下 <10 μ 秒角</li>- 大気起因 : 0.1mm 以下 (2B光路長差換算) < 10 μ 秒角</li>

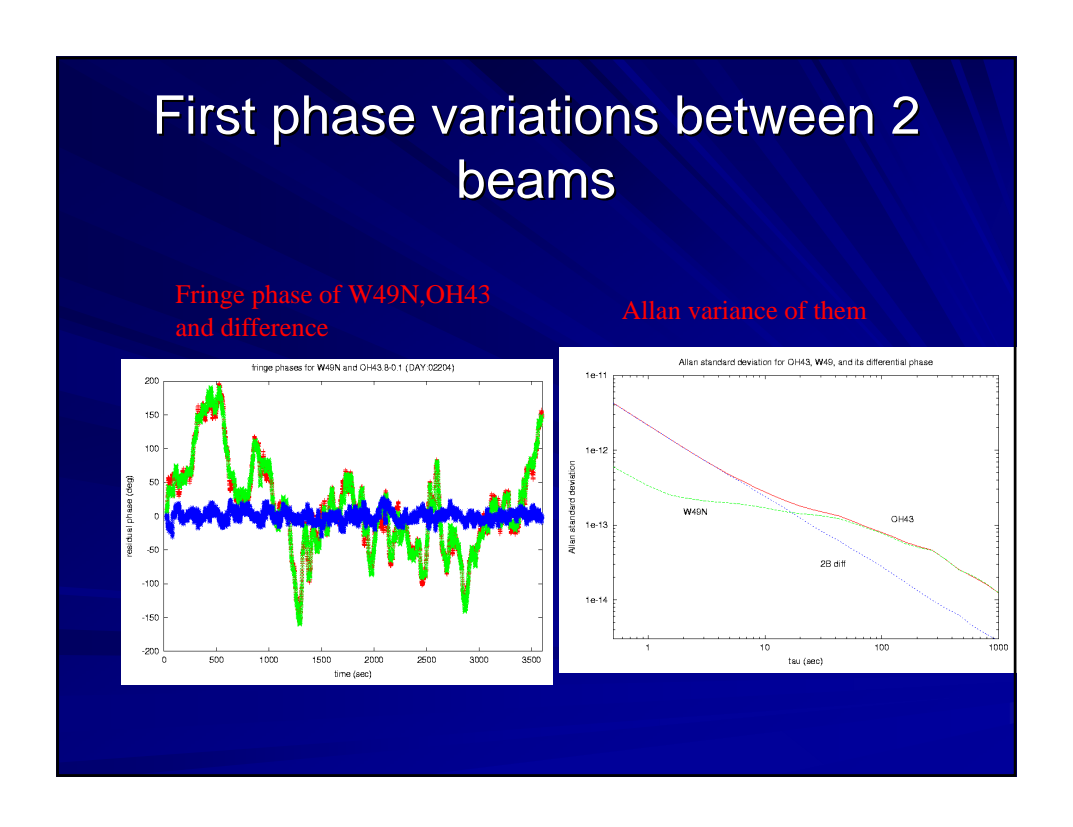
■ 長期変動要因 (システマテック誤差)

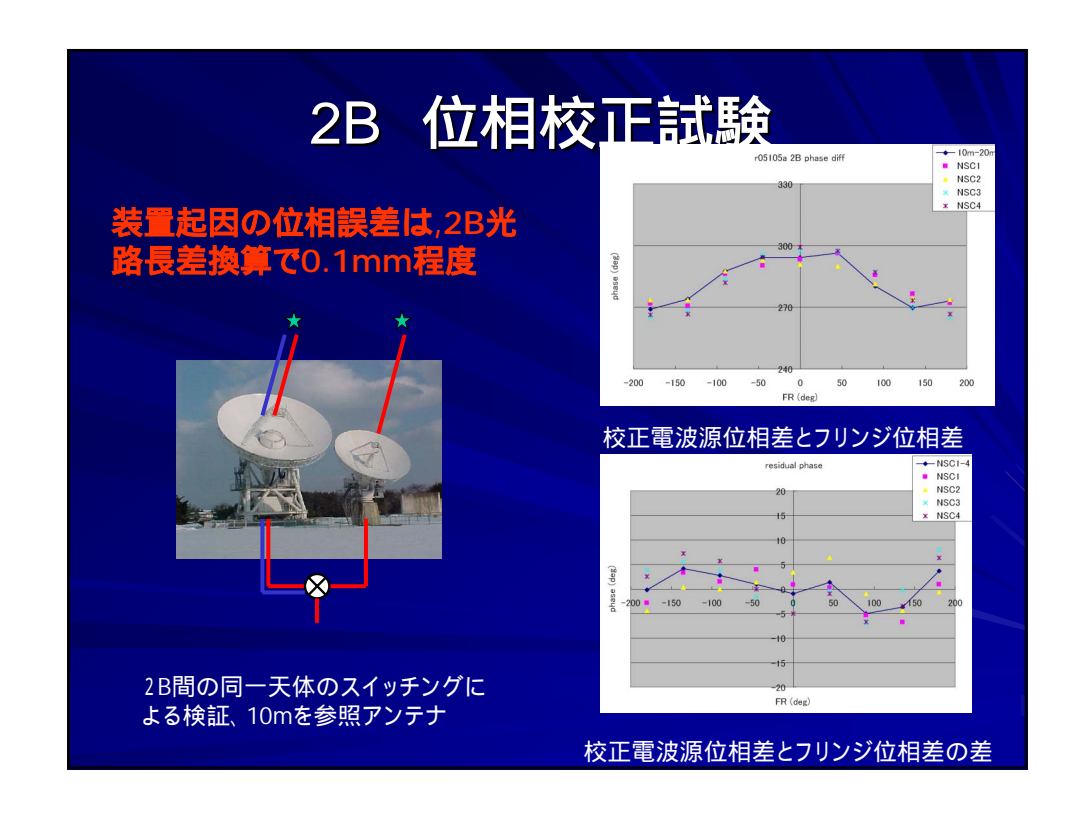
- 基線精度 : 10mm -> 0.3mm (2B光路長誤差@2度離角)

-> 30 µ 秒角

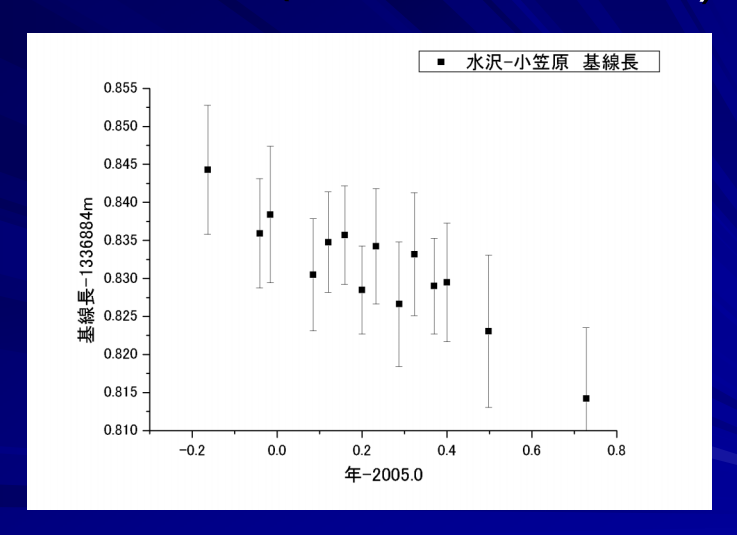
- 天頂大気遅延 : 50mm -> 0.5mm (2B光路長誤差@2度離角)

-> 50 µ秒角





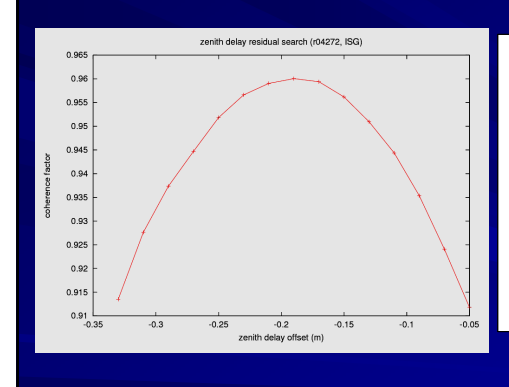
# 測地観測 (精度 5mm程度)

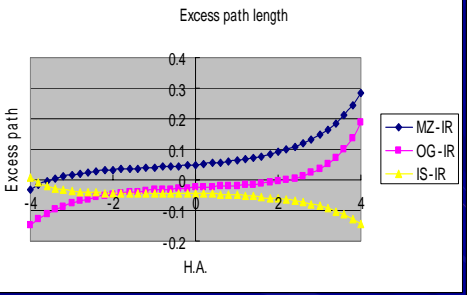


2004年10月より1Gbpsによる測地観測の定常化

# 天頂大気遅延の推定

天頂大気遅延の推定のための観測方法、解析ソフトの整備が必要

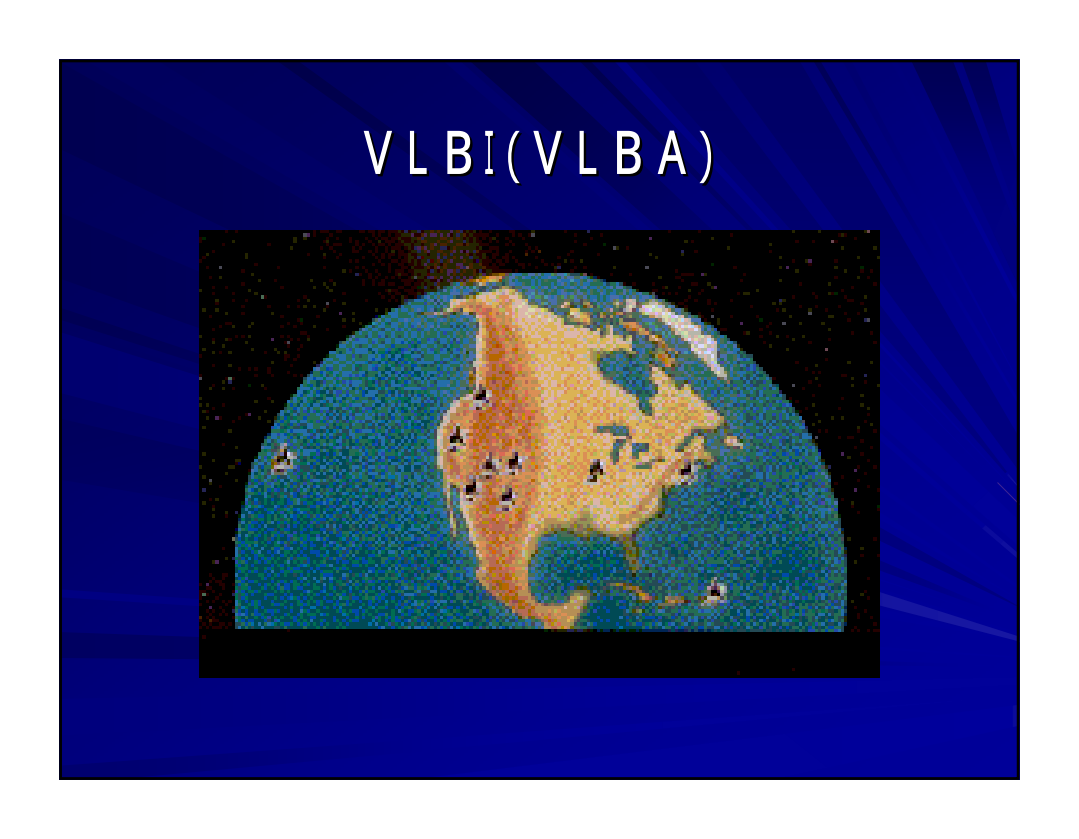


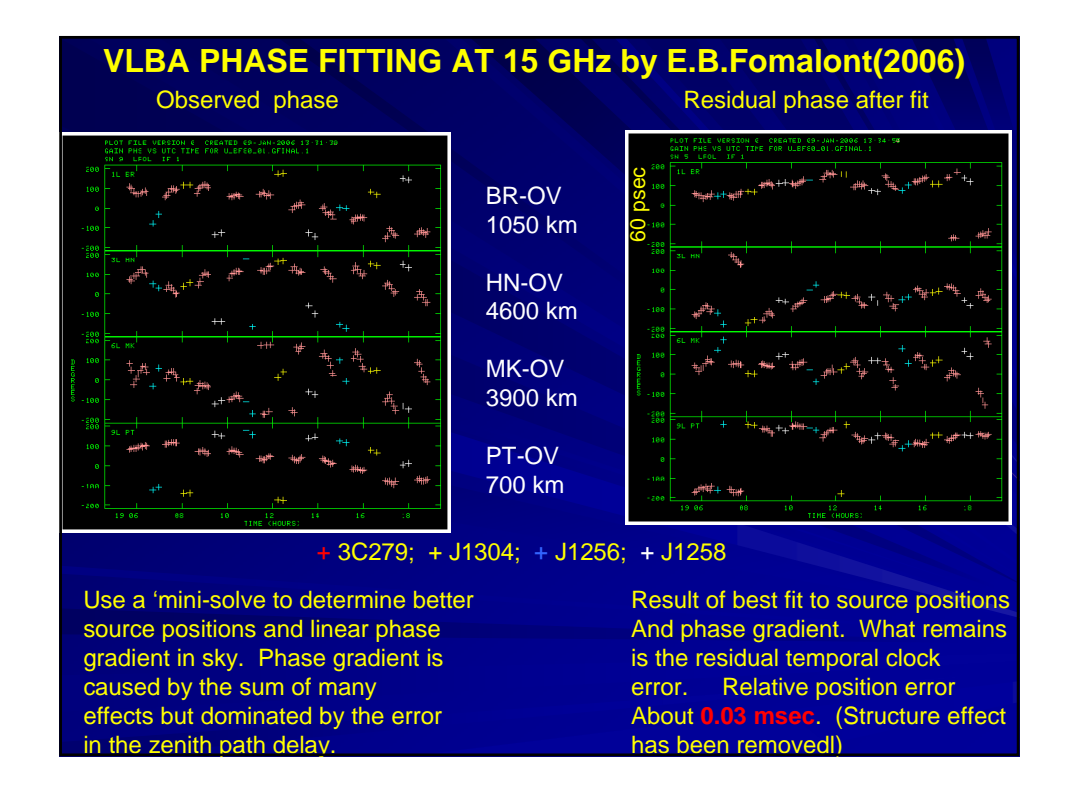


S269における天頂大気遅延の推定例

天頂大気遅延誤差10mmの時の2B光路 長差の誤差

-> 位置誤差換算で 0.1mm程度

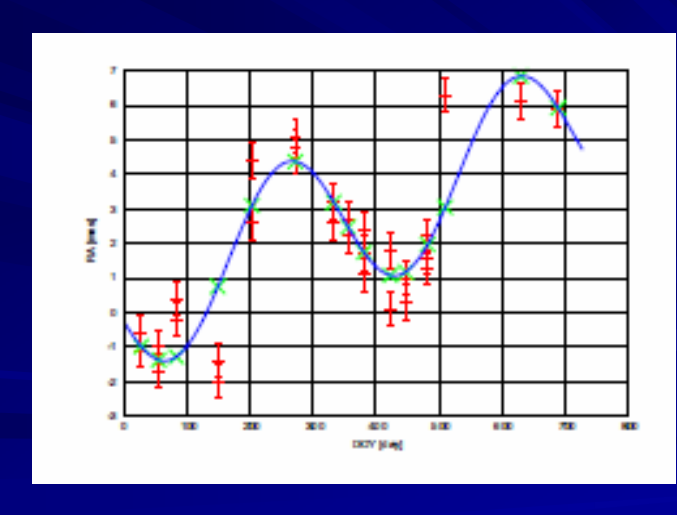




# VERAによる成果

- ■固有運動の検出
  - OH43.8, 須田、 など
- ■年周視差の検出
  - Orion KL, S269など
- 22GHz/43GHz マッピングの重ね合わせ
  - SiO(v=1,2)/H2O NML-Tauなど
- フリンジ検出サーベイ
  - 22 G H z H2O/Cont.
  - 43GHz SiO/Cont.
  - 22 GHz 銀河面Cont.

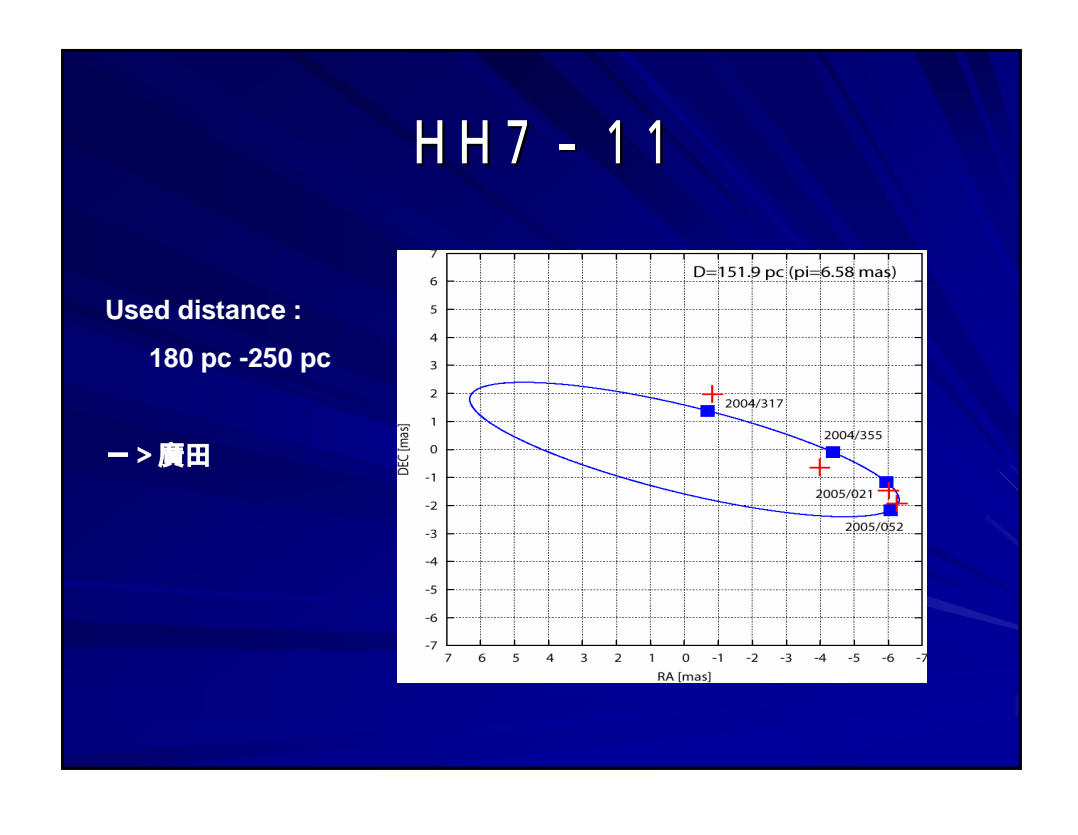
# 年周視差の検出(Orion-KL)



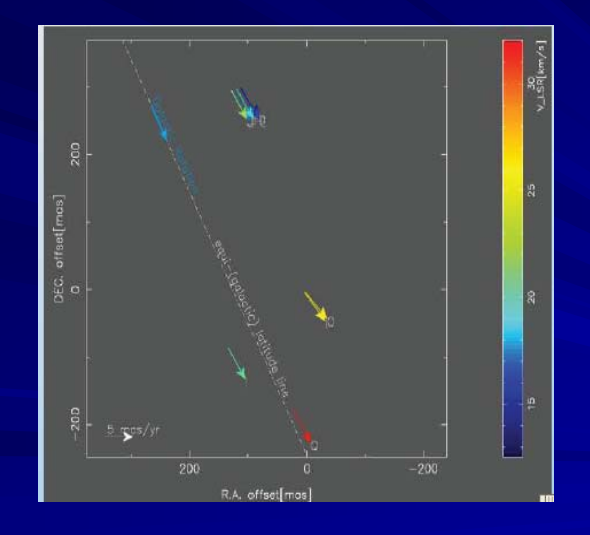
450pc ±40pc

-> 廣田発表

# 年周視差の検出(S269) \*\*spot motion for V\_LSR = 19.5 km/s\*\* -> 本間発表



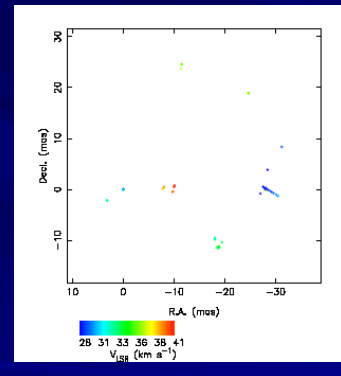
# 固有運動の検出(IRAS19181+1349)

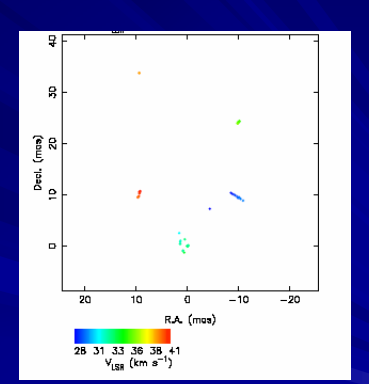


D = 9.4 kpc

-> 須田学位論文

# Comparison of SiO v = 1, 2

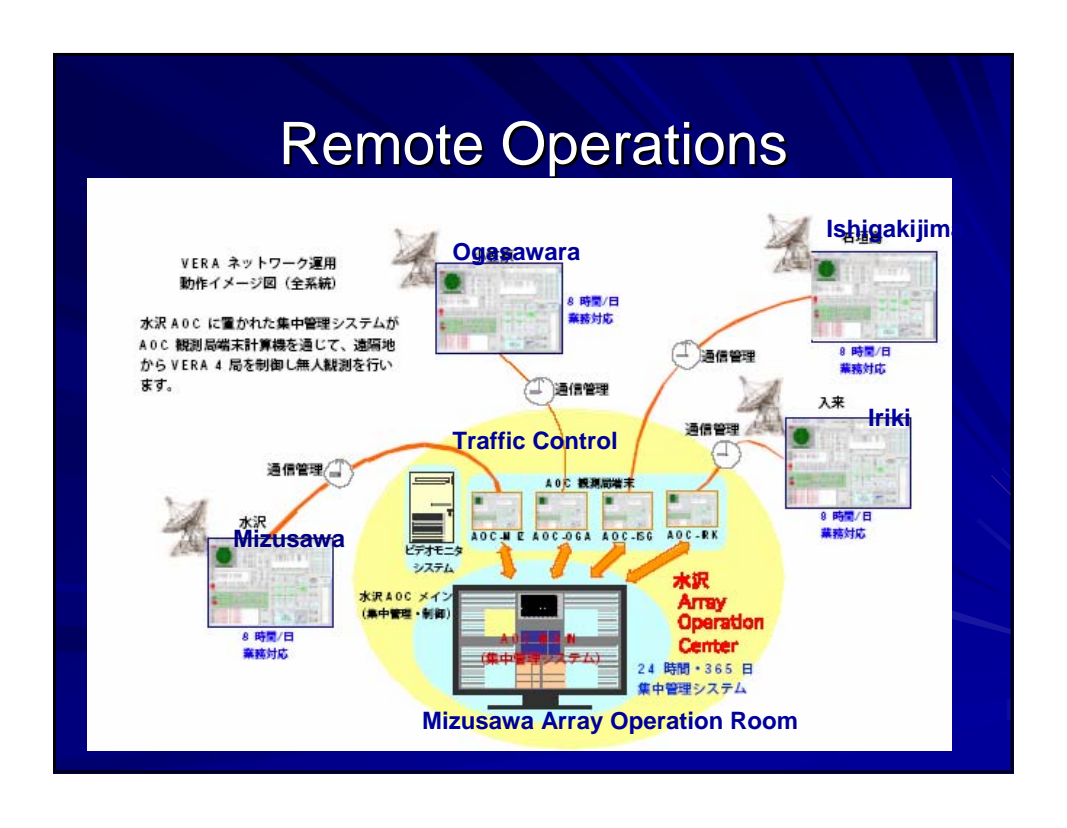


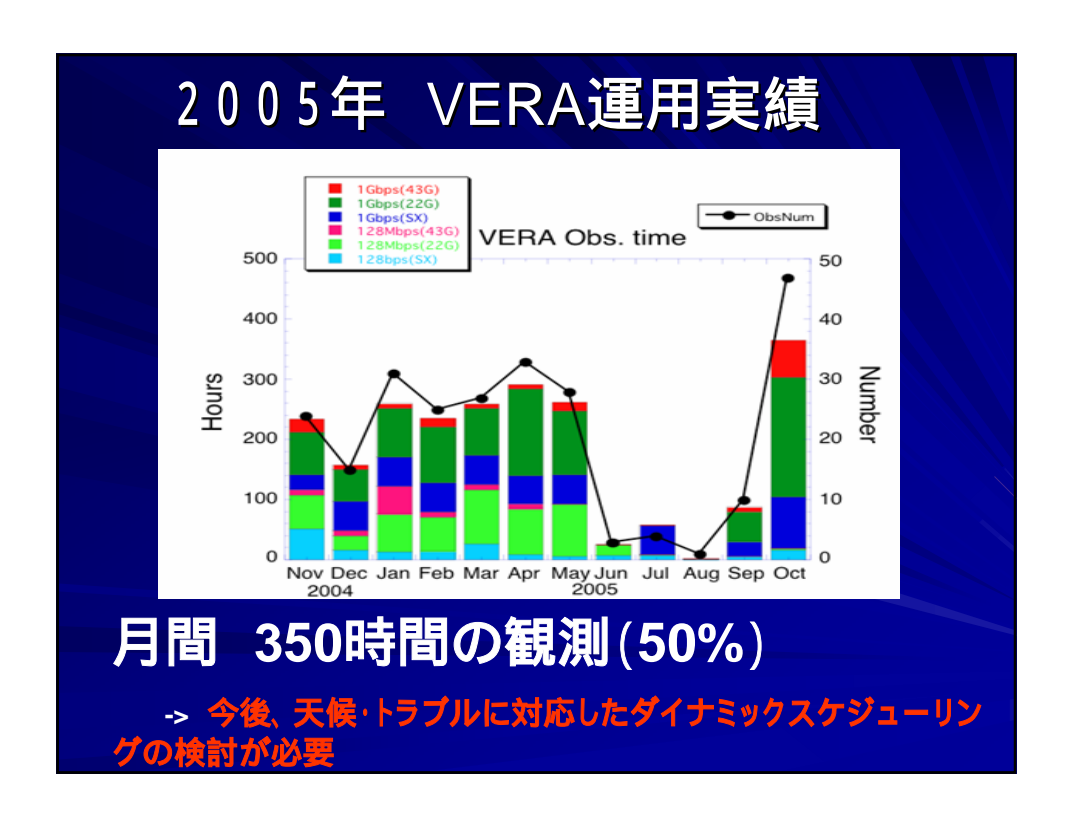


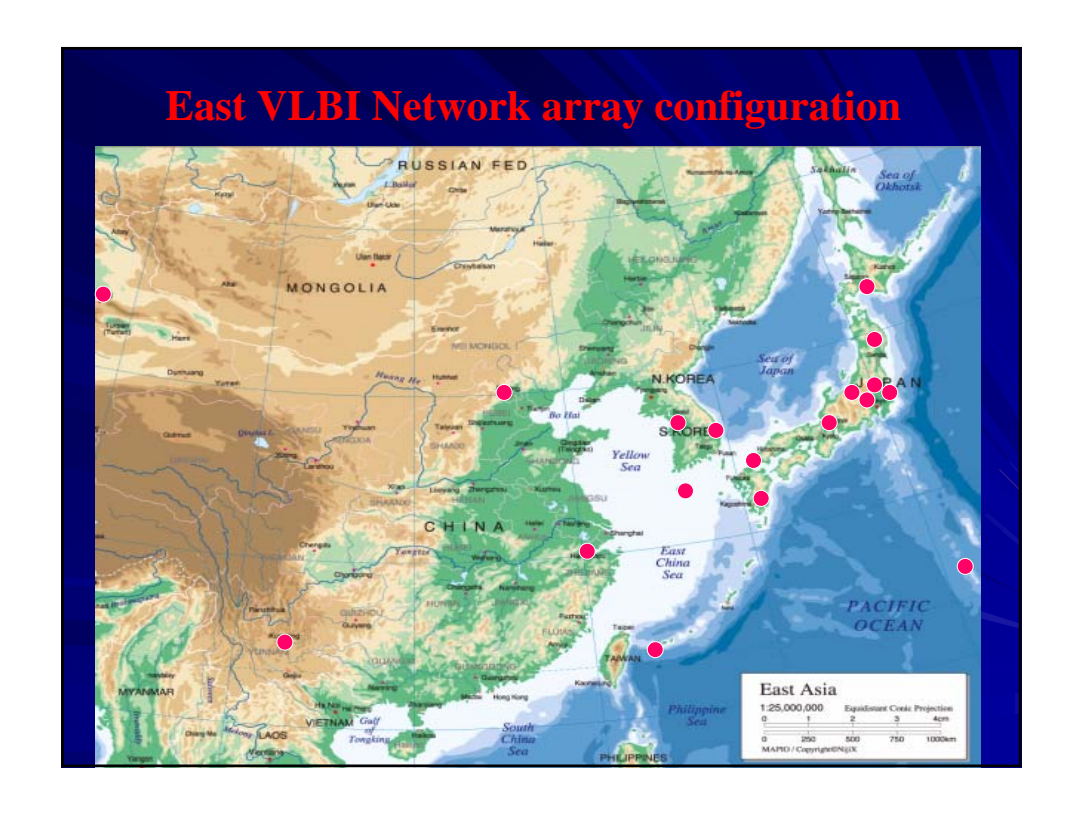
NML Tau SiO J=1->0 v=1 and v=2

D: 250 pc (鹿児島大、清水·松本)

| VERA 3                                       | プロジ    | ェク   | トの当               | <b>á初</b> 子                             | 定                                       |              |   |         |
|--|--------|------|-------------------|---|---|--------------|---|---------|
| VERA future timeline                         |        |      |                   |   |   |              |   |         |
|  | 2004   | 2005 | 2006              | 2007                                    | 2008                                    | 2009         | 2010                                    | 2011    |
| Oscientific Goal                             |        |      |                   |   |   |              |   |         |
| a. Annual parallax and proper motion         |        |      |                   |   |   |              |   |         |
| measurements (within 1kpc)                   |        | ı '  | ı !               | '                                       | '                                       | 1 '          |   | 1       |
| 3D structure of nearbt Giant Molecular       |        | =    | $\longrightarrow$ |   |   |              |   |         |
| Period-luminosity relation of Mira variables |        |      |                   | $\rightarrow$                           | • |              |   |         |
| b. Annual parallax and proper motion         |        | , !  | , !               | '                                       | '                                       | 1 '          |   | 1       |
| measurements (within 3kpc)                   |        |      |                   | '                                       | '                                       | 1 '          |   | 1       |
| Nearby galactic arm structure                |        |      |                   | →                                       | •••••                                   | ••••         |   |         |
| outer rotation curve measurements            | $\Box$ |      |                   | • | •••••                                   | ••••••       | • | • • • • |
| c. Annual parallax and proper motion         |        |      |                   | '                                       | '                                       | 1 '          |   | 1       |
| measurements (within 10kpc)                  |        | ı '  | i '               | '                                       | '                                       | 1 '          |   | 1       |
| distance and proper motion of SgrA*          | •••••  |      |                   |   | $\longrightarrow$                       |              |   | • • • • |
| Galactic arm structures                      |        |      |                   |   |   | ightharpoons | •••••                                   |         |
| OMeasurement accuracy                        |        |      | <u> </u>          | <u> </u>                                |   | '            |   |         |
| 100 µas                                      | Δ      |      |                   |   |   | [ '          |   |         |
| 30 µ as                                      |        |      | Δ                 |   |   |              |   |         |
| 10 µas                                       |        |      |                   | Δ                                       |   |              |   |         |
| OStation position accuracy                   |        |      |                   |   |   |              |   |         |
| 3mm  | Δ      |      |                   |   |   | <u> </u>     |   |         |
| 1mm  |        |      | Δ                 |   |   |              |   |         |







# Feature of East Asia VLBI array

Dense station distribution total effective aperture :

5,600 m<sup>2</sup> @ 8 GHz 4,400 m<sup>2</sup> @ 22GHz

- Wide band observation
  - Wide band recording
  - Optical fiber link
- Phase referencing
  - VERA: 2 beam
  - KVN: multi-frequency
- VERA reference 天体の構造効果の補正 (VLBAも)

# 日韓共同開発による大規模VLBI相関器 July 7<sup>th</sup> @NAOJ 2008年完成目標 Park(KASSI)、Kaifu(NAOJ)

# Summary

- VERA is a unique VLBI array with 2-beam system
- System implementation was finished
- Usual operation (250 days,4,200 hours per year) was started
- Annual parallax may be detected, but the accuracy still must be investigated more.
- East Asia VLBI network is organizing with Japanese, Korean and Chinese stations.

2006.2.20 銀河系研究会2006

### JASMINE (赤外線位置天文観測衛星)計画について

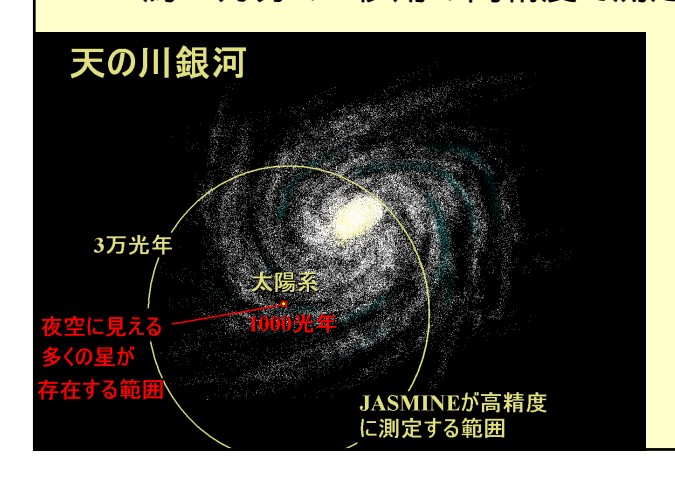
郷田直輝(国立天文台)



## § 1.JASMINEのミッション概要

観測:近赤外線(z-band:0.9 µ m付近)によるアストロメトリ(位置天文)観測を衛星を用いて行う。

精度:星の位置、年周視差、1年当たりの固有運動を 約10万分の1秒角の高精度で測定(z<14mag)

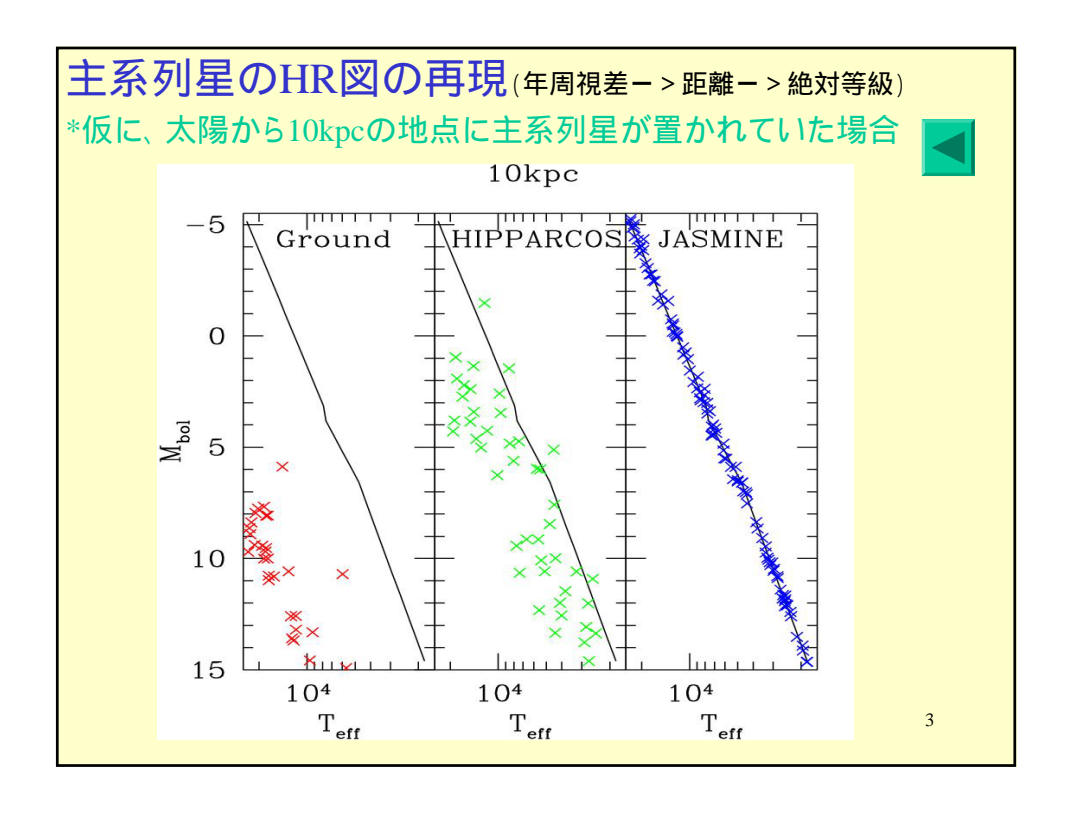


年周視差の誤差は 10%以内が必要! それ以上だとバイアス効果が入り距離評価が困難

バルジ(10kpc=> 100 µ 秒角) 誤差10 µ 秒角必要

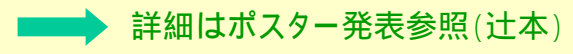


2



観測対象:銀河面、バルジなど天の川面上の天体を サーベイ

> 可視光観測(GAIA,SIM等)に比べて近赤 外線観測が有利!



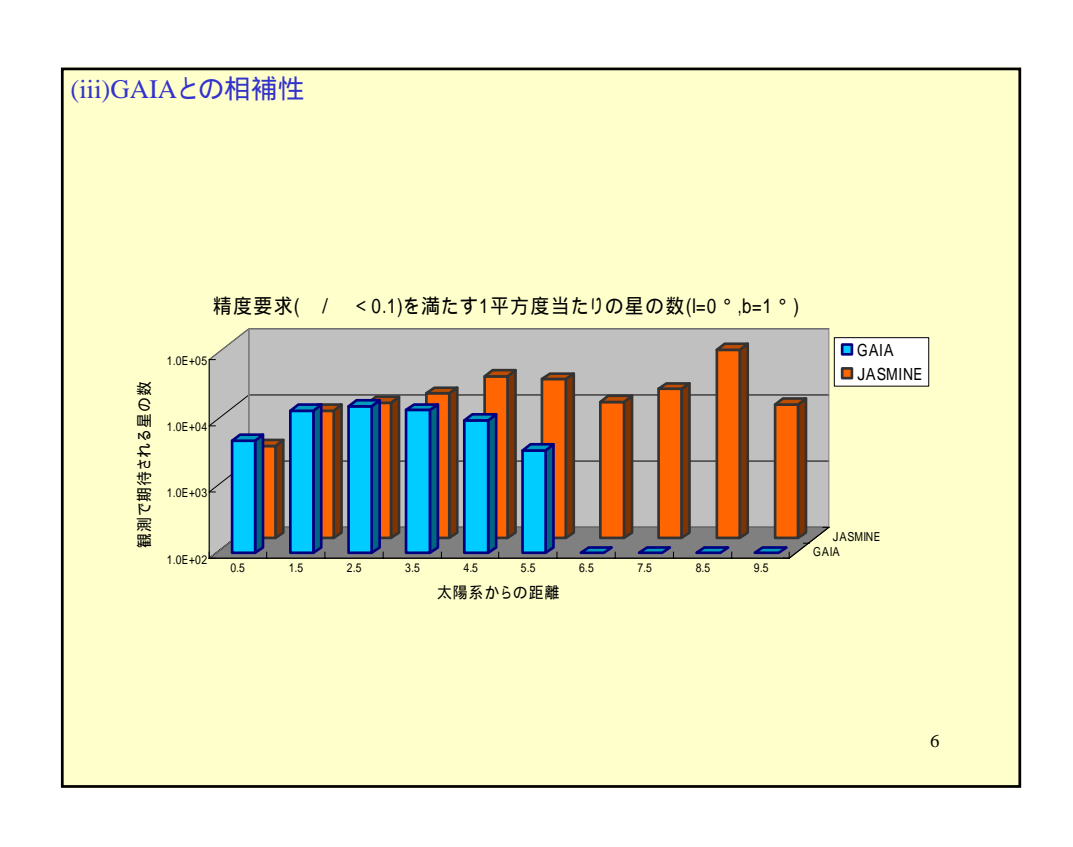
サイエンス: 天文学の基本情報をカタログとして 提供。様々な分野に関連。

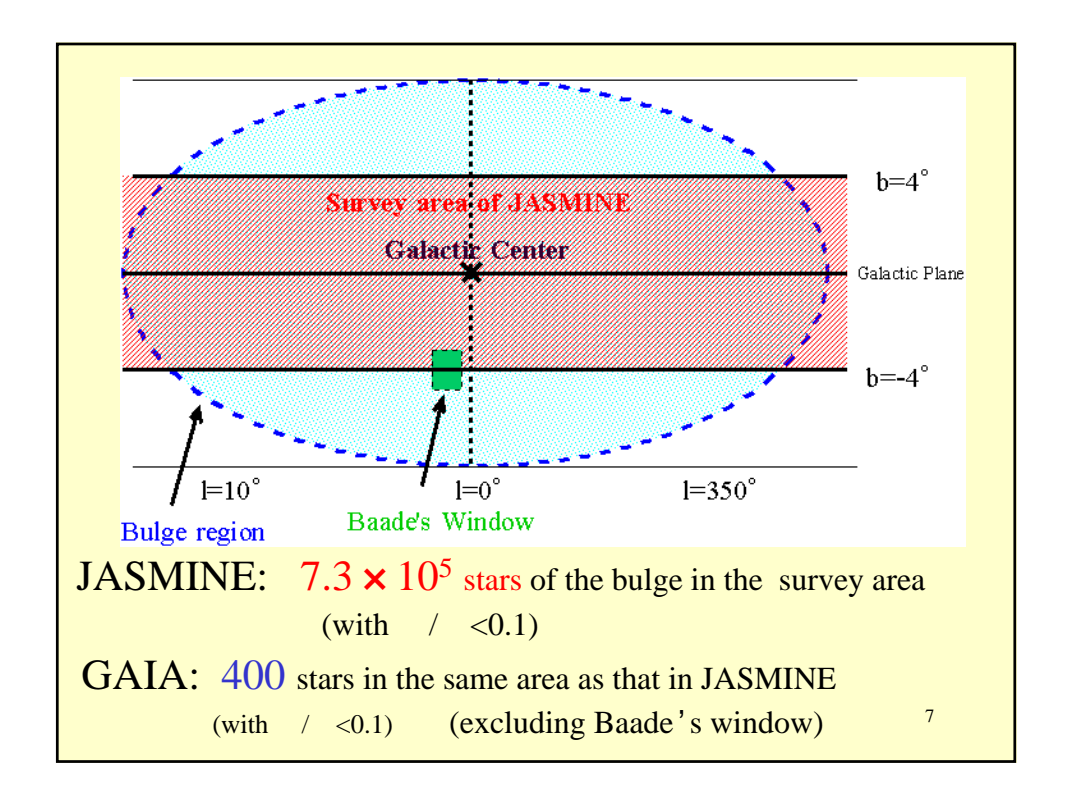
銀河系の構造と形成史、恒星進化論、 星形成、惑星系形成、距離指標、 重力レンズ、相対論の検証、等

| 計画            | 機関   | 装置    | 1      | 星の観測<br>数 (個)    | 限界等級 | 精度           |
|---------------|------|-------|--------|------------------|------|--------------|
| Hipparcos     | ESA  | 望遠鏡   | 1989   | 120000           | 12   | 1mas@V=10    |
| SIM           | NASA | 干渉計   | ~ 2009 | 1万               | 20   | 4 μ as@V=20  |
| GAIA          | ESA  | 望遠鏡   | ~ 2012 | 10億              | 20   | 10 µ as@V=15 |
| OBSS          | USNO | 望遠鏡   | ~ 2015 | (全天)<br>10億      | 20   | 10 µ as@V=14 |
| JASMINE       | 日本   | 望遠鏡   | ~ 2015 | 1億(銀河面)          | z=17 | 10 µ as@z=14 |
| cf.地上<br>VERA | 日本   | 電波干渉計 | 運用開始   | メーザー源<br>を 1000個 |      | 10 µ as      |

Remark:欧米の計画はすべて可視光

5





### VERAとの関係

VERAは世界で初の10 µ 秒角での 天体位置測定をまもな〈実現する予定。 銀河系中心までの距離や、太陽系での銀河回 転速度の測定など、銀河系の基本定数を高精 度で決定

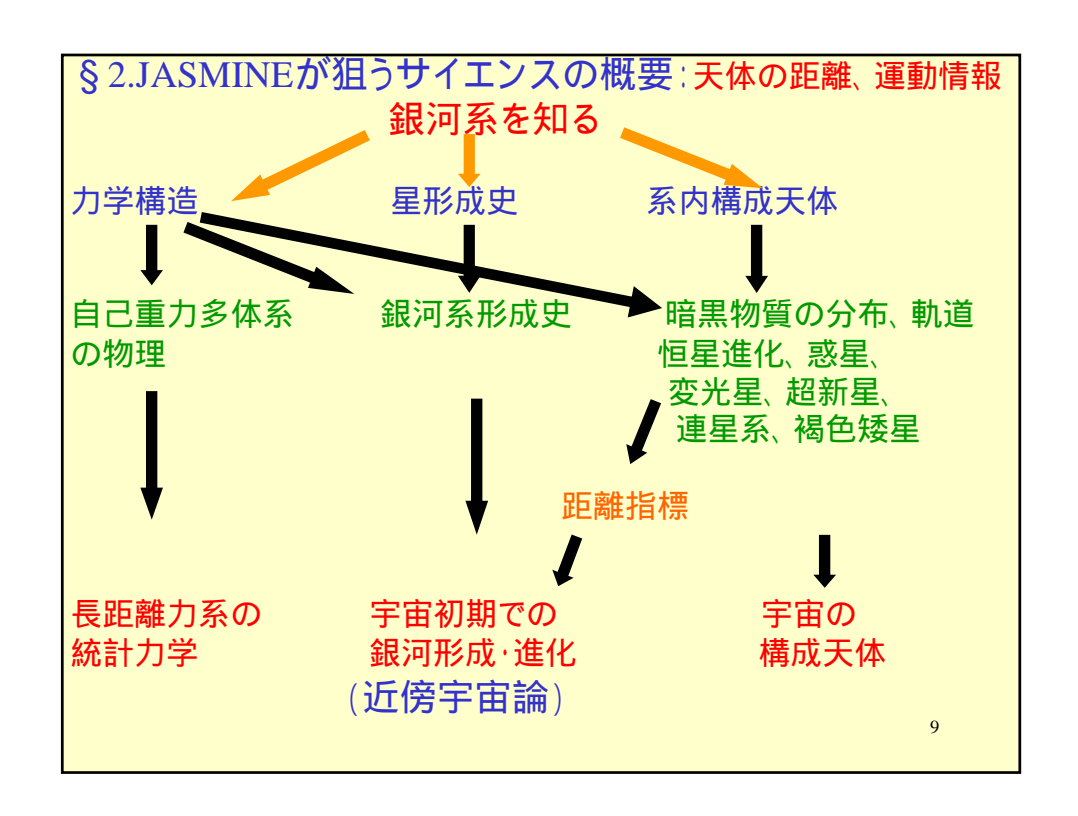
大いに期待される

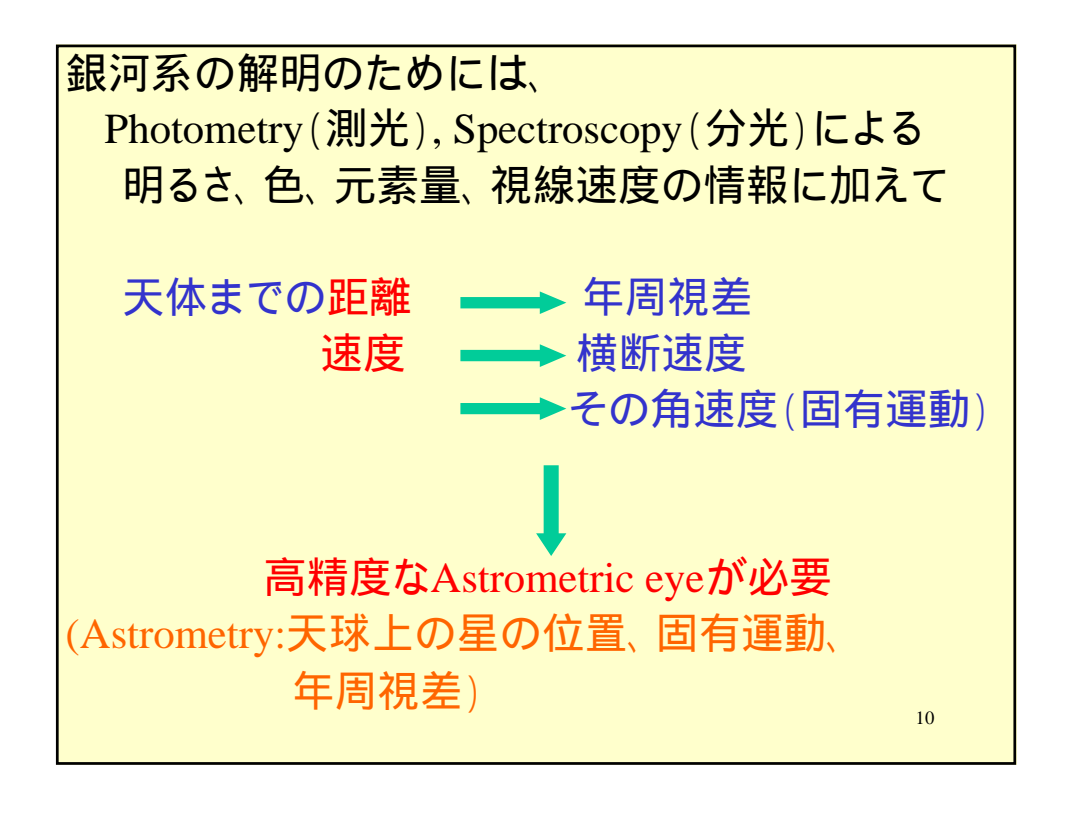
ただし、メーザー源の1000個程度に対象は限定。星自体の位置測定でもない。 JASMINEでは、数千万個の星自体を 高精度で測定。

日本の計画として、VERA に

引き続き、銀河面の高精度サーベイを行い、天の川銀河の解明をより完成させる。







# JASMINEで拓けるサイエンスの例 天の川銀河の力学構造(本当の"姿")

- ・バルジ、ディスク
- ・渦巻きの正体、ディスクの湾曲の原因、...

大規模な自己重力多体系の物理法則解明天の川銀河の形成・進化の"化石"を探る

·銀河形成史 —— 銀河形成

恒星進化論:H-R図

星形成

重力レンズ効果

系外惑星

基礎物理(一般相対論の検証)

予想外の発見

11

### 1.天の川銀河(銀河系)の力学構造

バルジ、ディスク(thin&thick disk)の力学構造
(形状、密度分布、星の運動、重力ポテンシャル)は?

- \*太陽系以上の自己重力多体系の定常状態が、現実にどうなっているか、まだ分かっていない。
- \*銀河系は他の銀河にみられる構造成分をすべて もっており、しかも精密に観測できる良い研究対象。
- \*構造の解明は、形成史の解明に結びつく。

## より具体的な例として.....

バルジの特徴はディスクともハローとも異なる。 バー構造の詳細は?形成史は? ディスクとの関連は? thick diskの構造と形成原因は? スパイラルアームは本当に密度波か? warpの構造とその原因は?

13

# 2. 銀可系の力学構造構築

高精度アストロメトリ観測

銀可系の力学構造←→密度分布

分布関数

重力ポテンシャル  $\longleftrightarrow$  f(x,v) mean streaming 速度分散

.

### 観測データ → どうやって、何が分かるのか?

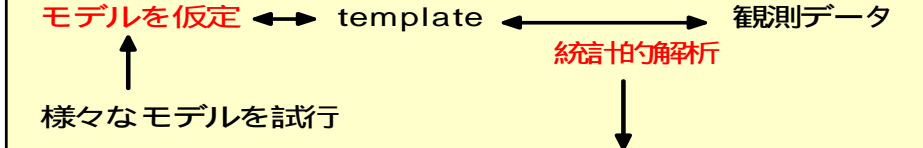
\*位置と速度だけでは、ポテンシャルは直接分からない

\*観測は、一部の星のみ。本当はすべての重力物質の情報が必要

良いデータが出てくればくるほど、きちんと考えておかなくてはいけない

15





**観測からどうやって分かるか?** もし、 sample数が無限なら言うことはなし sample数は" 有限"

それを反映する(背後にある)力学構造分布関数、重力ポテンシャル)は何か?

統計的解析方法の検討

### モデルの構築

トーラス構築法 & 軌道の重み因子計算法 =>上田氏の発表参照

### 3.恒星進化論

年周視差 --- 距離 --- 様々なタイプの星 の本当の明るさ (絶対等級)

星の進化モデルとの比較からモデルの 評価

\*H-R図が精度良〈書ける

17

### 4.星の形成

例えば、

星の初期質量関数

どのぐらいの質量の星がどのような割合で生まれたか?

\*現在では、不十分な情報



距離が分かる

ー 同じ星団(同じ時にほぼ ー 誕生)に帰属してるか どうか分かる。

運動 フィールドにある星の昔の星団を

------ 同定

= > 西氏の発表参照

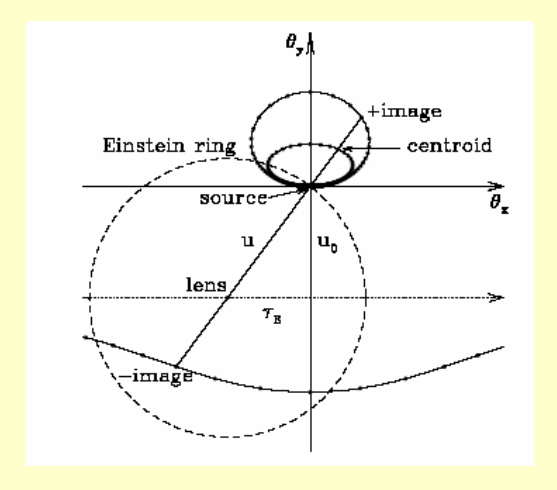
18

# 5.重力レンズ

### 重力レンズ効果

背後星の増光(光度曲線)

背後星の光中心の楕円運動(astrometric microlens)



10

### \*レンズ天体の物理量:

レンズ質量、レンズまでの距離、視線に対する最近接距離、レンズと背後星の相対速度の4つ。

従来の光度曲線の情報のみならば、解けるのは2つのみ。 しかし、astrometric microlensingの情報を加味すると 4つとも解ける。

→ レンズ天体の物理量、分布により、星の情報とは 独立に力学構造が解析可能

# 6.アストロメトリ観測による惑星探査

Reflex motionによるずれ

: angular semi-major axis(as)

M<sub>p</sub>: planet mass

M\* :parent star mass

d: 太陽系からの距離(pc)

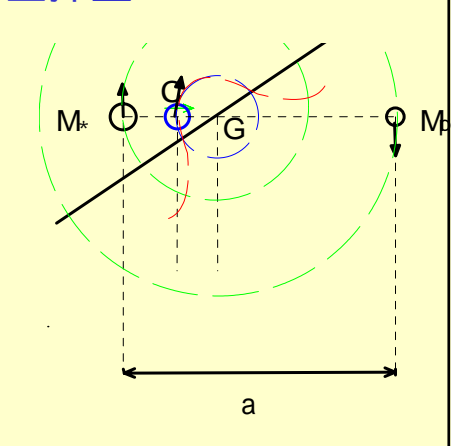
a: MpとM\*の間の距離(AU)

(Mp<<M\*, Lp<<L\*を仮定)

$$=\frac{M_P}{M_*}\frac{a}{d}$$

M\*=1Msun, Mp=MJ=0.001Msun,a=5AU,d=100pc--->=50 μ as

高精度アストロメトリ観測が必要



21

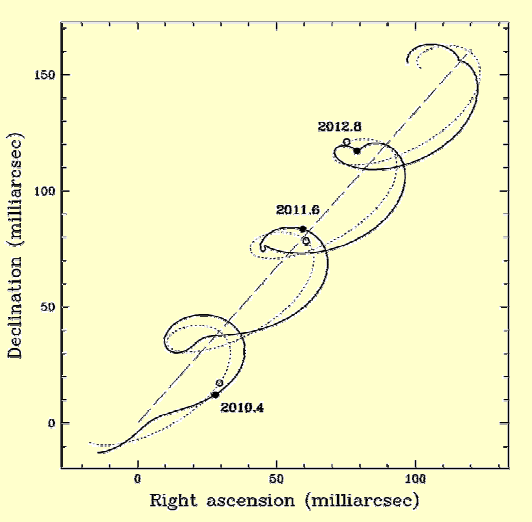
### 星の動き

距離:50pc、 固有運動:50mas year -1

 $M_p=15 M_J$ , e=0.2, a=0.6 AU

摂動の大きさは、30倍に拡大して見えやすくして

いる



# 例 10μ精度での惑星探査

### Jupiter mass planet

- - - > ~ 200pcまで検出可能

Sun-Jupiter systemで100pcの距離

(50 \mu as \mathcal{O} displacement)

- ~ 10,000個のsystemが期待(太陽型の主星が4-5% の確率で木星型惑星を持つと仮定)
- ーーー > 統計的研究へ

23

## § 3 JASMINE計画について

### 2つのバージョン+超小型衛星によるデモ

I. JASMINE(オリジナル) → 天の川全面(360°×8°)主鏡口径~1.5m 衛星重量1トン以上。

H-IIAのdual launchのフェアリングサイズを想定

主鏡口径 < 1m 衛星重量1トン未満

M-Vクラスのフェアリングサイズを想定

III. Nano-JASMINE → 任意の領域(精度は1mas程度) 主鏡口径 ~ 5cm 衛星重量10kg 2008年打ち上げ(目標)

# 3-1. 目標精度達成のための手段、技術開発

ヒッパルコスより2桁の精度向上。どうすれば、それが可能になるか?

10 µ 秒角: 東京から見て、富士山頂にいる人の

髪の毛の太さの1/10を見込む角度

25

### JASMINE基礎開発研究の全容 JASMINE基礎開発研究の全容 JASMINEミッションの達成 (10μ秒角の位置天文パラメータ精度) 観測手法 目標達成に必要な光子数の確保 パラメータ導出時の誤差要因の排除 検出器の - 高感度検出器 望遠鏡の 角度変動 スピン軸の安定性 光学系 開発 配列技術 モニター 望遠鏡の指向安定度 執安定性 姿勢制御 検出器の制御、 連続撮像モード 星像中心 決定 新素材による システム環境 望遠鏡開発、 (熱的・構造的成立性など) 望遠鏡の構造 超小型衛星(Nano-JASMINE)による 軌道上デモンストレーション JASMINE観測装置開発研究 JASMINEシステム基礎開発研究 26

### (1)目標達成に必要な光子数の確保

光子数リミット(理想的な場合)

必要条件

 $\sigma \sim \lambda / (D\sqrt{N})$  N:星の光子数

大きな Nが必要 なるべく大口径の鏡

~ 1.5m

素材は、高強度、低膨張率、高熱伝導、軽量、低コストなどの条件。 現在、トレードオフ中

\* 東芝が開発している高強度反応焼結型SiCも有力候補 地球観測望遠鏡(EORC/JAXA)等でも開発中

通常の反応焼結SiCより、強度を飛躍的に上げることに成功 焼結温度が低く、焼結収縮が1%程度と小さい

~ 3g/cc

CVD処理することなく研磨だけで鏡面として使用可能 65cmの平面鏡焼き上げに成功

### 高感度CCD、大きな視野──多くの検出器を並べる

\*z-bandに高感度な新タイプのCCD検出器

(裏面照射完全空乏型)の開発(すばる望遠鏡、HOPでも

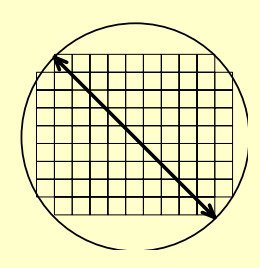
使用):浜フォトとの協力で順調に進んでいる

現在までに、量子効率 >70%@ =1 µ m達成

電荷転送効率改善 >0.999995

2k×4kプロセスへ着手

\*LBNLをしのぐ世界的開発成果

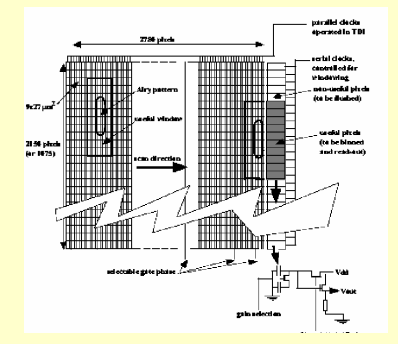


配列技術の開発\*約100個並べる

すばる望遠鏡のHyper Suprime-Cam, HOPの超広視野カメラとも共通

### \*連続スキャン観測が可能→TDIモードの稼働

C C D の電荷転送速度 | 同期化 衛星のスピン回転速度



- \* 良い星像、広視野、長焦点距離→光学系の工夫(3枚鏡を用いる独自の設計案完成)
- \*星像中心決定のアルゴリズム

(重心法:現在、実際のCCDを用いて実験中。 静止画像に関しては、1画素の1/300の精度達成! TDIモード稼働の場合の実験を実行中)

29

# (2)パラメータ導出時の誤差要因の排除

位置天文パラメータの導出過程

ヒッパルコス、GAIA

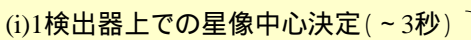
- (i)CCD検出器上での星像中心 の決定
- (ii)視野の(短時間での)連結 ◆ 大円解析
- (iii)連結されたセットの組み合わせでパラメータを→ 球面構築導出

### JASMINE:大円解析&球面構築法を採用した場合

### 観測手法

衛星の自転に伴い、連続的に スキャンする。

> \*衛星は、約5時間で大円を 1周。スピン軸は、銀極の周りを 約37日で1周(歳差周期)



星1個の観測精度:440マイクロ秒角

(ii)1視野での星像位置決定

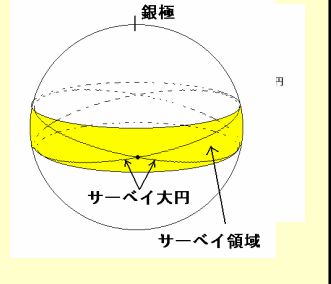
170マイクロ秒角

(iii)大円解析(~10時間) **▶** 

57マイクロ秒角

(iv)球面構築

10マイクロ秒角





31

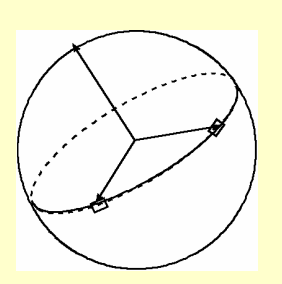
### (iii)大円解析

スキャン方向の星の相対位置と望遠鏡の向きの同時解析

\* 従来の衛星上の望遠鏡の指向決定:

恒星センサーによる恒星カタログとの比較

JASMINEの場合は、その恒星カタログ の精度向上を行わなくてはならない。 自分自身で、星の位置とともに、望遠鏡の 指向も決定する必要がある。



星の相対位置と望遠鏡の向きを同時に解析可能にする

大角度離れた視野の同時観測

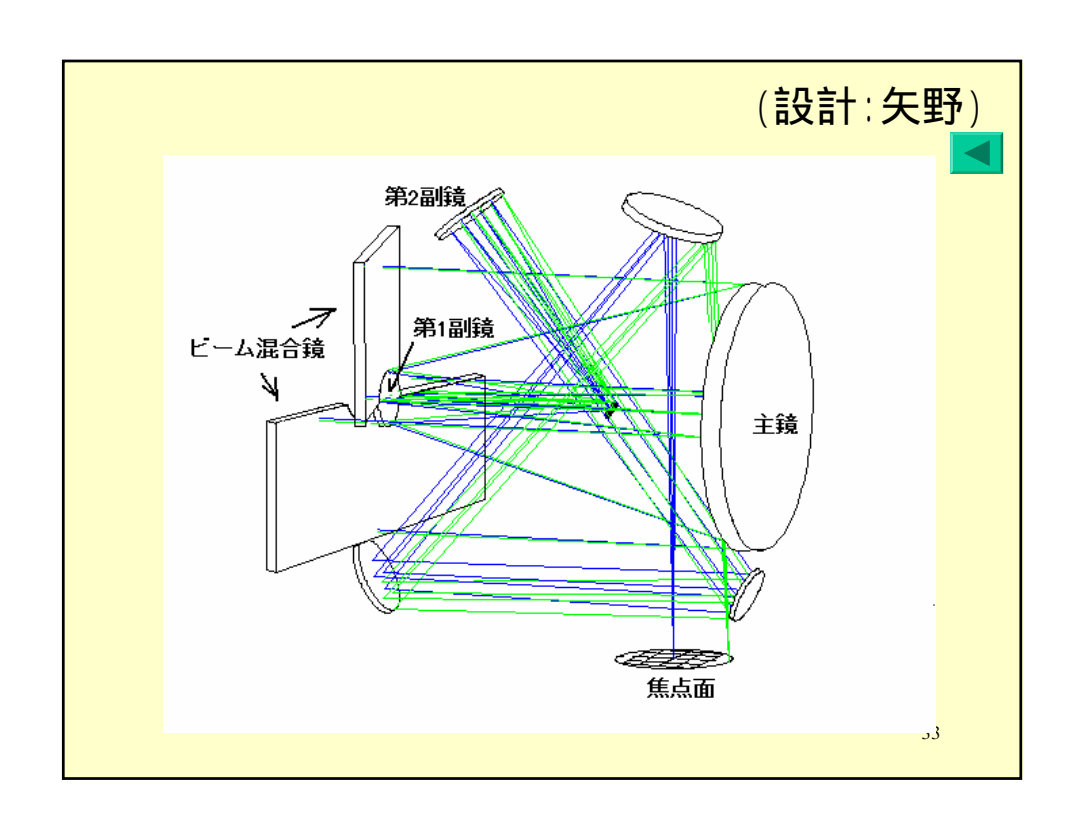
(大円2周分のデータ)

ビーム混合鏡の導入



この段階での位置精度は、57マイクロ秒角





### 位置天文パラメータ導出過程での誤差要因

観測装置や衛星の向きなどの長時間変動はモデル化により解析可能。

▶

しかし、モデル化により解けない場合がある (3秒~10時間の変動:大円解析まで)



- (1)検出器上での星像中心決定の際の 望遠鏡の指向のずれ(望遠鏡の指向安定度)
- (2)スピン軸のずれにより、スキャン方向とCCD検出器の転送方向が一致せず、星像がずれていくこと(スピン軸の安定度)
- (3) 衛星の自転2周分以内の時間範囲でのビーム 混合鏡のなす角度(ベーシックアングルに相 当) の変動(熱変動の抑制) → 変動を高精度でモニ

### レーザー干渉計によるベーシックアングルの

### 高精度変動モニターの開発

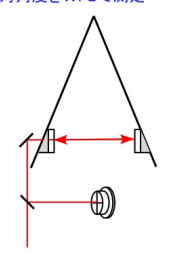
\*国立天文台重力波プロジェクト推進室の新井氏

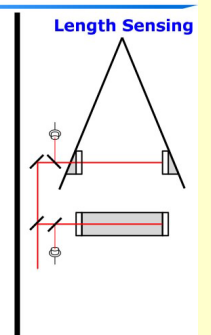
との共同:重力波観測装置での実績、実証

ポスター発表参照(丹羽)

### 現在提案している方法

● Wave Front Sensing 混合鏡にFP共振器を構成して その相対角度をWFSで測定



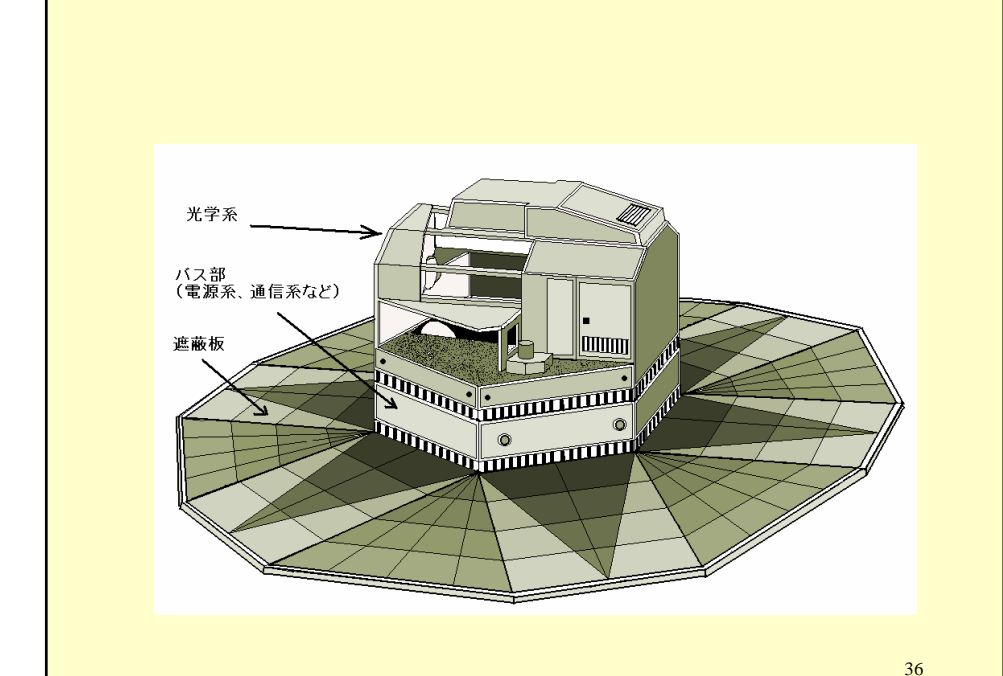


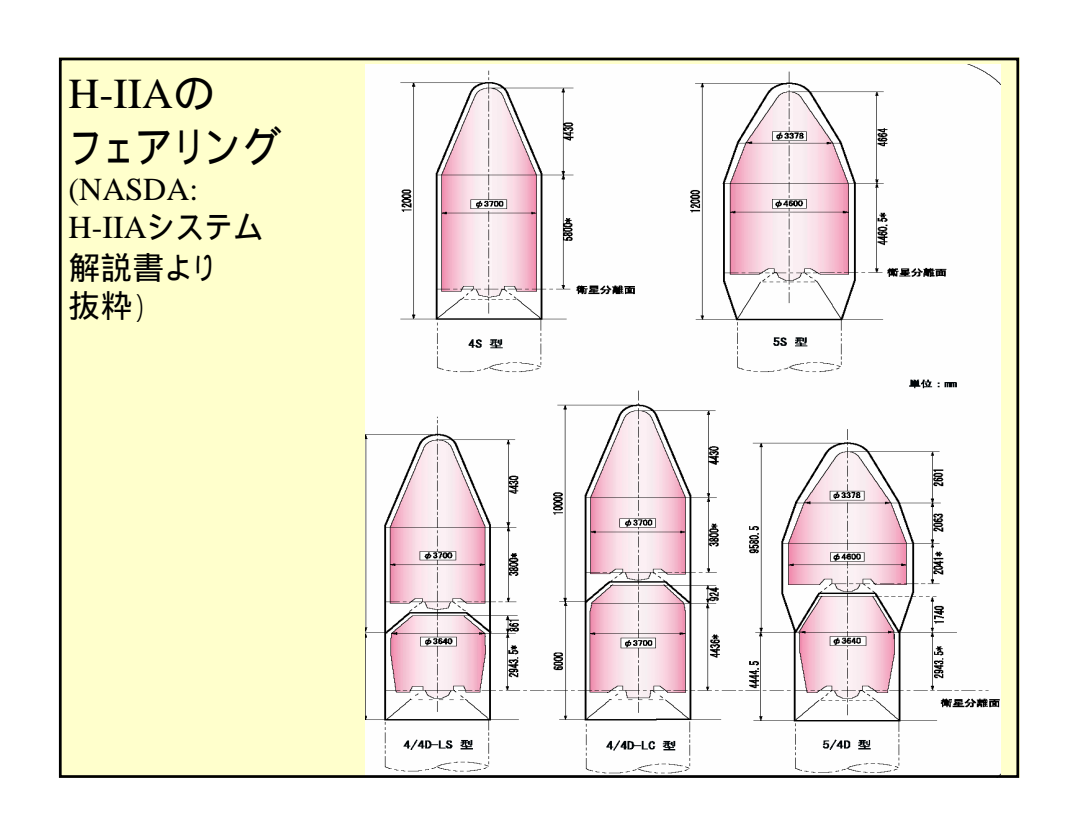
WFS法:共振器に曲率半径の大きい球面鏡を使用する工夫により、2つの平面鏡の相対角度の変動を増幅して感知できる(オリジナルなアイデア)

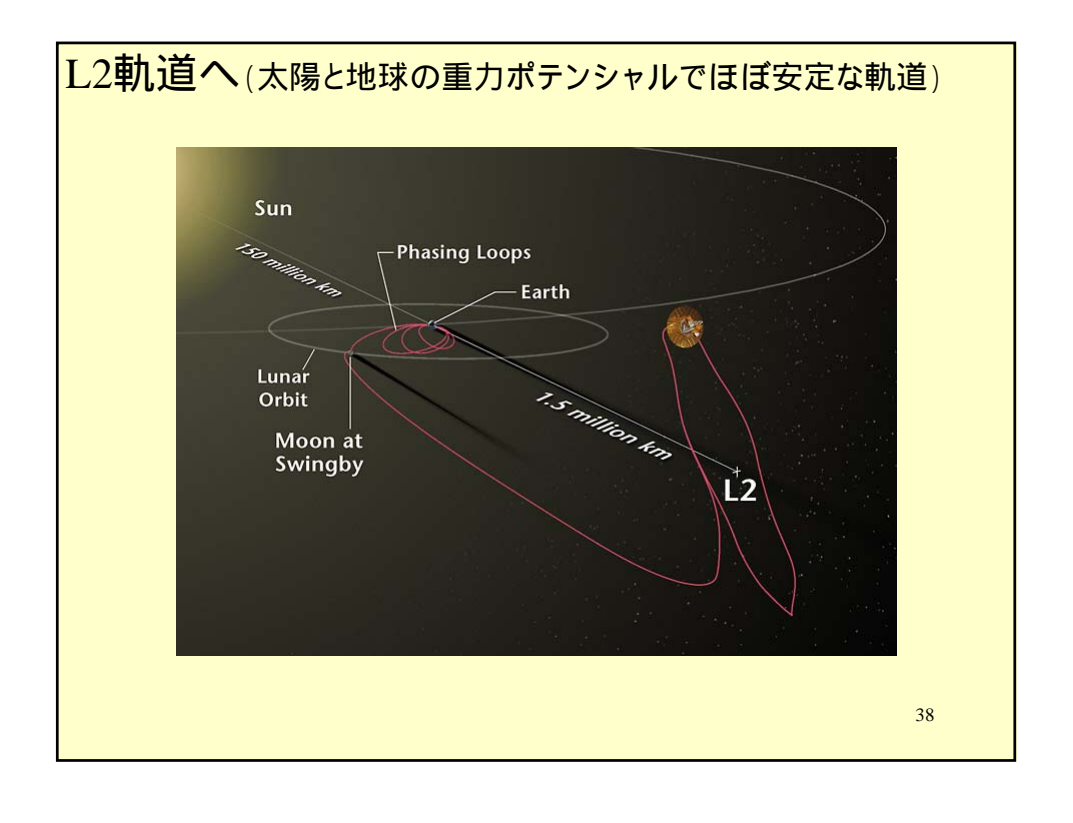
- \*共振器のロック成功!
- \*WFSの信号取得に成功

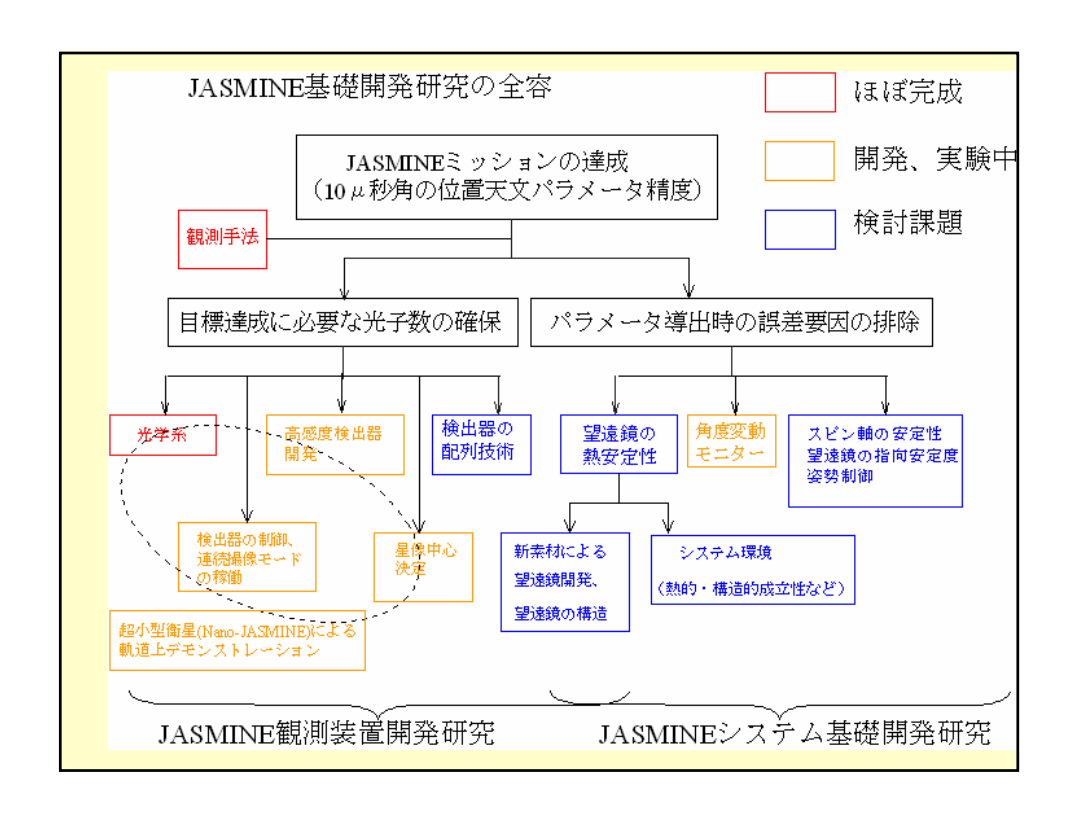
(相対角度の変動のみに大きな信号)

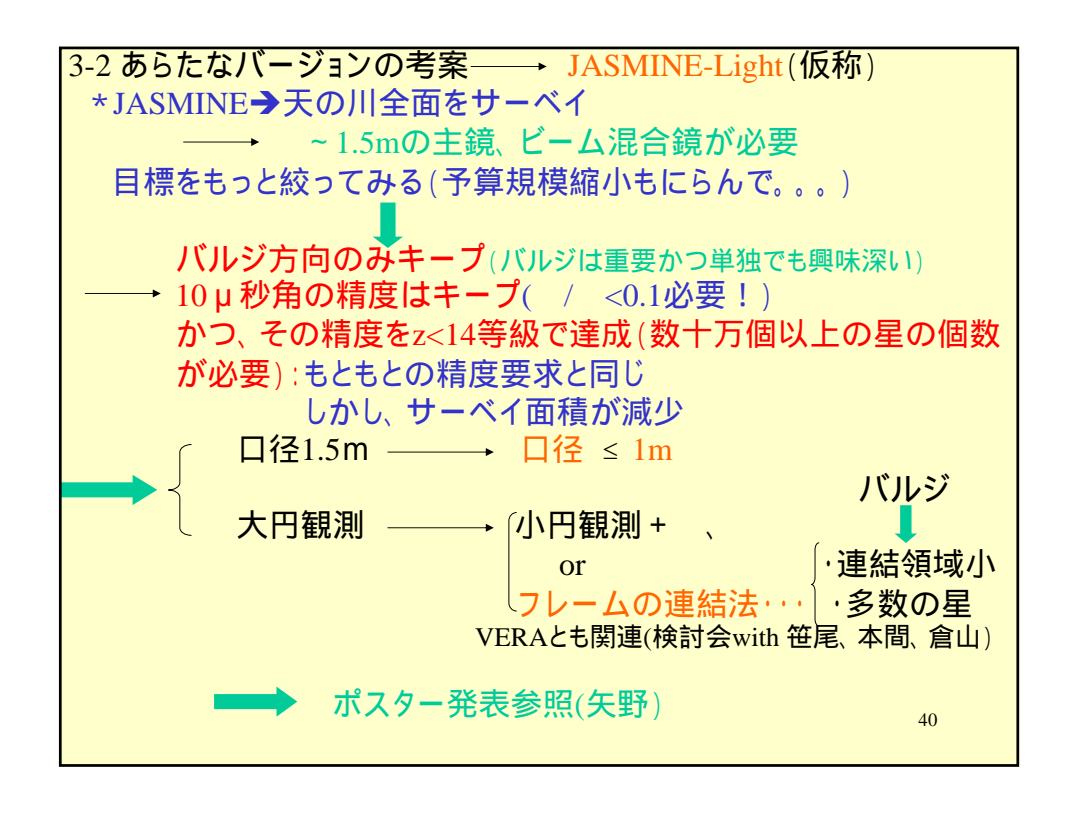
35











### 3-3.Nano-JASMINE計画

\* 超小型衛星を用いた技術実証、デモンストレーション (Nano-JASMINE計画) with 東大中須賀研

早く、安く。しかも、スペース開発の一連の作業を経験できる。

実際の宇宙環境での実験:TDIモードを稼働し、大円上を 観測。

- \*主鏡口径5cmの望遠鏡、30cm立方、重さ10kg程度の衛星 \*ヒッパルコスと同程度の精度
  - 固有運動の補正
  - \*2008年に打ち上げ(目標)

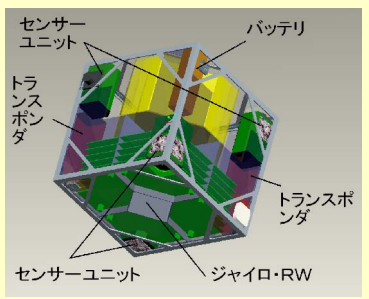
日本初のスペースアストロメトリ!

ポスター発表参照(小林、山田、菅沼、山内)

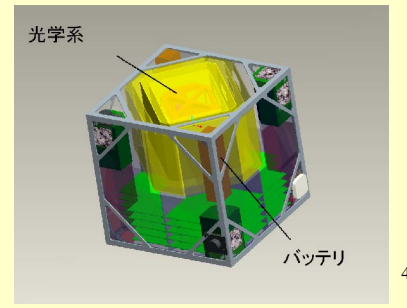
4.1

### Nano-JASMINE衛星のデザイン図(中須賀研)





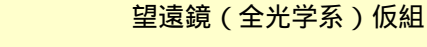


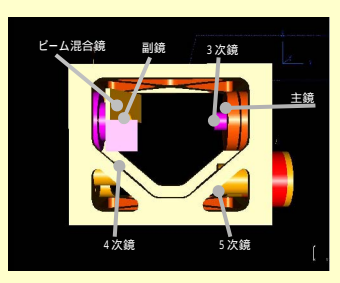


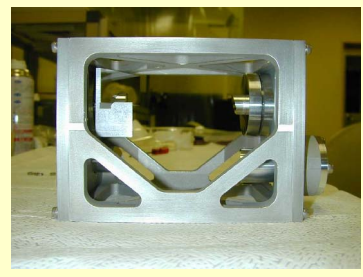
12

### 望遠鏡の試作、試験が着実に進行中=>菅沼氏の発表

Nano-JASMINE 望遠鏡の 説明図









43

### § 3-4.最近の主な動き

2003年10月: 宇宙研にJASMINE-WG設置が認められる(現在のメンバー数は85名)

### 2004年度~

国立天文台にJASMINE検討室(Aプロジェクト

室)が設置される(常任スタッフ4名,併任スタッフ9名,研究員1名,外国人研究員1名,院生3名,事務支援員1名)

### 2005年9月:

日本学術会議天文学研究連絡委員会(天文研連)でのレビューを受け、特別議事録「光赤外線天文学将来計画の推進について」が出されるにいたった。特別議事録の中で、JASMINEは、赤外線による位置天文学の実行という日本独自の発想により、銀河系の構造と運動の解明、ダークマターの分布などの重要課題に挑むものであり、早期の計画実現をめざす活動の一層の推進を期待する、とのコメントをいただいている。

\* Google検索: "JASMINE"で検索 = > 283000件中、我々のHPがトップ! (お茶などを抜いて。。。)<sub>44</sub>

### § 3-5.今後の推進内容(スケジュール)

2006年度~2009年度頃まで

観測手法の確立と仕様の完成、基礎開発、

重要課題の技術実証実験

超小型衛星(Nano-JASMINE)を用いた実際のスペースでのデモンストレーション実験

約2年後の打ち上げを目標

2009年度頃: JAXAへのミッション提案を目指す

2010年度~2014年度以降

概算要求、PM製作、試験、

FM製作、試験

2015年度頃:打ち上げ目標

2015年度~2020年度:観測運用、データ処理

2020年度~2022年度: データ解析、カタログの作成

2022年度:カタログの公開(ミッション終了)

15

### 参考:人的体制

### コアチーム:

郷田(常任):計画全体の総括

小林(行)(常任):JASMINE全般の検討・開発、特に望遠鏡、検出器

の担当、Nano-JASMINEミッション部開発の総括

辻本(常任):銀河系モデルの構築、サイエンスの検討、

測光システム担当、プロジェクト室のマネージメント等

矢野(常任): JASMINE全般の検討、特に観測手法、ミッション系およびバス系に渡る全般的な

検討、Nano-JASMINE望遠鏡の開発

山田(京大理):シミュレータの構築、オンボードデータ処理技術、機器の放射線耐用 実験、CCDのコントロール、HPの管理等

川勝(ISAS/JAXA):ミッション方法および衛星システムの検討

松原(ISAS/JAXA): ミッション部全般および衛星システムの検討

野田、對木、歌島、小川(JAXAシステムズエンジニアリング推進室)

衛星システム全般に渡る検討、基本設計ならびに姿勢制御系、軌道、熱構造系の詳細検討

菅沼(研究員): 光学系の検討、Nano-JASMINE望遠鏡の開発

A.Kucinskas(外国人研究員): 測光システム検討、GAIA-WGとの連絡

丹羽(受託院生・京大):レーザー干渉計型角度変動モニターの開発

山内(東大院生):検出器制御基盤の開発

中須賀、酒匂、初鳥、田中: Nano-JASMINE衛星の開発

46

### 協力メンバー:

国立天文台月面天測望遠鏡計画(ILOM)チーム:

(河野、花田、荒木、鶴田、浅利、田澤、野田:以上、全員併任)

- \*4年前から、定期的な会合(他のスペース計画の勉強、お互いの計画の紹介・検討、共通課題の検討、実験など)
- \*星像中心決定実験の継続、Nano-JASMINEなどの衛星システムの検討(特に、観測装置の試験など)に関して協力をして頂ける。
- \*天文台でのスペース天文学のノウハウの蓄積、今後のスペース天文学推進体制のベース作り、月面上のJASMINE-II計画など。

中島(併任):観測手法、測光観測、サイエンスの検討

高遠(ハワイ観測所:併任):Nano-JASMINE望遠鏡の開発

宮崎(ハワイ観測所):CCD検出器の開発、検出器配列技術に関する協力

新井(重力波プロジェクト推進室): ビーム混合鏡の交差角度変動 モニター(レーザー干渉計型)の検討、開発

阪上(京大・人間環境学研究科) レーザー干渉計型モニター開発 宮内(光赤外研究部):JASMINE定例会への参加

47

今後ともご支援、ご協力をよろしく お願いします。

JASMINEのホームページアドレス

http://www.jasmine-galaxy.org/index-j.html

# Jasmine



49

### 2006年2月20日 · 国立天文台

銀河系2006研究会

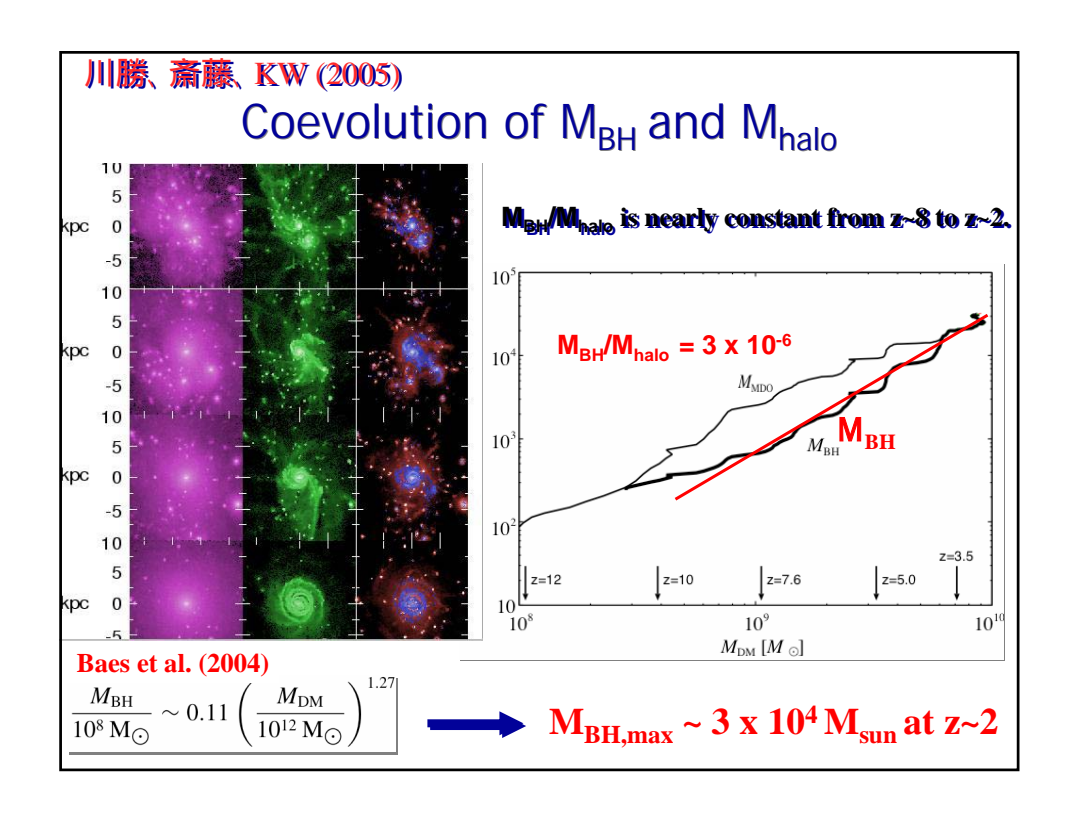
### 天の川創成プロジェクト

和田桂一 (NAOJ) 富阪幸治、小久保英一郎 (NAOJ) 牧野淳一郎 (東大) 吉田直紀 (名大) 台坂博、斎藤貴之、出田誠 (NAOJ)

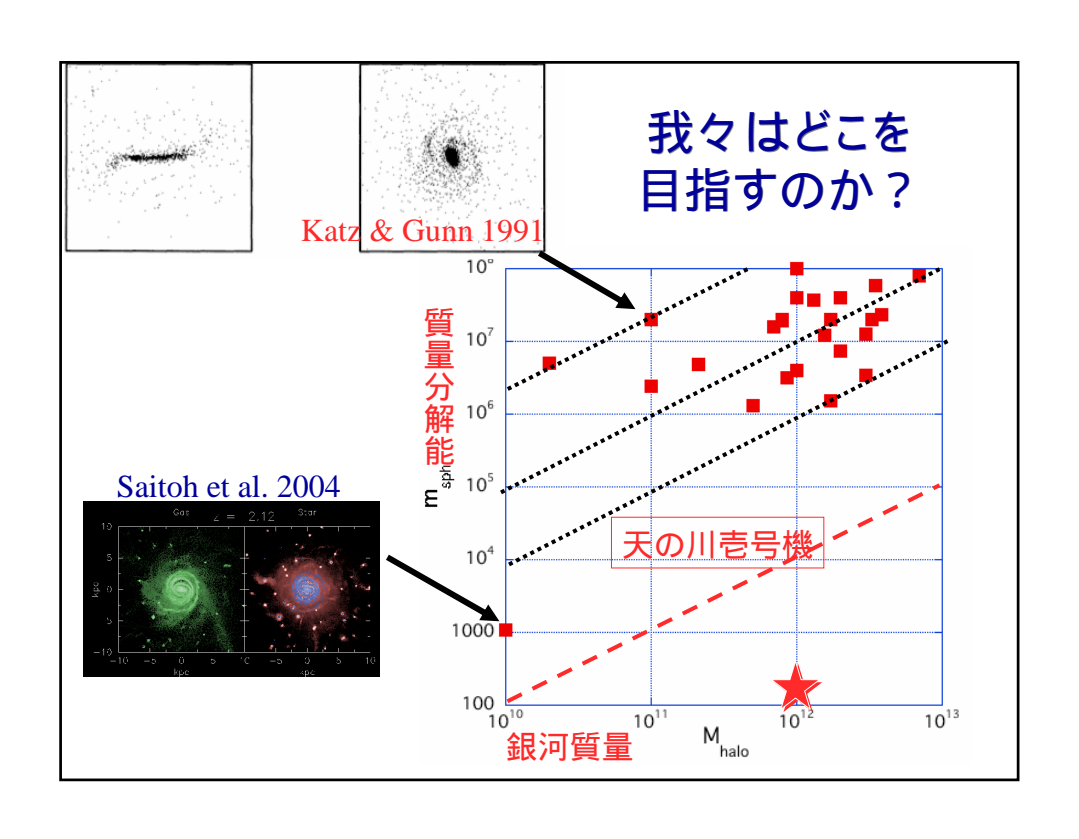
CACHONE EECHTS CECTOS CONTOC VA

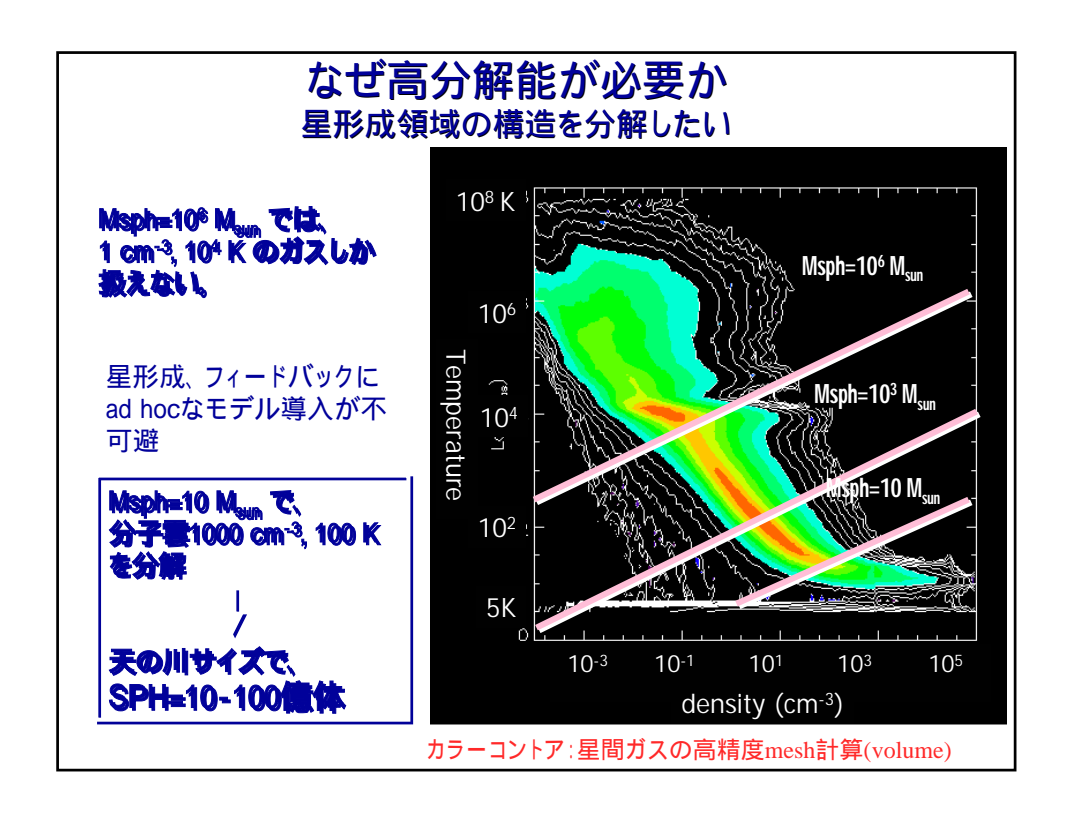












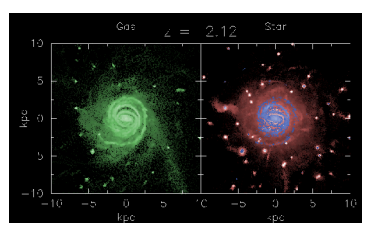
### 天の川創成プロジェクト 開発スケジュール(ハード、ソフト) 天の川創成プロジェクト 開発スケジュール 2007 1 2 3 4 5 6 7 8 9 10 11 12 1 2 3 4 5 6 7 8 9 10 11 12 1 2 3 4 5 6 7 8 9 10 11 12 1 2 3 4 5 6 7 8 9 10 11 12 1 2 3 4 零号機 (G6 4nodes) 壱号機:(G7 8nodes) 壱号機 N=107 弐号機 (G-DR?) 64node 参号機 (G-DR) 256node $N=10^8$ GRAPE-DR GRAPE-DR 2P クラスタ完成? カードプロトタイプ N-body/SPH Gouf (斉藤) Gouf 非 SPH 粒子法流体コード grid code (AMR化)

### 零号機

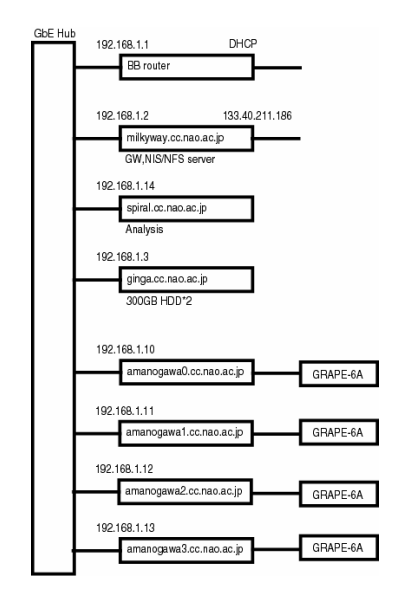
### 科研費基盤B、台内予算で開発

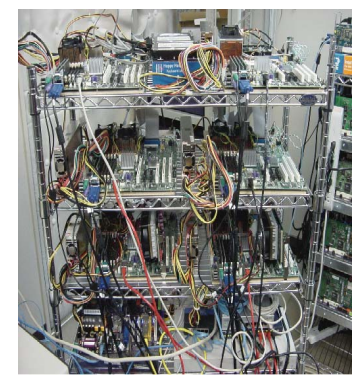
- 4 CPU (Xeon)+GRAPE-6A
  - → 銀河形成並列計算コードの開発
  - ◆ 性能評価 (ピーク性能0.2TF程度 ~ VPP5000/32)
- → プロダクトラン
  - → Total mass 10<sup>10</sup> M<sub>sun</sub> (ISM 10<sup>9</sup> M<sub>sun</sub>)の銀河形成
  - → ガス質量分解能500 M<sub>sun</sub> SPH 200万体
  - 参週間/1モデル
    - → Cf. 現状 1000M<sub>sun</sub> w/ SPH 100万体
      - ◆ 6ヶ月/1モデル (GRAPE-5)

GRAPE5による 100万体SPH計算 <sup>©斎藤貴之</sup>



# 零号機構成







### 詳しくは、台坂博「天文学とUNIX」(UNIX Magazine)の連載

# 天の川零号機 仕様

表 2 天の川零号機の各マシンの仕様

| 21 7 7 7 7 7 7 7 7 7 7 7 7 7 7 7 7 7 7 7 |                              |                               |               |  |  |  |
|--|------------------------------|-------------------------------|---------------|--|--|--|
|  | サーバー                         | 計算ノード                         | 予備ノード         |  |  |  |
| ホスト名                                     | milkyway                     | amanogawa0~3 spiral           |               |  |  |  |
| CPU (Xeon EM64T)                         | 3.6DGHz (デュアル)               | 3.6DGHz (シングル) 3.2DGHz (シングル) |               |  |  |  |
| マザーボード                                   | Intel E7520BD2 (7520 チップセット) |                               |               |  |  |  |
| メモリ                                      | DDR-400 r                    | DDR-333 1MB×2                 |               |  |  |  |
| 内蔵 HDD (OS 用)                            | 40GB ATA133                  |                               |               |  |  |  |
| 外部 HDD                                   | — 300GB×2 SATA —             |                               |               |  |  |  |
| OS                                       | Fedora Core 2                | FreeBSD 5.4R amd64            | Fedora Core 2 |  |  |  |

GRAPE-6A 400GFlops

# **壱号機**(プロトタイプ2号) 2006年度

- Total mass: 10<sup>10</sup> M<sub>sun</sub> (ISM 10<sup>8-9</sup> M<sub>sun</sub>)
- ◆ ガス質量分解能 100 M<sub>sun</sub>(星形成領域分解) SPH 1000万体
- ◆恒星系空間分解能 10-100 pc (diskがなんとか 分解) N体粒子 1000万体
- ◆ 1モデル/1ヶ月

# 天の川壱号機仕様

製作: 1~2ヶ月以内、 夏までに1000万体計算

8 / - F: Opteron 250(2.4GHz)/2GB +GRAPE7

GRAPE-7 (Fukushige et al.)

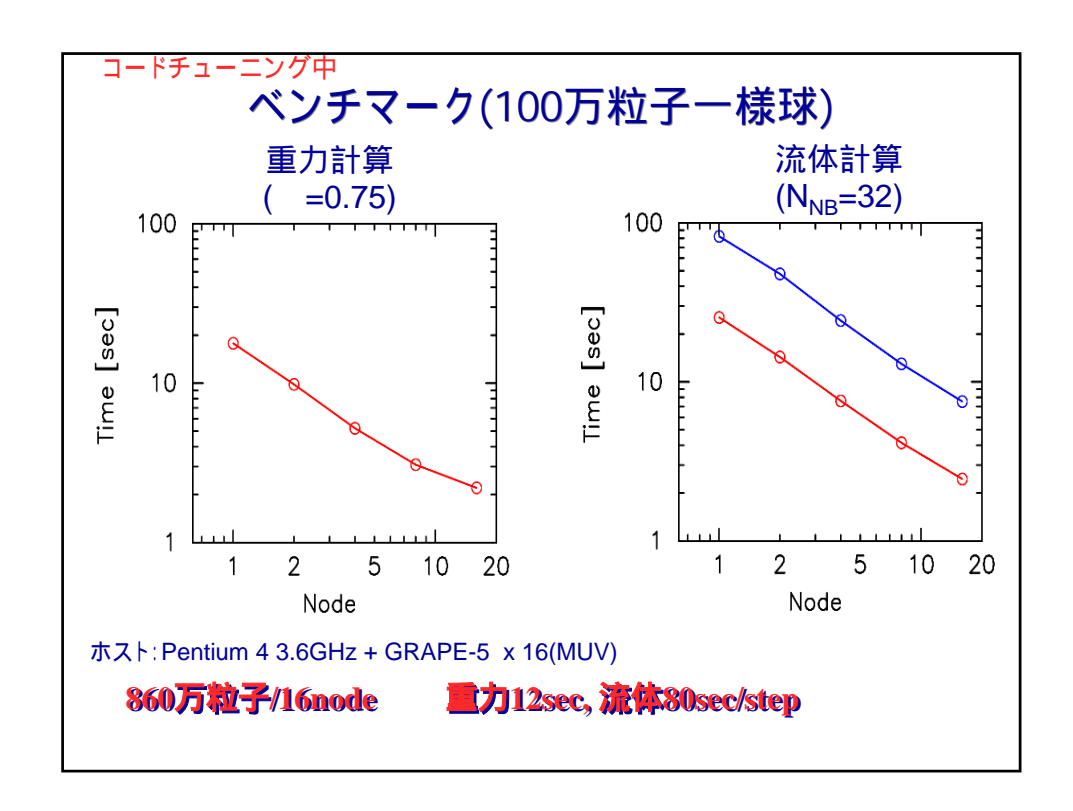
無衝突系用(G5後継機)、 PCI-Xバス 1GB/s (PCIの8倍) FPGA(再構成可能デバイス)によるコスト削減 ピーク性能: 0.7TFlops (G5の15倍、G6Aの2倍)

予算が獲得できれば、ノード数を増加

### コード開発(純国産)斎藤貴之(国立天文台)

# Gouf仮

- ◆ 領域分割: Bisection
- ◆ 重力: Tree+GRAPE
- 流体:Smoothed Particle Hydrodynamics
- サラスク却を超新星爆発:Type Ia/II
- ◆ 並列方法: Message Passing Interface



# 銀河中心の恒星系力学

牧野淳一郎(東大理)

# 概要

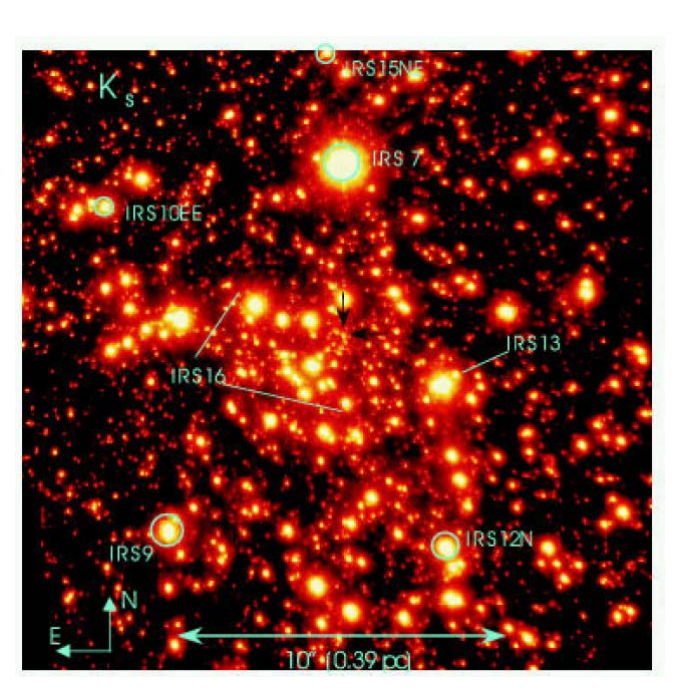
- 1. 観測でわかっている(らしい)こと
  - Central Cluster
  - Stellar Disk(s)
  - Star Cluster(s)
- 2. 理論モデルについて少し
- 3. まとめ 今後の研究の方向

# 観測でわかっている(らしい)こと

- Central Cluster
- Stellar Disk(s)
- Star Cluster(s)

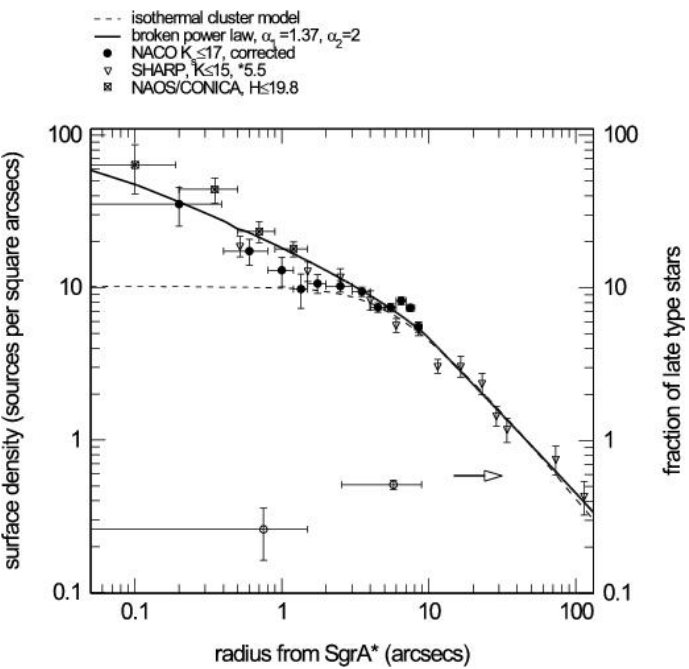
# Central Cluster

Genzel et al 2003 K-band shift-and-add image 中心付近の黒い矢印 の先が SgrA\*



# Surface density

Genzel et al 2003 10"以内の恒星の質量  $\sim 10^6 M_{\odot}$  (あんまり信用はできない)若い星が結構多い。0.5"以内でも若い星がある。 $(S1,\ S2,\ S0-16\ldots)$ 



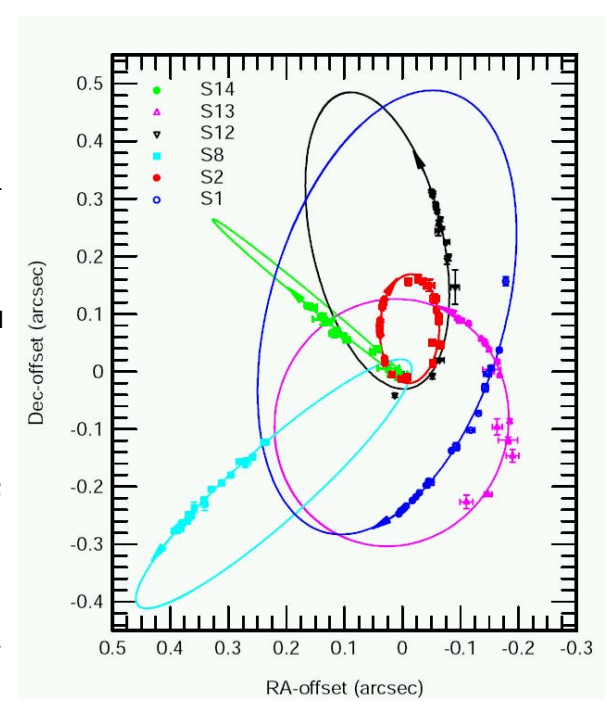
### いくつかの中心付近の星の軌道

Eisenhauer et al 2005

星の分布は「等方的」 少なくとも円盤的と はいいがたい

これらの星は結構若い  $(10 M_{\odot}$  以上)

もっと暗い星は普通 の赤色巨星

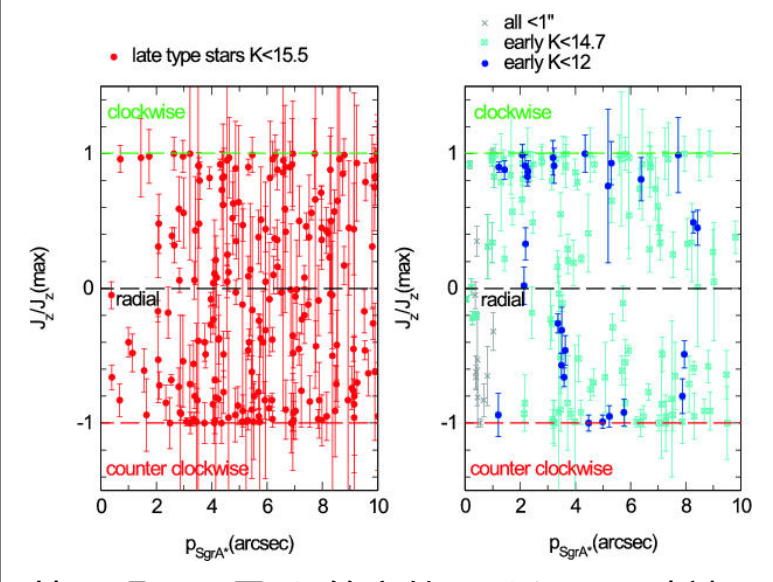


### 理論屋から見た課題

- 何故若い星がそこにあるのか
  - その場で作る?
  - 少し近くから緩和で運ぶ
  - 遠くからなんとかして運ぶ
- まだ見えない星はどんなふうか
- 中心ブラックホールの形成・成長との関係は?

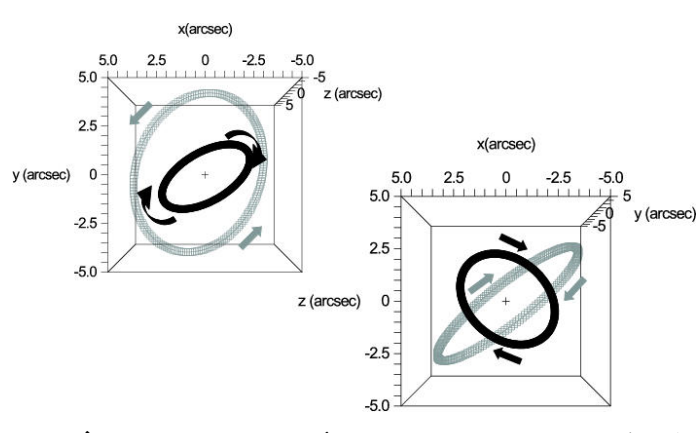
# Stellar Disk(s)

また Genzel et al 2003。中心からの距離と角運動量



特に明るい星は 等方的ではない。時計回りと半時計回りの2 つのリング。

### 空間構造



Paumard et al 2006 (図は Genzel et al 2003 から) 傾いている。

 $6\pm 2Myrs$ 

そんなに薄いわけではない  $(e \sim 0.3)$ 

なぜそんなものがそこにあるのか良くわからない。

### 理論屋から見た課題

- どうやってディスクを作るか
  - その場で作る (Nayakshin et al 2005)
  - 遠くから星団で運ぶ (Hansen & Milosavljevíc 2003)
- 中心部の星との関係
- Minispiral との関係 (?)

# Star Cluster(s)

IRS13E, 16SW は それぞれ星団らしい (?)

IRS13E: 反時計回り

ディスク

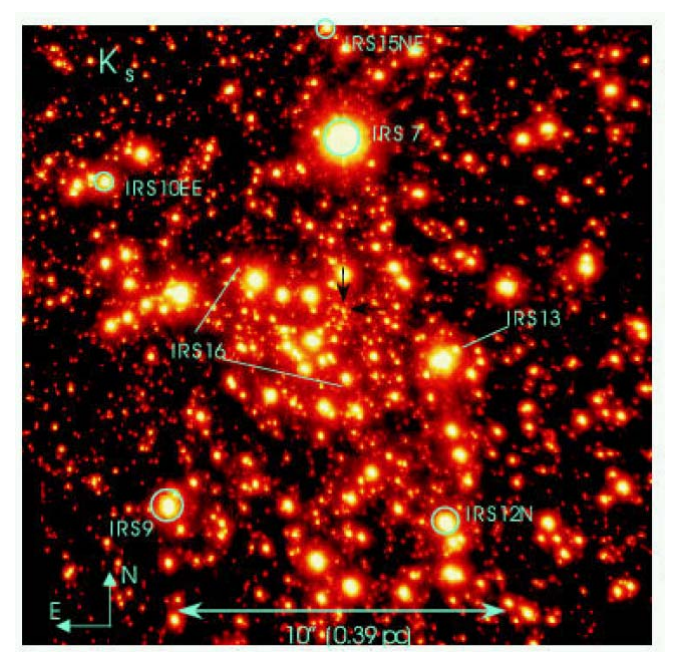
IRS16SW: 時計回

リディスク

bound だとすると結

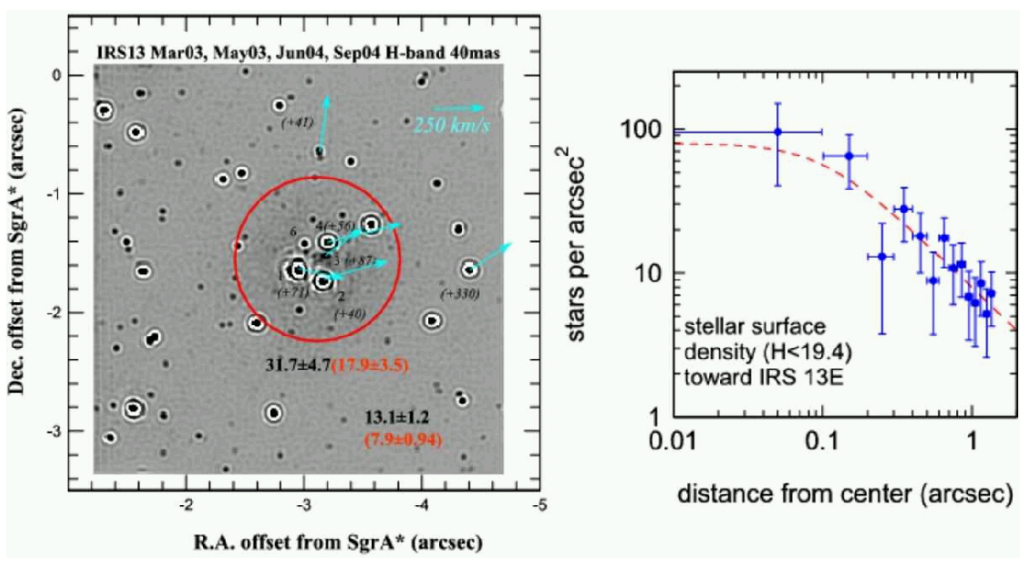
構質量が必要

→ IMBH???



# IRS13E は本当に星団か?

Paumard et al 2006 H-band 観測



見た目星団っぽい。

### 星団だとすると

コア半径 0.17" 潮汐半径 1"以上? 銀河中心までの距離 4"くらい。

潮汐半径が 1" とすると  $4 \times 10^4 M_{\odot}$  くらい必要。 これは  $\operatorname{Sgr} A^*$  の速度と矛盾するかも。 Paumard et al ではこの問題は無視されている。

### 観測のまとめ

- 妙に若い星がある
- 0.3pc くらいより内側ではカスプのスロープ浅い
- 0.1pc くらいより外側では若い星はディスク状。ディスクは2つある。
- それぞれのディスクの中に星団のようなものもある。
- ディスクの星は結構年齢がそろっている

### 銀河中心の理論モデル

いろんなことを統一的に説明できるような理論モデルはあるか?

とはいえ、一度に全部、は無理なので、まずディスクを考 える

提案されているモデル

- ガスディスクから作る
- 星団を落とす

# ガスディスクから作る

Milosavljevíc & Loeb 2004 Nayakshin and Sunyaev 2005 個人的にはあんまり本当とは思えない

- ほぼ同じ時期、ほぼ同じ場所に逆回転するガスディスクが2つというのはあまりに無理
- 星の「ディスク」がガス起源にしては速度分散が大きす ぎる
- 星が重力相互作用でディスクを加熱する時間スケールは 結構短い。速度で 6km/s までに 10<sup>4</sup> 年くらい。自己重 力的になるほどディスクが薄くならない

# 星団を落とす

Hansen & Milosavljevíc 2003 Portegies Zwart et al. 2005 これも色々無理が、、、

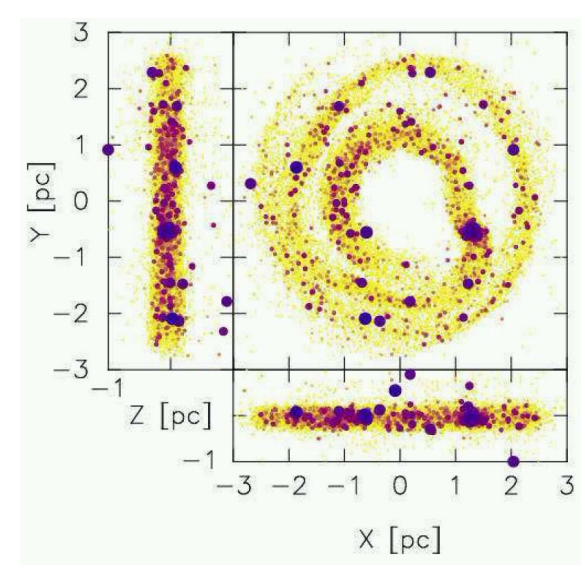
● よほど近くに星団があるか、ありえないほど重いかでな いと力学的摩擦では落ちてこない

とはいえ利点もある。

- 若い星団はある。 Arches, Quintuplet
- IMBH があるとすると、銀河中心近くまで若い星をもってくのは可能
- 複数ディスクも問題ない。星団とディスクも同時に説明

### 星団を落としてできるもの

もちろんかなり厚いトーラス 観測とは矛盾しない



Portegies Zwart et al 2005 これはちょっと外側すぎる例。

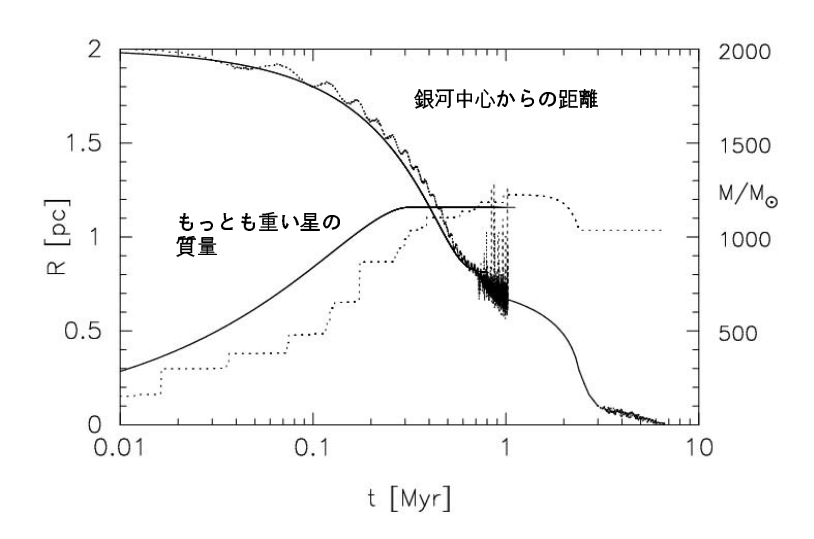
# N-body simulation の例

Portegies Zwart et al 2005

- 64K stars, Salpeter IMF (lower cutoff:  $0.2 M_{\odot}$ )
- 2pc from GC, circular orbit
- Roche-lobe filling King model ( $W_c = 9$ )

これは、 IRS13E みたいなものをつくろう、という話。

### 結果



破線: シミュレーション、実線:解析的モデル

### つまり

- ullet  $2 ext{pc}$  くらいに  $10^4M_\odot$  くらいの星団ができれば数  $ext{Myrs}$  で落とせる
- 5pc とか 10pc だとはるかに重い必要がある。

つまり: IRS13E みたいなものを作れなくはないが、 結構不自然な初期条件が必要?

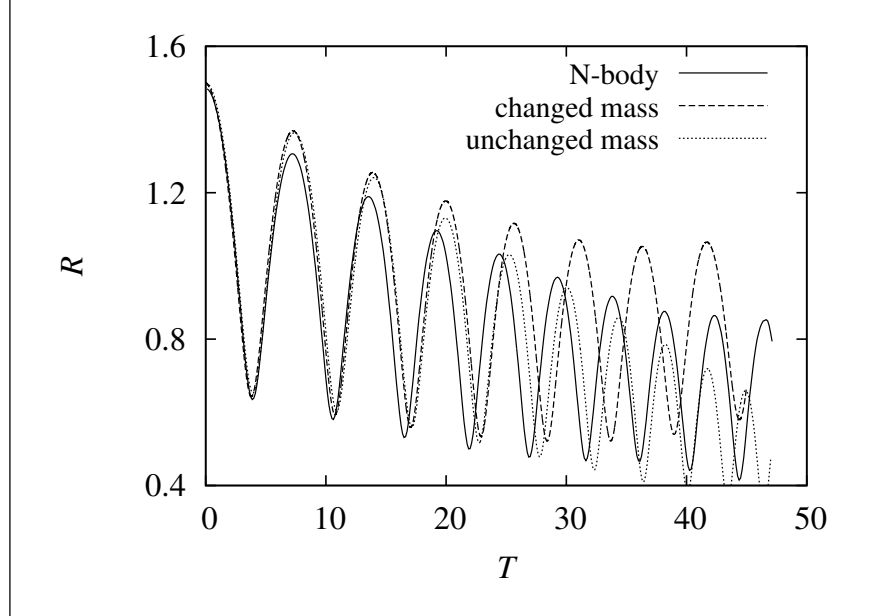
### N体計算は信用できるか?

実は色々疑問。

- 星団の軌道進化は力学的摩擦を手でいれている。
- 初期の軌道が円軌道というのは本当かどうかわからない。

# 星団の軌道進化

藤井他 2006: 衛星銀河のN体計算では、実は力学的摩擦を手でいれたのより速く落ちる。



# 速く落ちる理由

- 衛星銀河から逃げた星に角運動量を渡す
- 逃げた星もまだ衛星銀河本体近くにいると、その重力で 力学的摩擦を大きくする

どちらも微妙な効果だが結構大きい。

### 円軌道?

若い星団がどうやってできたかは不明。

従って、どういう軌道を考えるべきかもあんまり根拠はない。 できた時にあまり軌道角運動量もってなければ速く落ちる。

星団のできかたと、ガスの運動との関係の理解が必要?

### まとめ

- 最近の観測の進歩により、銀河中心の恒星系がどうやってできたかは良くわからなくなった。
- ◆特に若い星の起源、ディスクになっている理由について はあまりよい理論モデルがない。
- ある程度遠くでできた星団が力学的摩擦で落ちてきた、 というモデルは色々良い性質を持つが、軌道進化のタイムスケール等問題もある。
- でも、若い星がその場でガス円盤からできた、というのよりは問題が少なそうな気がする。

### おまけ

シミュレーションはどんなことができるか?

GRAPE-6 での直接計算 SMBH-IMBH-回りの星、という系を完全に star-by-star でシミュレーションする(松林他 2006)

GRAPE-DR and/or direct+tree ハイブリッド 銀河中心 10pc くらいなら star-by-star ベースでできる。

2体緩和による進化をちゃんといれて今見えてない暗い星の 分布を理論的に予言できる?

### おまけ2

銀河中心:理論屋には夢のような領域

- 星の軌道が見える
- 軌道の変化もみえそう。緩和過程

どんなものを観測して欲しいか?

- とにかく暗い星まで見る
- 3次元的な速度

# おまけ2

銀河中心:理論屋には夢のような領域

- 星の軌道が見える
- 軌道の変化もみえそう。緩和過程

どんなものを観測して欲しいか?

- とにかく暗い星まで見る
- 3次元的な速度

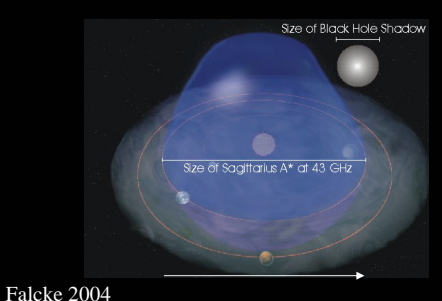
# 21世紀は精密アストロメトリの時代

### メーザーで探る銀河系中心 (数pc以内の位置、固有運動計測)

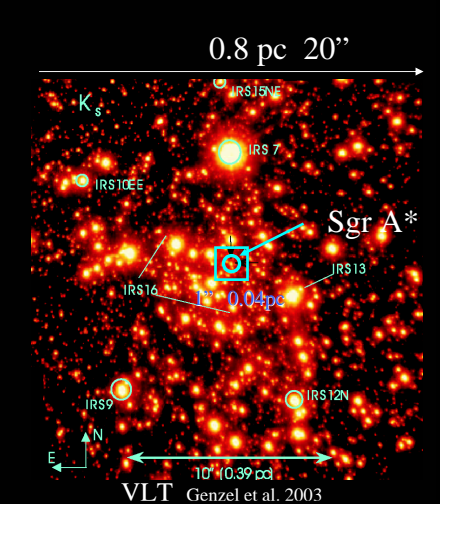
小山友明、出口修至、三好真、小林秀行(国立天文 台) 今井裕(鹿児島大)、Shen, Zhi-Qiang (上海天 文台)

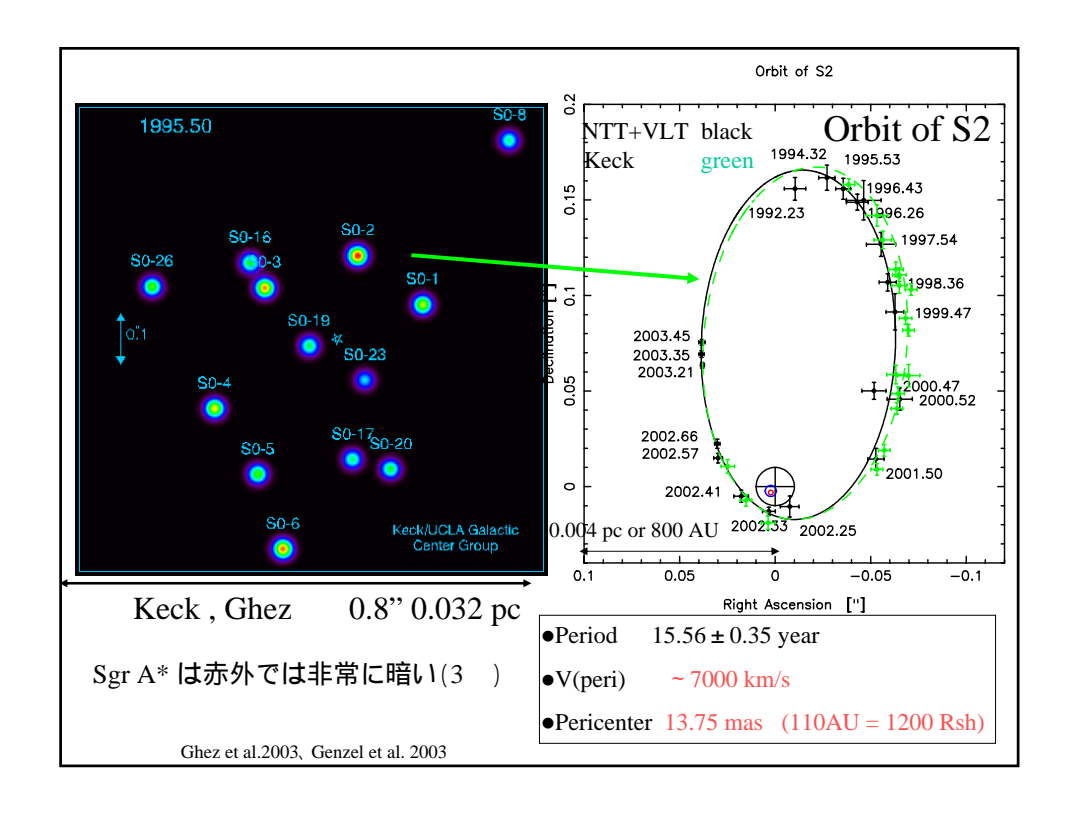
# 銀河中心領域(数pc以内)

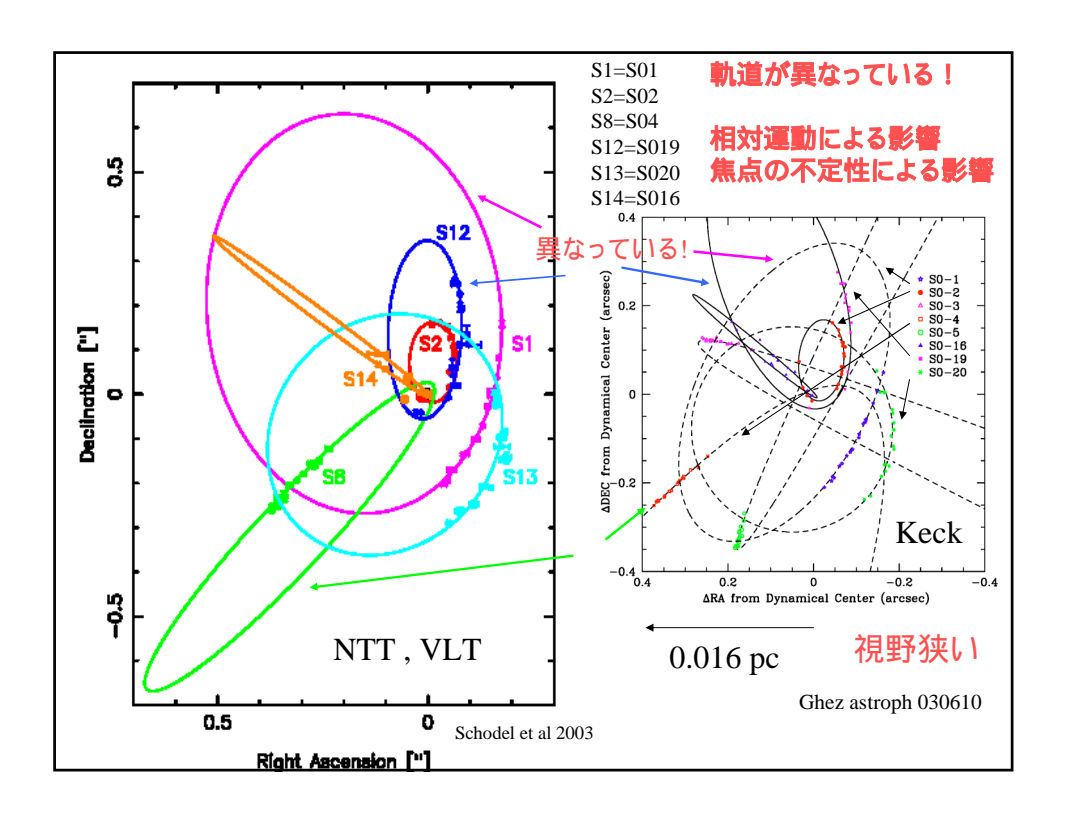
- SMBHの存在  $4 \times 10^6 M_{Sun}$  (Ghez et al. 2003)
- 多数の星団の存在(赤外線)
- 非熱的コンパクト電波源 SgrA\*の存在(1 mas@7 mm)

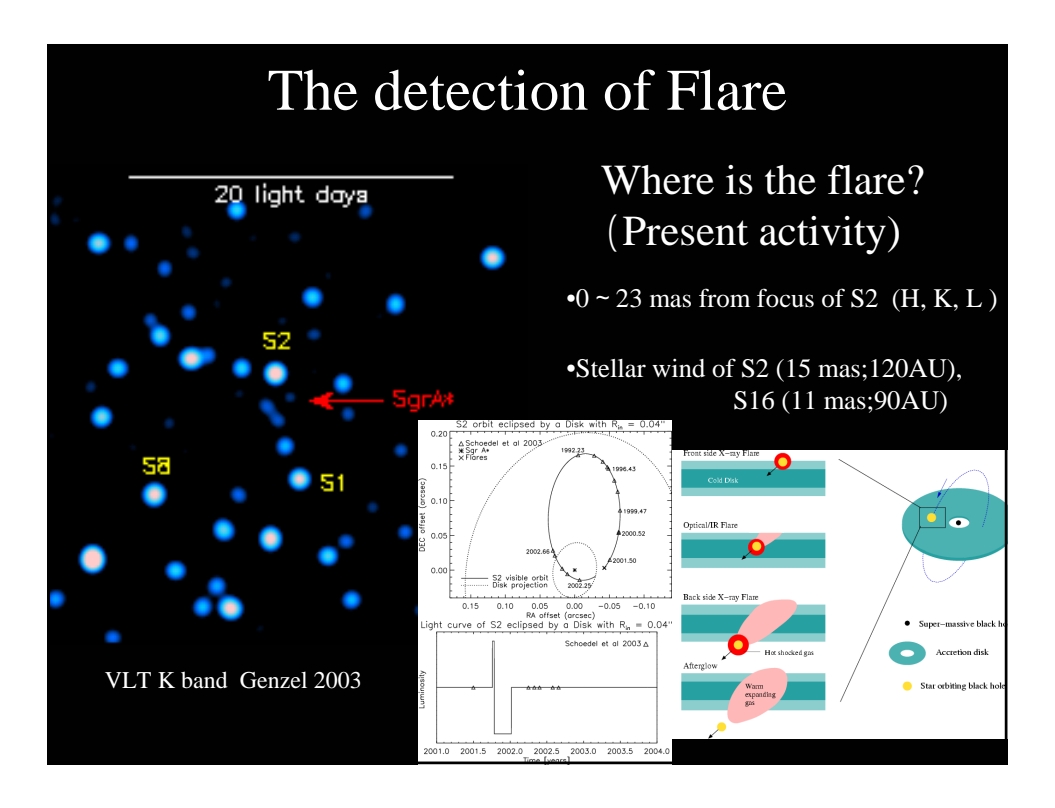


0.7 mas or 5.6AU









### Motivation

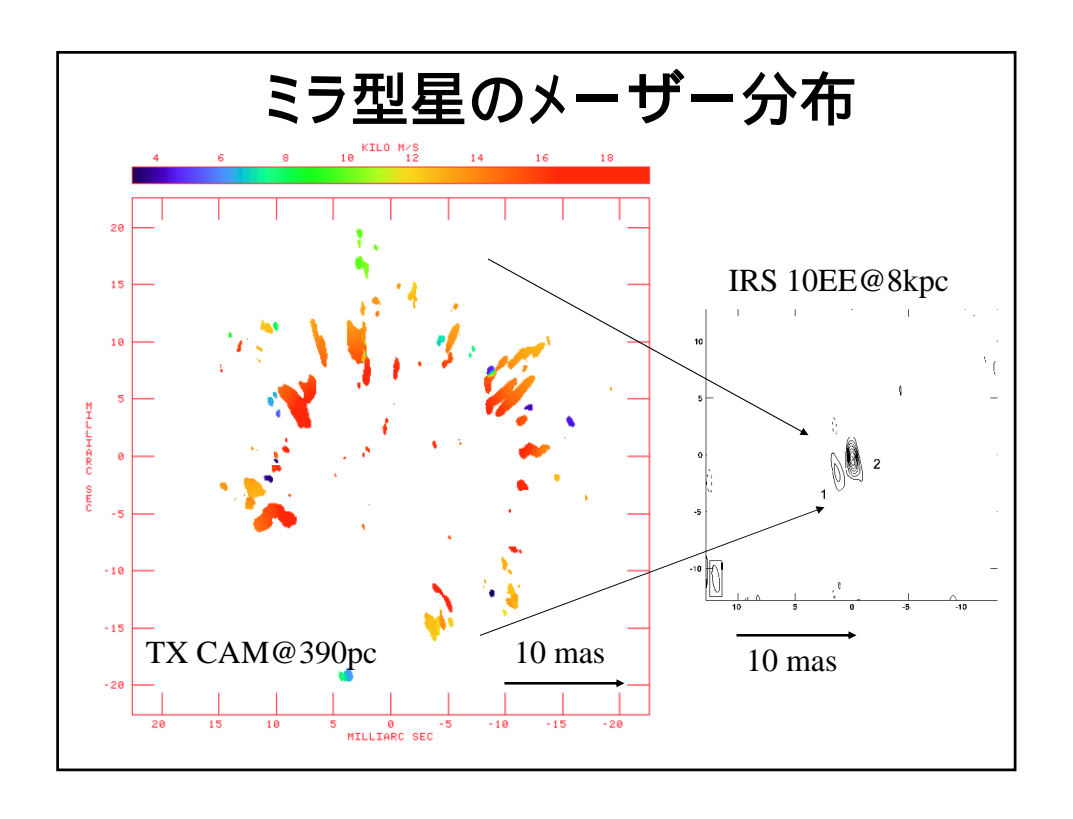
赤外mapにおける Sgr A\*の位置をより高精度で測定 (10 mas以上)

電波(SiOメーザー)と赤外両方で検出できる星をもちいて、電波での星とSgr A\*の相対位置を測定し、赤外のimageでのSgr A\*の位置を導く

- Sgr A\* (dynamical center) に対して SiOメーザーの付随した星の運動を測定 (赤外での固有運動計測は相対運動のみ)
- 銀河中心0.3pcより外側について固有精査(質量分布等)
   (赤外観測では視野、測定精度に制限約40"×40"、100 km/s > 2.5 mas/y)

過去の固有運動計測精度(VLA) ±0.16~±3.47 mas/year (メーザーの空間分布を把握できていないことによる)

高精度化に向けてメーザーの空間分布を詳細に把握する事が必要 (VLAでは分解能不足50 mas) 位相補償相対VLBI(長時間積分)



### **Observation**

● 観測日時

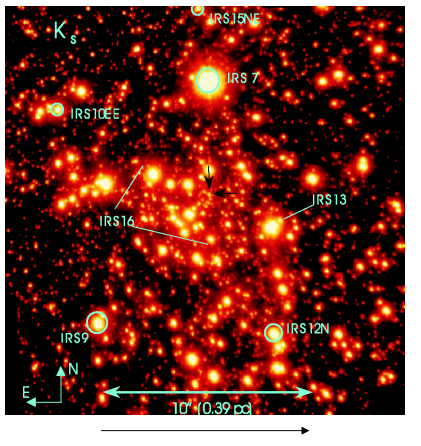
2001/05/16, 7/31 ,10/1 2003/01/11, 3/12, 10/6 2004/3/8, 20

- 観測 VLBA(位相補償長時間積分) In beam
- システム雑音温度 150K 400K
- 観測天体

SiOメーザーの付随した星(1Jy以下) IRS 7 (0.22 pc) IRS 10EE (0.35 pc) 他8天体 (~1.8 pc)

● 参照天体

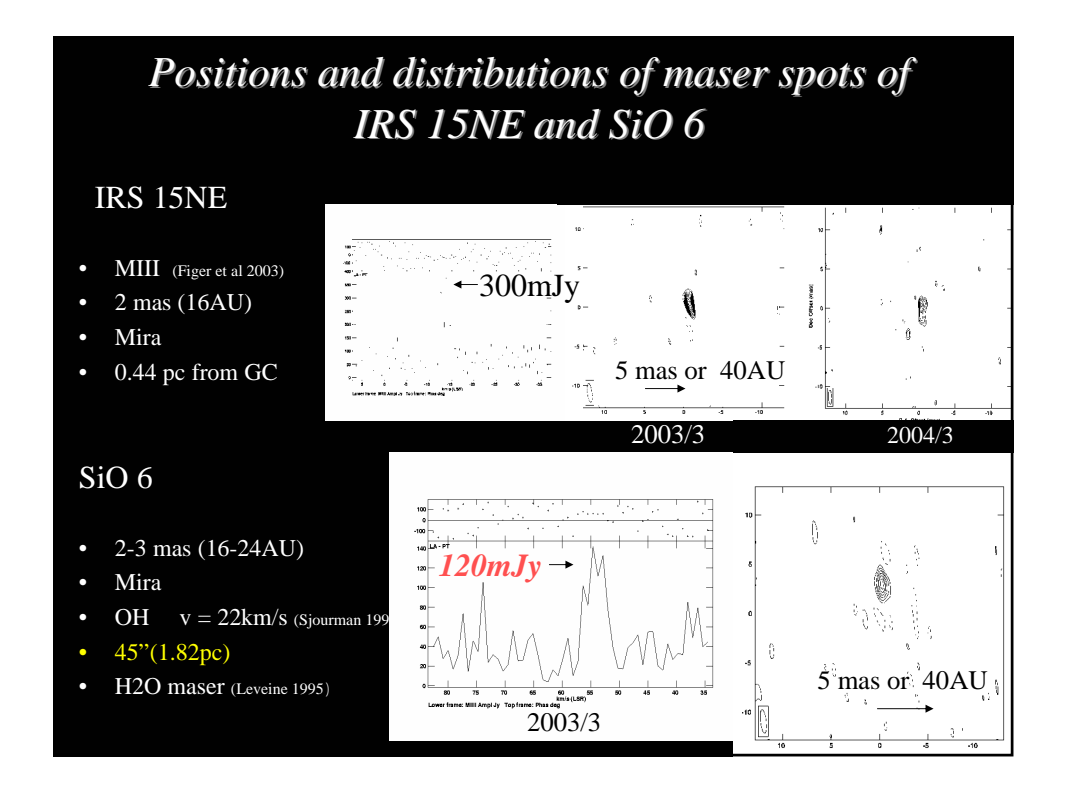
Sgr A\*

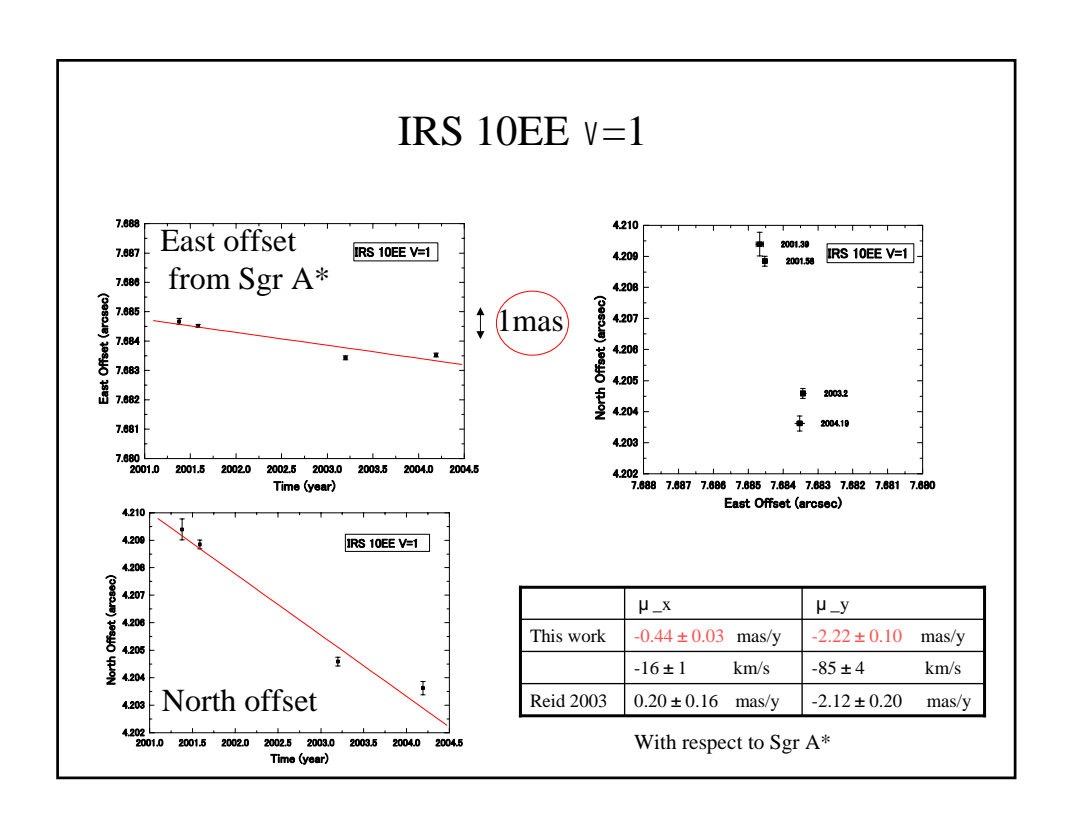


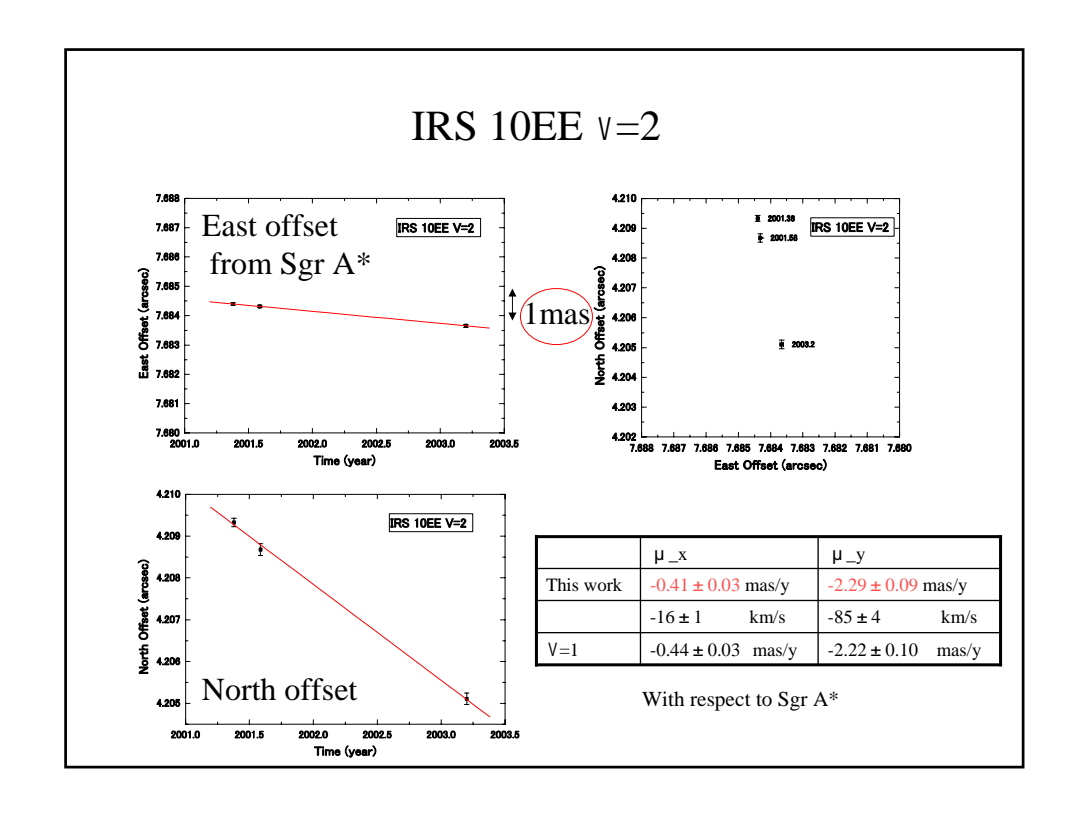
0.4 pc

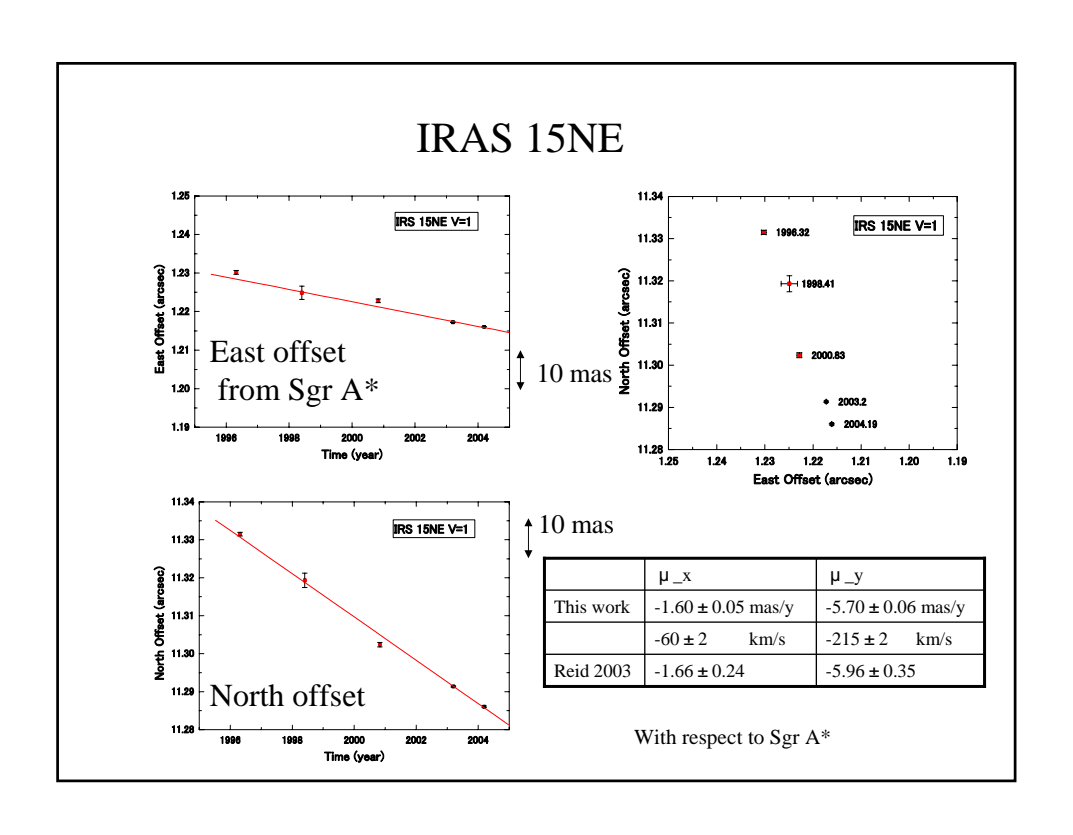
| Date        | v   | Band width      | Resolusion(Freq) | Int time(FOV) | Tracking center                         |
|-------------|-----|-----------------|------------------|---------------|---|
| 01/05 ,07   | 1,2 | 4MHz <b>×</b> 8 | 0.44 km/s        | 1 (7.6")      | 5 (Sgr A*, IRS10 EE, IRS 7, SiO6, SiO8) |
| 03/01,03,10 | 1,2 | 8MHz <b>x</b> 4 | 0.88 km/s        | 0.13 (55")    | 1 (Sgr A*)                              |
| 04/03       | 2   | 16MHz × 2       | 0.44 km/s        | 0.6 (12")     | 3 (Sgr A*, IRS 10EE, IRS 9)             |

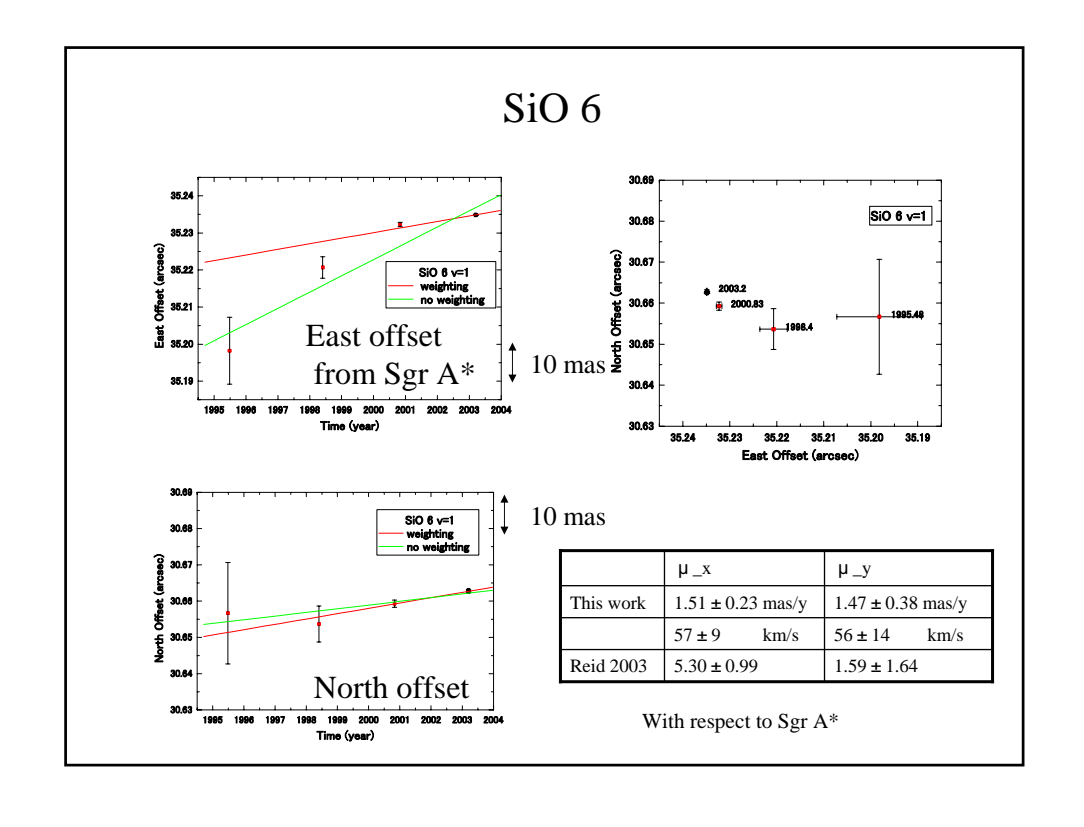
# Positions and distributions of maser spots of IRS 10EE MIII (Figer et al 2004) 2-10 mas (16-80AU) Mira or Super giant OH v = 40km/s (Sjourman 1998) Period 732 day (wood 1998) 0.34 pc from GC RESIDE 10°0.39 ccal

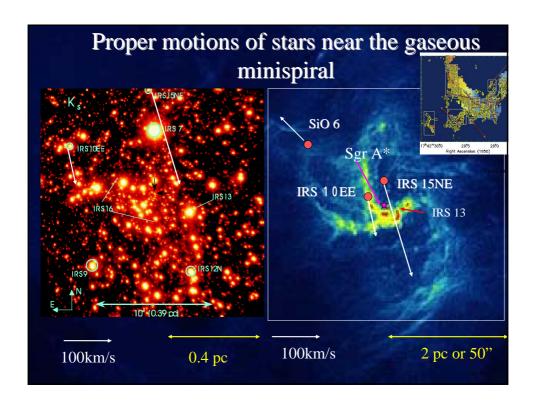


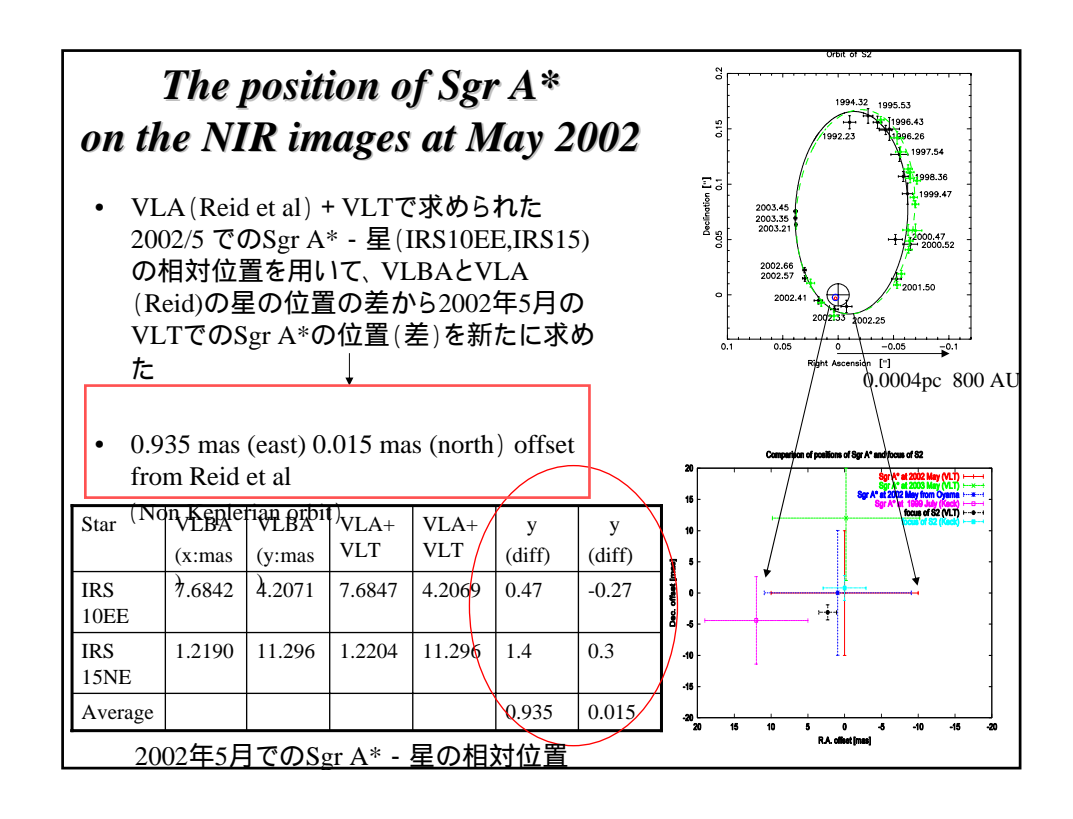


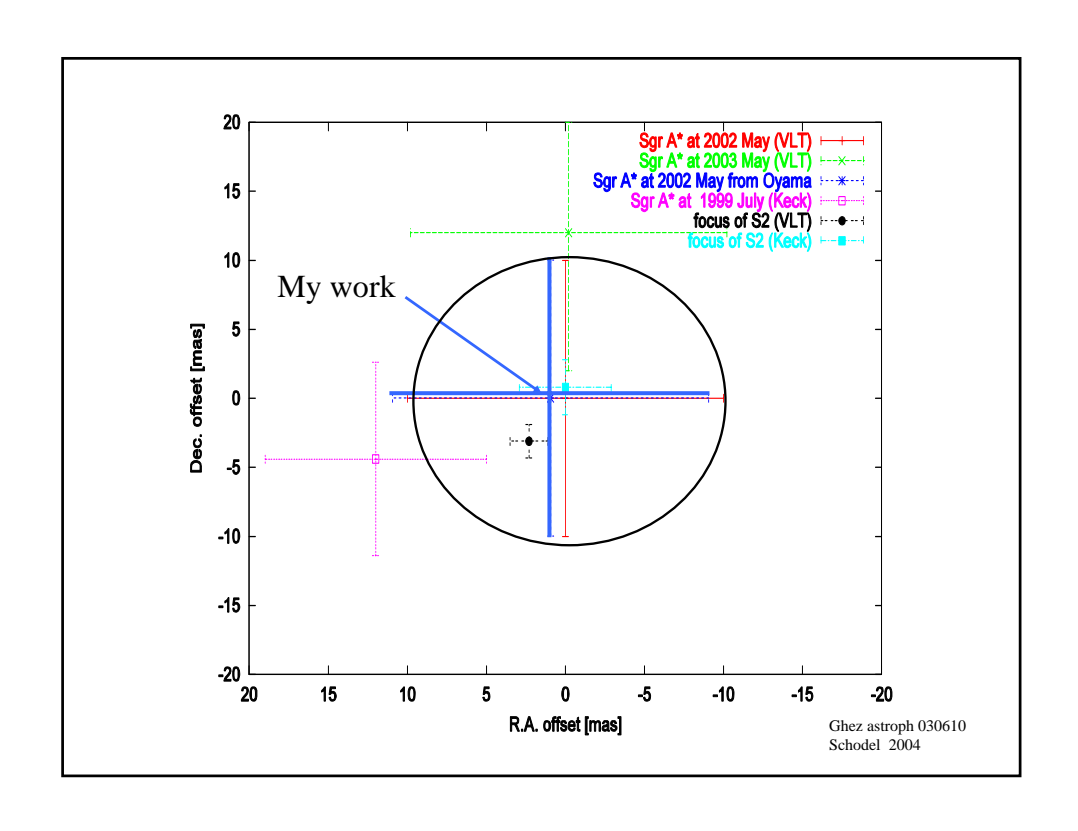


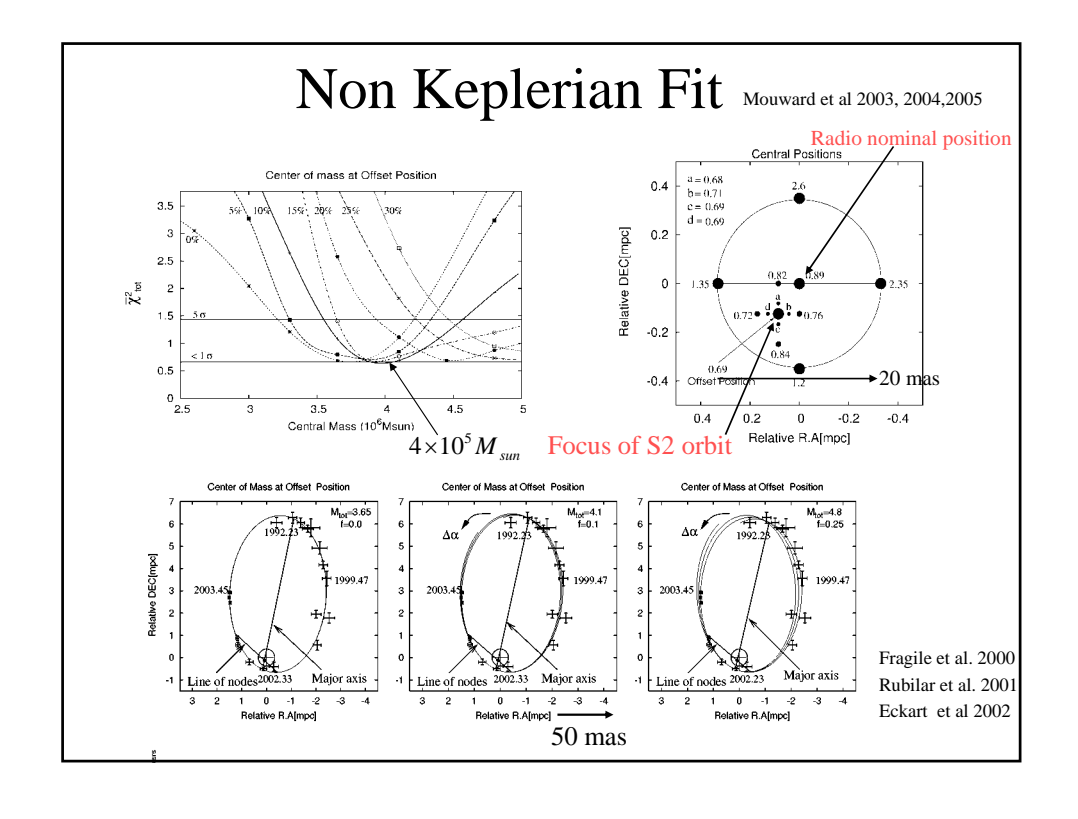












## Peculiar motion of the Sgr A\* on the NIR images?

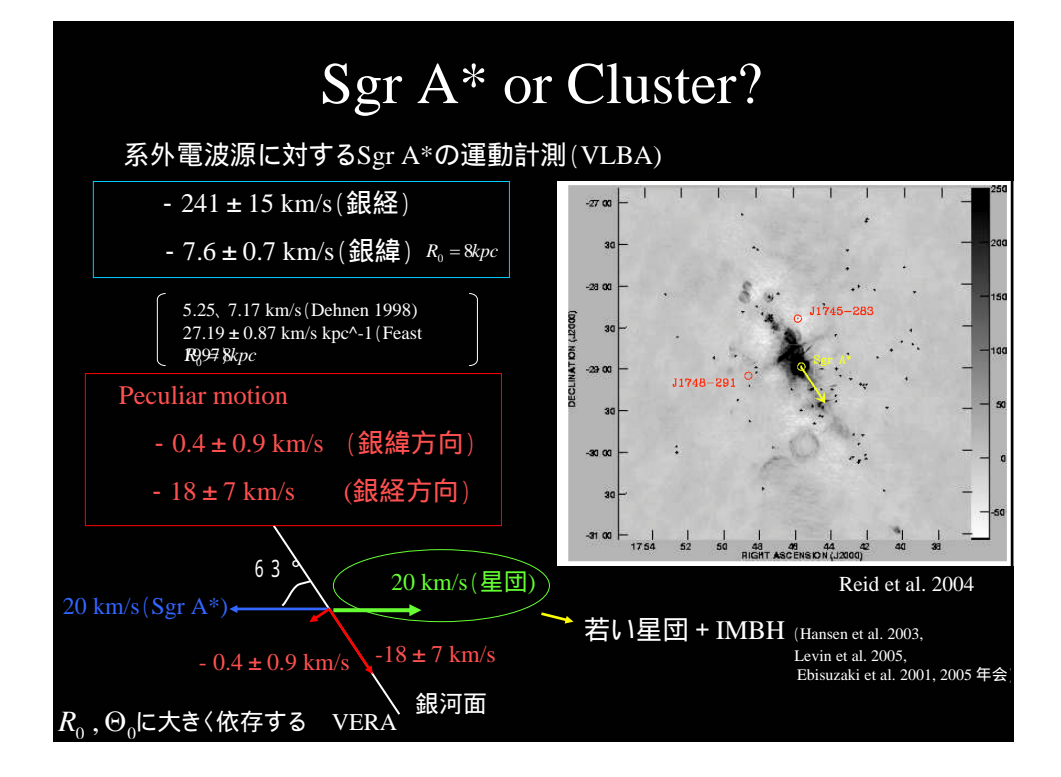
| IRS10 | μ_x                 | µ_y (radio)  | μ_x (IR)         | μ_y(IR)      | µ_x (diff)       | µ_y (diff)       |  |
|-------|---------------------|--------------|------------------|--------------|------------------|------------------|--|
| EE    | (radio)             | (mas/yr)     | (mas/yr)         | (mas/yr)     |                  |                  |  |
| VLA   | $(mas/v_{\pm})0.16$ | -2.12 ± 0.20 | $+0.08 \pm 0.32$ | -2.21 ± 0.93 | $-0.12 \pm 0.36$ | -0.09 ± 0.95     |  |
| Oyama | -0.44 ± 0.03        | -2.26 ± 0.10 | $+0.08 \pm 0.32$ | -2.21 ± 0.93 | $+0.52 \pm 0.32$ | $+0.05 \pm 0.94$ |  |

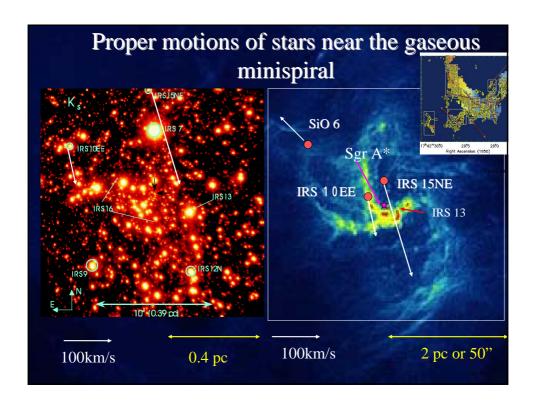
IRS 10EEの赤外、電波で計測された固有運動を比較する

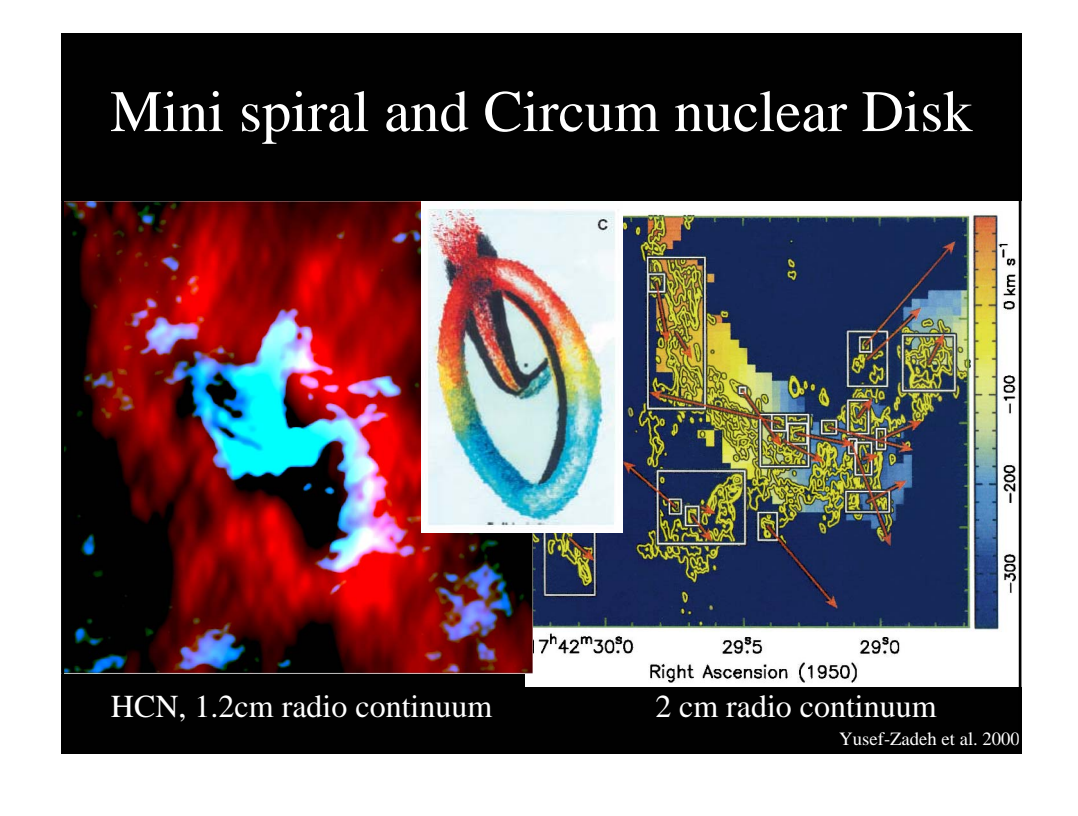
R.A方向に0.52 mas/year (20 km/s) 1.6 の運動を検出

Sgr A\*(dynamical center)に対するCluster(星団)の運動
or

Cluster (dynamical center)に対するSgr A\*の運動







## Conclusion

銀河中心近傍数 pcに存在する3つの星(1Jy以下の弱いメーザーが付随)について<mark>位相補償長時間積分</mark>によりイメージを取得し、またその固有運動を従来より5<mark>倍高精度で検出した</mark>

(従来±0.2 mas 今回 ±0.04 mas/year IRS 10EEの場合) (VLBI初検出(120mJy)

#### これにより

- 赤外imageでのSgr A\*の位置が (Reid 2003)の値より0.935 mas 東へ づれている事を見出した (4×10<sup>5</sup> M<sub>sum</sub> 以上のdark massの存在を示唆)
- Star clusterが銀河中心Sgr A\*(dynamical center) に対して 20 km/s(1.6 )で動いている事を見出した
- 銀河中心 0.4 pc(projected)以内の質量下限値 2.7×10<sup>6</sup> M <sub>sm</sub> を求めた

# Future and Present works

- 赤外による銀河中心の観測(すばる)
- \_0、R\_0 の精密計測(数10km/s以内) VERA
- メーザーの強度変動をモニター

IRS 7 (Super giant 10 masの広がり)

IRS28 (固有運動計測精度 現状 ± 2-3 mas)

VERA+Nobeyama(45m)+kashima(34m)

(感度向上2倍、速度幅 800km/s、

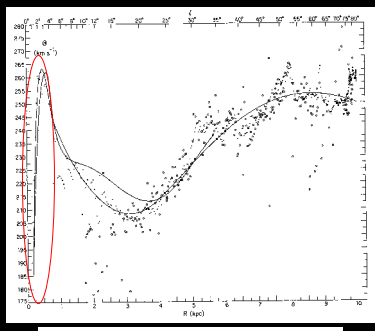
視野50秒、V=1,2同時観測)

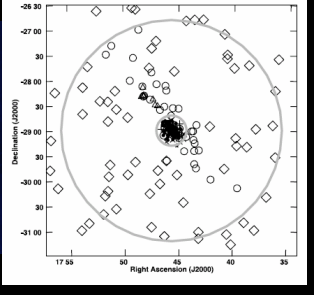
• 0-0.3 ° (switching or In beam, maser reference)
0.3-2 ° (VERA)
mini spiral (2 pc)

CND (3-10 pc)

CMZ (~300 pc、2度以内)

Bulge





| Object   | v | May 01 | Jul 01 | Oct 01 | Jan 03 | Mar 03 | Oct 03 | Mar 04a | Mar 04b      |
|----------|---|--------|--------|--------|--------|--------|--------|---------|--------------|
| IRS 10EE | 1 | yes    | yes    | no     | yes    | yes    | yes    | yes     | yes -27m/s   |
|          | 2 | yes    | yes    | no     | yes    | yes    | yes    |         |              |
| IRS 12N  | 1 | no     | no     | no     |        |        |        |         | 63km/        |
|          | 2 | no     | no     | no     |        |        |        |         |              |
| IRS 15NE | 1 | no     | no     | no     | no     | yes    | no     | yes     | no -12km/    |
|          | 2 | no     | no     | no     | no     | yes    | no     |         |              |
| IRS 9    | 1 |        |        |        |        |        |        | no      | no -340km    |
|          | 2 |        |        |        |        |        |        |         |              |
| IRS 7    | 1 | no     | no     | no     |        |        |        | no      | no -120km    |
|          | 2 | no     | no     | no     |        |        |        |         |              |
| IRS 28   | 1 | no     | no     | no     |        |        |        | no      | no -55m/s    |
|          | 2 | no     | no     | no     |        |        |        |         |              |
| SiO 6    | 1 | no     | no     | no     | no     | yes    | no     |         | ··· +52km/   |
|          | 2 | no     | no     | no     | no     | yes    | no     |         | 132KH        |
| SiO 8    | 1 | no     | no     | no     | no     | no     | no     |         | ··· +72km/   |
|          | 2 | no     | no     | no     | no     | no     | no     |         |              |
| IRS 17   | 1 |        |        |        | no     | no     | no     |         | · · · +75km/ |
|          | 2 |        |        |        | no     | no     | no     |         |              |
| SiO 12   | 1 |        |        |        | no     | no     | no     |         | · · · +82km/ |
|          | 2 |        |        |        | no     | no     | no     |         |              |

<sup>&</sup>quot;yes" represents detection.



<sup>&</sup>quot;no" represents nondetection. Upper limits are shown in Table 5.1.

... represents out of observed band.

## 近赤外サーベイ観測による 銀河系中心領域における 若い星の選出

村井 優香(京大) 長田哲也、永山貴宏(京大)、西山正吾(名大) IRSF/SIRIUSグループ

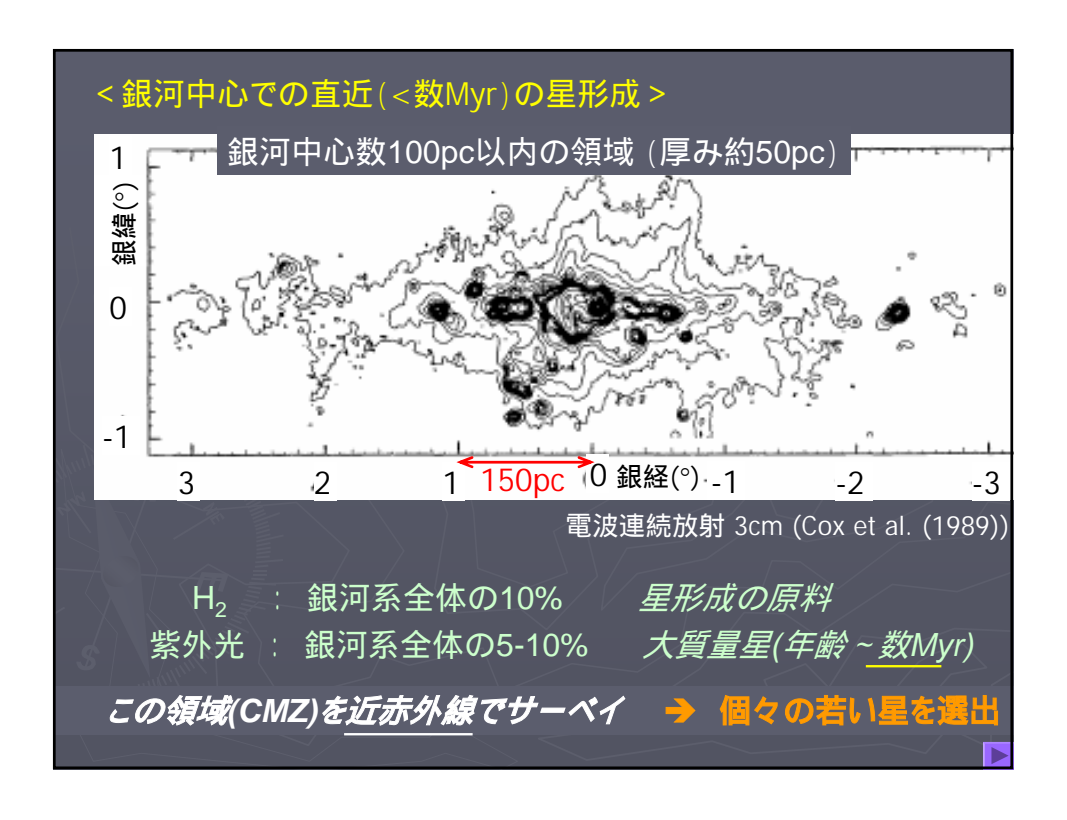
## 1.イントロダクション

#### 目標:

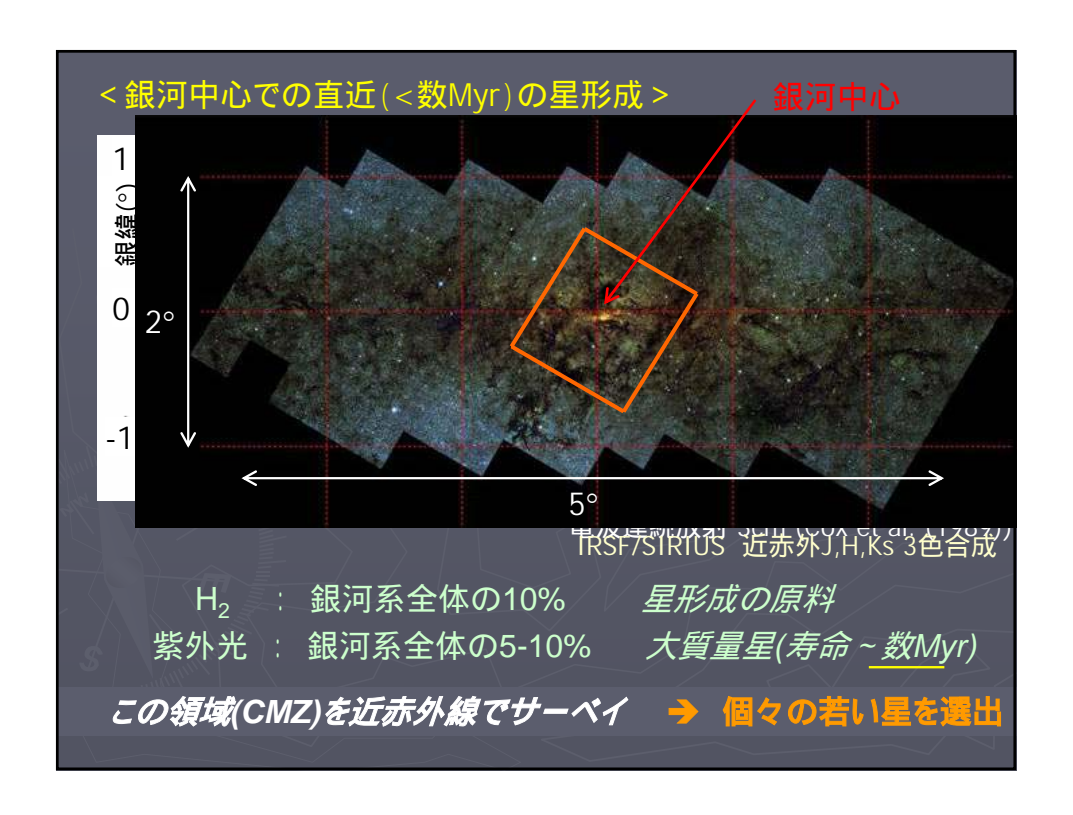
銀河系の中心部における 若い星(O型星、YSOs)の数と分布を知る

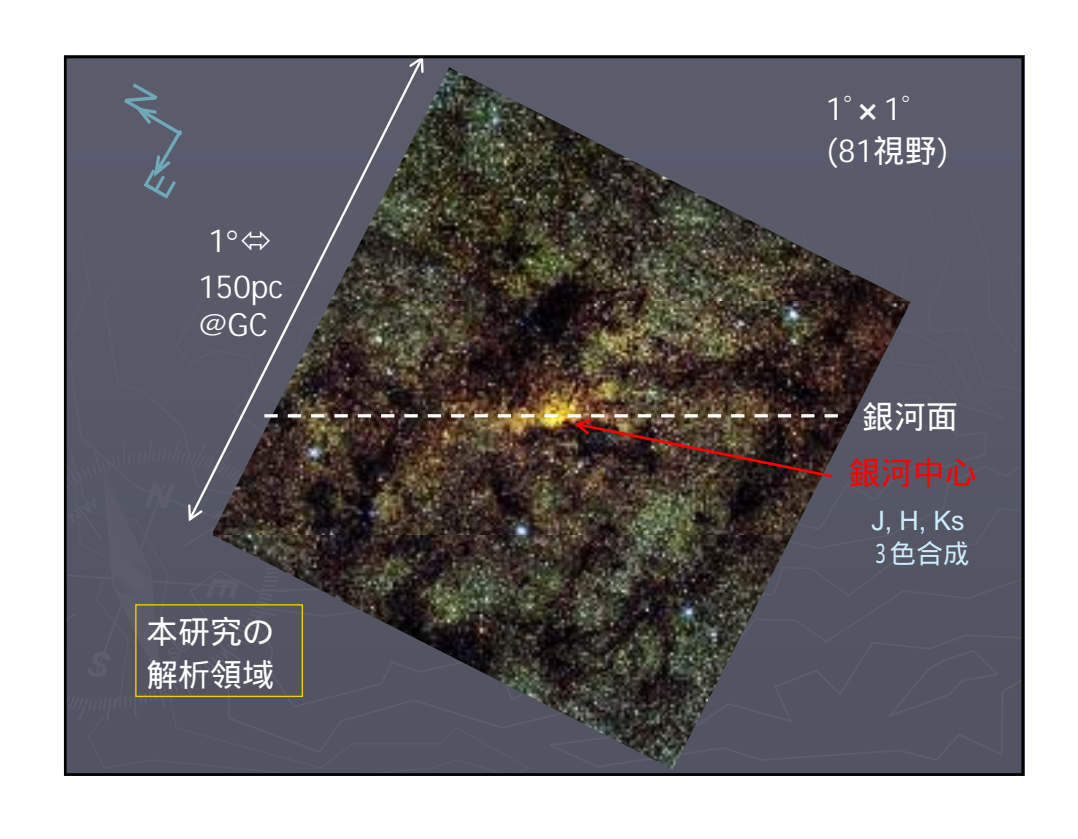
→銀河中心の最近数Myrの星形成の様子

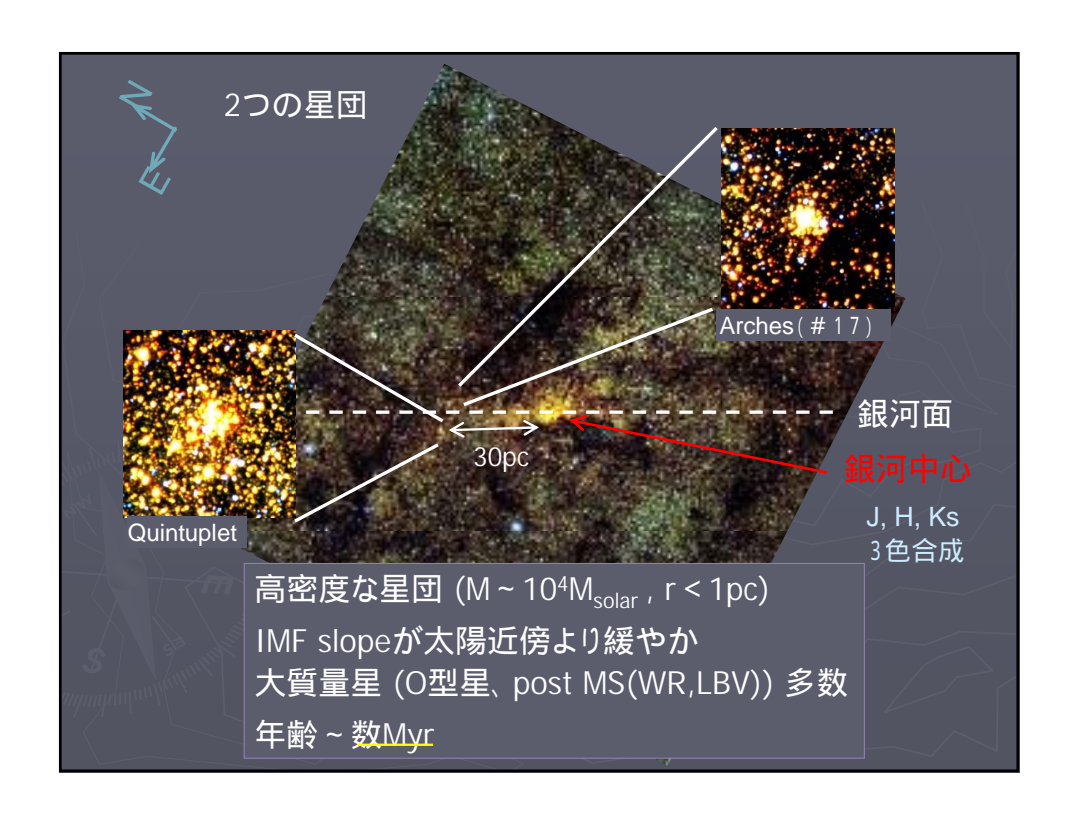
銀河系のバルジ・・・古い(~8Gyr)星がほとんど しかし、中心数100pc以内では、直近(<数Myr)に星形成

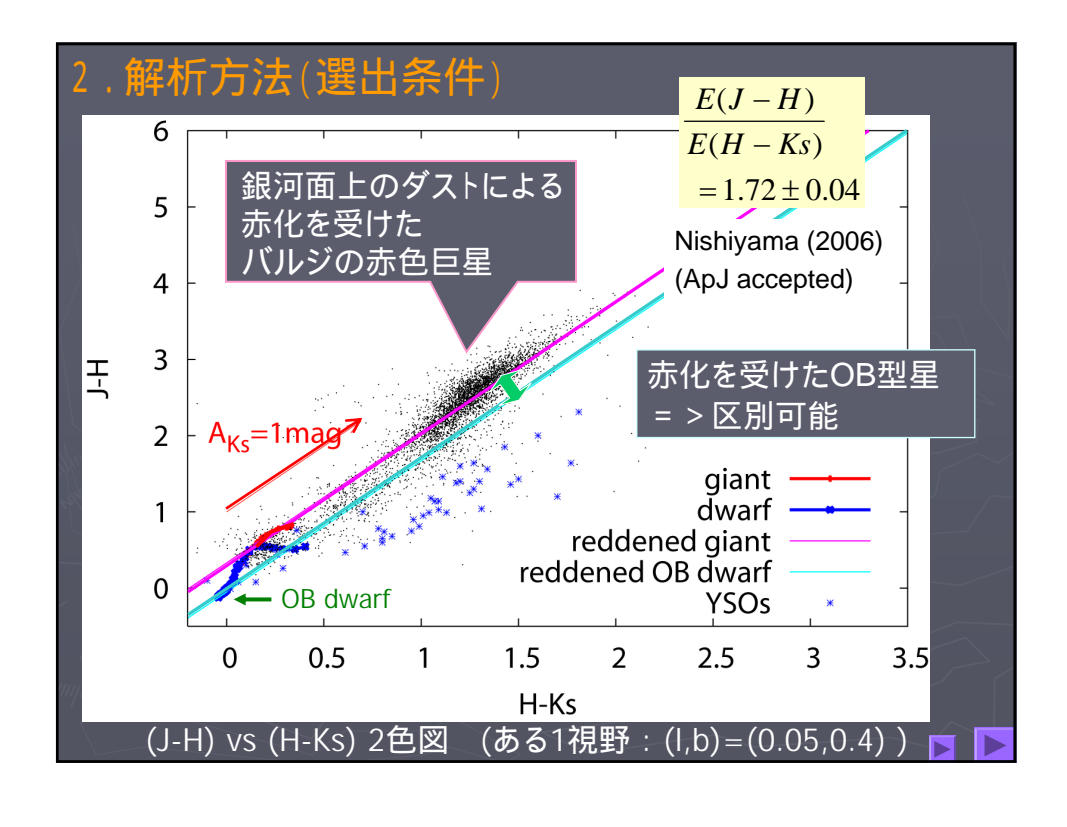


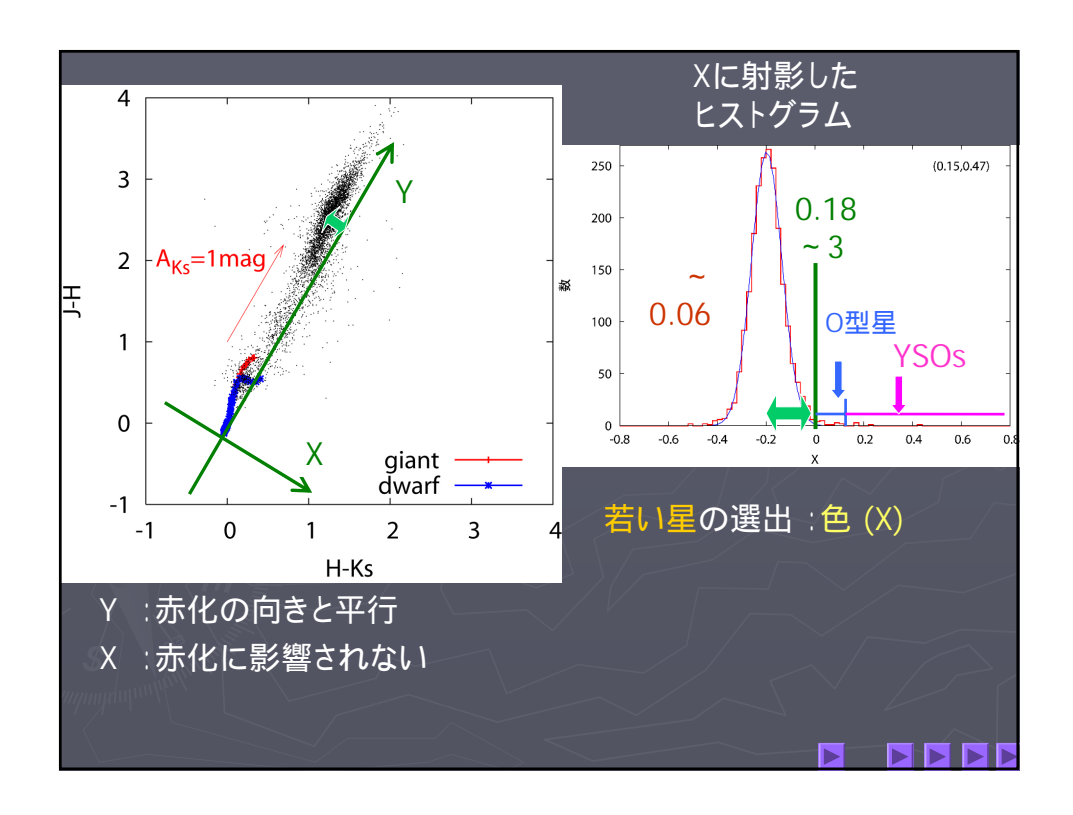


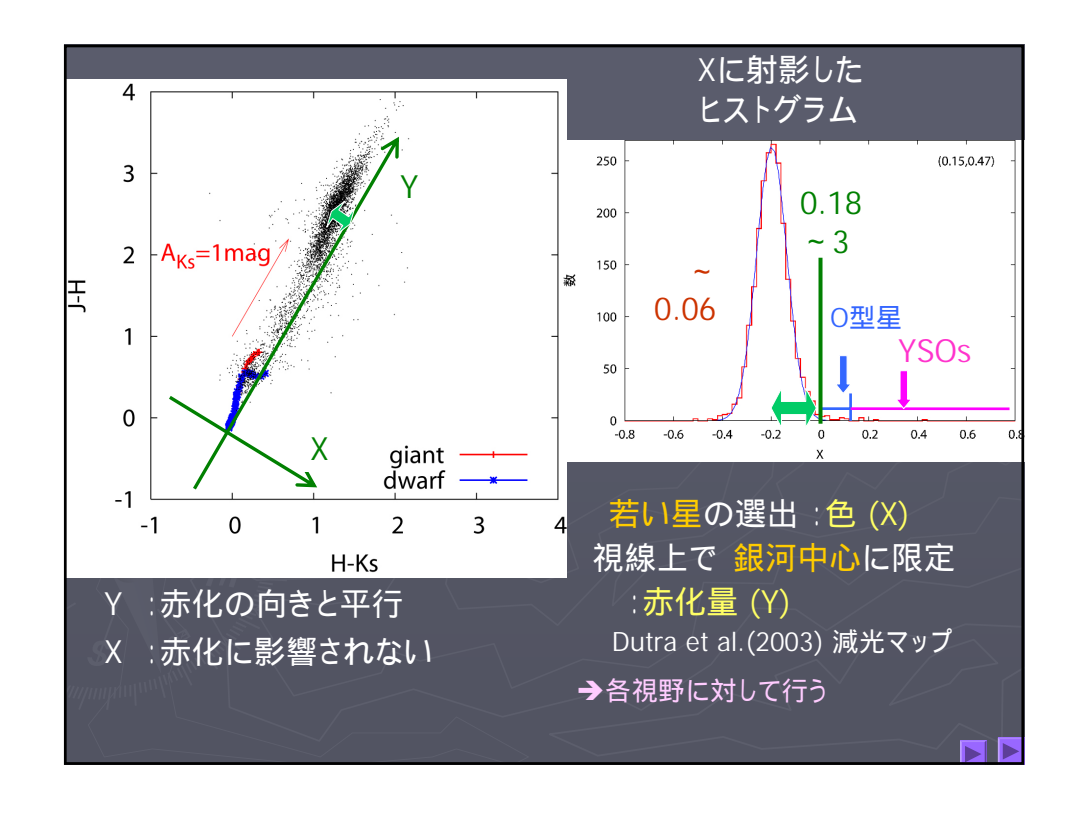


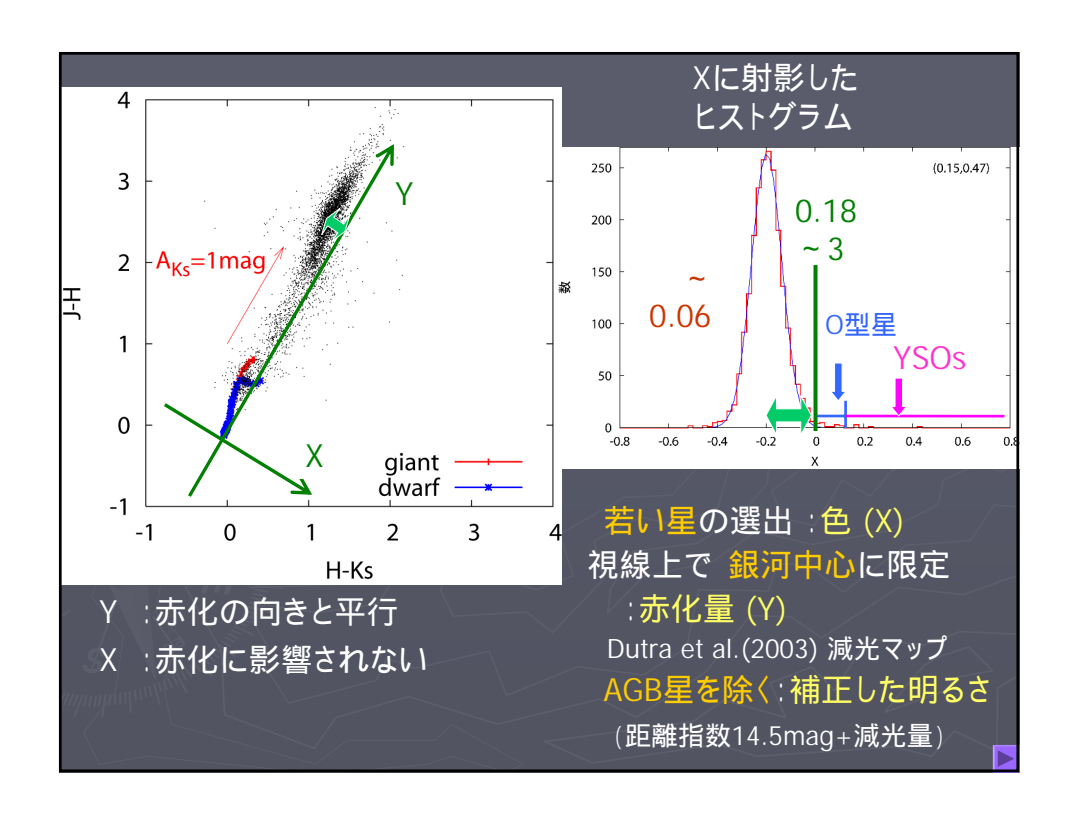


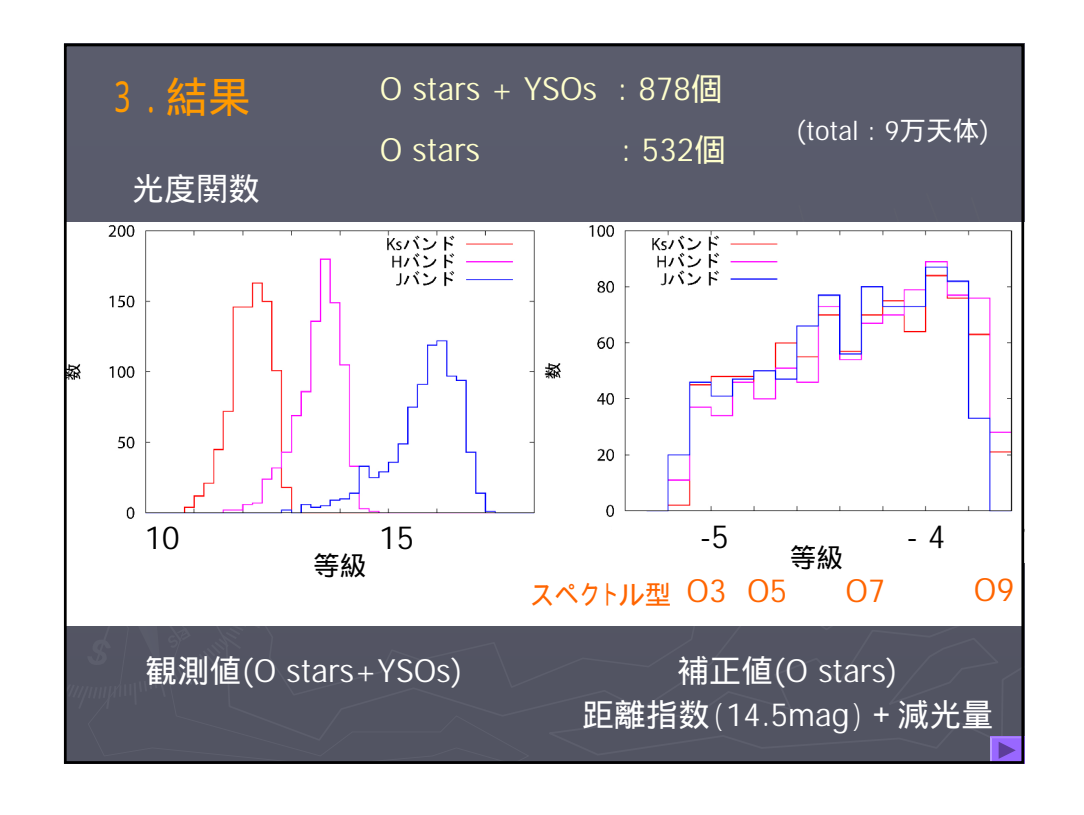


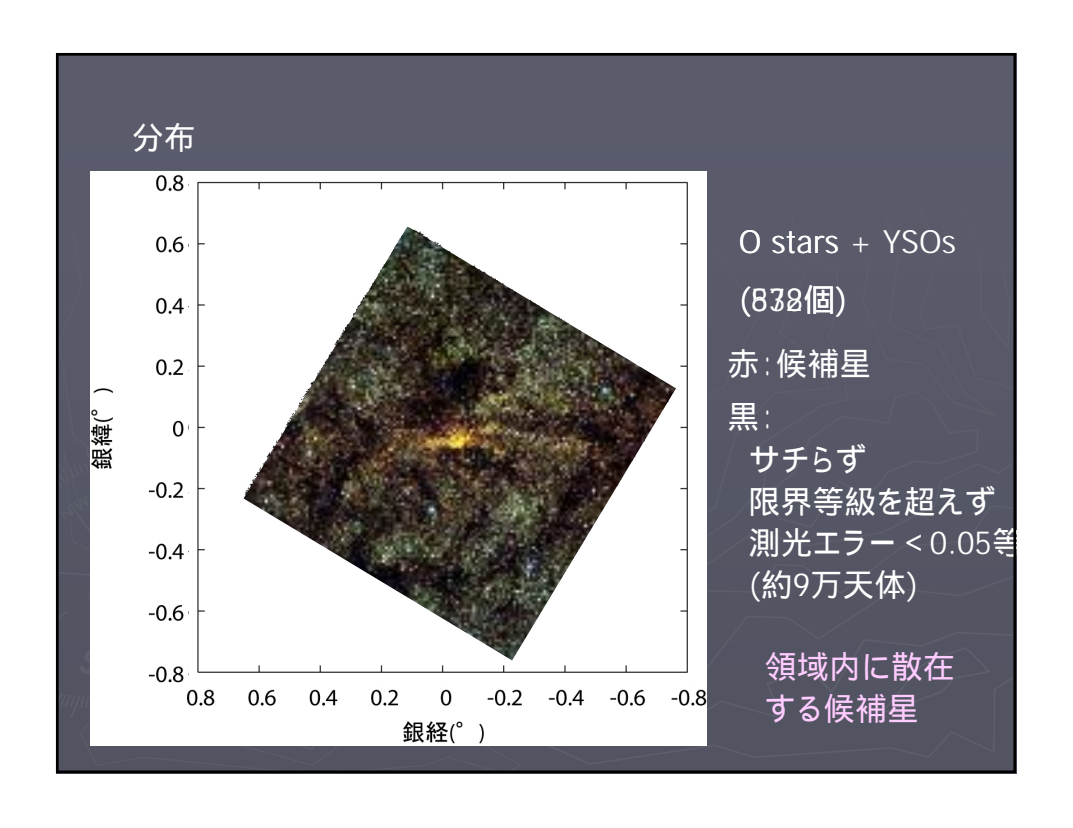


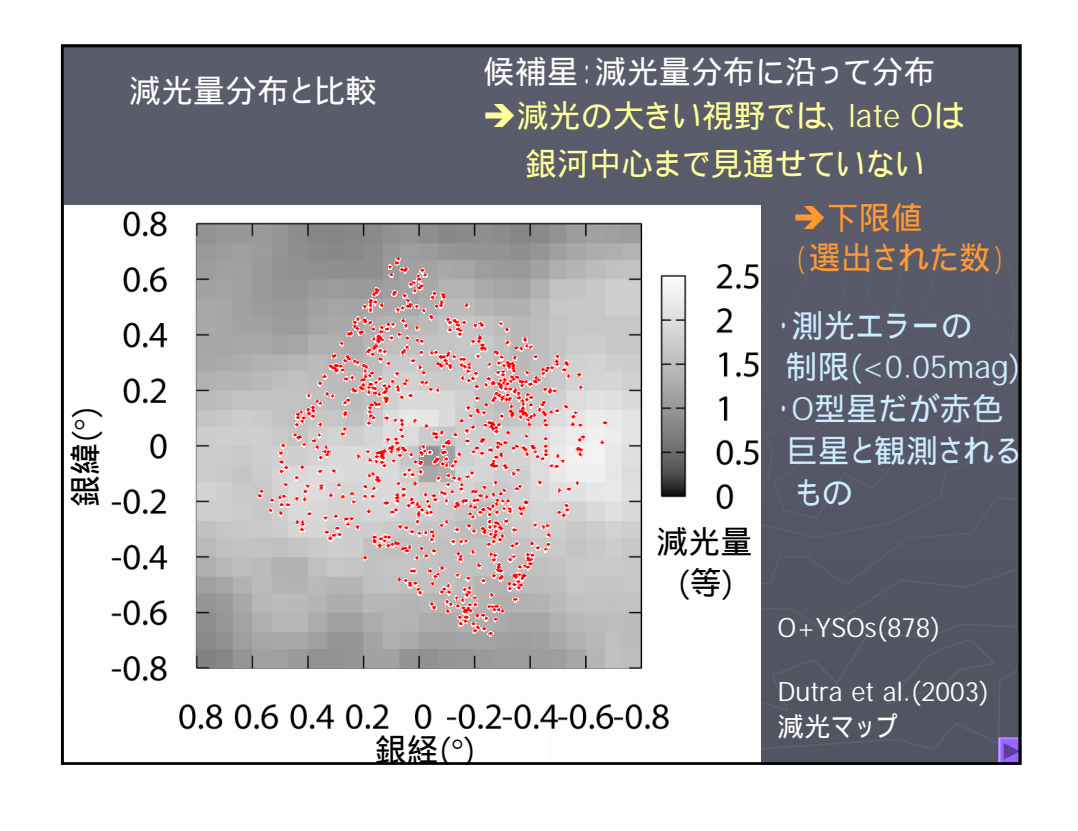


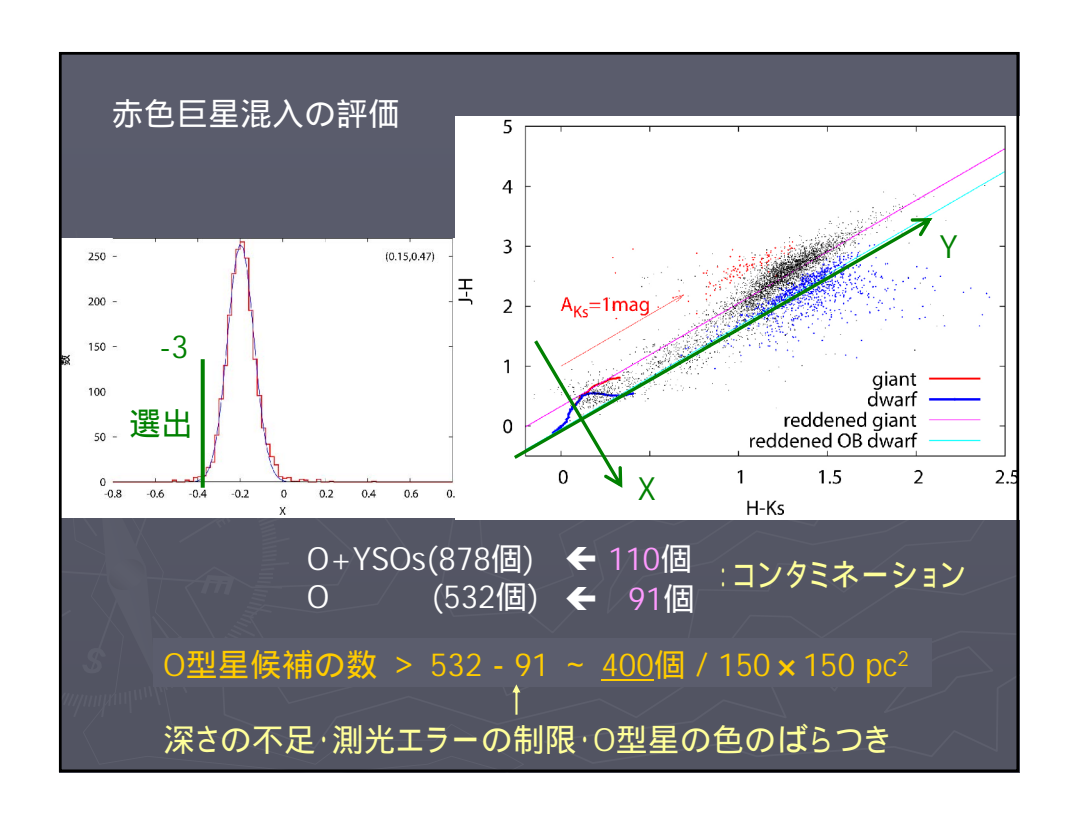


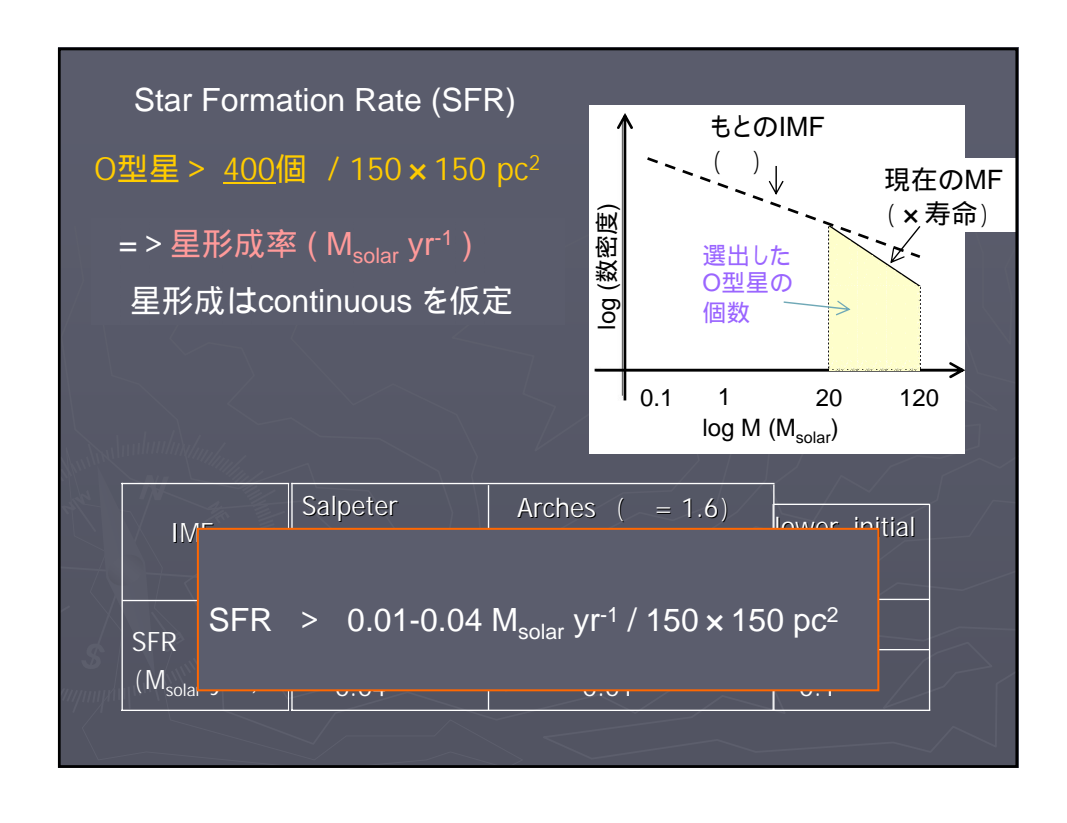












## Star Formation Rate (SFR)

SFR >  $0.01-0.04 \text{ M}_{\text{solar}} \text{ yr}^{-1} / 150 \times 150 \text{ pc}^2$ 

Quintuplet, Arches:

<質量>数×10<sup>4</sup> M<sub>solar</sub> → ~0.01 M<sub>solar</sub>yr<sup>-1</sup> / 星団

<年龄>数×10<sup>6</sup> yr

: これ以上の星形成(150pc四方で星団以外に)

Figer(2003): 星質量 → 0.02 M<sub>solar</sub>yr<sup>-1</sup>

/銀河中心から半径30pc以内

面密度で小さい:下限値であるからよい・星形成が中心集中?

## number of UV photon (N<sub>Lvc</sub>)

 $N_{Lyc} > 6-9 \times 10^{51} \text{ photons s}^{-1} / 150 \times 150 \text{ pc}^2$ 

Quintupletの大質量星 → 0.8 x 10<sup>51</sup> photons s<sup>-1</sup> の大質量星 → 4 × 10<sup>51</sup> photons s<sup>-1</sup> Arches

Mezger & Pauls (1979): CMZ全域 → 1.7 x 10<sup>52</sup> photons s<sup>-1</sup> :約半分を説明可能

## 6. まとめ

銀河中心 150pc四方の領域で若い星(O型星、YSOs)を選出 (近赤外2色図を用いて)

O型星候補532個、O型星+YSOs候補878個 (赤色巨星の混入が約100個)

領域内に散在する候補星

(下限値として)星形成率は  $0.01-0.04M_{solar}yr^{-1}$ 、 UV photonは $6-9 \times 10^{51}$ photons  $s^{-1}$ 

課題:解析領域の拡大、銀経・銀緯依存性

分光観測による同定

(スペクトルアトラス: Hanson et al., 1996・2005)

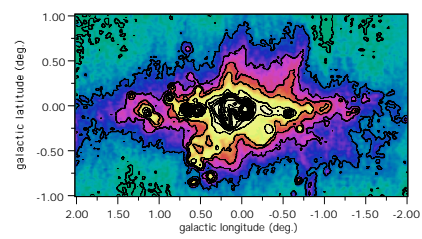
## 銀河系中心超新星残骸SgrAeast と50 km/s分子雲との相互作用

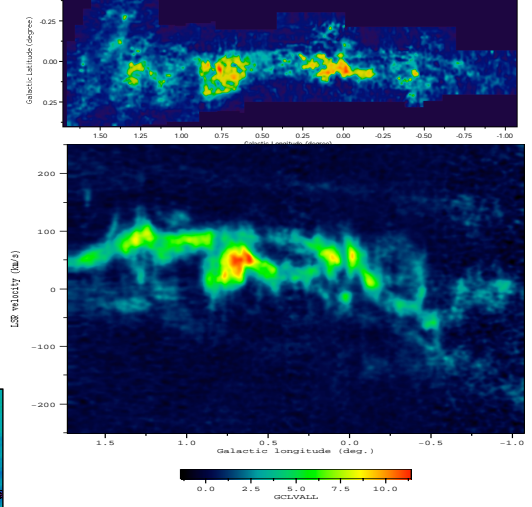
坪井昌人(国立天文台野辺山宇宙) 宮崎敦史(上海天文台) 奥村幸子(国立天文台野辺山宇宙)

## 銀河系中心分子雲:CMZ

CSJ=1-0

- · 分子雲の総量は1x108太陽質量である。
- ・ 銀河系全体の10%の中性ガス(水素分子ガス、水素原子ガス)が集中している ことになる。
- 分子ガス平均密度は10<sup>2</sup>cm<sup>-3</sup>程度以上である。
- · 銀経450pcx銀緯50pc
- · 観測される速度幅 10-50 km/s
- 銀河系中心の銀河回転の速度は 200km/s以上である。分子雲は100km/s 以下に集中している。
- ・ 5割の分子ガス正銀経かつ正速度



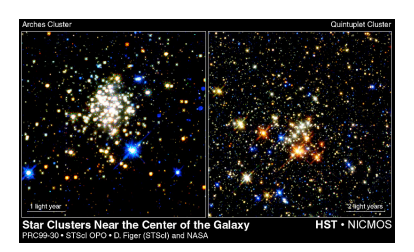


この領域の電波/赤外線の強度によると分子 ガスの割に星は生まれていない。平均した星 生成率は円盤部に比べて低く1/10である。

#### 銀河系中心領域の分子雲の広い速度幅

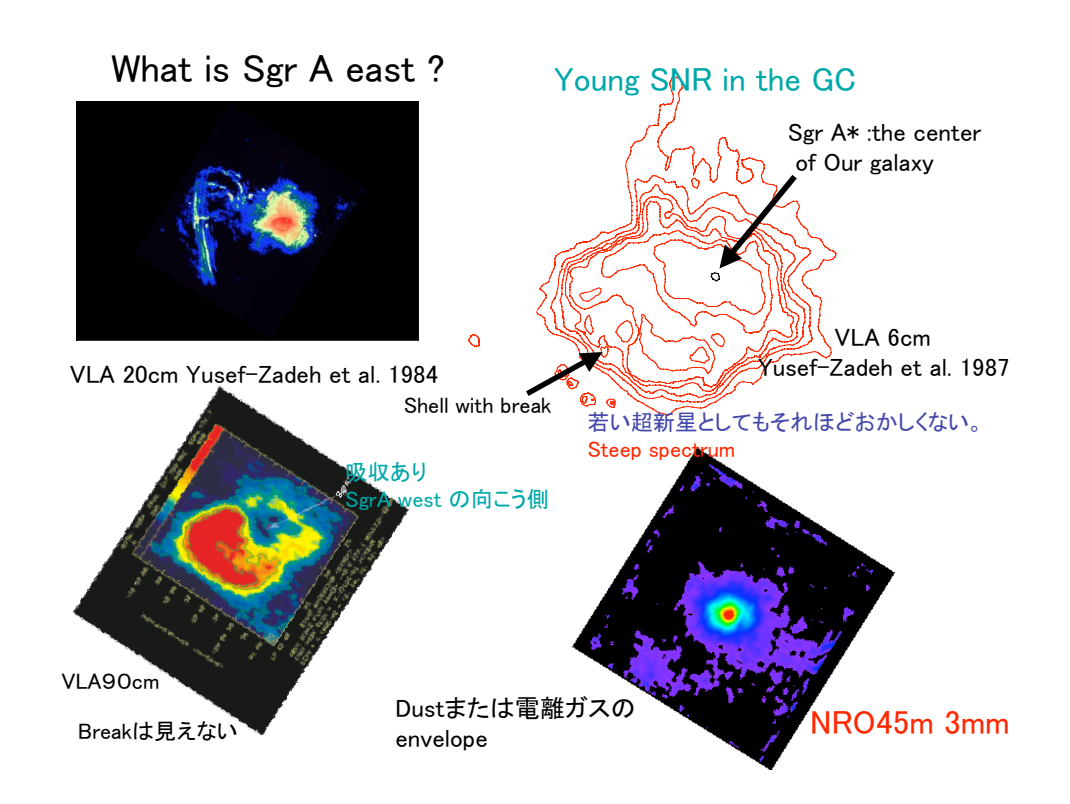
#### 原因

- 1) 超新星/超新星の連鎖による分子雲への影響
- 2)分子雲同士の衝突
- 3)はげしい星生成
- 一>銀河系中心領域の星生成にどんな影響を与えているのか?
- 銀河系中心は円盤部で見ることができない明るいArches Cluster, Quintuplet Cluster, そして Central Clusterなど高密度な星団が存在する。これらはどうやってできたのだろうか?



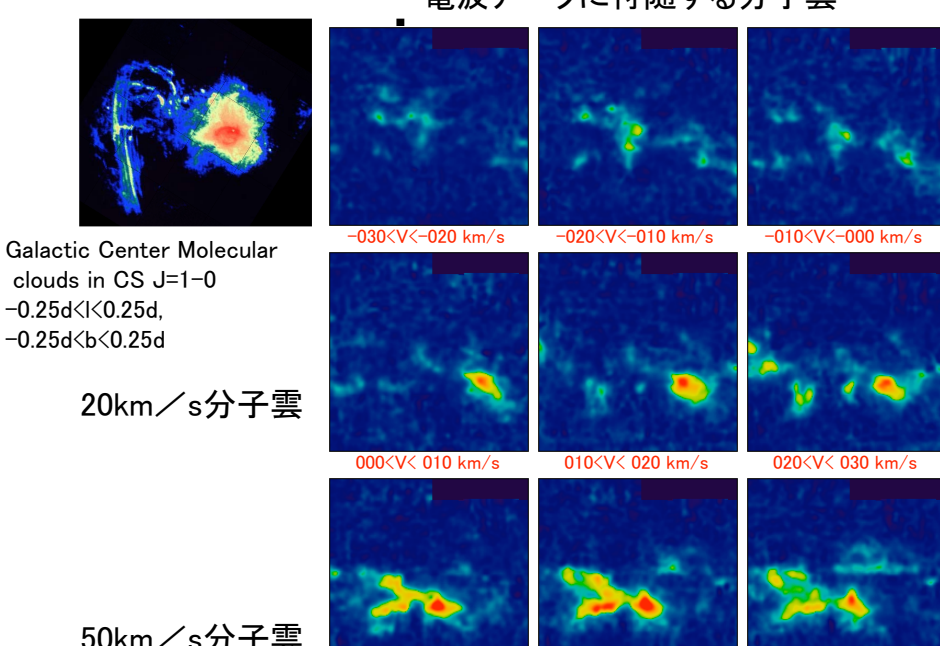
#### 超新星と分子雲の衝突をケーススタディとして調べる

・ 銀河系中心超新星残骸SgrAeastと50km/s分子雲



#### 電波アークに付随する分子雲

050<V< 060 km/s



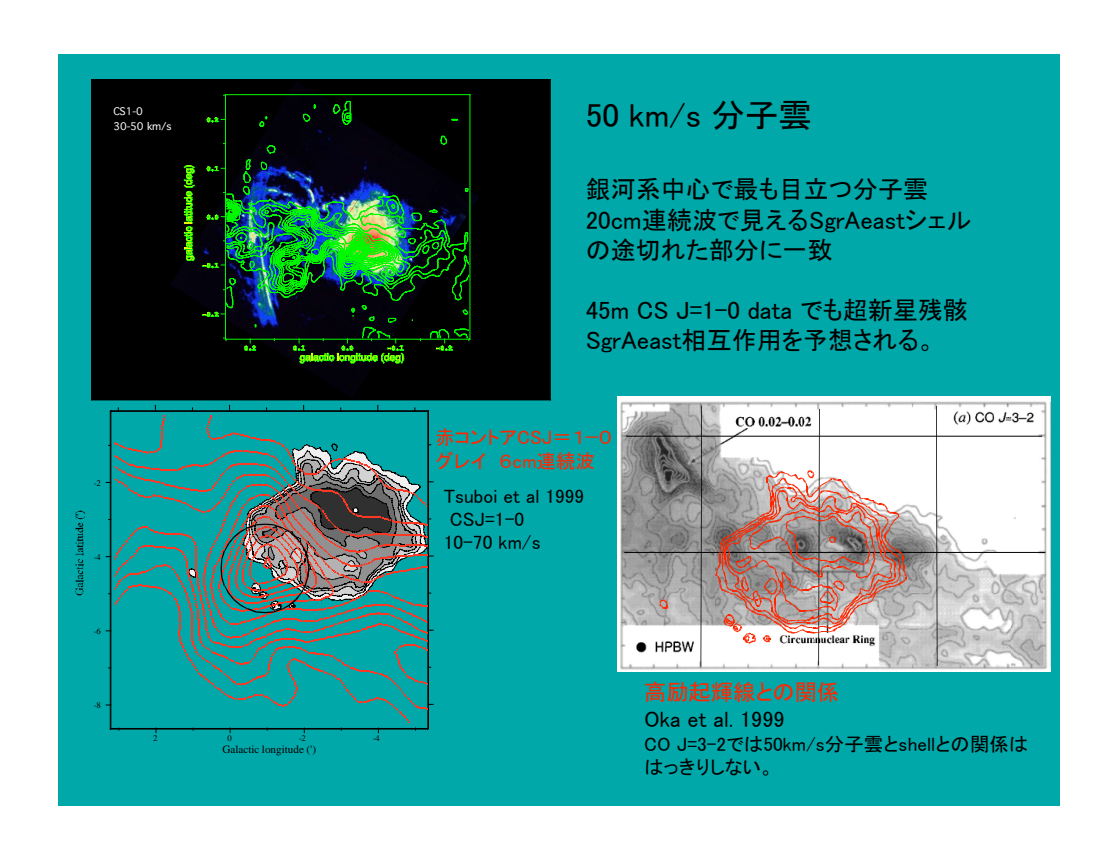
50km/s分子雲

## 銀河系中心超新星残骸SgrAeast と50 km/s分子雲: 観測

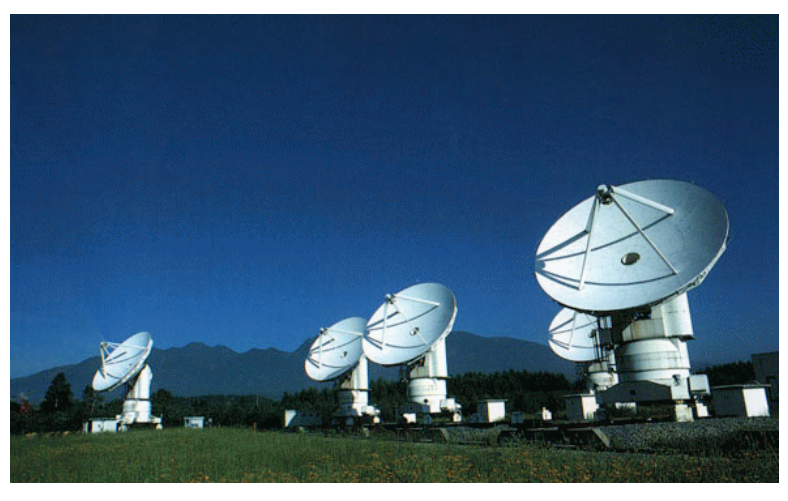
040<V< 050 km/s

・ 以下、野辺山ミリ波干渉計を用いてCSJ=1-0輝線で行な われた銀河系中心50 km/s分子雲の観測の解析結果を 報告する。

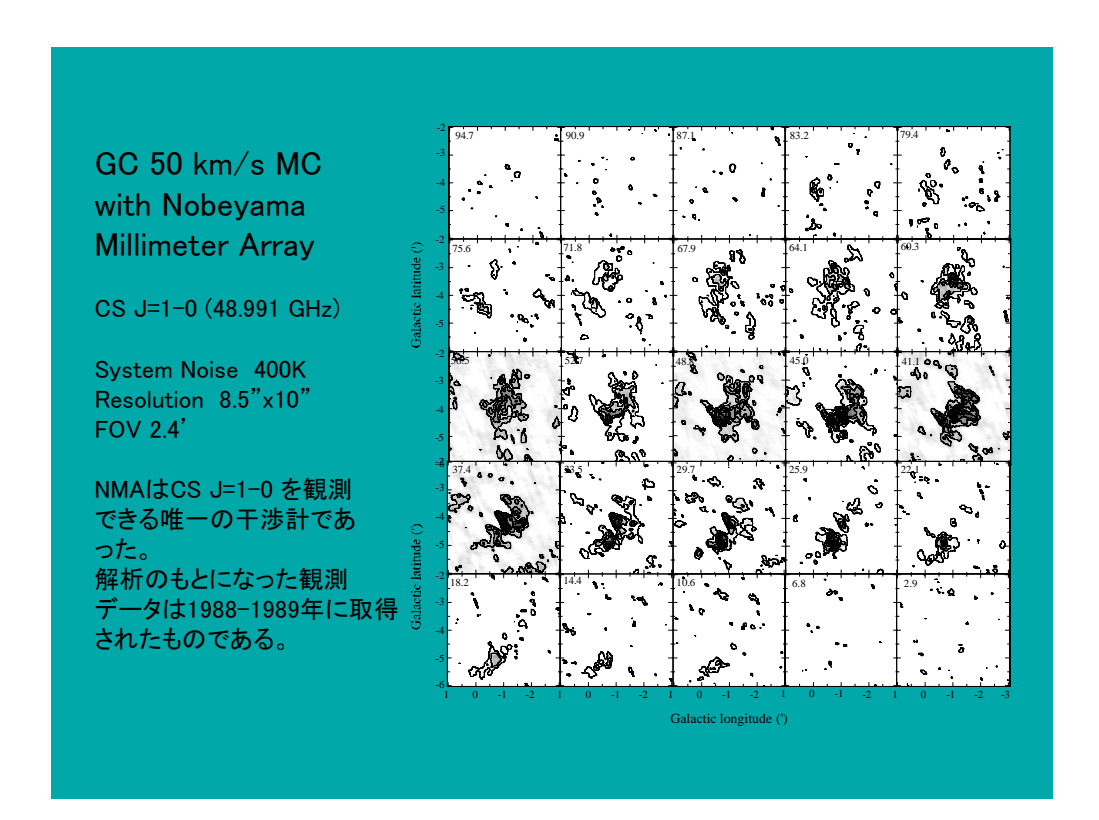
今回の高分解能観測により相互作用の確かな証拠と この相互作用により起こる分子雲の性質の変化が捉え れると期待できる。45m鏡の観測から50 km/s分子雲が SgrAeastに食い込んでいるように見える部分があり、そこ を観測した。

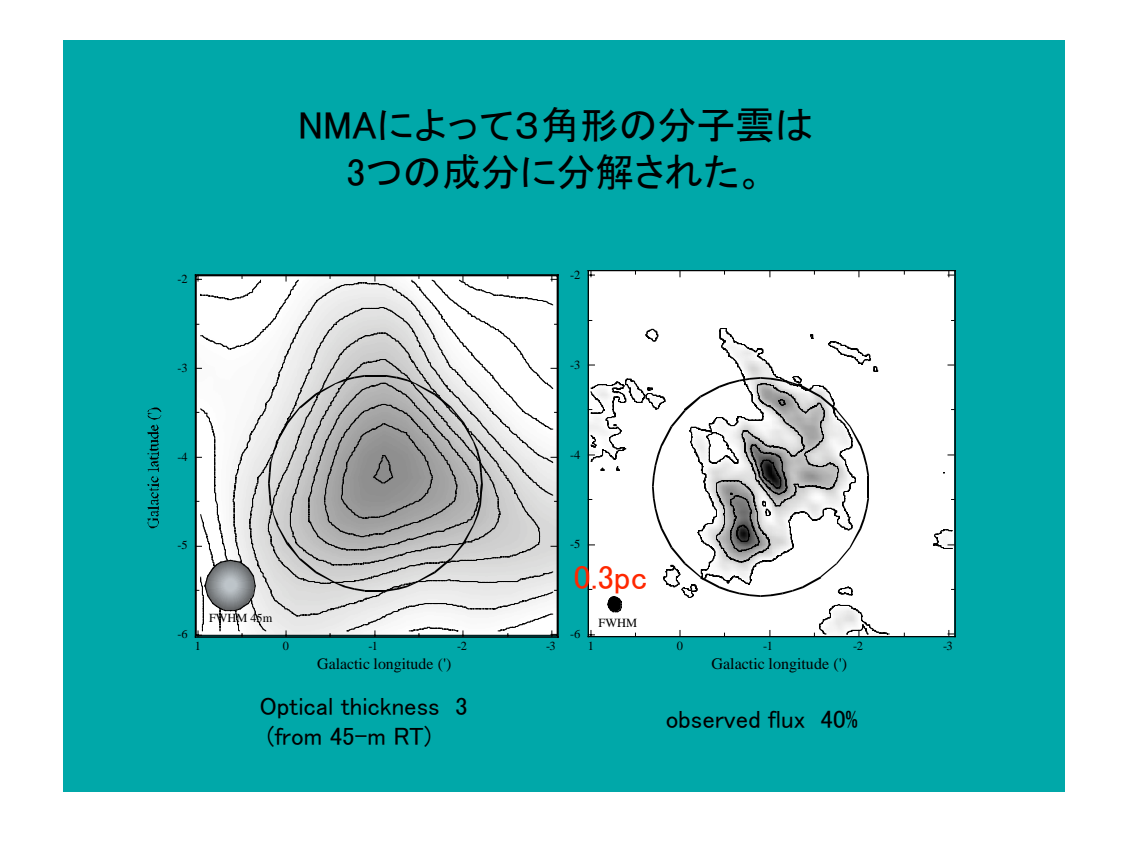


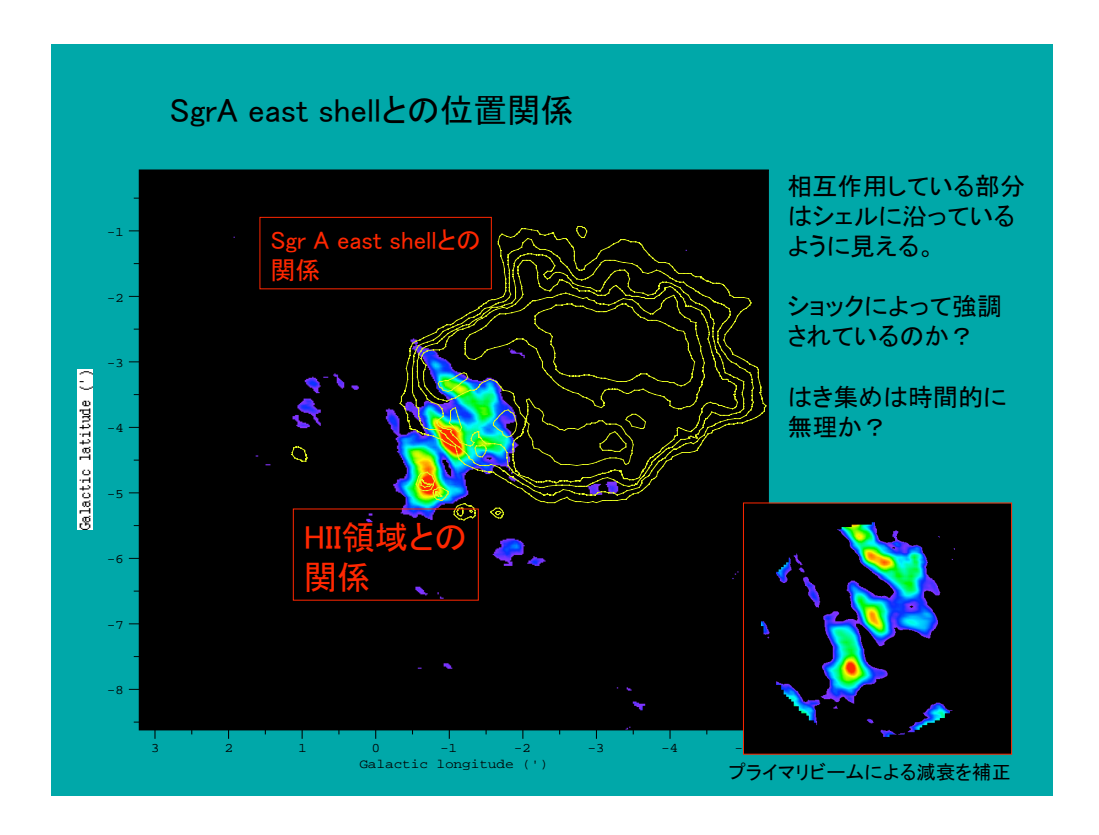
## 野辺山宇宙電波観測所

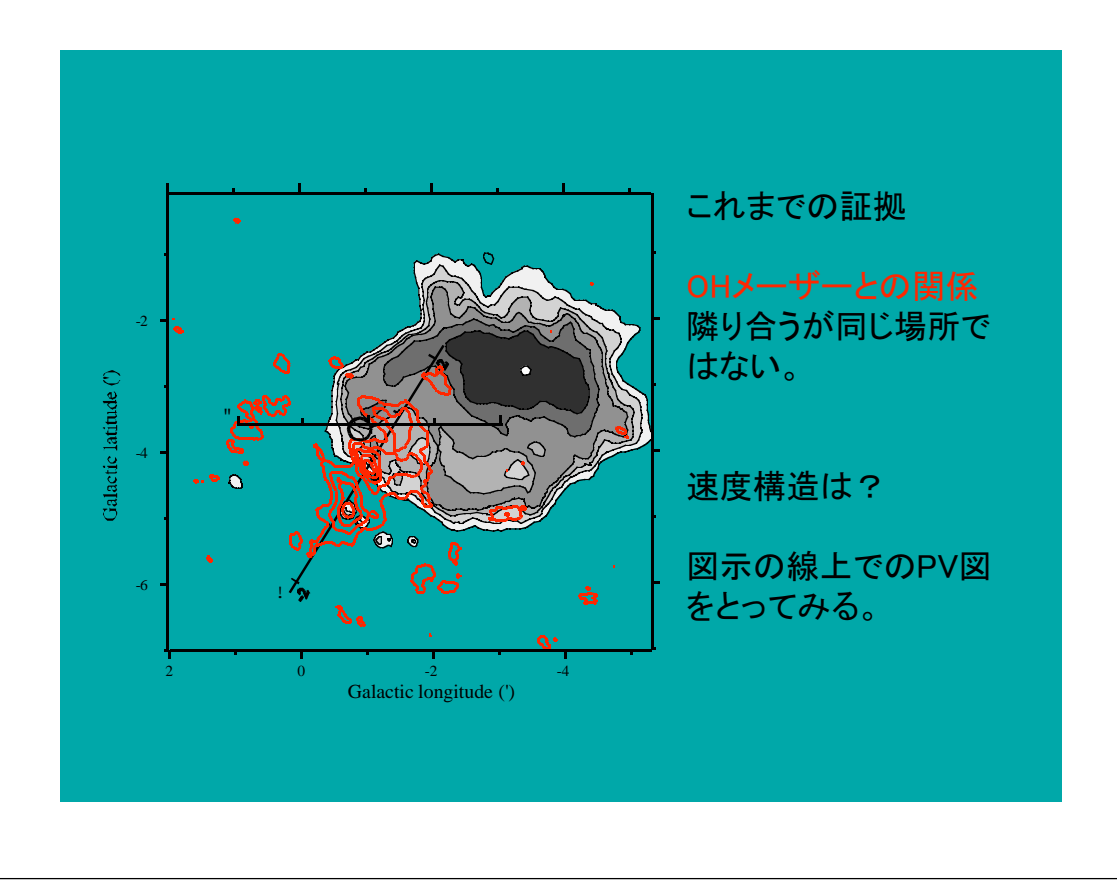


Nobeyama Millimeter Array 6x 10-m dish mm-wave interferometer 本当に来年度末でしめていいですか?





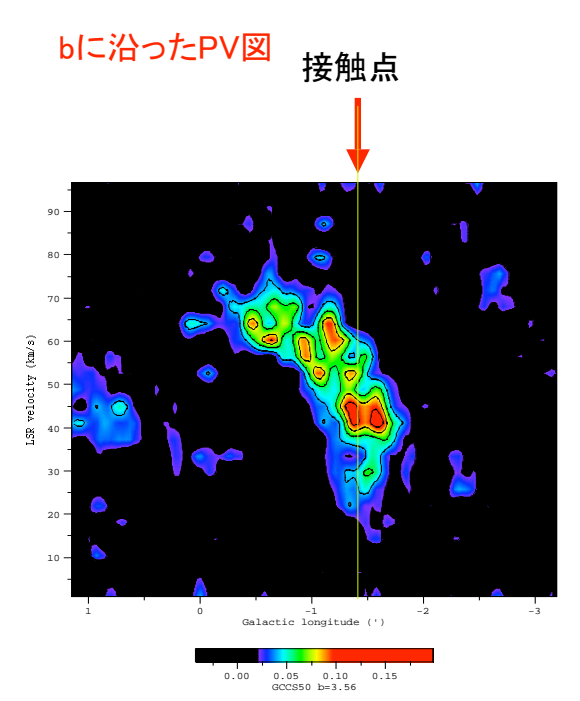




# aに沿ったPV図 接触点 速度幅50km/s

SgrAeastシェルと 50km/s分子雲の みかけ上の接触 点で速度幅が3倍 になる。

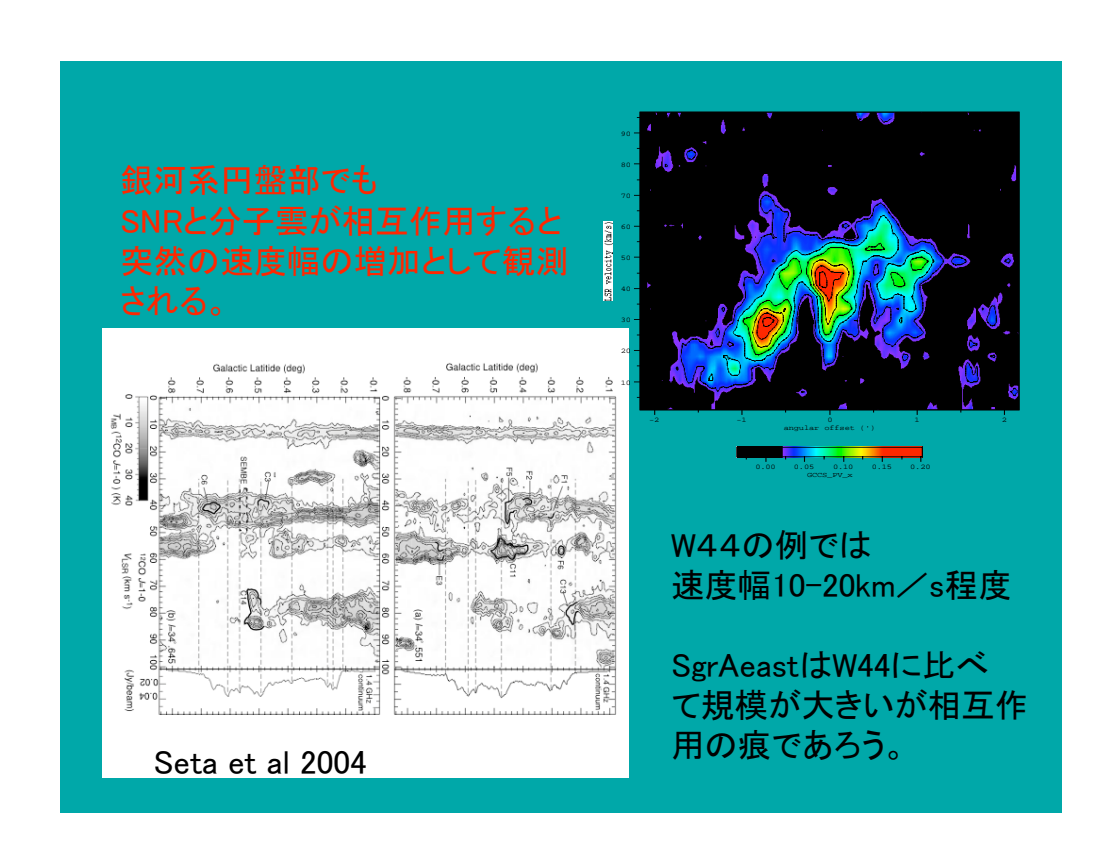
負速度側にのみ ウイング構造があ り正速度側にはな い。

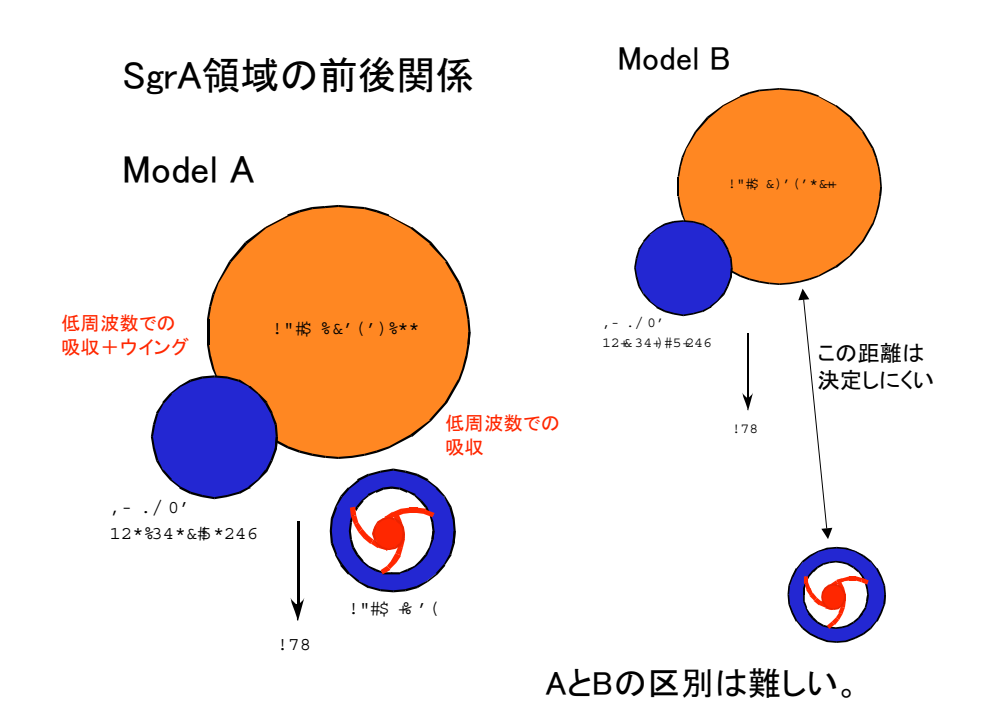


SgrAeastシェルと50km/s 分子雲のみかけ上の接触 点で速度幅が急激に増加 する。

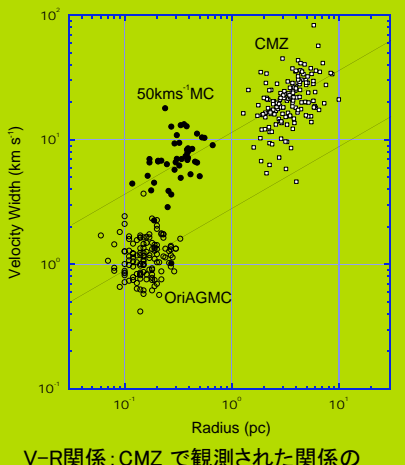
負速度側にのみ ウイング構造があり正速度 側にはない。

=>SNRは分子雲の far sideから衝突か? 正速度はSNR自身に 妨げられたか?





#### NMAで観測された50 km/s 分子雲の統計的性質

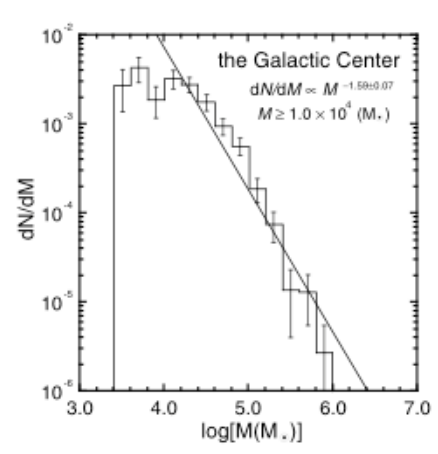


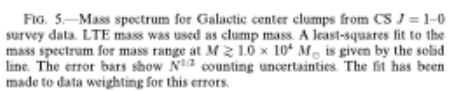
とOriAGMCの中間に位置する??

V-R関係: CMZ で観測された関係の延長上に存在する。円盤部のOriAGMCに比べ6-7倍の速度幅になっている。

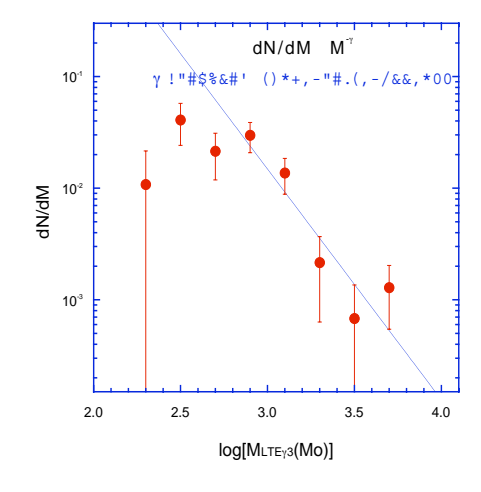
・円盤部ではビリアル質量とLTE質量は概ね等しいが、銀河系中心領域全体では観測されるビリアル質量はLTE質量の10倍程度である。今回は数倍程度であり、両者の中間であった。これまでの銀河系中心領域の観測は円盤部に比べかなり重い分子雲の観測であった。より軽い、円盤部で観測される質量に近い部分が今回観測され性質が似て来たのであろうと推測される。

#### NMAで観測された50 km/s 分子雲の統計的性質



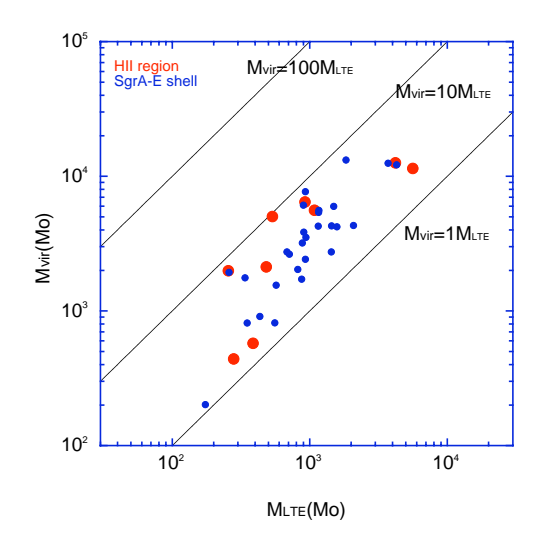


CMZ: alf=-1.6 -- -2



CLUMPFINDを利用 50km/s MC: alf=-2.1

#### NMAで観測された50 km/s 分子雲の 相互作用を考慮した統計的性質

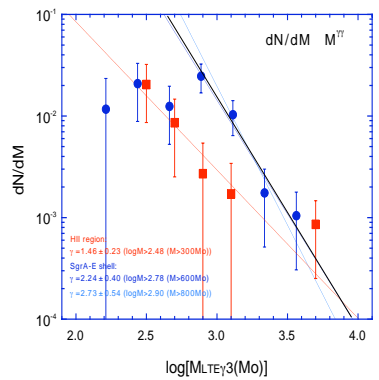


青:相互作用領域 赤: HII領域隣接

CMZ-OriAの中間に あるという傾向は変わ らなかった。

ただし、 HII領域隣接はばらつき が大きい??

## NMAで観測された50 km/s 分子雲の 相互作用を考慮した統計的性質



Galactic center core

dNdM x M -1.99±0.28

M ≥ 18.5 (Ma)

10°

10°

10°

1.4 1.8 2.2 2.6

log[M(M\*)]

青:SNRとの相互作用領域 alf= -2.2 -- -2.7

赤:HII領域隣接 alf= −1.5?? 銀河系領域の非相互作用 領域 alf=-2

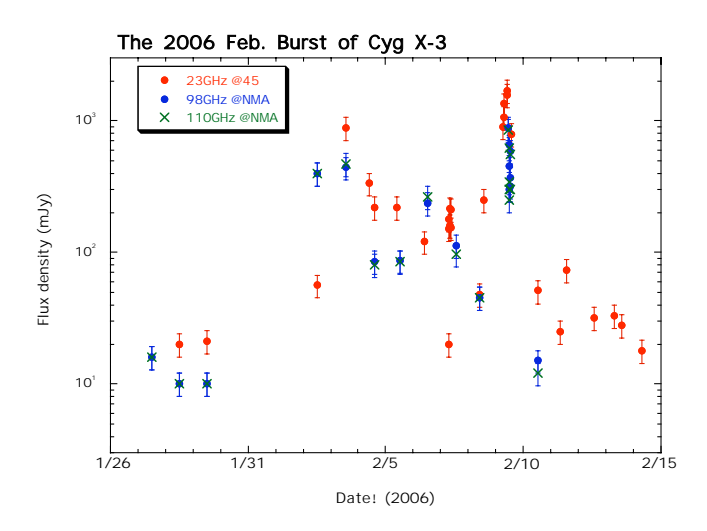
- · SNRとの相互作用領域でsteepに見える。
- ・ 1000年程度の時間で本当に可能か?
- シート状ならば可能?

#### 以下が結果である。

- ・ (1)50 km/s分子雲がSgrAeastに見かけ上接触した部分で速度幅が 3倍になっている。また、負速度成分のウイングのみ観測され、正速 度側はない。これはシェルが分子雲の向こう側に衝突した証拠であ ろうと考えられる。
- ・ (2)SgrAeastのシェルに食い込んでいる分子雲の凹凸は極めてよくシェルの凹凸に一致する。これは衝突のもうひとつの証拠であろう。
- ・ (3)円盤部ではビリアル質量とLTE質量は概ね等しいが、銀河系中 心領域全体では観測されるビリアル 質量はLTE質量の10倍程度 である。今回は数倍程度であり、両者の中間であった。
- ・ (4)50 km/s分子雲中のクランプの質量スペクトルの傾きは-2.5程度であり、銀河系中心領域の他の領域の値である-2よりもわずかであるが急かもしれない。

ただし観測された領域は1pc程度あり1000年程度で真の質量スペクトルの傾きが変わるかは疑問もある。見かけの現象かもしれないし、 衝突している薄いシート状の体積での変化かもしれない。

数年ぶりにCygX-3がバーストした。 野辺山45m鏡とミリ波干渉計はその初期からの 観測に成功した。

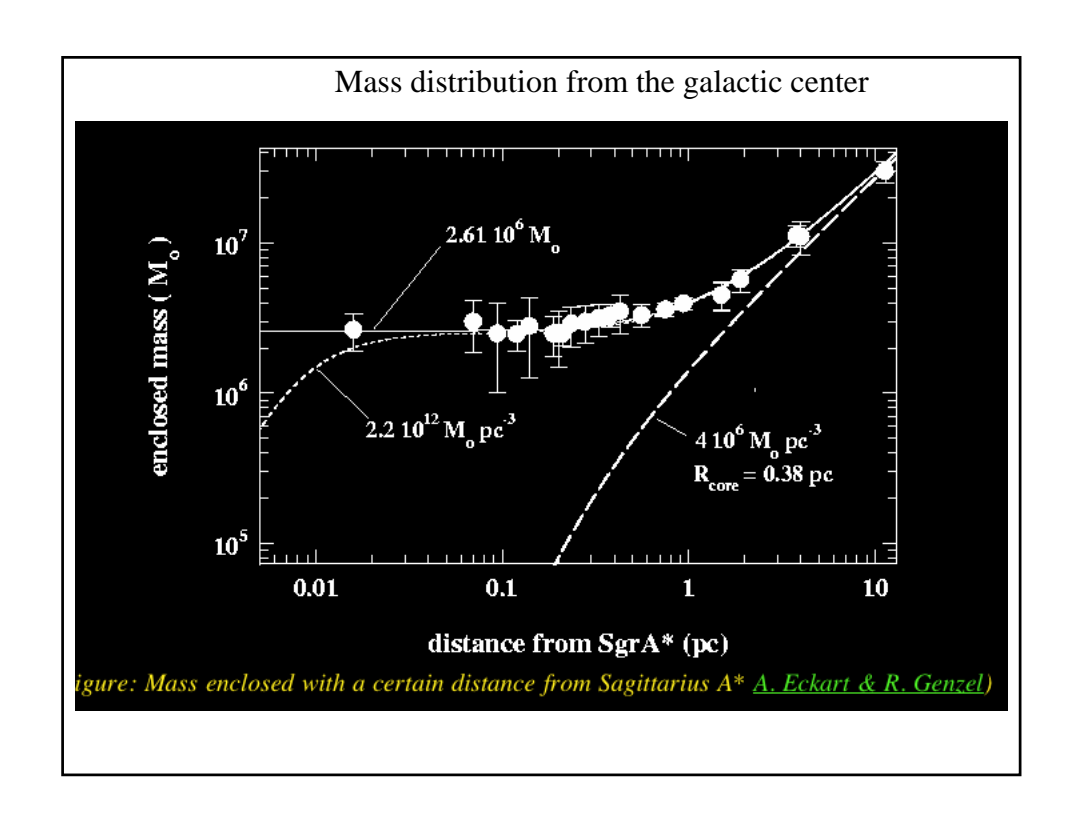


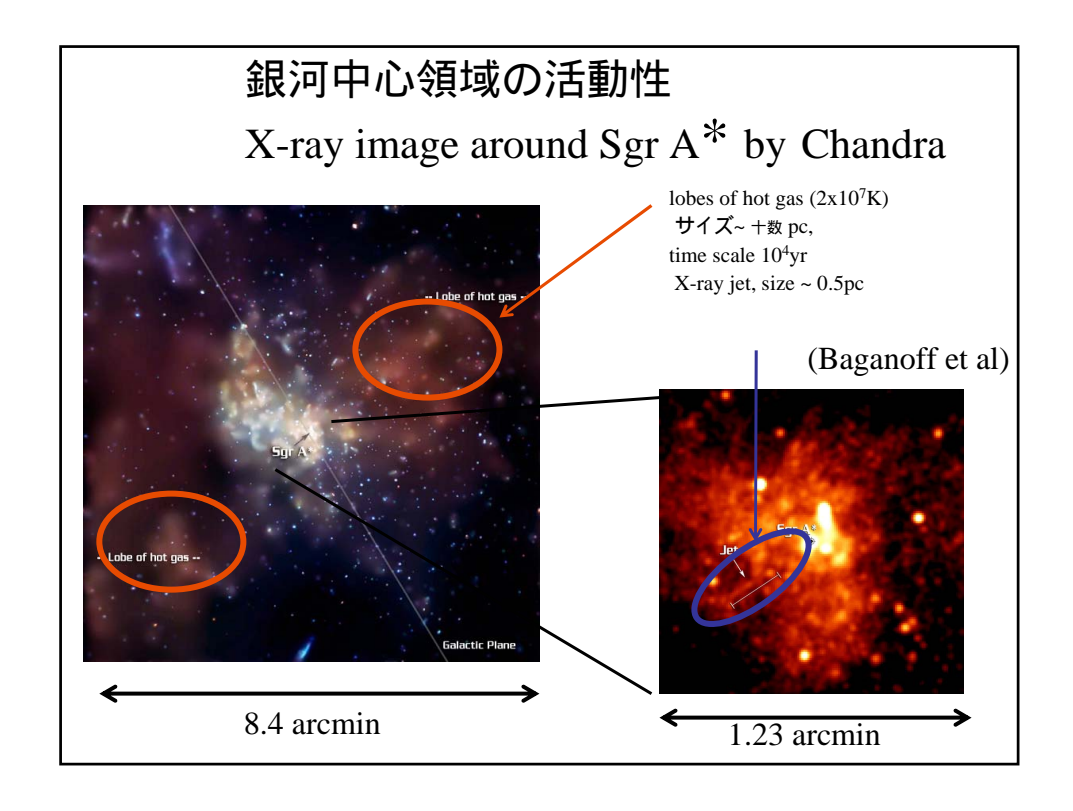
# 我々の銀河中心の巨大BHへの ガス供給

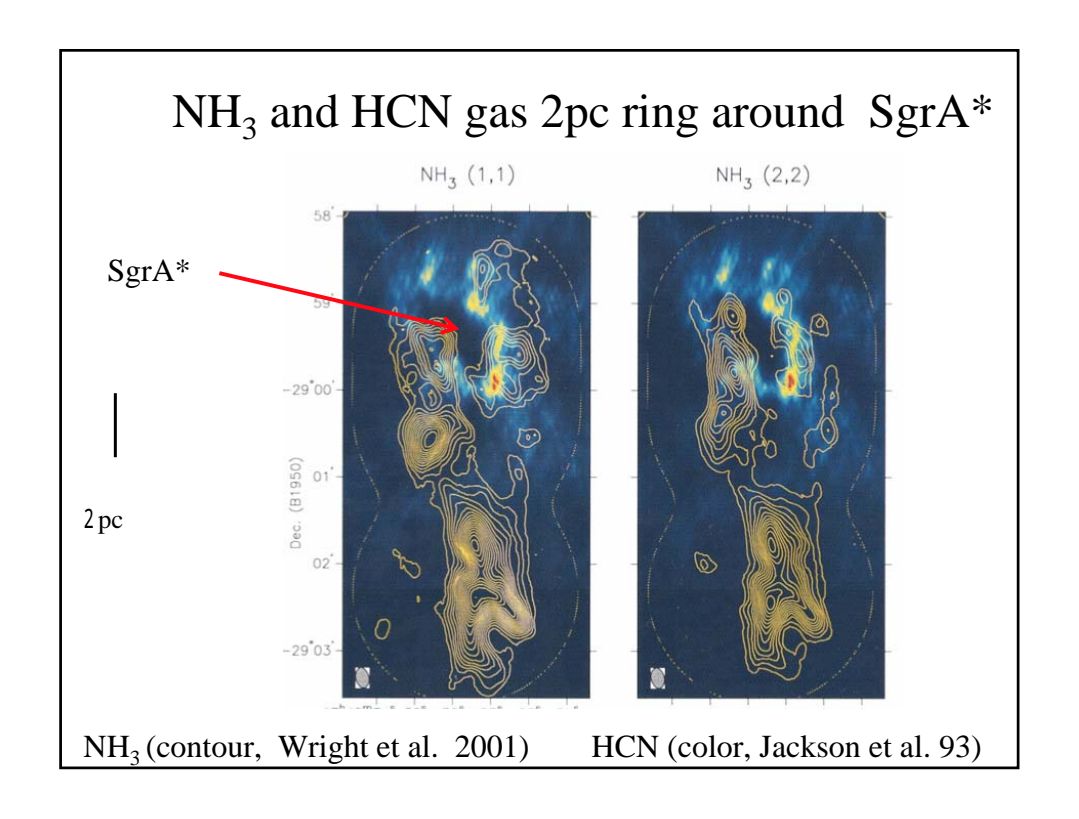
羽部朝男、行方大輔 (北大理学研究科)

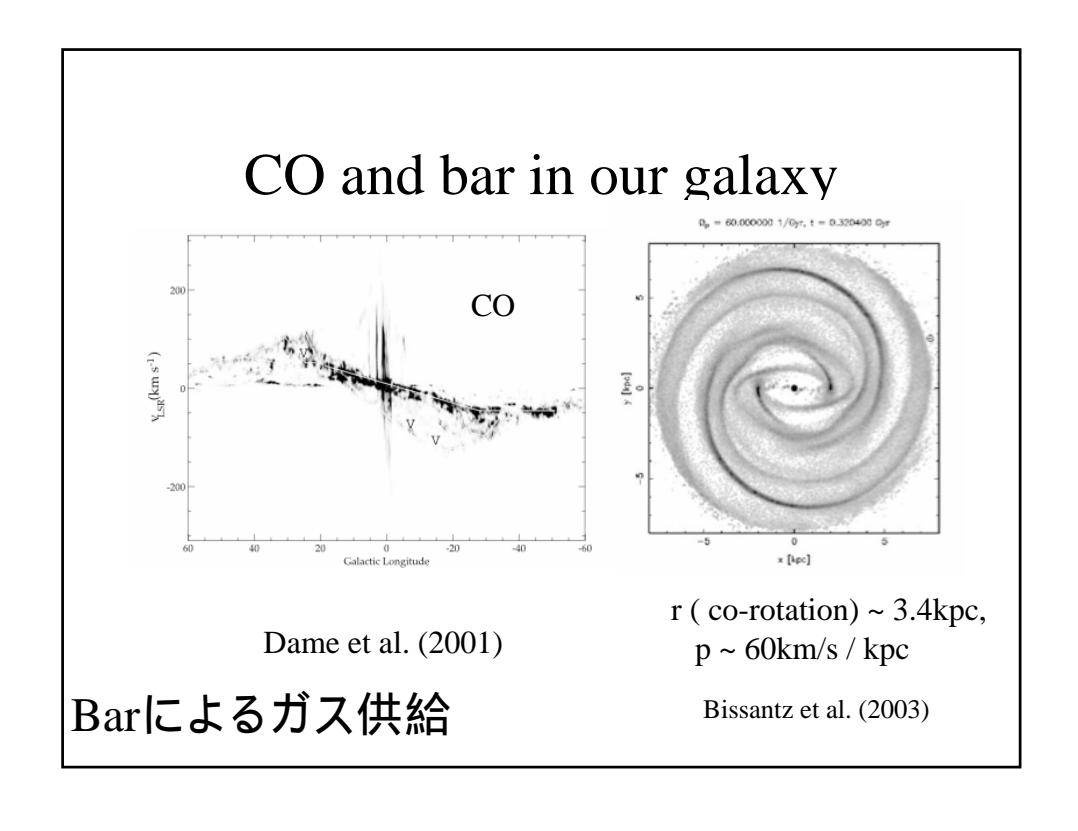
## 銀河系中心領域の特徴

- 中心に巨大BH (SgrA\*)があり、活動性が見られる  $\rm M_{BH^{\sim}}\,2.6\,x\,10^6\,M_o$
- massive young stars (<10pc) (Mezger et al. 96)
- 大量の低温ガス(4x10<sup>6</sup>M<sub>o</sub> in < 120 pc)
- 巨大BHのある銀河中心領域へのガス供給と星 形成を研究する良い対象







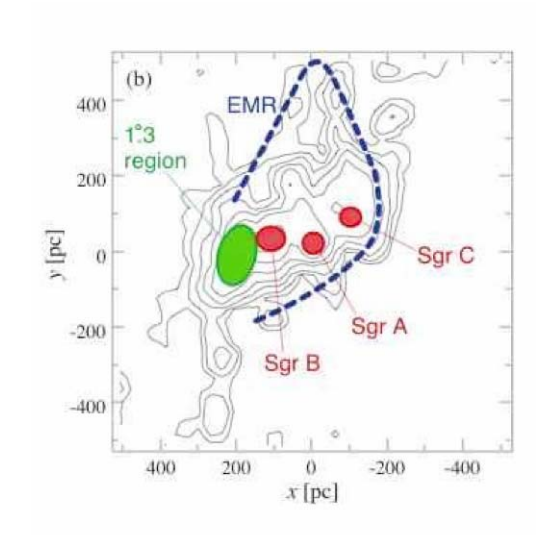


## face on view of GC

Gas bar (CO)

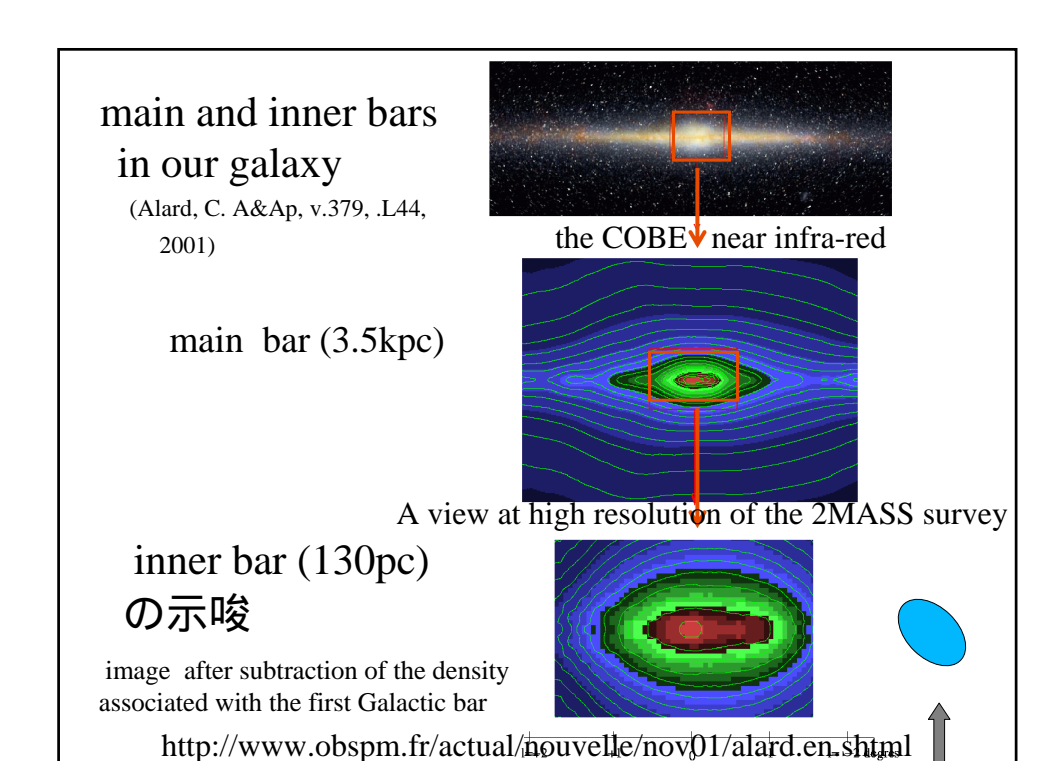
CO輝線と OH吸収線 を用いた 位置決め

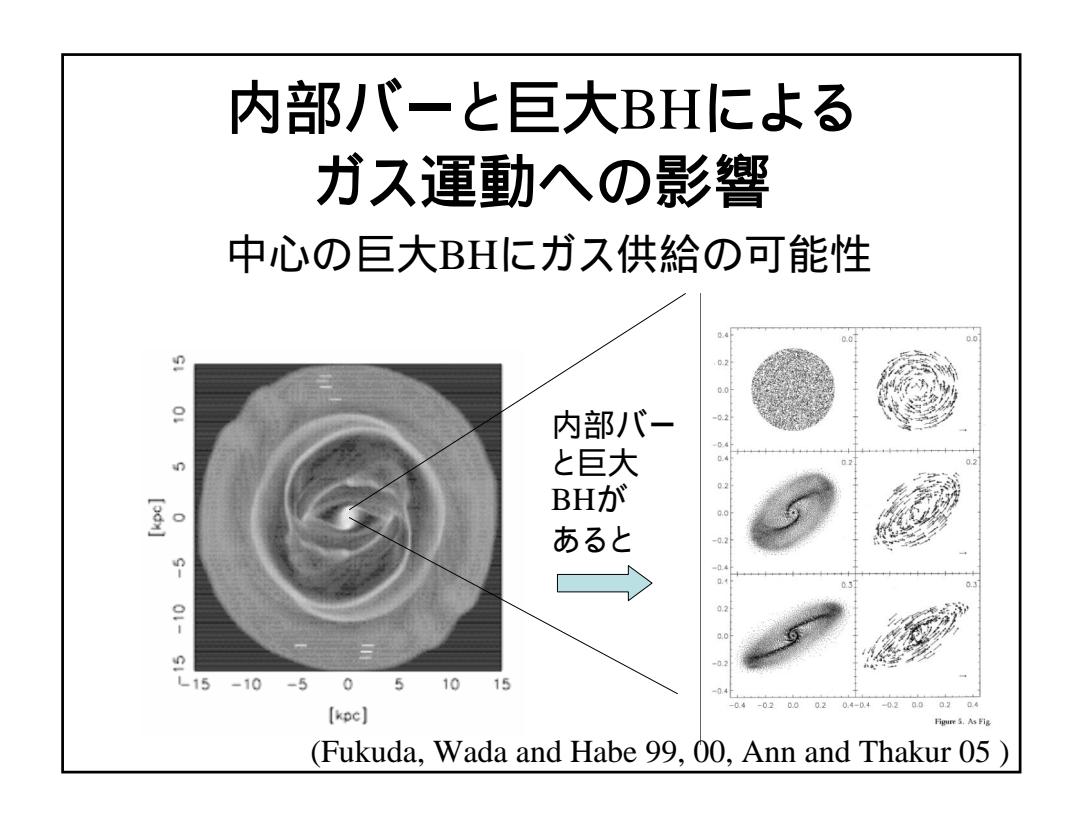
(Sawada et al 2004)



# 銀河中心領域に 二つ目のbar (inner bar)

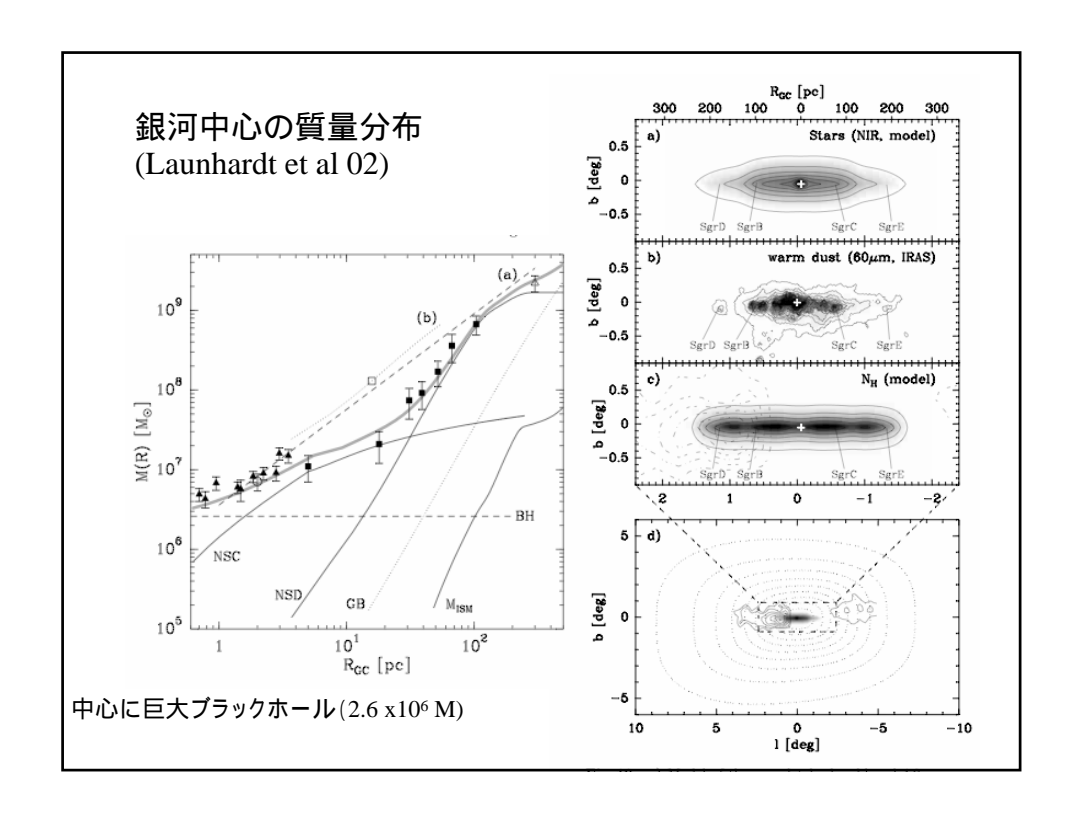
- 2 mass dataからinner barの示唆 (Alard, 2001)
- バーサイズ ~100pc
- 内部バーとガスの軌道運動との共鳴の可能性
  - その結果ガスの激しい運動(衝撃波)
  - 銀河中心へのガス供給、そして星形成





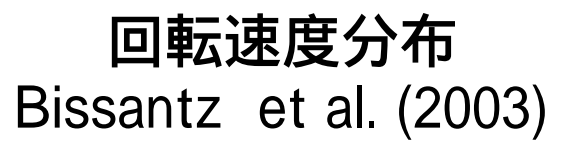
# 我々の銀河のpotential model

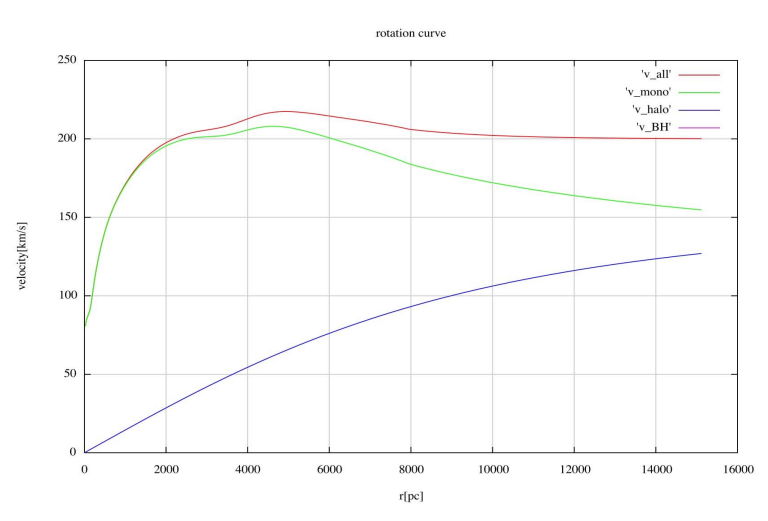
- 銀河全体のpotential
  - Bissantz et al. (2003)
    - COのposition-velocity diagramを再現する
    - Stellar disk + major bar + spiral arms + dark halo
- 中心領域(r<500pc)のpotential
  - Launhardt et al. (2002)
    - 2 mass data
    - Supermassive BH 2.6 x106 M
- inner bar について
  - Alard, C. A&Ap, v.379, .L44, 2001



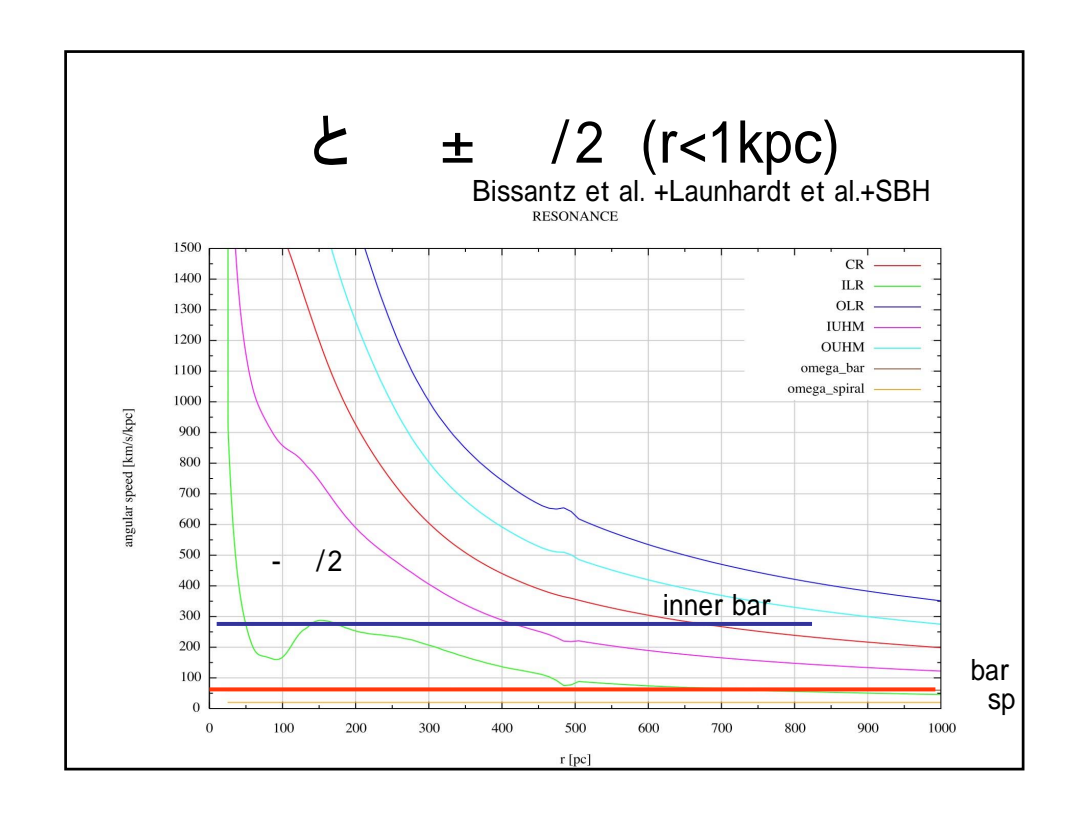
## method and inner bar model

- AUSM code
- \*メッシュ数
- r方向(log mesh): 240、 方向: 310
- inner bar
- \* パターンスピード
- 280[km/s/kpc]
- \*軸比(長軸/短軸):3.0d0
- 長軸:200[pc] 短軸:66[pc]
- \* non-homogenous bar Model : index=1.0d0
- \*質量:1.0^8[Msun]
- 巨大ブラックホール 2.6 x10<sup>6</sup> [Msun]

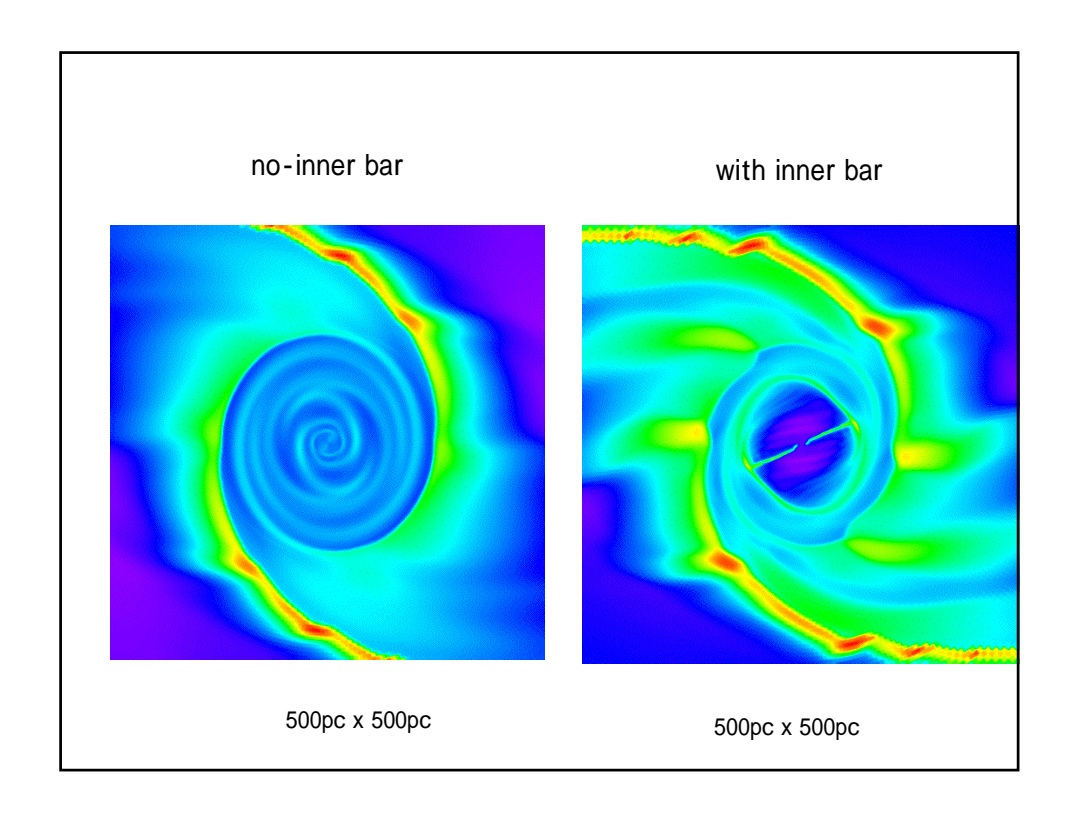




## 



# result in the potential of Bissantz et al. + Laurhardt et al. + SPII no inner bar 3kpc x 3kpc



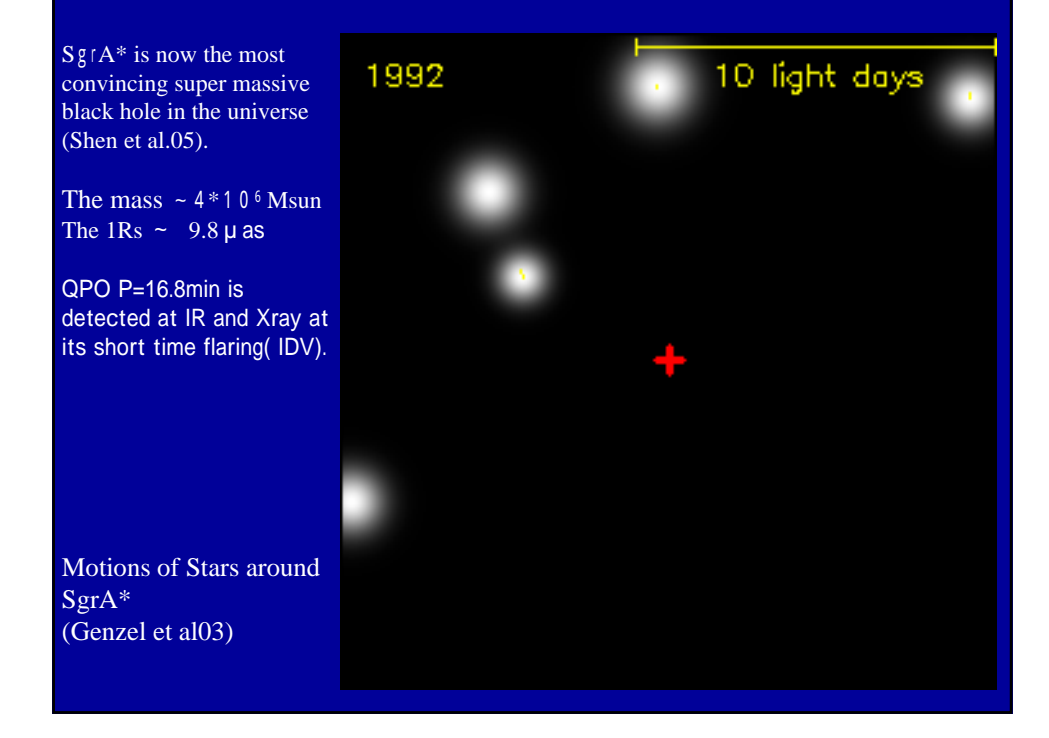
### まとめ

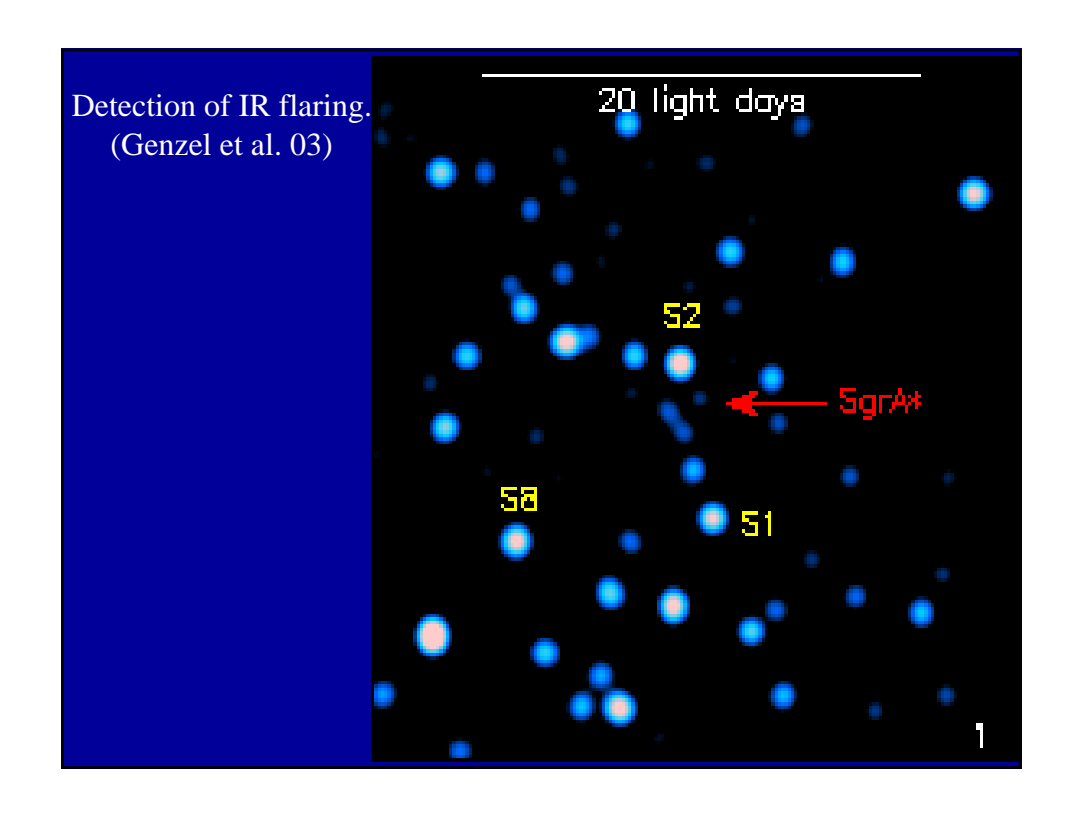
- 銀河中心は巨大BHの活動性と大量のガスと活発な星形成
- 銀河中心へのガス供給は、これらがおこるのに必要 inner bar+巨大BHでガス供給がおこる可能性を検討した
  - inner bar Alard (01)
  - 銀河中心領域の質量分布 Launhardt et al. (02)
  - 銀河全体のmajor bar + stellar disk potential Bissantz et al. (03)
- 数値シミュレーションの結果 inner barによるgas ridge 形成 inner barの効果が大きい
- 数値シミュレーション、銀河中心のガスの観測とあわせガス供給機構の解明へ

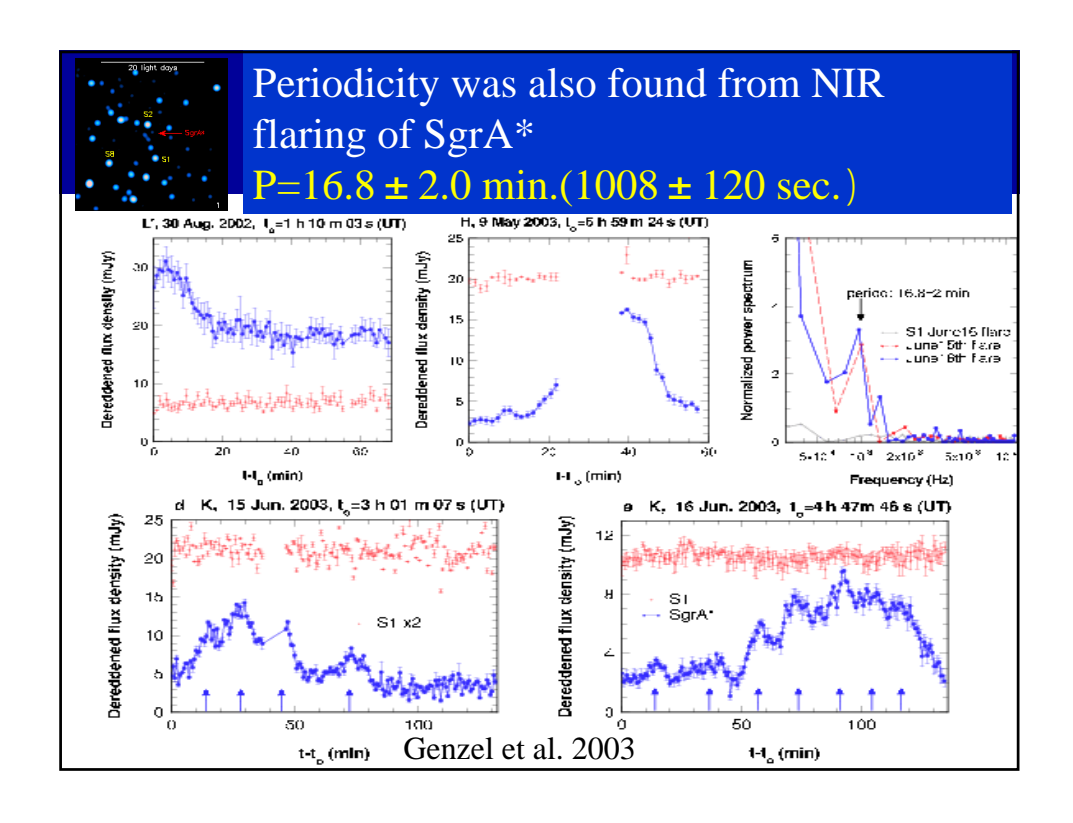
「銀河系研究会2006」 2月20日(月)~22日(水) (会場: 国立天文台 すばる解析棟 大セミナー室)

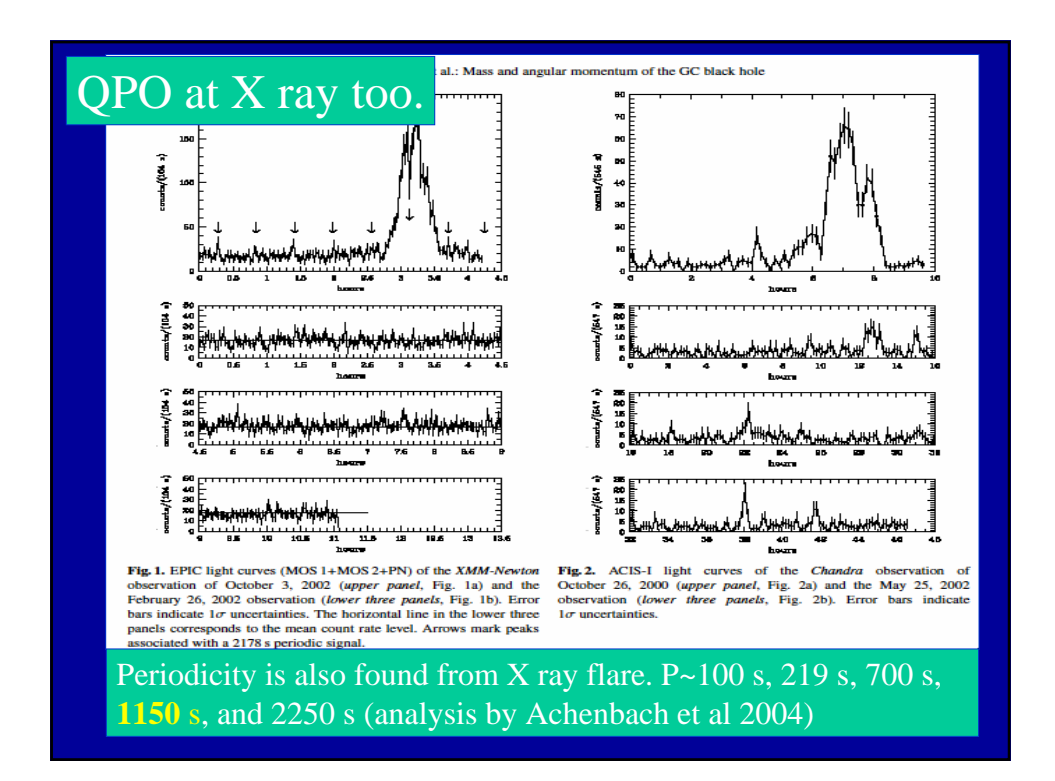
# 銀河系中心ブラックホ - ル SgrA\*の降着円盤

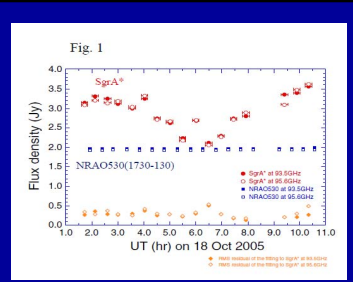
Makoto Miyoshi NAOJ











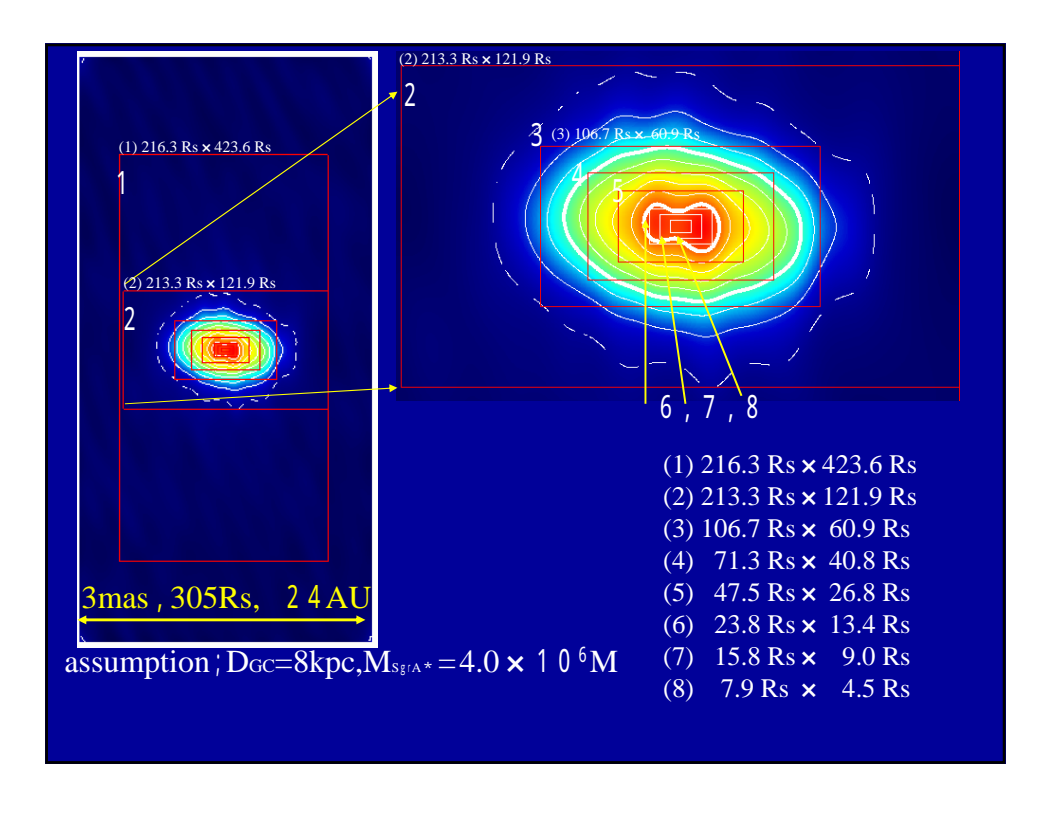
• At millimeter wave we have also detected short time flaring (ex. Miyazaki et al.04), we can expect to detect similar kinds of QPO in radio too!

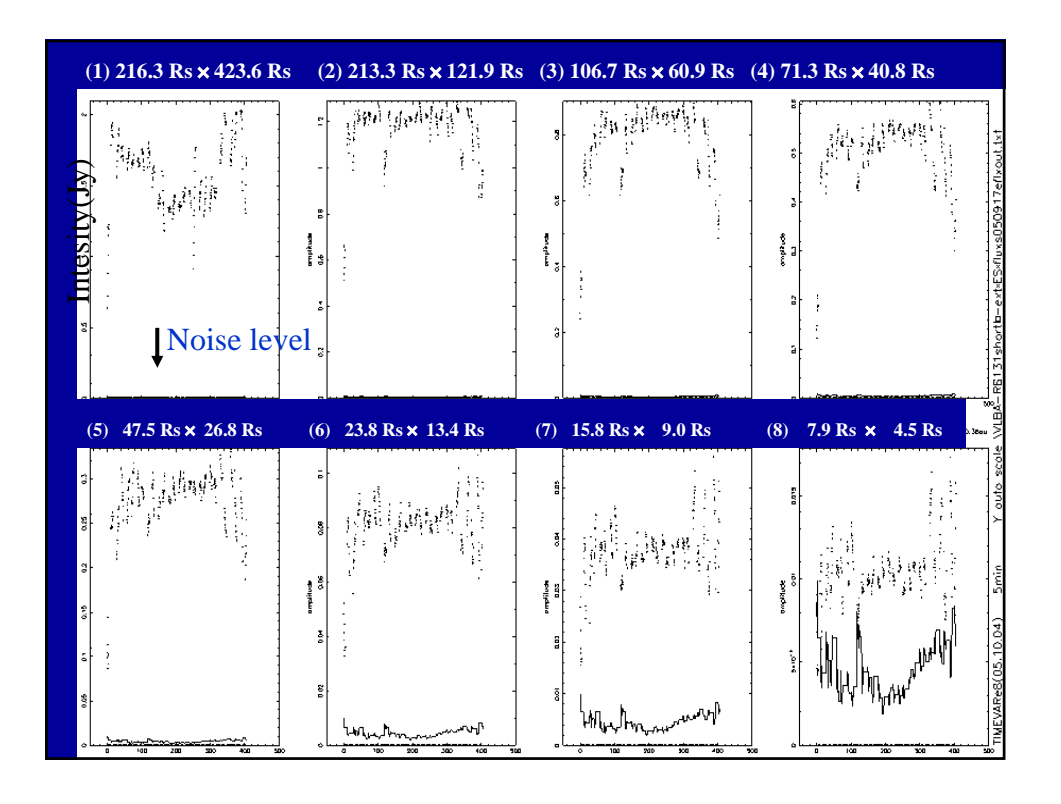
New detection of SgrA\* flaring (IDV) by Miyazaki in this October using the AT.

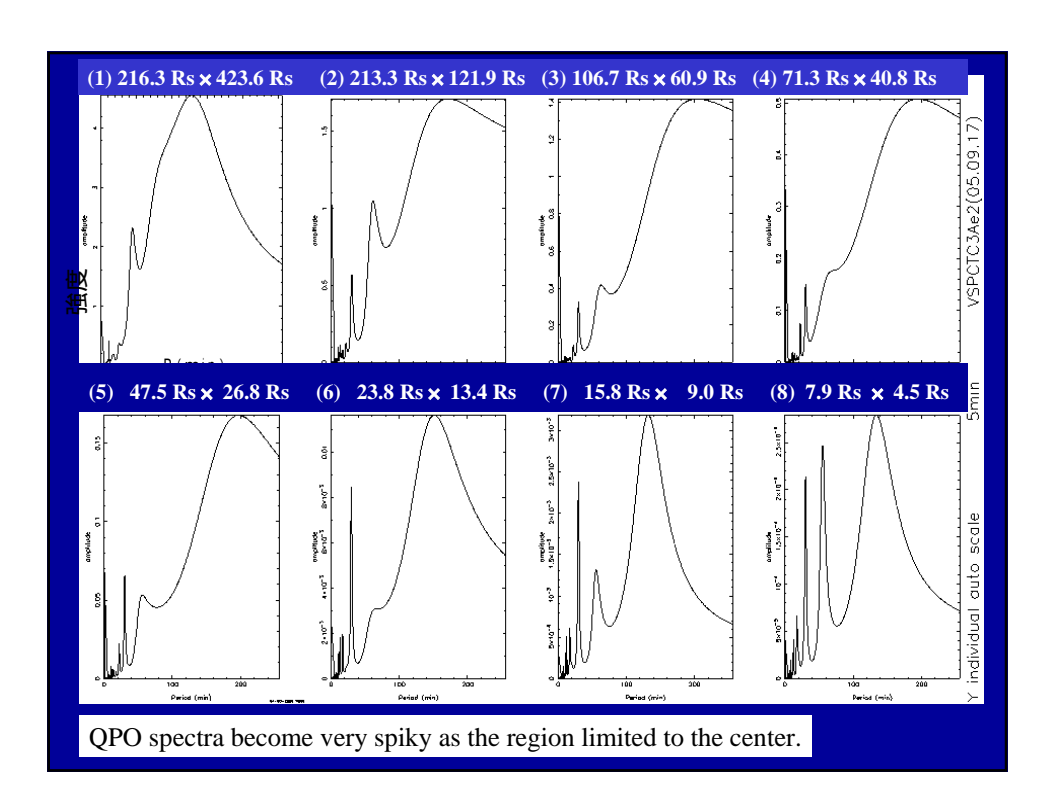
- Following the idea we have been checking the data of SgrA\* obtained VLBA since the end of 2001.
- We detected the spatially resolved QPO from the VLBA data taken at 8th March 2004 at 43GHz.

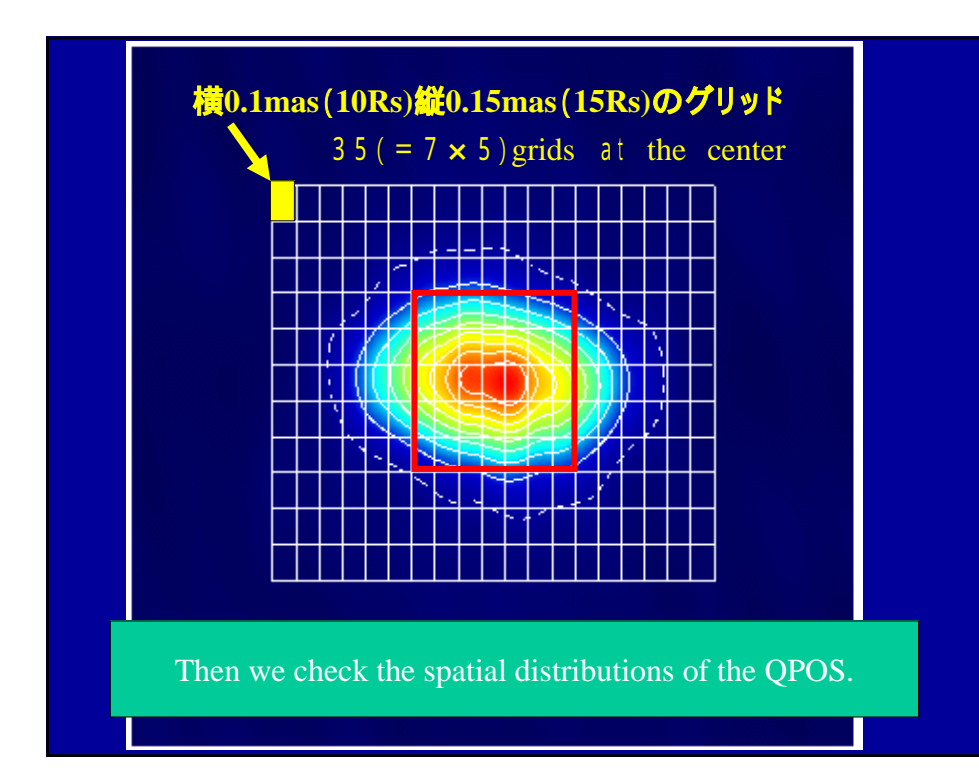
(1.5 days after the millimeter wave short time flare.)

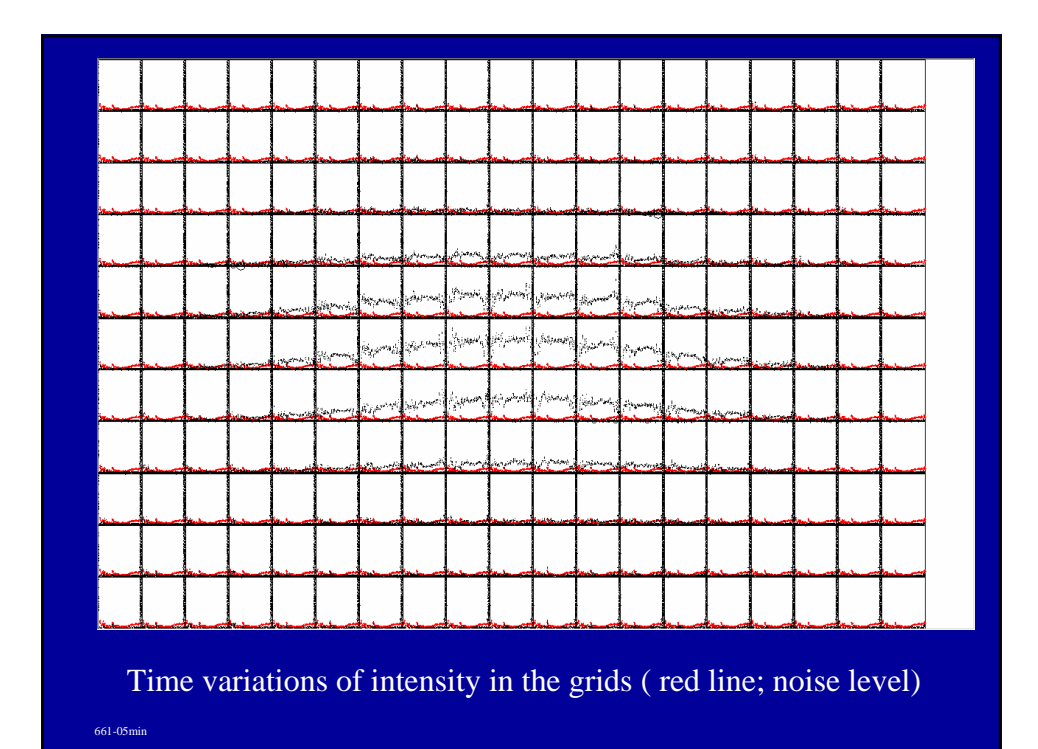
VLBI gives us high spatial resolution(~0.1mas).
So we can investigate the differences of QPOs between small regions in the SgrA\* image. First, we check whether the QPOs are concentrated at the center or ubiquitous around the whole disk?







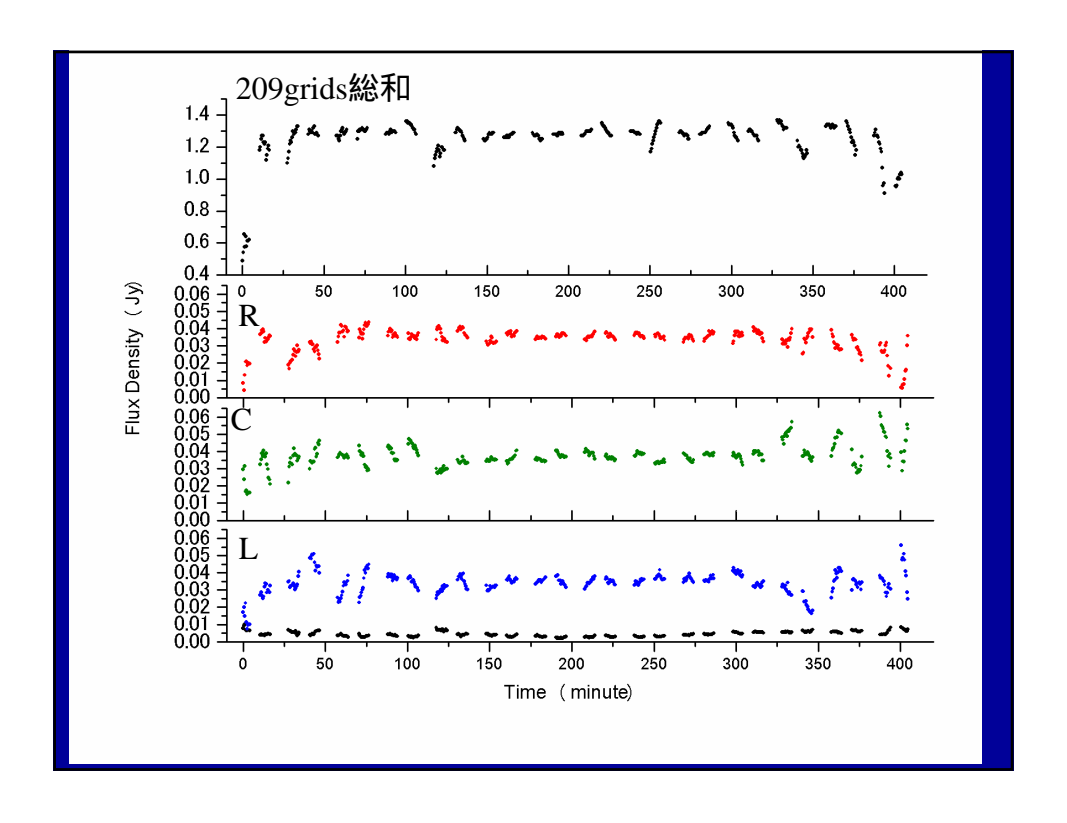


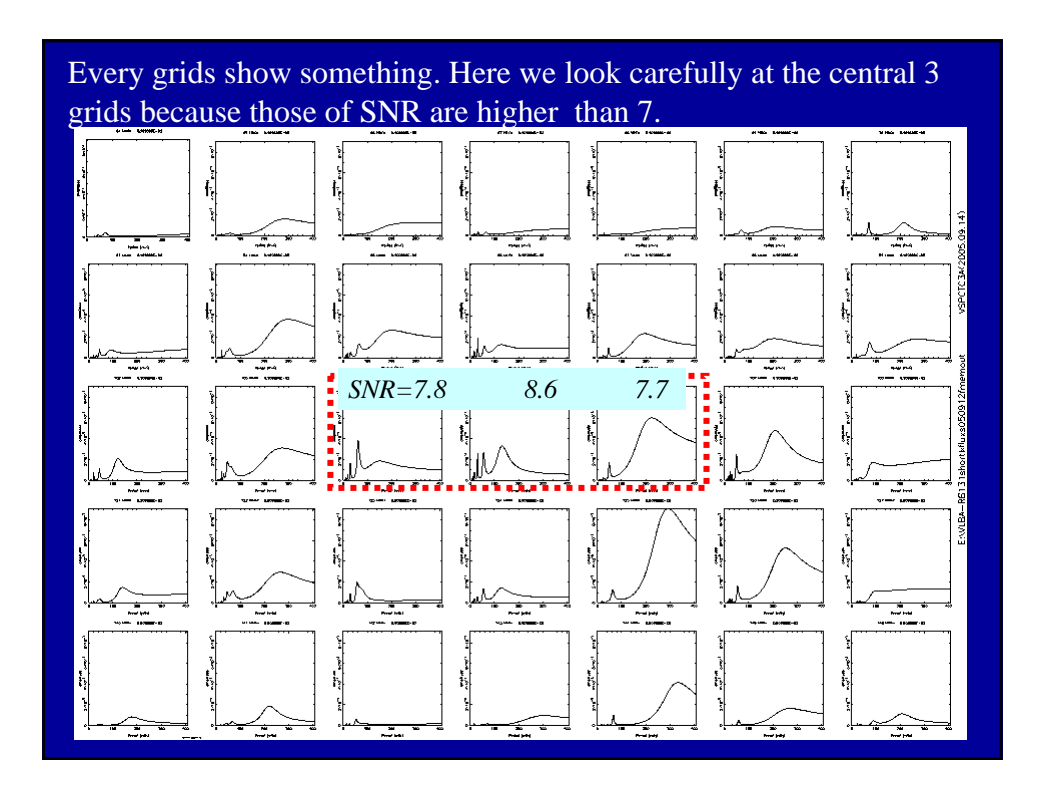


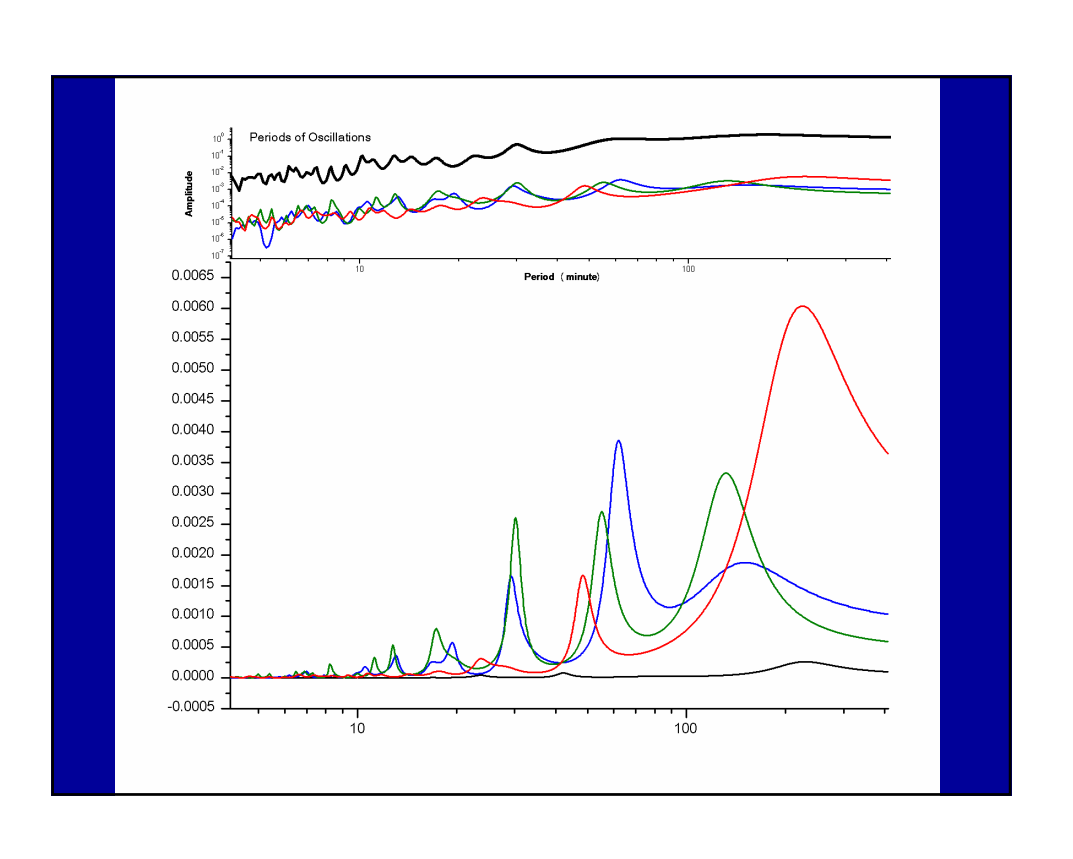
| 2.3                  | 2.6                 | 3.1   | 3.1   | 2.7                            | 2.6                          | 2.0  |  |
|----------------------|---------------------|---|---|--------------------------------|------------------------------|--|--|
| Maringanana<br>4.5   | 5.2                 | 6.2   | 6.6   | 5.8                            | 5.2                          | 4.0  |  |
| April 1 security 194 | igabiyahermayi<br>' | in the factorized by the state of the state | કુર્વે કું (૧૯૯૪માં છે.<br>મુસ્લિક સ્થાપના માટે કે                                  | ig talunaneelli<br>Luuraneelli | ilippanana da ilip           | proposed to the second   |  |
| 5.4                  | 6.6                 |   | 8.6   | 7.7                            | 6.6                          | 5.3  |  |
| 4.0                  | 5.1                 | 5.8   | 6.4   | 5.9                            | 5.0                          | 4.2  |  |
| A second             | Mary by your words  |   | Marily problems (1964).   | ieWary ingganianan             | al tales of order            | ighter and a grant of the state |  |
| 1.9                  | 2.4                 | 2.8   | 2.9   | 2.8                            | 2.4                          | 2.2  |  |
| hallenereed data     | Walter Commence     | in deligation of the  | 13 <sup>1</sup> /31 <sup>1</sup> 11 13 13 13 14 14 14 14 14 14 14 14 14 14 14 14 14 | Mary Sugar Sugar               | i dini orangani<br>Kangangan | ul <sup>igh</sup> erenvoleite  |  |

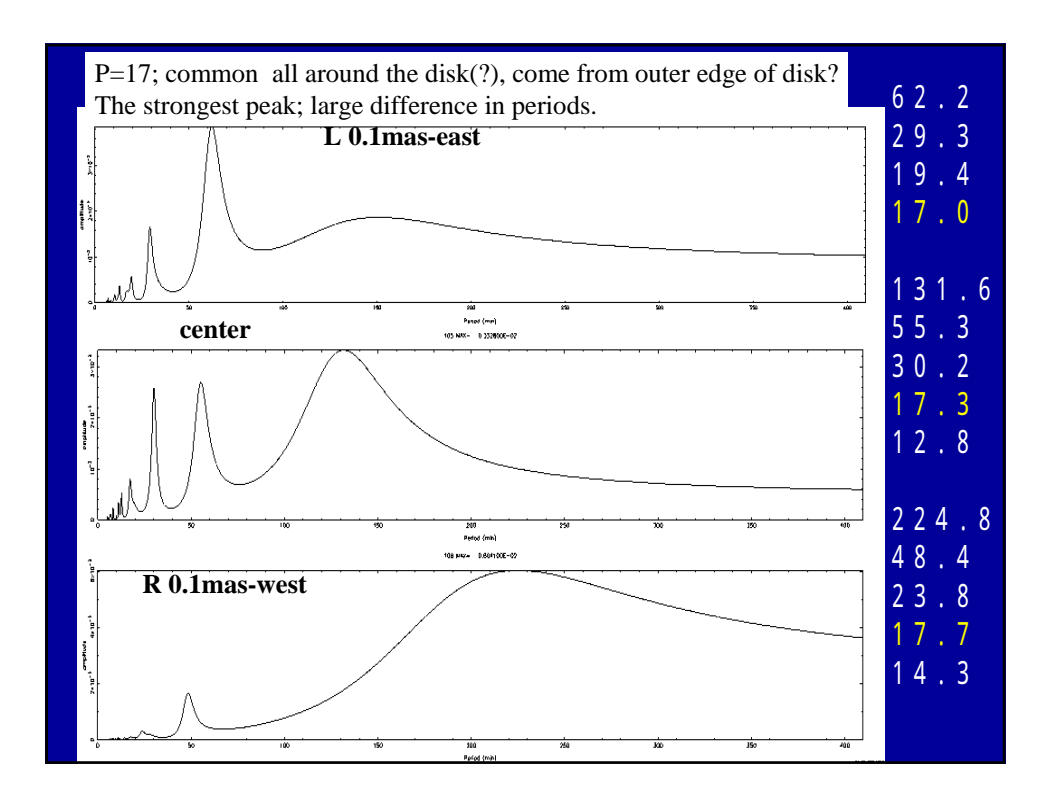
Time variations of intensity in the grids (The denoted numbers are SNRs)

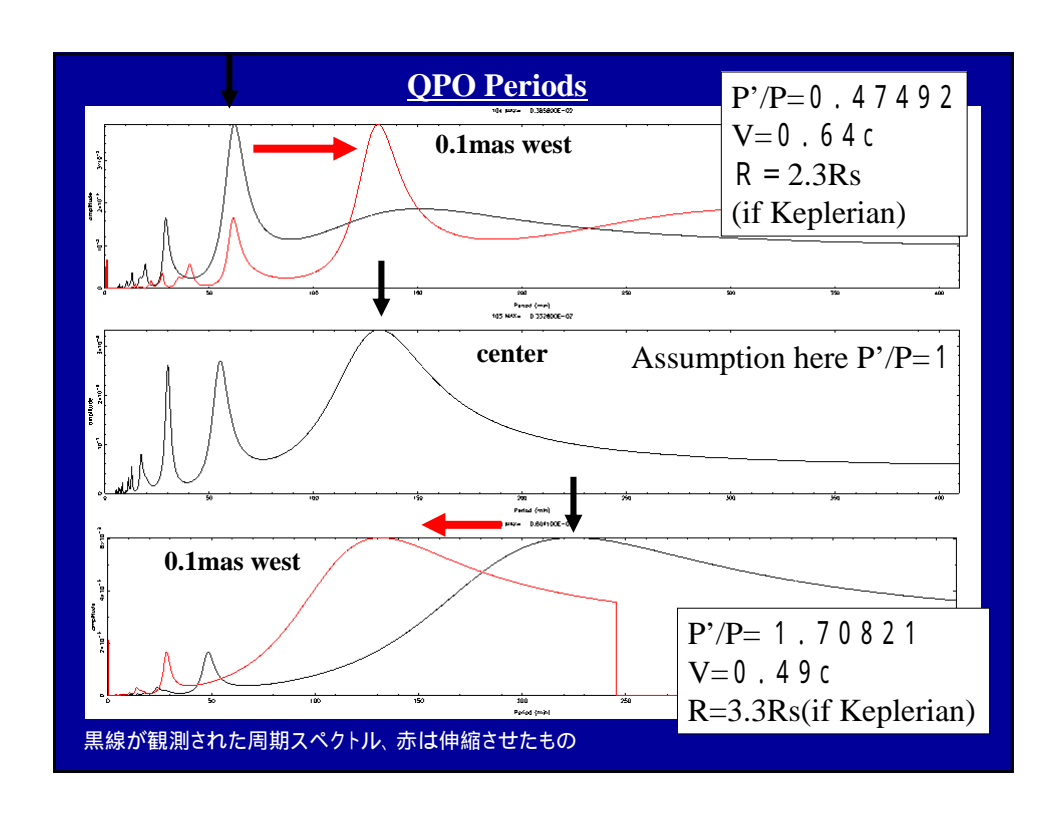
661-05mir



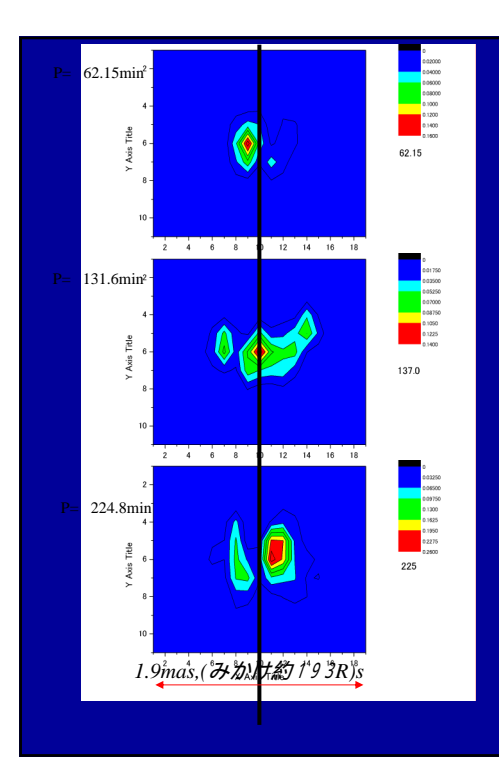




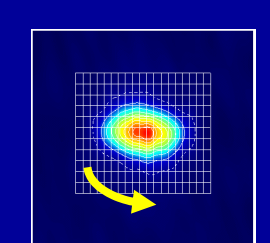




| 3    | こも対                                  | 讨応        | ゙ゕ゙    | つくピーク                               | <b>ナ</b> た | がしい   | (つ                               | もま                         | する 🖥   |             |                                      |                       |                |
|------|--------------------------------------|-----------|--------|-------------------------------------|------------|---|----------------------------------|----------------------------|--|-------------|--------------------------------------|-----------------------|----------------|
| Dode | Square L<br>Period(min)              | amplitude | 1.0.1  | Amounts of Shifts                   | Code       | Square C<br>Period(min)<br>3.40+0.10                      | amplitude                        | 8.B.F<br>137.17            | Amounts of Shifts<br>  | Code<br>R01 | Square R<br>Period(min)<br>5.90+0.20 | amplitude<br>9.62E-06 | #.B.F<br>70.74 |
|      |                                      |           |        |                                     |            | 3.80+0.10<br>-0.05<br>4.00+0.15<br>-0.10<br>2.80+0.10     | 3.20E-05<br>2.53E-05<br>3.20E-05 | 728.93<br>210.83<br>728.93 | ←1.763 +0.050<br>←1.675 +0.069<br>←1.675 +0.033<br>←1.763 +0.050<br>−0.122 | R02         | 6.70+0.10                            | 5.798-05              | 541.13         |
|      |                                      |           |        |                                     |            | 4.00+0.15<br>-0.19<br>4.30+0.05<br>-0.10<br>4.80+0.06     | 2.53E-05<br>2.03E-05<br>2.49E-05 | 210.83<br>105.18<br>48.54  | -1.850+0.176<br>-0.139<br>-1.721+0.160<br>-0.089<br>-1.609+0.128           | Res         | 7.40+0.60<br>-0.20                   | 4.9E-05               | 90.51          |
|      | 2.2 <sup>+0.20</sup><br>-0.20        | 4.1415-06 | 198.09 | -0.440+0.045<br>-0.044              | C01        | 4.60+0.05<br>-0.05<br>5.00+0.05<br>-0.05                  | 2.49E-05<br>6.27E-05             | 48.54<br>225.89            | ←1.826 +0.108<br>−0.127<br>←1.680+0.098<br>−0.116                          | R04         | 8.40 <sup>+0.40</sup><br>-0.50       | 3.81E-05              | 122.1          |
|      |                                      |           |        | none wish 0.471 bus 10%abifs        | C02        | 5.40+0.05   | 7.01E-05                         | 655.14                     | -1.741+0.072<br>-0.089   | ROS         | 9.40+0.30                            | 4.752-00              | 26.70          |
|      | 2.7+0.10                             | 3 325-06  | 107.10 | -0.450+0.025                        | C07        | 10.10   | 2 215-05                         | 50.22                      |  | 1106        | +0.00                                | 7 505-00              | 224 40         |
|      | 2.9 + 8:18                           | 5.5515-06 | 30.49  | -0.450 +0.625<br>-0.446 +0.625      | C04        | 6.50+8:18<br>6.50+0.10                                    | 1.088-04                         | 2755.10                    | -1.783+0.132<br>-1.646+8:978<br>-0.070                                     |             | -0.30                                |                       |                |
|      | 3.2 <sup>+0.10</sup>                 | 2 2115-06 | 12.11  | -0.404+0.029<br>-0.404-0.027        | COS        | +0.20   | 1.078-04                         | 181.00                     |  | D07         | 11.80+0.60                           | 5 468-05              | 194 %          |
|      | -0.10                                | 2.312.00  | 1.1.1  | none with 0.471 but 10% shift       | C06        | 7.30 <sup>+</sup> 0.10<br>7.30 <sup>+</sup> 0.10<br>-0.20 | 8.74E-05                         | 301.38                     | -1.710 -0.119<br>-1.616 -0.130   | 100         | 12.80 -0.50                          | 0.002.00              | 124.0          |
|      | $3.7^{+0.20}_{-0.10}$                | 6.4816-06 | 40.50  | -0.451+0.030<br>-0.023              | C07        | $^{8.20 + 0.20}_{-0.10}$                                  | 2.3E-04                          | 254.14                     | 1.744 <sup>+0.157</sup><br>-0.137  | ROS         | $^{14.30 + 1.10}_{-0.80}$            | 8.56E-05              | 20,00          |
|      | 4.2+0.05<br>-0.05<br>4.4+0.05        | 4.84E-06  | 32.05  |                                     | 1          |   |                                  |                            |  |             |                                      |                       |                |
|      |                                      | 1.34E-05  | 26.12  |                                     | 1          |   |                                  |                            |  |             |                                      |                       |                |
|      | 4.6 -0.05<br>4.8 +0.20<br>4.8 -0.10  | 1.36%-05  | 62.10  | -0.480+0.082<br>-0.022              | COS        | 10.00+0.50  | 7.55E-05                         | 7.33                       | -1.780 <sup>+0.445</sup><br>-0.247   | 12.00       | 17.80 + 2.00                         | 1.118-04              | 18.91          |
|      |                                      |           |        | none with 0.471 but 10%ahift        | C09        | 11.20+0.20<br>-0.20                                       | 3.35E-04                         | 2007.90                    |  |             |                                      |                       |                |
| 1.01 | 5.80 <sup>+0.20</sup>                | 9.975.05  | 197.53 | ←0.453+0.051<br>←0.453-0.026→       | C10        | 12.80+0.20  | 5.45.04                          | 1052 61                    | -1.855 <sup>+0.532</sup>   | B10         | 23.75+5.85                           | 2.145-04              | 6.80           |
| 1.02 | 6.20 +0.10<br>6.20 +0.10<br>-0.10    | 5.085-05  | 529.66 | -0.484 +0.024<br>-0.484 +0.024      | C10        | 12.80+0.30<br>12.80+0.30<br>12.80+0.30                    | 5.48-04                          | 1052.63                    | -0.168   | ILIO.       | -1.65                                | 3.341.54              | 0.00           |
| L03  | 7.00+0.20                            | 1.08E-04  | 247.71 |                                     |            |   |                                  |                            |  |             |                                      |                       |                |
| 1.04 | 7.90+0.40                            | 4.57K-05  | 19.45  | -0.457+0.043                        | C11        | 17.30+1.40  | 8.038-04                         | 111.84                     |  |             |                                      |                       |                |
| 1.05 | -0.20                                | 4.78E-05  | 179.70 | none with 0.471 but 10% shift       |            | -0.70   |                                  |                            |  |             |                                      |                       |                |
| LOS  | 10.60 + 0.20<br>10.60 + 0.30<br>0.60 | 1.86E-04  | 630.51 | none with 0.471 but 10% shift -     |            |   |                                  |                            |  |             |                                      |                       |                |
| L07  | 13.10 + 0.40                         | 3,668-04  | 782.05 | ←0.434+0.037<br>—0.039              | C12        | 30.20+1.60<br>-1.50                                       | 2.6E-03                          | 257.43                     | -1.604 <sup>+0.244</sup>   | R11         | 48.45 + 4.60<br>- 3.25               | 1.67E-03              | 76,26          |
| 1.08 | 10.70                                | 2.66E-04  | 33.42  | none with 0.471 but 10% shift       |            |   |                                  |                            |  |             |                                      |                       |                |
| 1.09 | 19.40 +0.80<br>19.40 +0.80           | 5.765-04  | 73.00  | none wish0.471 bus 10%shift         |            |   |                                  |                            |  |             |                                      |                       |                |
| L10  | 29.25 <sup>+2.20</sup>               | 1.665-03  | 148.21 | -0.529+0.088<br>-0.077-             | C13        | 55.25 <sup>+0.35</sup><br>-4.35                           | 2.78-03                          | 183.67                     |  |             |                                      |                       |                |
| L11  | 62.15 +8.80                          | 3.868-03  | 219.32 | ←0.472 <sup>+0.206</sup> →          | C14        | 131.70+45.40  | 3.338-03                         | 73.35                      | -1.708 <sup>+3.692</sup>   | R12         | 225.00 <sup>+339.90</sup><br>-70.50  | 6.042-03              | 22.97          |
|      |                                      |           |        | Correspondence with 10% hift        | _          |   |                                  |                            |  | _           |                                      |                       |                |
| L01  | 7.00 10.20                           | 1.08E-04  | 247.71 | -0.959-0.053                        | C06        | 7.30 + 0.10<br>- 0.20                                     | 8.74E-05                         | 501.38                     | -1.014 <sup>+0.000</sup><br>-0.054   | Ros         | 7.40 0.50<br>-0.50                   | 4.9E-06               | 90.57          |
| 1.05 | s.so+0.20<br>-0.30                   | 4.78E-05  | 179.70 | -0.850 +0.128 -                     | C08        | $10.00_{-1.10}^{+0.50}$                                   | 7.55E-05                         | 7.33                       | -1.070 <sup>+0.200</sup> -   | ROG         | 10.70 +0.60                          | 7.568-05              | 324.4          |
| 1.06 | 10.60+0.30                           | 1.86E-04  | 630.51 | 0.946 +0.044                        | C09        | 11.20+0.30  | 3.35K-04                         | 2007.90                    | -1.054+0.074<br>-0.071   | R07         | 11.80+0.60                           | 6.4635-05             | 124.3          |
| 1.08 | 16.95 + 0.70                         | 2.66E-04  | 33.42  | -0.980+0.083                        | C11        | 17.30+1.40  | 8.03E-04                         | 111.84                     | -1.029+0.164-  | R09         | 17.80+2.00                           | 1.11E-04              | 18.91          |
| L12  | 150.90 + 523.40                      | 1.87E-03  | 26.23  | +5.301                              | C14        | 131.70+45.40  | 3.33E-03                         | 73.35                      |  |             |                                      |                       |                |
| 1.09 | 10.40+0.80                           | 5 70E-04  | 73.00  | No correspondence with above shifts | T 000      | 5 40 ± 0.05   | 7.01E-05                         | 655.14                     |  |             |                                      |                       |                |
| L09  | 19.40 -1.20                          | 5.70E-04  | 73.00  |                                     | C02        | 5.40 -0.05  | 7.01E-05                         | 655.14                     |  |             |                                      |                       |                |

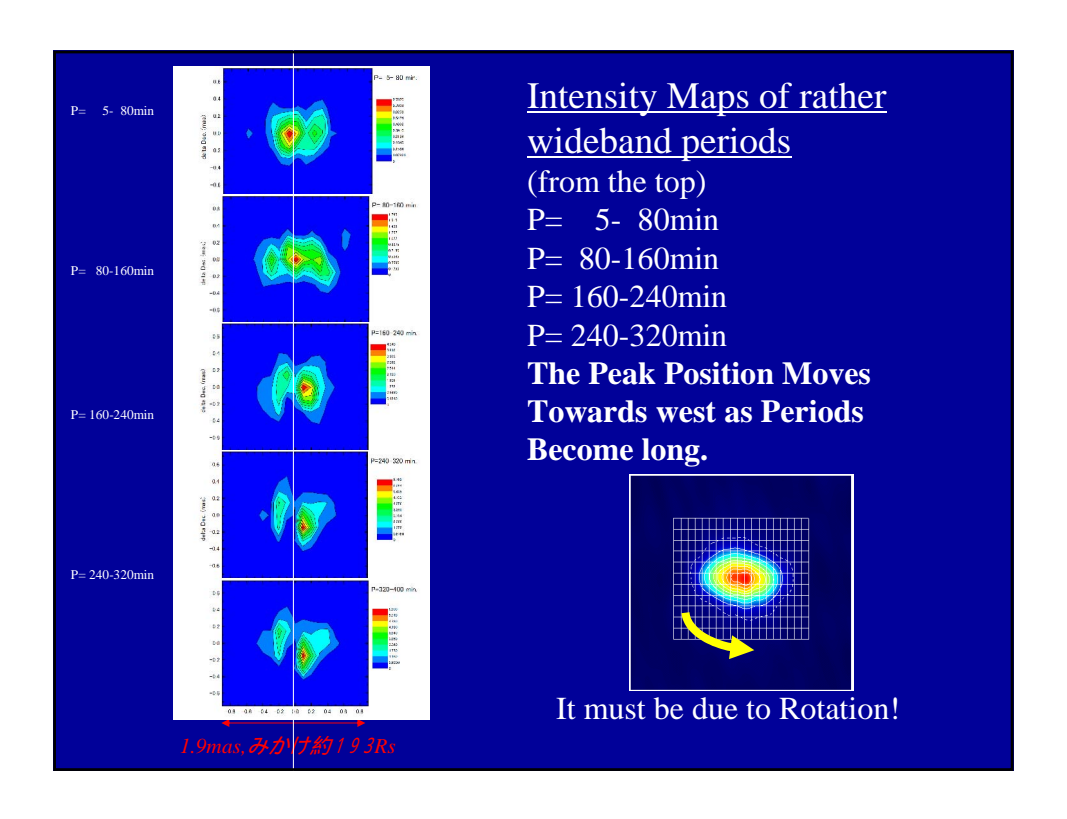


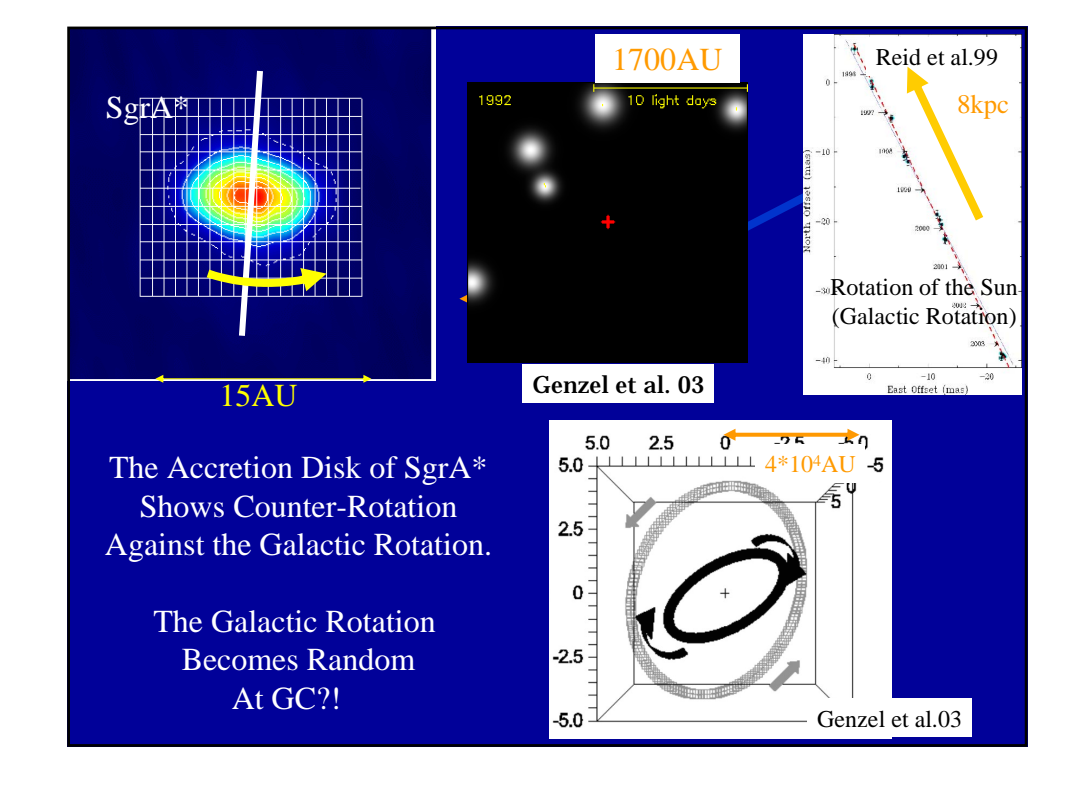
Intensity Maps of the Periods
P= 62.15min(上)
P=131.6min(中)
P=224.8min(下)
The Peak Position Moves
Towards west as Periods



Become long.

Rotation?





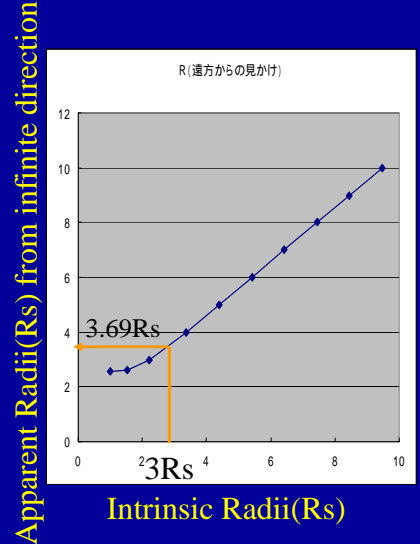
# There is one thing to be discussed. "The scale" seems inconsistent.

- •From the velocity derived from the shift of spectra  $0.1 \text{ mas corresponds to } \sim 3\text{Rs} \quad (M=1.2 \times 10^7 M_{\text{sun}} !)$
- •From the distance (8kpc) and the mass of SgrA\*( $4 \times 10^6 M_{sun}$ ) 0.1 mas corresponds to ~10Rs
- >The derived velocity is wrong?
- ---- Then check the possible theory to sit them well.

  Something to change the scale of 0.1mas 10Rs to 3 Rs.

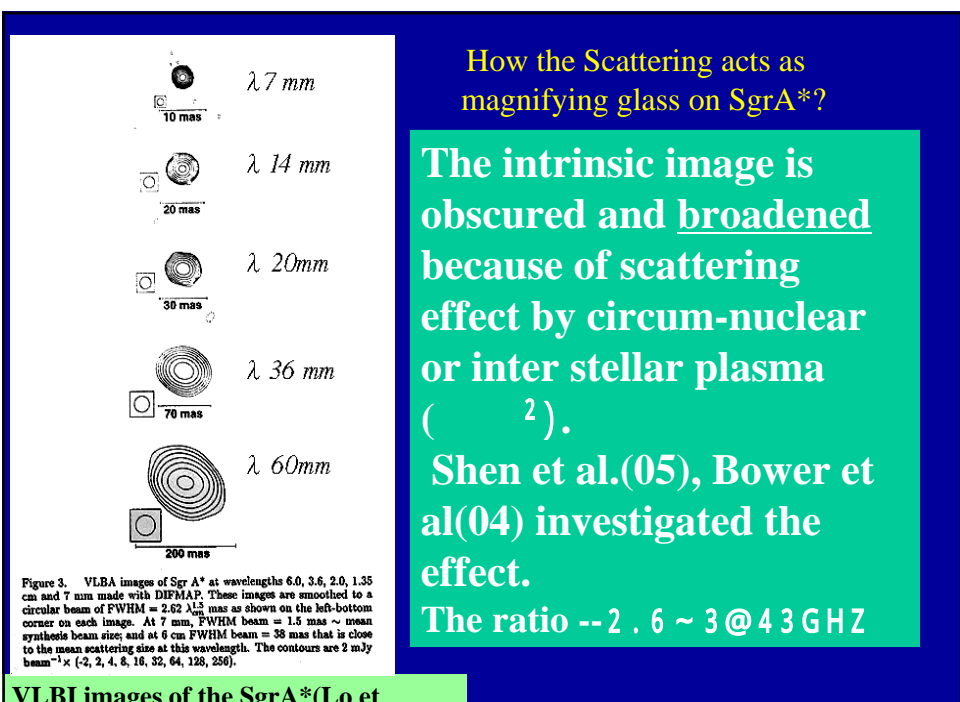
Self gravitational lensing effect of black hole will play an role of magnifying glass.



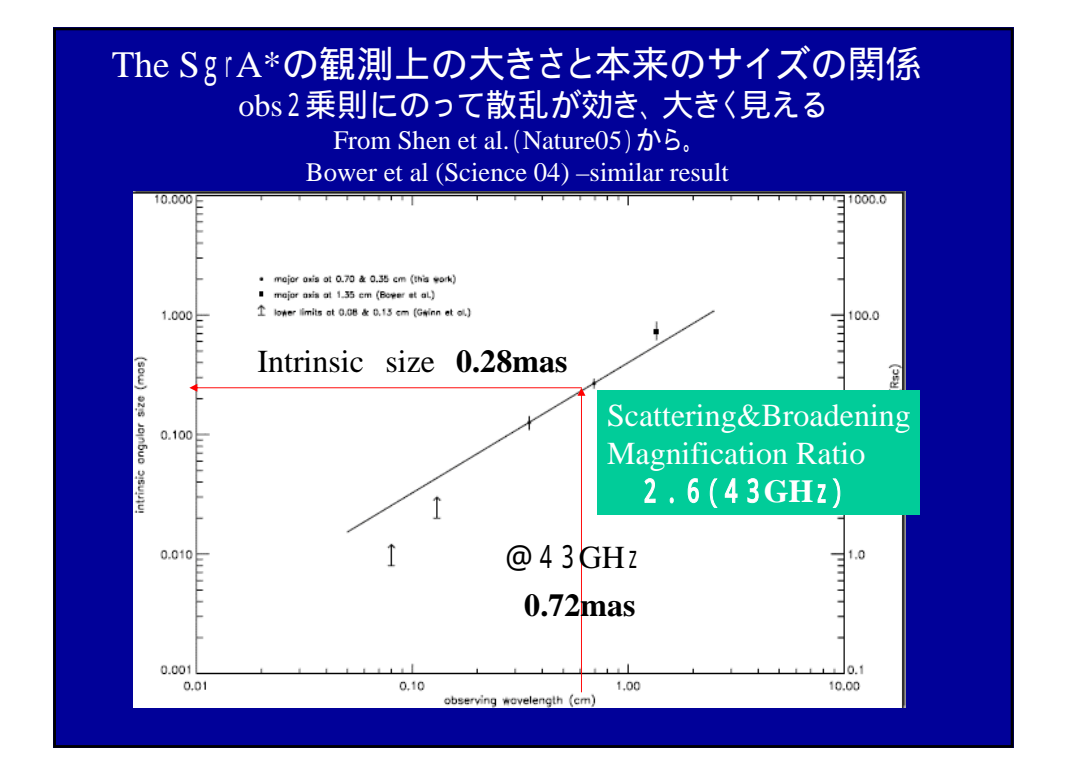


- •Event horizon (r=1Rs) seems to be at r=2.5Rs from infinite direction.
- •How about r ~ 3Rs region? Magnifying ratio ~ 1.23 --insufficient to explain the sc
- --insufficient to explain the scale problem--

Calculation by Takahashi R.



VLBI images of the SgrA\*(Lo et



Considering only the mass(400million solar mass) and distance (8kpc):

 $0.1 \text{mas(EW)} \times 0.15 \text{mas(NS)}$ = > 9.7 Rs(E-W) × 16.2Rs(N-S)

### magnification ratio:

1)self gravitational lensing effect at r = 3Rs

1.23 2.6 ~ 3

2)scattered&broadening effect by intervening plasma

3.12 ~ 3.7

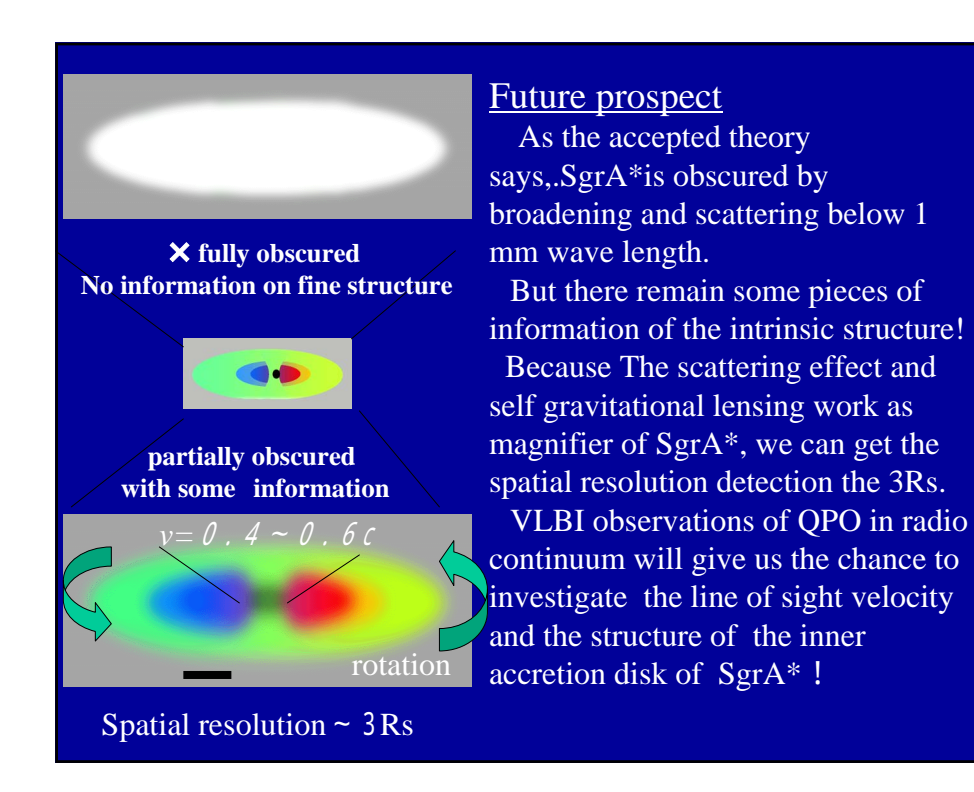
Total  $1.23 \times 2.6 \sim 3 =$ 

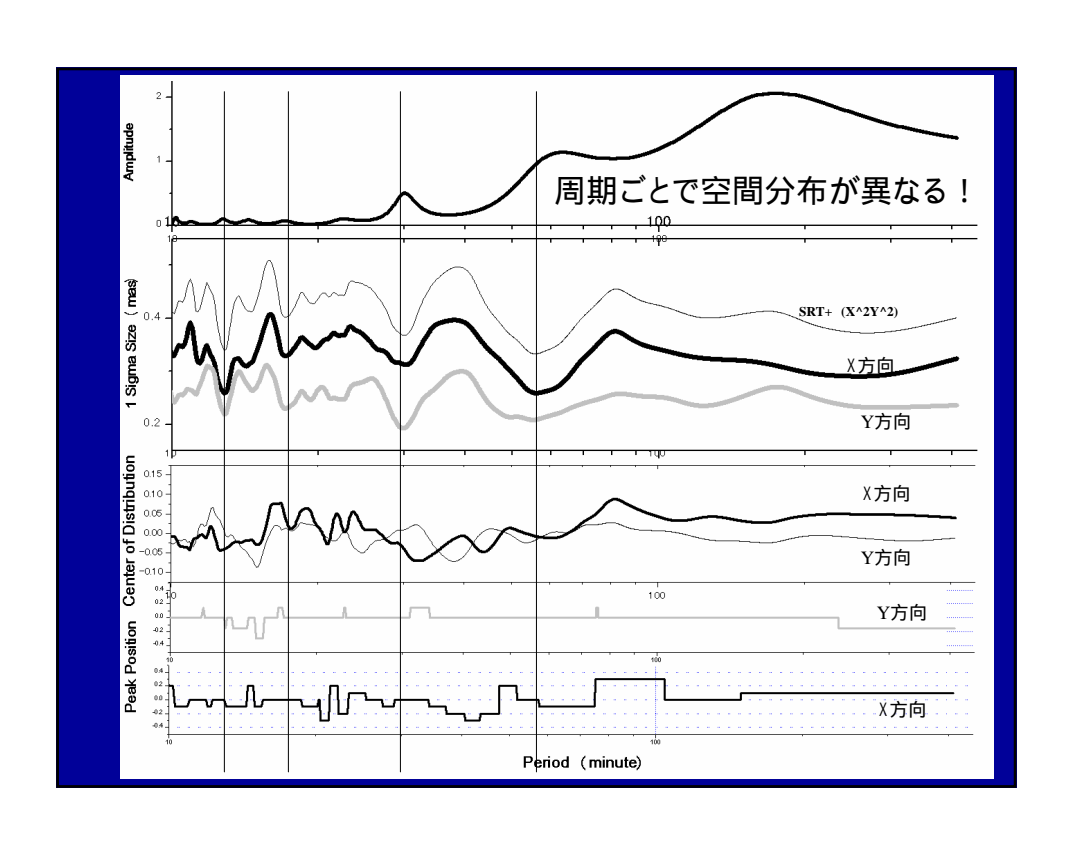
Considering also the total magnification ratio  $3.12 \sim 3.7$   $0.1 \text{mas}(\text{EW}) \times 0.15 \text{mas}(\text{NS})$ = > 3.1-2.6 Rs(E-W) × 5.2-4.4Rs(N-S)

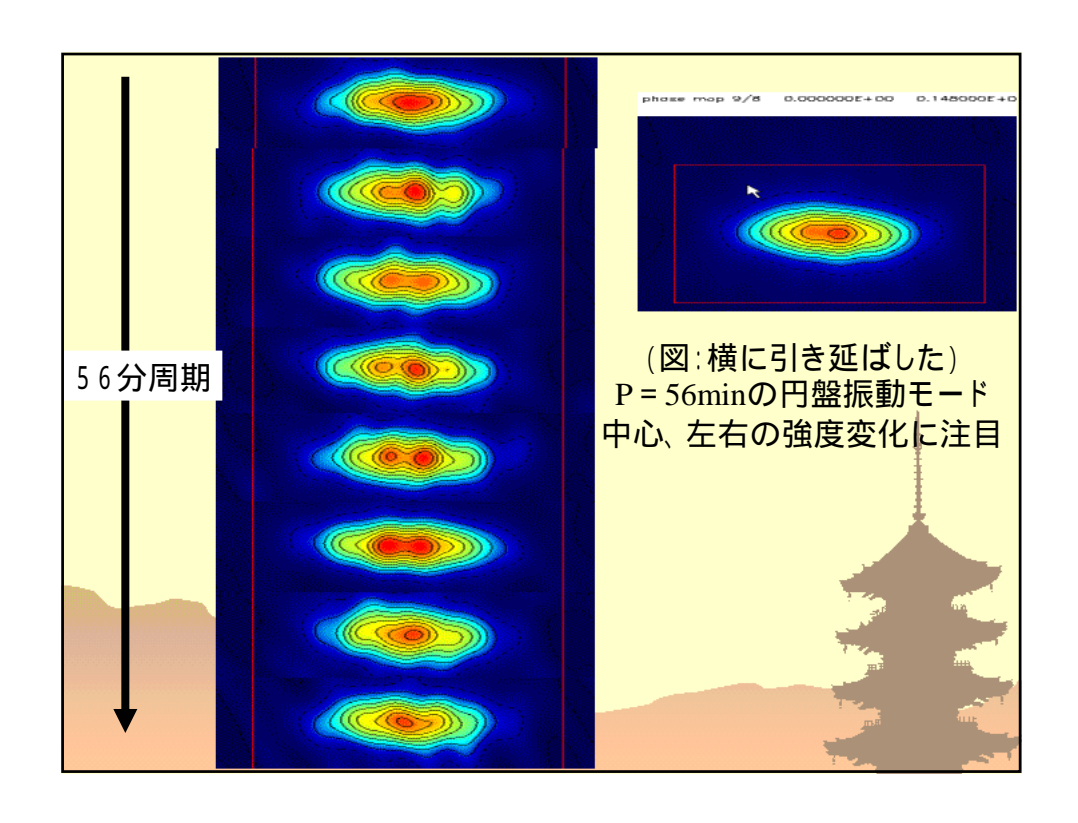
These two broadening effects give us the ~3Rs resolution!

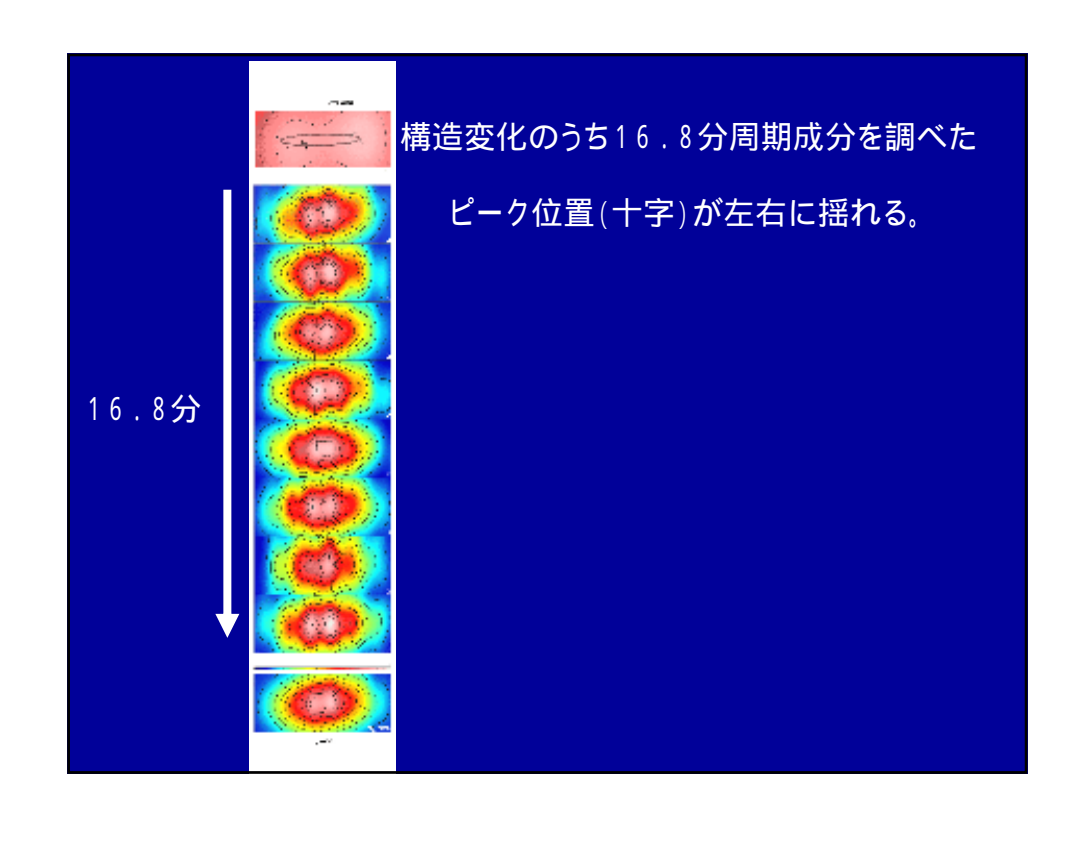


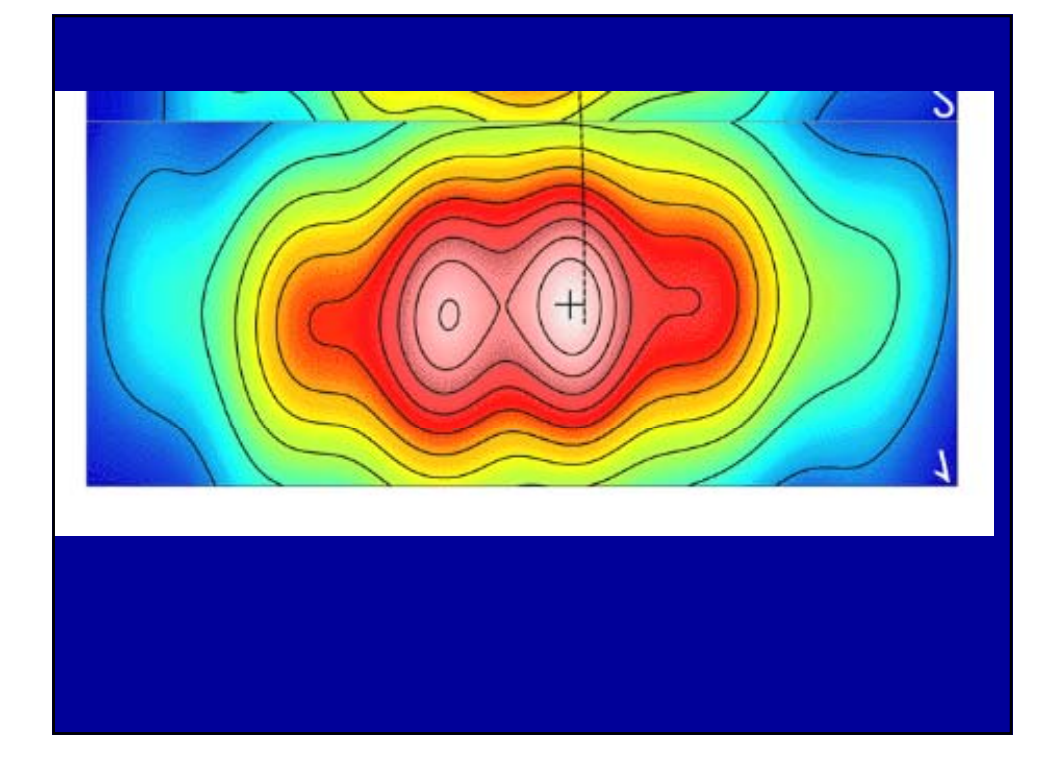
Does Thompson Scattering Really Work As Magnifying Glass on SgrA\*?

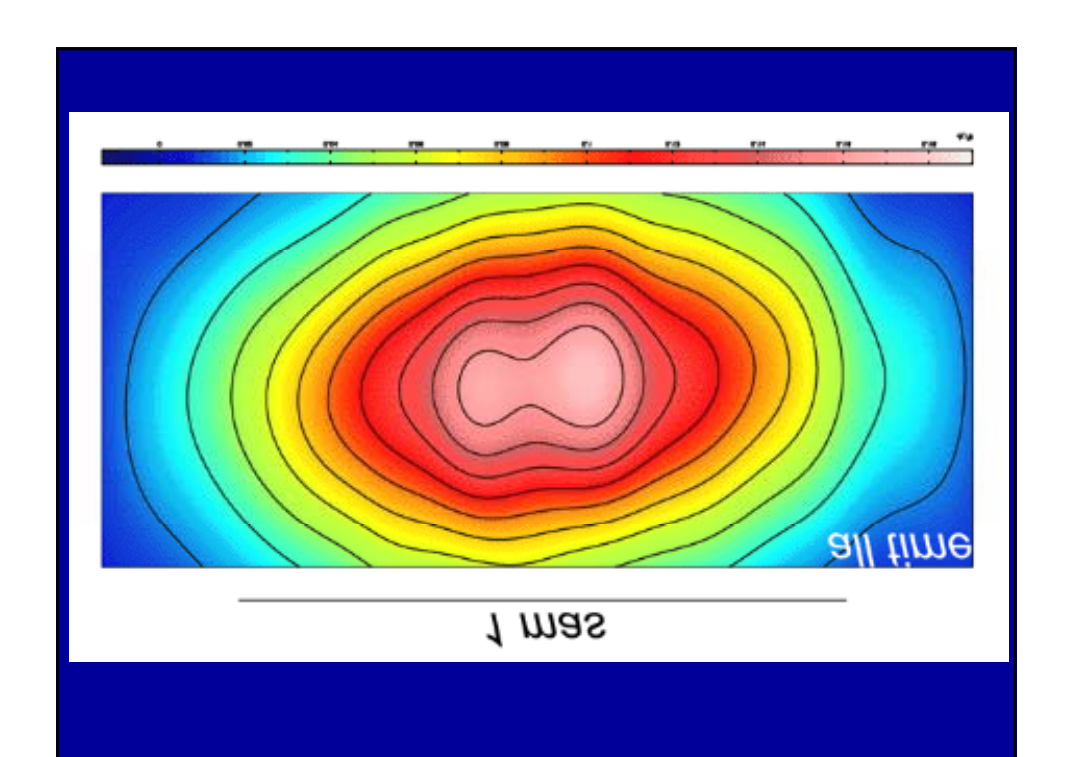


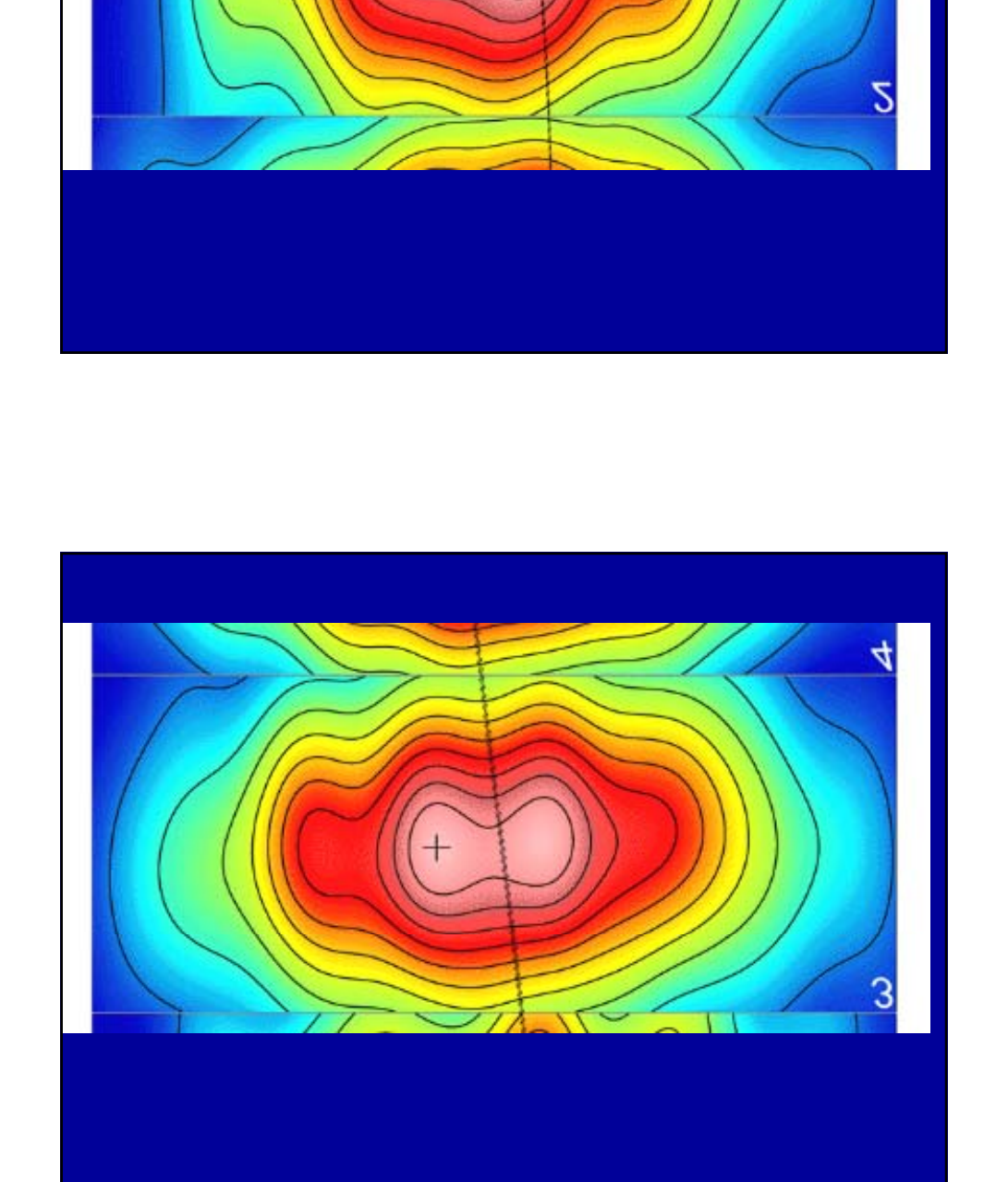


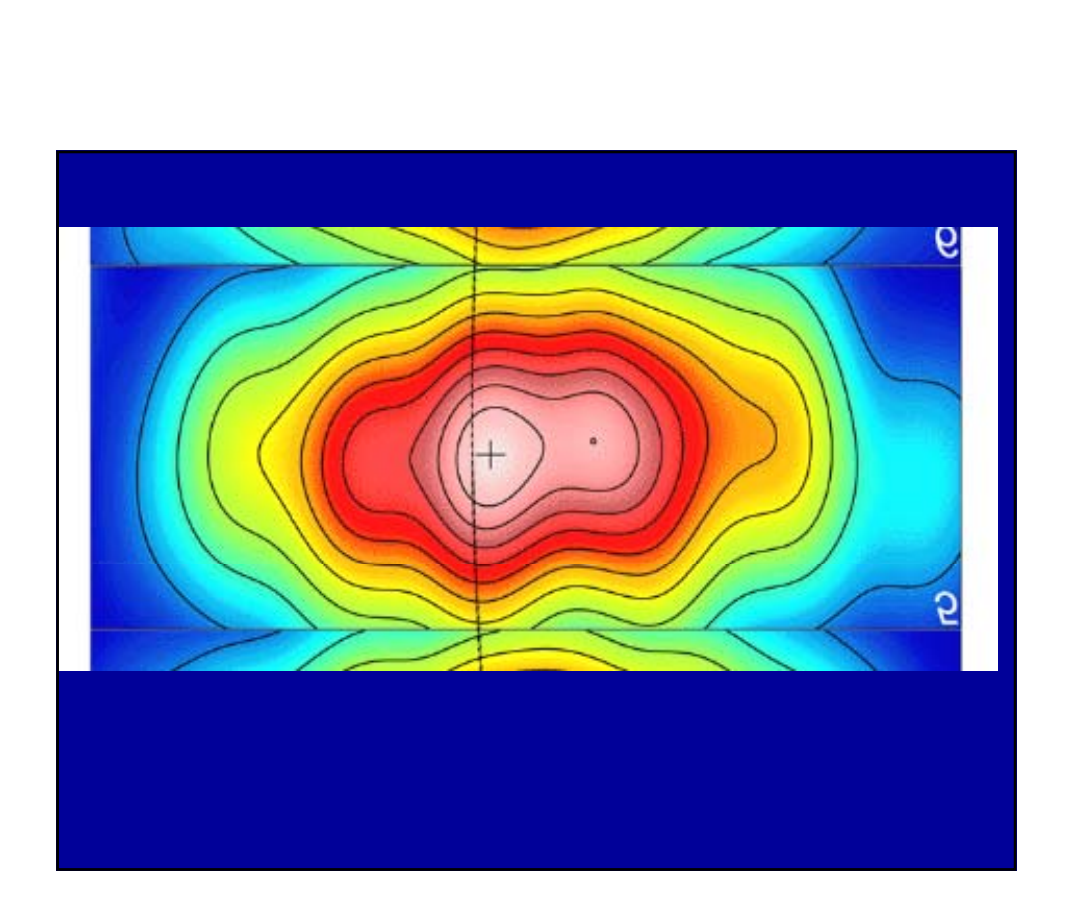


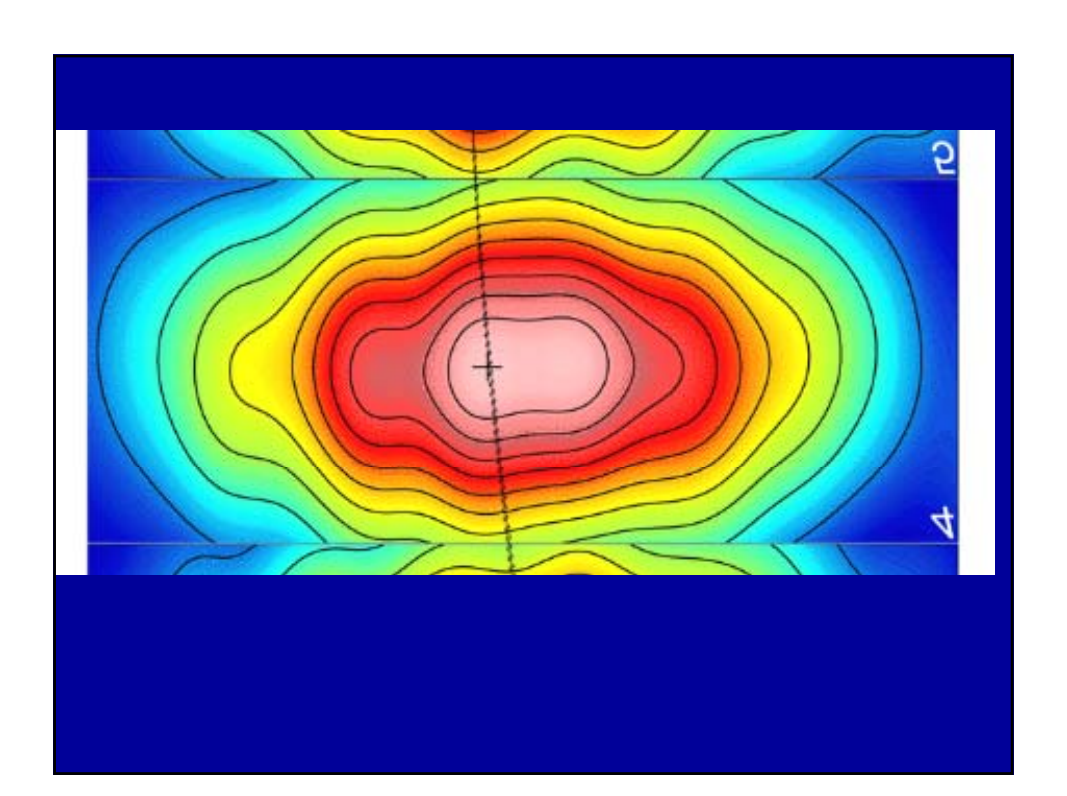


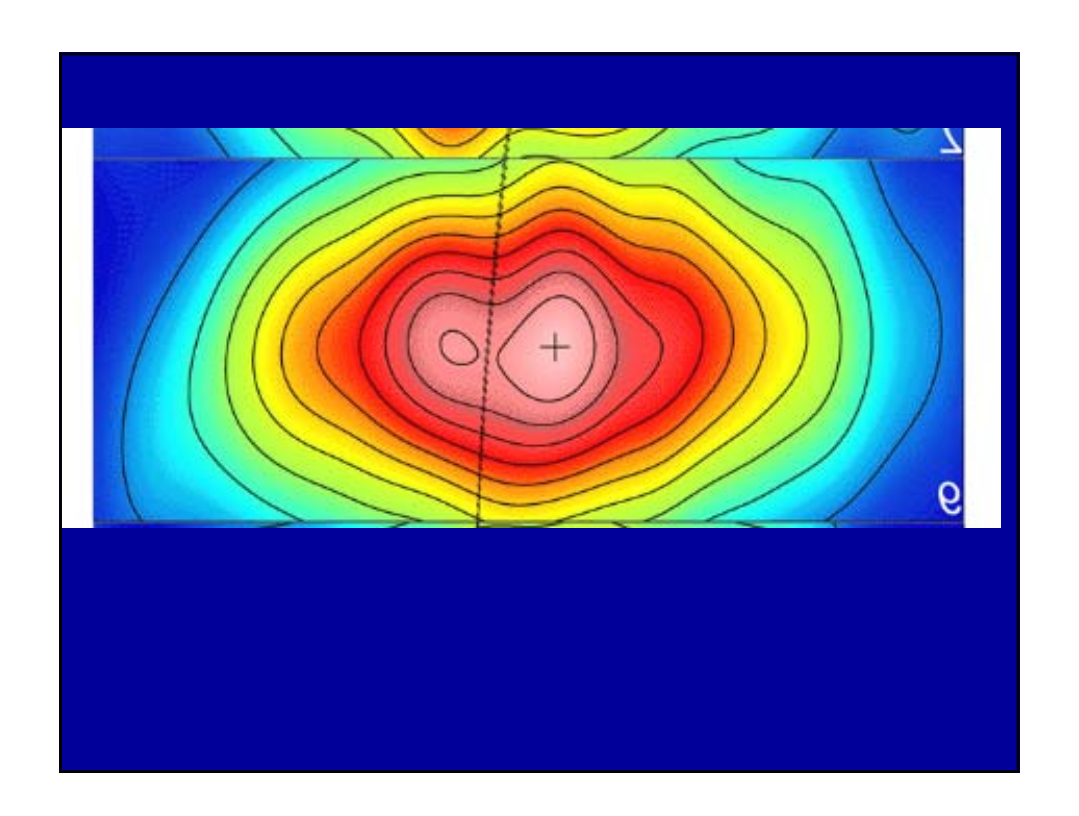


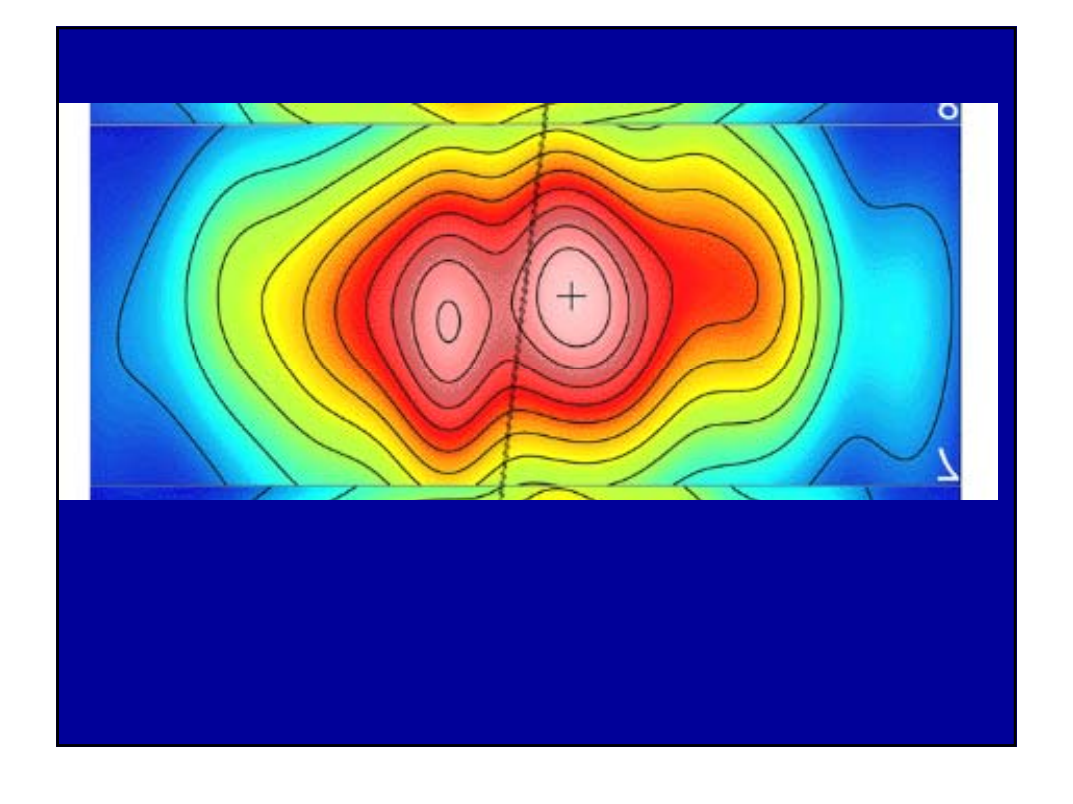


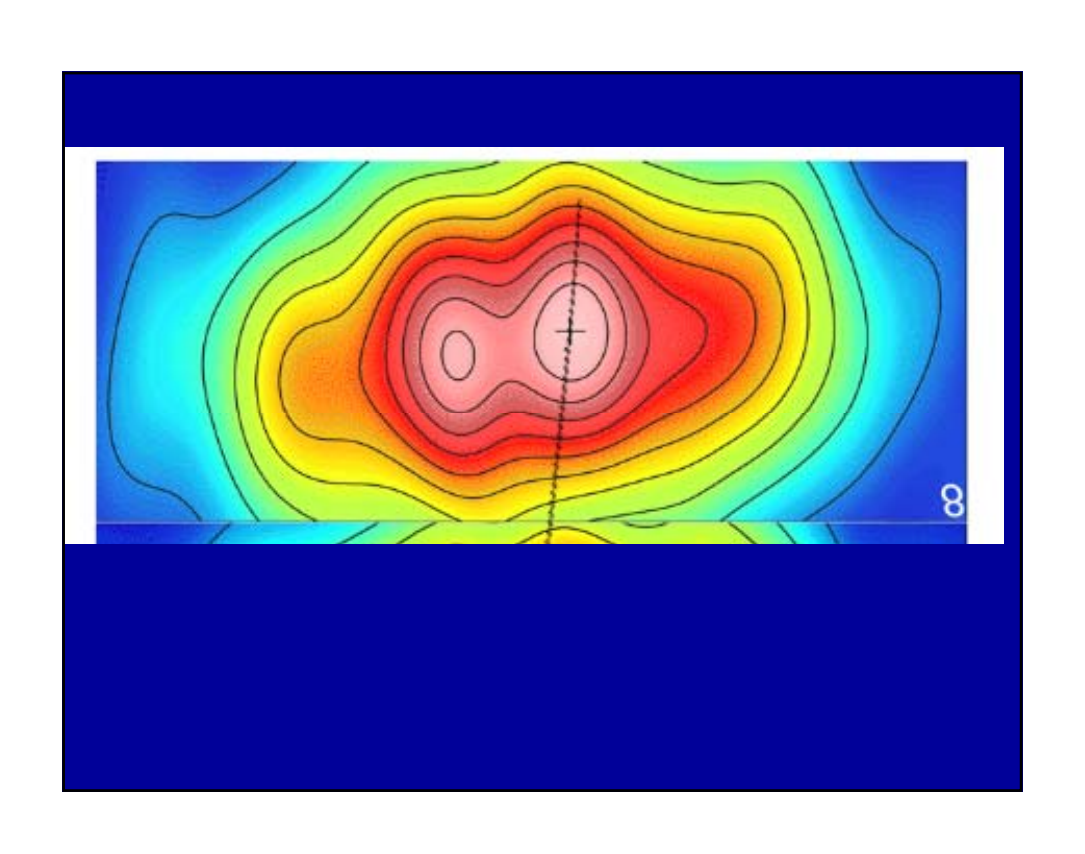


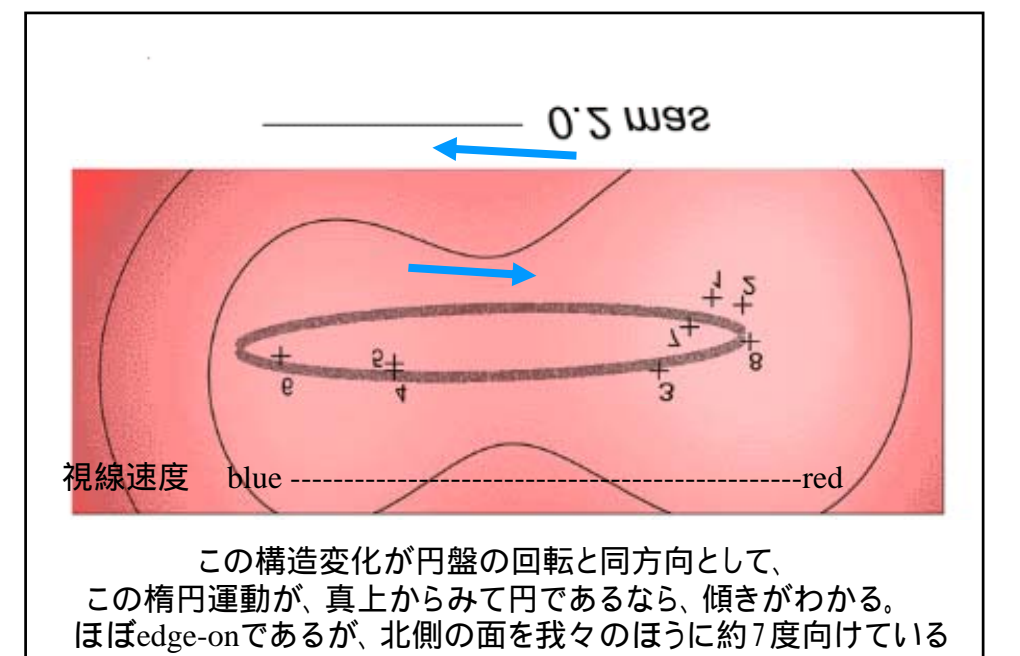


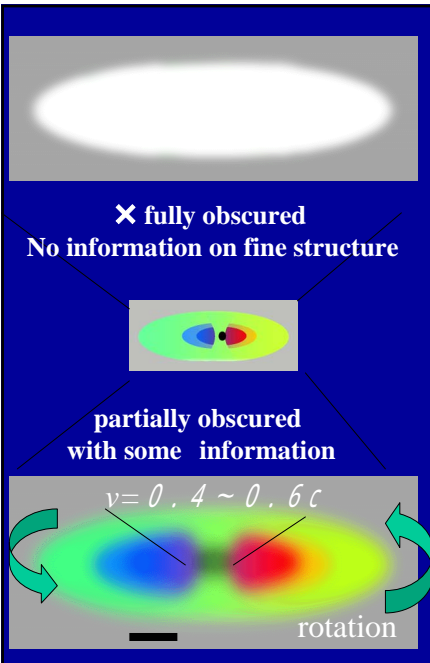












Spatial resolution ~ 3Rs

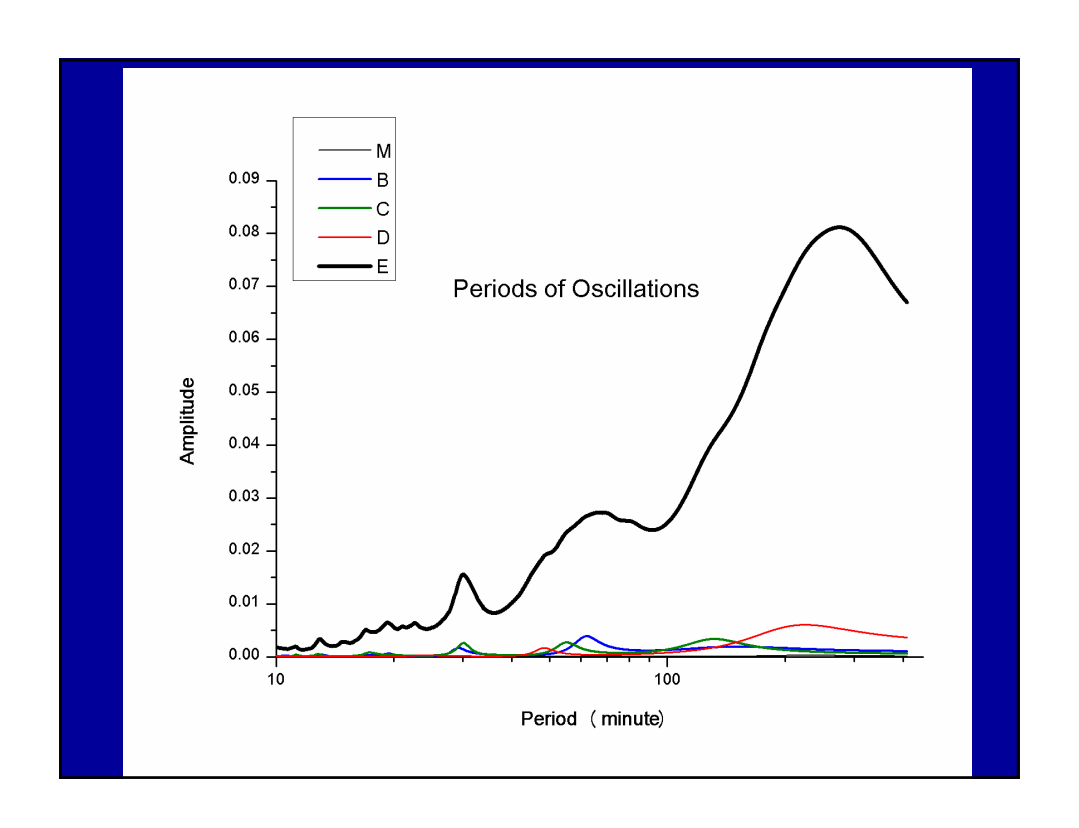
### Future prospect

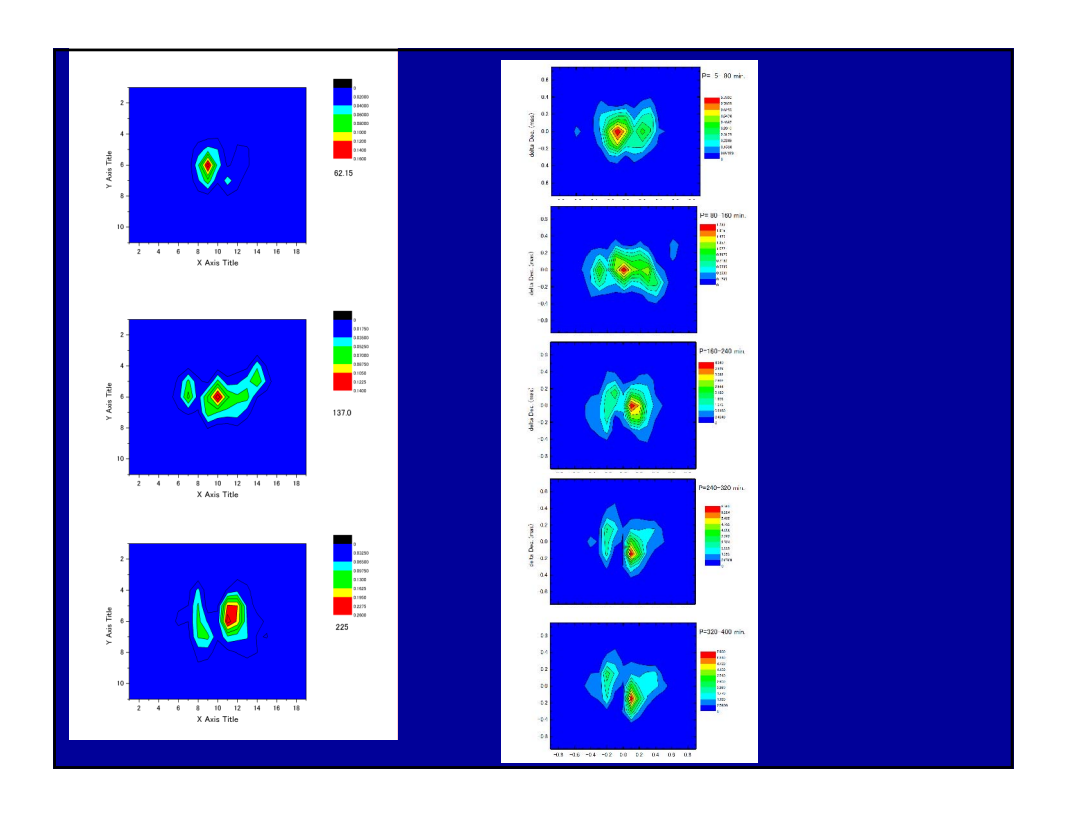
As the accepted theory says,.SgrA\*is obscured by broadening and scattering below 1 mm wave length.

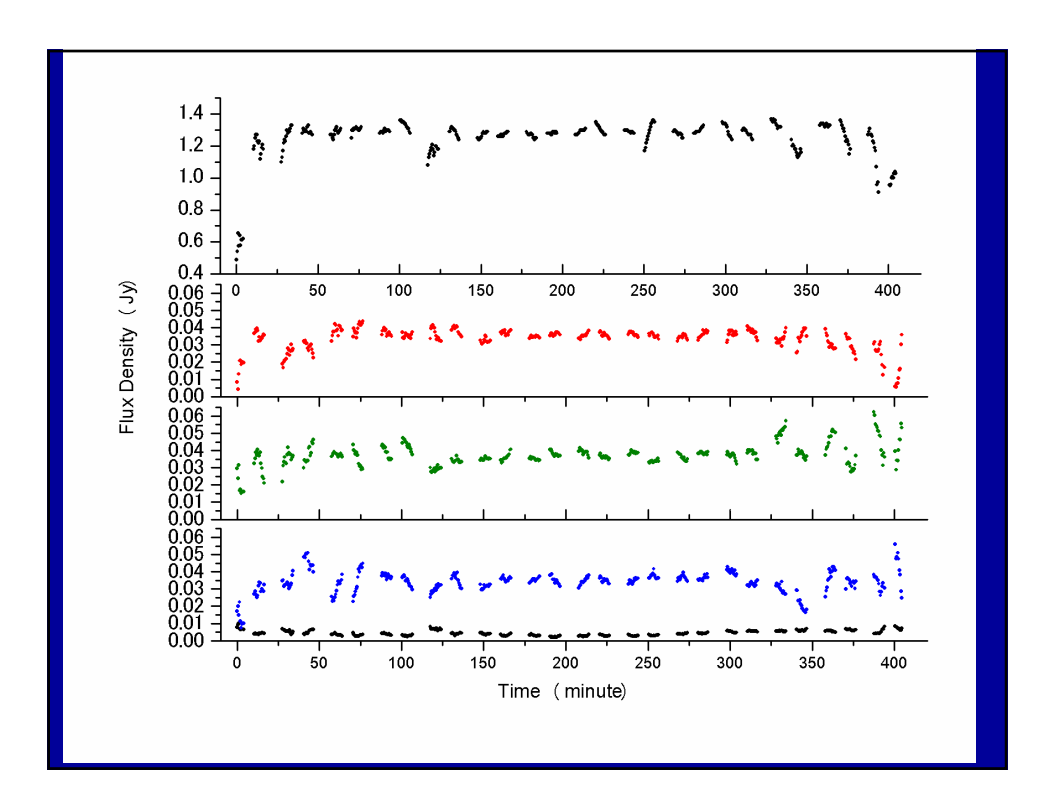
But there remain some pieces of information of the intrinsic structure!

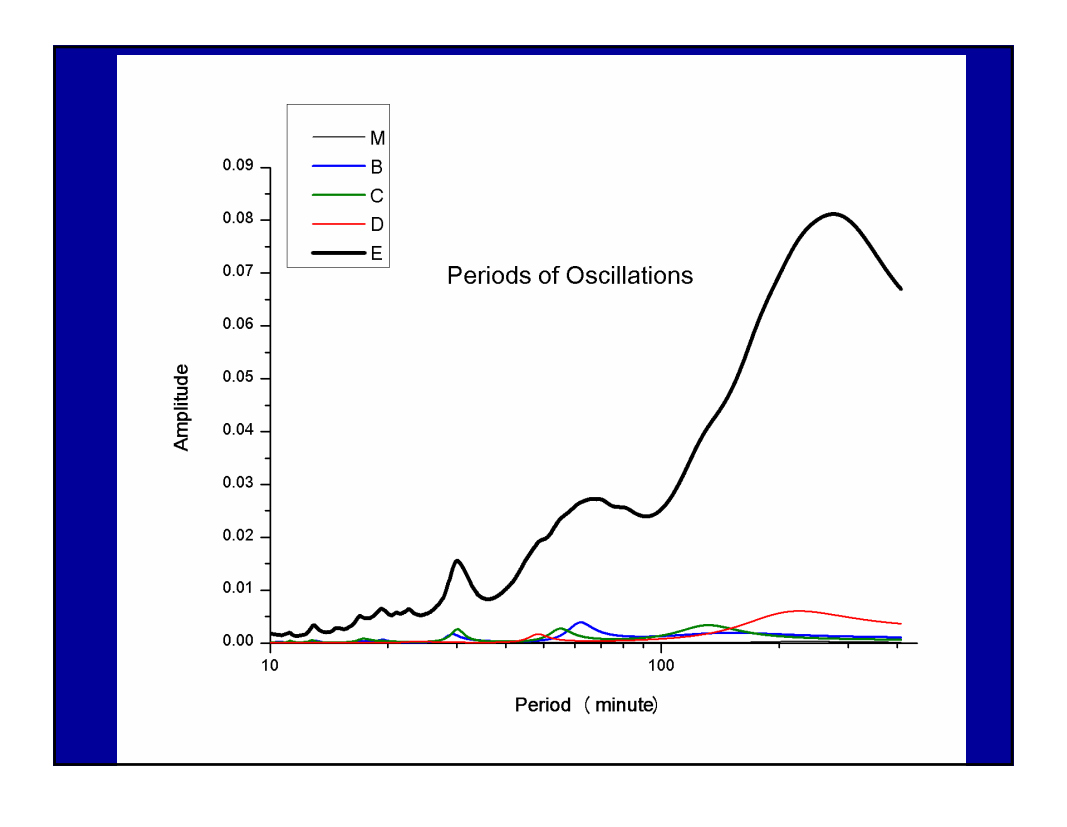
Because The scattering effect and self gravitational lensing work as magnifier of SgrA\*, we can get the spatial resolution detection the 3Rs.

VLBI observations of QPO in radio continuum will give us the chance to investigate the line of sight velocity and the structure of the inner accretion disk of SgrA\*!

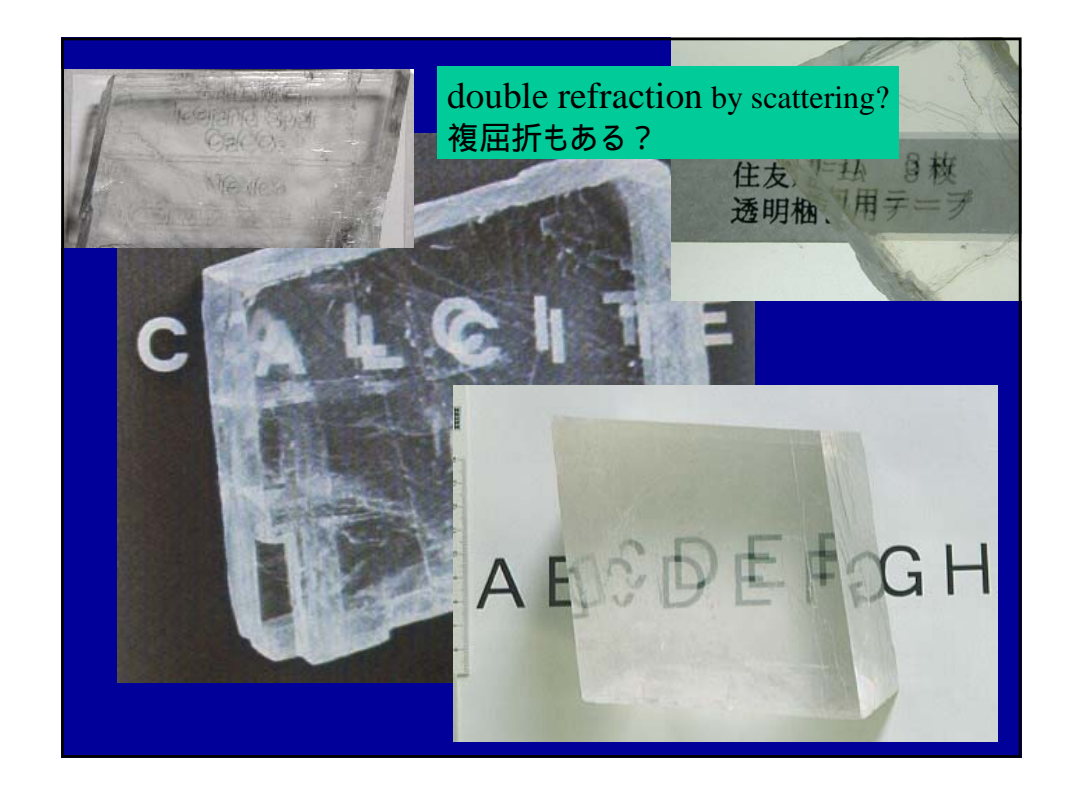


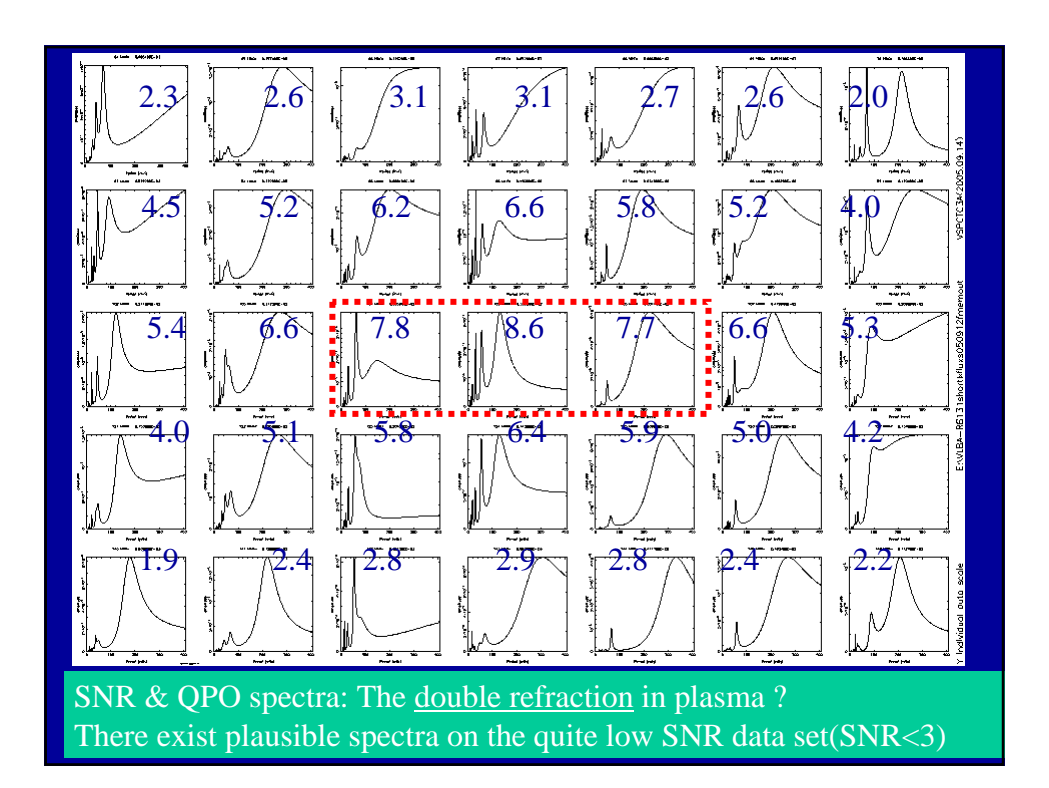






| Code | Square L<br>Period(min)          | amplitude  | 1.0.1     | Amounts of Shifts   | Clode | Square C<br>Period(min)   | amplitude | 1.0.1   | Amounts of Shifts                                  | Code | Square It<br>Period(min) | amplitude | 1.D.F |
|------|----------------------------------|------------|-----------|---|-------|---|-----------|---------|--|------|--------------------------|-----------|-------|
|      |                                  |            |           |   |       | 3.40+0.10   | 1.55E-05  | 137.17  |  | ROL  | 5.90+0.20                | 9.62E-06  | 70.7  |
|      |                                  |            |           |   |       | 3.80+0.10   | 3.20E-05  | T28.93  | -1.763+0.050<br>-0.122                             |      |                          |           |       |
|      |                                  |            |           |   |       |   | 2.558-05  | 210.81  |  | 1102 | 6.70+0.10                | 5.795-05  | 541.1 |
|      |                                  |            |           |   |       | n mo+0.10   | 2.038-00  | 728.92  |  | 1002 | 6.70 0.30                | 0.196-00  | 041.1 |
|      |                                  |            |           |   |       |   | 2.202.00  | 120.00  |  |      |                          |           |       |
|      |                                  |            |           |   |       | 4.00+0.15<br>4.30+0.05  | 2.538-05  | 210.62  | ←1.650 <sup>+0.176</sup><br>−0.139                 |      |                          |           |       |
|      |                                  |            |           |   |       | 4.30+0.05   | 2.03K-05  | 105.18  | -1.850 0.139<br>-1.721+0.160<br>-0.082             | ROS  | 7.40+0.50                | 4.9E-05   | 90.5  |
|      |                                  |            |           |   |       | 4.80 +0.05<br>4.80 -0.05  | 2.49E-05  | 48.54   | -1.721 +0.160<br>-0.089<br>-1.609 +0.128<br>-0.082 |      |                          |           |       |
|      |                                  |            |           |   |       | 4.60+0.05   | 2.498-05  | 48.54   |  | P014 | 8.40+0.40                | 1.815-00  | 122.1 |
|      | 2.2+0.20                         | 4.145-00   | 196.09    | -0.440+0.045  | C01   |   | 0.375-05  | 225.89  |  |      | 8.40 0.50                |           |       |
|      | -0.20                            |            |           | -0.044  |       |   |           |         |  |      |                          |           |       |
|      |                                  |            |           | none wish 0.471 bus 10%shift                                  | C02   | 5.40+0.05   | 7.018-05  | 655.14  | -1.741+0.072<br>-0.089                             | ROG  | 9.40+0.30                | 4.7815-05 | 26.7  |
|      | 2.7+0.10                         | 3.325-06   | 107.10    | -0.450+0.025  | C03   | 6.00+0.10   | 2.918-05  | 50.00   | ←1.783 <sup>+0.132</sup> →                         | mos  | 10.70+0.00               | 7 565-05  | 224 4 |
|      | 38:18                            | 5.558-06   | 30.49     | -0.450 0.024<br>-0.446 0.024                                  | C04   |   | 1.08%-04  | 2755.10 | -1.783 +0.132<br>-1.646 +8.978<br>-0.070           |      | 10.70 _0.30              |           |       |
|      |                                  |            | 2709925.0 |   |       |   |           |         |  |      |                          |           |       |
|      | 3.2 <sup>+0.10</sup>             | 2.9116-06  | 12.11     | 0.464 +0.029<br>0.027   | Clos  | 6.90 <sup>+0.20</sup><br>7.30 <sup>+0.10</sup><br>7.30 <sup>+0.10</sup> | 1.078-04  | 181.66  | -1.710+0.141<br>-0.119-<br>-1.616+0.130<br>-0.089  | R07  | 11.80+0.60               | 5.46E-05  | 124.5 |
|      |                                  |            |           | -none with 0.471 but 10%shift                                 | C06   | 7.30+0.10   | 8.74E-05  | 501.58  | -1.616 <sup>+0.130</sup>                           |      |                          |           |       |
|      |                                  |            |           |   |       |   |           |         |  |      |                          |           |       |
|      | $3.7^{+0.20}_{-0.10}$            | 6.4816-06  | 40.60     | 0.451+0.030<br>0.023  | C07   | 8.20+0.20   | 2.38-04   | 254.14  | -1.744+0.157<br>-0.137                             | ROS  | 14.30+1.10<br>-0.80      | 0.50E-05  | 20,0  |
|      | 4.2+0.05                         | 4.848-06   | 32.05     |   |       |   |           |         |  |      |                          |           |       |
|      |                                  | 6.988-06   | 17.76     |   |       |   |           |         |  |      |                          |           |       |
|      | +0.05                            | 1.34E-05   | 26.12     |   |       |   |           |         |  |      |                          |           |       |
|      | 4.6_0.05<br>4.6+0.20<br>4.6-0.10 | 1.305-05   | 62.10     | -0.480+0.082<br>-0.022  | COS   | 10.00+0.50  | 7.558-05  | 7.33    | -1.780 <sup>+0.445</sup><br>-0.247 →               | R09  | 17.80+2.00               | 1.11E-04  | 18.9  |
|      | -0.10                            |            |           |   |       |   |           |         | -0.247   |      | -1.70                    |           |       |
|      |                                  |            |           | none with 0.471 but 10%shift                                  | C09   | $^{11.20  +  0.20}_{-0.20}$   | 3.35E-04  | 2007.90 |  |      |                          |           |       |
|      | 5.80+0.20                        |            |           | 10.001  |       | 10.00   |           |         | 10.755   |      | 10.00                    |           |       |
| L01  | 6.20+0.10                        | 2.27E-05   | 127.53    | -0.453+0.031<br>-0.454+0.024<br>-0.484+0.024                  | C10   | 12.80 +0.30<br>-0.40<br>12.80 +0.20<br>-0.40                            | 5.485-04  | 1052.63 | -1.855 <sup>+0.532</sup><br>-0.168 →               | R10  | 23.75+5.85               | 3.14E-04  | 6.80  |
| L02  |                                  | 5.085-05   | 529.66    | -0.484 -0.019   | C10   | 12.80 -0.40   | 5.48-04   | 1052.63 |  |      |                          |           |       |
| L03  | 7.00+0.20                        | 1.0625-04  | 247.71    |   |       |   |           |         |  |      |                          |           |       |
| L04  | 7.90+0.40                        | 4 57W-05   | 19.45     | -0.457+0.043_   | cm    | 17.20+1.40  | 9 03W-04  | 111.64  |  |      |                          |           |       |
| 1.04 |                                  | 4.678-06   | 19.46     | -0.467 -0.045   | CII   | -0.70   | 8.03E-04  | 111.84  |  |      |                          |           |       |
| 1.05 | 8.50+0.20                        | 4.788-05   | 179.70    | none with 0.471 but 10% shift                                 |       |   |           |         |  |      |                          |           |       |
| L06  | 10.60+0.10                       | 1.86E-04   | 630.51    | none with 0.471 but 10% shift                                 |       |   |           |         |  |      |                          |           |       |
|      | 13.10 + 0.40                     | 3.665.04   | 782.05    | -0.434+0.037_   | C12   | 30.20+1.60  | 2.68.03   | 257.43  | -1.604+0.244                                       | B11  | 48.45 + 4.60             | 1.675-03  |       |
| LOT  |                                  | 3,668-04   | 782.05    | -0.434 -0.039   | C12   | 50.20 -1.50   | 2.68-03   | 207.43  | -1.604   | 1011 | 48.46 -3.25              | 1.678-03  | 76.2  |
| L08  | 16,95 +0.70                      | 2.66E-04   | 33.42     | none with 0.471 but 10% shift                                 |       |   |           |         |  |      |                          |           |       |
| L09  | 19.40 +0.80<br>19.40 +0.80       | 5.7625-04  | 73.00     | none wish0.471 bus 10%shift                                   |       |   |           |         |  |      |                          |           |       |
| 1.10 | 29.25 + 2.20                     | 1.665-03   | 148 21    | -0.529 <sup>+0.088</sup><br>-0.077→                           | C11   | 55.25 <sup>+0.35</sup>  | 2.78.03   | 183.67  |  |      |                          |           |       |
| L10  |                                  | 1.66E-03   | 148.21    |   | C13   |   | 2.75-03   | 183.67  |  |      |                          |           |       |
| L11  | 62.15+8.80                       | 3.865-03   | 219.32    | +-0.472+0.206<br>0.152  | C14   | 131.70+45.40  | 3.338-03  | 73.35   | -1.708 <sup>+3.692</sup>                           | B12  | 225.00+339.90            | 6.042-03  | 22.9  |
|      | 178300                           |            |           | Correspondence with 105 shift                                 |       | 12002000  |           |         | 177.07.04.05                                       |      | 7, 5, 100001             |           |       |
| L03  | 7.00 10.20                       | 1.08E-04   | 247.71    | -0.959 +0.095<br>-0.052                                       | C06   | 7.30 + 0.10   | 8.74E-05  | 201.28  | -1.014+0.009<br>-0.054                             | Ros  | 7.40 + 0.60              | 4.9E-06   | 90.5  |
| 1.05 | 8.50 + 0.20                      | A 768-05   | 179.70    | 10.100  | C04   | 10.00+0.50  | 7.559-05  | 7.99    | 40.200   | Prof | 10.70+0.60               | 7 508.05  | 224   |
| Los  |                                  | 4.78E-05   | 179.70    |   | C08   |   | 7.008-05  | 7.33    |  | 1606 |                          | 7.86E-05  | 324.  |
| L04  | 10.60+0.10                       | 1.86K-04   | 630.51    | -0.946+0.044<br>-0.068  | C09   | 11.20+0.30  | 3.35K-04  | 2007.90 | -1.054+0.074<br>-0.071                             | R07  | 11.80+0.60               | 5.46E-05  | 124.5 |
| LOS  | 10 00 10.70                      | 2.698-04   | 33.42     | a need 0.083  | CII   | rm and 1.40   | 8.038.04  | 111.84  | 2 cond 0.164                                       | B09  | va au ± 2.00             | 1.116.04  | 18.9  |
|      |                                  | 2.000-04   | 33.42     |   |       |   | Journ-14  | 111.64  | -1.029 0.168                                       | His  | 17.80 -1.70              | 4.116-94  | 10.9  |
| L12  | 150.90 + 523.40 - 90.20          | 1.87E-03   | 26.23     | -1.146+5.301<br>-0.624<br>No correspondence with above shifts | C14   | 131.70 + 45.40 - 27.10  | 3.33E-03  | 73.35   |  |      |                          |           |       |
| 1.09 | 19.40 10.80                      | 5 70E-04   | 79.00     | No correspondence with above shifts                           | Loss  | 5.40 0.06   | 7.018-05  | 655.14  |  |      |                          |           |       |
| 2000 | -1.20                            | m. rest-04 | 1.4.00    |   | C-02  | -0.00   | 1.01E-01  | ment.14 |  |      |                          |           |       |





## VERAによる近傍大星形成領域 Orion KLの距離決定

廣田朋也(国立天文台VERA観測所) ほかVERAグループ

### 内容

- 近傍星形成領域の水メーザー観測の意義
- VERAによる位相補償VLBI
- Orion KLの位置天文観測結果
- ■今後の展望

### 近傍星形成領域の水メーザー

- 年周視差、固有運動の計測
  - 近いために年周視差計測(> 1mas)が容易
  - 中小質量星形成領域はメーザーの変動激しい(1ヶ月程度?)
  - 近いためにスポットが大き〈分解されやすい

### ■目的

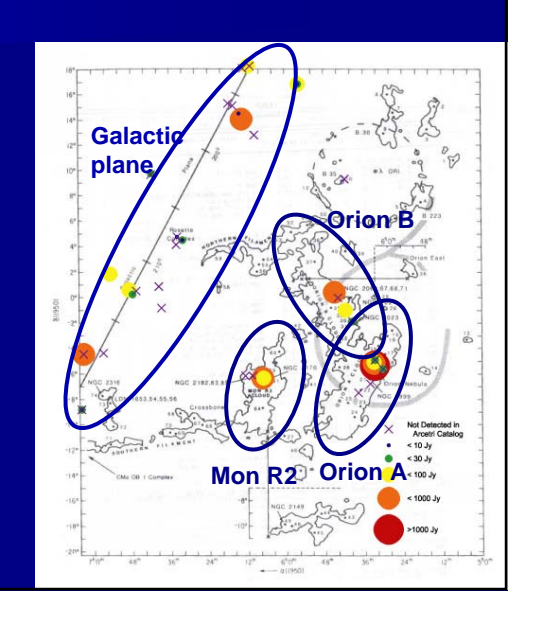
- 分子雲の力学的構造や形成機構の解明
- 星形成領域の運動(ジェット、ディスク)
- 距離決定結果に基づいた星形成研究の定量化・精密化
- 銀河系全域のアストロメトリの準備

### オリオン座いっかくじゅう座分子雲

- 距離400-800pc
- 太陽系から最も近い 大質量星形成領域
- ■多〈の水メーザー源
  - VERAによるサーベイで 確認(2003年10月)

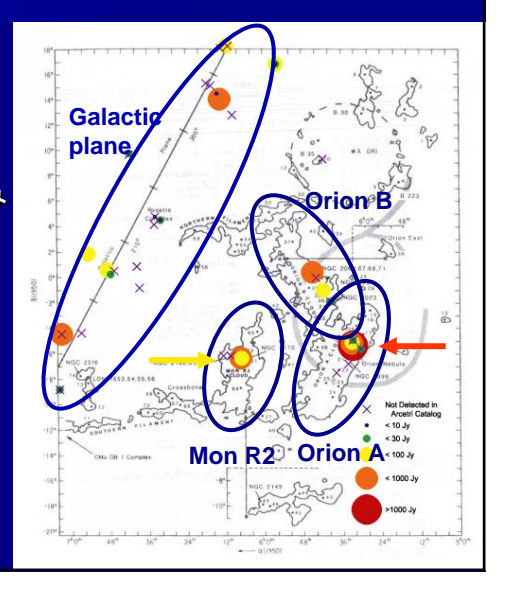
VERA初期観測には 最適な天体の一つ

(Maddalena et al. 1996)



### 観測概要

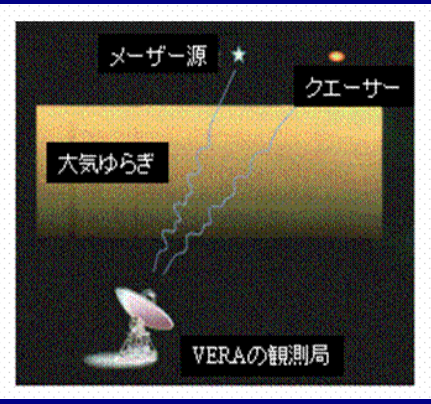
- VERA4局による 月1回のモニター観測
  - 2004年1月から2005年11月
  - 計15観測中3回は3局のみ
  - Orion KL
  - HH1
  - OMC-2(途中で消える)
  - Mon R2



### VERAによる位置天文観測

- 位相補償VLBI
  - 参照天体に対するメーザー源の位相(遅延)を測定

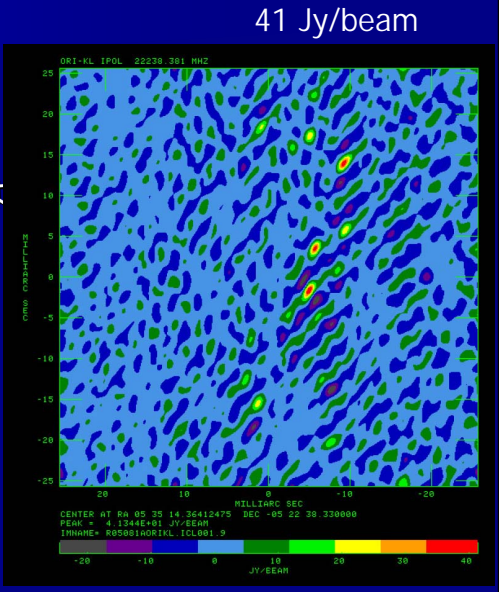




### 相対VLBIでのイメージング

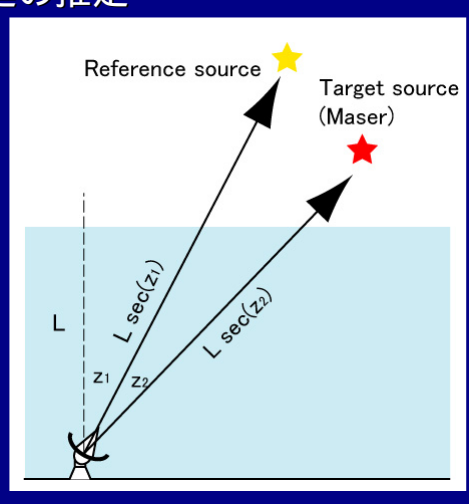
- 参照電波源で位相較正
- 位相較正装置による2 ビーム位相差補正
  - 特別なことをしない解析では ほとんどの場合イメージが 収束しない

相関処理時にあらかじめ 予想値した大気による 遅延量が正確でないため



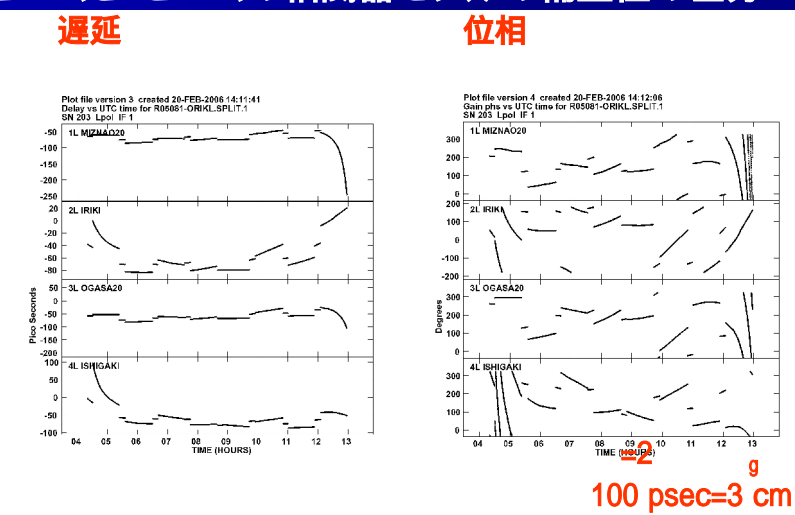
### 大気による遅延の影響

- これまでの天頂方向の遅延の推定
  - 相関器でのモデルは 気象データから 不十分 L=L (sec z1 - sec z2)secZ効果」
- 相関器モデルの補正
  - GPSによる測定結果 (本間さん発表)



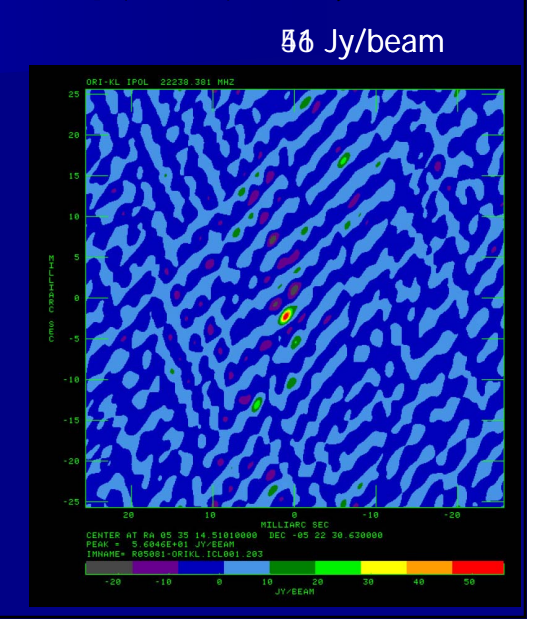
### 相関器モデルの補正例

■ BビームとAビームの相関器モデルの補正値の差分



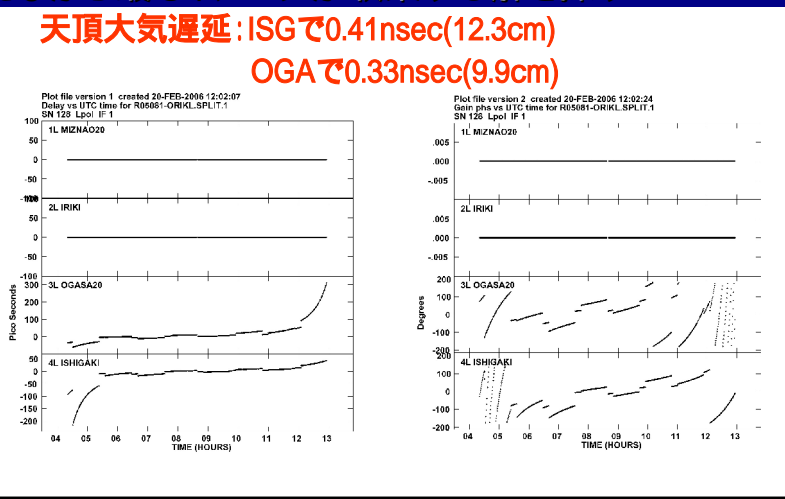
# 相対VLBIでのイメージング

- 参照電波源で位相較正
- 位相較正装置による2 ビーム位相差補正
- 相関器モデルの補正
  - イメージが収束
  - 低仰角のデータをフラグ するとコヒーレンス向上
  - まだコヒーレンスロス大 (実際は200 Jy/beam)



### 天頂大気遅延のオフセット

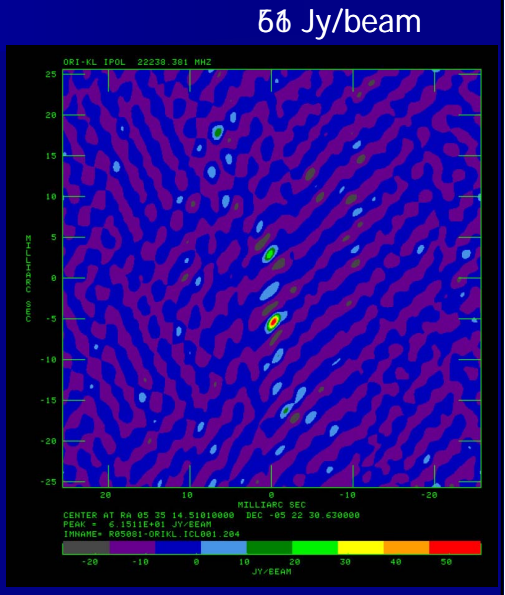
■ 特に誤差大きいISG、OGAについて天頂大気遅延を 変えながら最もイメージが収束する解を探す



## 相対VLBIでのイメージング

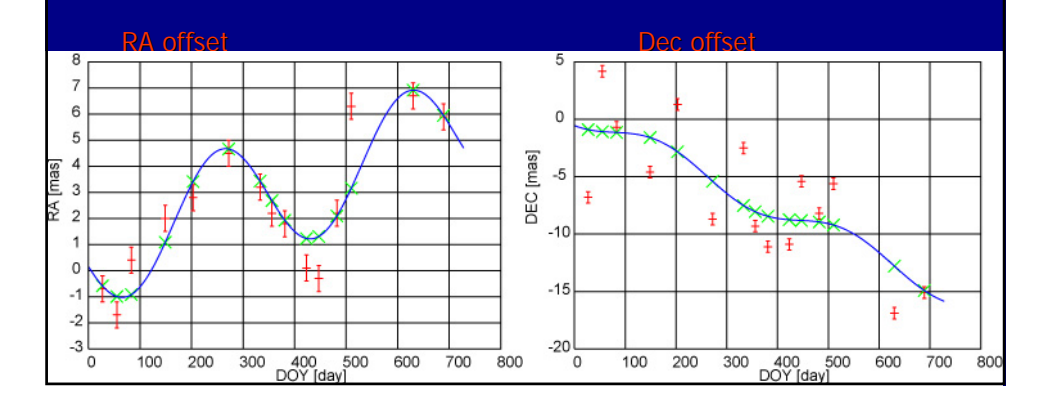
- 参照電波源で位相較正
- 位相較正装置による2 ビーム位相差補正
- 相関器モデルの補正
- 天頂大気遅延のオフセット
  - これでもまだフラックスが 小さい?

全エポックでこのような解析をすると、・・・



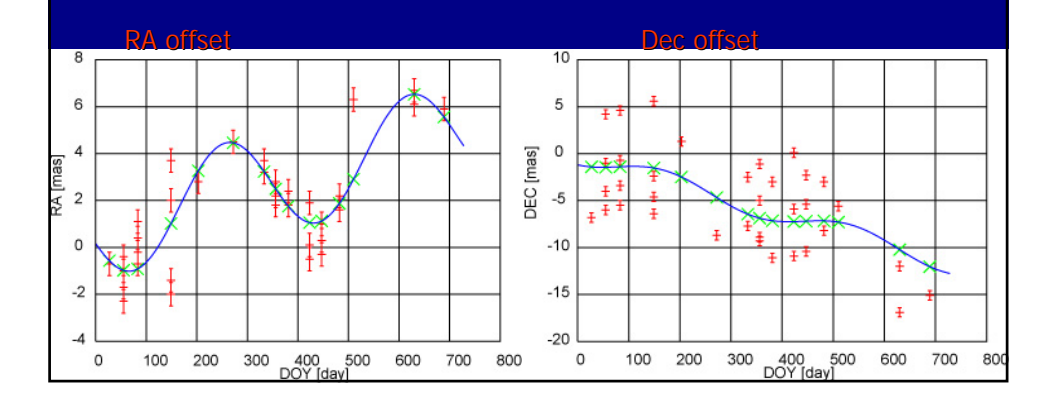
### Orion KLの年周視差計測

- = 2.3 + /- 0.3 mas --- D = 430 + /- 64 pc
- 特に赤緯方向の位置誤差大 年周視差はRAのみフィット
  - 遅延の推定精度が悪い?
  - サイドローブの影響? Orion KLのデータのみ顕著



### Orion KLの年周視差計測

- $= 2.3 +/- 0.3 \text{ mas} --- D = 430 +/- 64 pc}$
- 収束しないエポックは、可能性のある全スポットをプロット
  - RA方向はもともとばらつきが少ない
  - Dec方向は最悪10masのばらつき、ただし傾向あり?



### 今後の展望

- 相関器モデルの補正を行ってイメージング
  - 天頂方向の遅延の推定方法の確立
  - スポットとサイドローブの区別、特にUVの埋まりの悪いイメージ
  - コヒーレンスロスの原因
- 現在Orion KL、HH1、Mon R2、OMC-2(途中で消えた)、 NGC1333 HH7-11(途中で消えた)の解析中
  - 異なるエポック間のスポットの同定
  - 短寿命の異なるスポットでの視差のつなぎあわせ

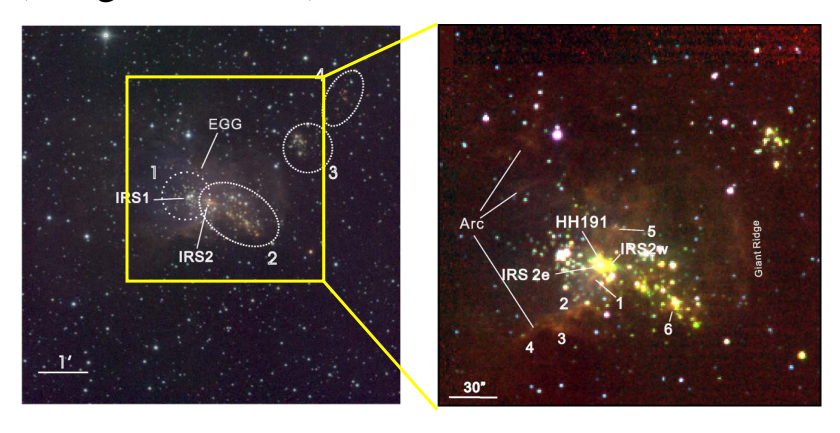
### VERAを用いたS269の位置天文計測

本間 希樹 (国立天文台VERA観測所)



#### 赤外線で見た S269

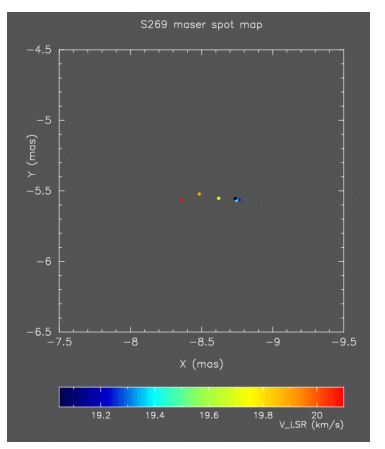
JHK images with IRSF of Nagoya Univ. (Jiang et al. 2003)



Hundreds of infrared sources (YSO)

# S269 水メーザー

- S269: high-mass star forming regions toward anticenter, with ~200 Jy H2O masers
- Paired with J0613+1305, 0.7 deg seperation

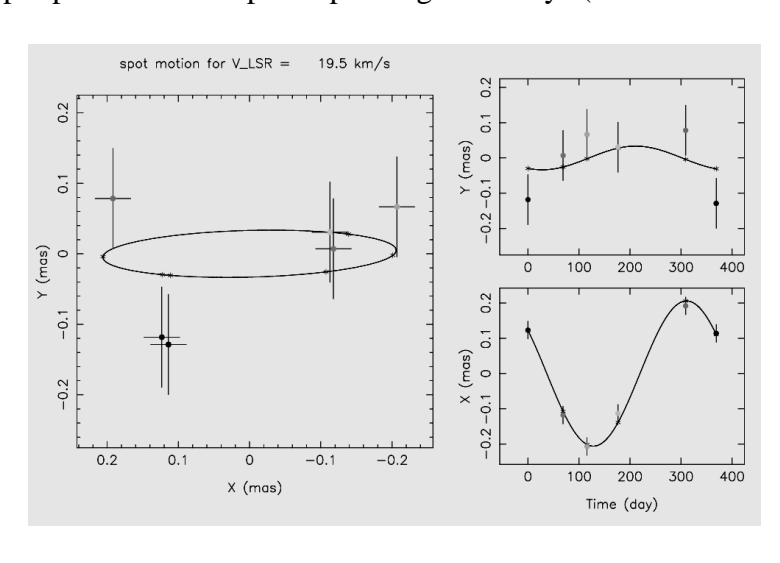


Maser map for r05073a Linear alignment in 0.4 mas scale Simple velocity gradient

Could it be related to accretion disk ? (c.f. Monitor by Lehkt)

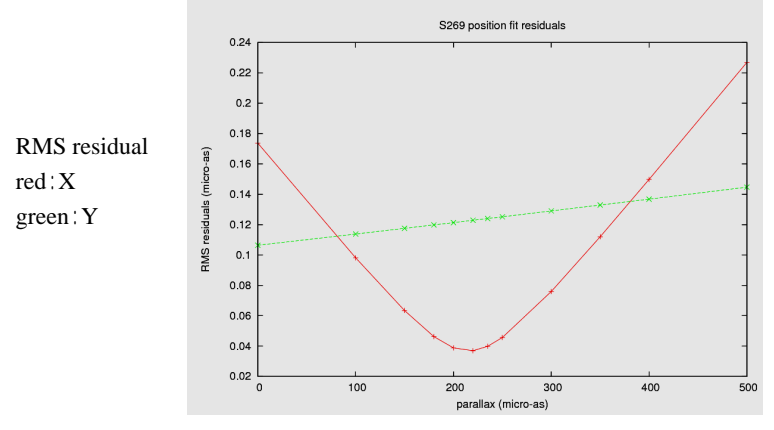
# 水メーザー位置の変化

Spot position for 5 epoch spanning ~300 days (since Nov 2004)



# S269 距離決定

• Parallax versus fitting residiuals

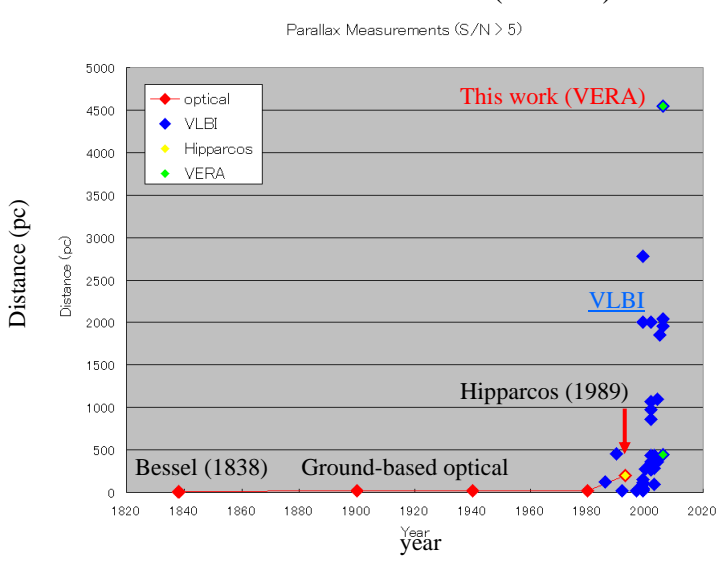


= 220  $\mu$  as, D = 4.5 kpc! (c.f. commonly assumed: 4 kpc)

年周視差の世界記録!! (最も遠い天体の直接測距)

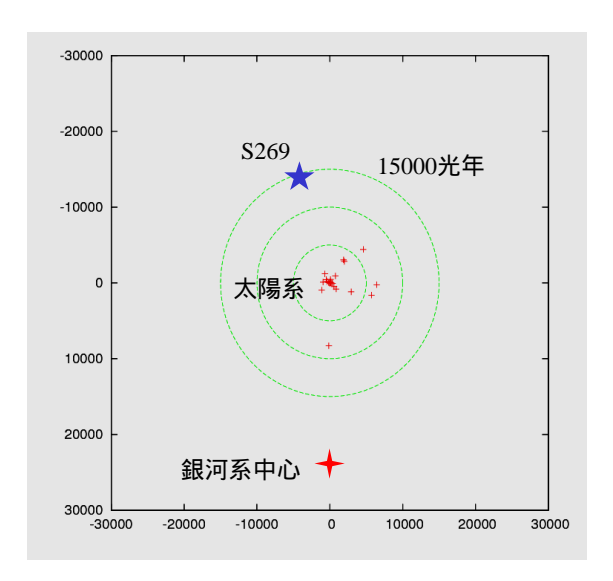
### 年周視差計測の歴史

• Parallax measurements since 1838 (S/N > 5)



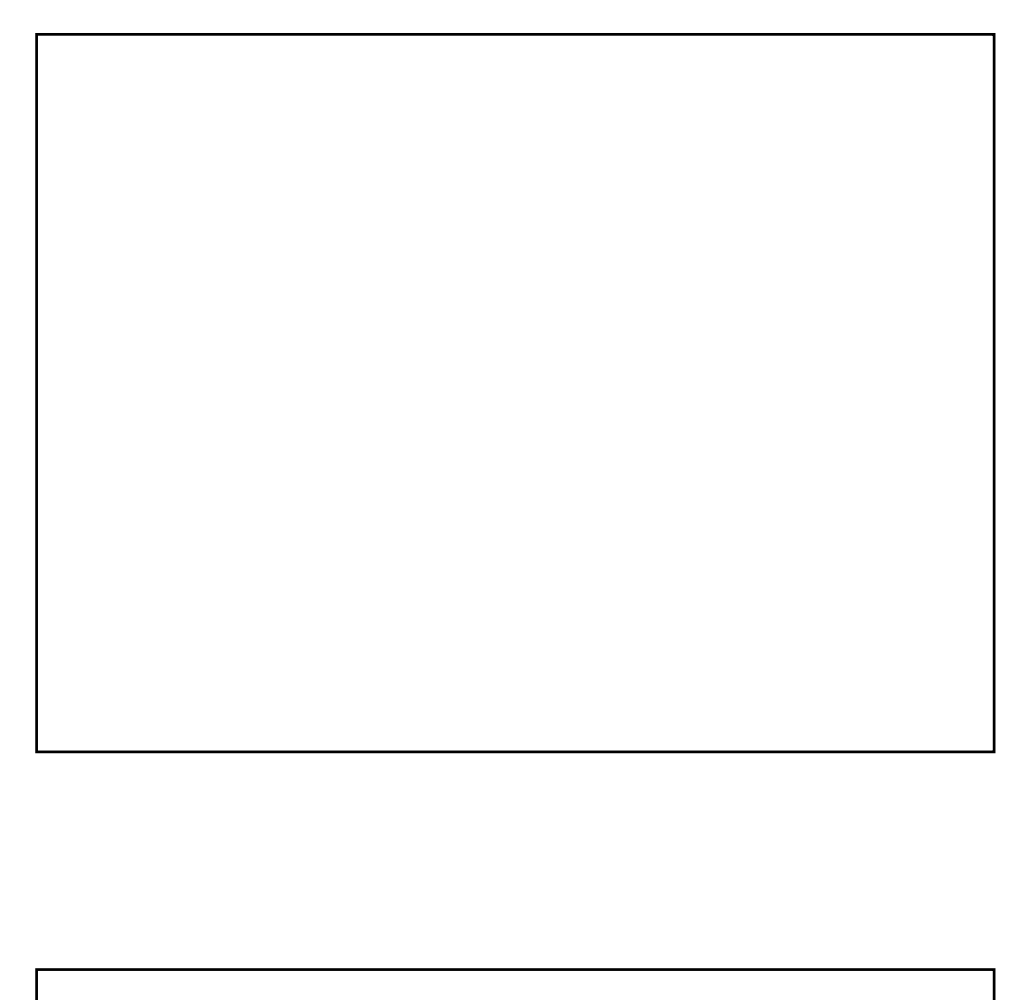
#### VLBI位置計測天体の銀河系内の分布

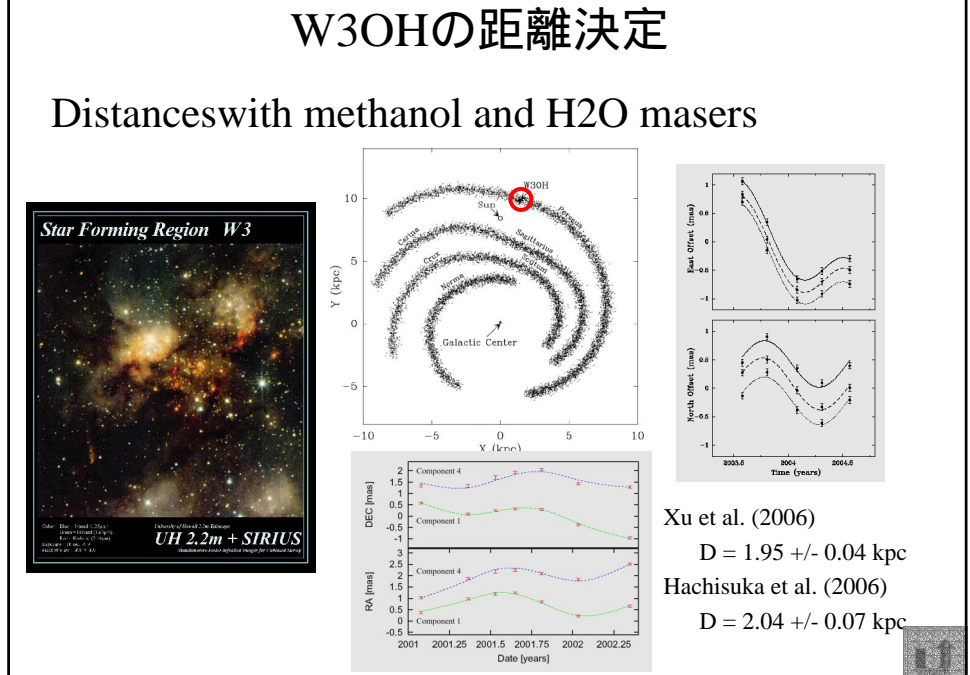
- 銀河面上での分布
- 単位∶光年



# まとめ

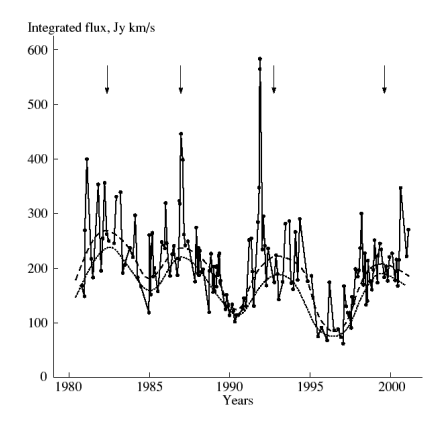
- S269の視差計測に成功 視差計測の世界記録 (D~4.5 kpc)
- VLBIによるKpcスケールの位置天文計測 時代が到来



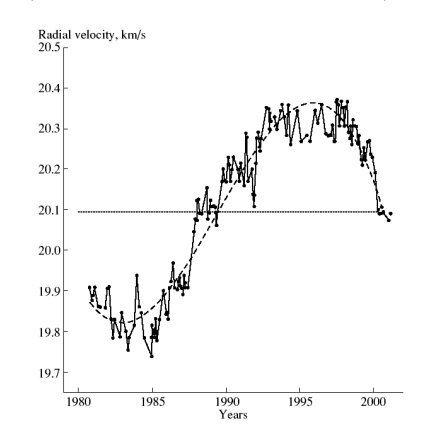


# ~20 year monitoring of S269

• Single dish H2O maser flux (1980-2001, Lehkt et al.)

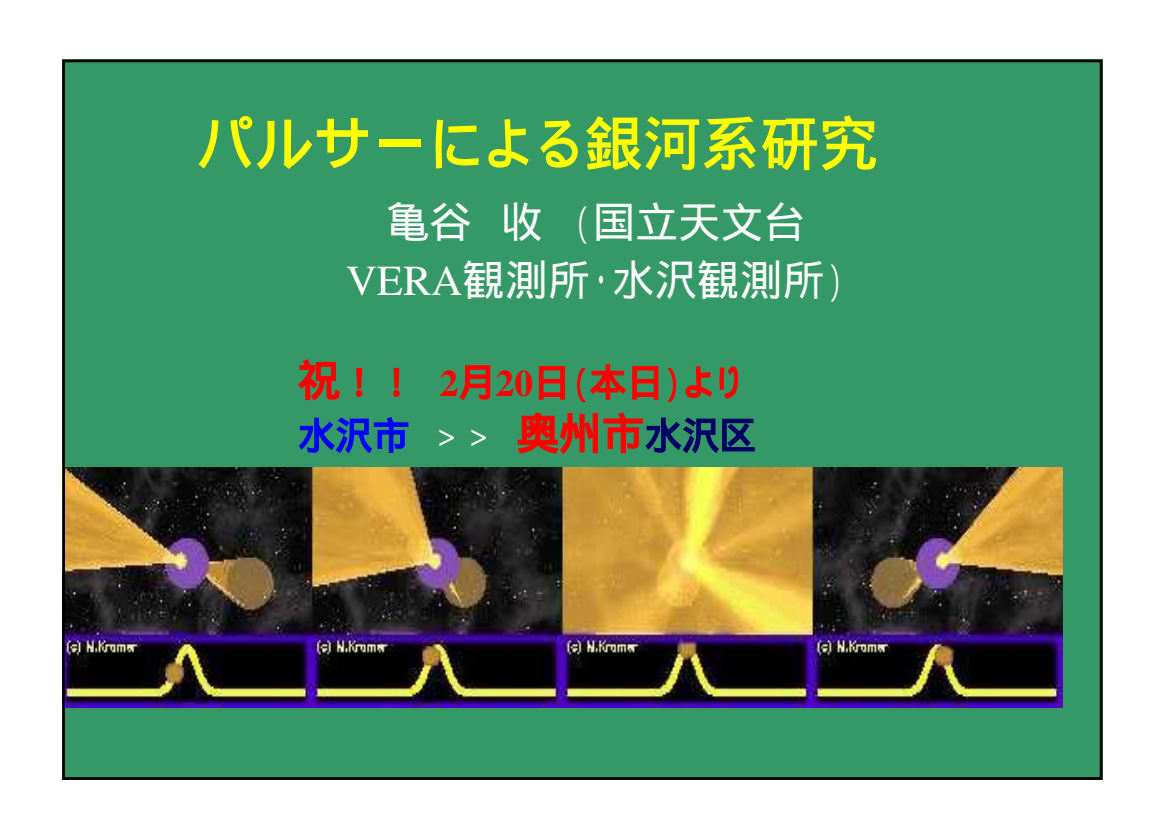


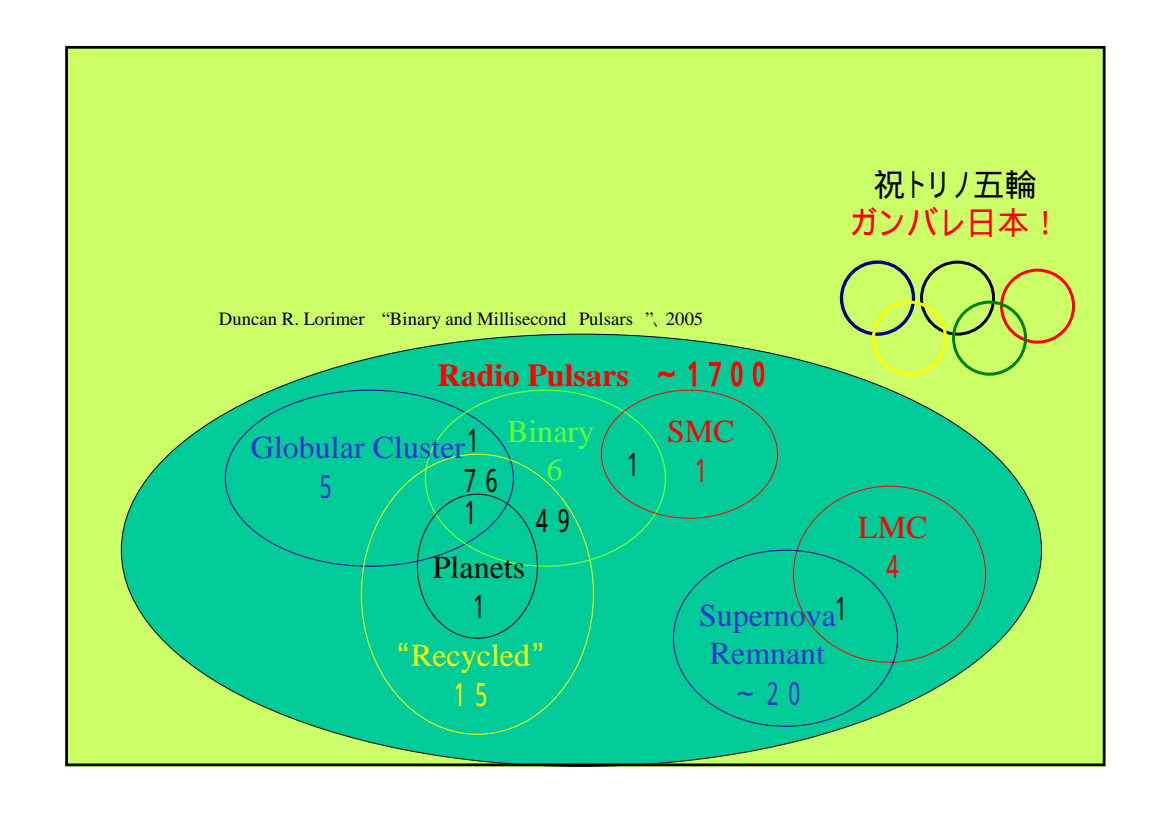
Integrated flux
Periods of 5 ~ 6 years?

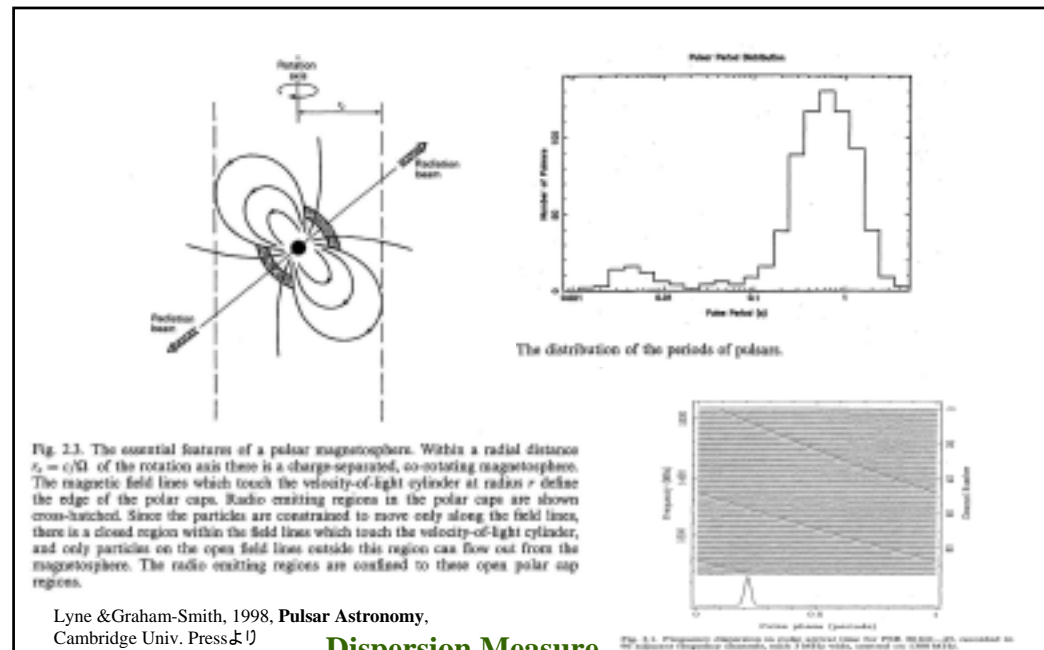


Peak V\_LSR
Period of 26 year ?







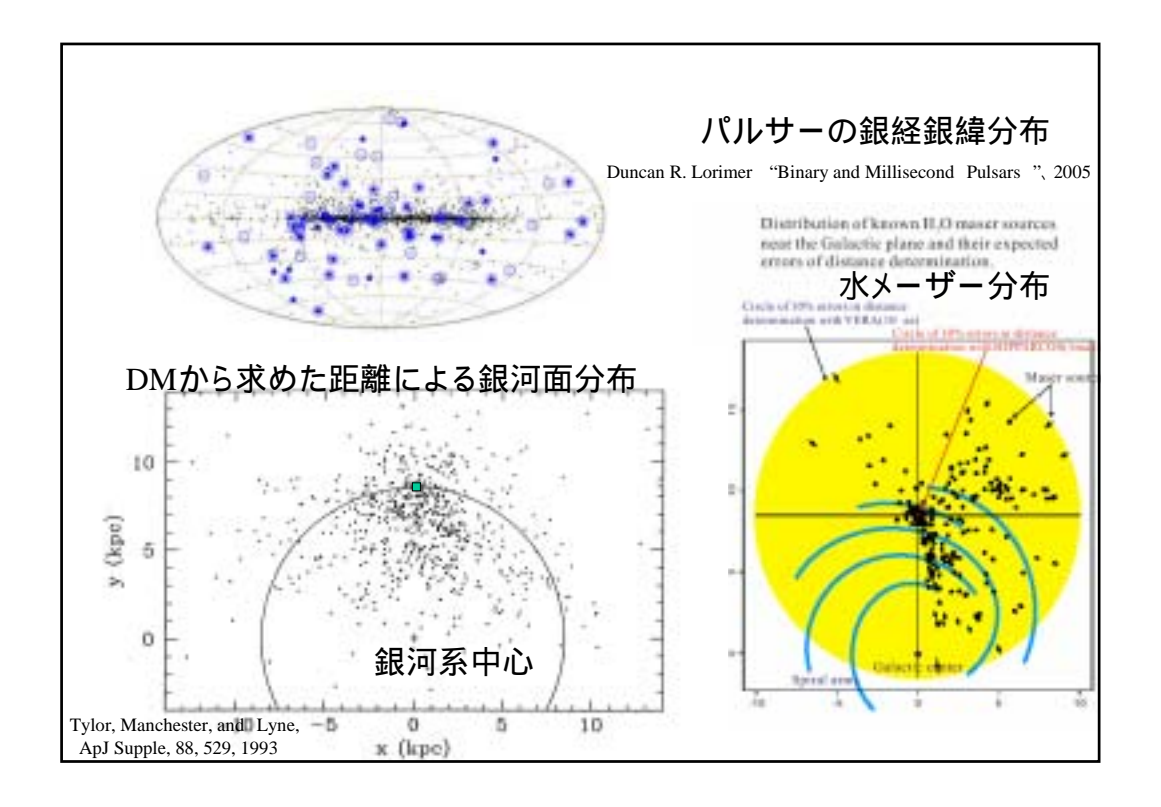


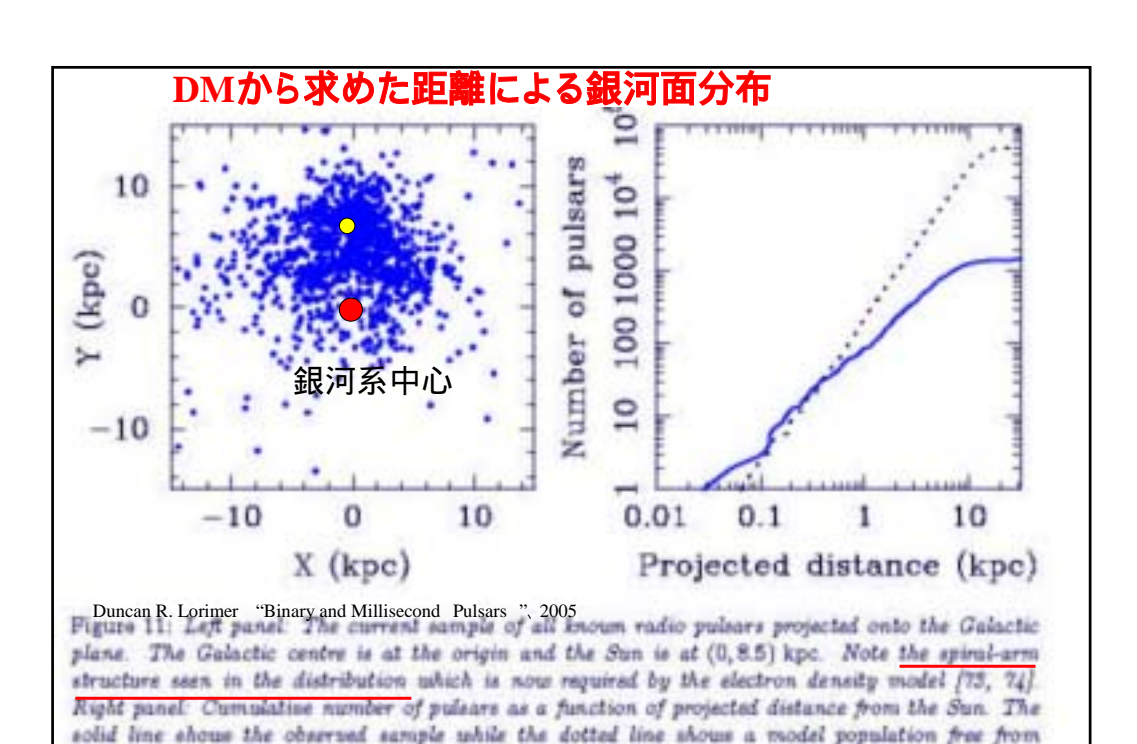
**Dispersion Measure** 

DM= $A(t1-t2)(1/1^2-1/2^2)^{-1}$ , A= $2.410 \times 10^{-16}$  cm<sup>-3</sup>pc

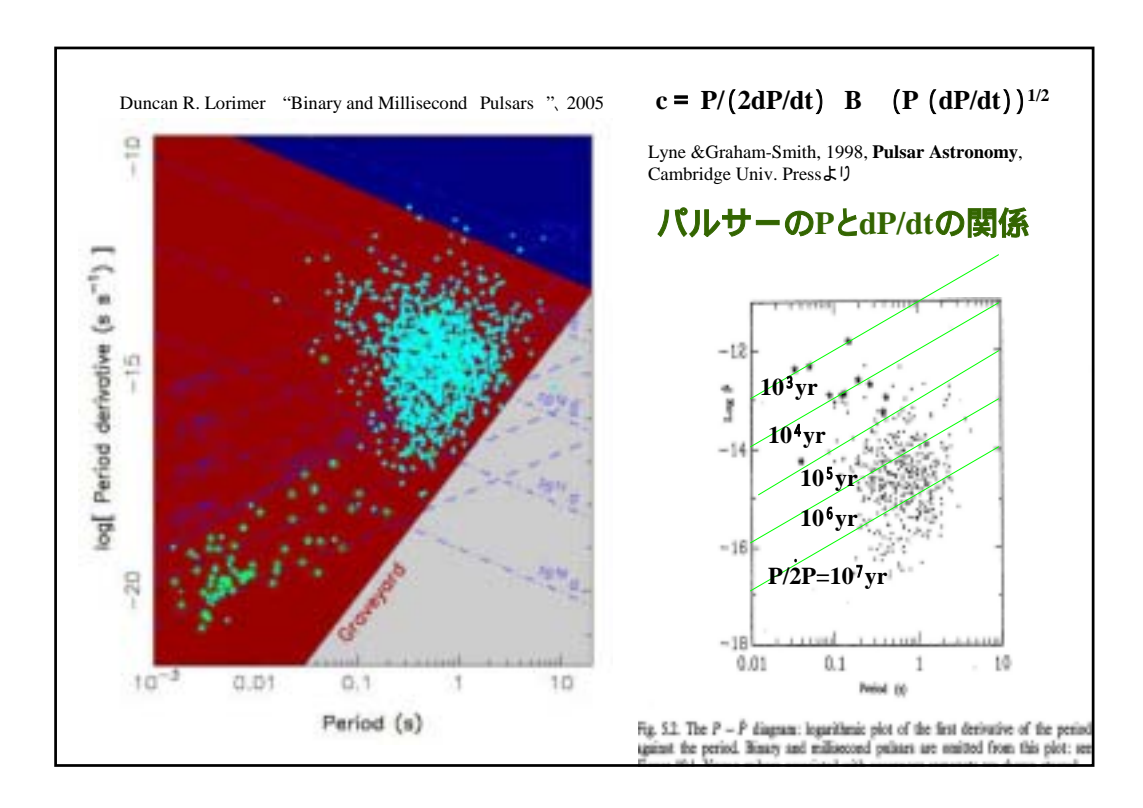
# サー位置天文学の何が面白いか

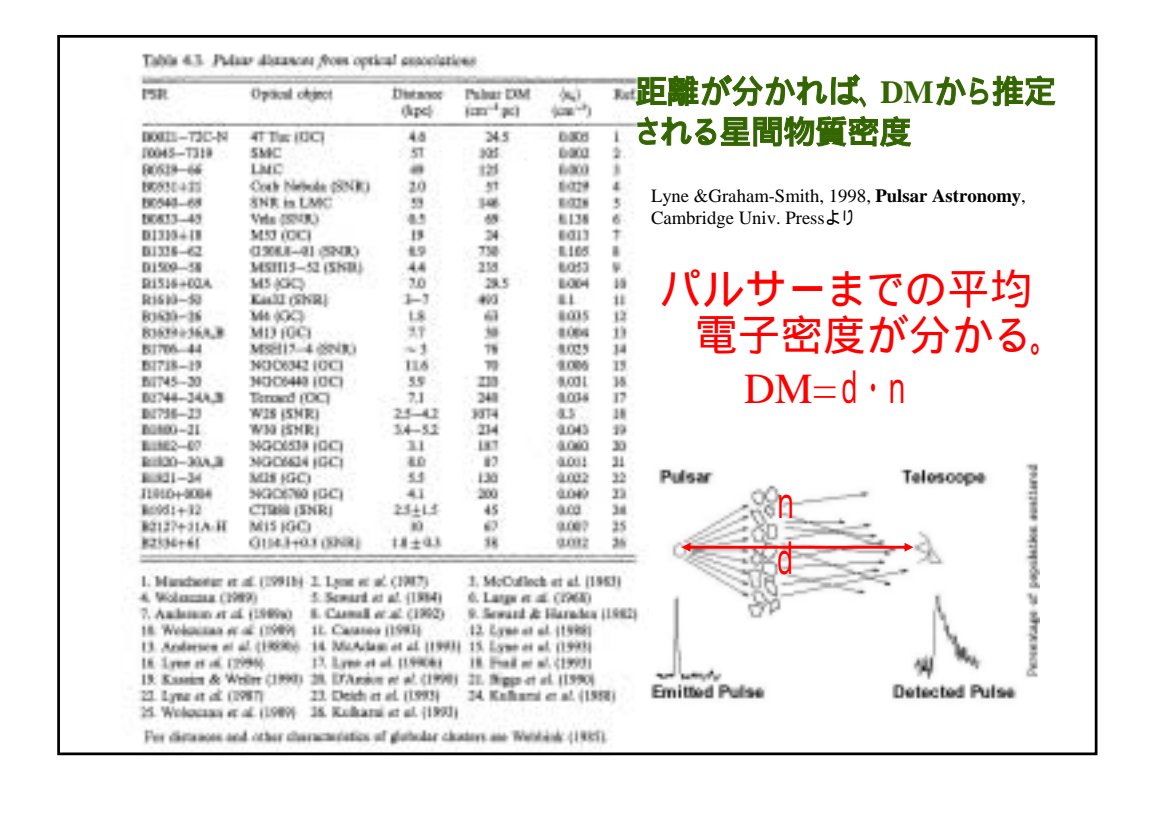
- ・銀河系内のパルサーの分布が分かる。パルサー位置天文学の発展
- パルサーの距離を求めると、パルサーの物理 量が求まる。理論への貢献
- 視線方向に垂直な実速度が分かる。 (1974年以降64論文)
- パルサーまでの平均電子密度が分かる。  $DM=d \cdot n$

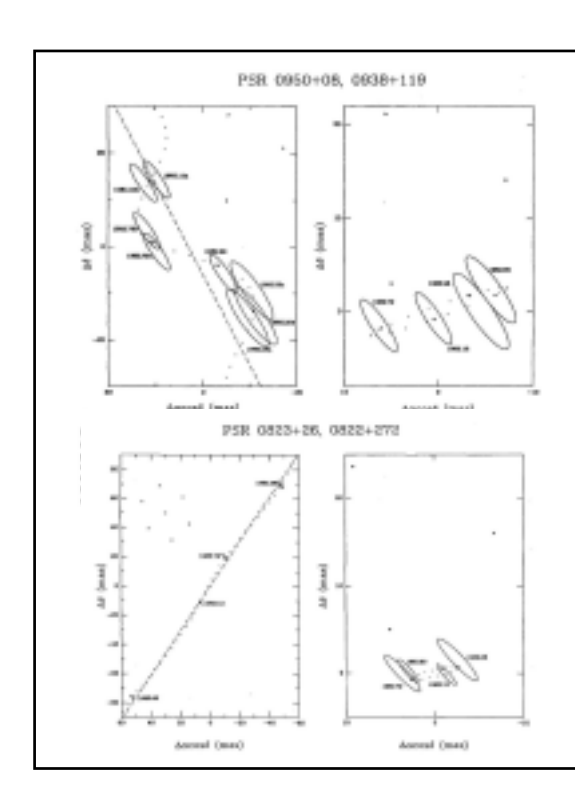




selection effects.









#### 視差測定の原理





# 相対VLBIの原理

Gwinn et al. 1986

Arecibo, North American VLBI 1.66GHz PSR0950+08 7.9(0.8)mas PSR0823+26 2.8(0.6)mas

# 2006年1月まで に21個のパル サーの視差

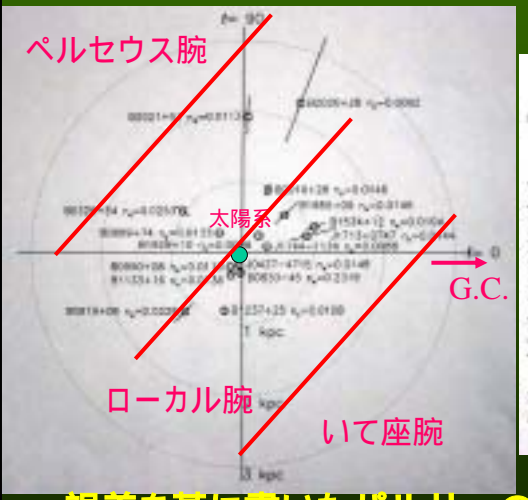
'Briskenが10個 Chatterjeeが5個 の天体の視差測 定を行っている。 '100 µ 秒を切る観 測精度は7天体 PSR J0030+0451 3.4(0.6)mas PSR B0329+54 0.94(0.11) mas <1.5mas PSR B0355+54 0.91(0.16)mas PSR B0656+14 3.47(0.36)mas PSR B0809+74 2.31(0.04)mas PSR B0823+26 1.8(0.4)mas 2.8(0.6)mas VELA pulsar 3.4(0.7)mas 3.5(0.2)mas PSR B0919+06 0.31(0.14)mas 0.83(0.13)mas PSR B0950+08 7.9(0.8)mas 3.6(0.3) mas 3.82(0.07)mas PSR B1133+16 2.80(0.16)mas PSR B1237+25 1.16(0.08)mas PSR B1451-68 2.2(0.3)mas PSR B1508+55 PSR J1713+0747 0.89(0.08)mas PSR J1744-1133 2.8(0.3)mas PSR B1857-26 0.5(0.6)mas PSR B1929+10 21.5(8.0)mas <4mas 3.02(0.09)mas 2.77(0.07)mas PSR B2016+28 1.03(0.10)mas PSR B2020+28 0.37(0.12)mas PSR B2021+51 0.95(0.37)mas 0.50(0.07)mas

PSR J2145-0750 2.0(0.6)mas

Lommen et al. 2005 Brisken et al. 2002 Chatterjee et al. 2004 Chatterjee et al. 2004 Brisken et al. 2003 Golden et al. 2005 Brisken et al. 2002 Gwinn 1984 Gwinn et al. 1986 Caraveo et al. 2001 HUBBLE Dodson et al. 2003 Fomalont et al. 1999 Chatterjee et al. 2000 Gwinn et al. 1986 Brisken et al. 2001 Brisken et al. 2002 Brisken et al. 2002 Brisken et al. 2002 Bailes et al. 1990 **0.415(0.037)mas** Chatterjee et al. 2005 Splaver et al. 2005 timing Toscano et al. 1999 timing Fomalont et al. 1999 Salter et al. 1979, Backer & Sramek 1982 Brisken et al. 2002 Chatterjee et al. 2004 Brisken et al., 2002 Brisken et al. 2002 Campbell et al. 1996 Brisken et al. 2002

Loehmer et al. 2004 timing

# 例: Brisken et al. 2002の結果



| TABLE 6                                    |                       |  |  |  |  |  |
|--|-----------------------|--|--|--|--|--|
| Theorem Passaurerras on Omera Persuan with | ACCUBANCE DISCASSESS. |  |  |  |  |  |

| Police     | draw<br>(kpc) | 4,<br>(kpr) | $\lim_{t\to 0} \frac{\sigma_{j_1}}{(k\pi)^{n-1}}$ | (cm <sup>-3</sup> ) | Reference |
|------------|---------------|-------------|---|---------------------|-----------|
| JM37-4715  | Udde          | 0.1745      | 1004[]  | 0.6149 ± 0.00051    | 1         |
| B0033-45   | 1613          | 1.79 228    | 67*1  | $0.2319 \pm 0.0477$ | 1         |
| B09(9+06   | (+II          | 11943       | 484   | $0.0226 \pm 0.0006$ | 3         |
| B0594+12   | 0.7428        | 100*58      | 13112   | $0.0184 \pm 0.0014$ | 4         |
| B0855+09   | 1743          | 179-15      | 201   | $0.0145 \pm 0.0040$ | 5         |
| JU113+0747 | 4.5           | 1941        | 28+11   | $0.0044 \pm 0.0048$ | . 6       |
| JITH-1134  | 0.177 fee     | 8.30 -bit   | 35  | $0.0008 \pm 0.0006$ | T         |

Revenuesca.—(f) Sandino et al. 1991; (2) Camero et al. 2001; (3) Chatterjee et al. 2001; (4) Stains et al. 1999; (5) Kaspi et al. 1994; (6) Camilo, Foster, & Wolszam 1994; (7) Tanzano et al. 1999.

視差を基に書いたパルサーの位置(左)、 平均密度(右)

# VERA·大学連携VLBI

#### 国内7局 S带、X带

VERA20m水沢、入来、 小笠原、石垣島、臼田64m、 つくば32m、鹿嶋34m、、、





# VERA·大学連携VLBIの S帯(またはX帯)でのパルサー観測

- スイッチング相対 V L B I が可能(数分周期)
- 2.2GHz帯1ビーム 4局設置
- フリンジ間隔 12mas > > 位相3度で0.1mas
- 開口能率 = 30%、Tsys=200K、48MHz、1 hr > > /イズレベル25mJy

- 臼田64m、34m級アンテナの参加 >> ノイズレベル7 m J y
- パルサーゲーティング (相関器ソフト開発必要)
- パルサーゲーティング使用 > > ノイズレベル2 m J y ?

# VERA + 大学連携VLBIで 観測可能なパルサー(S帯)

@印: 視差報告無し 色: 全局で観測可能( > -41度)

#### 80mJy以上 7@4(3@1)

- B0329+54 200mJy 2d 250mJy B0355+54 25mJy 1d 250mJy
- J0437-4715 90mJy @ 2d ICRF
- B0736-40 80mJy @ 1d 200mJy
- B0833-45 1100mJy 1d ICRF
- B0950+08 85mJy 2d 100mJy B1556-44 40mJy @ 5d 380mJy
- B1557-50 145mJy @ 5d ICRF
- B1641-45 310mJy @ 7d 400mJy B1929+10 40mJy 2d 150mJy

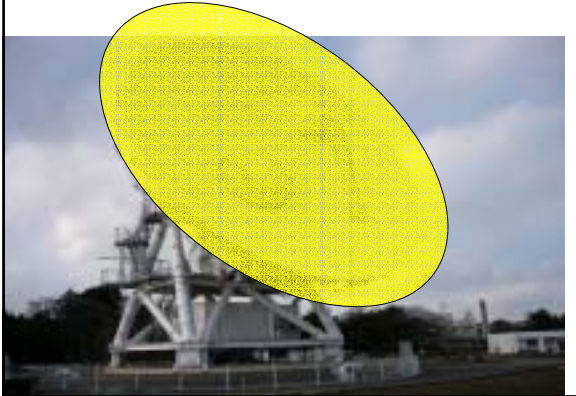
#### 10mJy以上 47@34 (37@25)

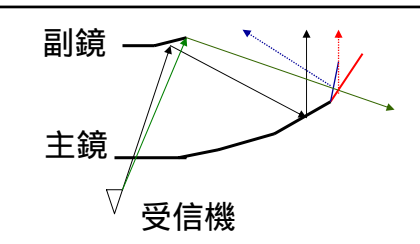
#### 25mJy以上 19@10(14@6)

- B0628+21 25mJy @ 3d 120mJy
- B0740-28 25mJy @ 5d 130mJy
- B0835-41 25mJy @ 6d 280mJy
- B1133+16 30mJy 3d 600mJy
- B1749-28 35mJy @ 7d 200mJy
- B1933+16 40mJy @ 1d 360mJy
- B2016+28 30mJy 1d 240mJyB2020+28 38mJy 1d 240mJy
- B2021+51 25mJy 1d 150mJy

#### 受信機とアンテナ改造の可能性

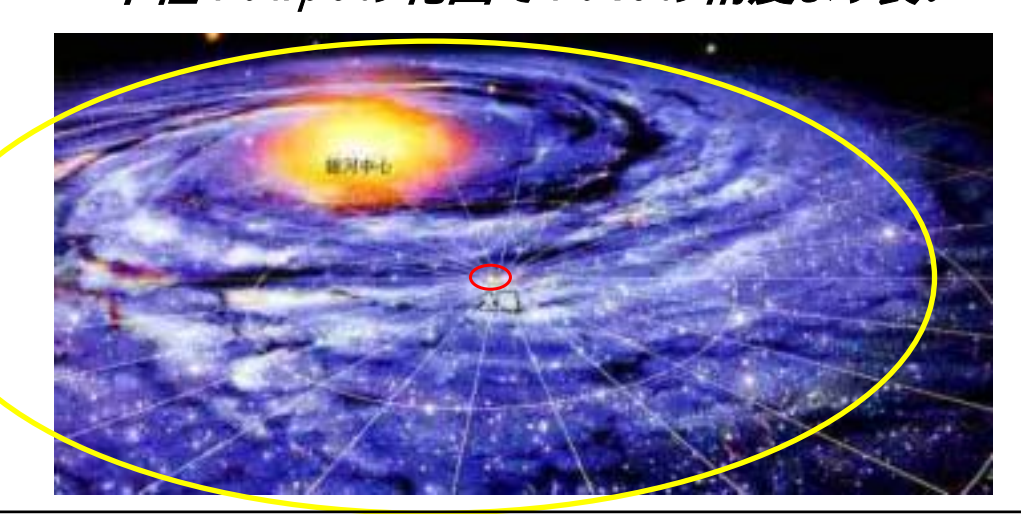






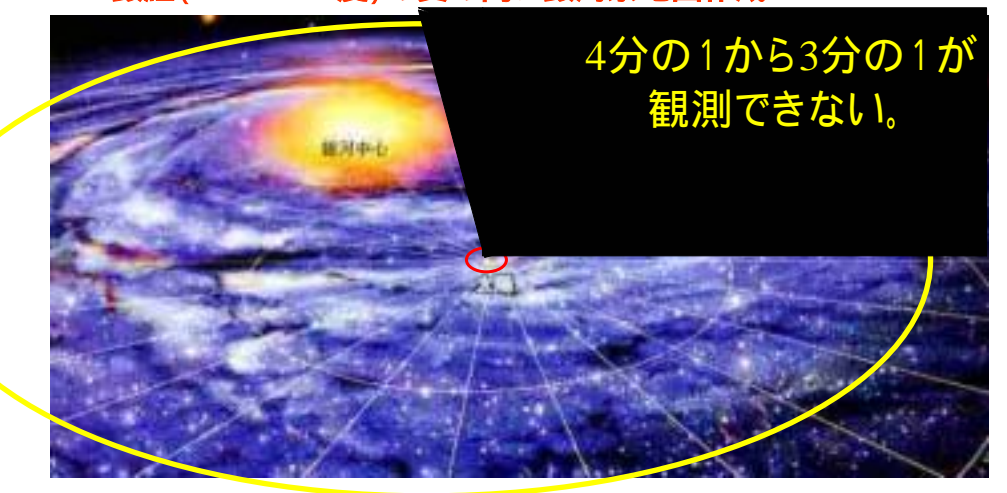
- (1) VERAグループでは、高、他周波数化に向けて、受信機配置を検討中その中に、L帯受信機設置の可能性。
- (2)現在、副鏡が大きいためにスピルオーバーが大きいことを改善するために鏡面の周りにスカートをつける。これを、S帯で感度があるように調整すると、実質的に口径を大きくできるのではないか。20m>25m
- (3)現在ある受信機を改良する。 2B 系にする。
- (4)50mクラスのアンテナを併設し、相 対VLBI観測を行う。
- >50個以上まで可能天体増える

VERA以外で三角測量できる範囲:太陽系の近所だけ(100pc程度) VERAで三角測量ができる範囲:銀河系全体 半径10kpcの範囲で10%の精度より良い



# VERA·大学連携VLBIは北半球にあるので、 全域が見えるわけではない。

- 1.VERAで観測不可能な銀経 (260~345度)の
- 2.銀経(240~10 度)の質の高い銀河系地図作成



# VERA·大学連携VLBIの拡張として望まれる機能:

- 1.まずは、アジア大陸との連携。次に南半球に設置。
- 2.位相補償を行えること。
- 3.2300km以上の基線。 パルサーは4000kmは欲しい。 大陸を横断する望遠鏡?
- 大陸を横断する望遠鏡? 4.パルサーは1.4~2GHzが効率より。

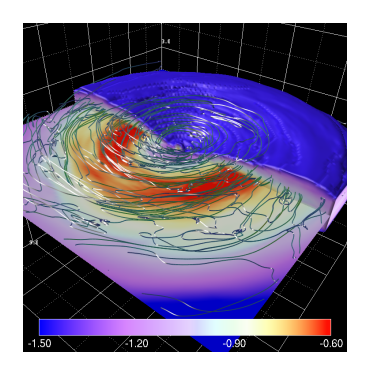


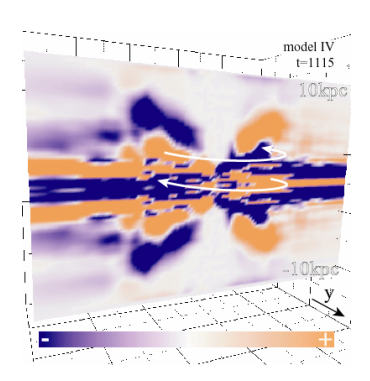


# まとめ

- 1.パルサーの観測により、銀河系内のパルサーの距離と速度が求まり、パルサーのみならず、星間プラズマ等研究が非常に進むであるう。
- 2. VERA·大学連携VLBIの拡張の機能を持たせて、まずは、 東アジアに展開する。次に南半球に設置すると、VERA等で 残される我々の銀河系の立体地図(24-36%)が完成す る。

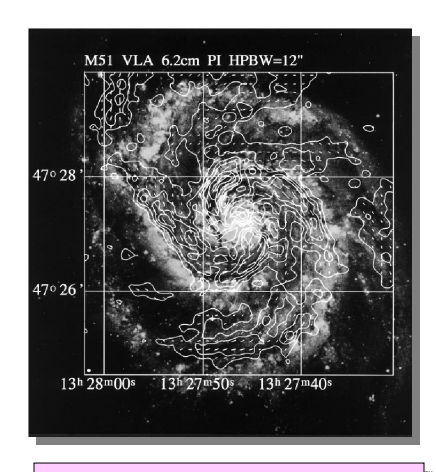
### 銀河ガス円盤の大局的3次元 磁気流体数値実験



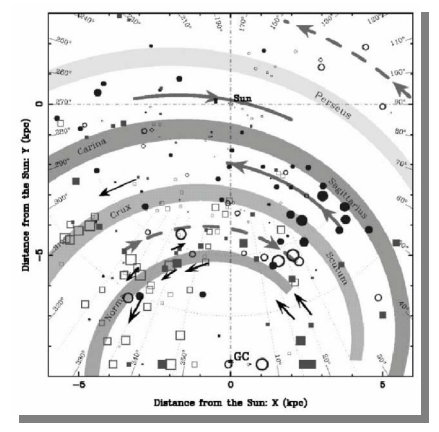


松元亮治、錦織弘充(千葉大)、町田真美(国立天文台)

### 渦状銀河の平均磁場:起源はダイナモ?



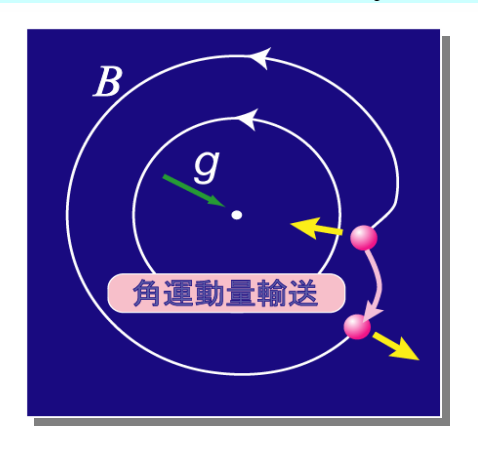
M51 (Neininger & Horellou, 1996)



Our Galaxy (Han et al., 2002)

#### 磁気回転不安定性

(Balbus and Hawley 1991)



差動回転円盤において回転のタイムスケールで成長

3

# 動力学方程式

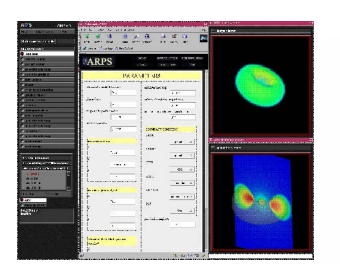
$$\frac{\rho}{t} + (\rho \mathbf{v}) = 0$$

$$\rho \frac{\mathbf{v}}{t} + \rho(\mathbf{v} \bullet) \mathbf{v} = -P + \frac{(\times \mathbf{B}) \times \mathbf{B}}{4\pi} + \rho \mathbf{g}$$

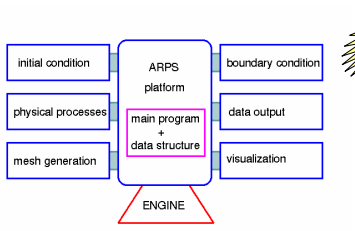
$$\frac{\mathbf{B}}{t} = \times (\mathbf{v} \times \mathbf{B}) + \eta^{2} \mathbf{B}$$

$$\frac{\rho \varepsilon}{t} + (\rho \varepsilon \mathbf{v}) + P \quad \mathbf{v} = Q_{J} + Q_{vis} - Q_{rad}$$

# 回転プラズマのグローバル シミュレータ



ARPS (Astrophysical Rotating Plasma Simulator, Matsumoto et al. 1999)

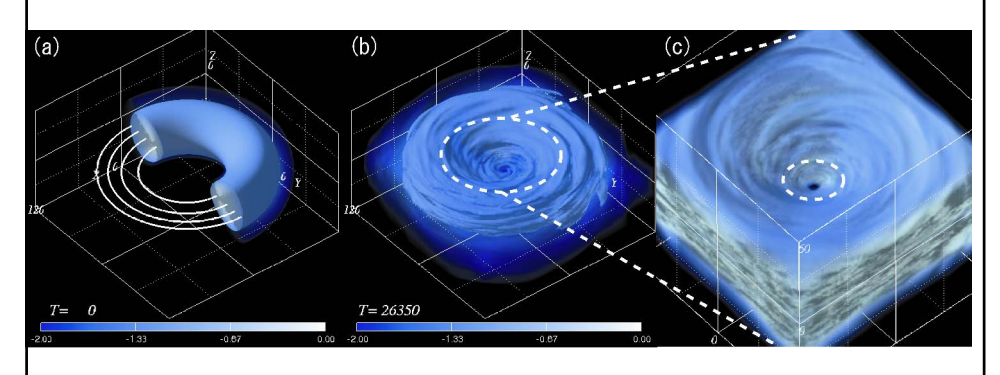




Coordinated Astronomical Numerical Software(CANS): product of ACT-JST project (2000-2002)

#### **Formation of an Accretion Disk**

(Machida and Matsumoto 2003)

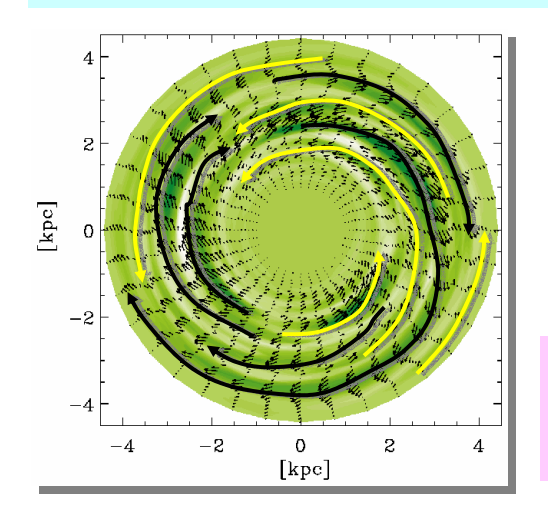


Initial state

t=26350

unit time to=rg/c

# 銀河円盤のグローバルシミュレーション (Dziourkevitch et al. 2004)



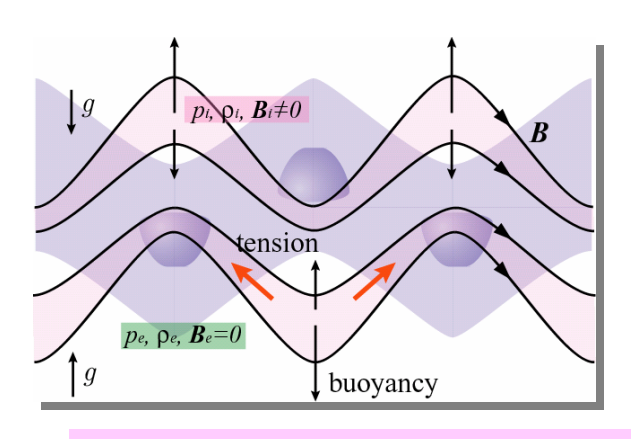
計算領域

1 kpc < r < 5 kpc

-1kpc< z < 1kpc

銀画面内で方位角 磁場の方向が頻繁 に反転

# パーカー不安定性による磁束流出

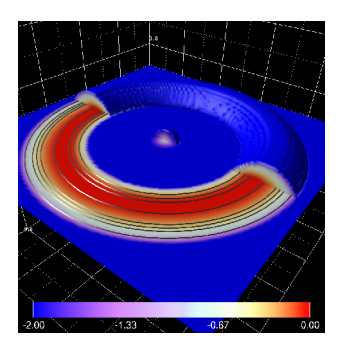


鉛直方向に広 いシミュレー ション領域が 必要

Parker (1966), Matsumoto et al. (1988)

#### 広い計算領域を用いたシミュレーション (Nishikori et al. 2006, ApJ in press)

- 重力ポテンシャル
  - ダークマターを含む軸対称ポテンシャル(Miyamoto 1980)
- 初期条件
  - 10kpcで密度最大になる角運 動量一定のトーラス
  - 方位角方向の弱い磁場 (=100,1000,10000)
  - T=10<sup>5</sup>K
- r=0.8kpc に吸収境界
- 赤道面対称性を仮定

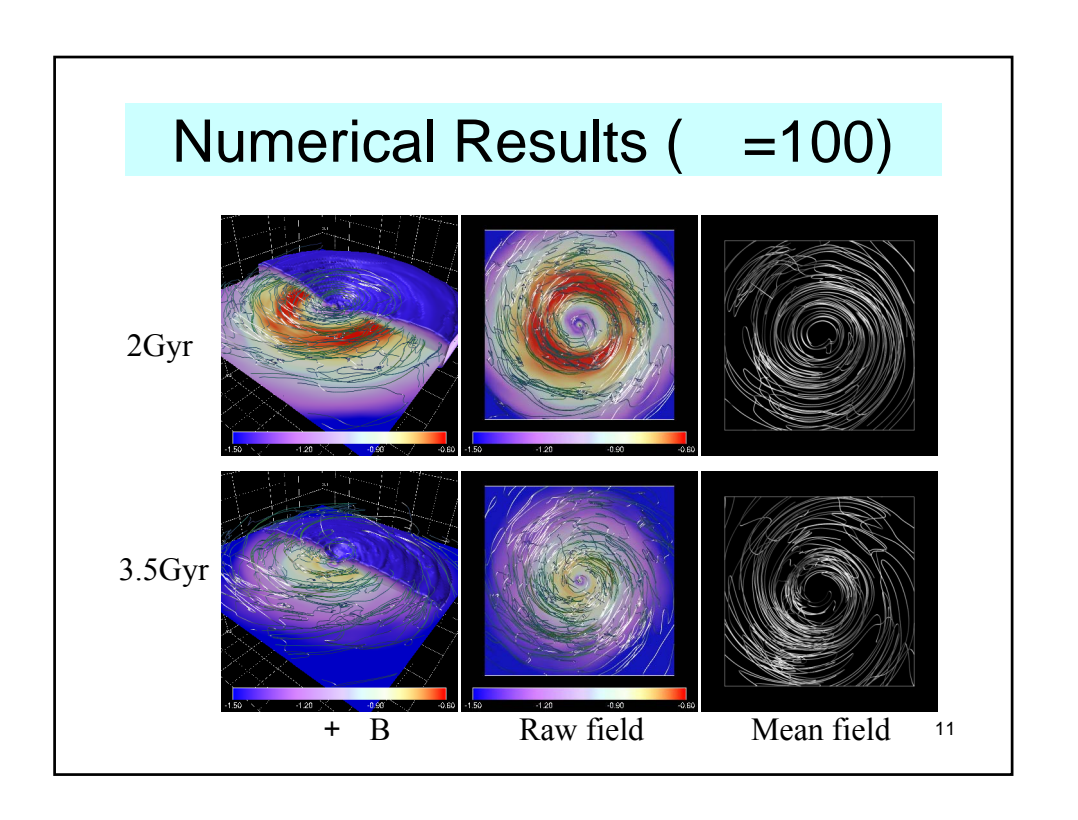


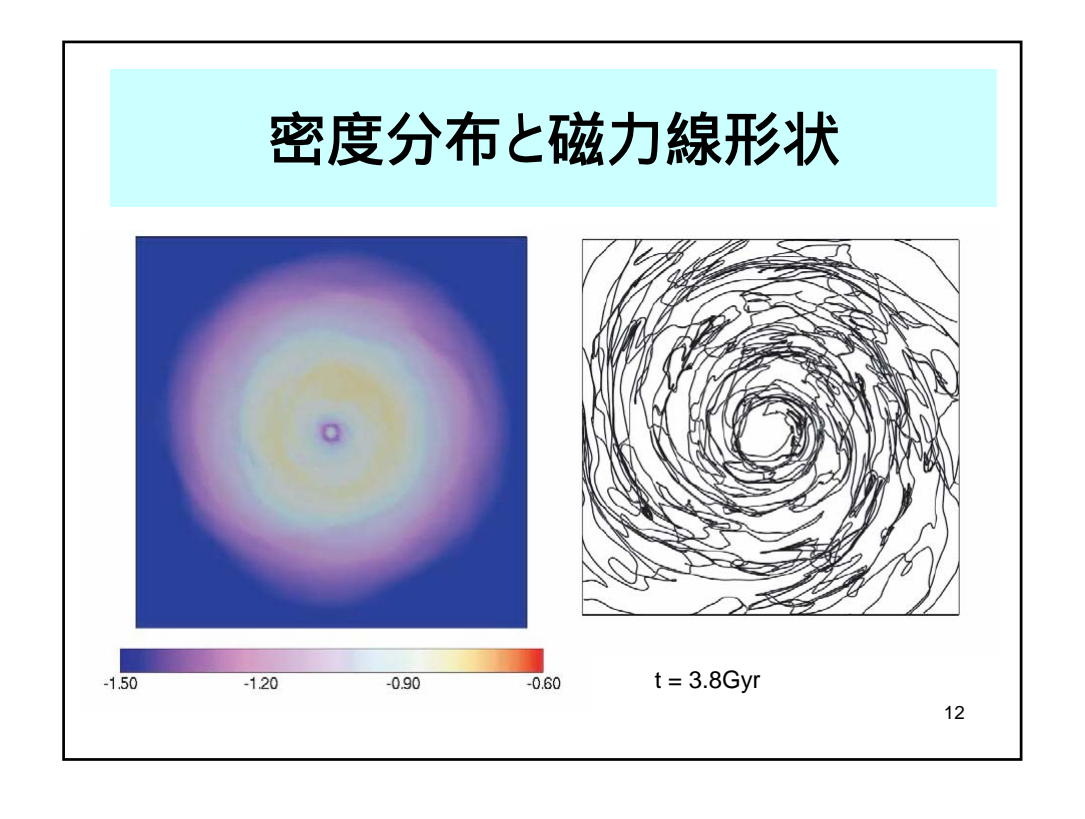
250\*64\*319 mesh

a

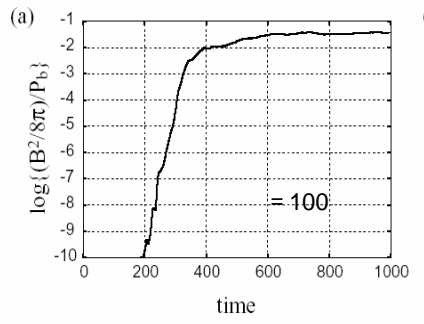
# モデルパラメータ

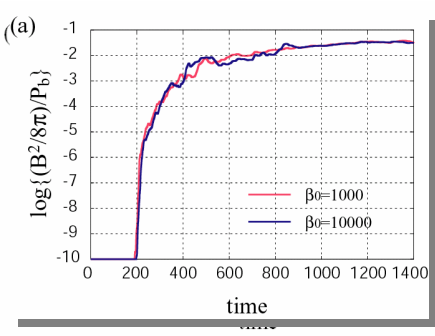
| -              |       |                        |           |           |    |     |
|----------------|-------|------------------------|-----------|-----------|----|-----|
| models         | βο    | 計算領域                   | Δφ        | Phalo0    | DM | 境界  |
| model I        | 100   | $0 < \varphi < 2.0\pi$ | $\pi/32$  | $10^{-3}$ | ×  | 吸収  |
| model II       | 100   | $0 < \varphi < 2.0\pi$ | $\pi/32$  | 10-3      | ×  | 非吸収 |
| model IIIa (b) | 100   | $0 < \varphi < 2.0\pi$ | $\pi/32$  | $10^{-3}$ |    | 吸収  |
| model IIIb     | 1000  | $0 < \phi < 2.0\pi$    | π/32      | 10-3      |    | 吸収  |
| model IIIc     | 10000 | $0 < \phi < 2.0\pi$    | $\pi/32$  | 10-3      |    | 吸収  |
| model VI       | 100   | $0 < \phi < 2.0\pi$    | $\pi/32$  | 10-2      |    | 吸収  |
| model Va       | 100   | $0 < \varphi < 0.5\pi$ | $\pi/128$ | $10^{-3}$ |    | 吸収  |
| model Vb       | 100   | $0 < \varphi < 0.5\pi$ | $\pi/64$  | $10^{-3}$ |    | 吸収  |
| model Vc       | 100   | $0 < \varphi < 0.5\pi$ | $\pi/32$  | $10^{-3}$ |    | 吸収  |





# 磁気エネルギーの増幅と飽和

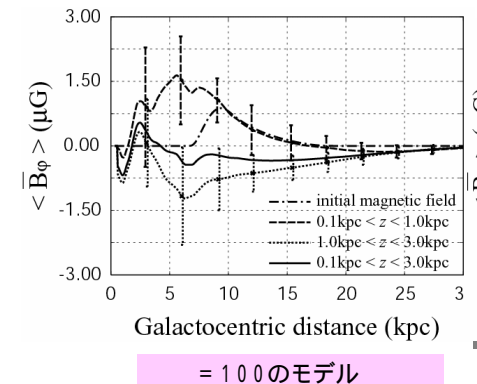


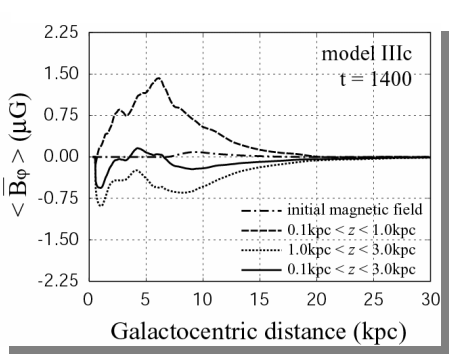


Average in 2 kpc < r < 5 kpc and 0 < z < 1 kpc

13

# 方位角成分の平均磁場分布

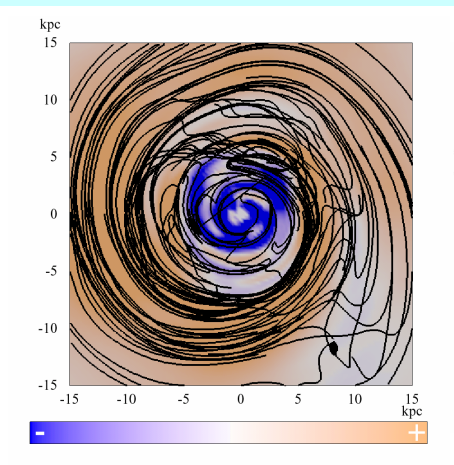




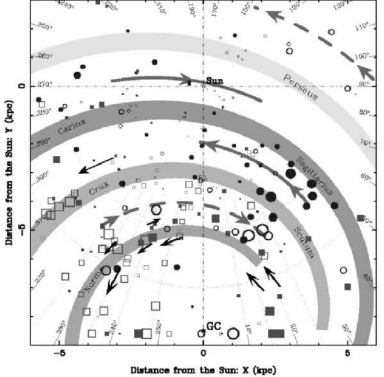
= 10000のモデル

方位角方向の磁束は保存。赤道面の平均磁場は強められる。

# 方位角磁場の動径方向の反転



Azimuthal field at t=3.8Gyr at z=0.25Kpc

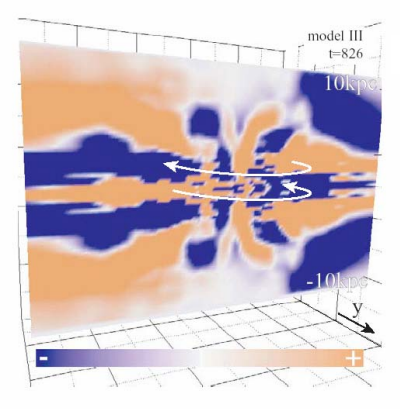


Galactic magnetic field obtained by Rotation Measure

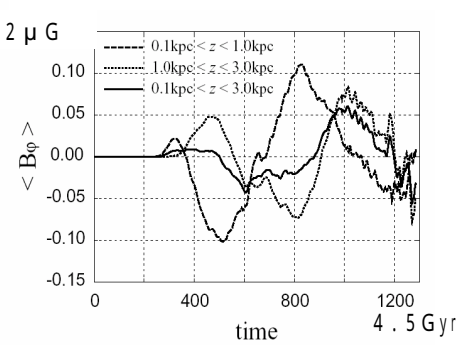
(Han et al. 2001)

15

# Spacial and Temporal Reversal of Azimuthal Magnetic Fields

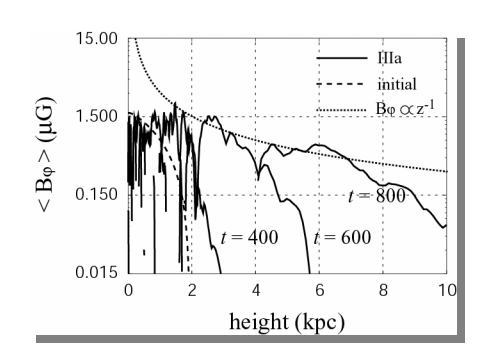


Azimuthal Magnetic Field at t=3.1Gyr

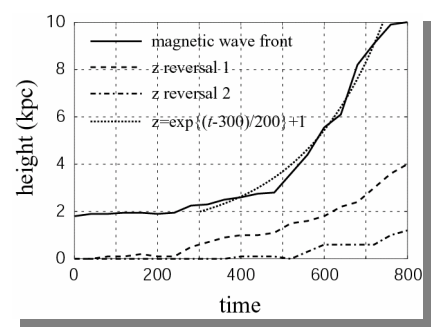


Time variation of mean azimuthal field at 5kpc < r < 6kpc and 0 < z < 1kpc

# 磁束のコロナへの流出 ーストライプ状のコロナ磁場の形成ー



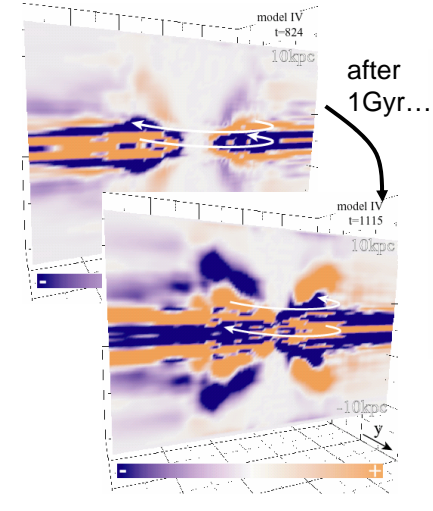
磁場強度 = 一定の 面の高さ



方位角磁場が反転する高さ の変化

17

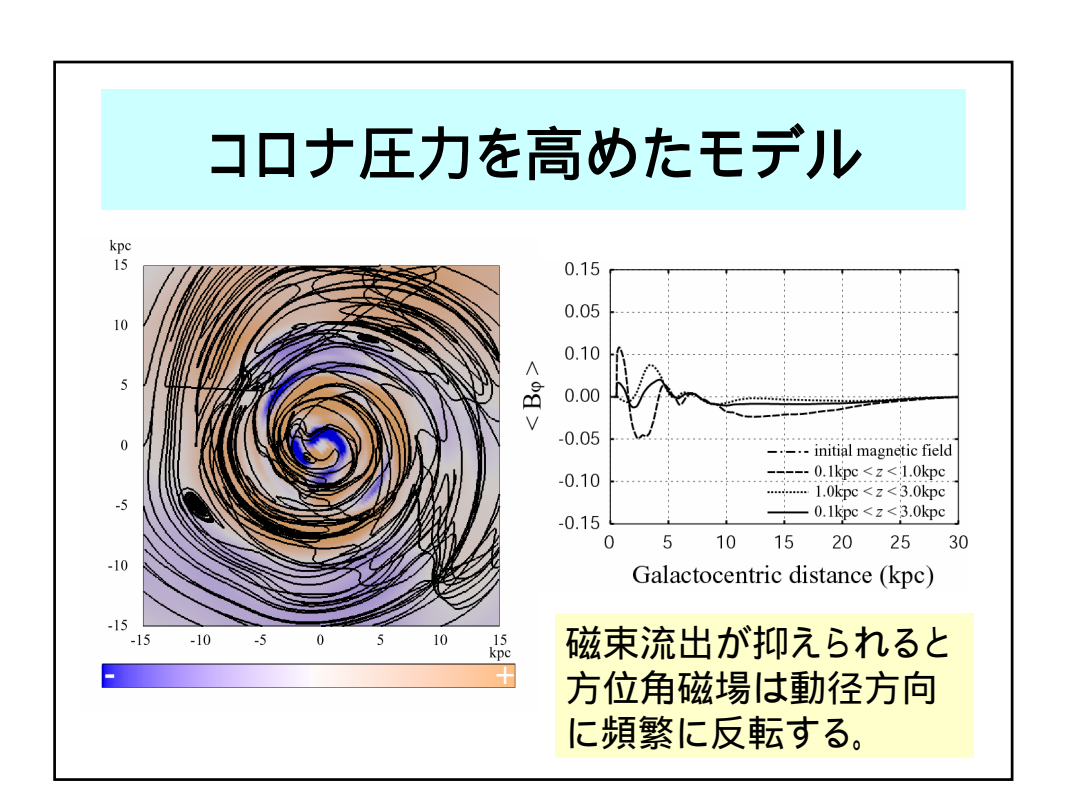
# 初期磁場が弱い場合の結果 ( =1000)

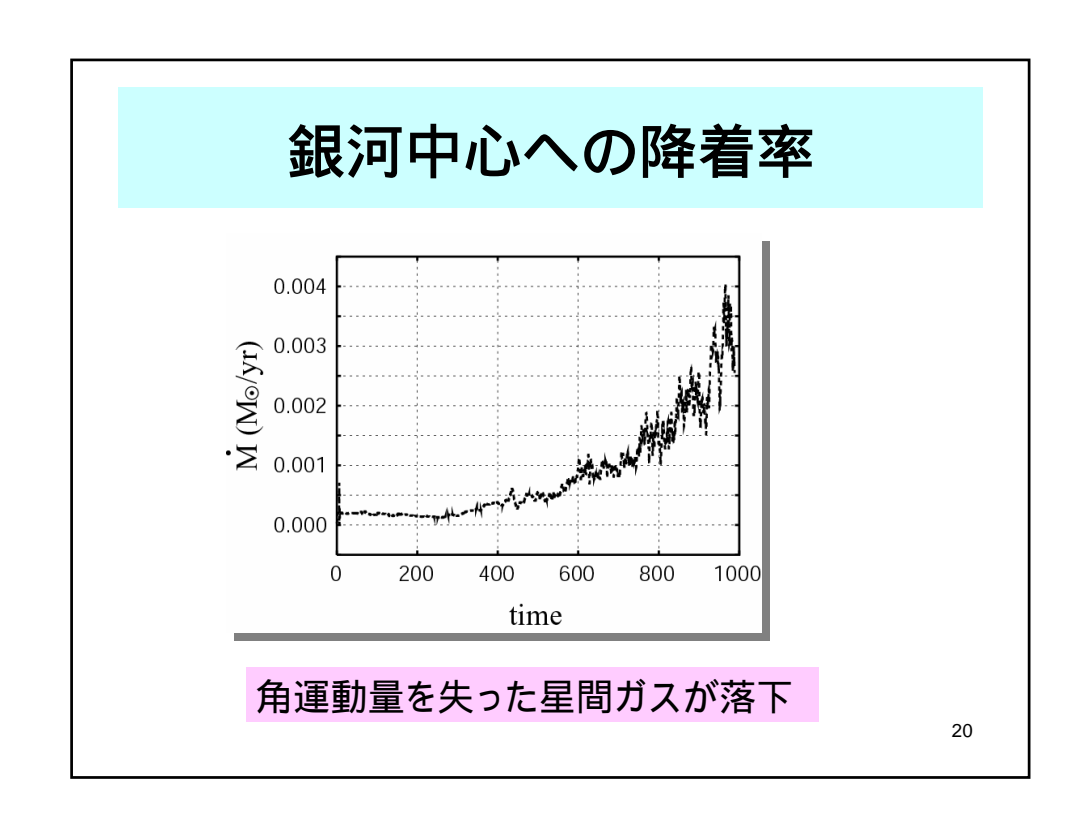


0.15 0.10 0.10 0.05 0.05 0.1kpc < z < 1.0kpc 0.1kpc < z < 3.0kpc 0.1kpc < z < 3.0kpc

Time variation of mean azimuthal magnetic field

At 5kpc < r < 6kpc



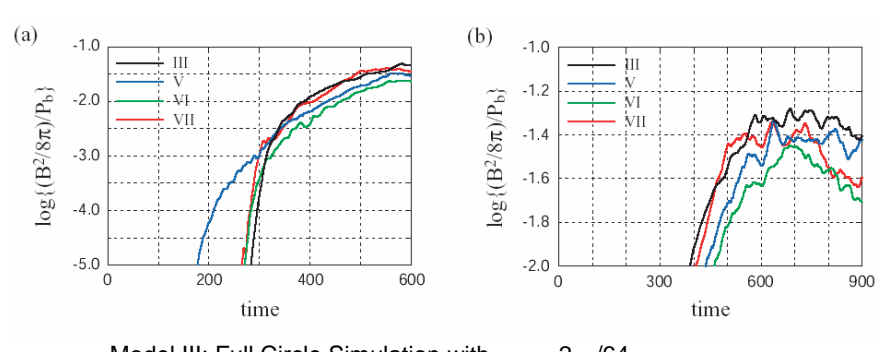


# まとめ

- 軸対称重力ポテンシャルを仮定して、銀河ガス円盤における磁場増幅過程の大局的な3次元MHDシミュレーションを行った。その結果、銀河磁場はμG程度まで強められ、維持されることがわかった。
- 平均磁場と乱流磁場の大きさは同程度になる。
- 方位角磁場は空間的にも時間的にも反転する。 反 転の周期は1Gyr程度
- 円盤から流出した磁束がストライプ状のコロナ磁場をつくる。
- 非軸対称ポテンシャルの効果、赤道面対称性の効果、ガス温度依存性などを調べることが今後の課題。

21

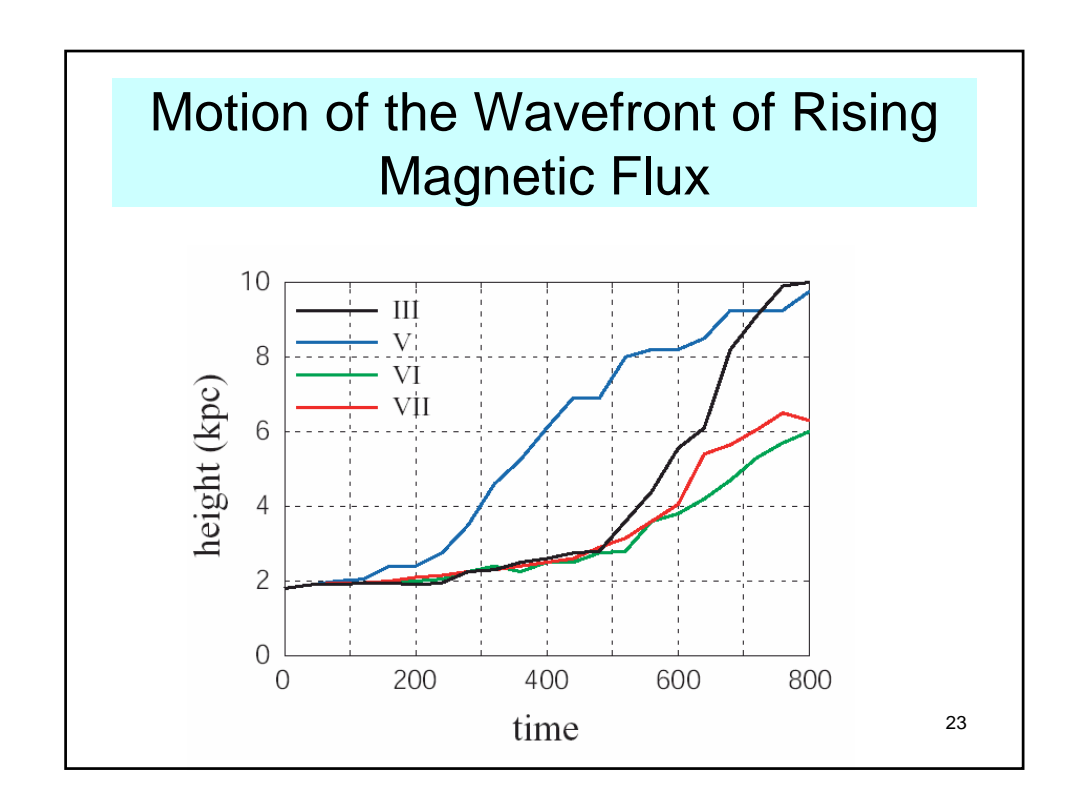
# Dependence on Azimuthal Resolution and Simulation Region



Model III: Full Circle Simulation with =2 /64

Model V-VII: ¼ Circle Simulation (0 < < /2) with

V: = /128 VI: = /64 VII: = /32



### 2体の軌道・質量決定法の新展開

~ VERA・JASMINE 等の

高精度位置天文観測を期待して ~

浅田 秀樹(弘前大学 理工学部)

2006年2月21日 銀河研究会(国立天文台)

1

#### 1. Introduction

Two Body Problem (in Newton Grav.)

Kepler, Newton, ...

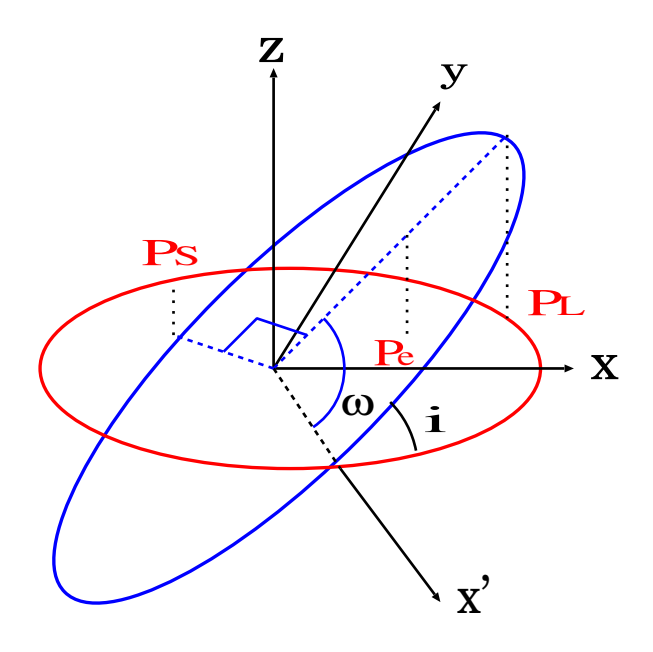
All historical issues.

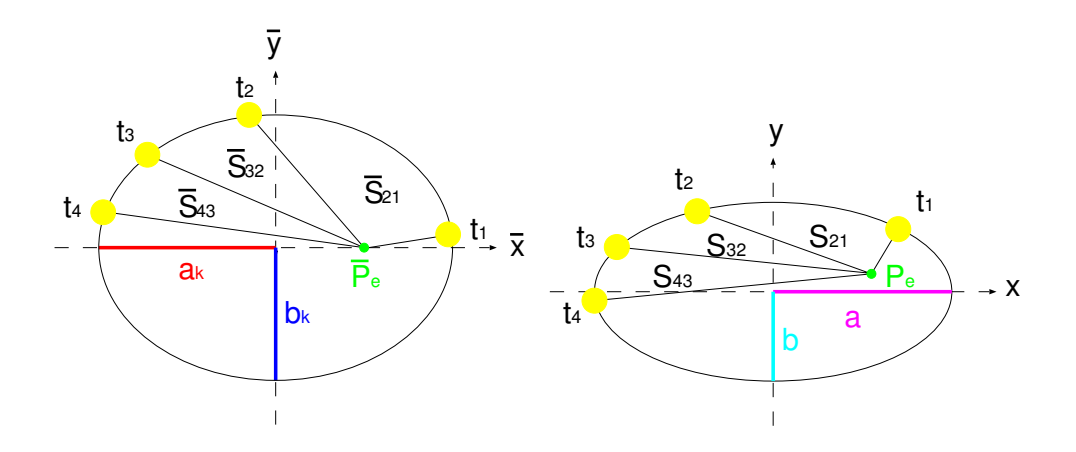
# Observational 2-body Problem: How to determine a orbit and mass from observation ?

The inclination of the orbital plane w.r.t. the line of slight.

Positions of stars are projected.

3





5

### Partly solved ...

「Visual Binary」
(Both stars can be observed)

→ Thiele-Innes (1883)

Not yet completely solved ...

「Astrometric Binary」 → ???

**Primary Star and Unseen Companion** 

such as Black Hole, Neutron Star, ...

#### **Orbital Elements**

→ Total Mass Determination

7

Hipparcos (1989~)

SIM, GAIA, JASMINE projects (< 10kpc, 2010s~)

Doppler Method  $(M_p \sin i)$  vs Astrometry  $(M_p \text{ and } i)$  It has been believed impossible to analytically determine the orbit (and mass) in general.

#### Because

The coupled equations are nonlinear, Kepler Eq. is transcendental.

a

However, this belief is not true.

Exact solution (expressed only by elementary fn.) was found!

HA, Akasaka, Kasai, PASJ 56, L35 (2004)

$$x_1 = \cdots,$$
  
 $y_1 = \cdots,$   
 $t_1 = t_0 + \frac{T}{2\pi}(u_1 - e_K \sin u_1),$   
 $x_2 = \cdots,$   
 $y_2 = \cdots,$   
 $t_2 = t_0 + \frac{T}{2\pi}(u_2 - e_K \sin u_2),$ 

11

#### 2. Apparent ellipse

Five Obs.  $(\bar{x}_i, \bar{y}_i)$  for  $i = 1, \dots, 5$ .

Standard Form  $\cdots$  (x,y)

$$\frac{x^2}{a^2} + \frac{y^2}{b^2} = 1,$$

ellipticity  $e = \sqrt{1 - b^2/a^2}$ .

#### 3. Orbital Elements

Four obs. at time 
$$t_i$$
 ( $i = 1, \dots, 4$ )  
 $P_i = (x_i, y_i) = (a \cos u_i, b \sin u_i)$ .

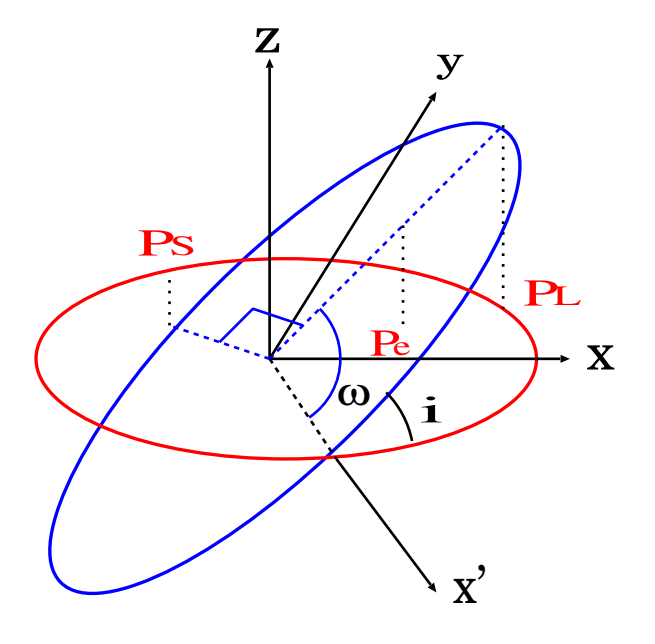
To avoid Kepler Eq.

Time Interval 
$$t_{ij} \equiv t_i - t_j$$
.

13

# Original Keplerian orbit specified by $a_K$ , $e_K$ , T.

Important  $\cdots$ Position of Projected Common Center of Mass (Focus)  $(x_e, y_e)$ .

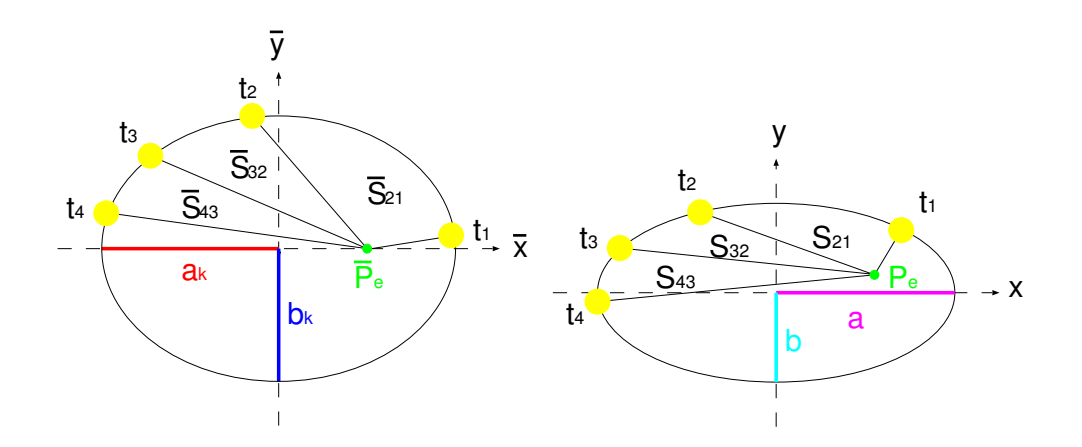


15

Even after projection,

areal velocity is constant,

where the area is swept around projected COM.



$$S = \pi ab$$
 — Total area

# $S_{ij}$ — Area swept during $t_{ij}$

$$S_{ij} = \frac{1}{2}ab \left[ u_i - u_j - \frac{x_e}{a}(\sin u_i - \sin u_j) + \frac{\frac{y_e}{b}}{b}(\cos u_i - \cos u_j) \right].$$

$$\frac{S_{21}}{t_{21}} = \frac{S_{32}}{t_{32}}, \quad \frac{S_{32}}{t_{32}} = \frac{S_{43}}{t_{43}}.$$

$$A_3 - \frac{x_e}{a} A_1 + \frac{y_e}{b} A_2 = 0,$$
  
$$B_3 - \frac{x_e}{a} B_1 + \frac{y_e}{b} B_2 = 0,$$

#### The solution is

$$x_e = -a \frac{A_2 B_3 - A_3 B_2}{A_1 B_2 - A_2 B_1},$$
$$y_e = b \frac{A_3 B_1 - A_1 B_3}{A_1 B_2 - A_2 B_1}.$$

#### Solved geometrically or algebraically.

$$e_K = \sqrt{\frac{x_e^2}{a^2} + \frac{y_e^2}{b^2}}.$$

21

$$\cos i = \frac{1}{2}(\xi - \sqrt{\xi^2 - 4}),$$
 
$$a_K = \sqrt{\frac{C^2 + D^2}{1 + \cos^2 i}},$$
 
$$\cos 2\omega = \frac{C^2 - D^2}{a_K^2 \sin^2 i},$$

where

$$C = \frac{1}{e_K} \sqrt{x_e^2 + y_e^2},$$

$$D = \frac{1}{abe_K} \sqrt{\frac{a^4 y_e^2 + b^4 x_e^2}{1 - e_K^2}},$$

$$\xi = \frac{(C^2 + D^2)\sqrt{1 - e_K^2}}{ab}.$$

23

#### 4. Data with observational errors.

AAK formula assumes no errors.

In practice, least square method needs numerical calculations.

Is AAK formula practically useful?

#### Yes!

It is extended to a lot of observations with errors.

HA, Akasaka, Kudoh, submitted to Cel. Mech.

 $\chi^2$  is square in the parameters ... easily solved!

25

#### 5. Generalized AAK formula

$$x_{e} = -\frac{a}{nC_{4}} \sum_{j} \frac{F_{j}G_{j+1} - G_{j}F_{j+1}}{E_{j}F_{j+1} - F_{j}E_{j+1}},$$
  

$$y_{e} = \frac{b}{nC_{4}} \sum_{j} \frac{G_{j}E_{j+1} - E_{j}G_{j+1}}{E_{j}F_{j+1} - F_{j}E_{j+1}},$$

 $e_K$ ,  $\cos i$ ,  $a_K$ ,  $\cos 2\omega$  remain same.

- 6. Concluding Remarks
- 1. Complete Exact Solution to Observatinal two-body problem.
- 2. Extended Solution to Realistic observational data.

27

3. Generalized to parabolic and hyperbolic orbits.

HA, submitted to Cele. Mech.

## [A] Planet Mass Kepler's 3rd law

$$T^2 = \frac{4\pi^2 a^3}{G(m_s + m_p)}.$$

Here, separation between star and planet

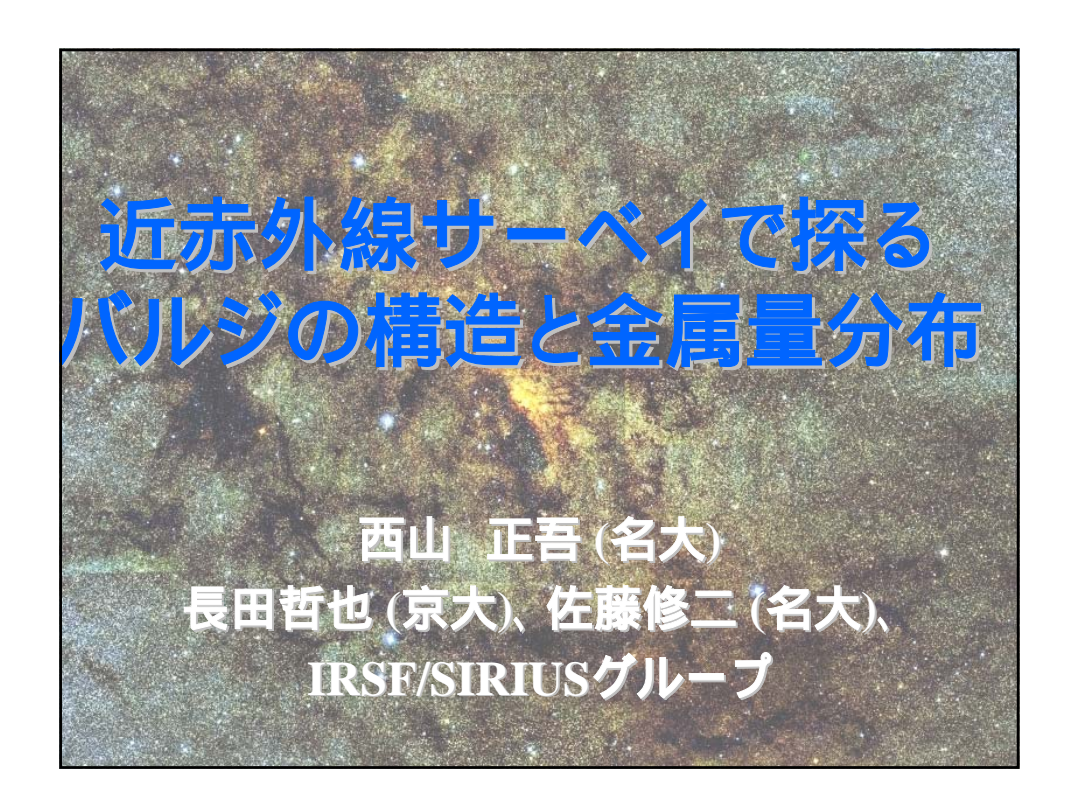
$$a = a_s + a_p,$$

$$a_s m_s = a_p m_p.$$

28

# For stellar msss $m_s >> m_p$ planetary mass,

$$m_p pprox \left(rac{4\pi^2 m_s^2 a_s^3}{GT^2}
ight)^{1/3}.$$



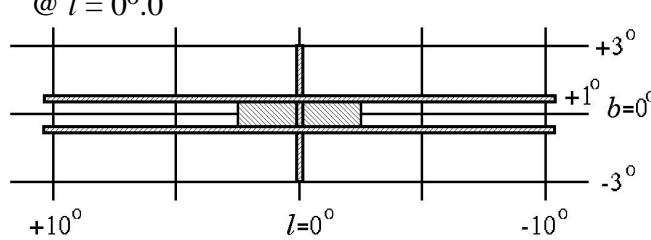


#### IRSF/SIRIUS 銀河中心サーベイ

- 近赤外3バンド(J,H,Ks)でのサーベイ観測
- 観測領域 第1期: | l | 2°.5, | b | 1°.0

第2期: |l| 10°.0 @  $b = \pm$  1°.0

|b| 3°.0 @ l = 0°.0



<u>観測の目的</u> +10°

■ 星の分布 バルジの構造

■ 星団、若い星の探査 現在の星形成(20日:村井)

■ 金属量分布、光度関数 バルジの形成史

■ 観測の基礎となる情報 赤化則、減光マップ

#### IRSF/SIRIUS 銀河中心サーベイ

IRSF 望遠鏡 + 近赤外カメラSIRIUS

#### **IRSF**

口径 1.4m 指向精度 3" 追尾精度 0".3

#### <u>SIRIUS</u>

3色 (J,H,Ks) 同時撮像

 $(J: 1.25, H: 1.63, Ks: 2.14 \mu m)$ 

解像度 0".45/pixel 視野 7'.8×7'.8

サーベイ用に特化したカメラと 専用望遠鏡

> 興味ある領域を広く、 深く、細かく観測





# IRSF/SIRIUS 銀河中心サーベイ

IRSF/SIRIUS と 2MASS との比較

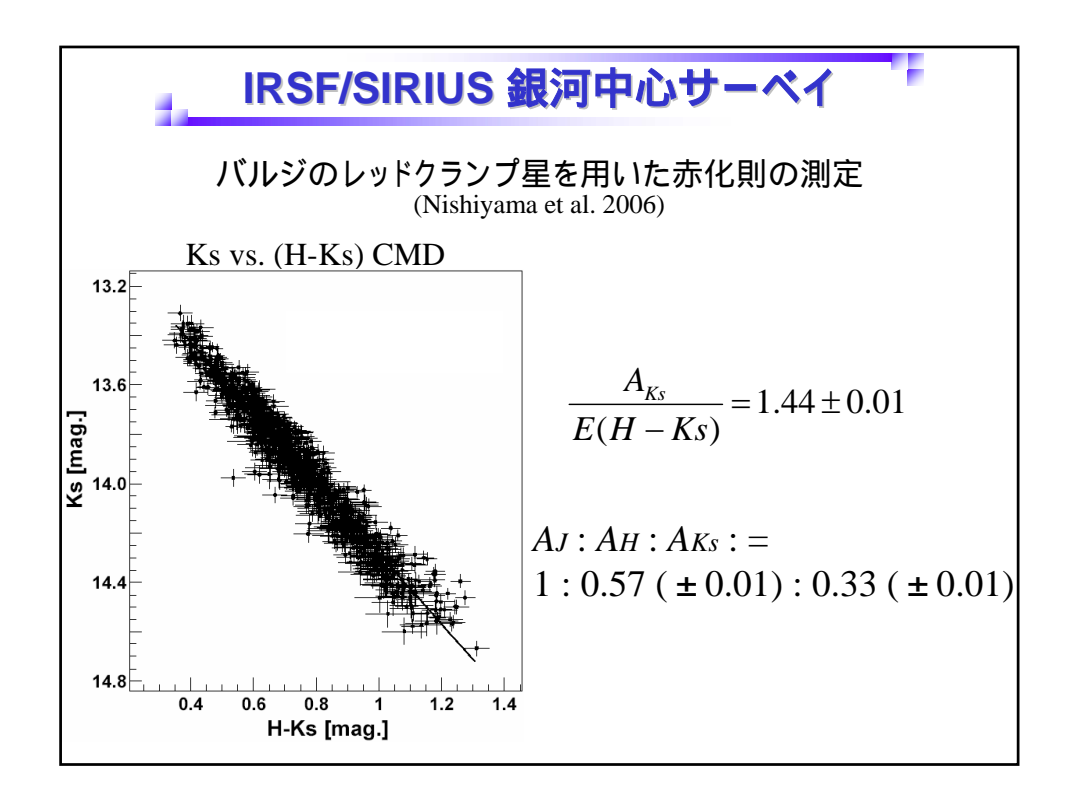
限界等級(10 )

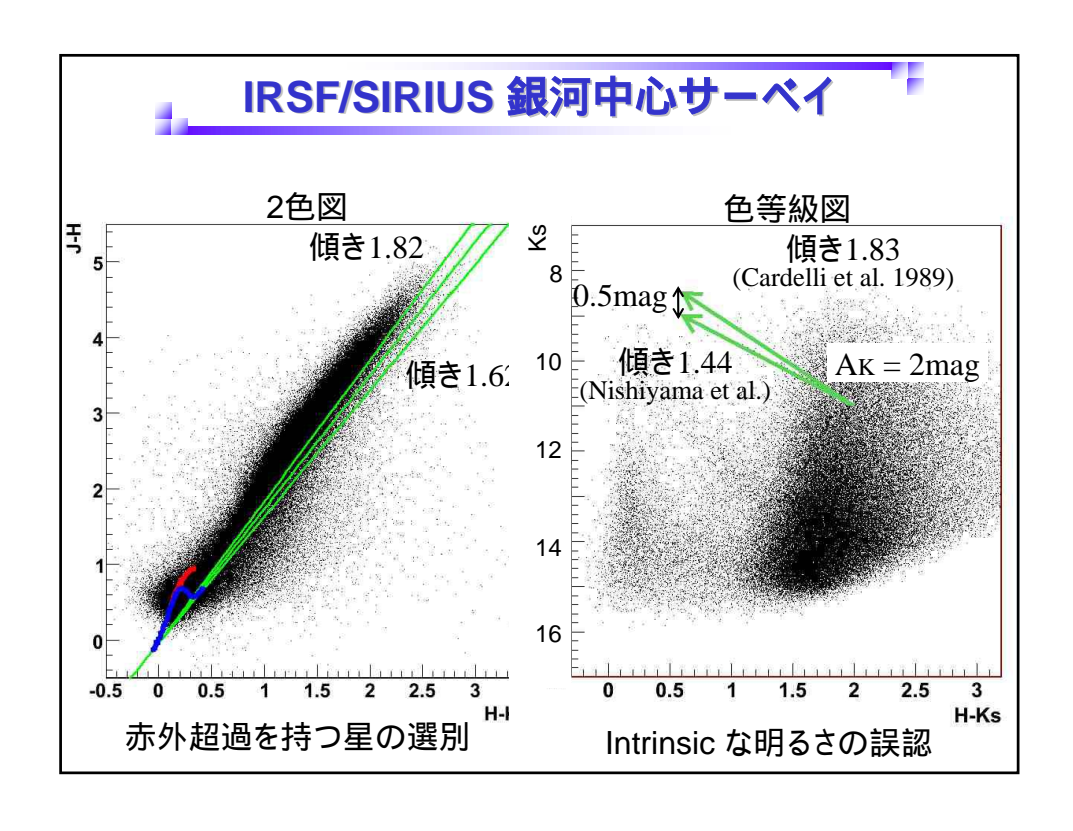
|    | IRSF | 2MASS |  |
|----|------|-------|--|
| J  | 17.1 | 15.8  |  |
| Н  | 16.6 | 15.1  |  |
| Ks | 15.6 | 14.3  |  |

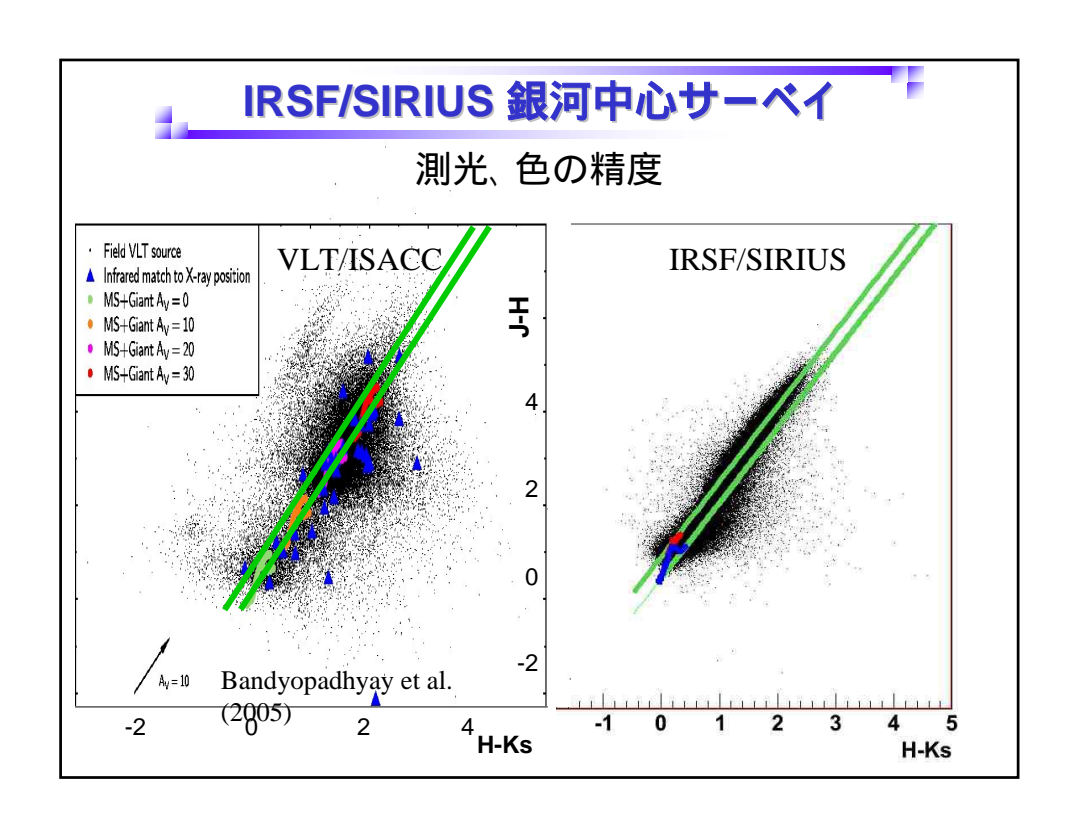
5°(*l*) × 2°(*b*) 公称值 平均值 限界等級(10)

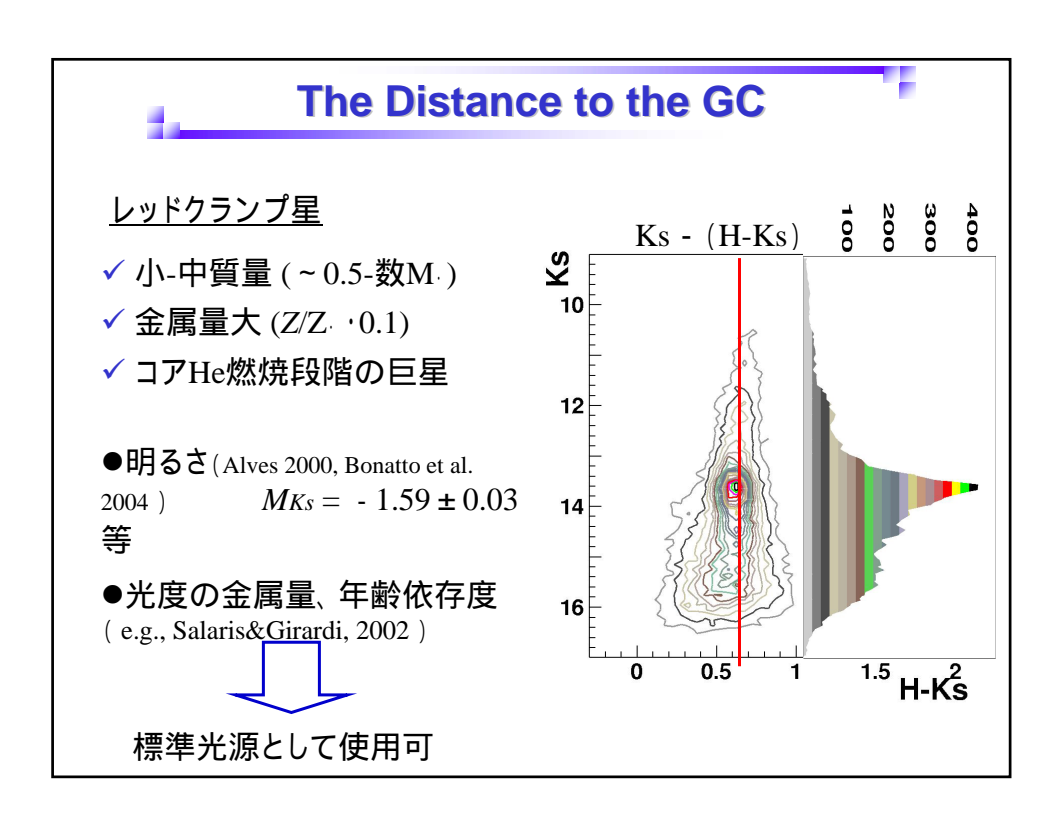
|    | IRSF | 2MASS |
|----|------|-------|
| J  | 17.0 | 15.5  |
| Н  | 16.0 | 13.0  |
| Ks | 14.0 | 11.0  |

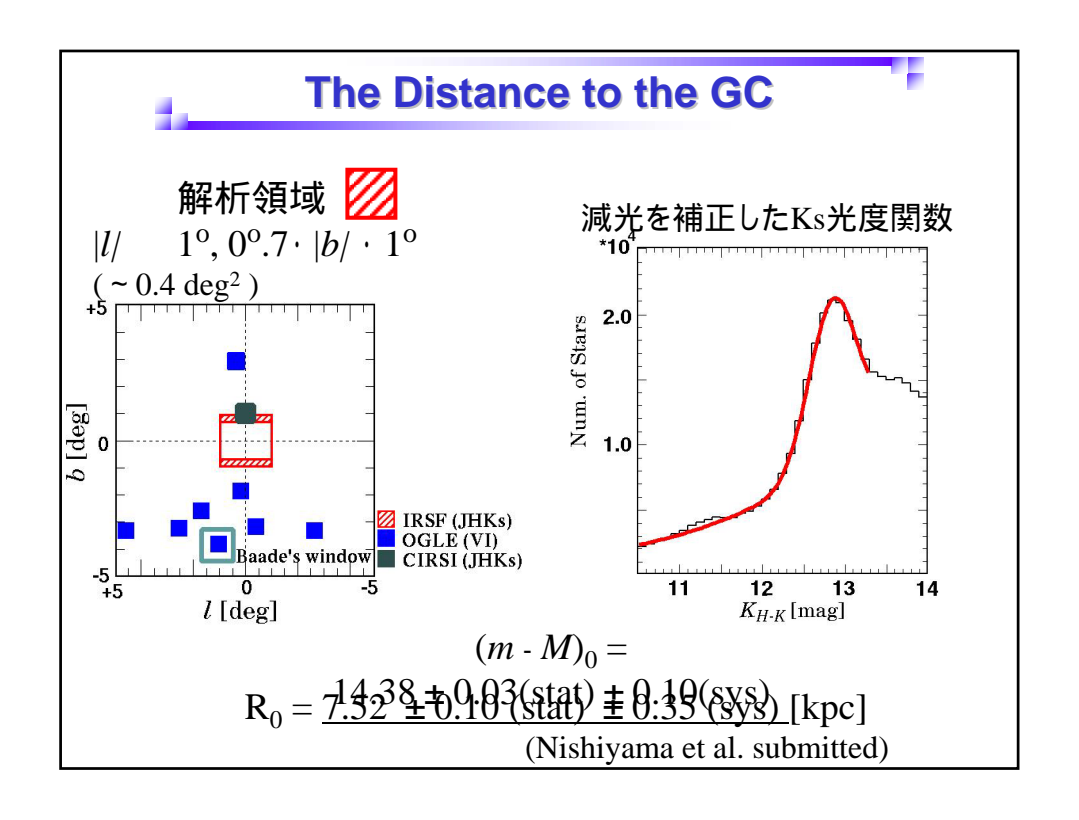
<u>銀河中心</u> 8'×8'

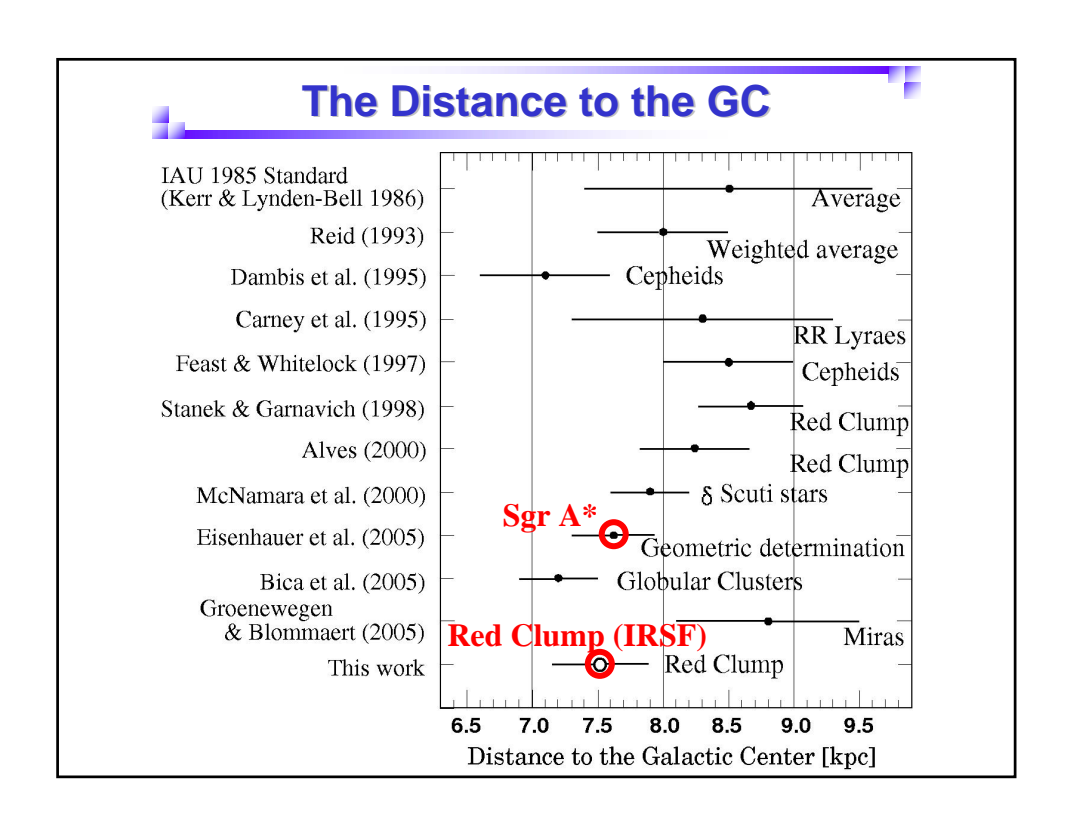


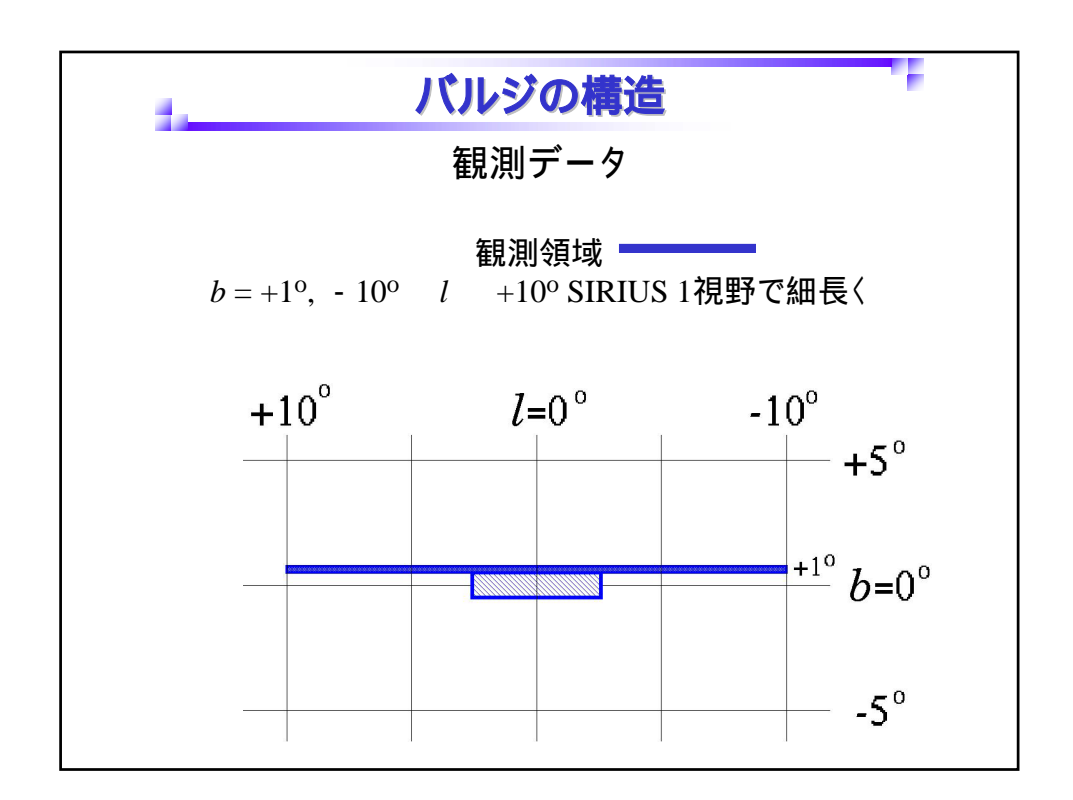


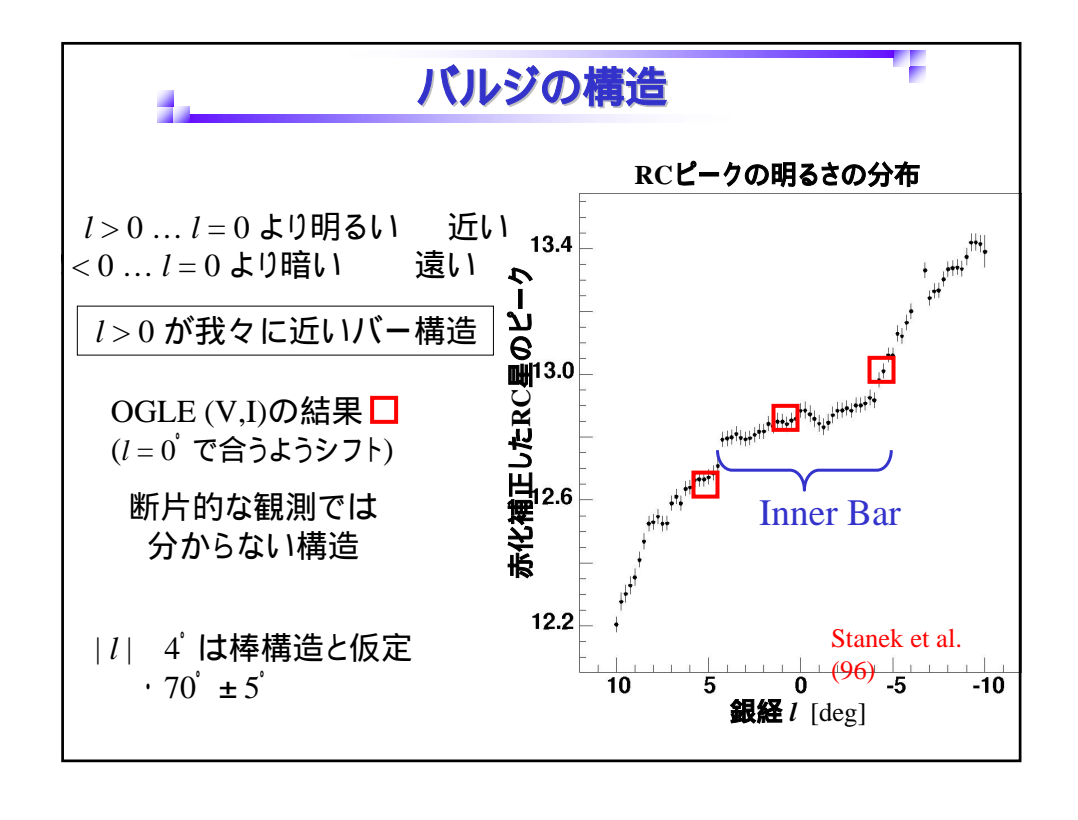












## バルジの構造

過去のレッドクランプの観測 (全て l = 0°で合うようシフト)

◆ OGLE:可視(V,I)

◆ OGLE: 可視(V,I)

(Optical Gravitational Lensing Experiment)

Stanek et al. 1996, Sumi 2004

◆ CIRSI:近赤外(J,H,Ks)

(Cambridge InfraRed Survey Instrument)

Babusiaux & Gilmore 2005

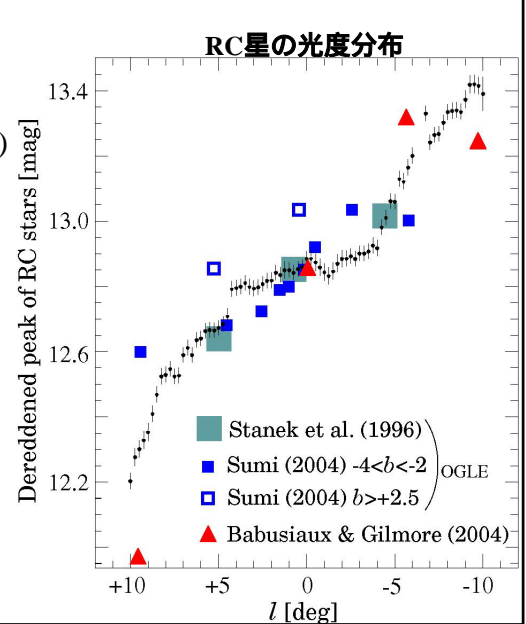
OGLE は b > 0° と b < 0°

で大きく異なる

b によって変化.....

構造に銀緯体存性2

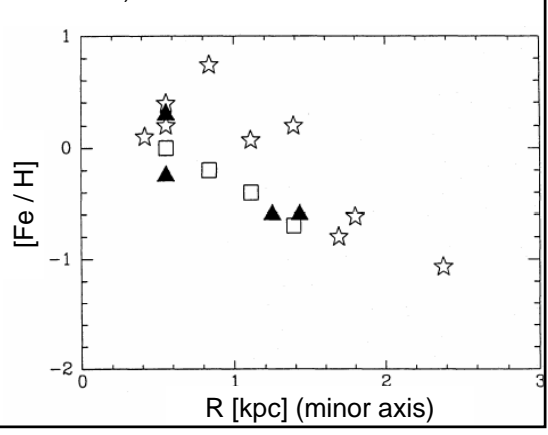
構造に銀緯依存性?



### バルジの金属量分布

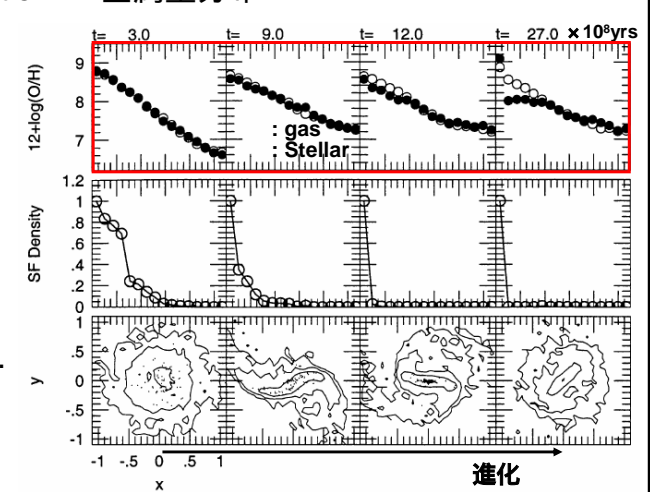
- ◆ 銀河系のDynamical evolution バルジの構造、分子雲の運動
- Chemical evolution 金属量分布

金属量の勾配 (Minniti et al. 1995)



# バルジの金属量分布

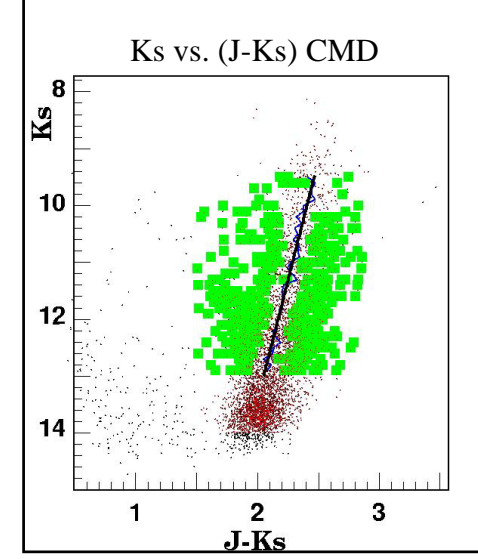
- ◆ 銀河系のDynamical evolution バルジの構造、分子雲の運動
- ◆ Chemical evolution 金属量分布



バーがあると.... (Noguchi 1998)

# バルジの金属量分布

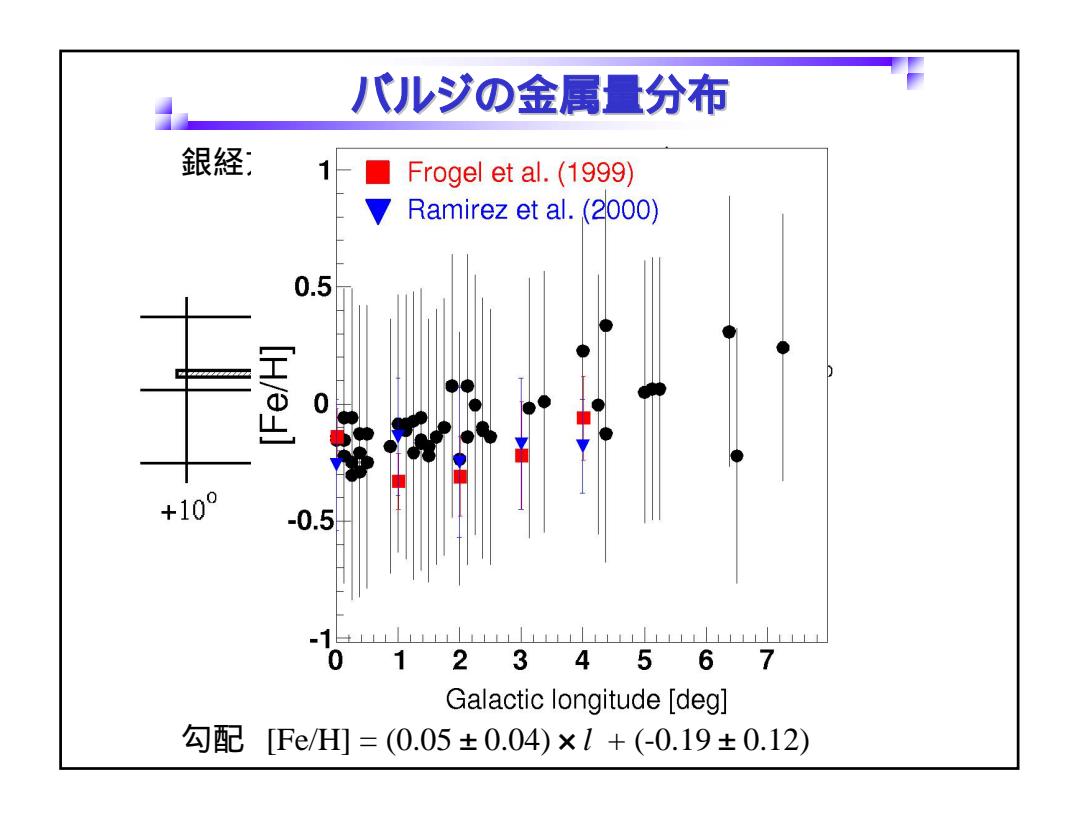
解析手法: 巨星枝の傾きを [Fe/H] の指標に

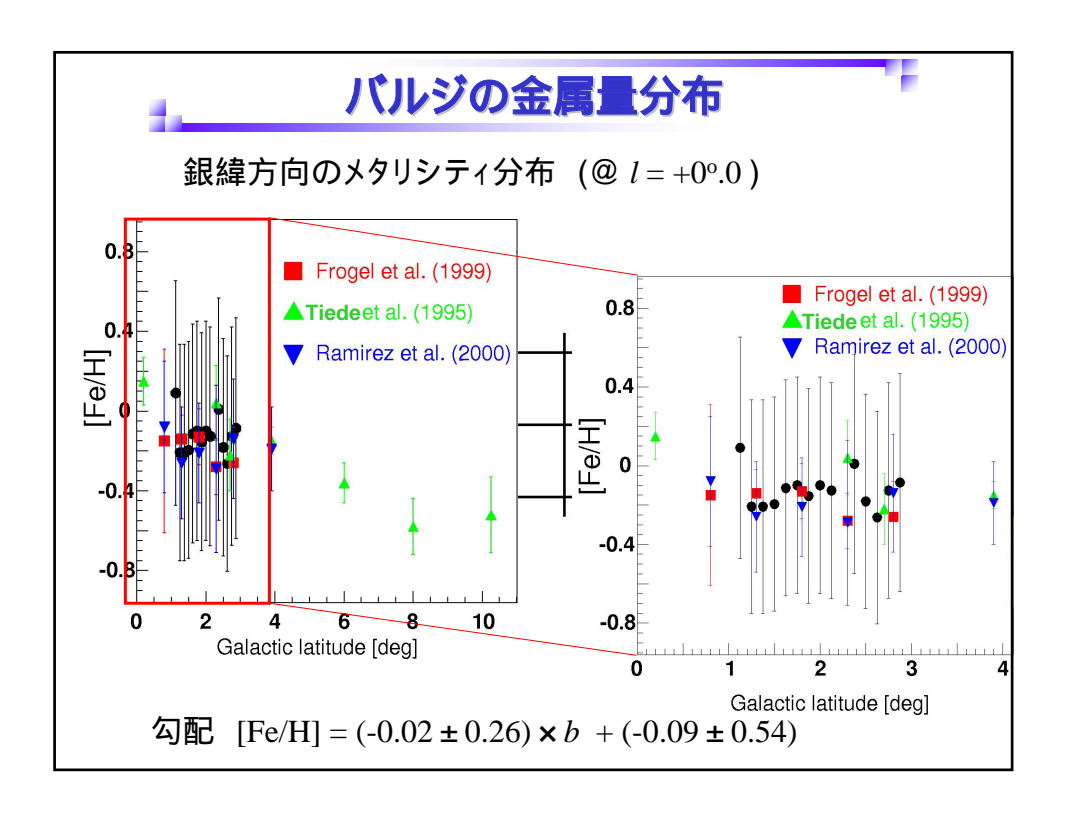


色等級図からRGBの傾きを求める

$$[Fe/H] = -1.692(\pm 0.500)$$
  
 $-13.613(\pm 5.118) \times RGBSlope$ 

Frogel et al. (1999)





#### バルジの金属量分布

#### 結果

> 0 |*l*/ 7° ... [Fe/H] = -0.14 ± 0.09

勾配 [Fe/H] =  $(0.05 \pm 0.04) \times l + (-0.19 \pm 0.12)$ 

 $\triangleright$  1 |b/ 3° ... [Fe/H] = -0.12 ± 0.09

勾配 [Fe/H] =  $(-0.02 \pm 0.26) \times b + (-0.09 \pm 0.54)$ 

銀経、銀緯ともに大きな勾配は見られない 銀緯方向はもう少し大きなスケールで勾配あり?

#### 今後

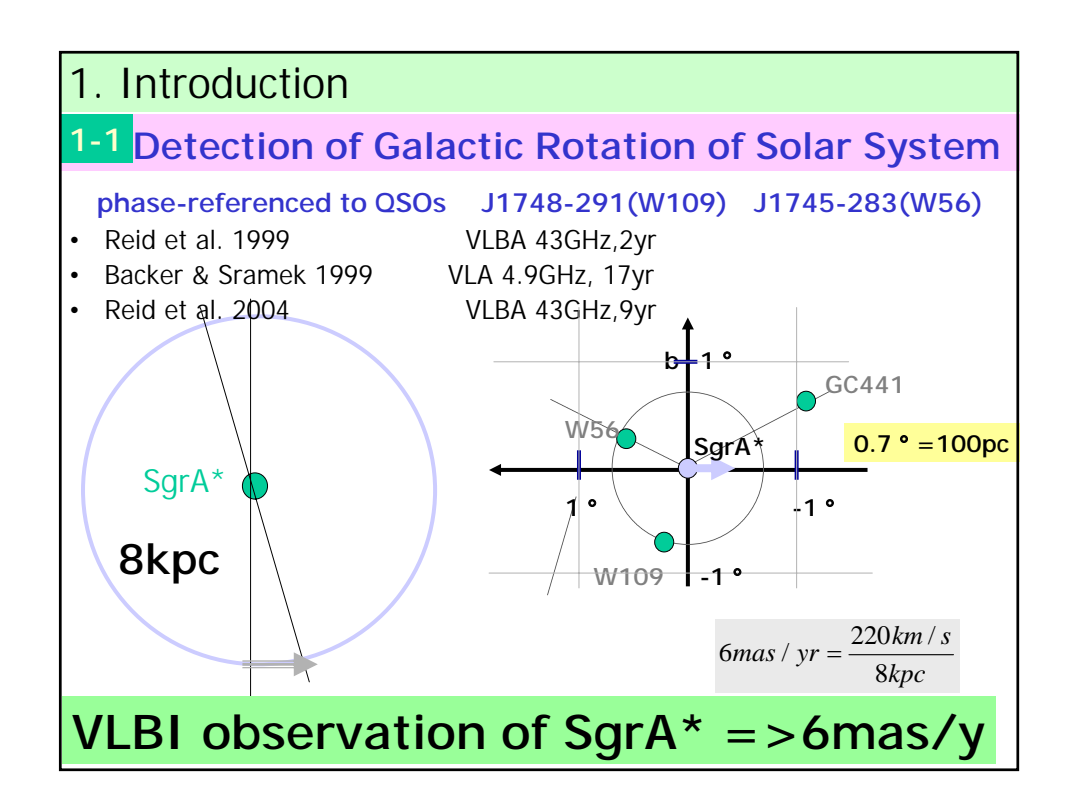
モデルと比較等、定量的な議論にはまだデータが必要 銀緯方向の観測の拡大

|b| 1º のデータの活用 (HKでの[Fe/H] 変換式) 中心領域全体の[Fe/H]分布

#### まとめ

- 銀河系中心領域の近赤外3バンド(J,H,Ks)サーベイ観測
- 銀河中心までの距離 7.52 ± 0.10 (stat) ± 0.35 (sys) [kpc]
- |l| 4°に異なる傾きの構造 secondary bar?
- 0 |*l*/ 7°、1 |*b*/ 3°では メタリシティの勾配なし





#### 1. Introduction

#### 1-2 Various effect in the apparent motion

Table 1. Various effects in the apparent motion

|           | Sgr A*            |                        | QSOs                     |                       |
|-----------|-------------------|------------------------|--------------------------|-----------------------|
| Nature    | Secular           | Periodic               | Secular                  | Random                |
| Magnitude | 6  mas/yr         | $250\mu\mathrm{as/yr}$ | $0.6 \mu \mathrm{as/yr}$ | $10\mu\mathrm{as/yr}$ |
| Cause     | Galactic Rotation | Annual Parallax        | Macro Lens               | Microlensing          |

#### 1. Introduction

#### 1-2 Gravitational Lens effect to the G.C.

#### Micro Lens effect

of reference QSOs by the star near the line of sight to G.C

Individual Star

# Astrometric Microlensing

(Hosokawa, et al 2002)

#### Macro Lens effect

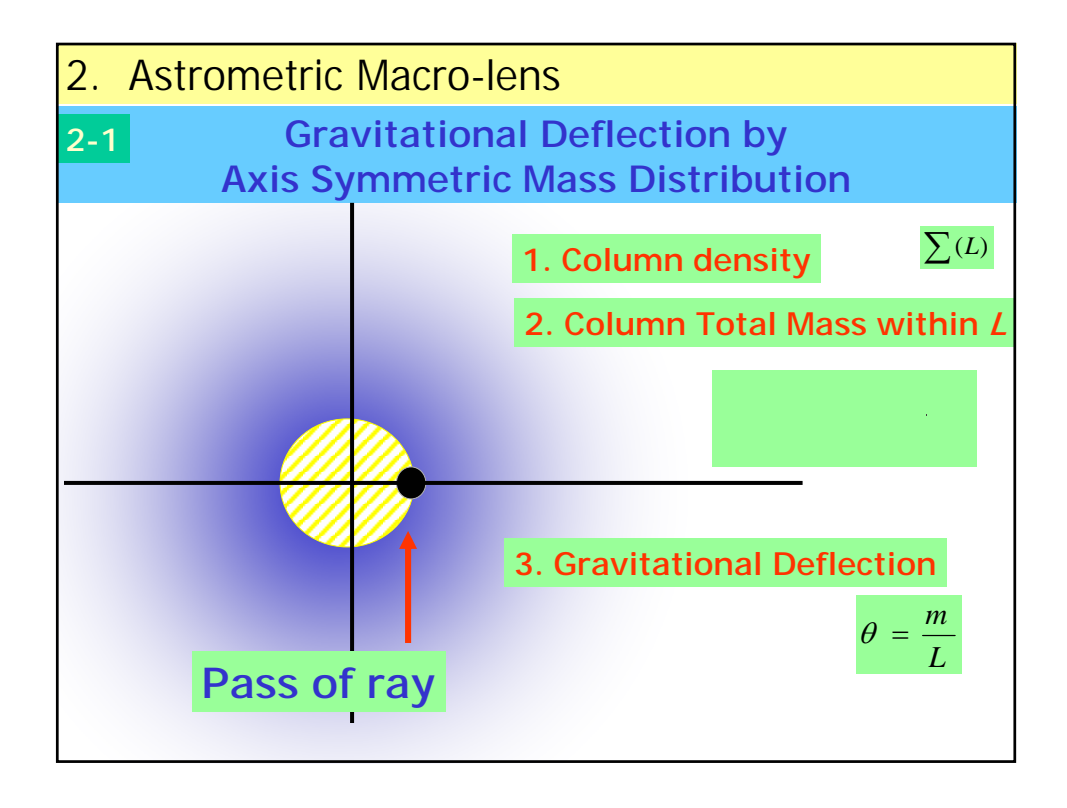
of reference QSOs by galactic potential near the line of sight to G.C

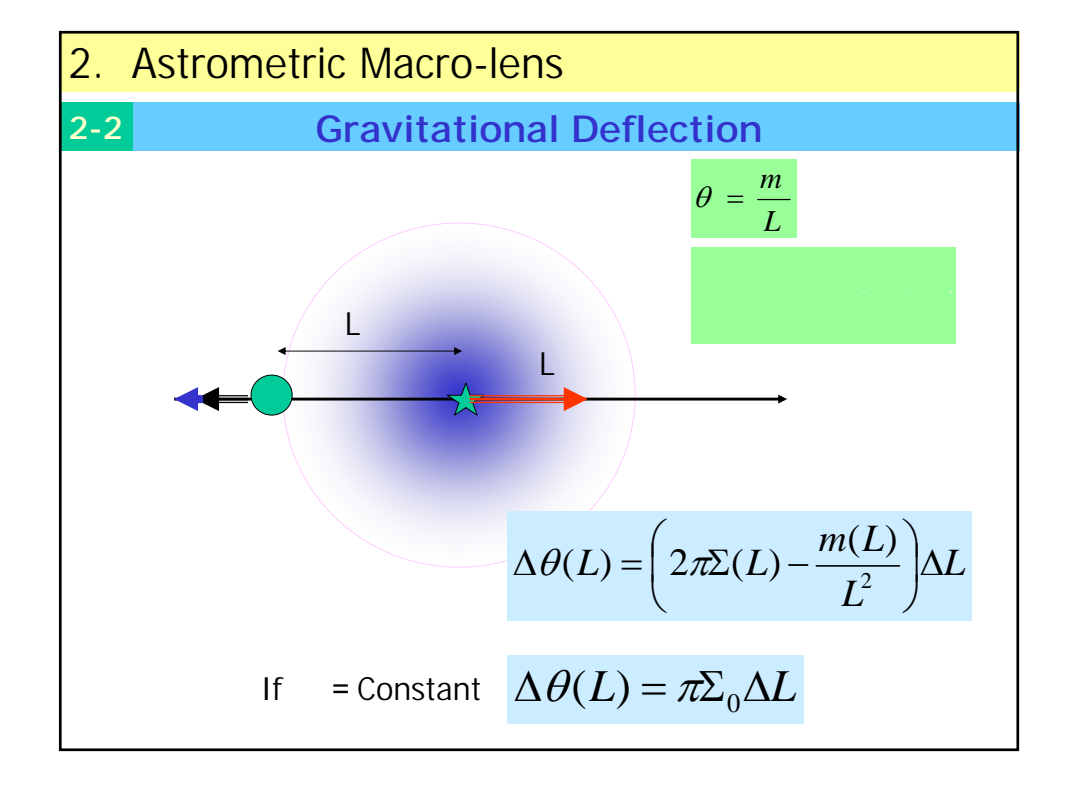
#### Group of Stars

- (1) SgrA\* (Massive BH)
- (2) Core
- (3) Bulge

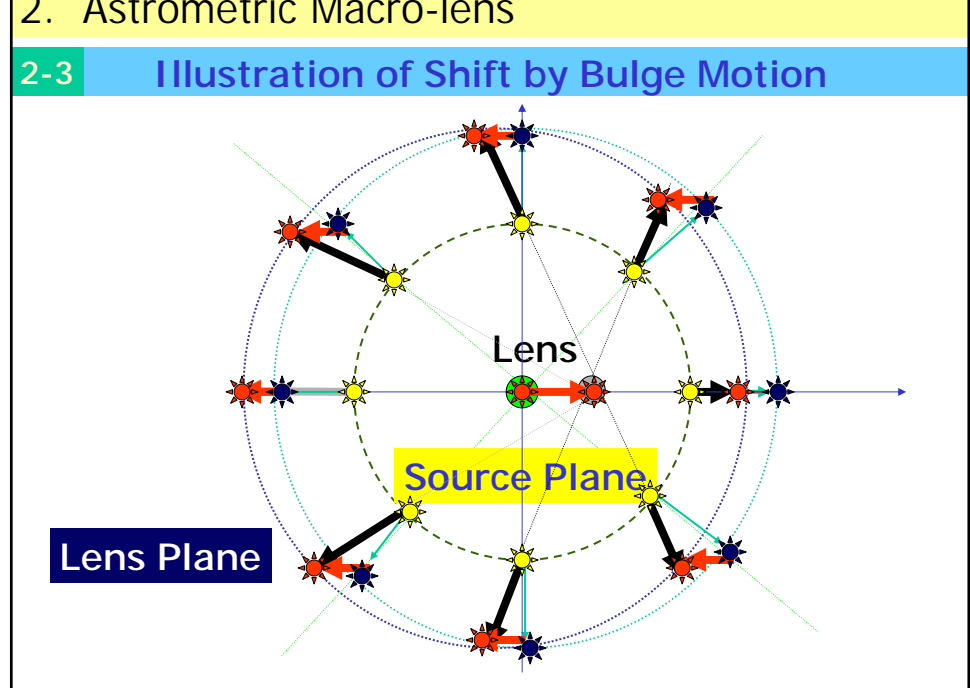
## **Macro Lens**

(Ohnishi, et al. 2003)





#### 2. Astrometric Macro-lens



#### 3. Astrometric Macro-lens in our Galaxy

3-1 **Adopted Galactic Model** 

Alexander & Sternberg (1999)

Core+Bulge+Disk

**Characteristic Length Scale** 

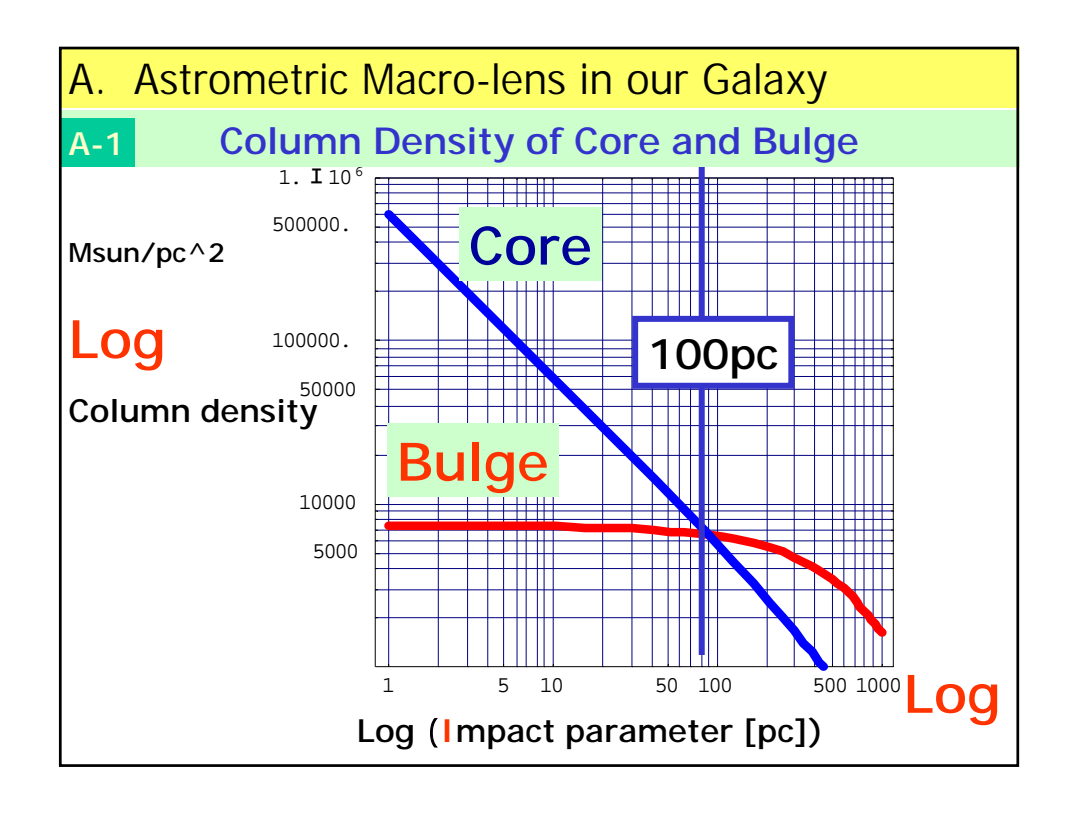
Core **Bulge** disk

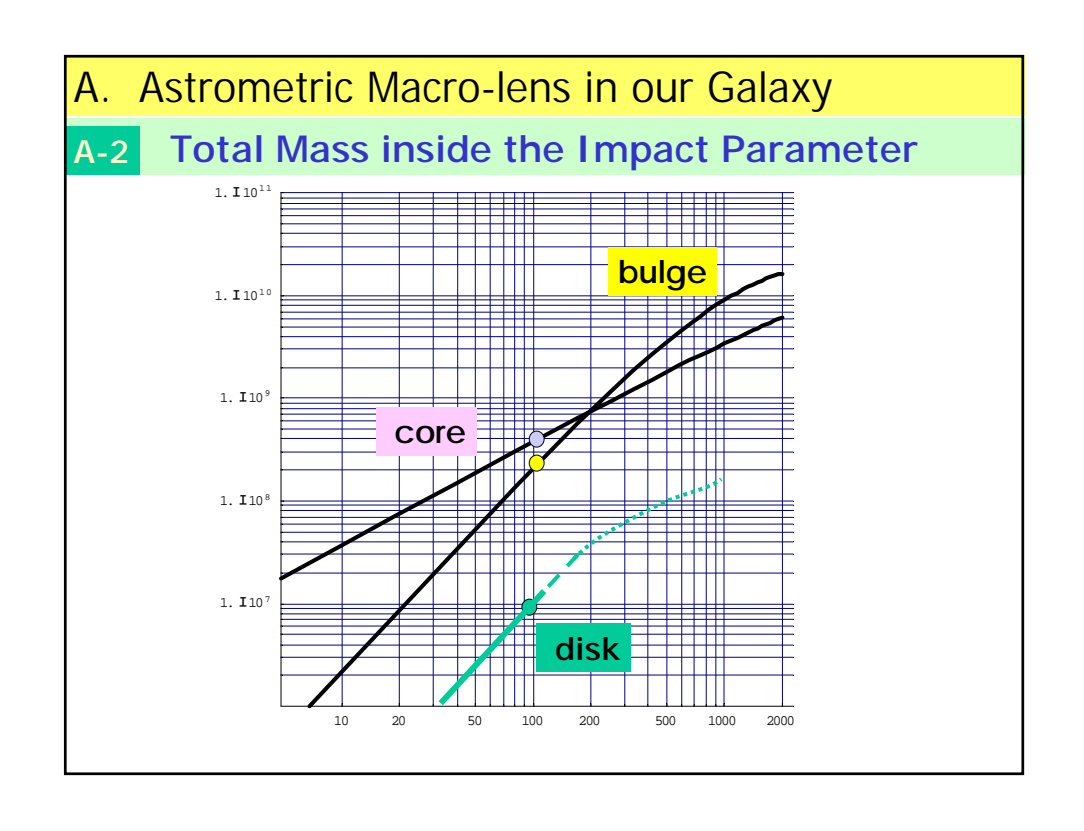
3kpc 0.38pc 667pc

$$\rho_{core}(r) = \frac{\rho_o}{1+3(r/r_c)^2}$$
 $\rho_o = 4 \times 10^6 M_{SUM} pc^{-3}, r_c = 0.38 pc$ 

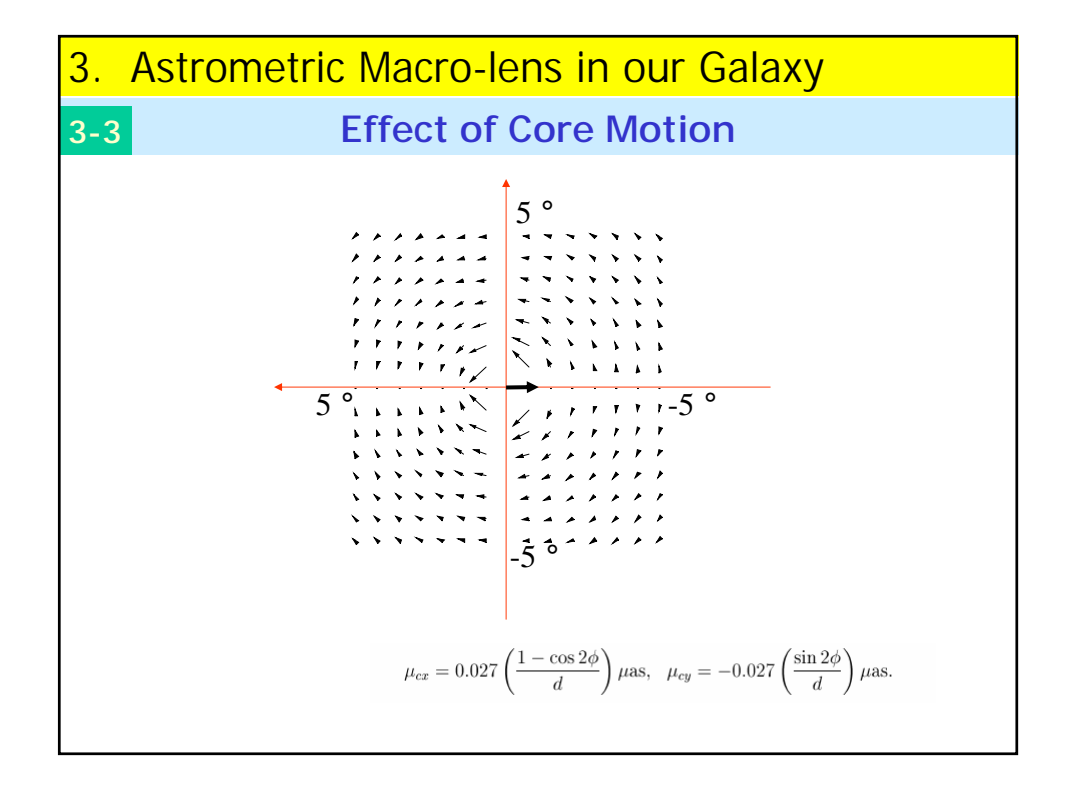
$$r_b = 3000 \, pc$$

Disk and Halo contribution is negligible

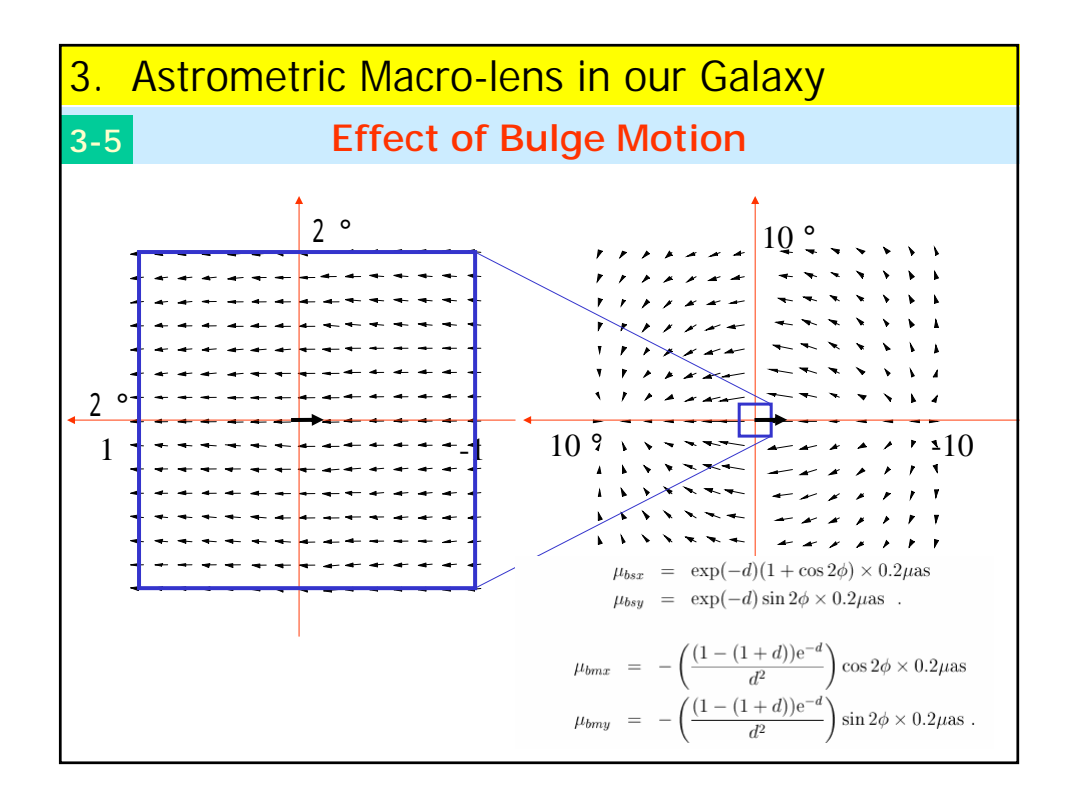


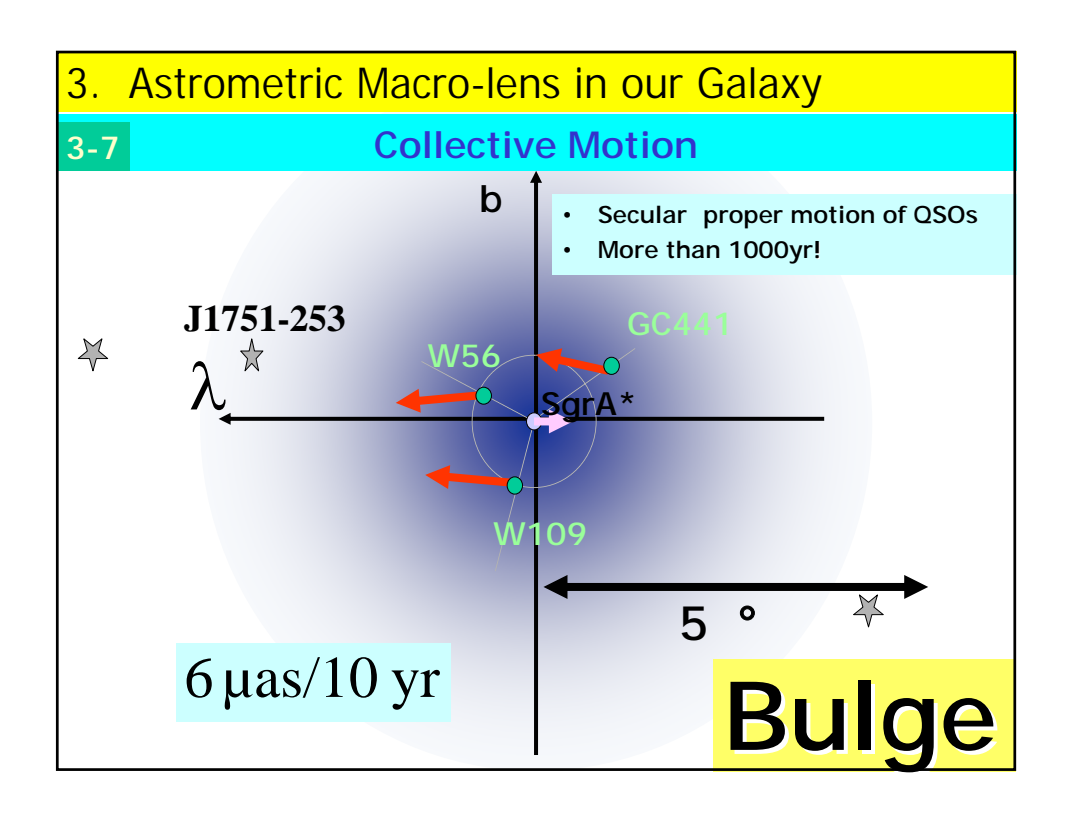


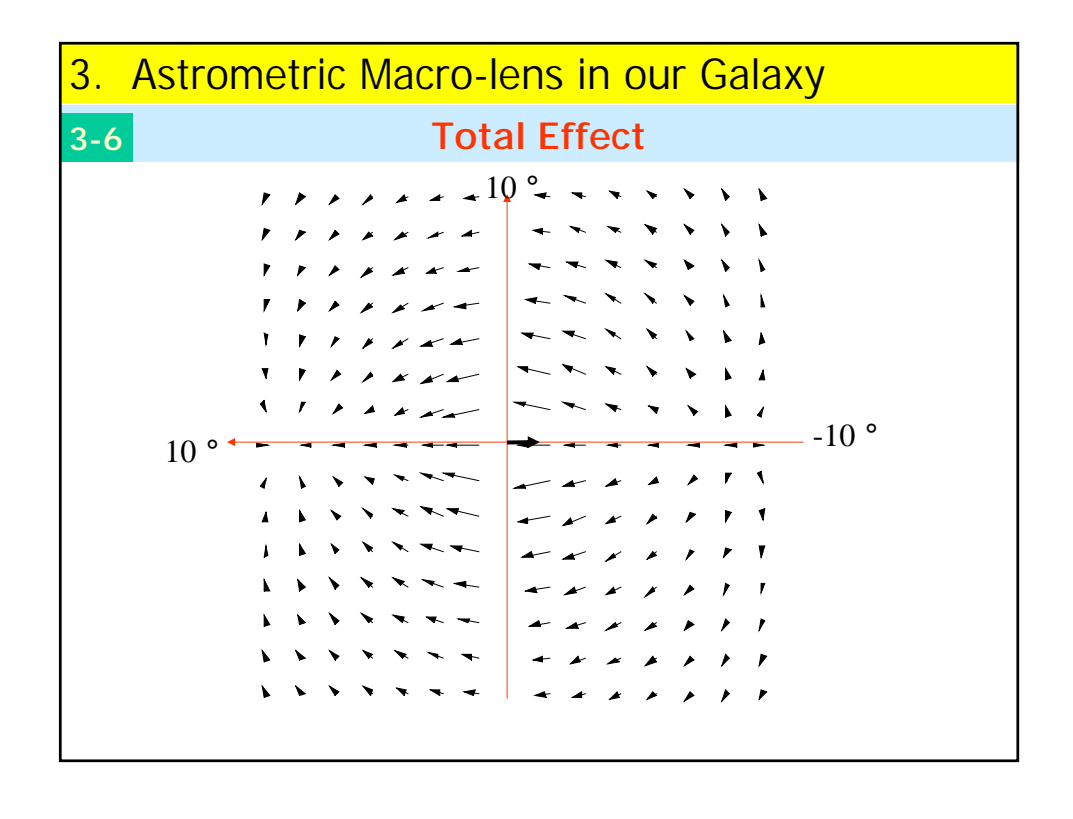
# 3. Astrometric Macro-lens in our Galaxy Effect of Core Motion Log Msun/pc^2 b Log (Impact parameter [pc]) Core column density $\frac{\mu_l}{\mu_b} = \mu_c (1-\cos 2\phi)$ $\frac{\mu_c}{\mu_b} = \mu_c (-\sin 2\phi)$ Effect of Core Motion $\frac{b}{\mu_c} = \mu_c (1-\cos 2\phi)$ $\frac{\mu_c}{\mu_b} = \mu_c (-\sin 2\phi)$ $\frac{\mu_c}{\mu_b} = \mu_c (-\sin 2\phi)$

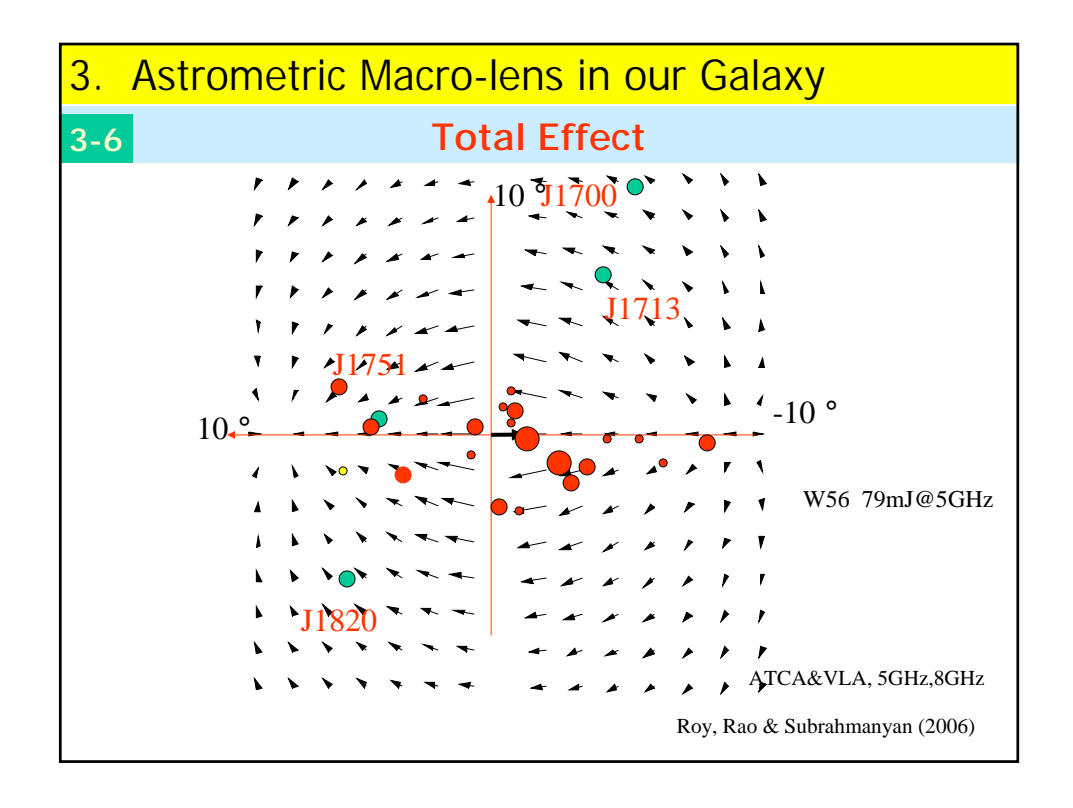


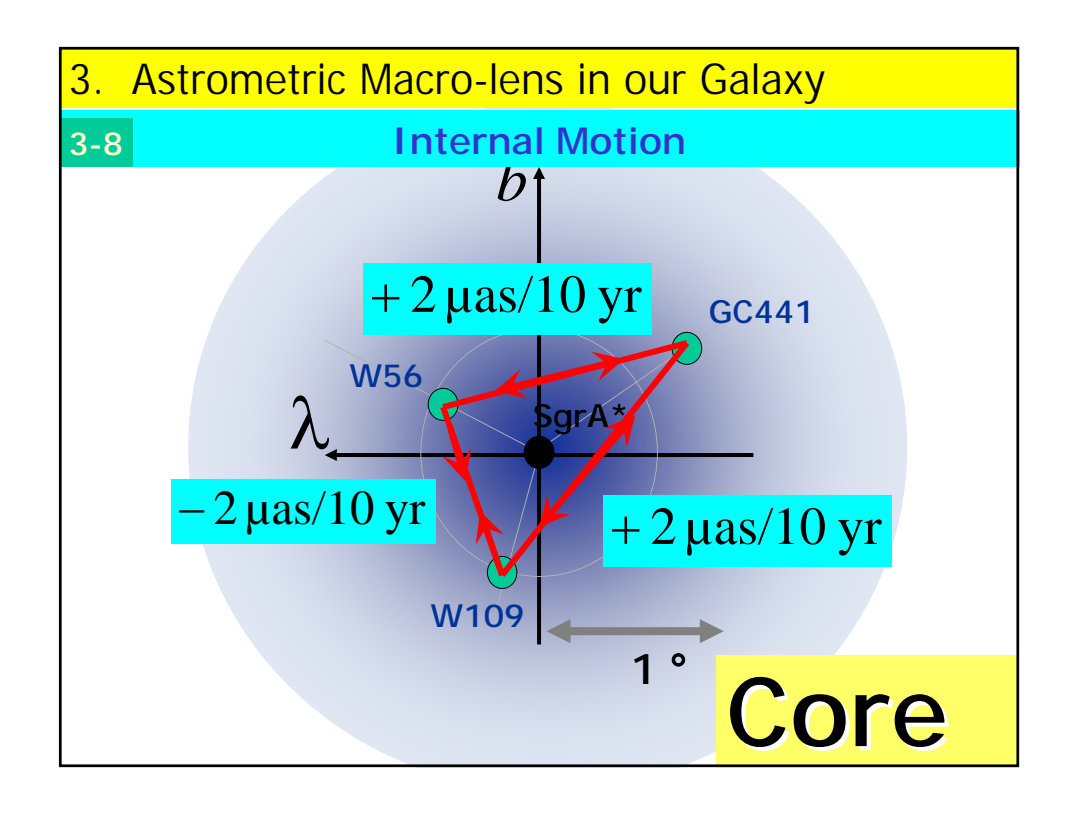
# 3. Astrometric Macro-lens in our Galaxy Effect of Bulge Motion Log Msun/pc^2 Log (Impact parameter [pc]) Bulge column density $\frac{\mu_{I}}{\mu_{B}} = \frac{\mu_{B}}{\mu_{B}} = \frac{\mu_{B}}{\mu_{B}} = \frac{\mu_{B}}{\mu_{B}} = \frac{2\mu as}{10 \text{ yr}} \left(\frac{\Sigma(100 \text{ pc})}{6 \times 10^{6} \text{ M}_{sun}/\text{pc}^{2}}\right) \sim 2 \mu \text{ as}/10 \text{ yr}$

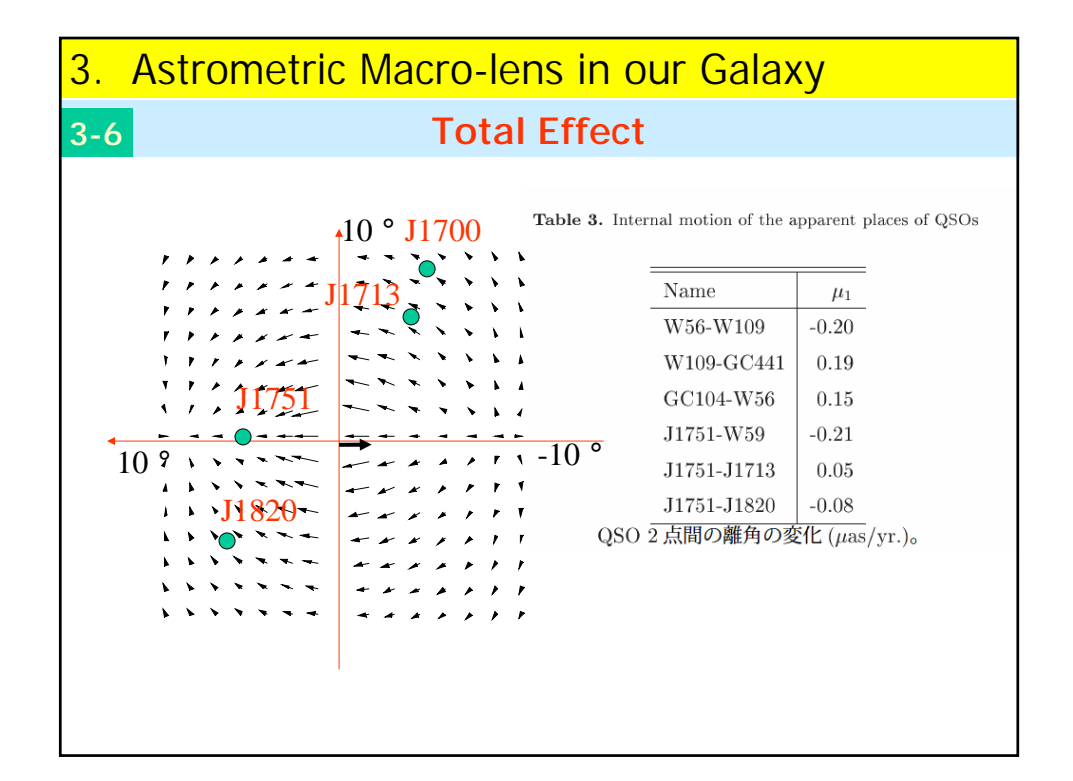


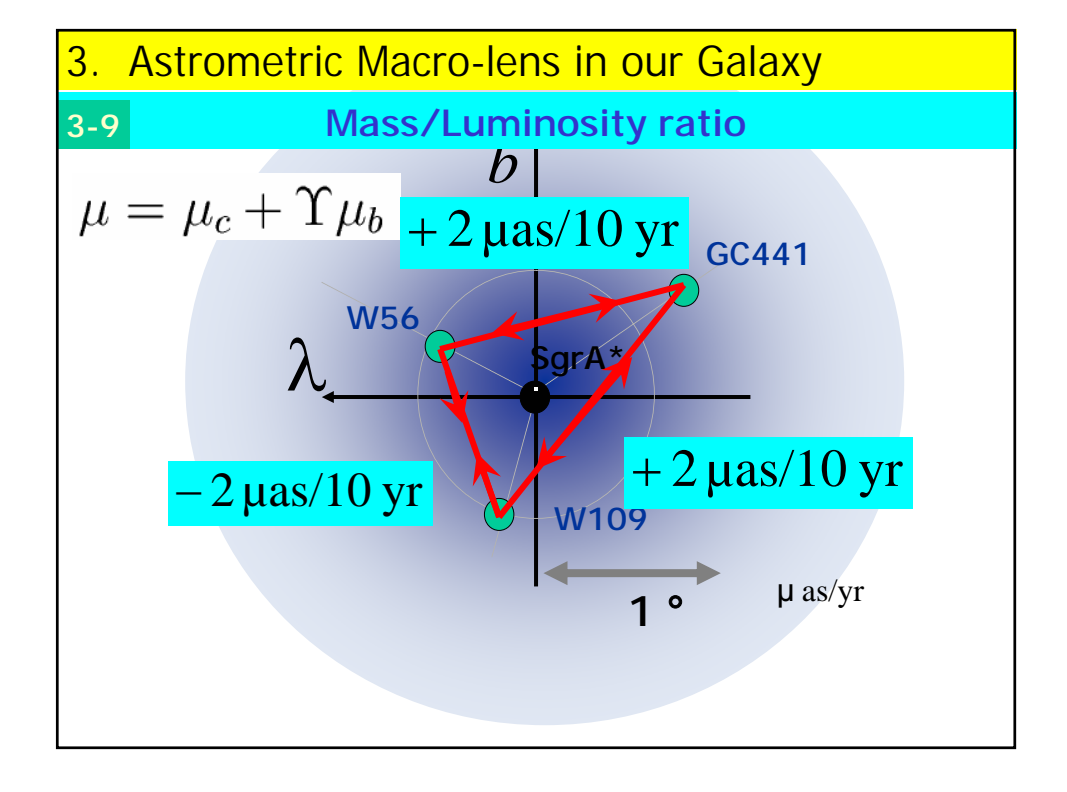












#### 3. Astrometric Macro-lens in our Galaxy

#### 3-9

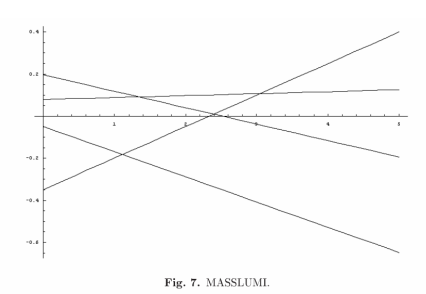
#### Mass/Luminosity ratio

$$\mu = \mu_c + \Upsilon \mu_b$$

Table 6. Y

| $\mu_1$ |   |   |
|---------|---|---|
| , -     | $\mu_5$   | $\mu_{10}$  |
| -0.20   | 0.47  | 1.16  |
| 0.19    | -0.19   | -0.66   |
| 0.15    | 0.42  | 1.08  |
| -0.21   | -0.64   | -1.25   |
| 0.05    | 0.37  | 0.77  |
| -0.08   | 0.40  | 0.82  |
|         | -0.20<br>0.19<br>0.15<br>-0.21<br>0.05<br>-0.08 | -0.20 0.47<br>0.19 -0.19<br>0.15 0.42<br>-0.21 -0.64<br>0.05 0.37 |

QSO 2 点間の離角の変化 (μas/yr.)。



#### 5. Conclusion

#### 5-1

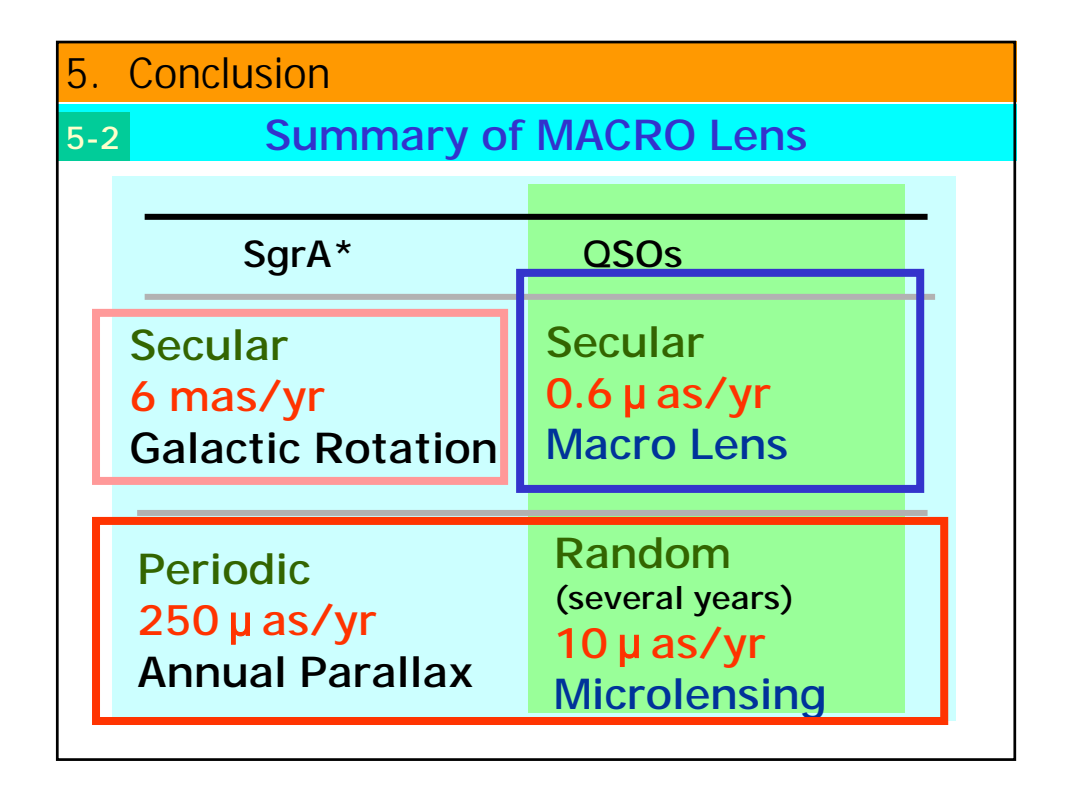
## **Summary of MACRO Lens**

### Macro lens effect of Galaxy is important

| Apparent Motion of QSOs |               |  |
|-------------------------|---------------|--|
| Internal                | Collective    |  |
| Core                    | Core + Bulge  |  |
| 2 µ as/10yr             | 2-6 µ as/10yr |  |
|                         |               |  |

The collective gravitational deflection by the bulge, that is called MACRO-Lens, are observable magnitude. This effect reaches 0.6 micro-arcsecond/yr and it has a secular component.

The measurement of these effects will provide us valuable information on the visible and dark matter density and mass function of the Galactic Center.



#### Astrometric Macro-lens in our Galaxy **Collective Motion** 3-8 Table 3. Internal motion of the apparent places of QSOs Name $\mu_1$ W56-W109 -0.20W109-GC441 0.19GC104-W56 0.15-0.21J1751-W59 J1751-J1713 0.05J1751-J1820 -0.08QSO 2 点間の離角の変化 (μas/yr.)。

# 「銀河系研究会2006」: SiO Maser Survey of the Inner Bar of the Galactic Bulge

出口修至(野辺山)、

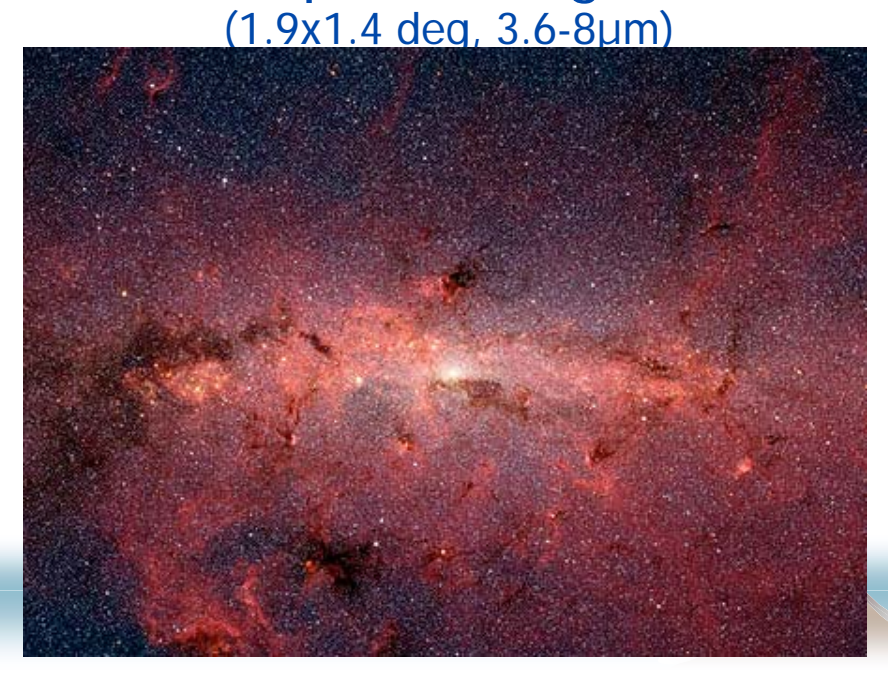
藤井高宏(VERA-鹿児島) 、板由房(宇宙研)、泉浦 秀行(岡山)、亀谷収(水沢)、中田好一(東大)、 宮崎敦(上海天)、その他

# 観測の目的

- ▲ 内部棒状構造のSiO maser源の探査 (6° x 2°) CO, CS ガス
- ▲ 視線速度から、速度構造。AGB星 Gyr
- ▲ これまでのIRAS源では不完全
- ▲ 2MASS and MSX の新しいカタログ
- ▲ 星の軌道 動力学

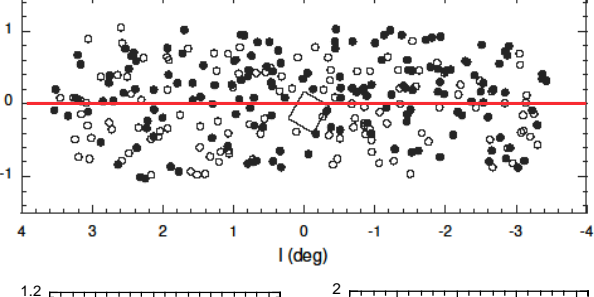


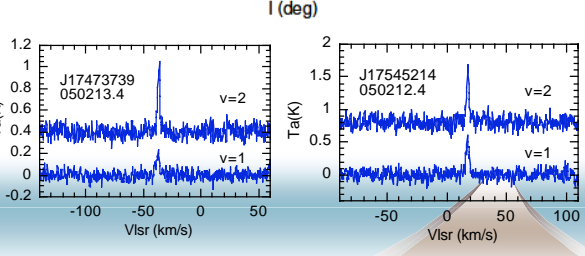
Spitzer image



# 2004/5年観測まとめ

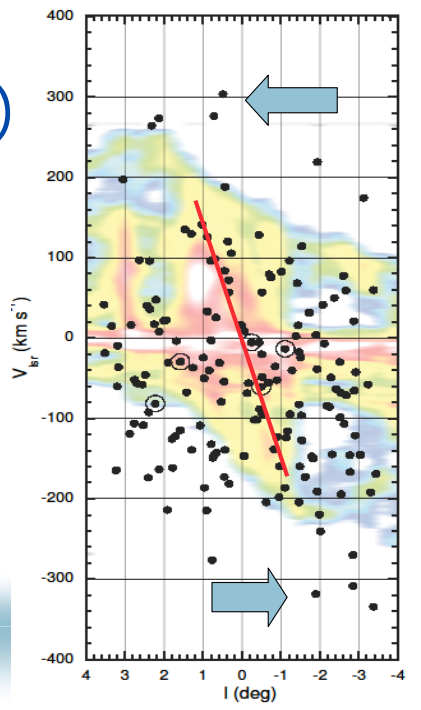
- ▲ 観測 100+79 hours
- ▲ 日程: 20+16 日 (2--5月)
- ▲ 観測可能時間 (2005)<sub>-1</sub> 50 h/ 79h = 63 %
- ▲ GC: 291 objects 163 detections (bias)
- Except central 30' (180/~400)
- Deguchi et al. 2004PASJ 56, 261



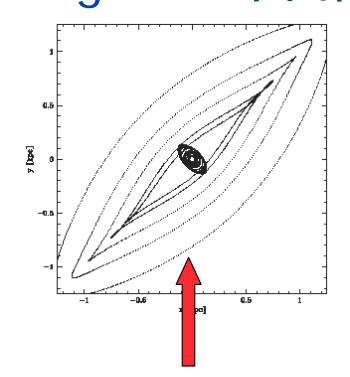


# L-V diagram (overlay CO map)

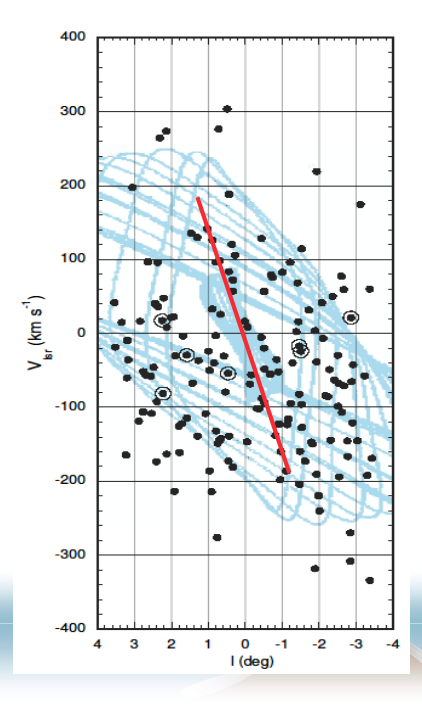
- 1. 全291/163検出
- 2. High-velocity stars
- ▲ |VIsr|>250 km/s
- ▲ 3. Inner Bar
- 4. No parallelogram
- 5. x<sub>1</sub> and x<sub>2</sub> family orbits



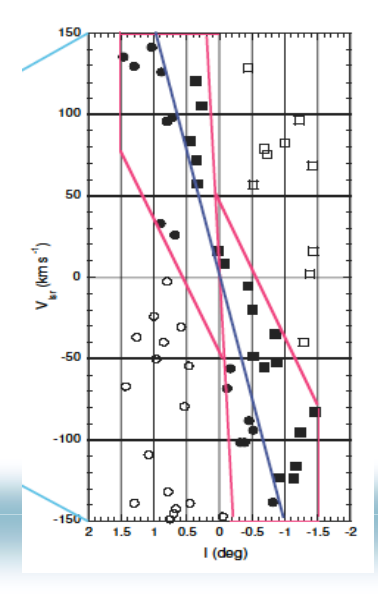
# Bulge bar 平面図



- X1 orbit feature
- X2 orbit feature (extended)
  - Gasはこれで説明
- 星は?

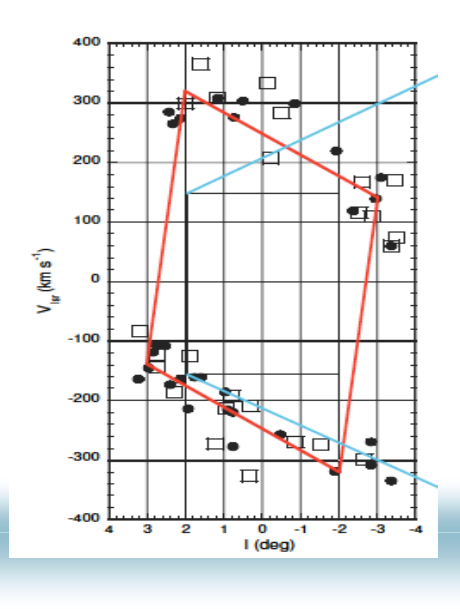


# **Inner Bar Objects**

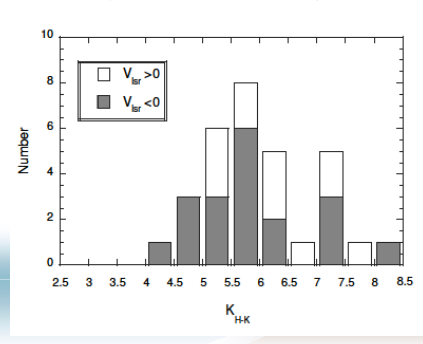


- ▲ |b| 分布
- $x1 < |b| > = 0.53 \pm 0.27$
- $x2 < |b| > = 0.40 \pm 0.31$
- ▲ 90% 有意
- ▲ G1. Kc=5.27±0.97
- ▲ G2. Kc=6.00±0.13
- ▲ G3. Kc=5.56±0.84
- G4. Kc=5.77±1.02
- ▲ G1:G2 90% 有意
- where Kc=K-1.4[(H-K)-0.5]

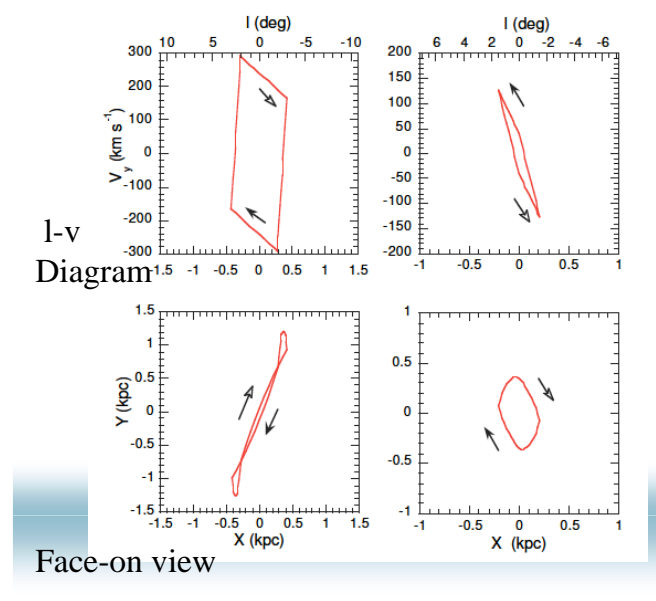
# High-Velocity objects



- ▲ X1 統計検定 70%
- ▲ V>0 : V<0
  - K mag?
- ▲ (R<15′有意)

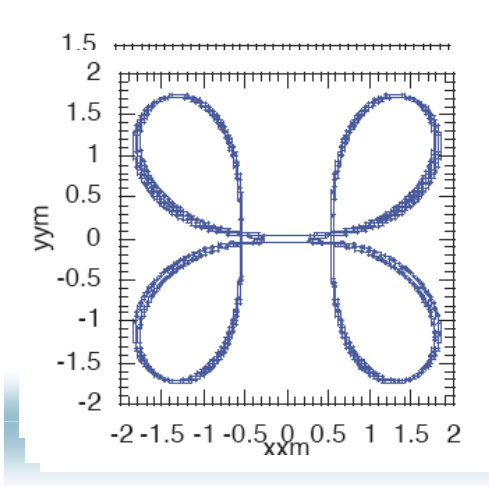


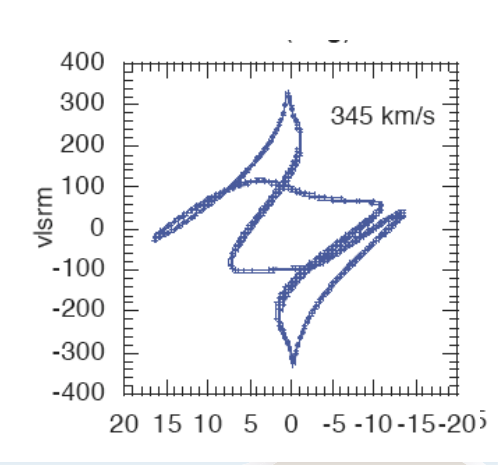
# Stellar orbit outer bulge inner bar

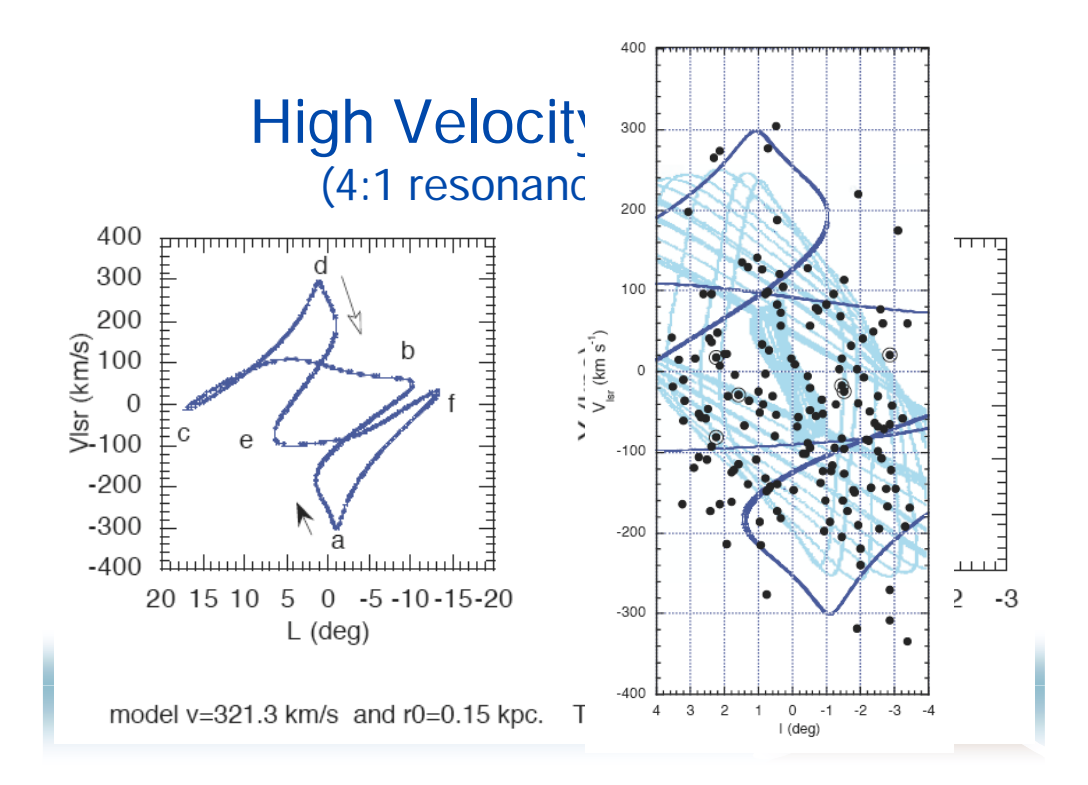


- Self-Crossing orbit -> high velocity objects
- X2 orbits
- --> extended feature(~150 km/s)
- Bias not free

# High Vel. Stellar Orbits





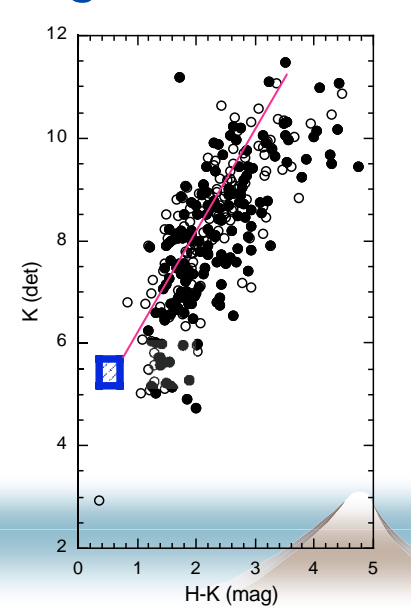


# 結論

- ▲ 1. 2004-2005長期共同利用で 291 MSX/2MASS (|I|<3.5°, |b|<1°) 163 detections 視線速度を得た。
- 🔺 2. 星の x<sub>2</sub> family orbit --> inner bar
- ▲ 3. 高速度星: self-crossing x<sub>1</sub> (4:1) orbits

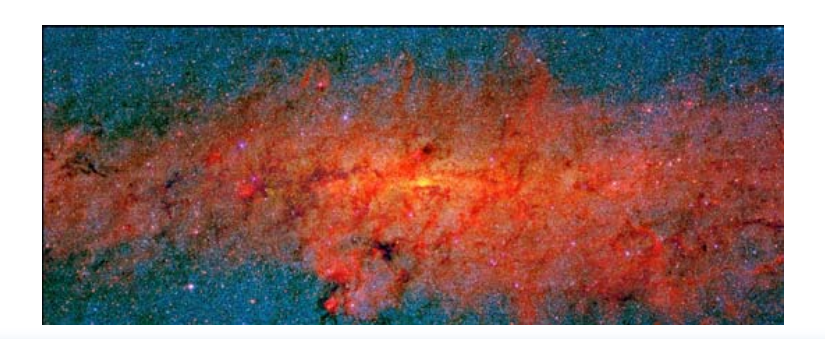
#### Corrected K magnitude

- ▲ Kc= K-1.4[(H-K)-0.5] [Nishiyama et al. 2004]
- Interstellar & circumstellar extinction
- Re-emission not considered

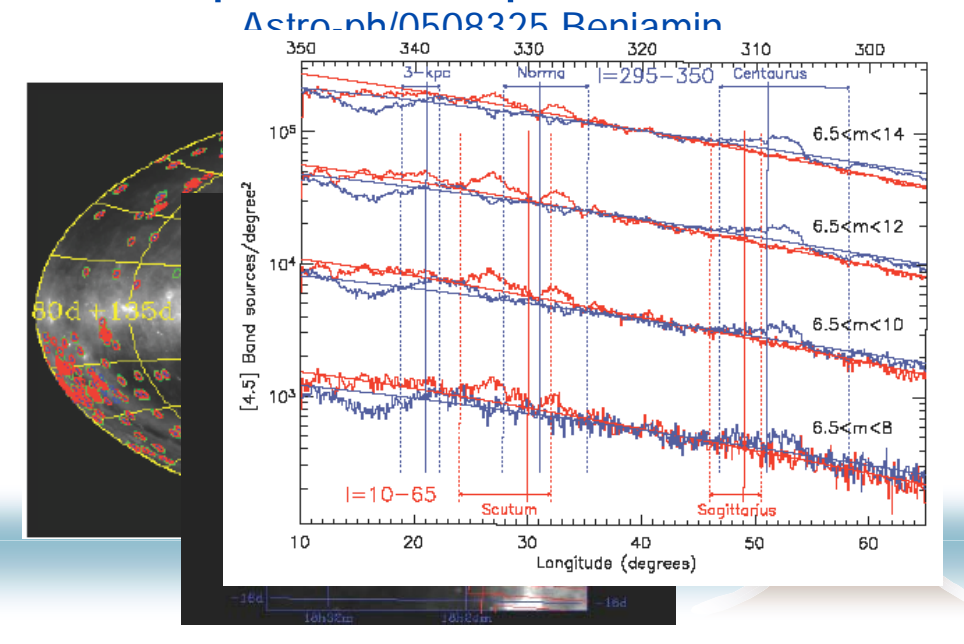


## 2MASS+MSX images

▲ ~ 4 ° x1.5°



#### Spitzer Glimpse Result



#### gravitational potential (rotating system) Englmaier & Gerhard 1999

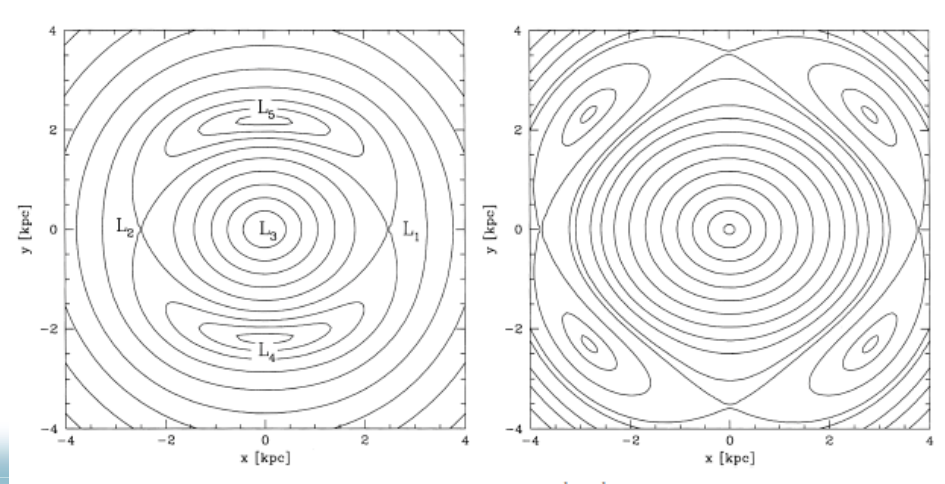


Figure 5. Left: effective potential in the standard  $\varphi_{bar} = 20^{\circ}$  bar model for  $\Omega_{p} = 80 \, \mathrm{km \, s^{-1} \, kpc^{-1}}$ , showing the usual four Lagrangian points in the corotation region. Right: For  $\Omega_{p} = 55 \, \mathrm{km \, s^{-1} \, kpc^{-1}}$ . Because the mass peaks in the disc  $\sim$ 3 kpc down the minor axis of the bar now contribute significantly to the potential near the increased corotation radius, there are eight Lagrangian points near corotation for this pattern speed.

# New View of Molecular Gas Distribution of the Southern Sky CO Surveys with NANTEN

Toshikazu Onishi (Nagoya Univ.) and NANTEN group

#### NANTEN Telescope

- A 4-m mm-submm telescope
- Molecular cloud survey in the Galaxy, LMC, and SMC
- Since 1996 (transferred from Nagoya Univ.) at Las Campanas Observatory
- Upgrade: NANTEN2 project



#### **NANTEN**

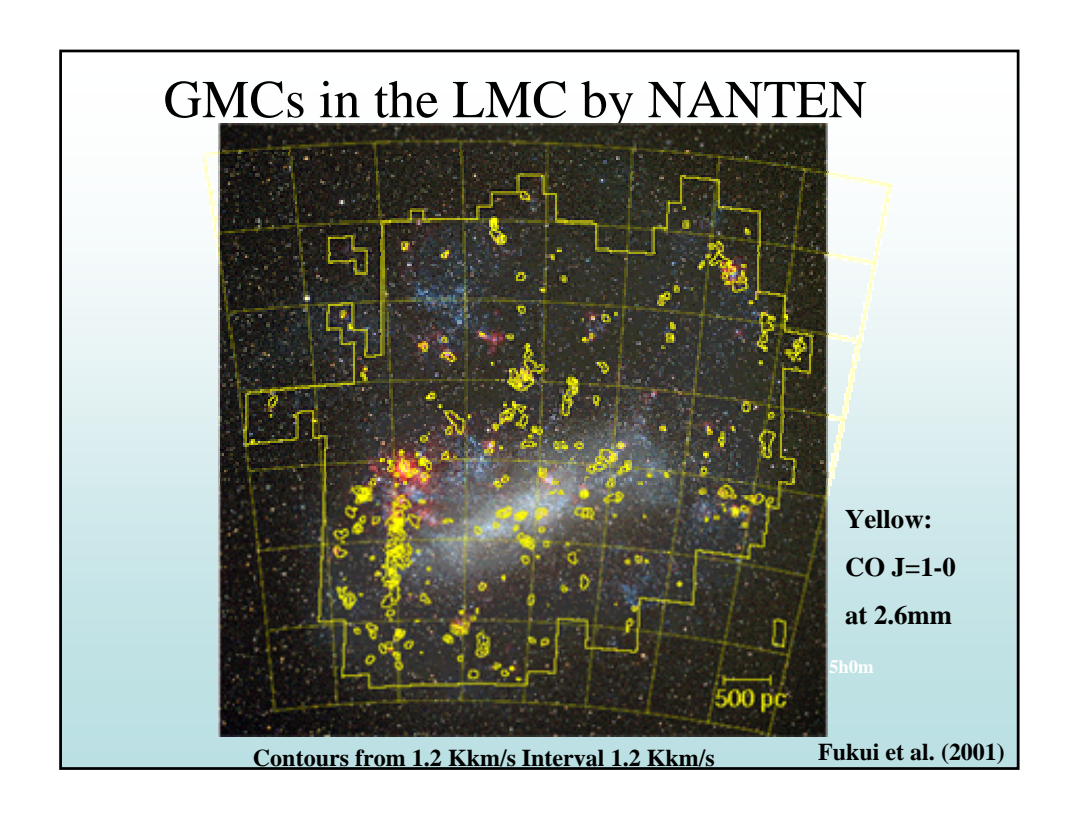


- NANTEN =南天(Southern Sky)
- Diameter: 4m

  CFRP + conductive paint
- 85-115GHz, mainly CO (J=1-0)
- Beam size 2.6 arcmin (@115GHz)
- SIS receiver + 2 AOS backend
- Velocity Res. 0.1 or 0.6 km/s
- Band Width 100 or 500 km/s
- Tsys ~ 140K @110GHz
  - ~ 170 270K @ 115GHz

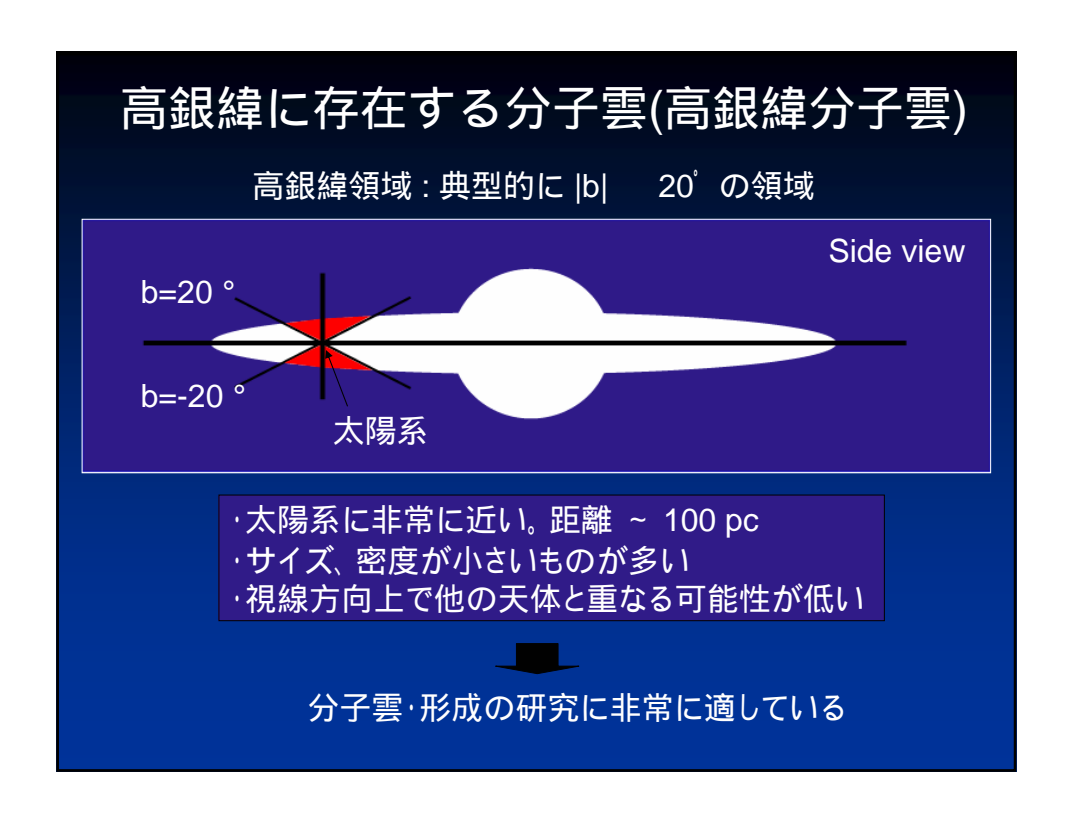
#### **Targets**

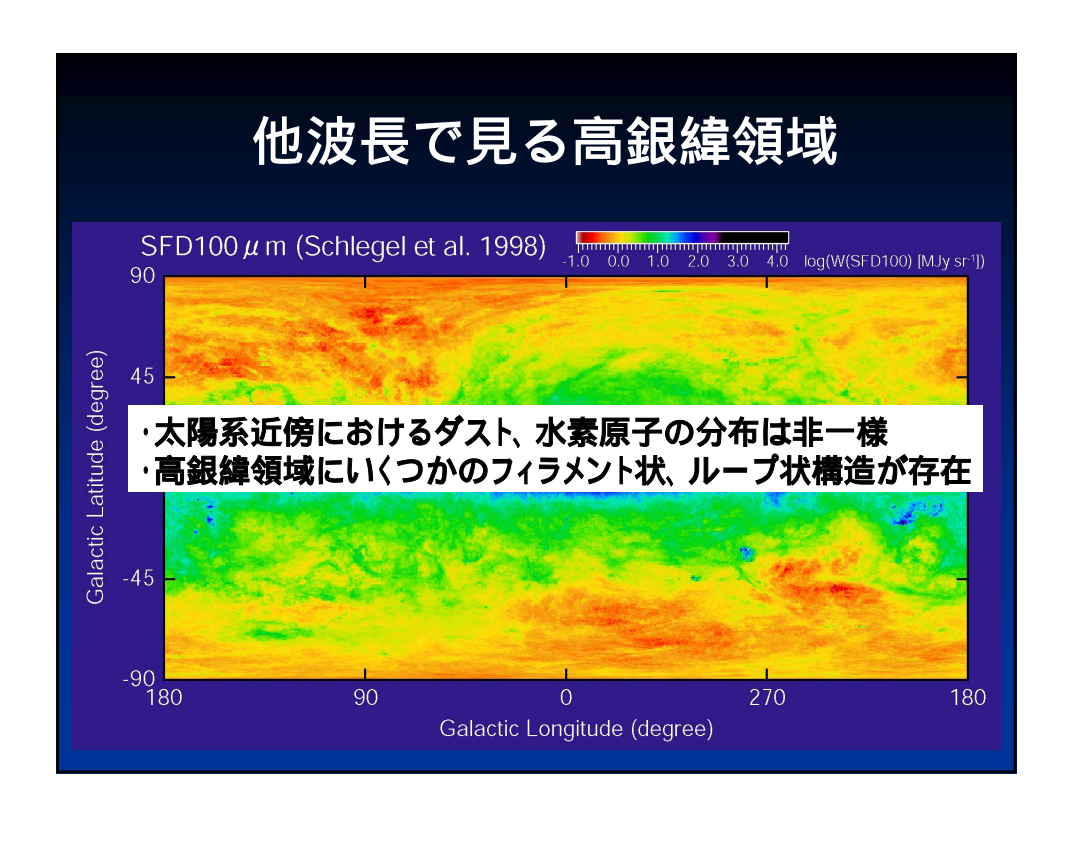
- Galactic Plane Survey in Southern Sky
- Magellanic Clouds (LMC and SMC)
- High-mass star forming region (GMCs)
  - Carina, Centaurus, Orion, Bright-Rimmed Clouds,
- SNRs and Supershells
  - Vela SNR, Gum Nebula, Carina Flare
- Galactic Center
- Low-mass star forming region (Dense cores)
  - Ophuichus, Lupus, Chamaeleon, Pipe Nebula
- Galactic High-Latitude Molecular Clouds
  - Aquila, Infrared-Excess Cloud, High-Latitude Survey

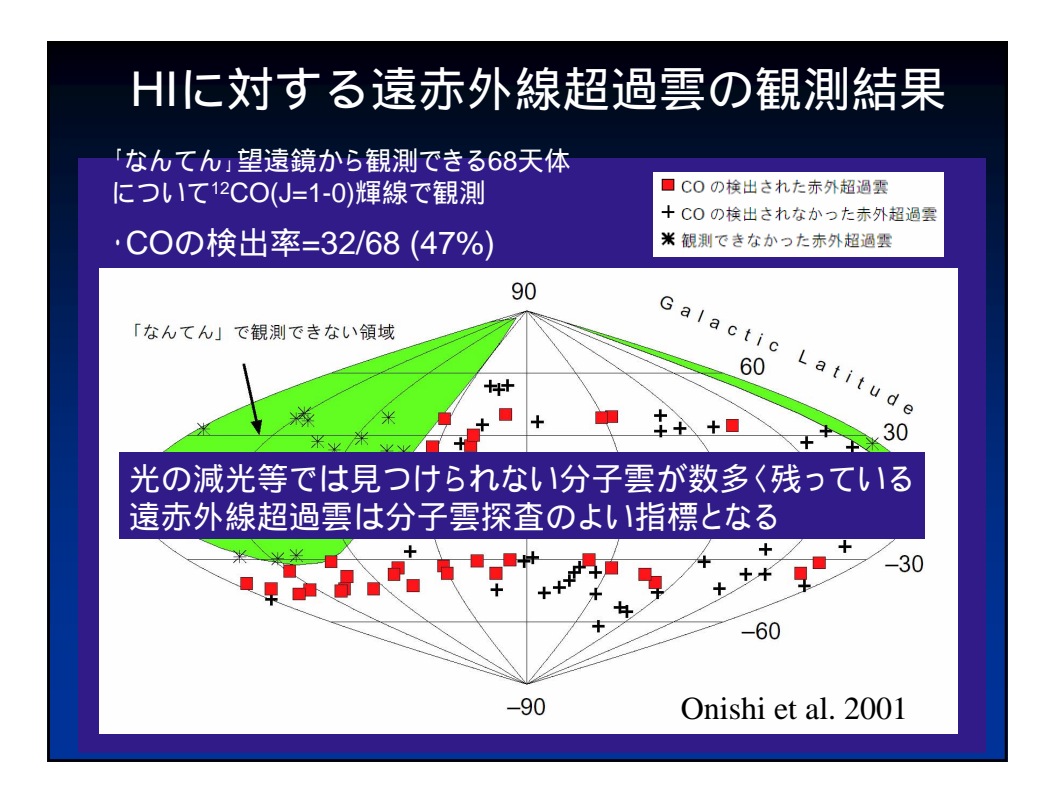


#### 分子雲の銀緯方向分布

- 高銀緯分子雲
  - Yamamoto et al. (2003, 2006)
  - 近傍(~100pc)、低密度
- 分子雲スーパーシェル
  - Matsunaga et al. (2001)
- 銀河系Warp領域
  - Nakagawa et al. (2005)







#### CO輝線が検出されなかった赤外線超過雲

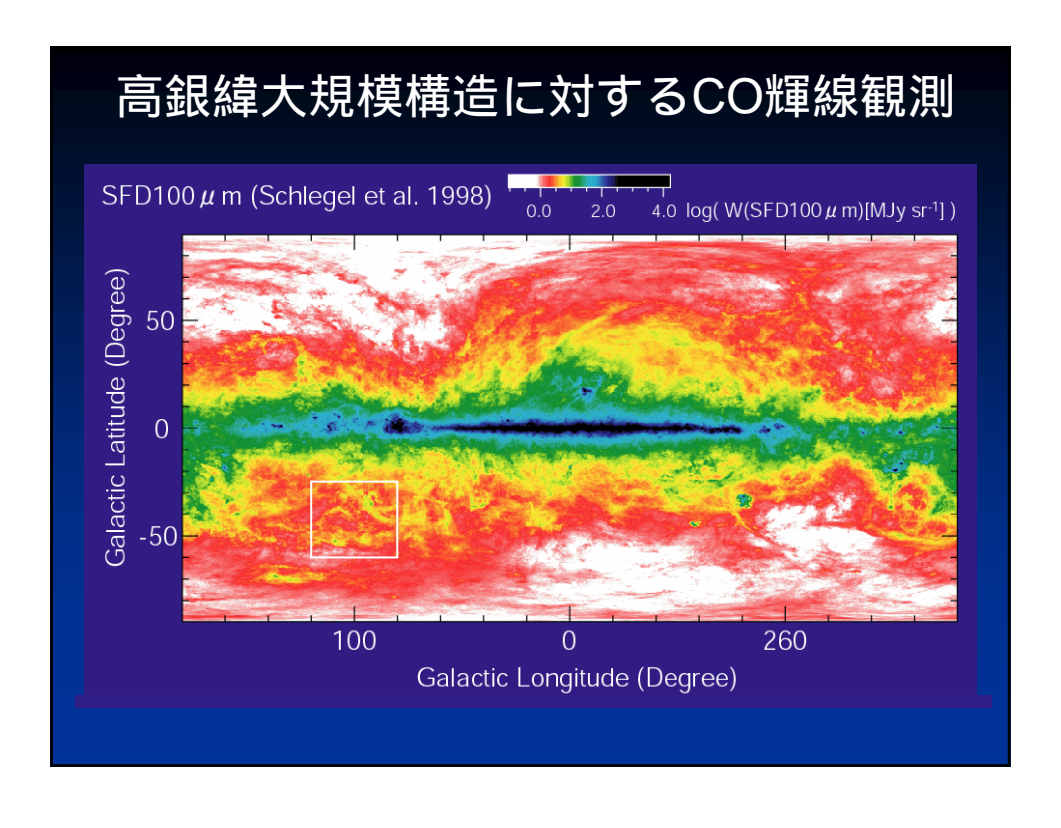
赤外線超過の定義 (超過量) = F - S×N(HI) - O

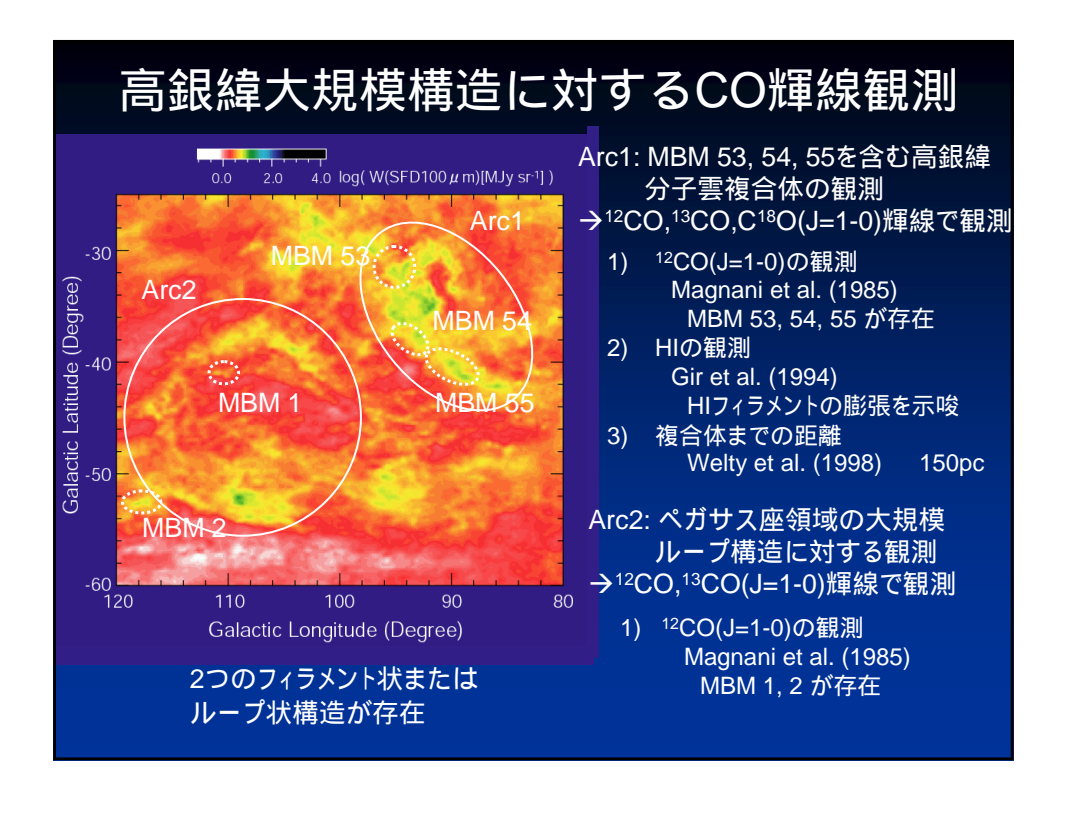
赤外線超過になる原因

- ・水素の大部分が水素分子にかわっている
- · Dusiの温度が高い
- ・Cas to Dust ratioが異なっている
- ・赤外線超過雲のDustの温度はその周囲のDustの温度より小さい。
- ·Gas to Dust ratioが一様に分布する雲の中で異なっているとは考えにくい (Blitz et al. 1990)

赤外線超過は水素分子の寄与によるものであり、これらは水素分子雲。

CO形成前の分子雲である可能性がある。





#### 観測結果: 12CO(J=1-0)

検出限界: N(H<sub>2</sub>) ~ 7.7 × 10<sup>19</sup> cm<sup>-2</sup>

・110個の分子雲を同定

·総質量:約1200 M

HLCG92-35

質量:330 M サイズ:2.6 pc

#### 分子雲の物理量の平均

ピーク温度: 3.0 K

線幅 : 3.4 km s<sup>-1</sup>

半径 : 0.3 pc

柱密度 : 5.6 × 10<sup>20</sup> cm<sup>-2</sup>

質量 : 10.4 M

検出限界: N(H<sub>2</sub>)=1.5 x 10<sup>20</sup> cm<sup>-2</sup>



78個の分子雲を同定

総質量:~64M

#### 分子雲の物理量の平均

ピーク温度: 1.4 K

線幅 : 1.1 km s<sup>-1</sup>

半径 : 0.2 pc

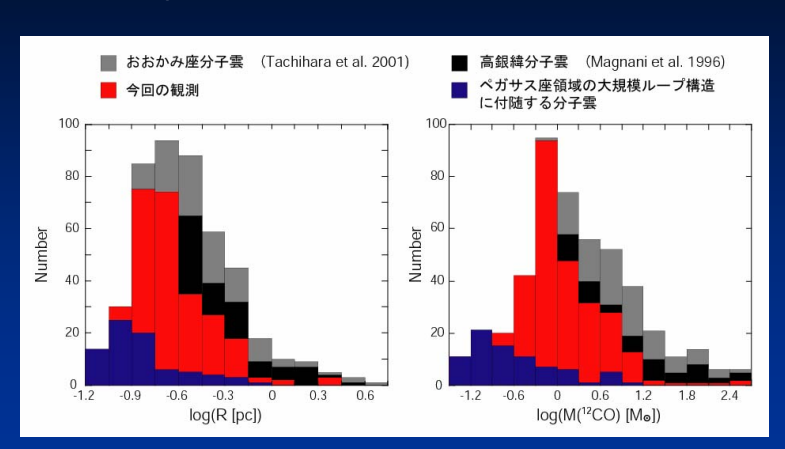
柱密度 : 3.6 x 10<sup>20</sup> cm<sup>-2</sup>

質量 : 0.8 M

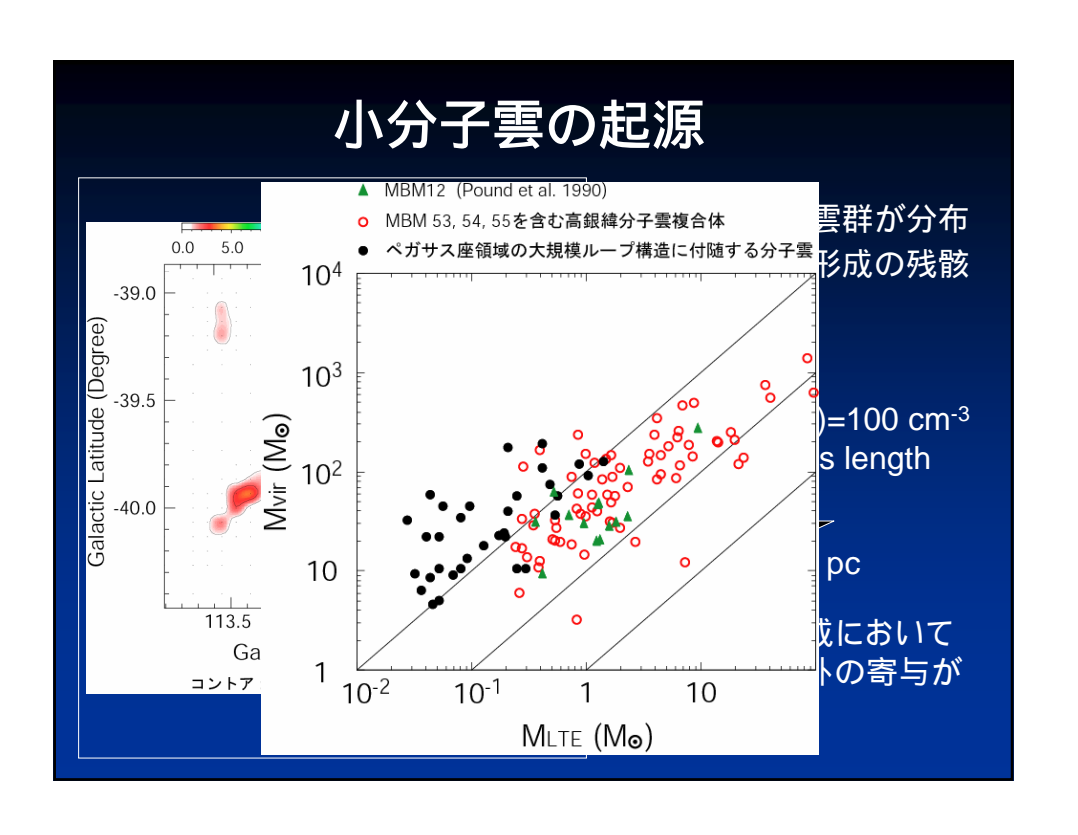
Galactic Longitude (Degree)

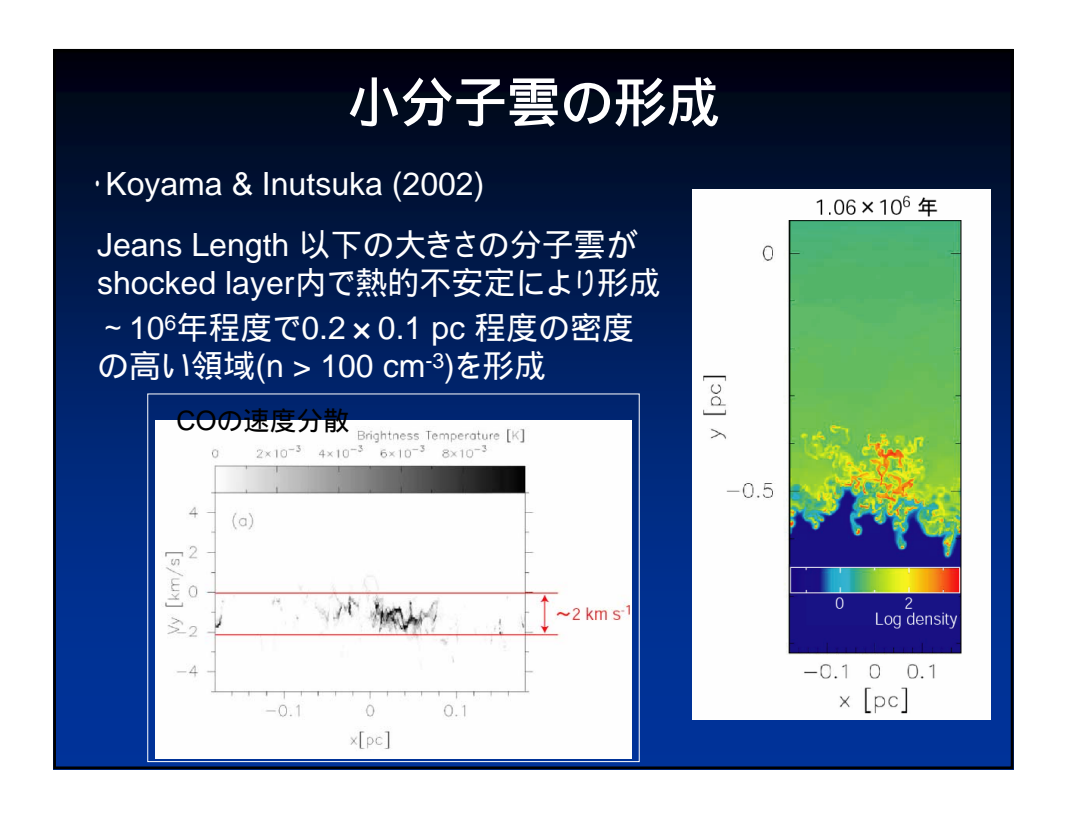
#### 全領域の分子雲の物理量

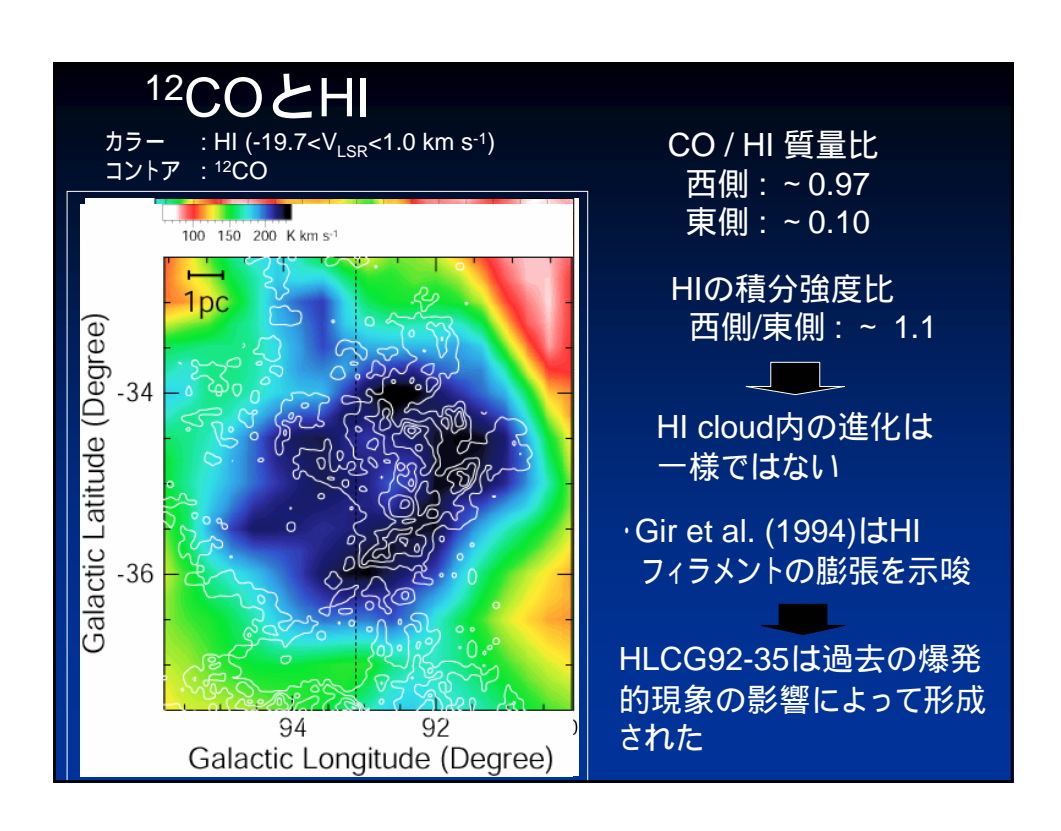
3つの観測で同定された12CO分子雲の物理量のヒストグラム

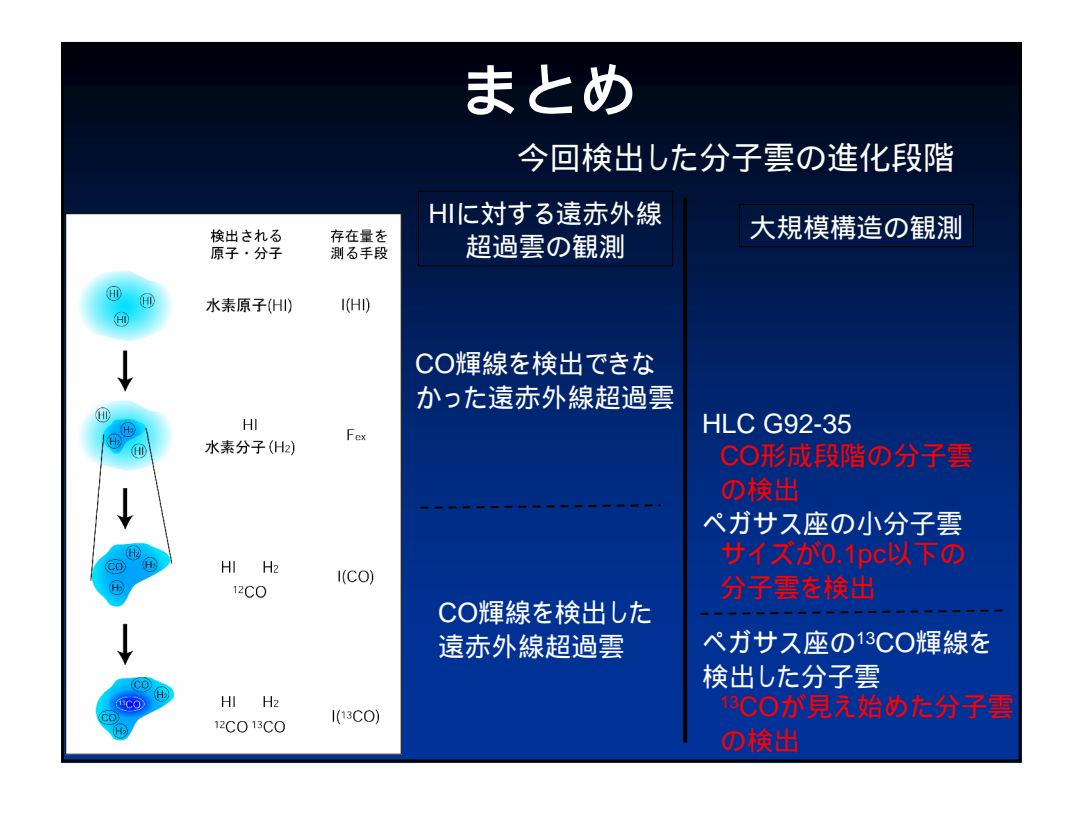


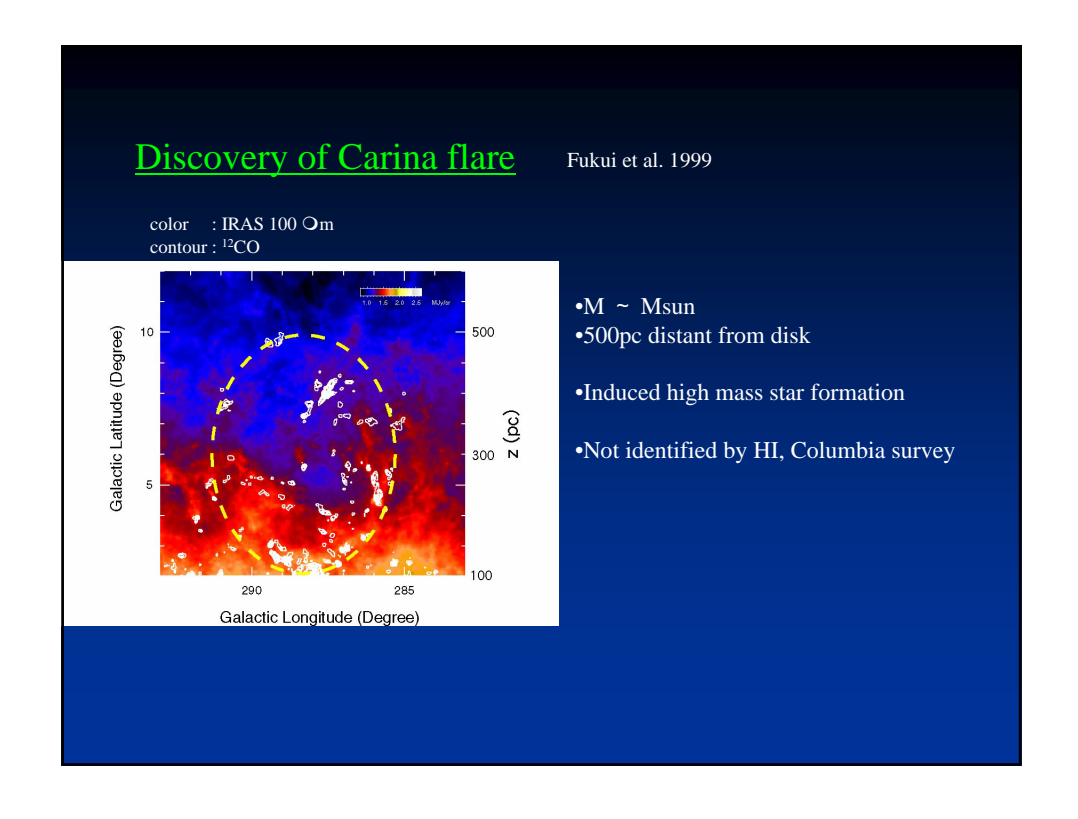
ペガサス座領域の観測においてサイズ、質量の小さい分子雲を検出

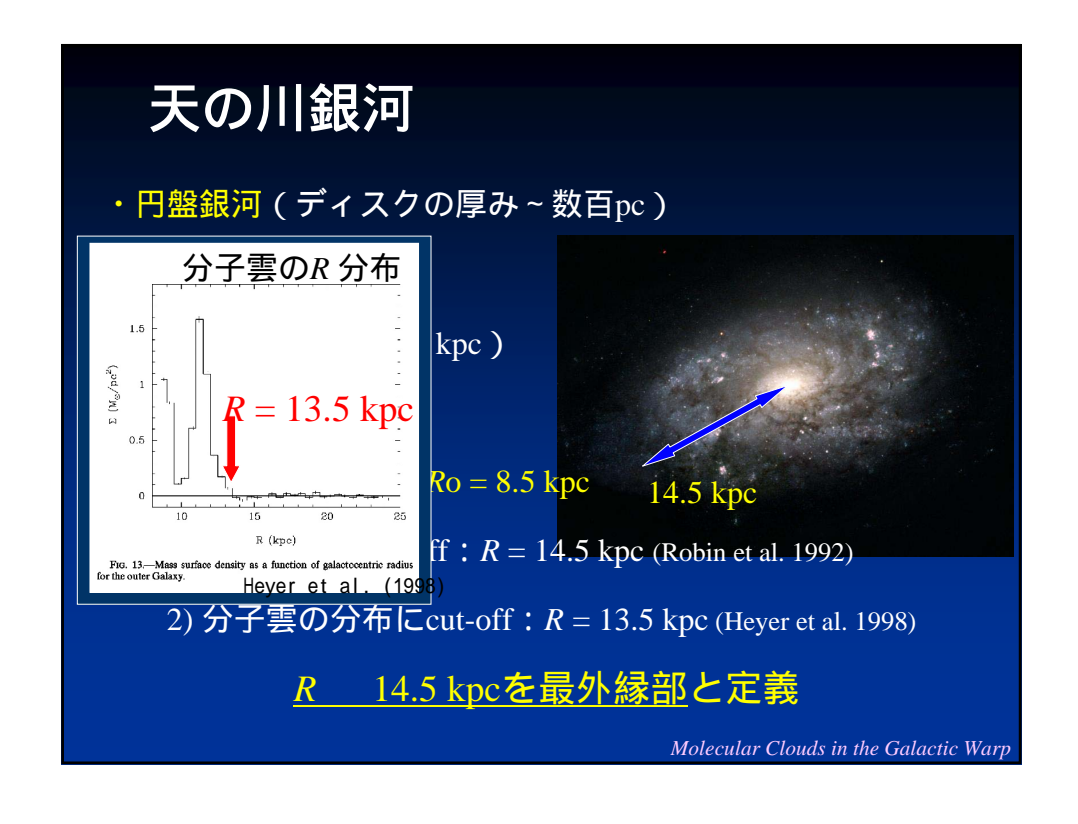


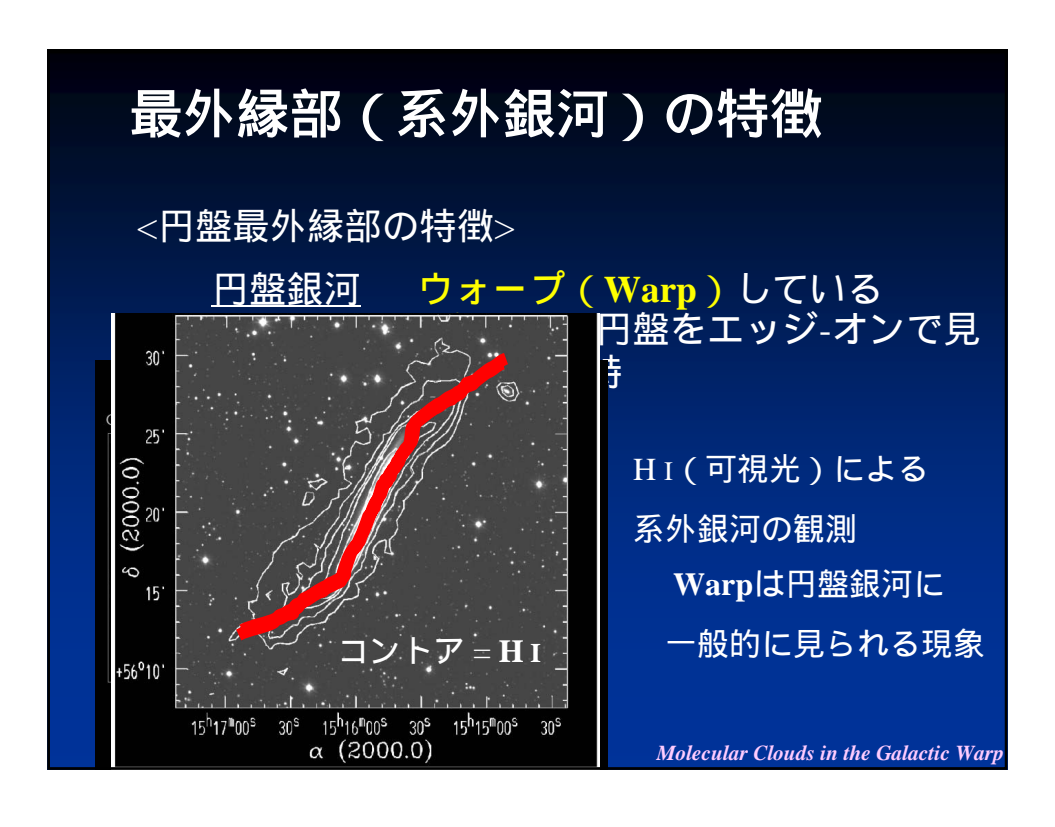


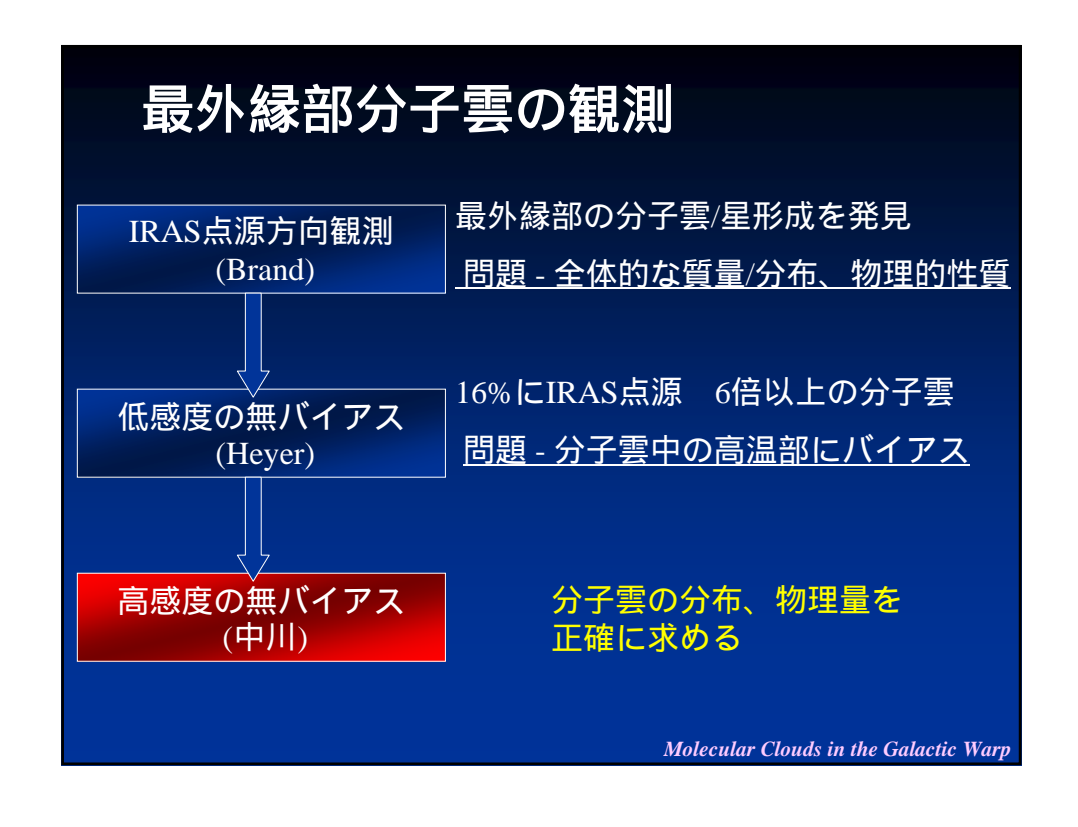


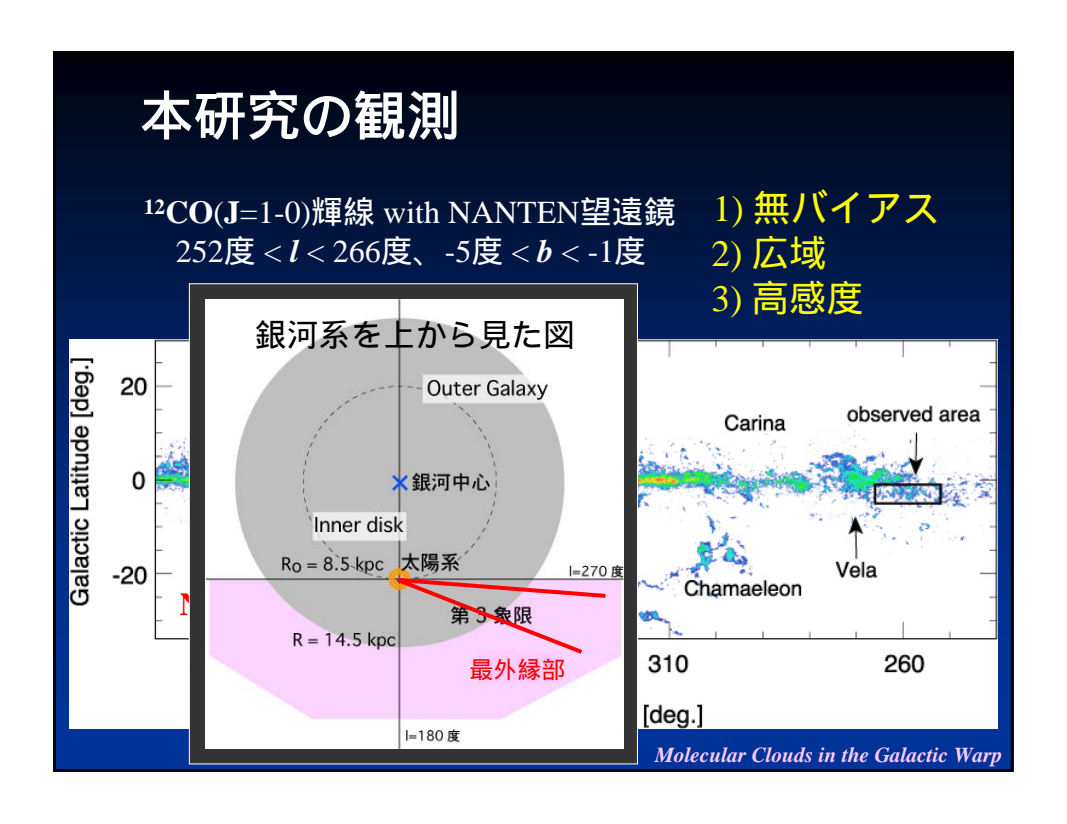


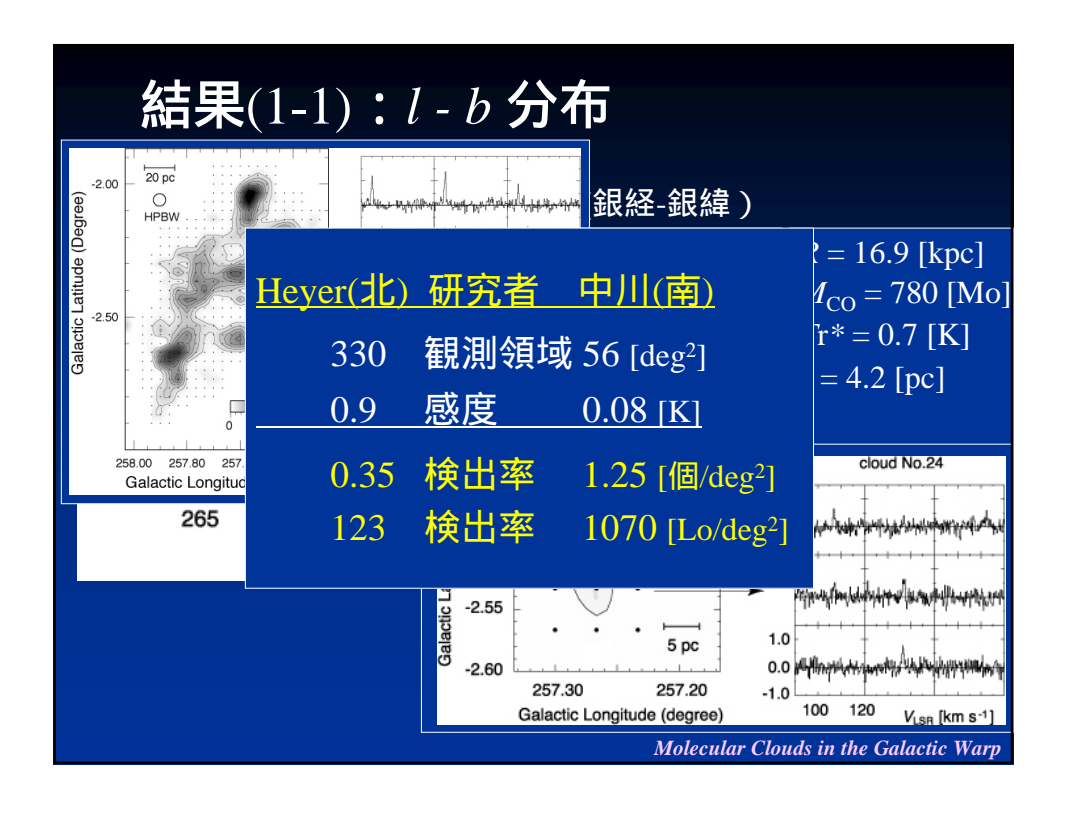




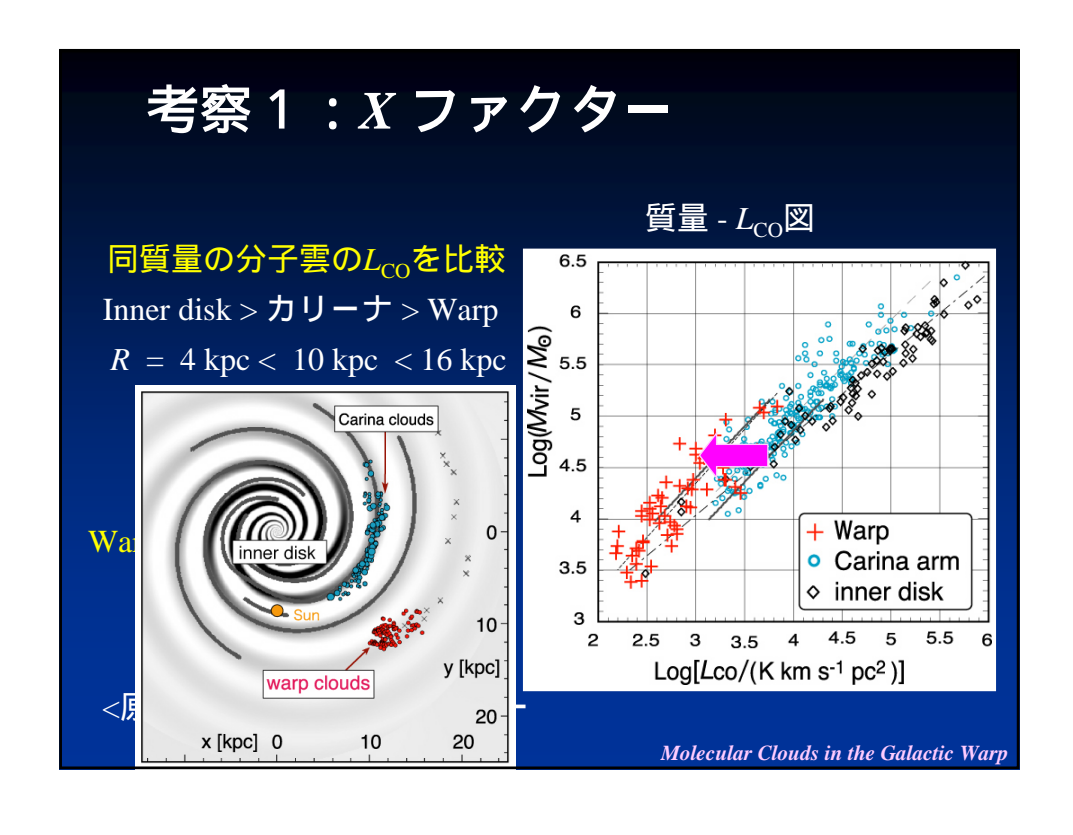






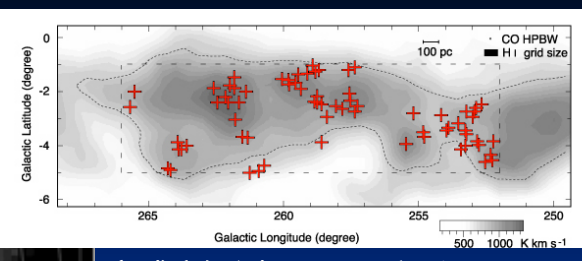


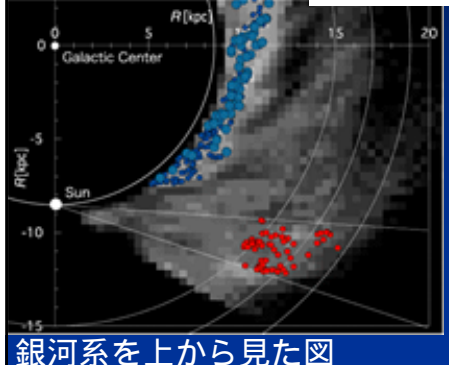
#### 結果(1-2):分布 10000 Mo 以上/以下の分子雲 黄から見た図 -500 -1000 -1500 14 20 14 16 18 15 R [kpc] ゅらの距離 [kpc] 1) Warped disk: R ~ 13-14 kpcから始まる、シフトz > 1 kpc 2) フレア: dzの増加 R大で重力場[弱] R = 17 kpcの「円盤の厚み」はR = 15 kpc の約2倍 Molecular Clouds in the Galactic Warp



#### 考察2:HIとの比較

銀経 - 銀緯





高感度観測により、初めてHIとの 直接比較が可能になった

> 65/70(=93%) Warp分子雲は H I コントア > 800 K km/s

分子雲形成の研究には 高空間分解能 H Iデータ必要

Molecular Clouds in the Galactic Warp

#### 今後の展開



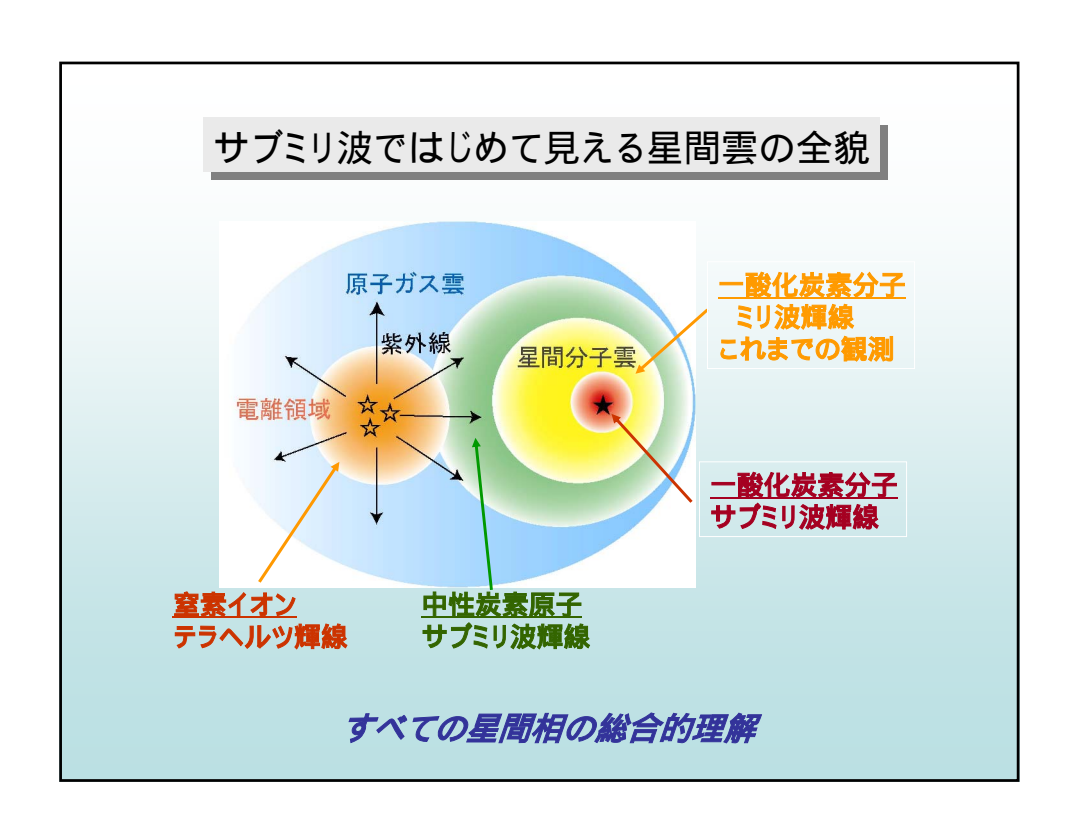
新鏡面によるサブミリ波帯の観測

アタカマに新なんてん 492GHz CI 炭素をカギとして CI, CII, CO

銀河系全体の構造 巨大分子雲 + シェル => マゼラン他の系外銀河との比較









### 東大60cm鏡による銀河面 <sup>12</sup>CO(2-1)/<sup>13</sup>CO(2-1)サーベイ計画

半田利弘 東京大学 天文学教育研究センター

東大60cm鏡2SB化計画:東大+国立天文台+大阪府立大+東京学芸大



#### 銀河の構造と星間物質

- 天の川銀河の構造
  - バルジ、棒状構造
  - Disk: radial-structure, arm-interarm, z-structure
- 星間物質との関係
  - 星間ガス環境の構造との関係
  - Galactic shock modelの観測的検証
- 星間ガスの温度・密度の2/3次元分布を得たい



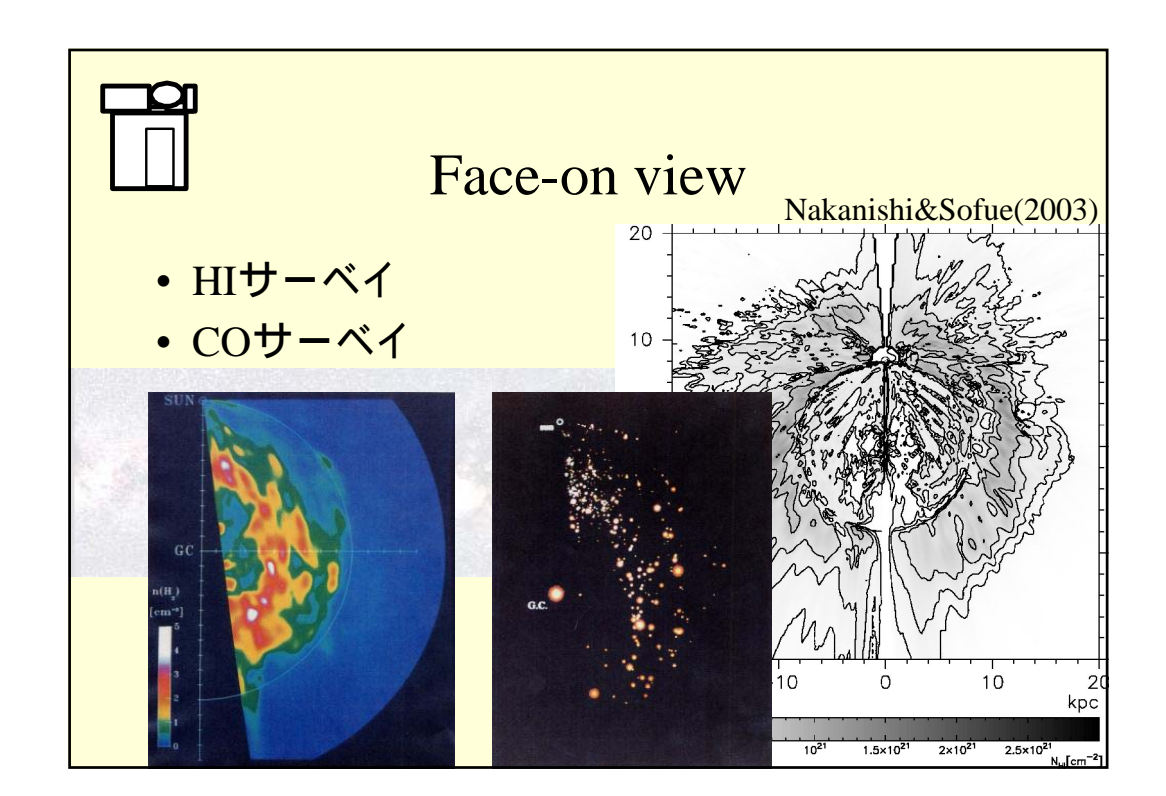
#### 銀河面サーベイ

- 天の川銀河内にある天体を調べる
  - ガイドマップを得る
  - 銀河内天体を統計的に調べる
- 天の川銀河の全体像を得る
  - 他の銀河との比較対象となるデータを得る
  - 天の川銀河 = 最も近い銀河
  - 桁違いに高い空間分解能:分子ガスの観測
    - 10分角@8.5kpc=1秒角@5Mpc
  - edge-on銀河 3次元構造



#### 全体像を得る

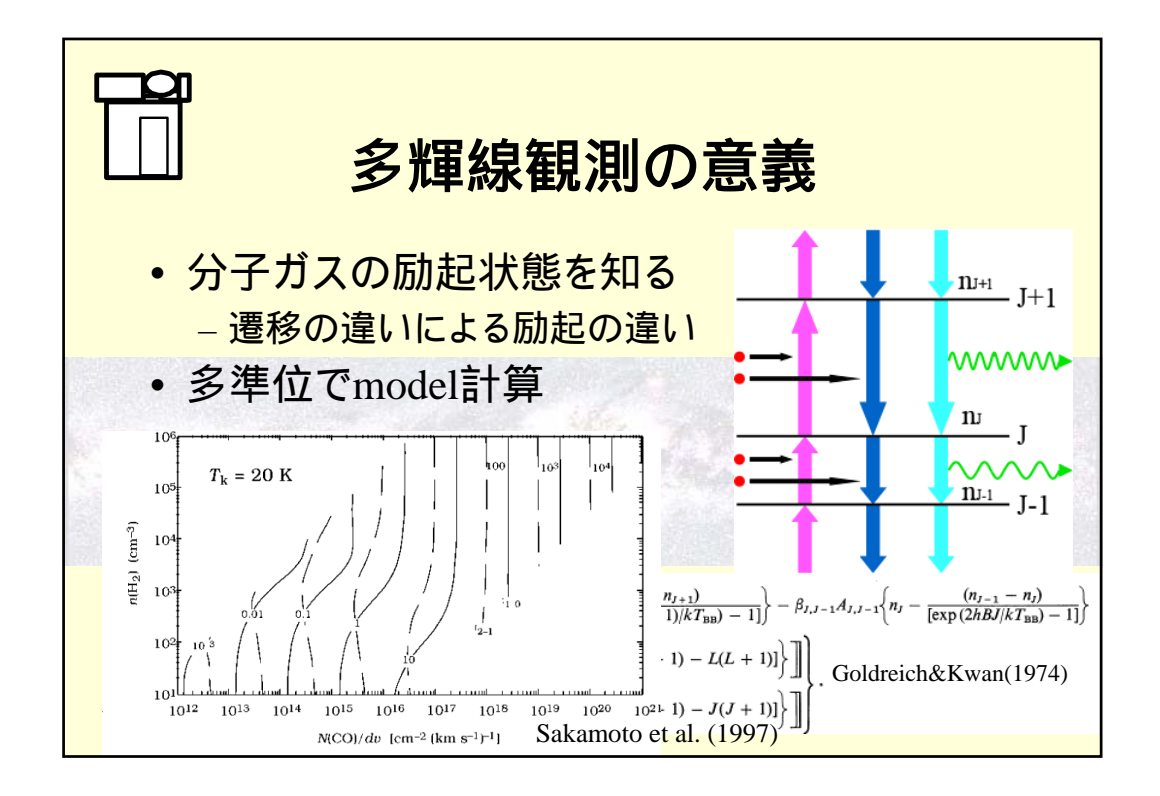
- Large coverage
  - できるだけ広く
  - 低輝度の領域まで〈まな〈∶完全無作為マップ
- Dense sampling
  - 後処理で分解能を変更できる
  - Nyquist sampling: sampling grid 1/2 beamsize
- 詳細構造との関連:大望遠鏡による観測 Sawada et al.(本研究会ポスター)





#### 系外銀河との比較

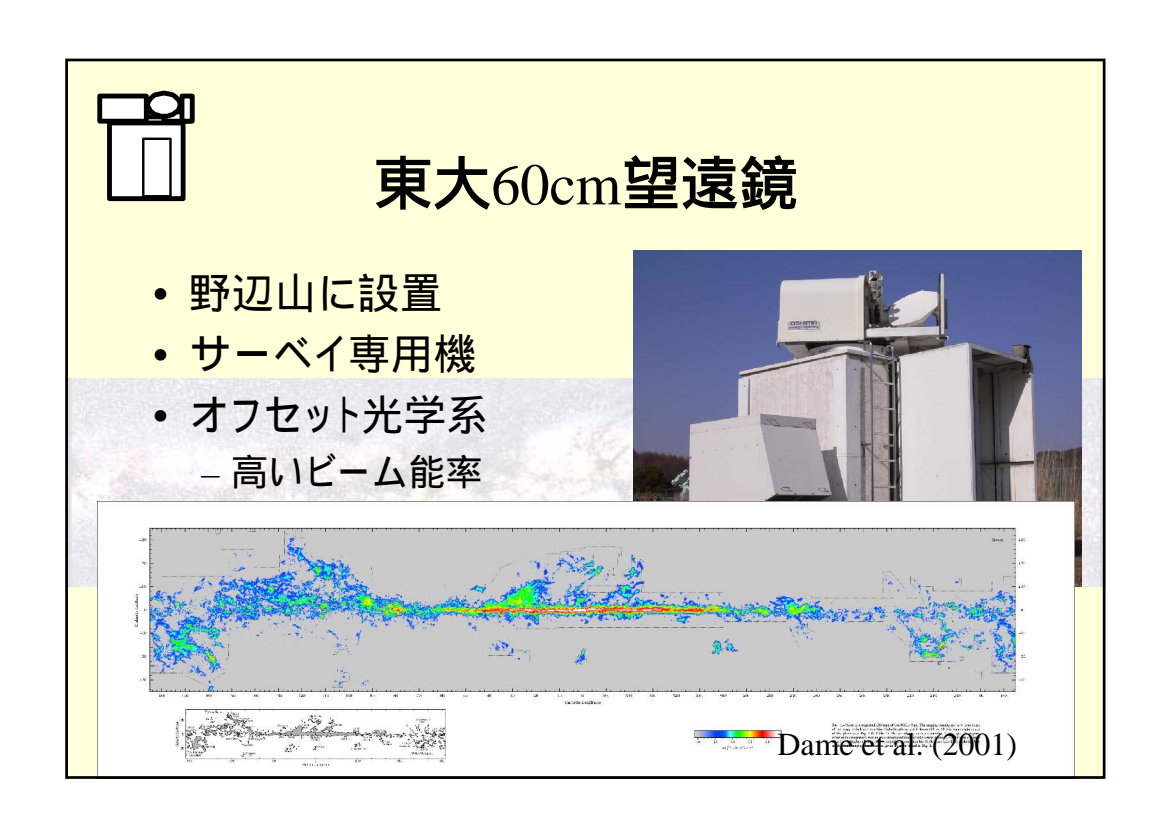
- 絶対的な空間分解能
  - $-9 \operatorname{arcmin}@8.5 \operatorname{kpc}=0.9 \operatorname{arcsec}@5 \operatorname{Mpc}(=22 \operatorname{pc})$
- ・ 銀河衝撃波モデル
  - 詳細構造に対する観測的検証
- armとinterarmとの違いとは?
  - 分子ガスの状態 / 分子雲構造との関連
- diskの厚さ方向の構造
  - 厚さの変化、厚さとarmとの関連
  - disk厚さの観測はNGC891のみ
- 対応する銀河面サーベイデータが必要

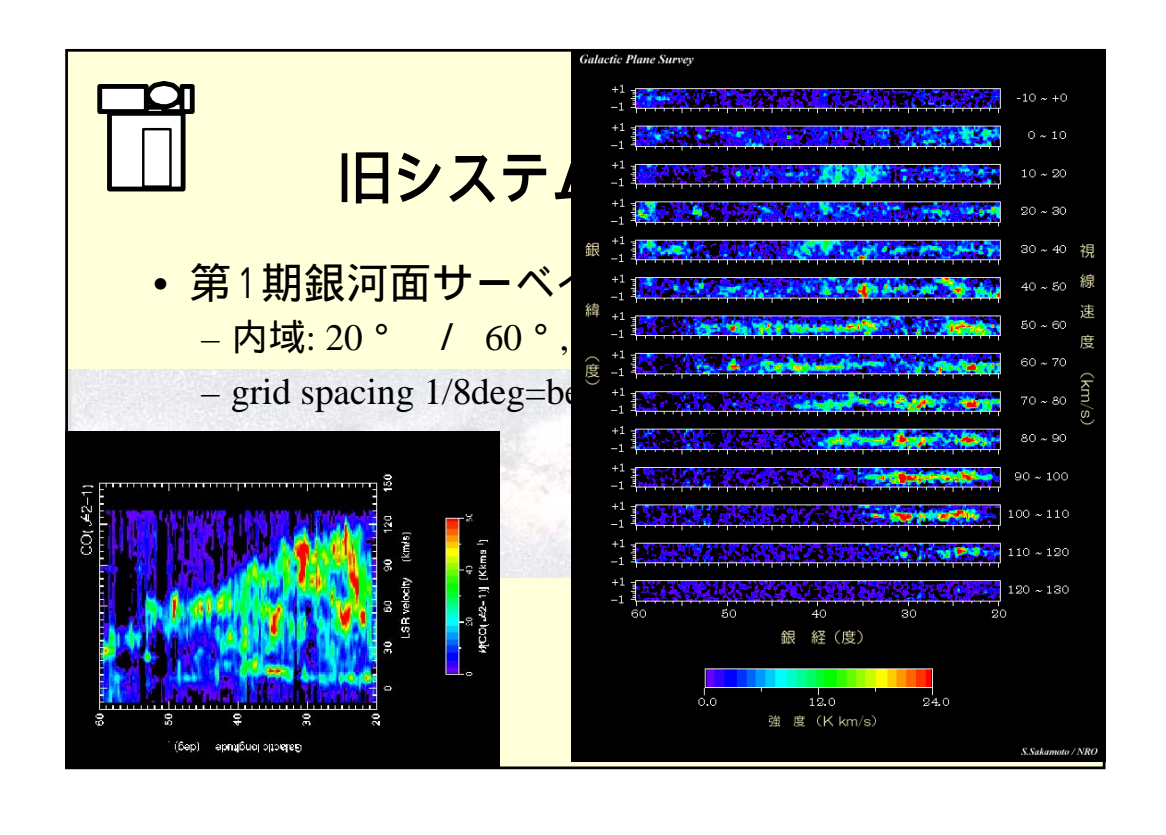


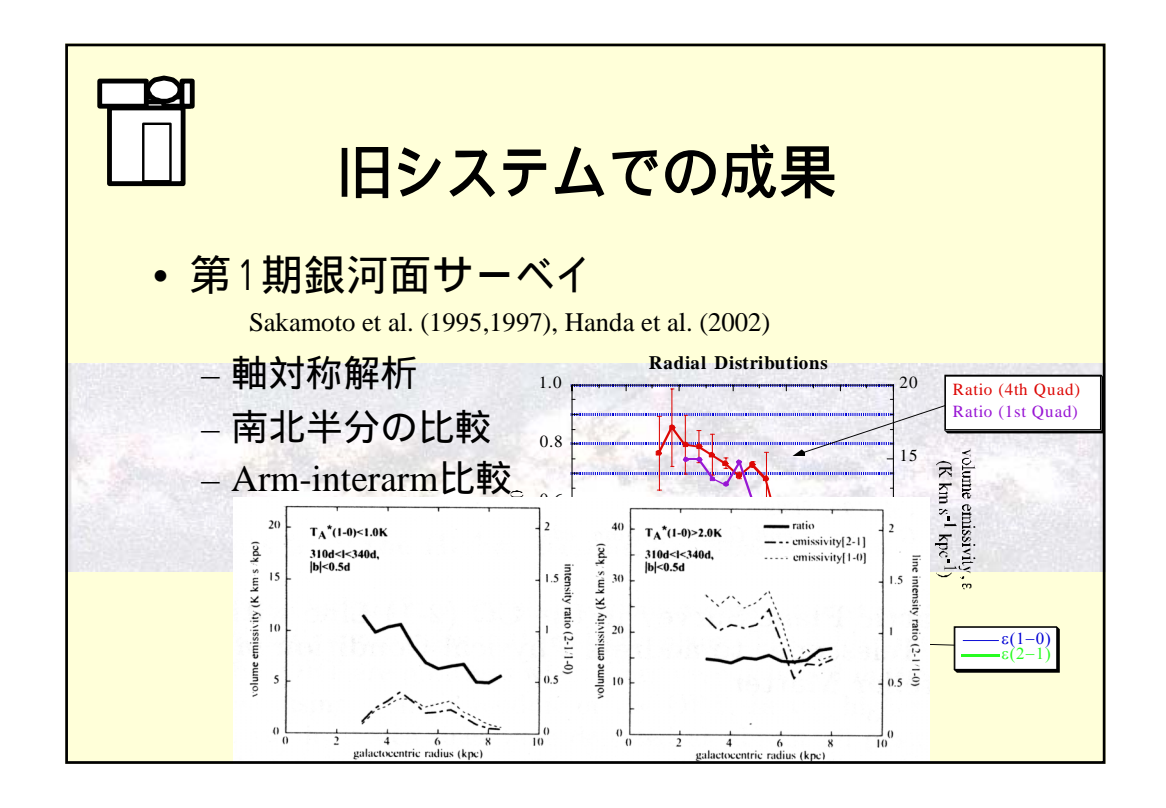


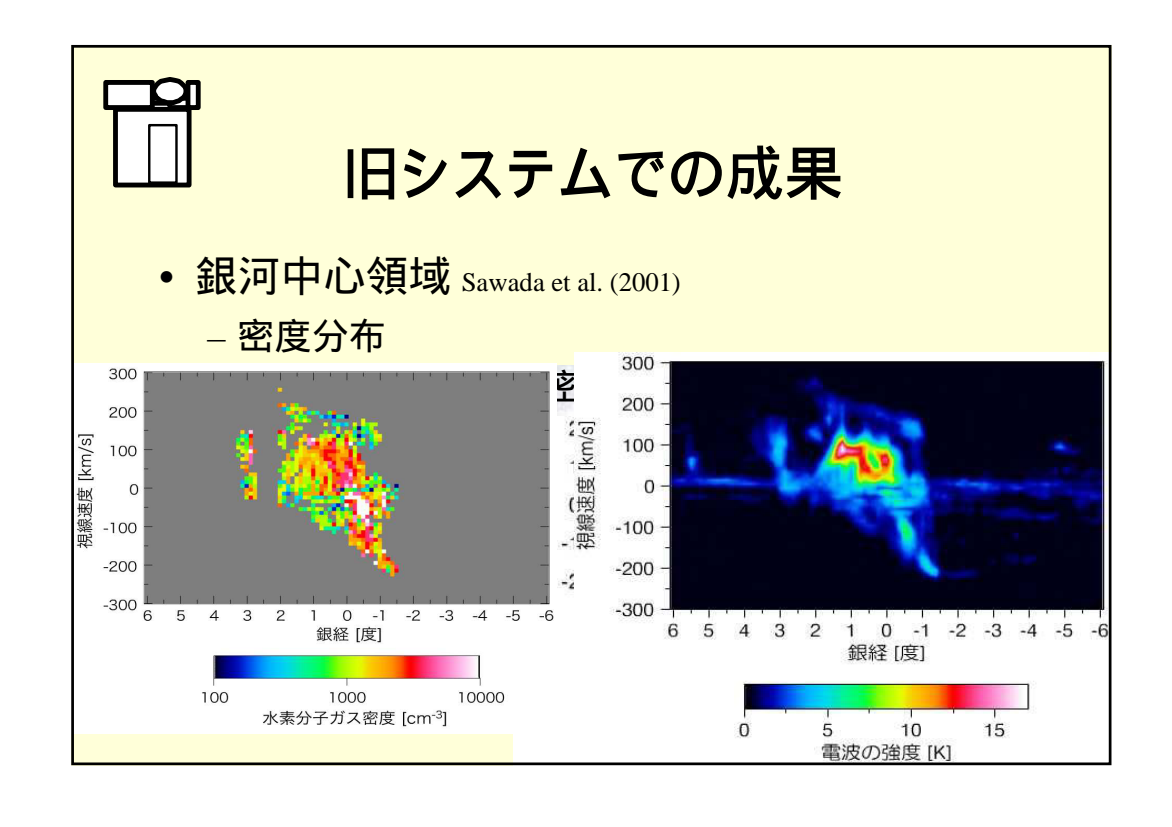
#### 多輝線観測のポイント

- emitting regionの均一性
  - beamsizeが同じ
  - 励起条件が類似
  - 同一領域からの輝線である
- 星間化学への依存性
  - 同一分子、同一分子種
- 高い精度
  - 指向精度、強度較正





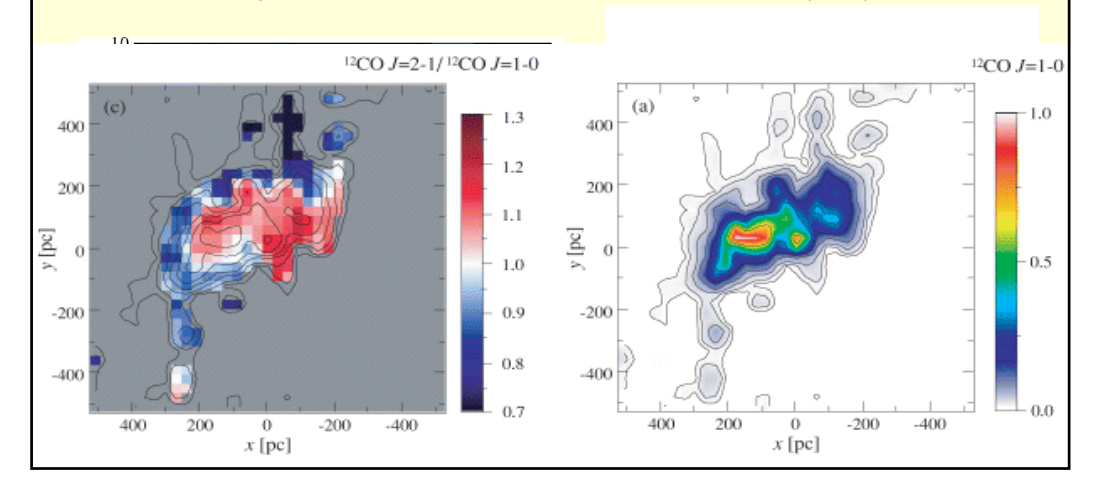






#### 旧システムでの成果

• 銀河中心領域:face-on view Sawada et al. (2004)





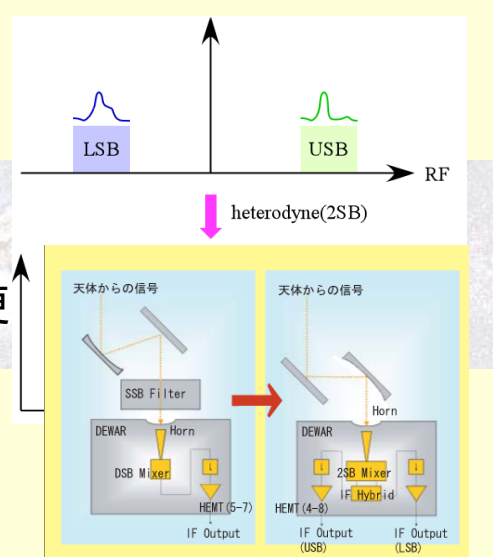
#### 望遠鏡システムの更新

- 受信機
  - 新方式の受信機への換装
- 分光器
  - 新分光器への交換
  - 2系統化
- IF系
  - 新IF系への交換
  - 2系統化
- アンテナ制御
  - ソフトウェアの書き換え



#### 受信機

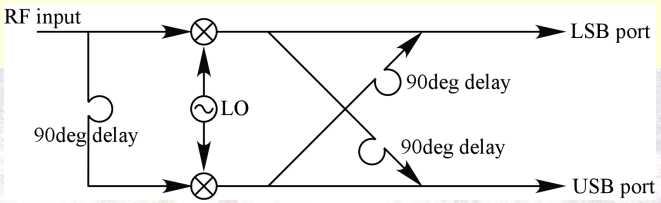
- 2SB受信機の搭載
  - 2周波同時観測
- SSBフィルタの撤去
  - 透過損失の解消
- 受信機室光学系の変更





#### 受信機

• 2SB受信機の原理

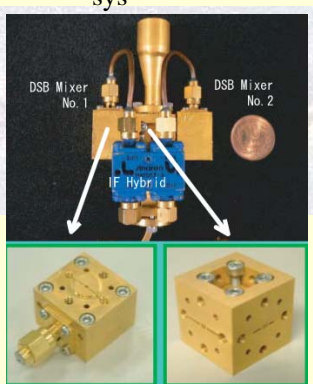


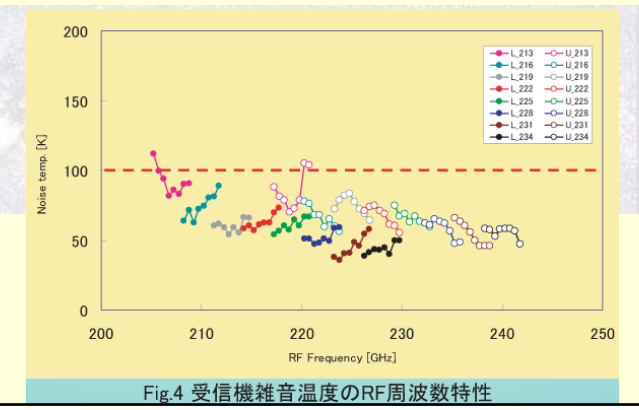
- ・ポイント
  - 2つのmixerの特性を揃える
  - 90deg hybridの移相精度



#### 受信機

- 大阪府立大学&国立天文台と共同
- T<sub>sys</sub>=250K∶実測値

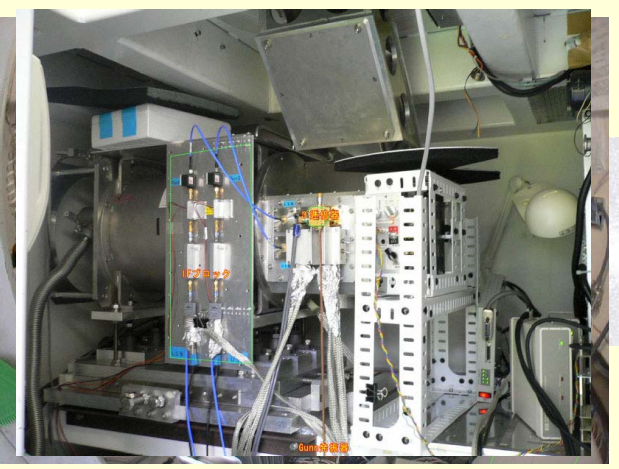






## 受信機室·光学系

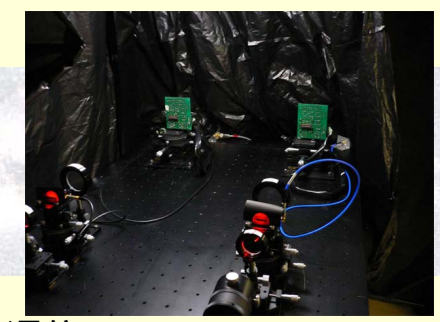
- 整備
  - \_ ビーム伝送の
  - 機器配置の





#### 分光器

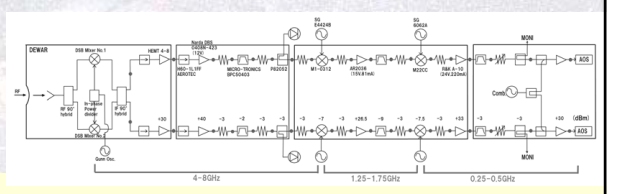
- 東京学芸大学と共同
- 分光器設置場所の移動
  - 受信機室 観測室
  - 温度環境の改善
- ・ 新分光器の設置
  - 帯域幅: 250MHz
  - 2系統
  - PC利用の積分器、TCP/IP通信





#### IF系

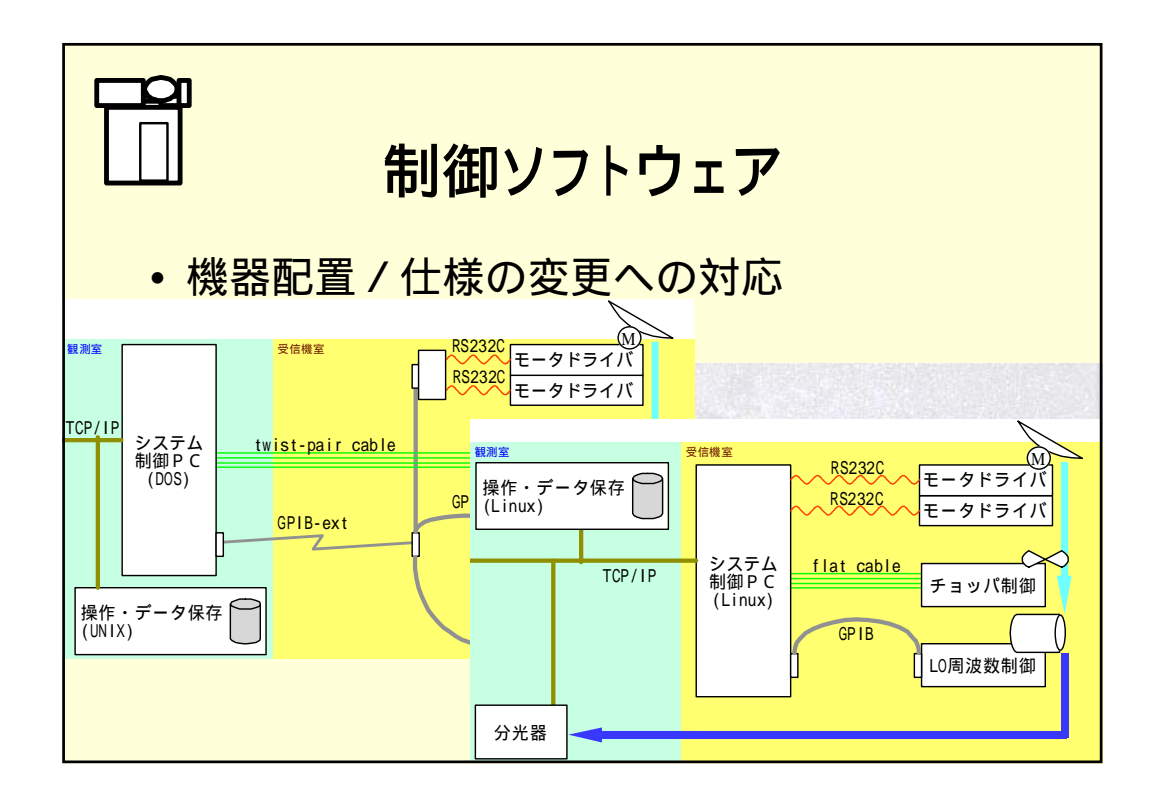
- 第1IF系周波数変更
  - 1.4GHz 5GHz化
  - <sup>12</sup>CO(2-1), <sup>13</sup>CO(2-1) 同時観測
- IFチェーン変更
  - 可変第2LO
  - 同時周波数追尾
- 2系統化
  - 2輝線同時観測

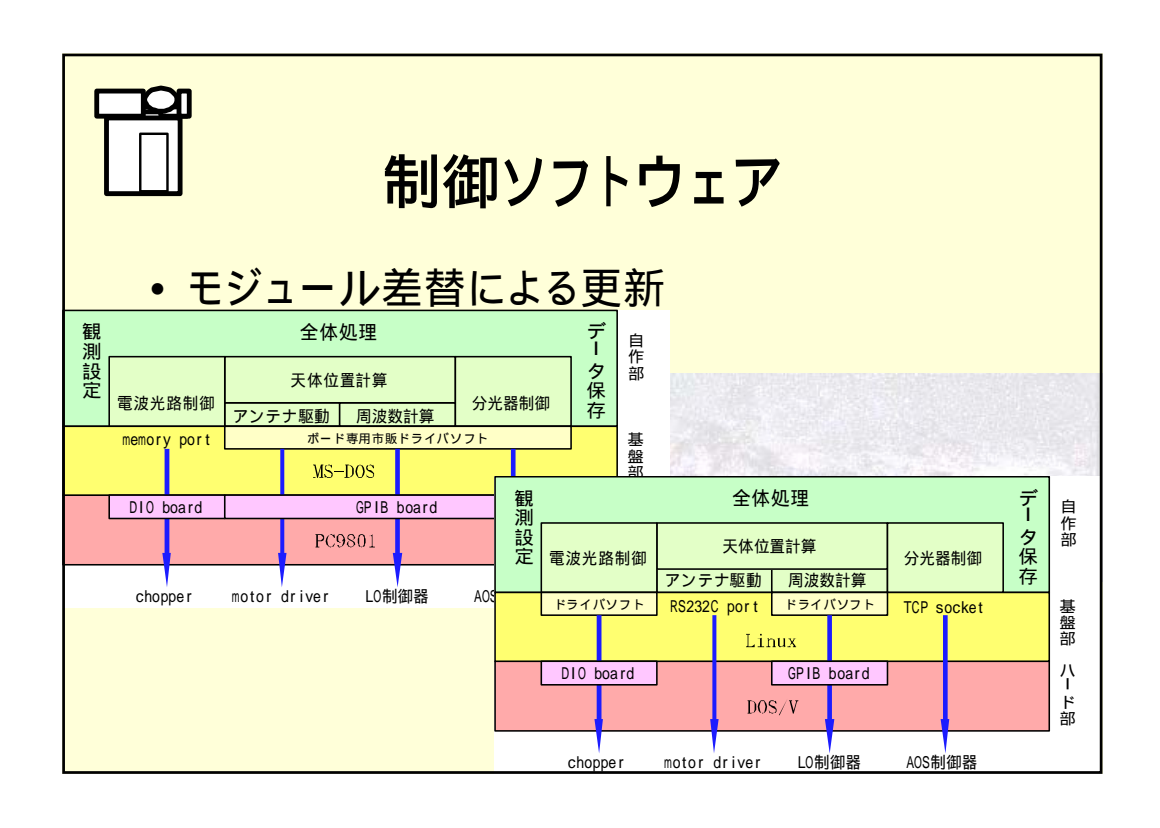


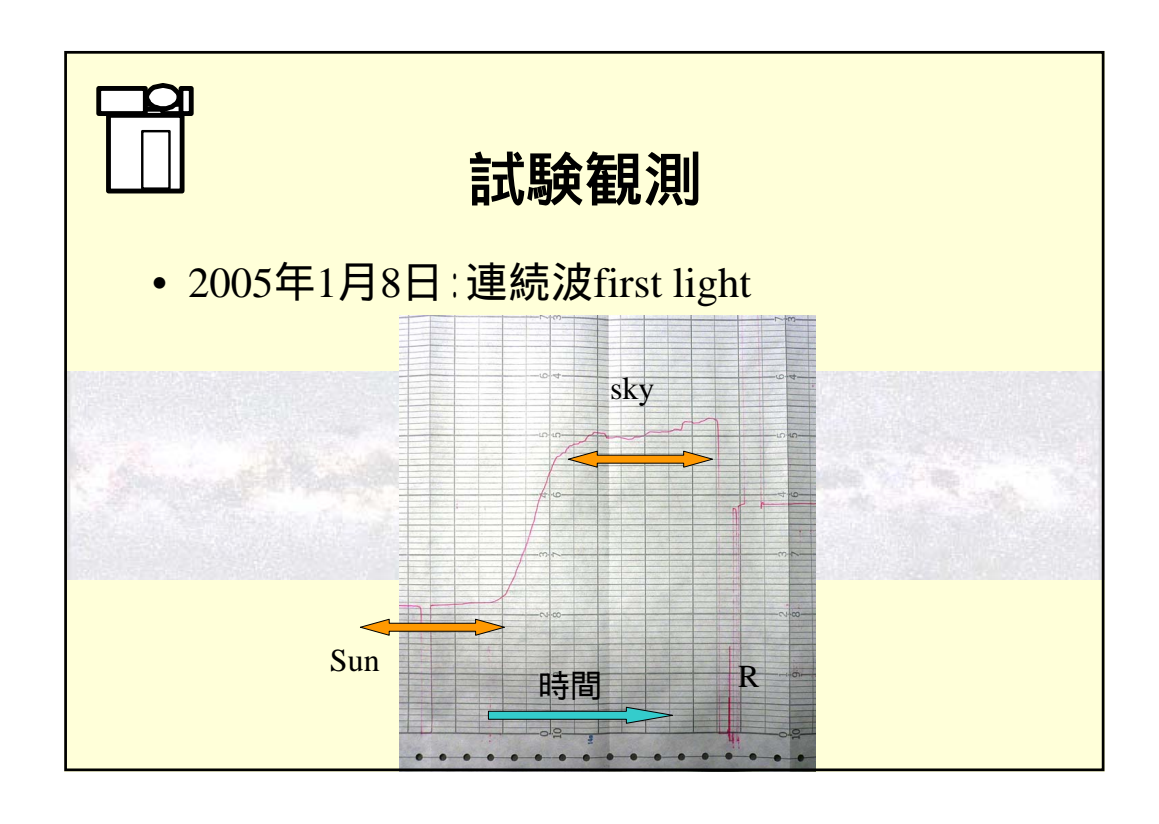


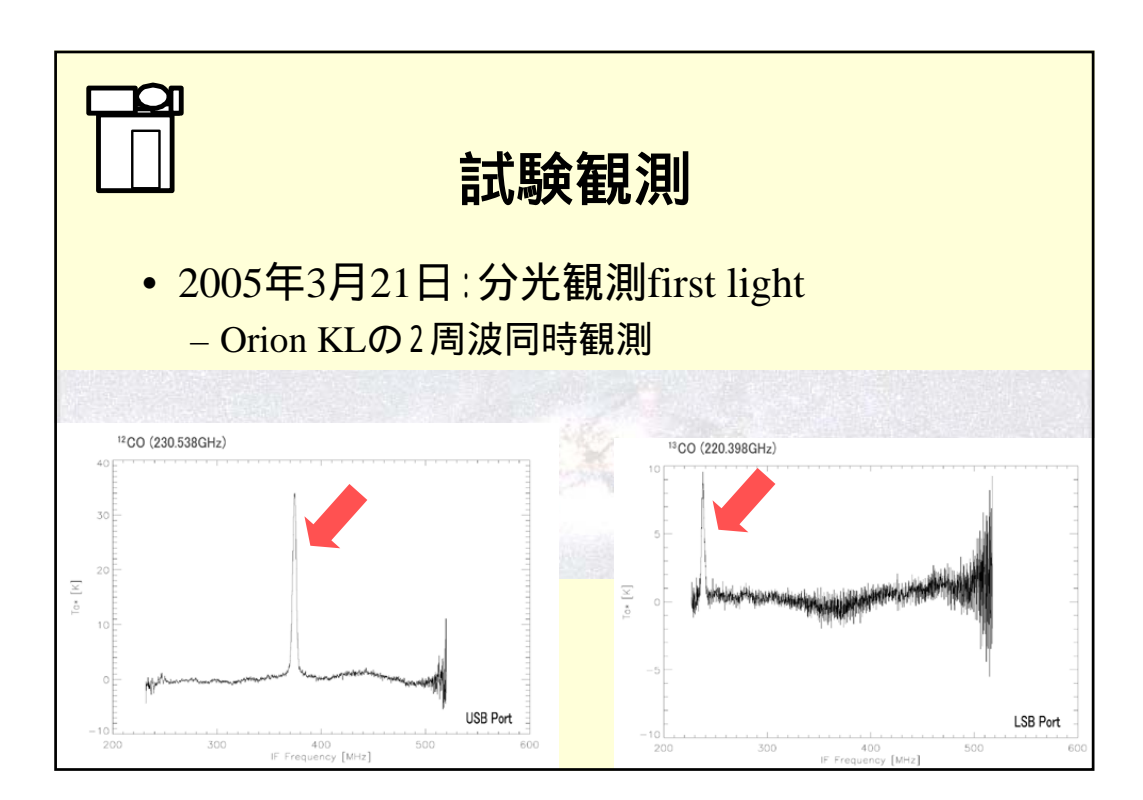
#### 制御ソフトウェア

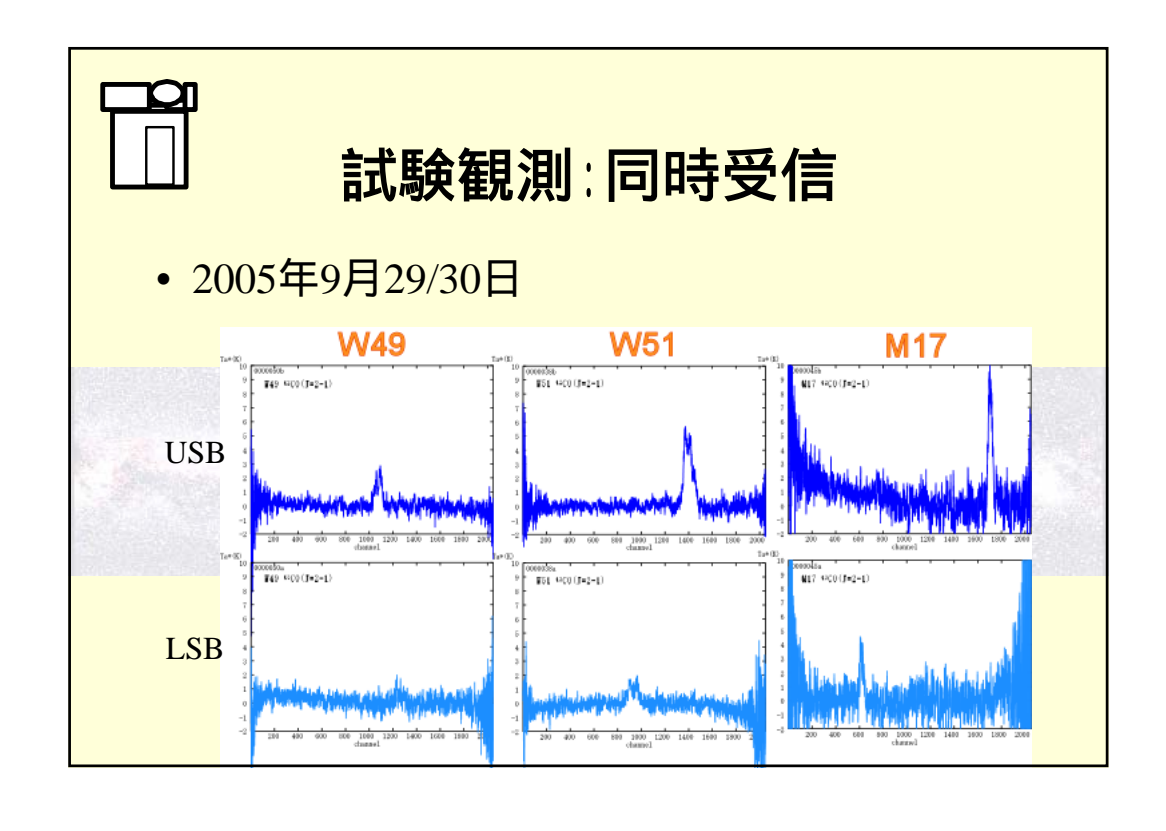
- ASTROS UltraASTROS
- 稼働マシンの変更
  - NEC PC9801(80286) DOS/V(Pentium)
  - 高速化、hardware老朽化対策
- OSの変更
  - MS-DOS Linux
  - Multi-task化, TCP/IP親和性向上
- 操作インターフェースの改良
  - 表示部とコマンド部の完全分離
  - 機能のモジュール化を深化
  - Internetとの親和性向上







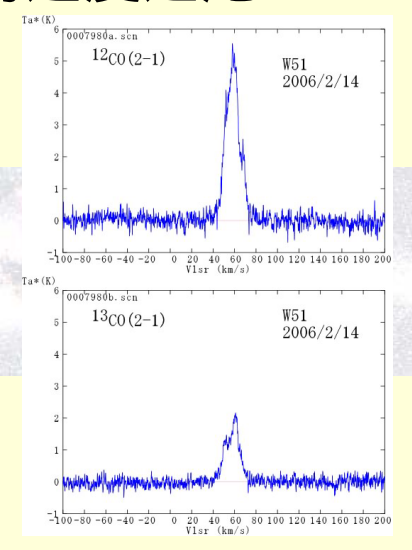






#### 試験観測:同時速度追尾

- USB/LSB同時速度追尾
- 2006年2月14日
  - 10sec積分でのデータ





#### 現状

- 可視光による指向精度較正
  - peak-peakで1arcmin程度を確認
- 電波天体による指向精度較正
- beam能率の測定
  - 95%以上を確認
- ソフトウェア機能の確認と向上
- 2月より観測を開始



#### 可視光による指向精度較正

- 望遠鏡に同架の光学望遠鏡による
  - 恒星を用いた夜間測定
  - CCD画像取り込みによる自動測定
  - 数時間で測定可能
- 直焦点モデルによる解析
  - 6パラメータ
  - Az軸 & El軸の傾き、原点オフセット
  - CCD中心位置のオフセット



# 電波天体による指向精度較正

- 分子雲peakの5点法観測データによる
  - 特定天体の測定: OriKL, W3, NGC1333
  - 望遠鏡パラメータと天体構造とを同時に解く
  - 簡易整約と結合した自動測定
  - 1日で測定可能
- クーデ焦点 + 天体構造モデルによる解析
  - 12パラメータでフィット
    - 6パラメータ:受信機位置、クーデ鏡直交度
    - 6パラメータ: 3天体の60cm鏡ビームでの中心位置



#### 新・銀河面サーベイ

- 内域: 6° / 60°, |b| 2°
- grid spacing 1/16deg=Nyquist sampling
- <sup>12</sup>CO-<sup>13</sup>CO同時観測
  - 2~3シーズンで完了
  - 厚さ方向の分解
  - 非軸対称モデルによる解析
  - arm-interarmの違いを求める

# 銀河系の水素原子・分子ガス 3次元分布

中西 裕之(野辺山宇宙電波観測所) 祖父江 義明(東大天文センター)

#### **CONTENTS**

- 1.はじめに
- 2.銀河系HI·H<sub>2</sub>分布の決定方法
- 3.結果·議論
- 4.まとめ

#### はじめに

#### 天の川銀河の構造について

- ・銀河系は最も近い銀河 最も小さい空間スケールでの 研究が可能
- ·系内天体を研究する上で銀河系内 での位置は重要
  - ex. 銀河中心部 or 外縁部? arm or inter-arm ?等
- ・しかしながら我々観測者が銀河系 内部に位置するため、

銀河系の構造を探るのは難しい課題



#### 天の川銀河の構造について

- ・電波輝線データは銀河系構造 を探るのに適している
  - (i) 可視光では減光が大きい。
  - (ii)速度情報が使える。
  - (iii)銀河全体に分布している。
- ・我々は最新のHI・C O サーベイ データを用いて銀河系の3次元 構造を調べた。



#### 天の川銀河の構造について

·先行研究

HI分布図:

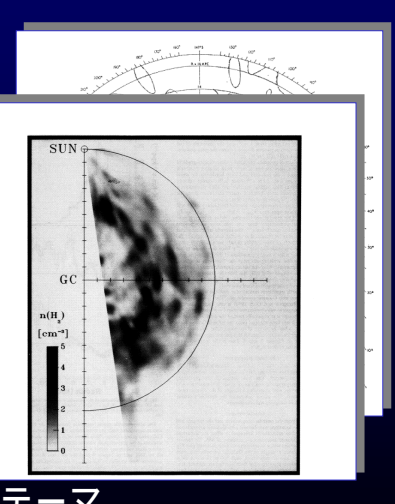
Oort et al. 1958等

H2分布図:

Clemens et al. 1988等

ただし、天の川銀河全体の 3次元ガス分布は未知 天の川銀河の3次元ガス 分布を探ることは重要

HI·H<sub>2</sub>の比較も興味深いテーマ



## HI・H,ガス分布の決定方法

### データ:HI·COサーベイ

#### HIサーベイデータ

Hartmann & Burton (1997):  $0.5 \degree < I < 240 \degree$ 

Kerr et al. (1986): 240.5 ° < I < 350 °

Burton & Listz (1983): 350 ° < I < 359.5 °

グリッド間隔:0.5°, 速度分解能:1.0 - 5.5 km/s

#### 12CO(J=1-0)サーベイデータ

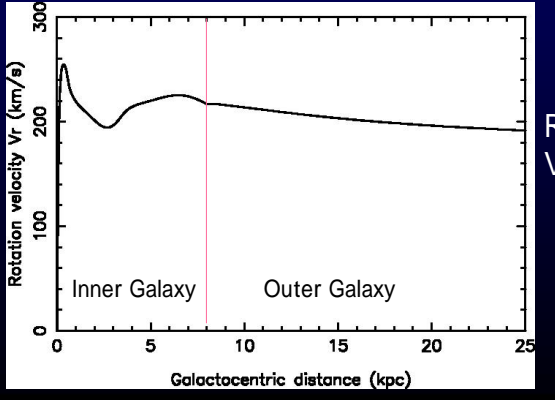
Dame et al. (2001): 0 ° < l <360 °, -1.5 ° < b < +1.5 °

グリッド間隔:0.125°-0.250°, 速度分解能:1.3 km/s

#### データ:回転曲線

inner Galaxy ( $R < R_0$ ): Clemens(1985)

outer Galaxy (R> R<sub>0</sub>): Dehnen & Binney (1998)



 $R_0=8.0$ kpc,  $V_0=217$ km/s

## T<sub>b</sub>(I,b,Vr) n(R, , z) **の**変換

#### ·視線速度V, 距離r

 $V_r = (R_0V(R)/R - V_0)$  sinl cosb  $R^2 = R_0^2 + r^2 - 2rR_0 \cos I$ 

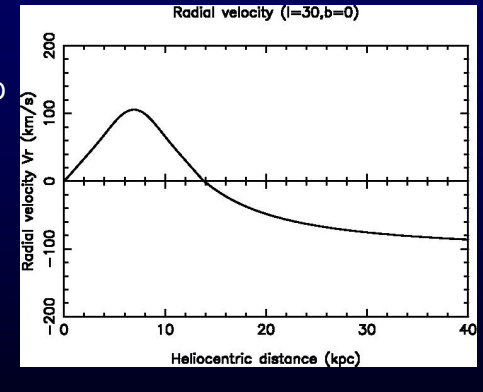
l,b:銀経、銀緯、r:太陽からの距離、 R:銀河中心からの距離、V:回転速度

#### ·輝度温度T。密度n

 $n = C T_b V_r r$ 

 $C=1.82 \times 10^{18}$  (HI),

C=1.80 x 10<sup>20</sup> (CO; Dame et al. 2001)



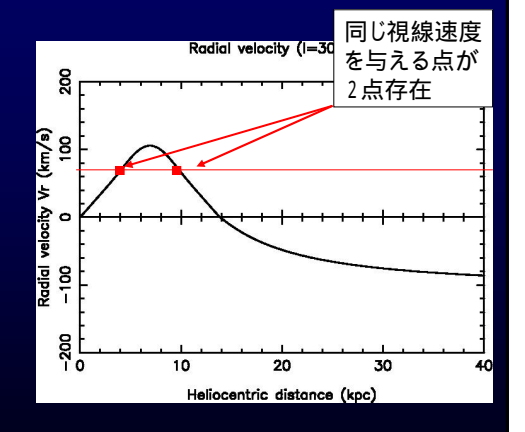
#### Near-far problem

Inner Galaxyでは同一視線上 に同じ視線速度を与える点が 2点存在する。

> 観測されるガス分布は 近い点と遠い点 両方から の足し合わせ

(Near-far problem)

Near-far の分離が必要



## Near-far problemの解決策

z方向の分布のモデル(Spitzer 1942)を導入

 $n_{HI}$ [cm<sup>-3</sup>]= $n_{HIo}$  sech<sup>2</sup>((z - zo)/h

観測されるHI、H2密度の銀緯b 分布は未知パラメータ

(n<sub>Hlo1</sub>, zo<sub>1</sub>, n<sub>Hlo2</sub>, zo<sub>2</sub>)を用いて

 $\begin{array}{l} n_{HI}[cm^{-3}] = (n_{HIo1} \; sech^2((r_1 \; tan \; b - zo_1)/h \\ + \; n_{HIo2} \; sech^2((r_2 \; tan \; b - zo_2)/h))/cos \; b \end{array}$ 

#### 未知パラメータ

(n<sub>Hlo1</sub>, zo<sub>1</sub> , n<sub>Hlo2</sub>, zo<sub>2</sub>) をfittingで決定してNear-far problemを解決し、 HI column density [10<sup>20</sup> cm<sup>-2</sup>]

Near point

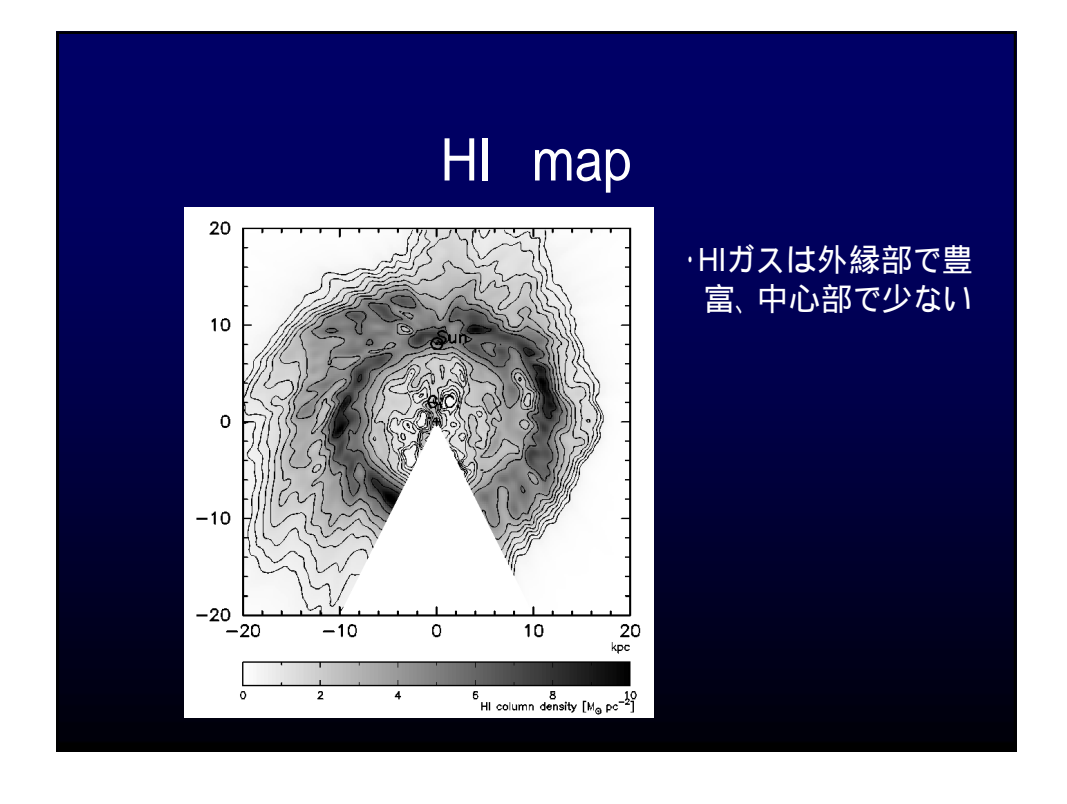
Parpoint

Parpoint

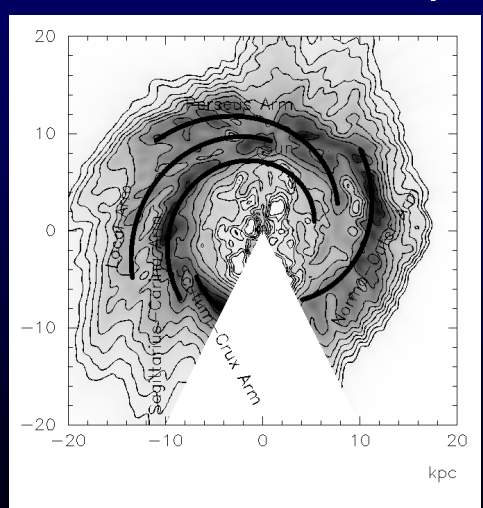
Galactic Latitude b [degree]

Inner GalaxyでのHI、H2分布を求めた

## 結果·議論

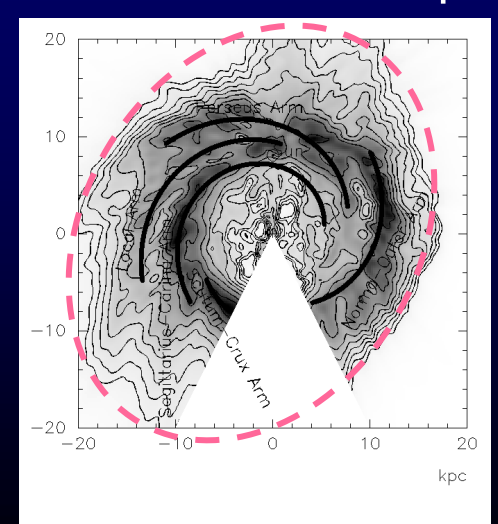


### HI map

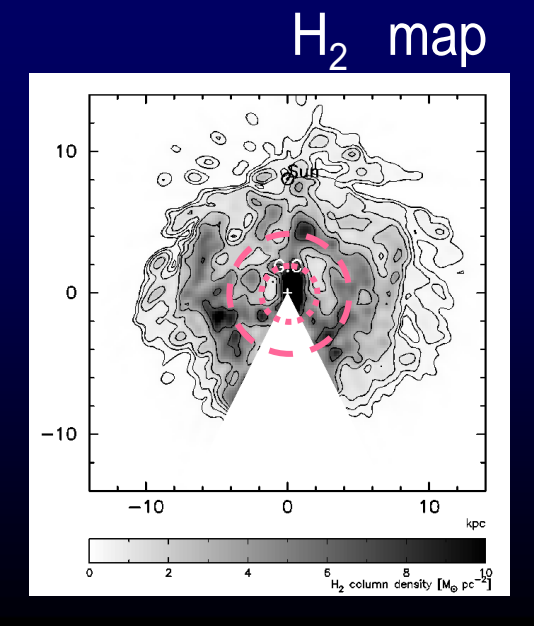


- ·HIガスは外縁部で豊富、中心部で少ない
- ・Outer arm, Perseus arm, Local (Orion) arm, Sagittarius-Carina arm, Crux armの一部 が見られる

### HI map

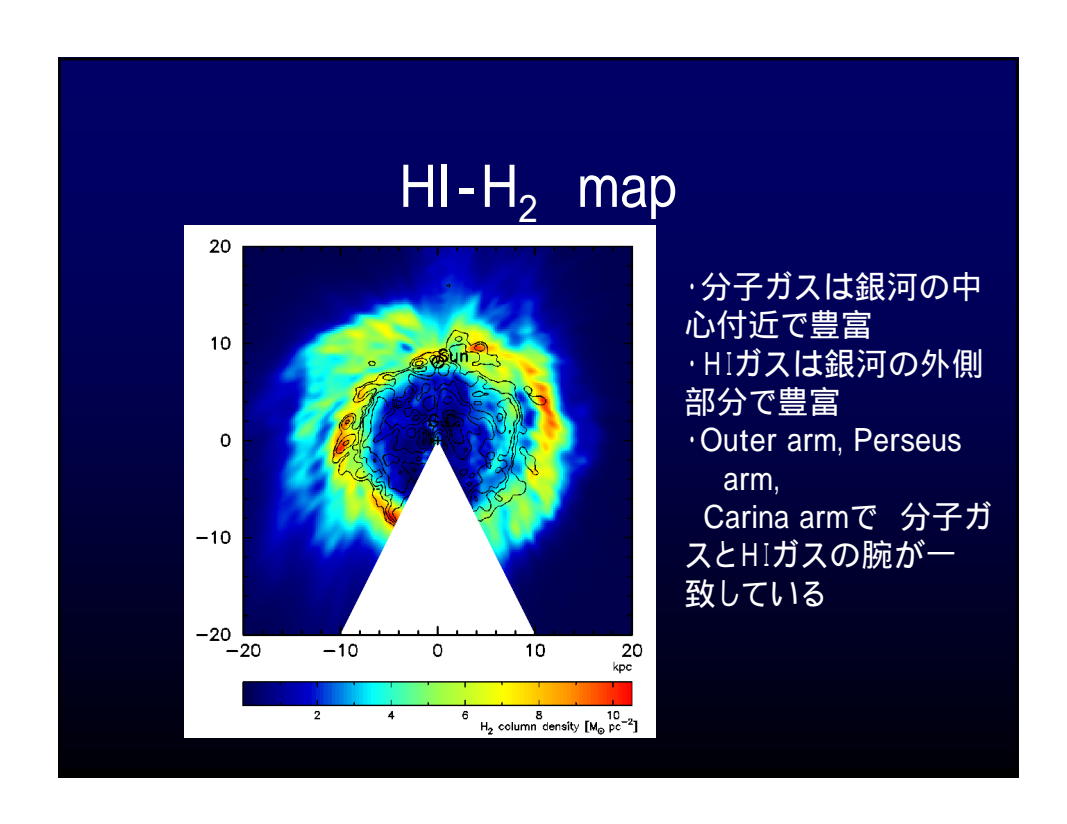


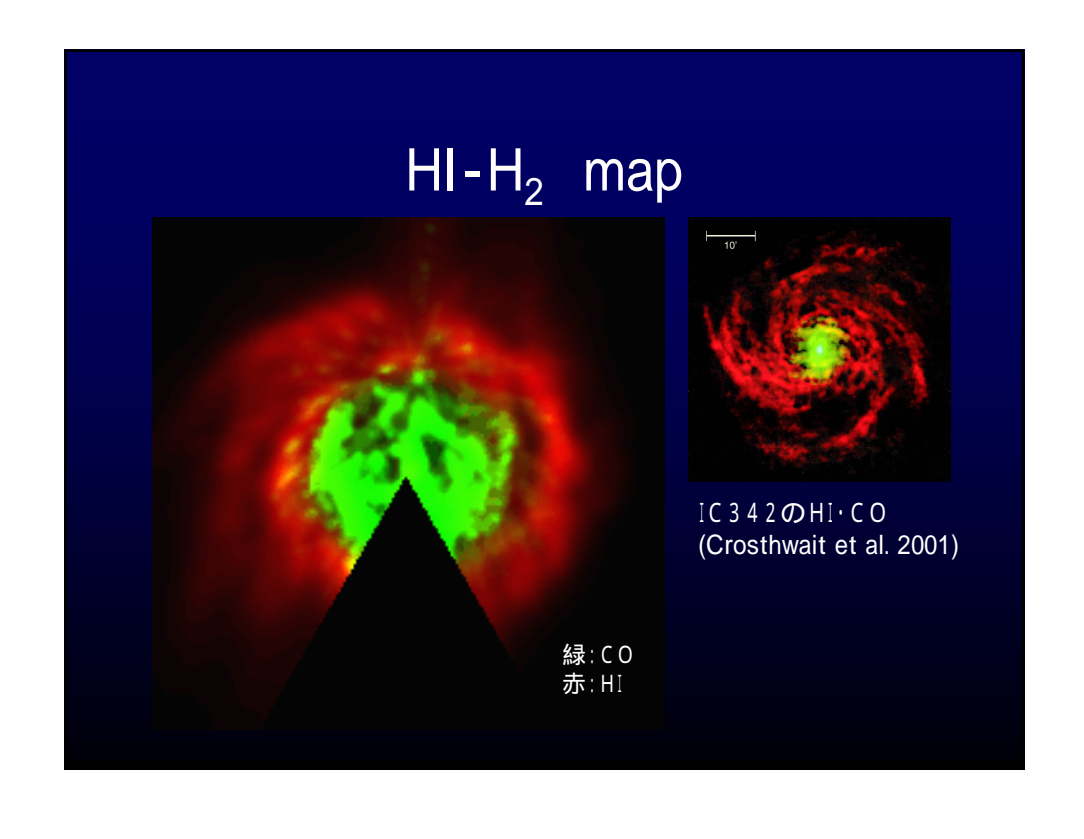
- ·HIガスは外縁部で豊富、中心部で少ない
- Outer arm,
  Perseus arm,
  Local (Orion) arm,
  Sagittarius-Carina arm,
  Crux armの一部
  が見られる
- ・HIガス分布は軸対象 ではなく、偏長 (Lopsided disk)

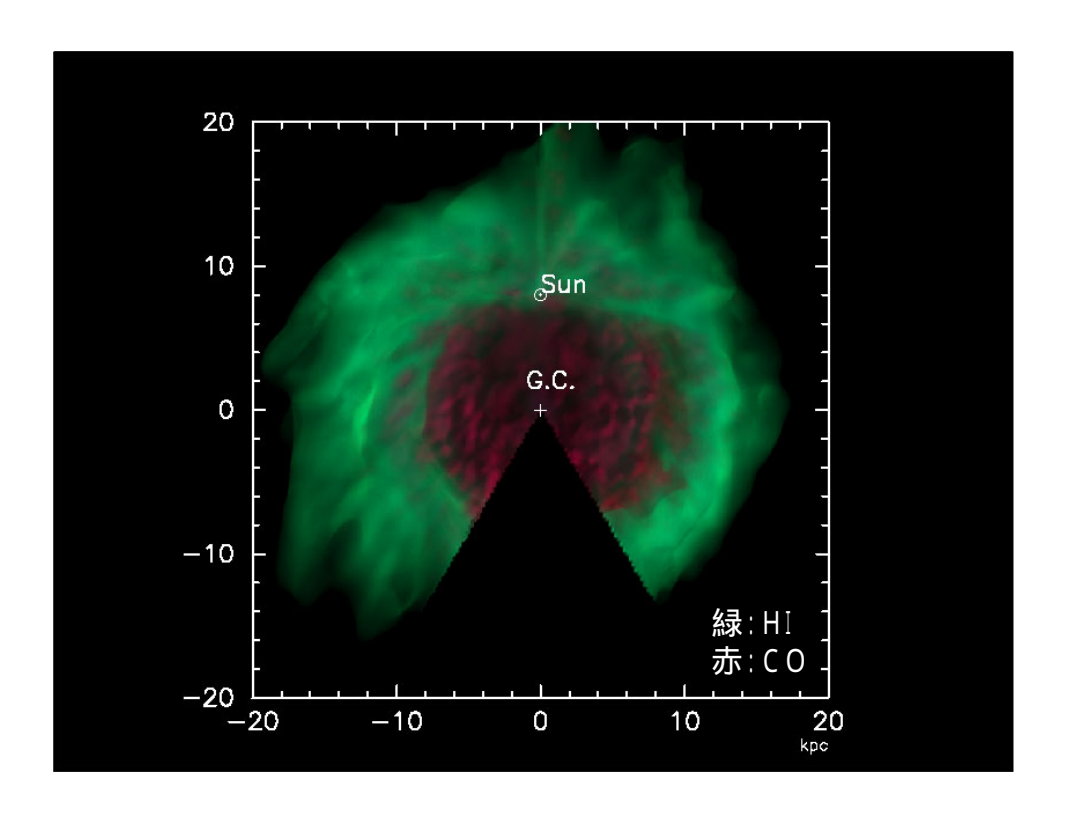


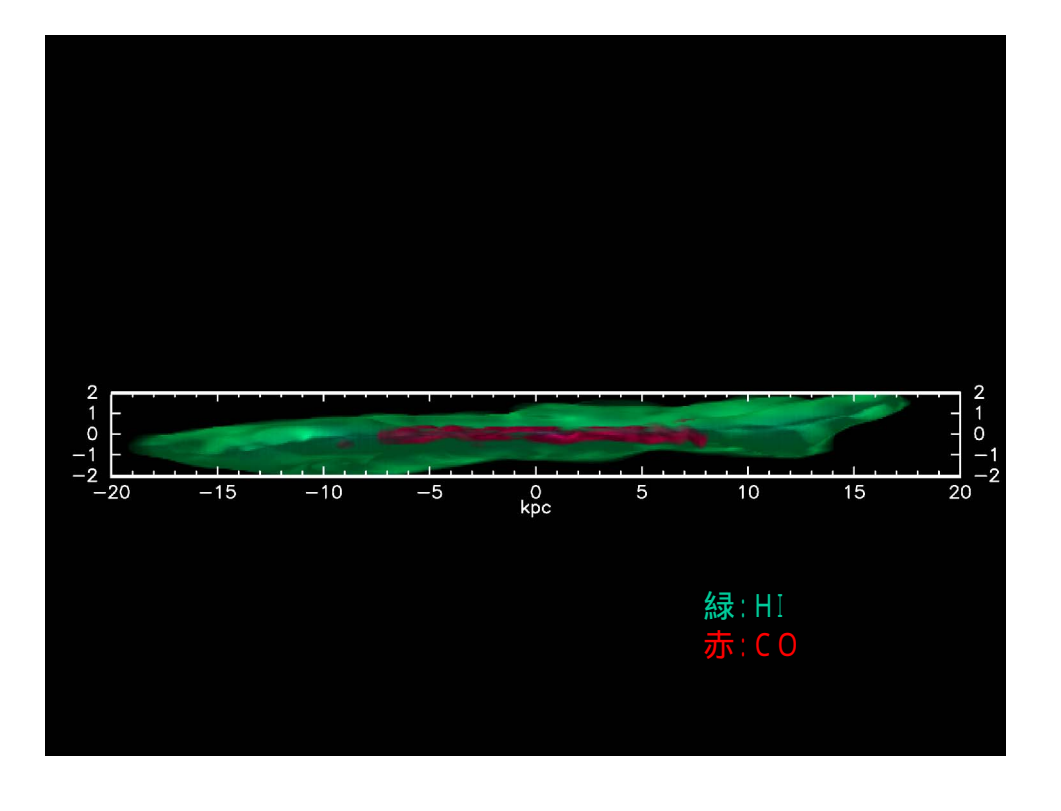
- ・第4象限は初めての マップ化
- ·第1象限には4kpcリングが見られる
- ·分子ガスが銀河中心 に集中

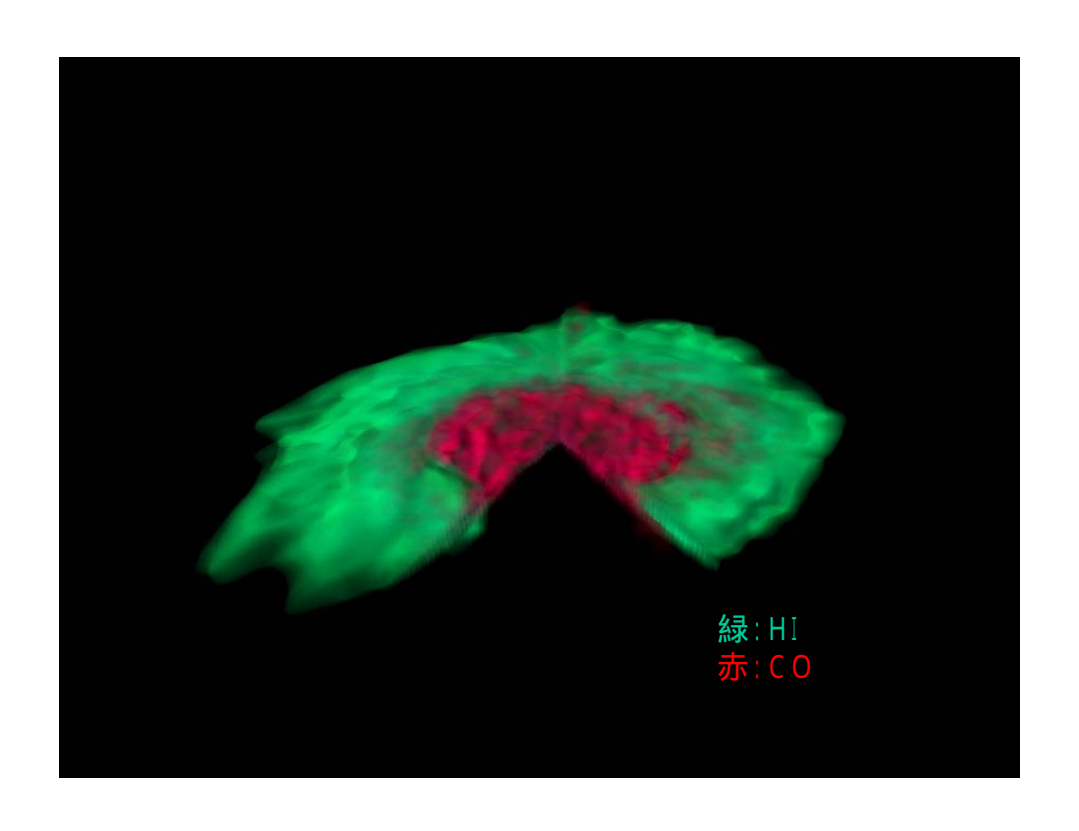
#### map ・第4象限は初めての 10 マップ化 ·第1象限には4kpcリン グが見られる ・分子ガスが銀河中心 に集中 · Norma-Outer arm, Perseus arm, Norma-Outer Arm -10 Local (Orion) arm, Sagittarius-Carina -10 10 arm, kpc Scutum-Crux arm がトレースできる

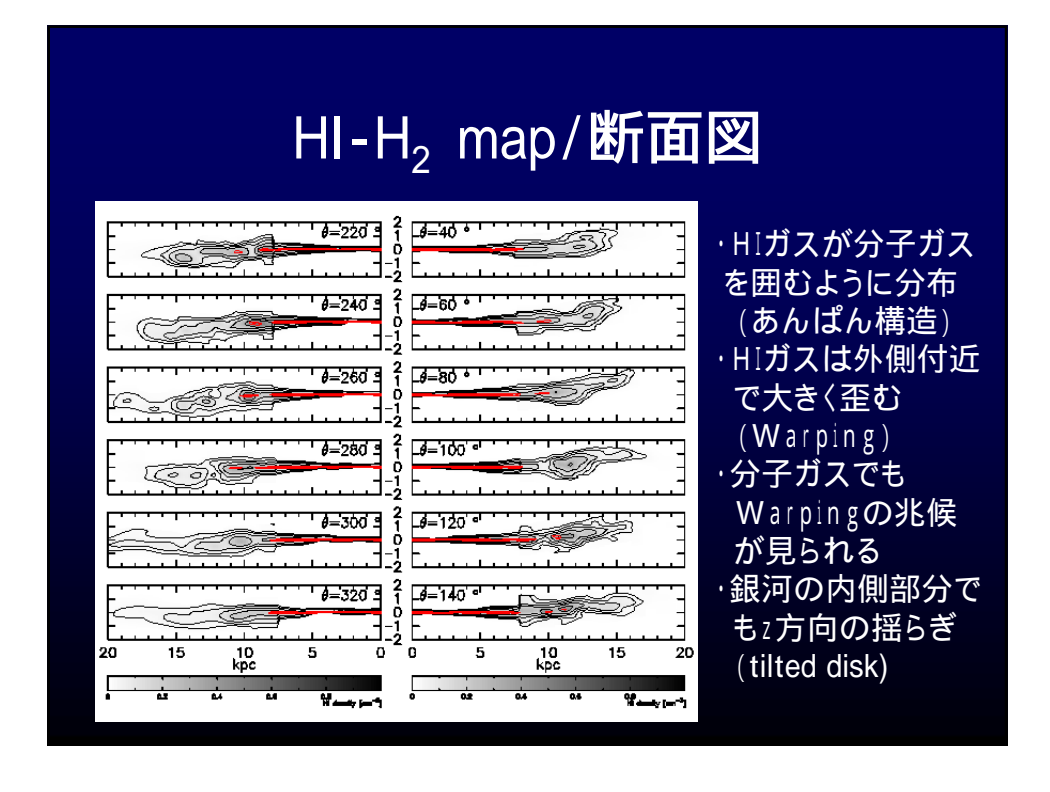




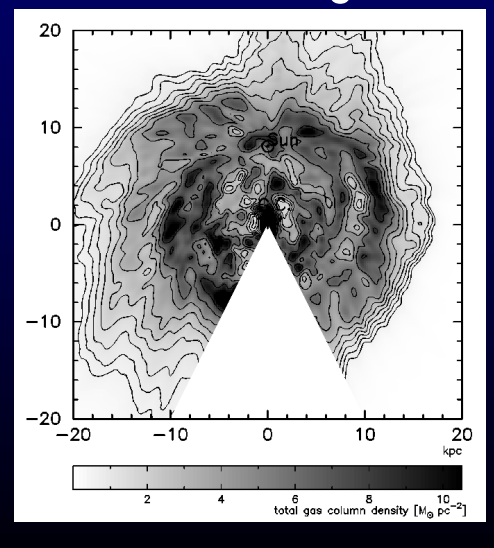






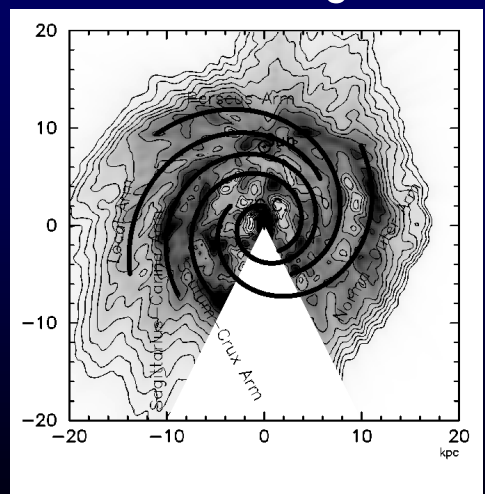


#### Total gas map

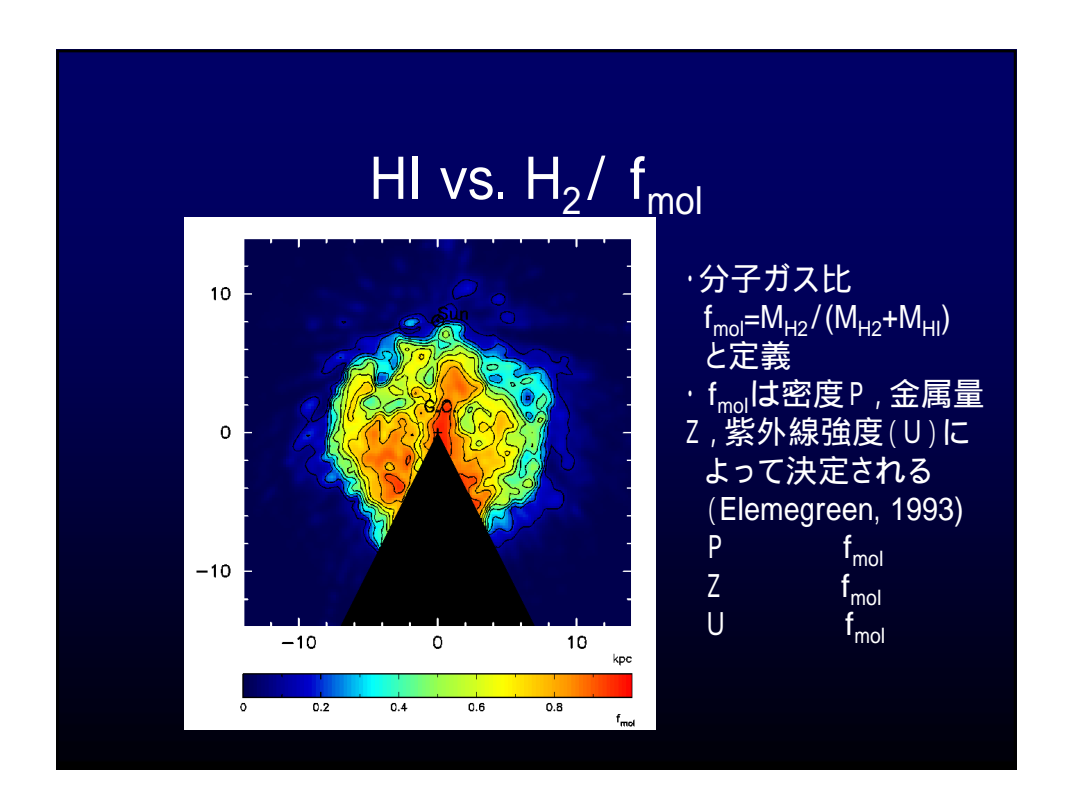


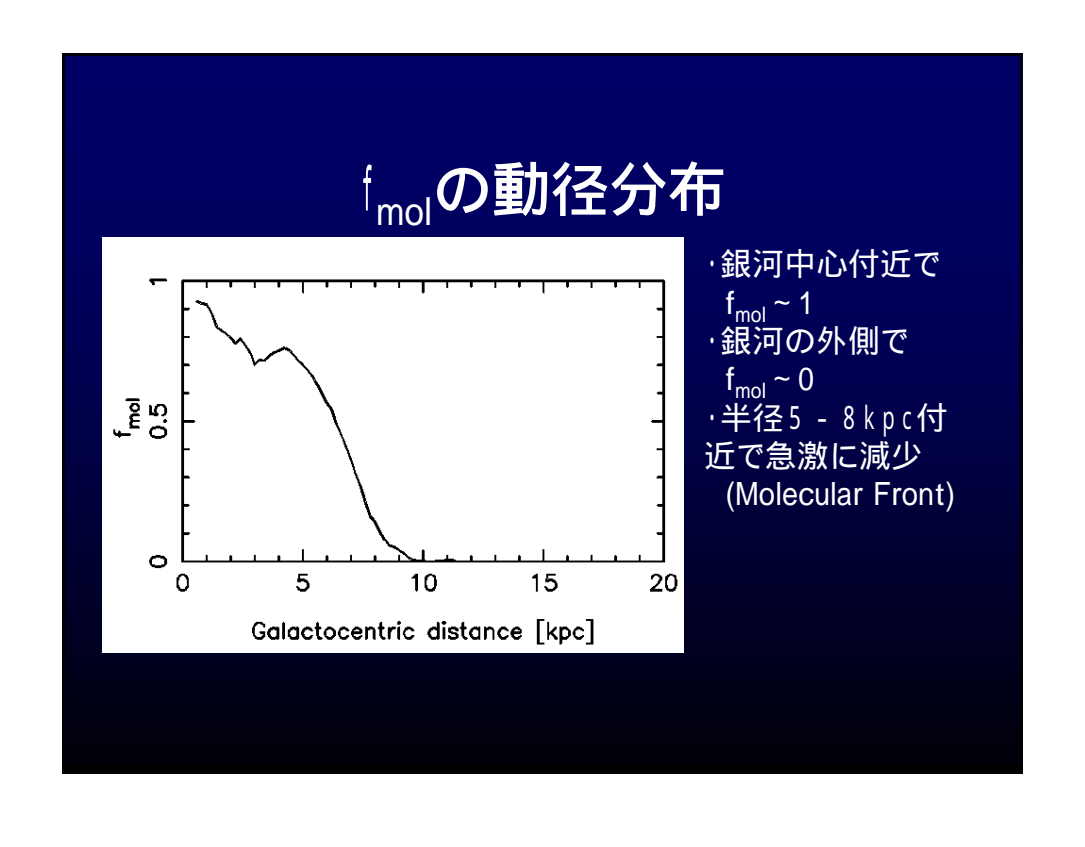
・HIガスと分子ガスの両方のマップが得られて初めて描くことが可能になった

## Total gas map

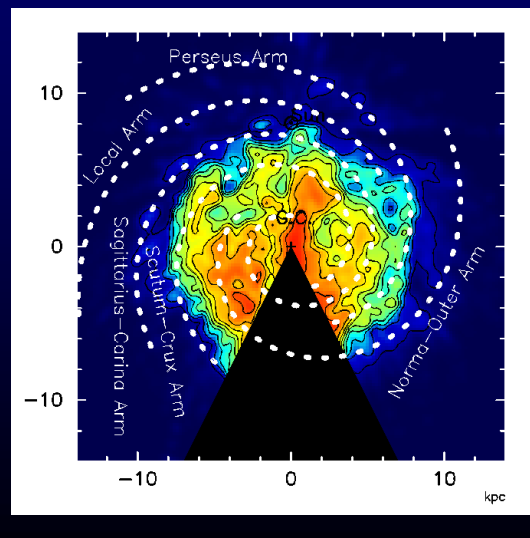


- ・HIガスと分子ガスの両 方のマップが得られて 初めて描くことが可能 になった
- ・銀河系全体の渦巻き 腕構造がトレースしや すくなった
- ・Norma armとOuter arm はピッチアングルが約 11度付近であると考 えると同一の腕らしい



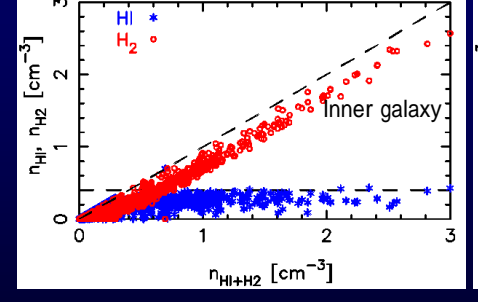


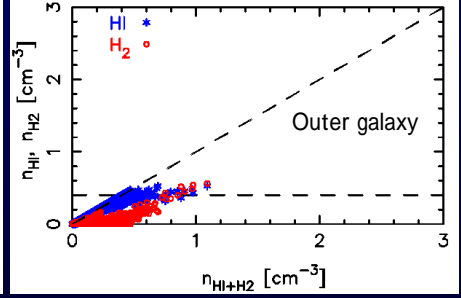
## 小さなスケールでのfmol変化



- ・f<sub>mol</sub>は小さいスケール でも変化
- ·渦巻き腕上で変化が 顕著
- ·渦巻き腕でHI H<sub>2</sub>の 遷移が短時間で起こっ ている。
- ・変化の幅はパターン速度とガスの速度の差で決まり、10<sup>6</sup> 10<sup>7</sup>yr 程度で変化していると考えられる。

## HI·H<sub>2</sub> vs. 全ガス(体積密度の場合)



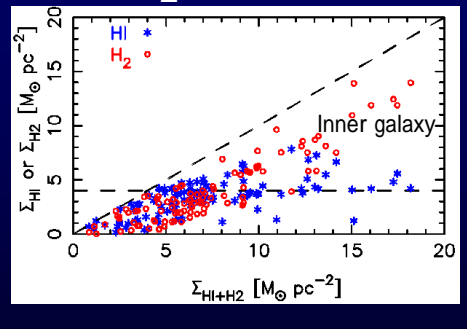


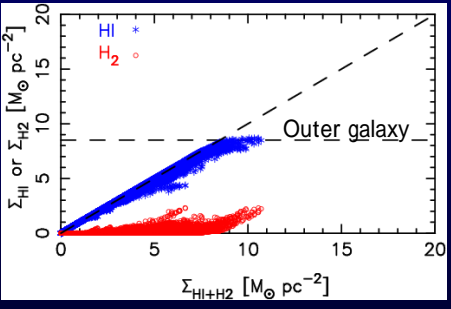
- ・全ガス密度が低い部分ではHIガスは破線に沿って増加 (HIガスが優勢)
- ・全ガス密度がある密度(0.4cm-3)を超えると、HIガス密度は一定となり、分子ガスが線形に増加する。

HI飽和密度が存在

UVの減光が顕著になる密度か (400pcでN<sub>нцн2</sub>=5e+20cm<sup>-2</sup>)

## HI·H<sub>2</sub> vs. 全ガス(面積密度の場合)

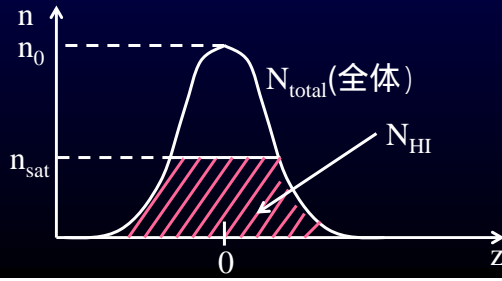




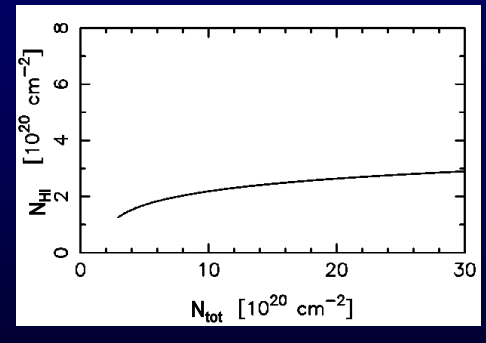
- ・全ガスの面積密度とHI・H2の面積密度の関係
- ・体積密度の場合と同様、面積密度の場合もHI飽和密度が存在 なぜ 同様の傾向が見られるのか?

### 柱密度でのHI飽和密度の解釈

- ·z方向のガス分布がSpitzer (1942)のモデルに従うと考える。  $n_{tot}(z) = n_0 \operatorname{sech}^2(z/h)$
- ·この時、HIの密度は n<sub>HI</sub>(z) = max(n<sub>0</sub> sech<sup>2</sup>(z/h), n<sub>sat</sub>)
- ・HIガス分布を から+ まで積分すると N<sub>HI</sub> = 2h (n<sub>sat</sub> log((n<sub>0</sub>0.5 + (n<sub>0</sub>-n<sub>sat</sub>) 0.5)/n<sub>sat</sub>0.5) + n<sub>0</sub>(1-(1-n<sub>sat</sub>/n<sub>0</sub>) 0.5))



## 柱密度でのHI飽和密度の解釈



N<sub>total</sub>の変化に対してN<sub>HI</sub>の変化は小さい

全ガスの面積密度が変化しても、HIガスの面積密度はほとんど変化しない

体積密度で飽和密度が存在すると、面積密度でもHI飽和密度が見られる

# Scale-height ・内側から外側に向かい 厚みが増加する ・Armで薄(inter-armで暑いという傾向がある 重力では説明できなさそう 磁場やSNが原因か

#### まとめ

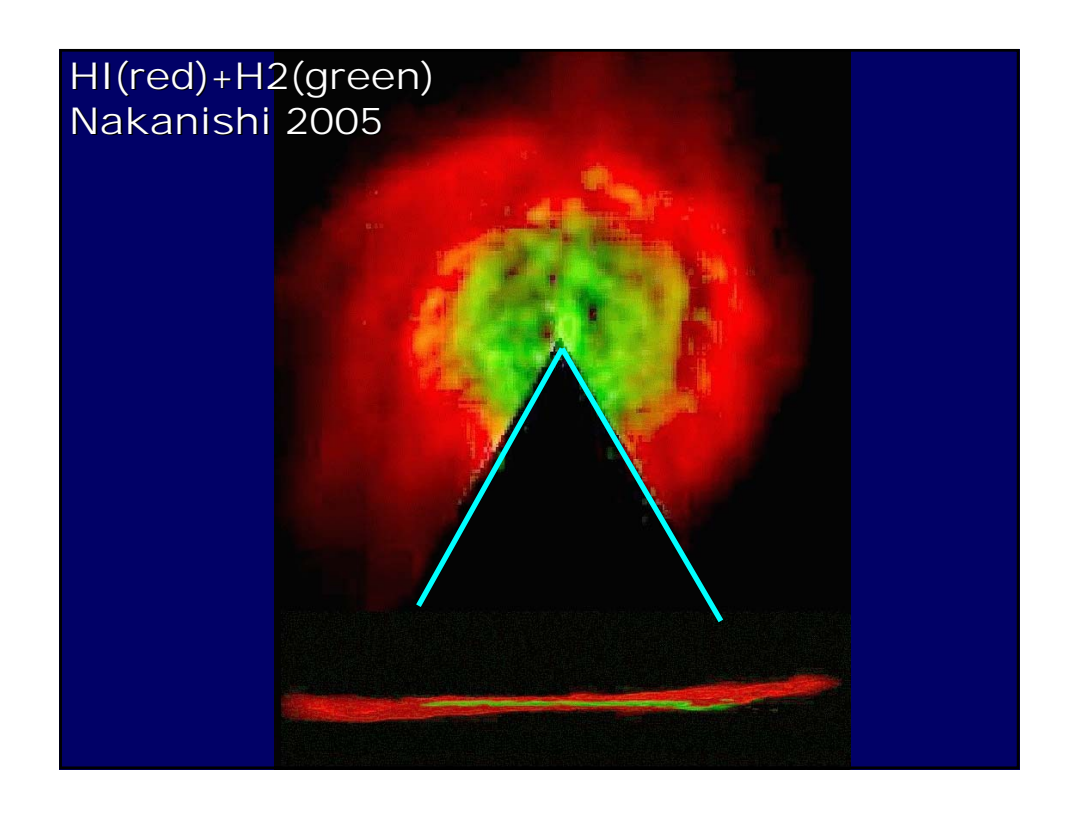
- 最新のHI・C O サーベイデータと回転曲線を用いて天の川銀河の3次元HI・H2分布マップを構築した
- ・ 天の川銀河全体の渦巻き腕構造を明らかにした Norma armとOuter armは同一
- ・ HI飽和密度が体積密度・面積密度、両方で見られることが明らかになった

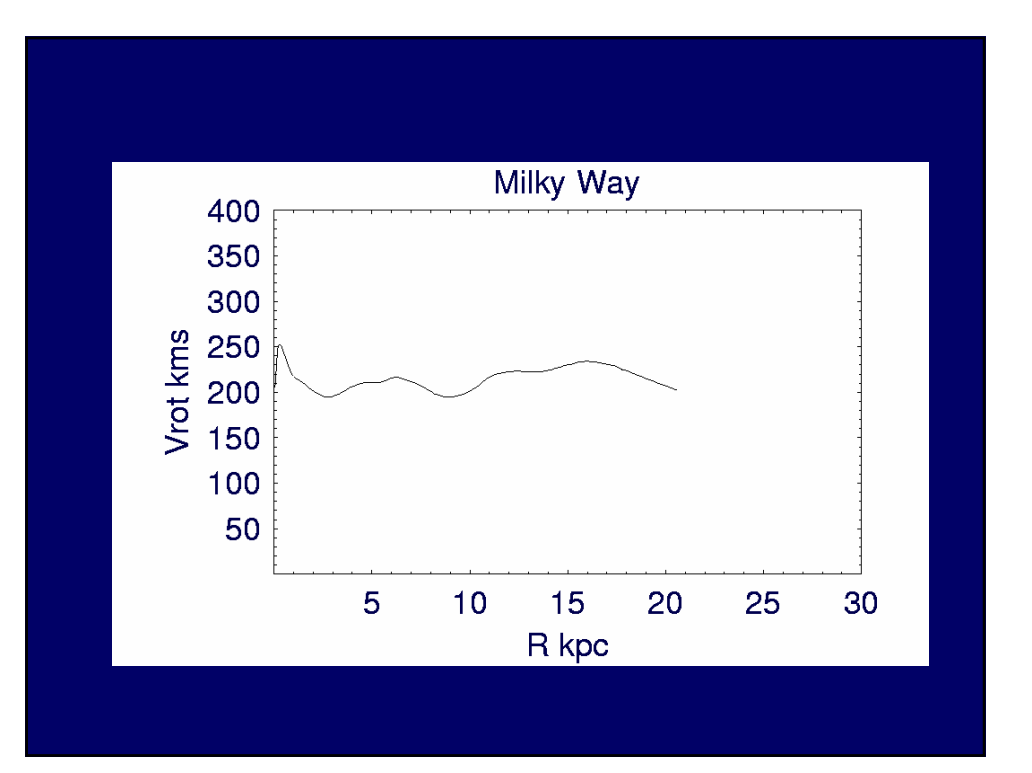
## 銀河中心および反中心方 向のアーム距離決定 dv/dl法

祖父江義明 東大理 2006年2月21日

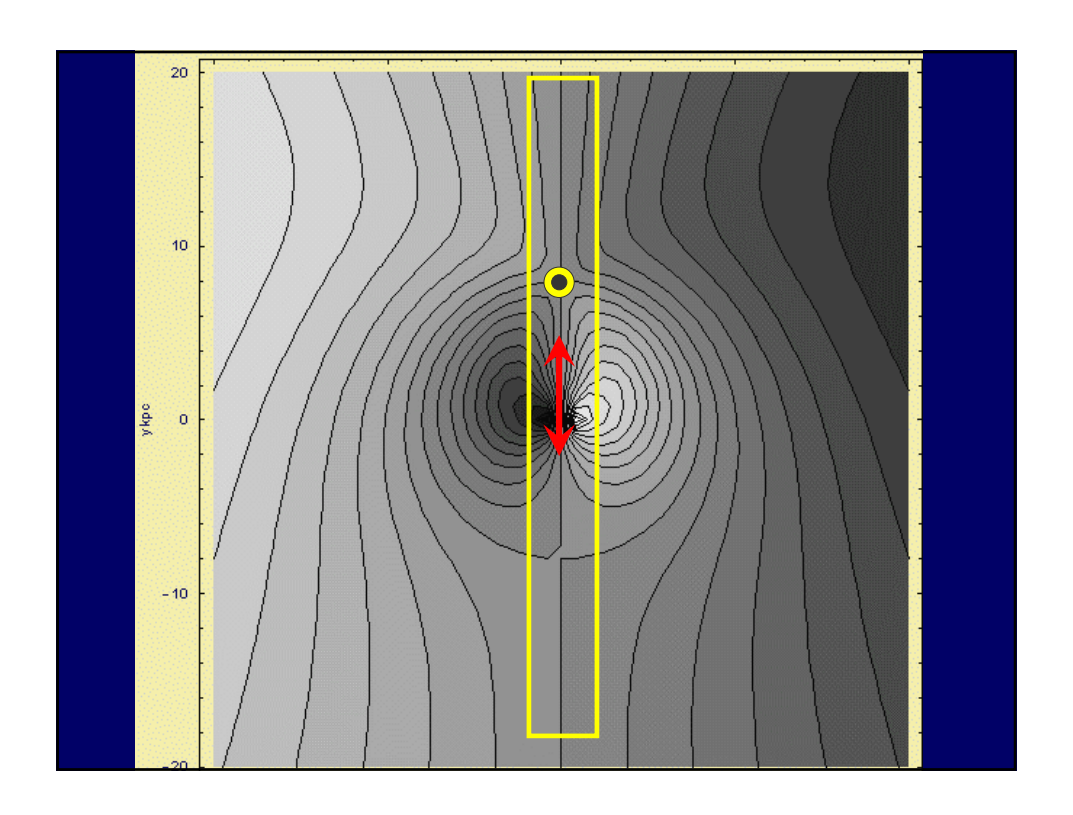
回転速度場から 星間物質の分布を求める

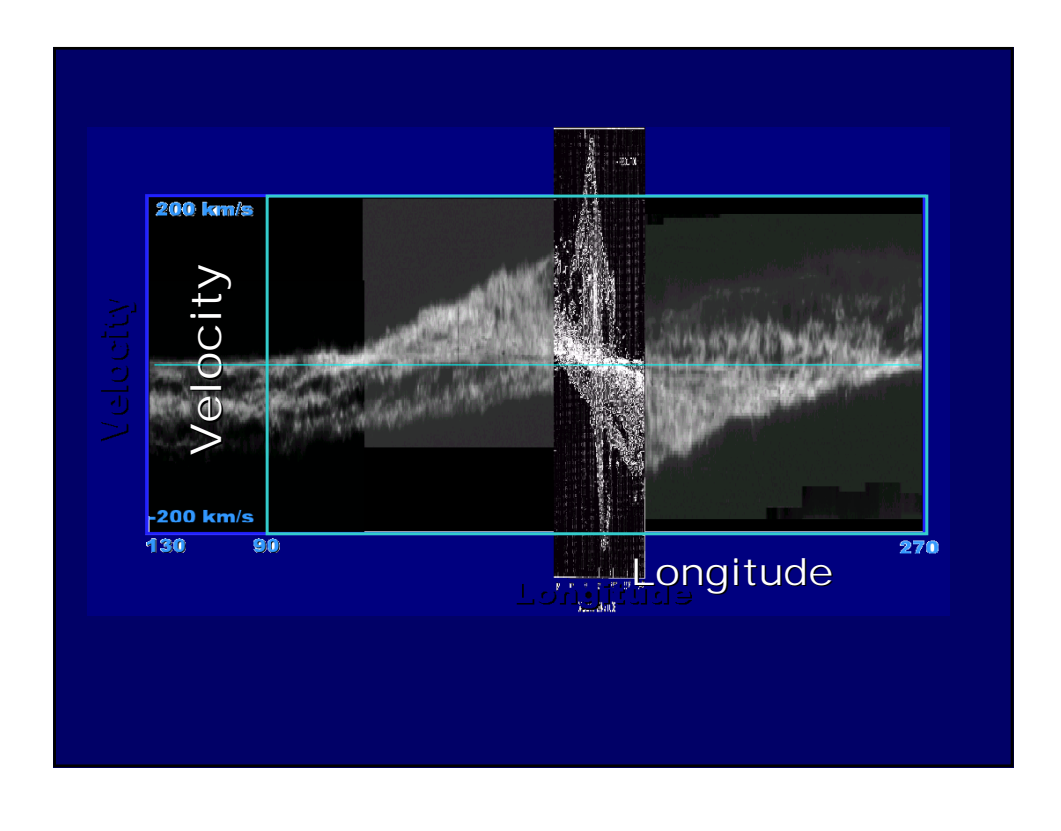


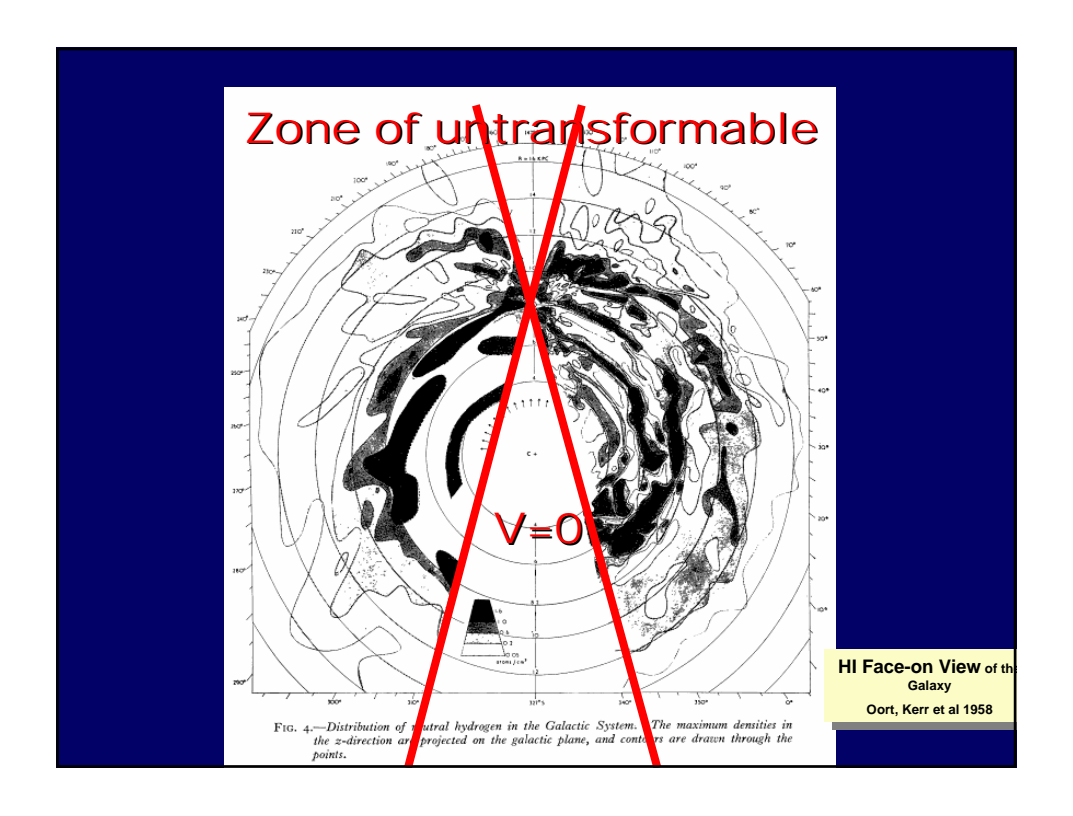


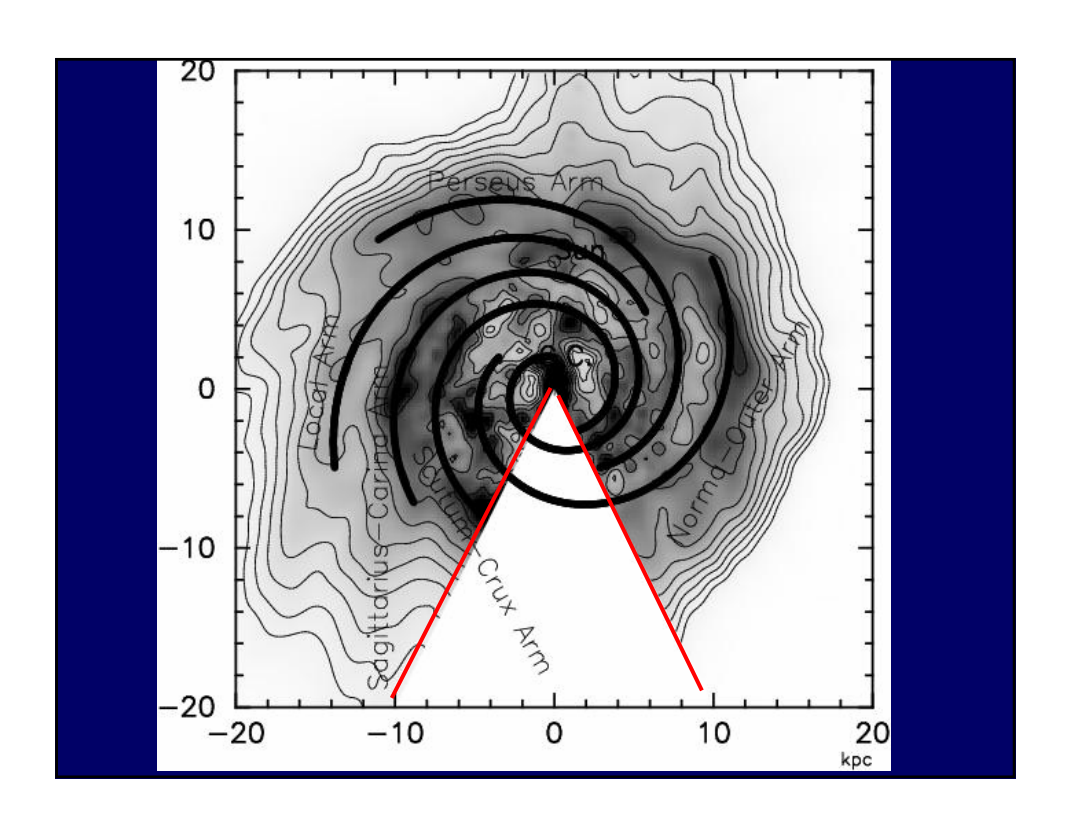


$$v = R_0(\omega - \omega_0)\sin l = \left\{\frac{R_0}{R}V - V_0\right\}\sin l,$$

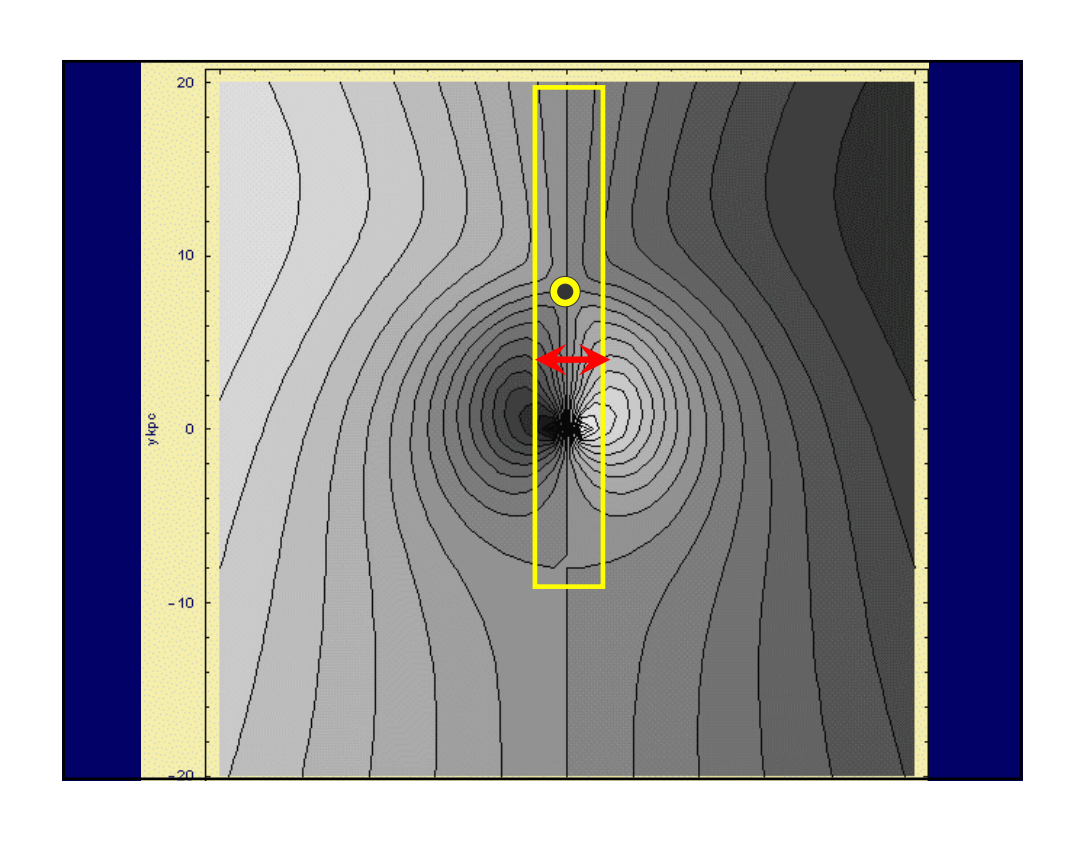


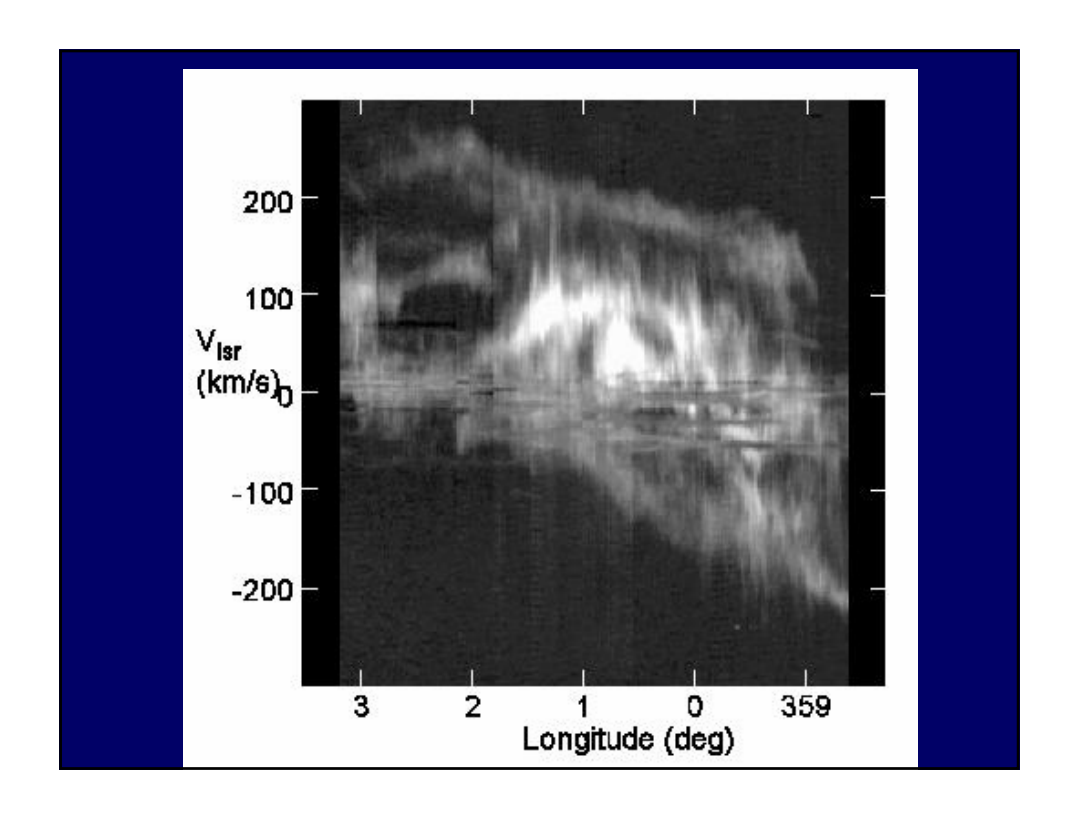


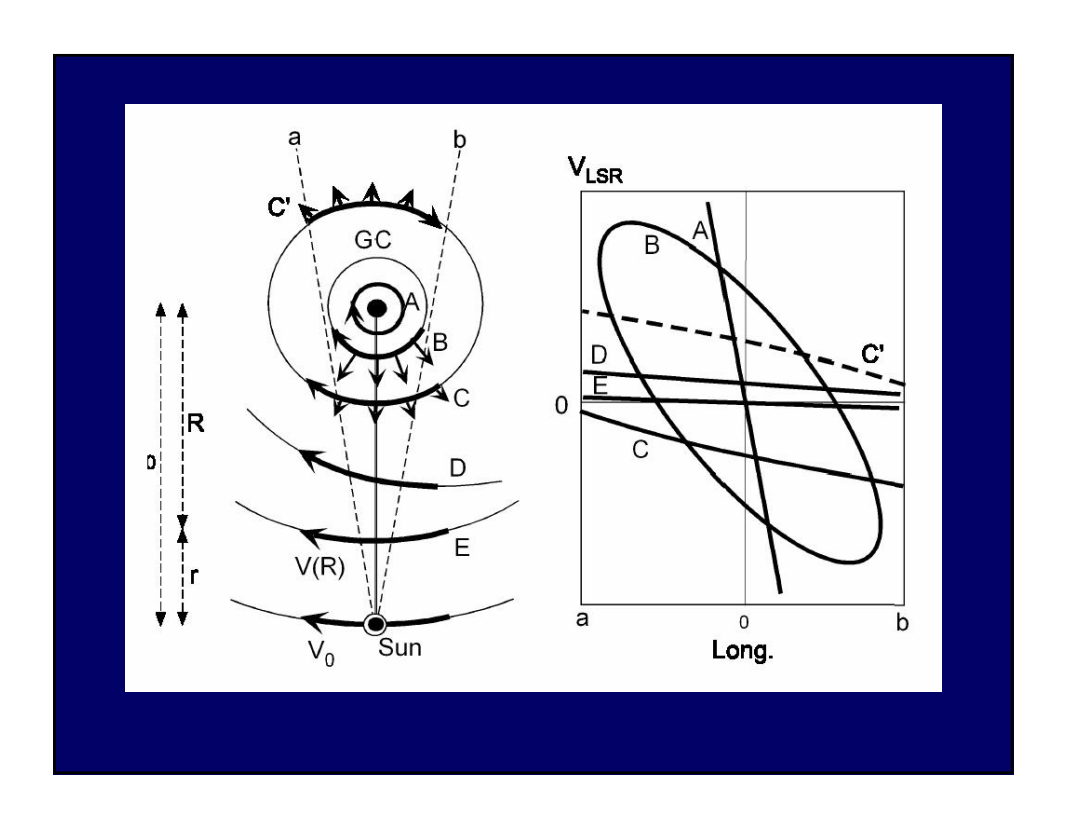










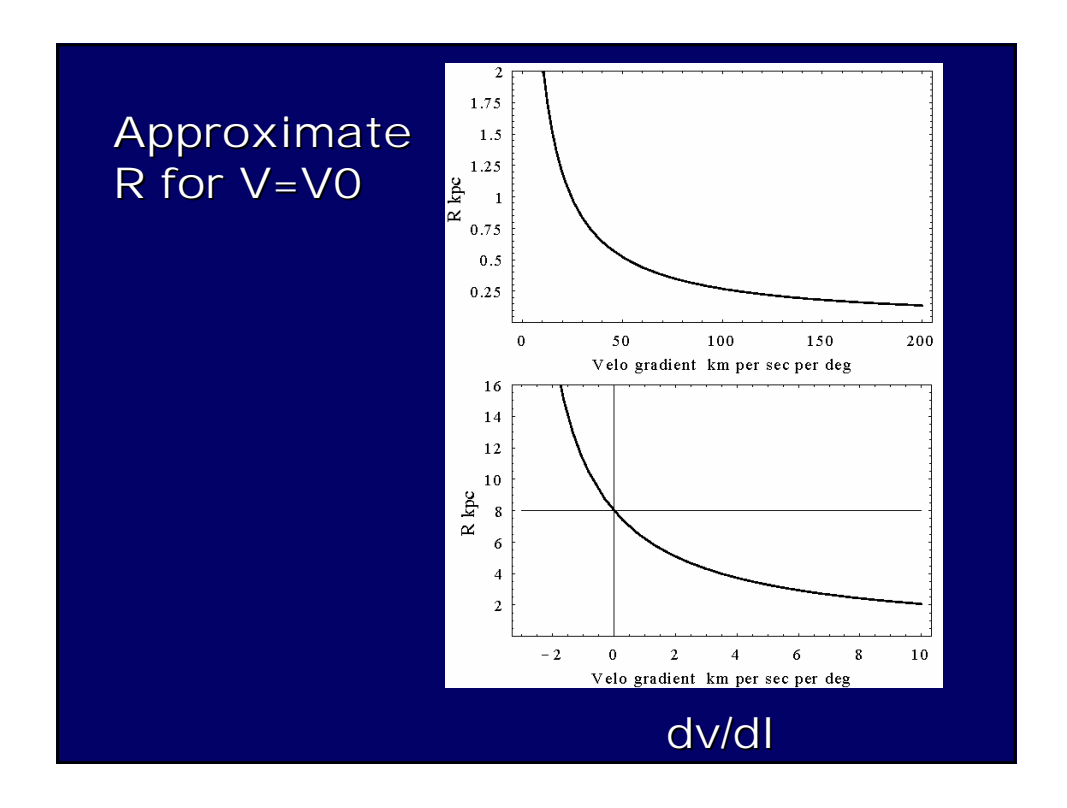


$$v = R_0(\omega - \omega_0)\sin l = \left\{\frac{R_0}{R}V - V_0\right\}\sin l,$$

$$\frac{dv}{dl} = \frac{R_0}{R} (V \cos l + 2Ar \tan p \sin l) - V_0 \cos l,$$

$$R = R_0 \left(V_0 \cos l + \frac{dv}{dl}\right)^{-1} (V \cos l - 2Ar \tan p \sin l).$$

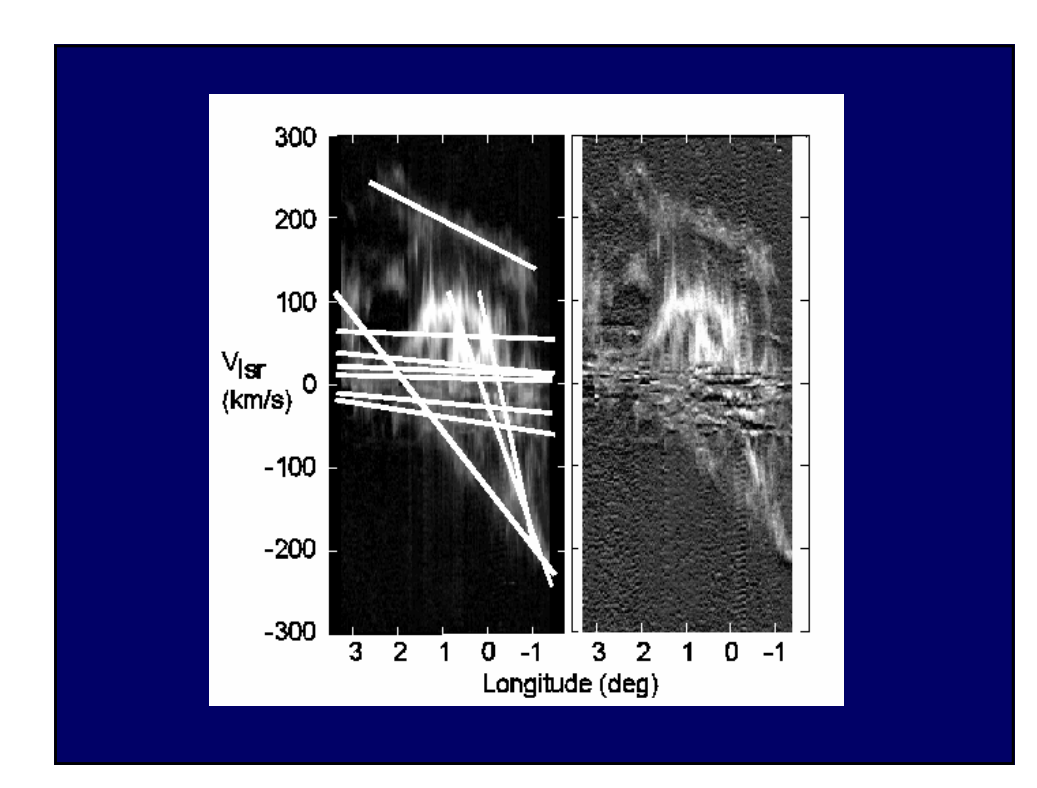
$$R = R_0 \frac{V}{V_0} \left( 1 \pm \frac{1}{V_0} \frac{dv}{dl} \right)^{-1},$$

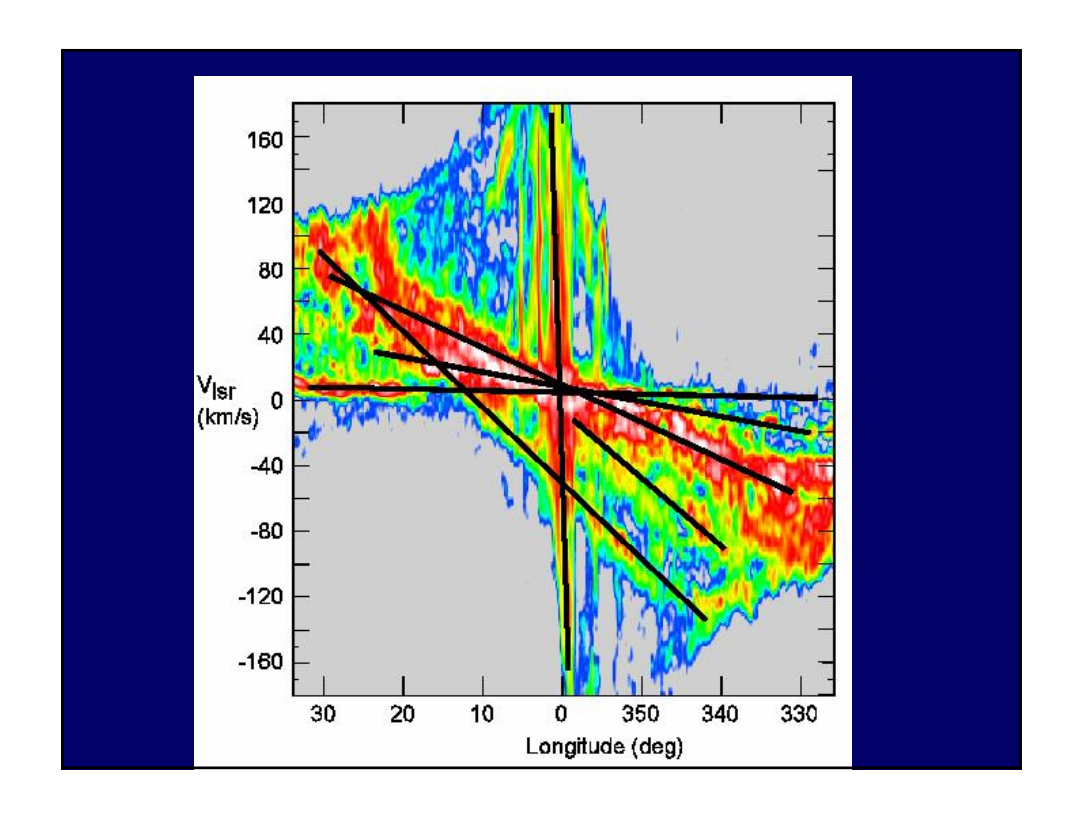


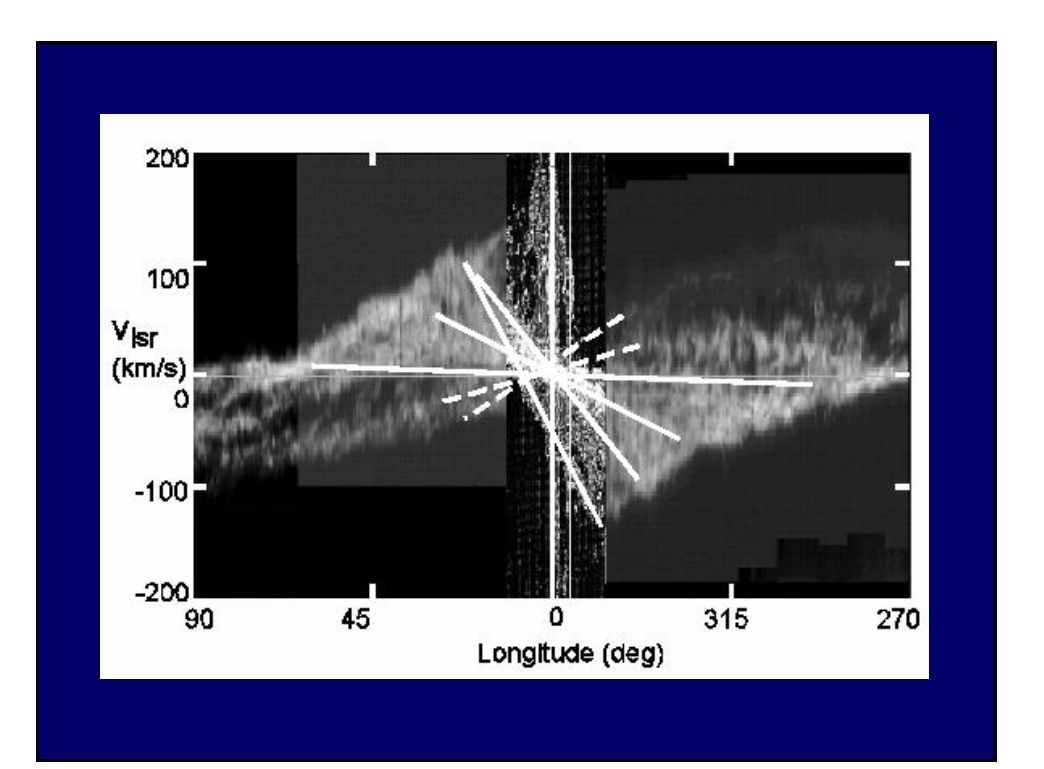
#### Contributions to dv/dl by

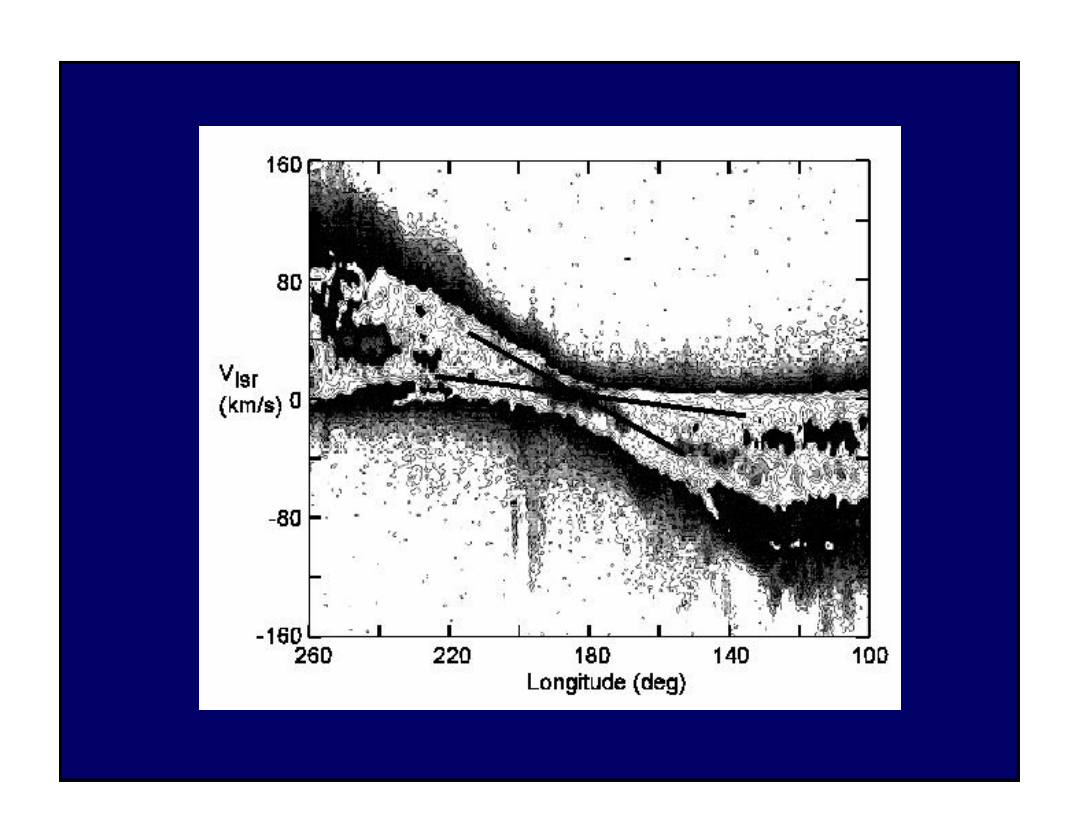
Non-circular motion
Streaming motion
Expanding motion
Contraction
Random motion of clouds

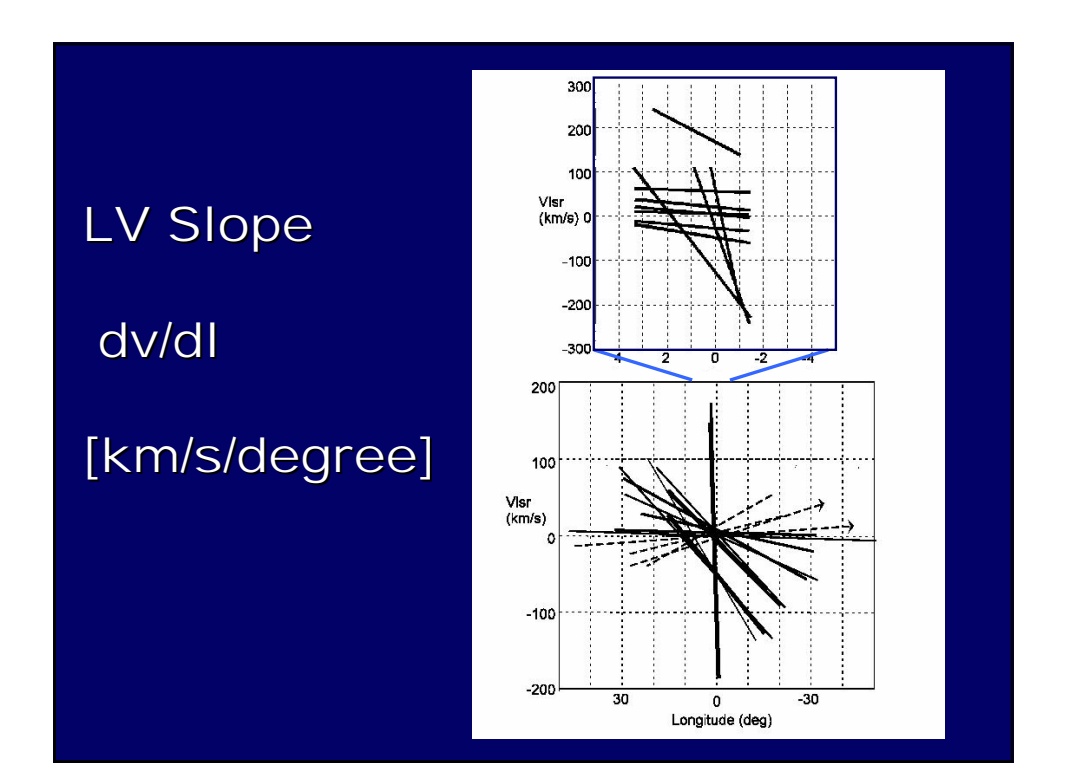
are << |dv/dl | by circular rotation











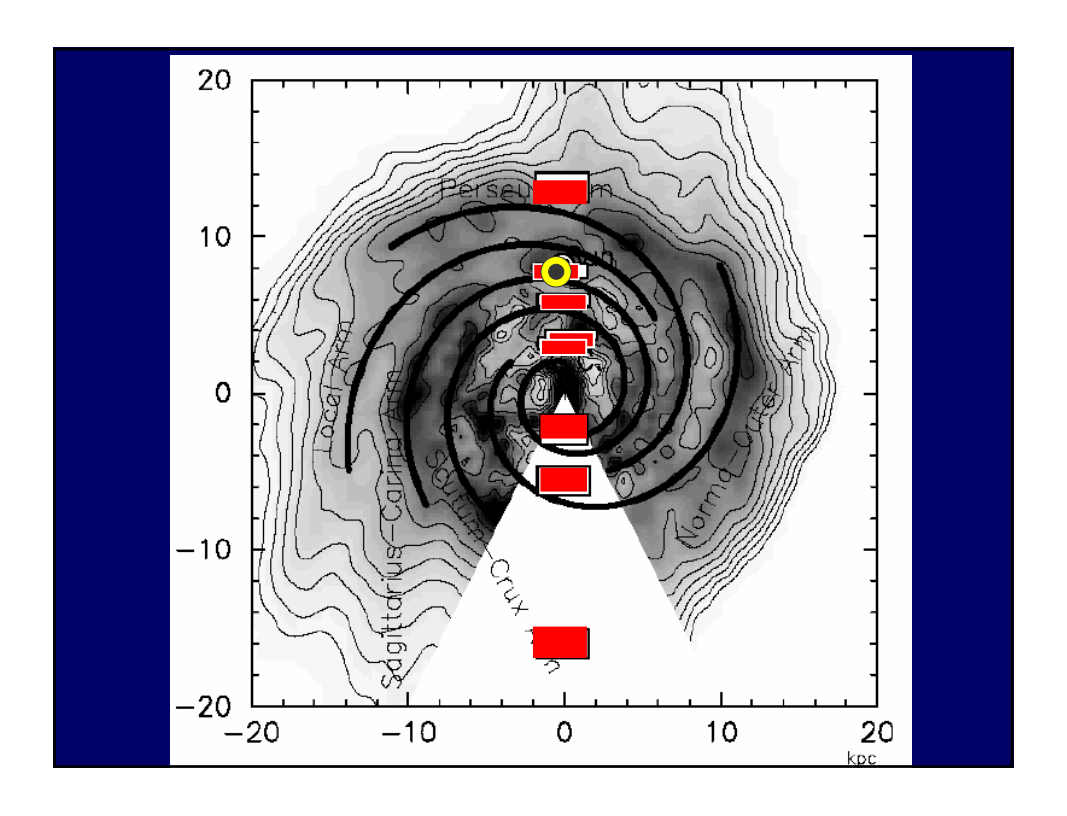
$$R = R_0 rac{V}{V_0} \left(1 \pm rac{1}{V_0} rac{dv}{dl}
ight)^{-1},$$
  $R = R_0 \left(rac{V}{200 {
m km \ s^{-1}}}
ight) \left(1 \pm 0.286 rac{dv}{dl^{\circ}}
ight)^{-1} {
m [kpc]},$  Iteration:  $V = V_0, \ R, \ V = V(R), \ R, \ V = V(R), \ \ldots, \ R \ (final)$ 

# Iteration result

| $\frac{dv/dl^{\circ}}{(\text{km s}^{-1} \text{ deg}^{-1})}$ | $^{\rm radial\ velocity}_{\rm (km\ s^{-1})}$ | $_{(\mathrm{kpc})}^{R}$ | $\begin{array}{c} \text{Iterated } R_i \\ \text{(kpc)} \end{array}$ | $r=8.0-R \ \rm (kpc)$ |
|---|--|-------------------------|---|-----------------------|
| CO LV ridges in figure 6a                                   |  |                         |   |                       |
| 1.4   | 6.5  | 5.7                     | $R_4 = 6.5$   | 2.5                   |
| 2.1   | 15   | 5.0                     | $R_4 = 5.6$   | 2.4                   |
| 5.1   | 21   | 3.3                     | $R_2 = 3.3$   | 4.7                   |
| 4.9   | -27  | 3.3                     | $R_2 = 3.3$   | 4.7                   |
| 8.6   | 47   | 2.3                     | $R_2 = 2.3$   | 5.7                   |
| 2.0   | 57   | 5.1                     | $R_3 = 5.7$   | 2.3                   |
| 152   | -30  | 0.18                    | $R_4 = 0.28$  | 7.72                  |
| 250   | 60   | 0.11                    | $R_5 = 0.15$  | 7.85                  |
| 71  | -131   | 0.37                    | $R_4 = 0.54$  | 7.46                  |
| 2.8   | 170  | 0.89                    | $R_4 = 0.26$  | 7.74                  |
| ${\rm CO}$ and HI LV ridges in figure 6b                    |  |                         |   |                       |
| 0.10  | 4.6  | 7.8                     | $R_1 = 7.8$   | 0.2                   |
| 0.12  | 0.7  | 7.7                     | $R_1 = 7.7$   | 0.3                   |
| 0.89  | 7.5  | 6.4                     | $R_6=7.1$   | 0.9                   |
| 1.82  | 1.2  | 5.3                     | $R_6 = 6.1$   | 1.9                   |
| 2.23  | 8.4  | 4.9                     | $R_3 = 5.4$   | 2.6                   |
| 4.1   | -5.1   | 3.7                     | $R_5 = 3.9$   | 4.1                   |
| 4.4   | 4.0  | 3.5                     | $R_4 = 3.6$   | 4.4                   |
| 4.6   | -52  | 3.5                     | $R_2 = 3.5$   | 4.5                   |
| 4.9   | -50  | 3.3                     | $R_4 = 3.2$   | 4.8                   |
| 6.8   | -49  | 2.7                     | $R_2 = 2.6$   | 5.7                   |
| -1.1  | 4.8  | 11.7                    | $R_8 = 16$  | 8                     |
| -2.31   | 13.0   | 23.6                    | $R_3 = 24$  | 8                     |
| -0.28   | 0.4  | 8.7                     | $R_3 = 8.4$   | 0.6                   |
| -0.88   | 8.3  | 10.7                    | $R_4 = 13.2$  | 2.8                   |

# Arm identification

| Radial velocity<br>$(\text{km s}^{-1})$ | Iterated $R_i$<br>(kpc) | Arm identification $^{\dagger}$        |  |
|---|-------------------------|--|--|
|   |                         |  |  |
| -30                                     | 0.28                    | GC molecular ring: Arm I (Sofue 1995a) |  |
| 60                                      | 0.15                    | GC molecular ring: Arm II              |  |
| -131                                    | 0.54                    | GC expanding ring                      |  |
| 170                                     | 0.54                    | GC expanding ring                      |  |
|   | 0.20                    |  |  |
| -52                                     | 3.5                     |  |  |
| -50                                     | 3.2                     | 3-kpc Expanding ring                   |  |
| -49                                     | 2.6                     |  |  |
| -27                                     | 3.3                     |  |  |
| $-45 \pm 12$                            | $3.1 \pm 0.4$           |  |  |
|   |                         |  |  |
| 47                                      | 2.3                     | Expanding Ring beyond GC               |  |
| 57                                      | 5.7                     |  |  |
|   |                         |  |  |
| -5.1                                    | 3.9                     | 4-kpc molecular ring                   |  |
| 4.0                                     | 3.6                     |  |  |
| 21                                      | 3.3                     |  |  |
| $6.6 \pm 13$                            | $3.6 \pm 0.3$           |  |  |
| 0.0 12 20                               | 0.0 12 0.0              |  |  |
| 8.4                                     | 5.4                     | Scutum-Crux arm                        |  |
| 1.2                                     | 6.1                     |  |  |
| 6.5                                     | 6.5                     |  |  |
| 15                                      | 5.6                     |  |  |
|   |                         |  |  |
| $7.8 \pm 5.6$                           | $5.9 \pm 0.5$           |  |  |
| 7.5                                     | 7.1                     | Sgr-Carina/Local arm                   |  |
| 0.7                                     | 7.7                     | ogi-Carma, bocar arm                   |  |
| 4.6                                     | 7.8                     |  |  |
| 0.4                                     | 8.4                     |  |  |
|   |                         |  |  |
| $3.3 \pm 3.4$                           | $7.75 \pm 0.5$          |  |  |
| 8.3                                     | 13                      | Perseus arm                            |  |
| 8.3                                     | 19                      | reiseus arm                            |  |
| 4.8                                     | 16                      | Outer arm beyond GC                    |  |
| 12.0                                    | 24                      | 0                                      |  |
| 13.0                                    | 24                      | Outermost arm beyond GC                |  |



Discrepancy between known arms and Present arm positions is due to different RCs

#### この論文の評価Referee's comment

It's debatable whether this paper is orthy of publication since the transformation of Galactic <u>rings into</u>

LV lines has been <u>Common knowledge</u> among galactic astronomers <u>for decades</u> and much more general model fits of spiral loops in CO and HI LV diagrams have been carried out by many researchers over the past fifty years. The fitting in the present paper can be considered rather myopic in the sense that it fits only small sections of arms toward the center and anti-center.

Still, since I know of NO Other study that discusses specifically the use of stripe Slopes as distance indicators in directions commonly considered to be the MOST difficult for distance determination, I recommend publication after the discussion of the various effects that can modify the slope of a stripe is made more rigorous.

2006年2月21日 銀河系研究会@NAOJ

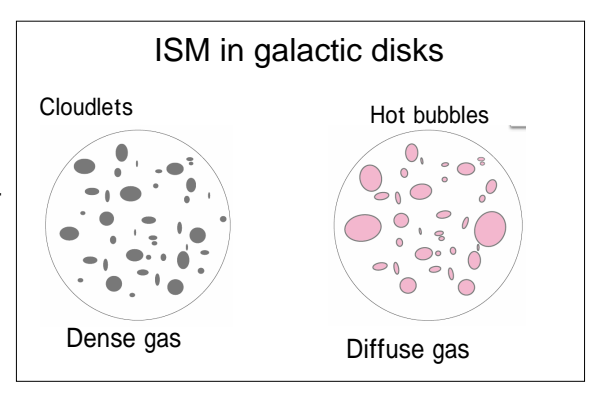
#### 銀河円盤ガス構造の統計的性質

## 和田 桂一国立天文台理論研究部

星形成領域を含むような 星間ガスの大局構造の 基本的性質は?

大局的星形成率(e.g. Schmidt則)は何で決まって いるのか?

実験的に調べてみた。



#### Universal? PDF of the ISM in galaxies

Log-Normal part: Highly inhomogeneous.

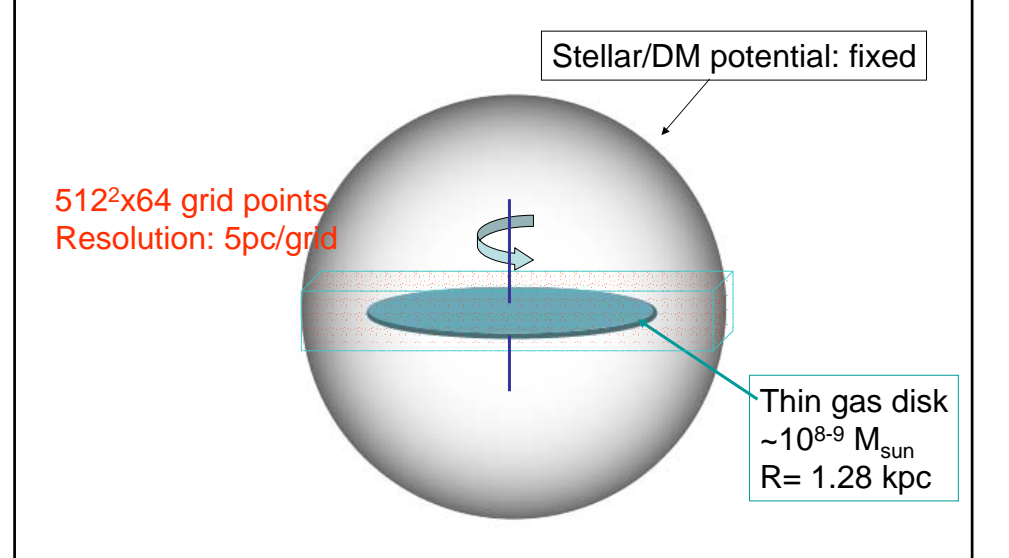
Higher density gases occupy smaller volumes.

<u>Structures of dense gases are not independent of lower density gases.</u>

$$\rho_{i} = \delta_{i-1}\rho_{i-1}$$
 
$$\rho_{n} = \delta_{n}\delta_{n-1}...\delta_{0}\rho_{0}$$
 
$$\delta_{i} : \text{independent events}$$
 
$$\ln(\rho_{n}) \to N(\mu, \sigma^{2})$$
 
$$n \to \infty$$
 
$$\text{Central limit theorem}$$
 
$$S: \text{Smoothed part}$$
 
$$(\text{high-z gas dominated})$$

Globally stable disk → PDF does not evolve

# 3-D Hydrodynamics of a gas disk in a spherical galactic potential



## Evolution/Structure of a galactic gas disk -- 3-D Hydrodynamic Modeling --

Initial conditions and input physics:

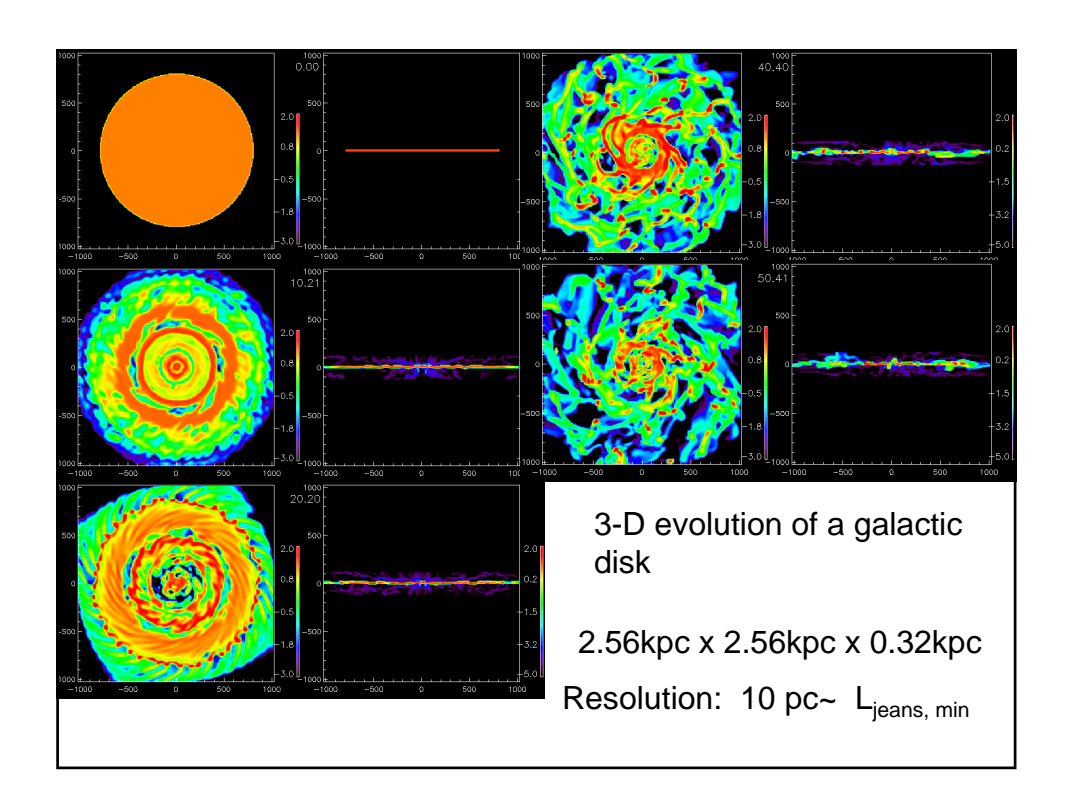
- Rotationally supported, uniform disk in a fixed spherical potential (bulge + supermassive BH)
- Self-gravity of the gas
- A cooling function (10<T< 10<sup>8</sup> K) is assumed.
- Heating sources: uniform UV
  - No Stellar energy feedback

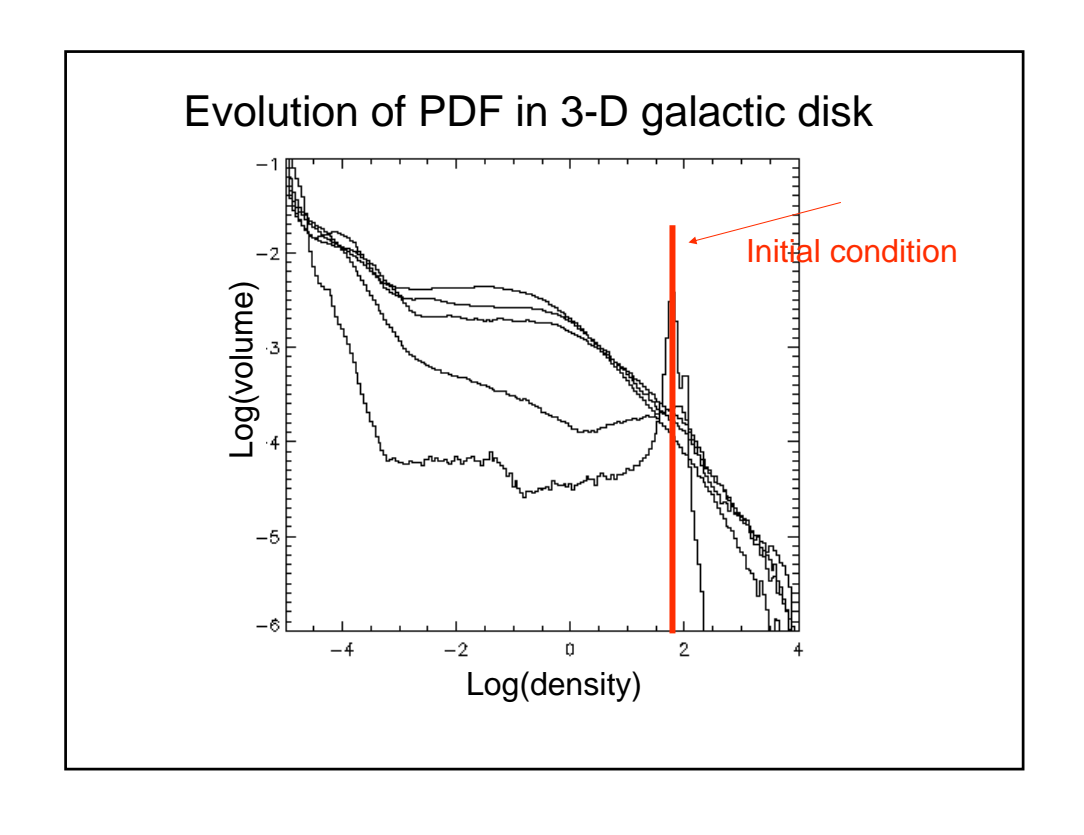
Methods: AUSM w/ uniform grid+ Poisson eq. Solver(FFT)

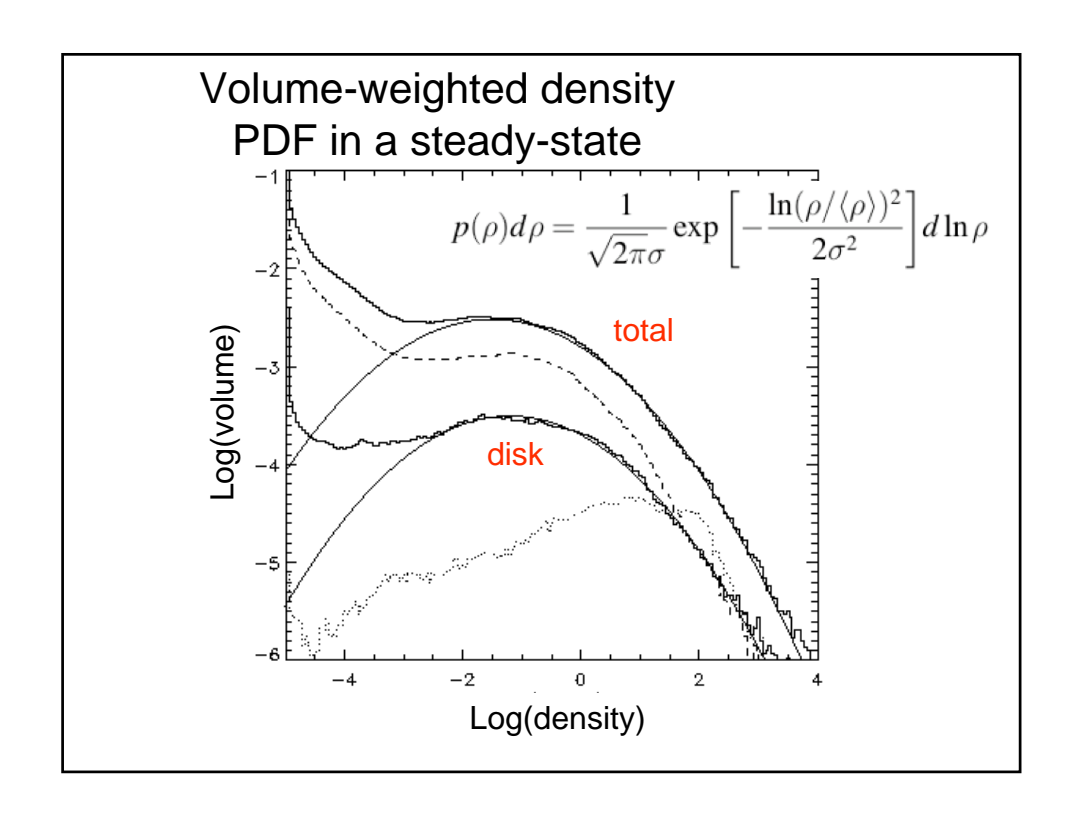
CPU time: ~ 10-200 hours/run

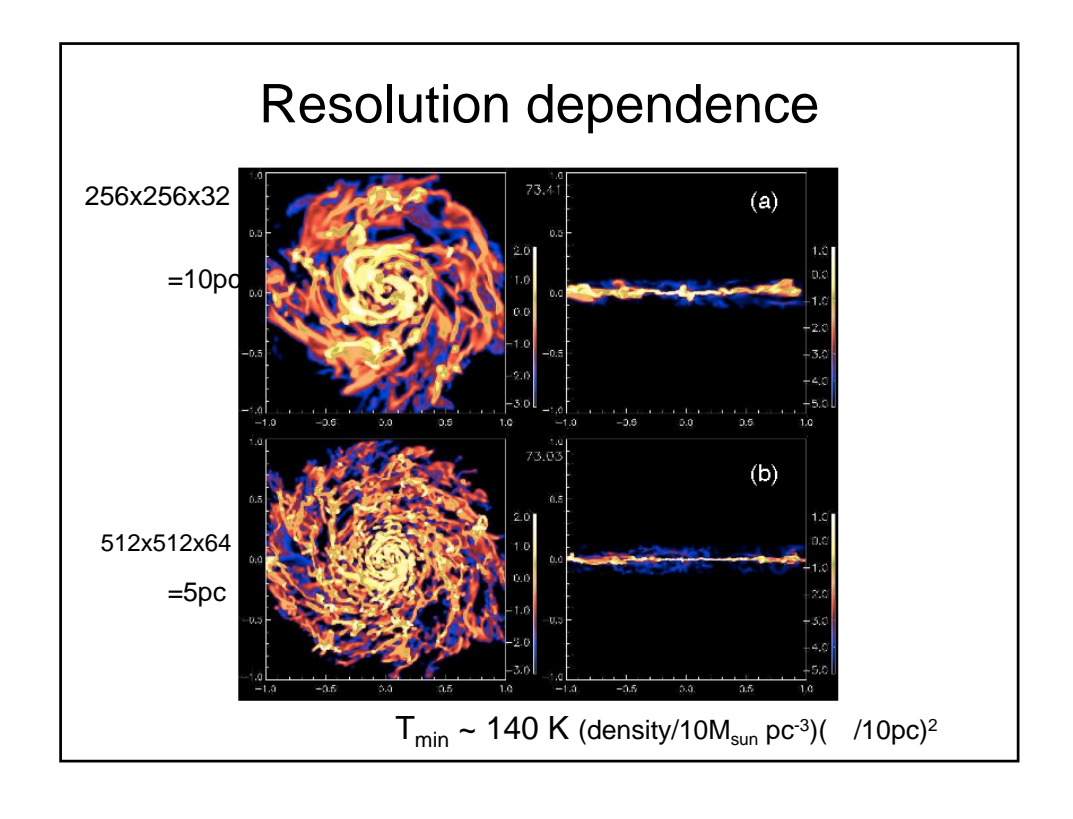
on Fujitsu VPP5000 32 PEs (0.3 TF) in NAOJ

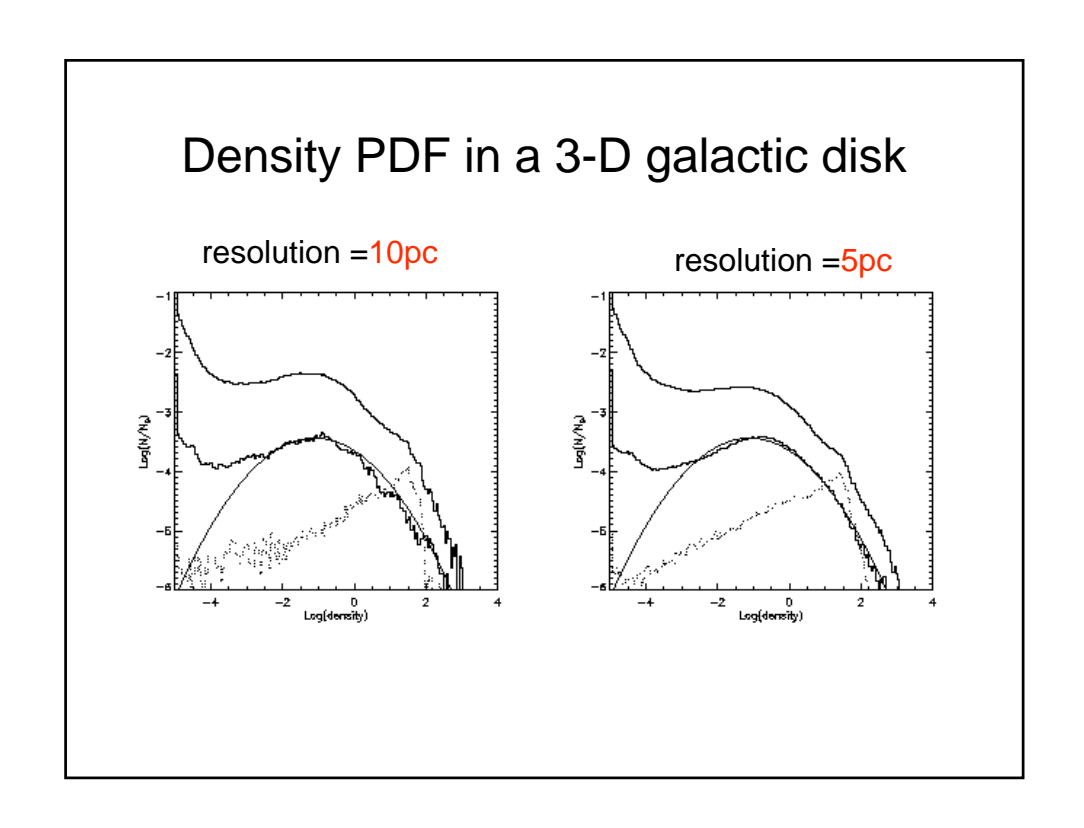
Wada & Norman (2001,2003), Wada (2001), Wada, Meurer, Norman(2002)

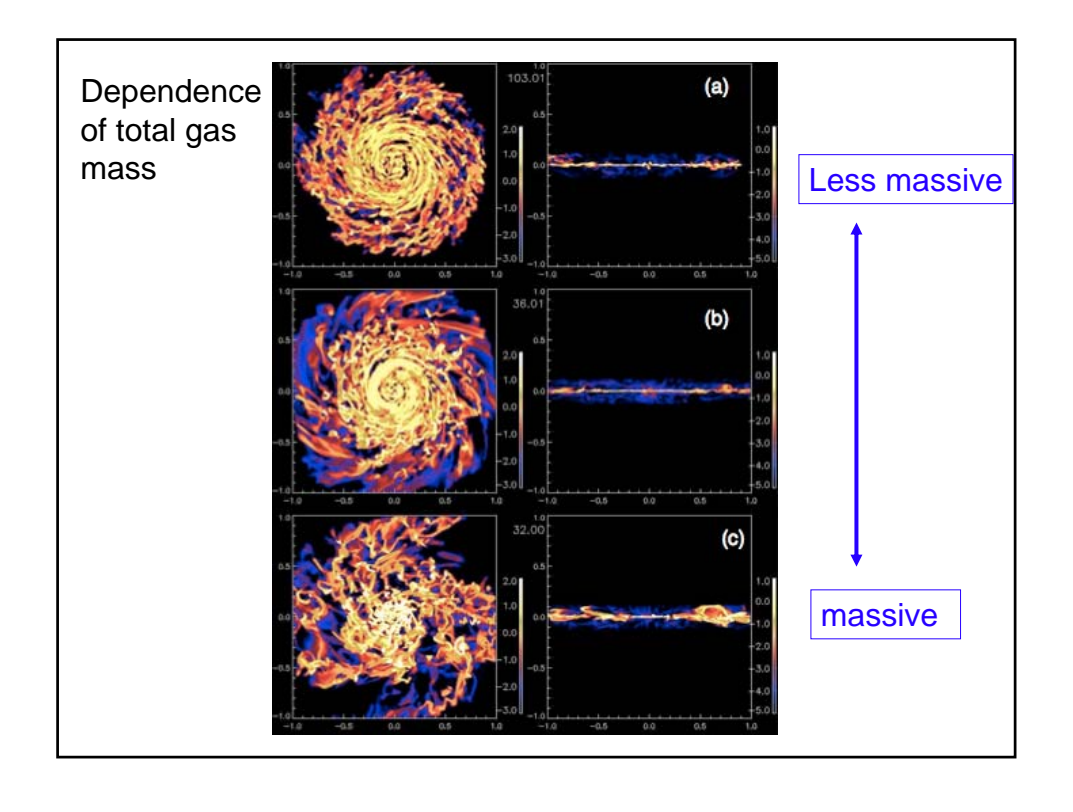






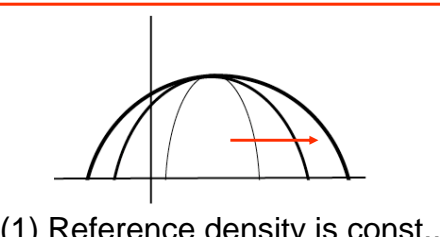




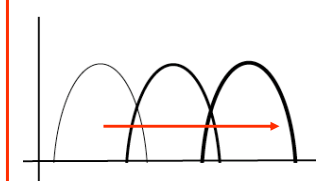


# How is the dispersion in LN-PDF determined?

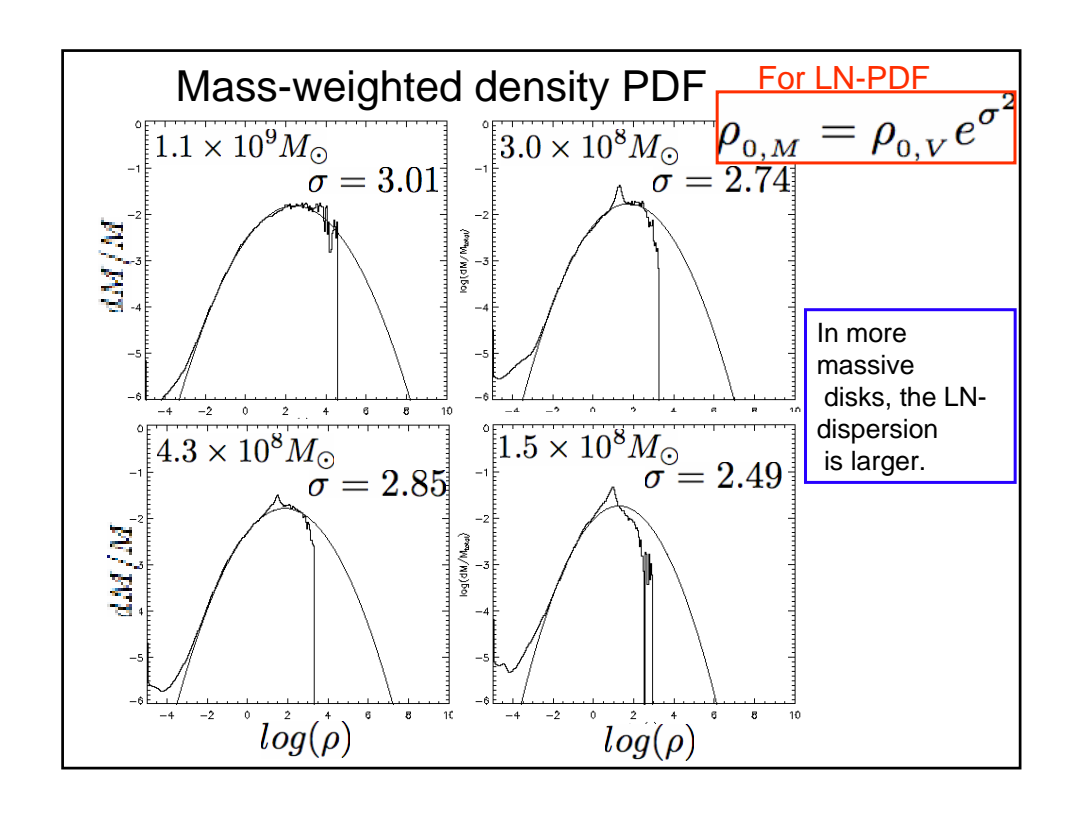
 Suppose LN-PDF, PDF could respond for increasing total gas mass as follows:

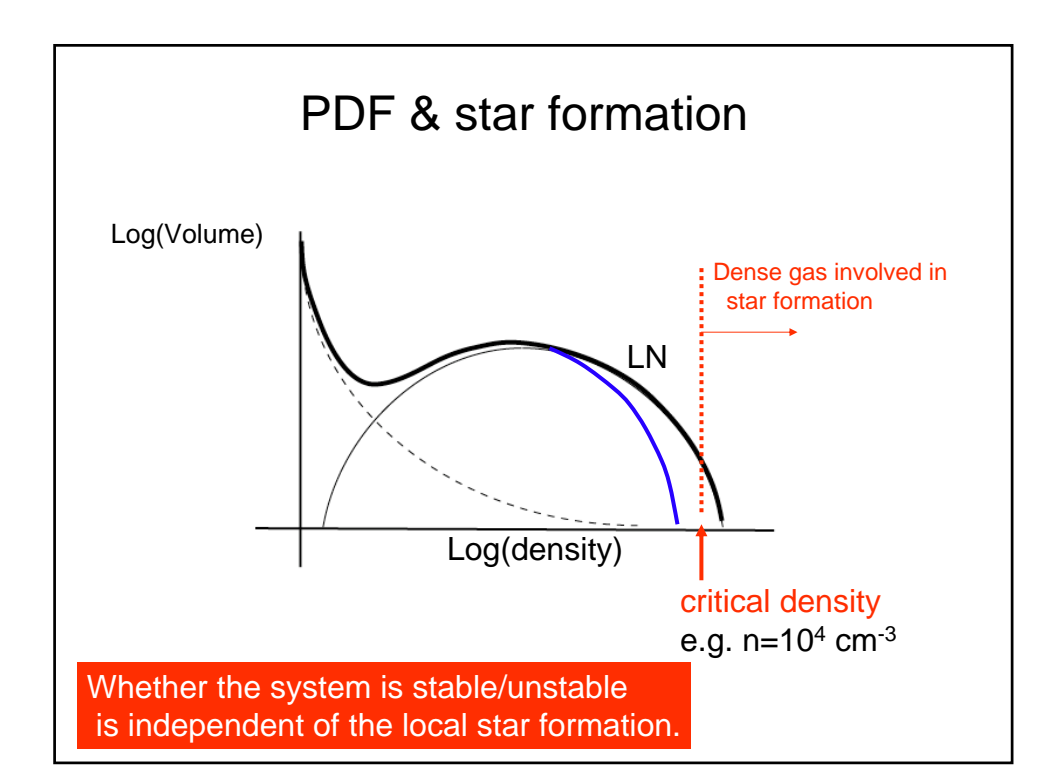


(1) Reference density is const.,& dispersion increases.



(2) Dispersion is the same, & Reference density increases.





## SFR in the ISM characterized by LN-PDF

$$SFR = \epsilon_c (G\rho_c)^{1/2} f_c M_g(\sigma)$$
 efficiency Gas mass 
$$p(\rho) d\rho = \frac{1}{\sqrt{2\pi}\sigma} \exp\left[\begin{array}{cc} \ln(\rho/\langle\rho\rangle)^2 \\ 2\sigma^2 \end{array}\right] d\ln\rho, \quad \text{involving LN pdf}$$

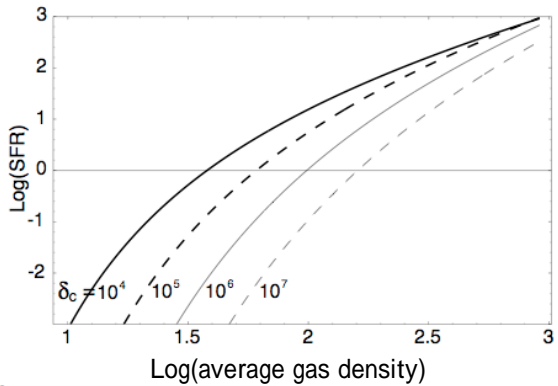
Fraction of gas denser than a critical density:

$$f_c(\delta_c) = \frac{\int_{\ln \delta_c}^{\infty} \delta \exp\left[-\frac{(\ln \delta)^2}{2\sigma^2}\right] d(\ln \delta)}{\int_{-\infty}^{\infty} \delta \exp\left[-\frac{(\ln \delta)^2}{2\sigma^2}\right] d(\ln \delta)}, \qquad \delta_c \equiv \rho_c/\rho_0$$

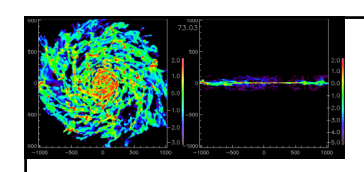
$$= \frac{1}{2} [1 - \operatorname{Erf}[z(\delta_c)]] \qquad z(\delta_c) \equiv \frac{\ln \delta_c - \sigma^2/2}{\sqrt{2}\sigma}$$

# SFR as a function of average gas density based on the LN-pdf model

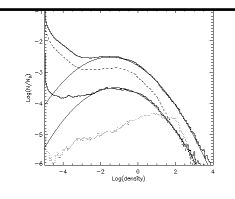
- · Higher SFR for lower critical density
- For higher critical density, SF is more sensitive for increasing gas mass



$$\rho/\rho_i = \xi e^{\frac{\sigma^2}{2}} (1 + Erf[\sigma/\sqrt{2}])$$



### まとめと課題



- kpcスケールでのISM密度の統計的構造
  - Log-Normal PDFで記述できる(物理の詳細によらない。非線形であればよい。 例 SNe)
    - 高密度分子ガスの統計構造は低密度ガスと関係している
    - 大局的星形成率はISMの全体構造とcritical densityが決めている
    - 星形成と銀河円盤の安定性はあまり関係ない
  - Dispersion total gas massの関数
- Universal? Robust?
  - 銀河形成時の星形成率の決定
  - Schmidt則に代わりうるかもしれない(e.g. 銀河形成シミュレーション、sub-grid physics)
- Starburst mode は存在するのか? 観測的検証

## 銀河系最外縁における星間物質と星生成

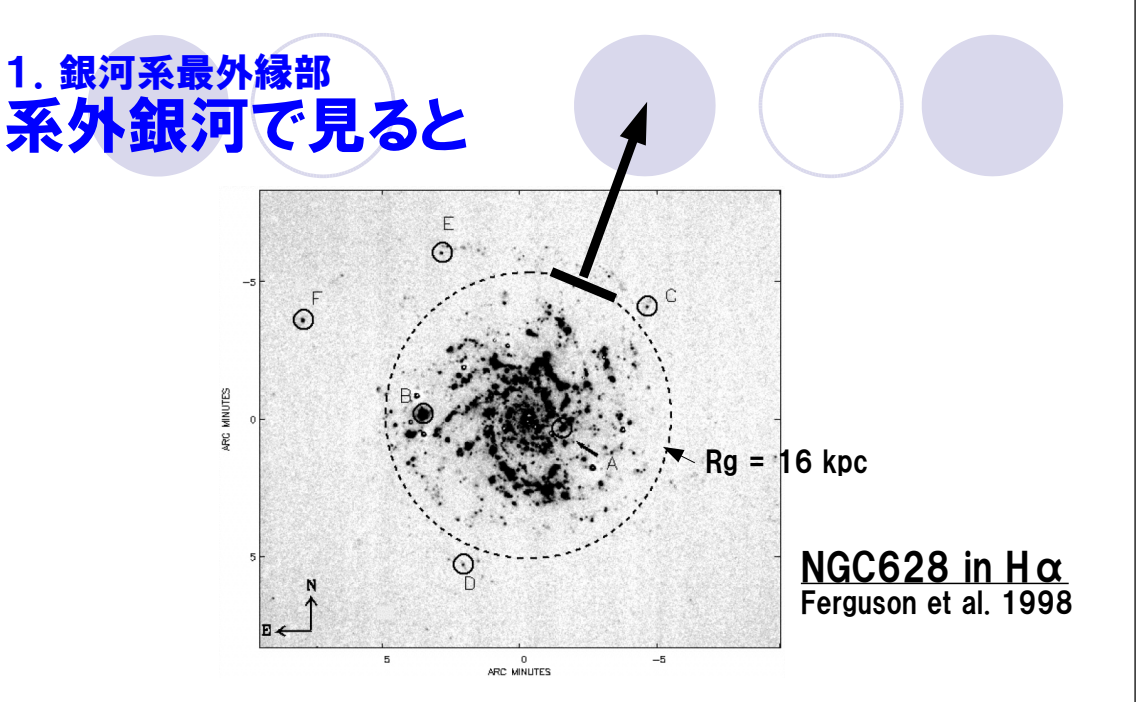
東大天文センター 小林 尚人 安井 千香子

#### 共同研究者

斎藤正雄 (ALMA:国立天文台)、Alan Tokunaga (ハワイ大学)

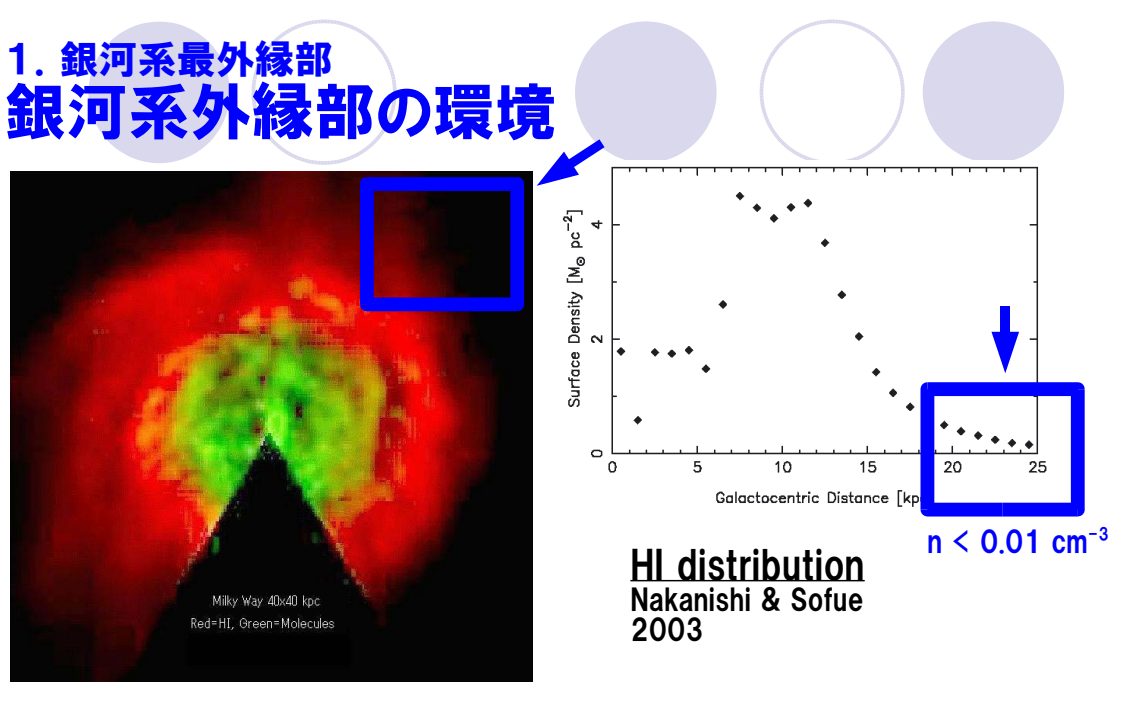
## 内容

- 1. 銀河系最外縁部 現在の理解
- 2. Extreme Outer Galaxy Rg>18kpc 研究の意義 3つ
- 3. Digel Cloud2 best example として
- 4. SNR起源の星生成について how important?
- 5. 今後の展望



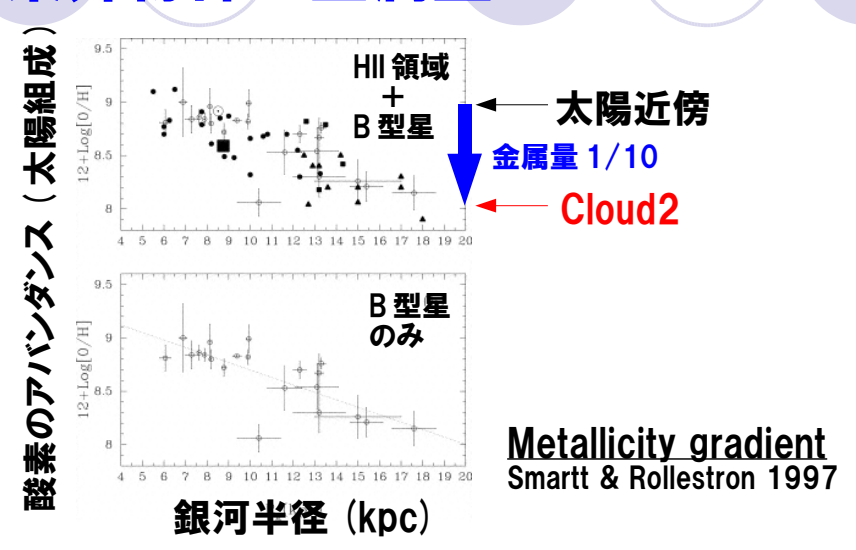
● 星の分布の限界 Rg~18-20 kpc

Digel et al. 1984 and references therein



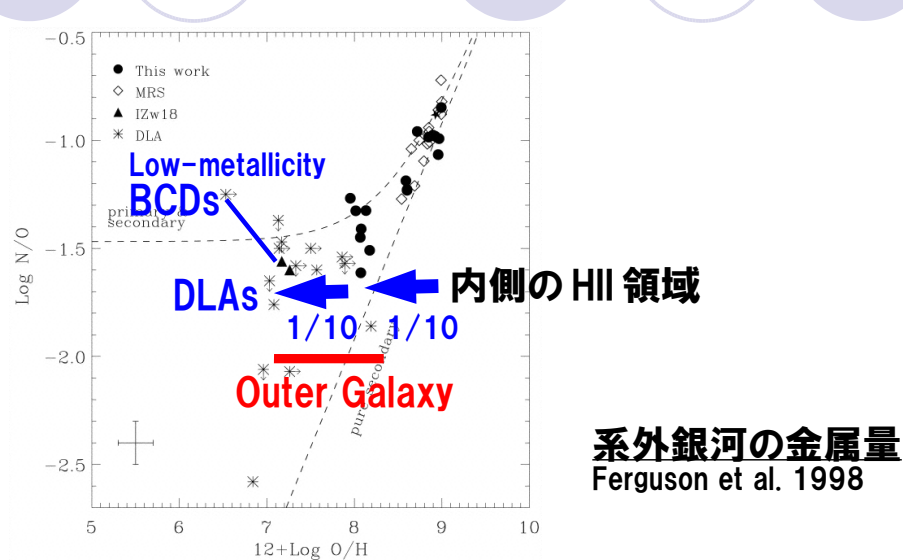
● 低密度、渦状腕による擾乱小(or なし) この点では"始源的"環境

### 1. 銀河系最外縁部 銀河系外縁部の金属量



● Rg > 18 kpc は、金属量が 1/10 solar LMC/SMC など近傍 dlrr と同程度かそれ以下

## 1. 銀河系最外縁部 **系外銀河との金属量の比較**



● より銀河形成期の環境に近い??

「thick disk 形成期(+halo 形成期)」の環境をシミュレートか

#### 1. 銀河系最外縁部

## 最近の10年の進歩

- B型星による分光距離の測定
  - Smartt & Rolleston 1997 に集約
- ■電波・赤外線による星生成領域の探査
  - IRAS ベース Wouterloot et al. 1990 etc.
  - Extreme Outer Galaxy Rg>18kpc の 分子雲 (Digel Clouds) の探査

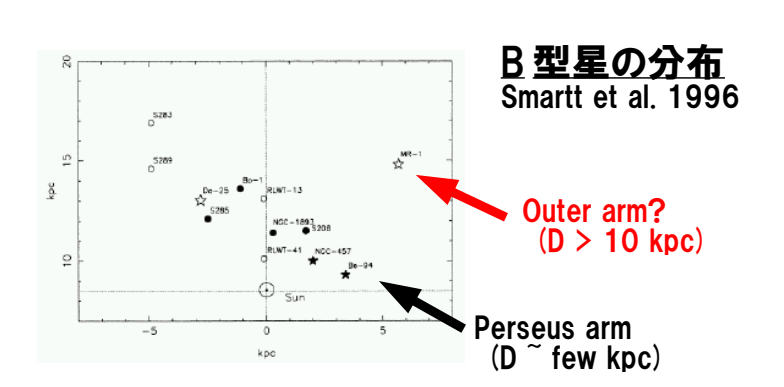
Kobayashi and Tokunaga 2000 (continued)

- 単発的な発見 e.g., Santos et al. 2000
- Outer arm 付近 <u>15<Rg<18kpc</u> の探査 現在もっとも comprehensive

北天 Snell et al. 2002 DRAO (HI) + FCRAO (CO), IRAS+2MASS (K<15)

南天 Nakagawa et al. 2005 Nanten (CO)

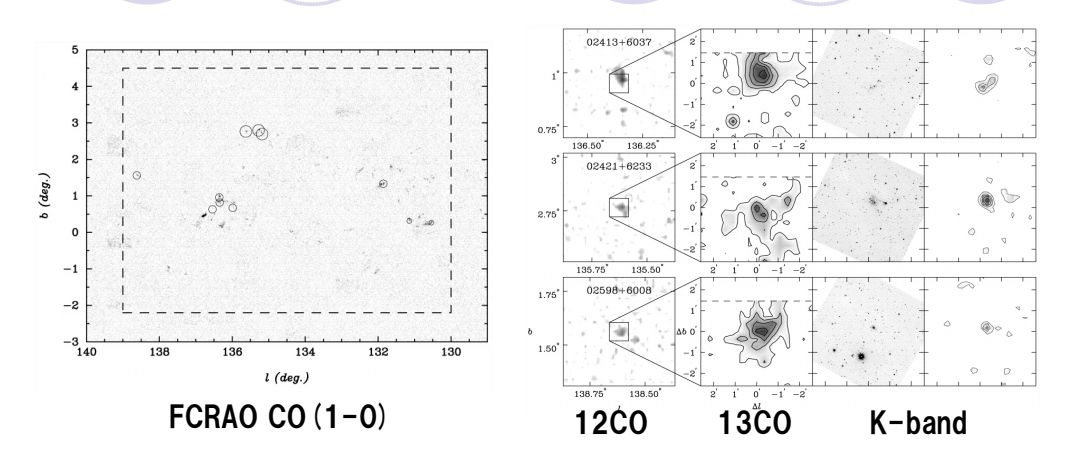
## 1. 銀河系最外縁部 B 型星の分布



● 現時点でもっとも確かな距離測定

ただし、20% 程度の統計誤差 (星のモデルによるシステマティックな誤差はもっと大きい)

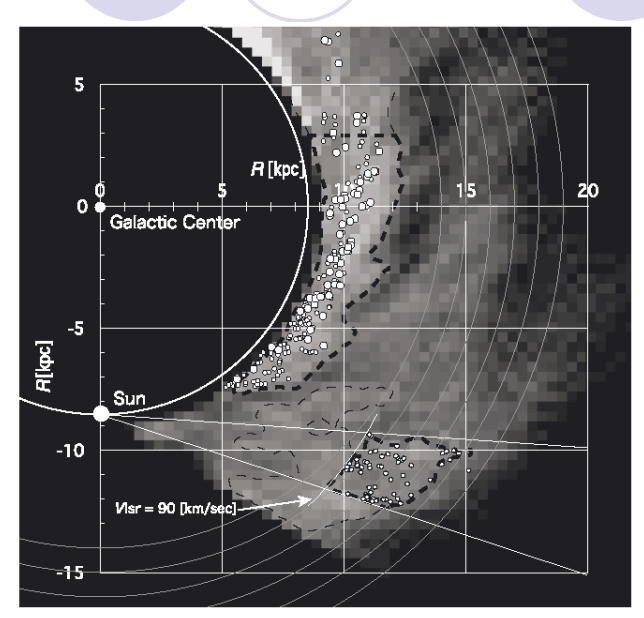
## 1. 銀河系最外縁部 **系統的な星生成領域探査** 電波ベース(北天)



**星生成領域探査** Snell et al. 2002

- Outer arm 付近 (15<Rg<18kpc) では 分子雲からの星生成効率は通常 (~10%)
- 分子雲自体の生成効率が悪いだけ

## 1. 銀河系最外縁部 **系統的な分子雲探査** 電波ベース(南天)



南天の外縁部分子雲探査 Nakagawa et al. 2005

● 低金属量下の分子雲のパラメータ

# 2.Extreme Outer Galaxy (Rg>18Kpc) 研究の意義

- ■Thin disk の外側の構造への知見
  - Outer arm 以遠
- ■星生成研究の理想的実験場
  - Weak (or No?) perturbation from spiral arms
  - SNR triggered star formation
  - No complexity in space and time

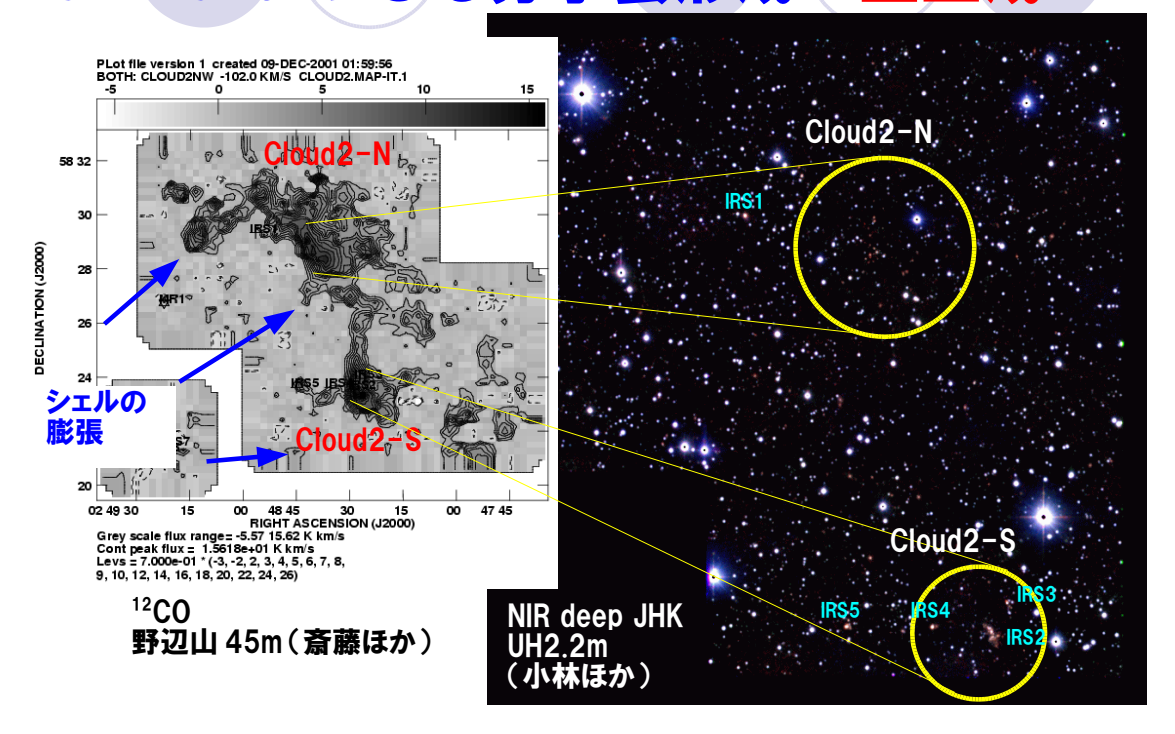
## ■銀河形成期の星生成への示唆

- 低金属量、低密度環境
- 矮小銀河や高赤方偏移 DLA での星生成
- ダークマター dominant な環境での星生成?

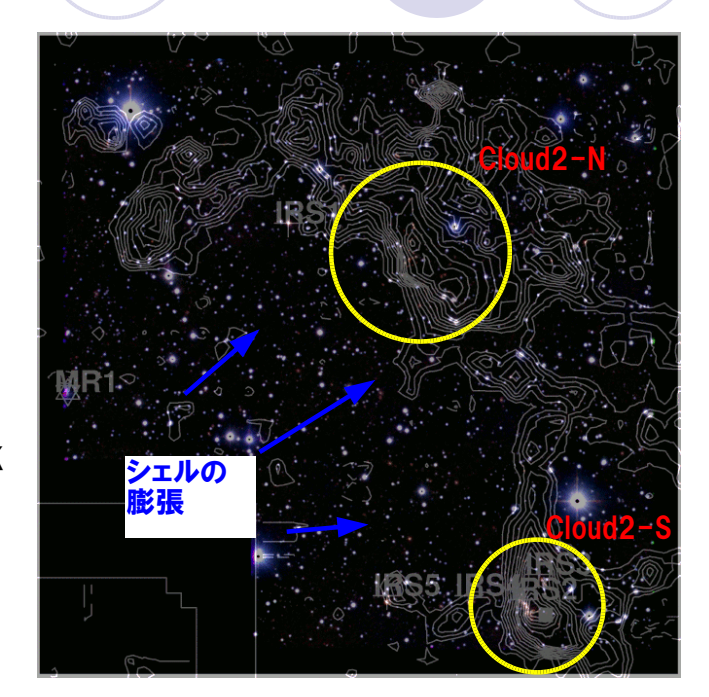
## 3.Cloud2 best example として 歴史的経緯

- Digel による distant HI 雲候補の CO follow-up で発見 Digel et al. 1994
  - 8つの Clouds のうちの一つ GMC M(CO) ~ 4x10<sup>2</sup>4 Msolar
  - Rg~20 kpc (Smartt et al. 1996, Kobayashi and Tokunaga 2000)
  - 金属量 ~1/5 solar (SMC 相当)
- ■星生成の発見 Kobayashi & Tokunaga 2000
  - 赤外線天体 IRS1-7
- 付随していた巨大な SNR の発見 Stil & Irwin 2001
  - r=180 pc (通常 r<100pc), ほぼ完全なかたち
  - 年齢 4.3 Myr (通常 1Myr)
  - Cloud2 が HI Shell に付随
    - → SNR による分子雲形成、および、星生成

## 3. Cloud2 SNR Shell による分子雲形成→星生成



## 3. Cloud2 SNR Shell による分子雲形成→星生成



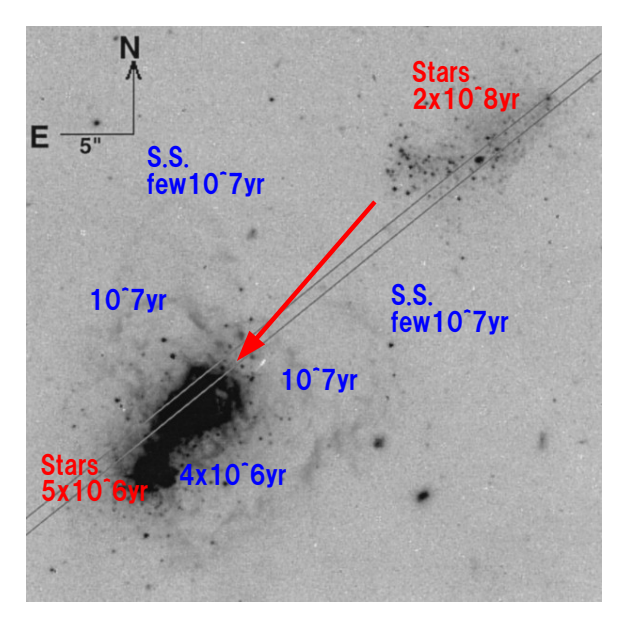
NIR deep JHK UH2.2m (小林ほか)

<sup>12</sup>CO 野辺山 45m (斎藤ほか)

## 4. SNR 起源の星生成について

- Cloud2 はもっとも clear-cut な例
  - SN-triggered star formation の最初の直接的な証拠?
- ■SNR 起源の星生成の重要性
  - 銀河形成期の主要な星生成トリガー
  - 現在の銀河スケールの星生成は2元的 Elmegreen 2002
    Turbulence compression ←→ expanding shell collapse
  - dwarf 銀河(とくに BCD: Blue Compact Dwarfs )では dominant な星生成の原因? IZw18の例
  - spiral 銀河でも実はそうか? M 33の例

## 4.SNR 起源の星生成について BCD (Blue Compact Dwarf) の場合

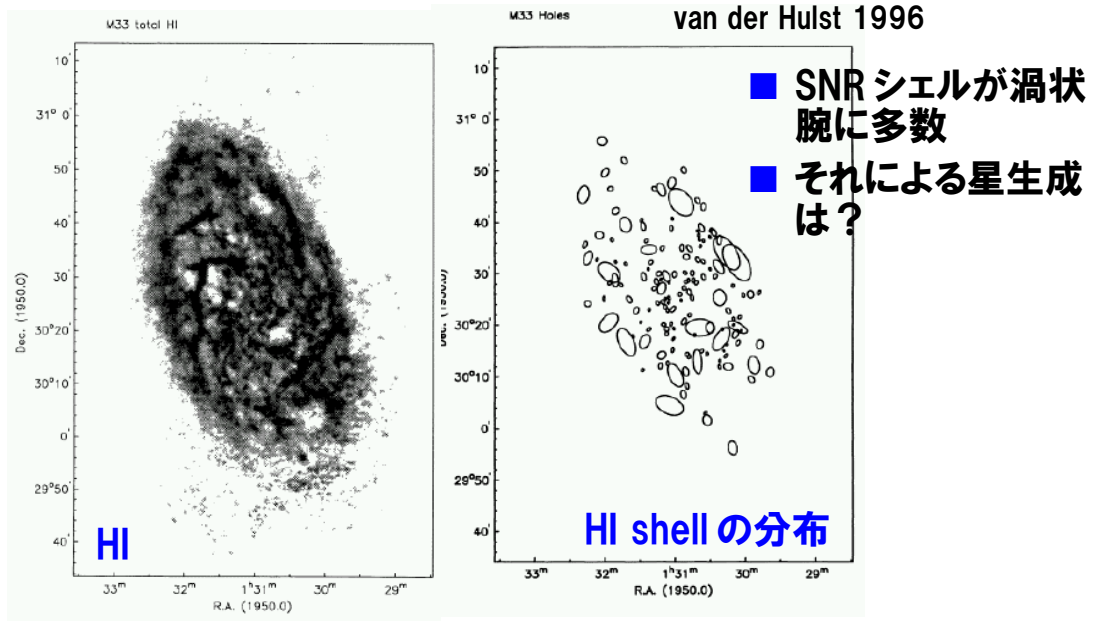


#### <u>| Zw18 における SNR シェル</u> | Dufour et al. 1996 | HST F450W+F555W+F675W

- Super shells (> few kpc)
- 連続した SNR による爆発 的星生成
- シェル dominant な構造
- なお、この天体は低金属量 (1/100 solar)で、銀河 系最外縁の環境に類似?

# 4.SNR 起源の星生成について Disk galaxy の場合

M33 渦状腕における SNR シェル



# 5. 今後の展望(1)

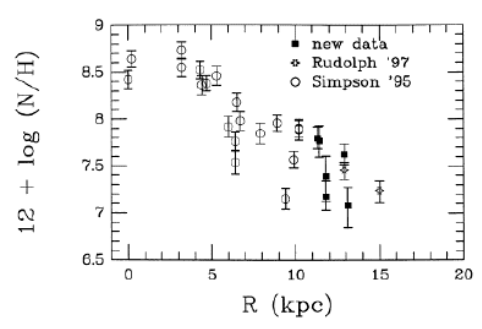
## ■外縁部星生成領域のサーベイ

- Outer arm 付近 (15 < Rg <18 kpc) の分子雲サーベイ Snell et al., Nakagawa et al. の赤外線 follow-up
- 新たな Extreme Outer Galaxy (Rg>18kpc) の 高感度分子雲サーベイができないか??
  - # 今は古い Digel 分子雲サーベイの赤外線 follow-up をわれわれのグループがすすめているのみ
    - → Cloud2 以外のいくつかの雲でもSNR 起源の分子雲/星生成の兆候あり

## 5. 今後の展望(2)



- 可視分光による手法 (HII 領域、星)が広く使われてきた
- 申間/遠赤外の原子禁制輝線を使う手法( HII 領域 ) [OIII] 52,88um, [NIII] 57um, [SIII] 19um 他多数
  - → Spitzer, SPICA 等に期待 //



KAO による abundance curve Fich et al. 1999

Figure 1. Nitrogen abundances versus galactocentric distances.

# 5. 今後の展望(3)



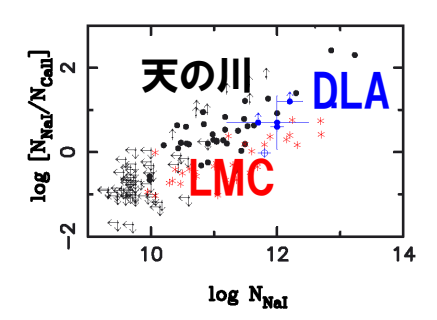
- 近赤外による深撮像、分光など多岐にわたる観測
- 理論の重要性 太陽 metallicity 下の星生成理論



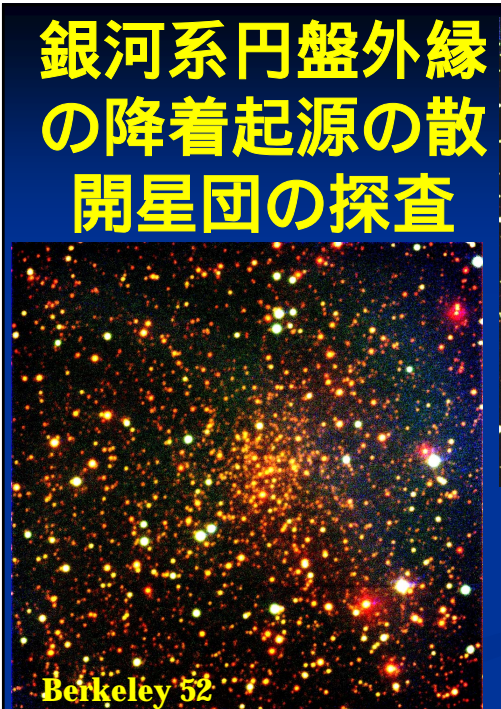
# 5. 今後の展望(4)



- H<sub>2</sub>/CO ratio (e.g., Nakagawa et al. 2005)
- ダストの性質、ダスト形成、ダストディスク形成 形成中の銀河でのダスト生成への示唆



High-z DLA における ダスト吸着 Kondo et al. 2006





長谷川隆県立ぐんま天文台

## 前口上

- そもそもは....
  - >「観測研究講座(2000年度)」の題材
    - ぐんま天文台普及事業の一つ
    - 65cm望遠鏡 & CCDカメラ測光観測
    - 研究(答えがないテーマ)であること とりあえず、散開星団の測光

観測

- 〈わし〈は.....
  - > 天文月報2005年9月号参照
- ちなみに.....H18の天文学校では
  - > ヒヤデス星団の固有運動の測定



## 目的

- 1. 球状星団と散開星団の中間の性質の星団はどのくらいあるか
- 2. 銀河円盤の金属量勾配
- 3. 降着起源の星団の探査

## 中間の性質の星団

• 銀河系の散開星団と球状星団の性質(教科書)

|           | 散開星団            | 球状星団             |
|-----------|-----------------|------------------|
| 年齡        | 0.01 ~ 0.1 Gyr  | ~ 13 Gyr         |
| メンバー星数    | 100~1000        | $10^4 \sim 10^6$ |
| 分布        | 銀河円盤上           | ハロー              |
| 金属量[Fe/H] | $-1.0 \sim 0.2$ | $-2.3 \sim +0.2$ |

- 性質は対照的だが、中間の性質の星団も確かにある
  - > 非常に古い散開星団 (8~10 Gyr)
    - NGC6791, Lynga 7, Collinder 261, Berkeley 17, NGC 188
  - > Cyg OB2 10<sup>4</sup>M
  - > Populous cluster (Magellanic clouds)

## 古い散開星団 (1)

- Friel の先駆的な論文 (1995)
  - > 0.6 Gyrより古い星団 73星団
    - Hyades星団 ~ 0.6 Gyr
    - GMCにより散逸される時定数 ~ 0.2 Gyr (Spitzer 1958)
  - > 1 Gyrより古い星団

40星団

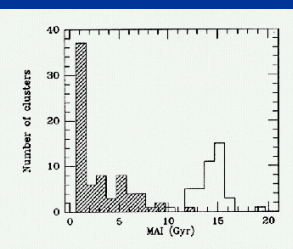
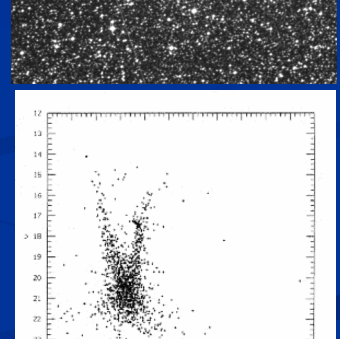


Figure 5 Histogram of number of clusters as a function of morphological age index MAI, after Janes & Phelps (1994), but with the additional data of Table 1. Open clusters are shown by the cross hatched regions. Globular clusters are shown by the unfilled histogram.

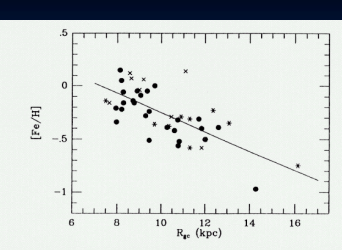


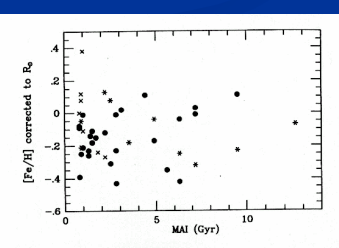
Lynga 7

## Fig. 5. Deep V vs. (V-I) CMD of central extraction in Lyngå 7. Some bright stars are missing relative to Fig. 2a because of saturation effects and extraction differences

## 古い散開星団(2)

- 動系分布
  - > r<sub>GC</sub> 7.5 kpc には古い星団がない
  - > 最遠はr<sub>GC</sub> ~19 kpc (Berkeley 29)
- scale height
  - > 若い星団 ~ 50 pc
  - > 古い星団 ~350 pc cf. thin disk 300 pc
- 金属量勾配
  - > smooth gradient -0.07 dex kpc<sup>-1</sup> (Friel 1995)
  - > 10 kpc break (Twarog, 1997)
    - B型星、PN、HII領域などでも両方の 解釈が可能か
- 年齢金属量関係 なし





ure 8. Relationship of metallicity [Fe/H] as a function of age, as measured by the mo indicator MAI for clusters with metallicities in Table 1. The [Fe/H] values have bee the radial abundance gradient and pormalized to the abundance they would have is solar Galactocentric distance of \$3.5 kpc. Symbols as in Figure 7.

### 観測対象の選択基準

- Lynga(1987)のカタログから対象を選択
- Trumpler's morphological parameterを利用
  - > Frielのサンプルの分布を見てみると
    - detachment 集中度が高い
    - richness メンバー数が多い
    - contrast 明るさのコントラストが低い

古い星団の(~生き残りやすい)特徴

Table 2. The distribution of morphological parameter of F95 sample given in COCD.

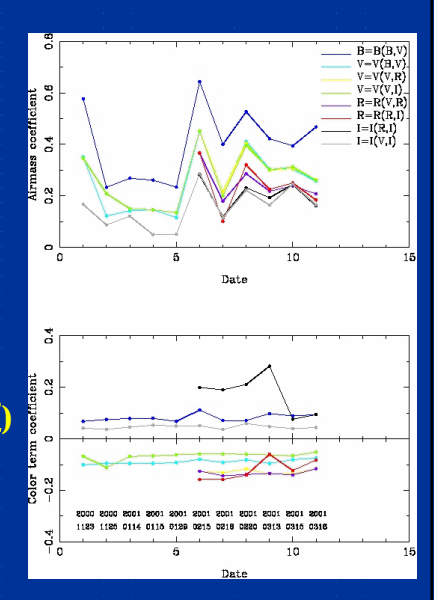
| Detachment |   | [   |   |    | 11 |   |   | .[[[ |    |   | į۷ |   |
|------------|---|-----|---|----|----|---|---|------|----|---|----|---|
| Contrast   | 1 | . 2 | 3 | 1  | 2  | 3 | 1 | 2    | 3  | 1 | 2  | 3 |
|            |   |     |   |    |    | _ |   | _    |    |   |    |   |
| Rächmess p | 1 | 1   | 0 | ı. | 1  | 0 | 0 | 0    | 0  | 2 | 0  | 0 |
| ,1         | 5 | -6  | Í | 2  | 7  | 1 | 0 | Ð,   | 0  | 0 | 0  | 0 |
| Di         | 4 | 7   | 1 | 4  | 10 | 1 | 3 | 2    | 0. | 0 | 2  | 0 |

## 観測対象

- 形態パラメーターで選んだ星団の他に、Collinder 261など 重要な星団が含まれるカタログはDSS上でチェックして追加
- 総計 約100個 (b > -20°に限定すると70個)
- 現在 33個 (約半数) + 17個 (2005-06 season)
  - > 傾向は見えてもまだ完全サンブルではない
    - そもそも Lynga / WEBDA も不完全だが
  - > まだまだ太陽近傍でしかない
  - > 重要な天体や、形成過程などのヒントを指摘する段階
    - 距離
    - 金属量
    - \_ infall

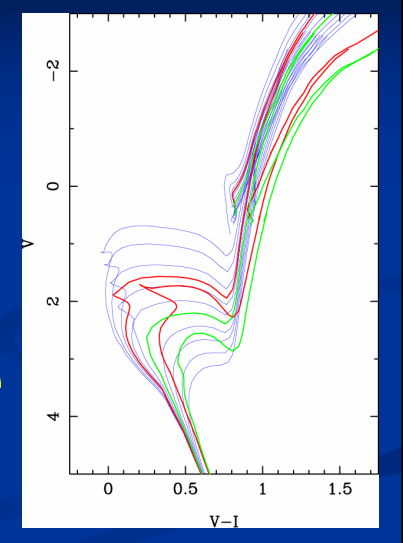
## 観測

- 望遠鏡 ぐんま天文台65cm
- カメラ AP7(空冷) / AP8(水冷)
  - $> 512^2(AP7), 1024^2(AP8)$
  - > SITe: 24 micron
  - > Pix scale: 0".63
  - > FOV: 5.1'(AP7), 10.3'(AP8)
  - > Typical seeing: 1.5" ~ 2" (I-band)
  - > blue sensitized
  - > UV enhanced coating (AP7)
- 温度 -60 (冬) ~ -40 (夏)
- フィルター B、V、I(Bessel)
- 限界等級 B20.5 V20.0 I19.5 (Exp. 1時間、SN~10)
- 測光係数 2000/04/05シーズン
- 途中から2MASSも利用



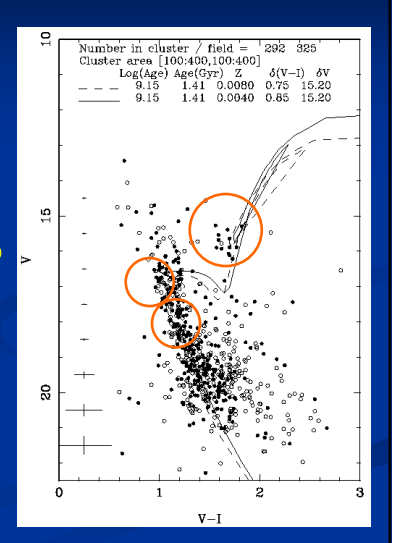
## 色等級図(等時曲線)のふるまい

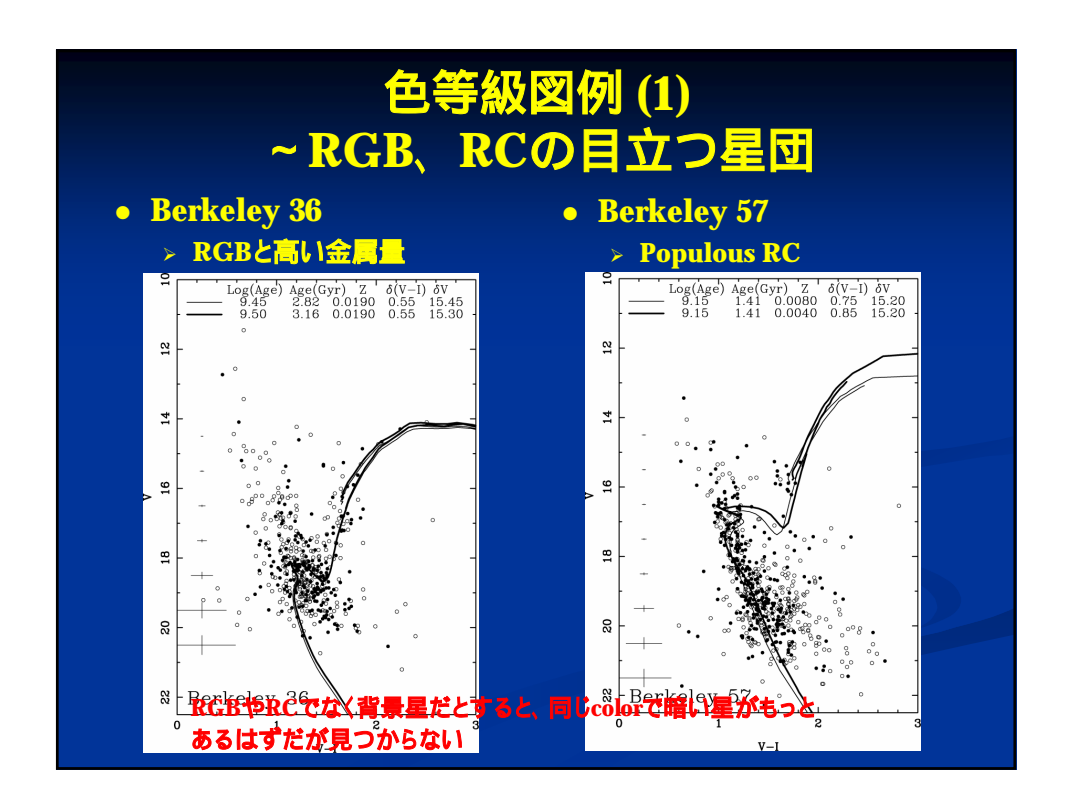
- MS (中心 H 燃焼段階)
  - > TOに年齢依存性
  - > 曲率に金属量依存性
- RGB (殼 H 燃焼段階)
  - > 曲率に金属量依存性
- RC: 明るさがほぼ一定
  - > 中心 He 燃焼段階、第二の安定期
  - > 等級、色が年齢、金属量によらない
    - RCが多い星団は20~30億年
    - 本当に古い星団はむしろRCはみえない
    - Subgiantが見えたら 4 Gyr
  - > Mass-loss deconcentration
- 概算
  - $\rightarrow$  年齡  $V = (V_{RC} V_{MSTO})$
  - > 金属量 (V-I) RC/MSTON MS/RGB 曲率

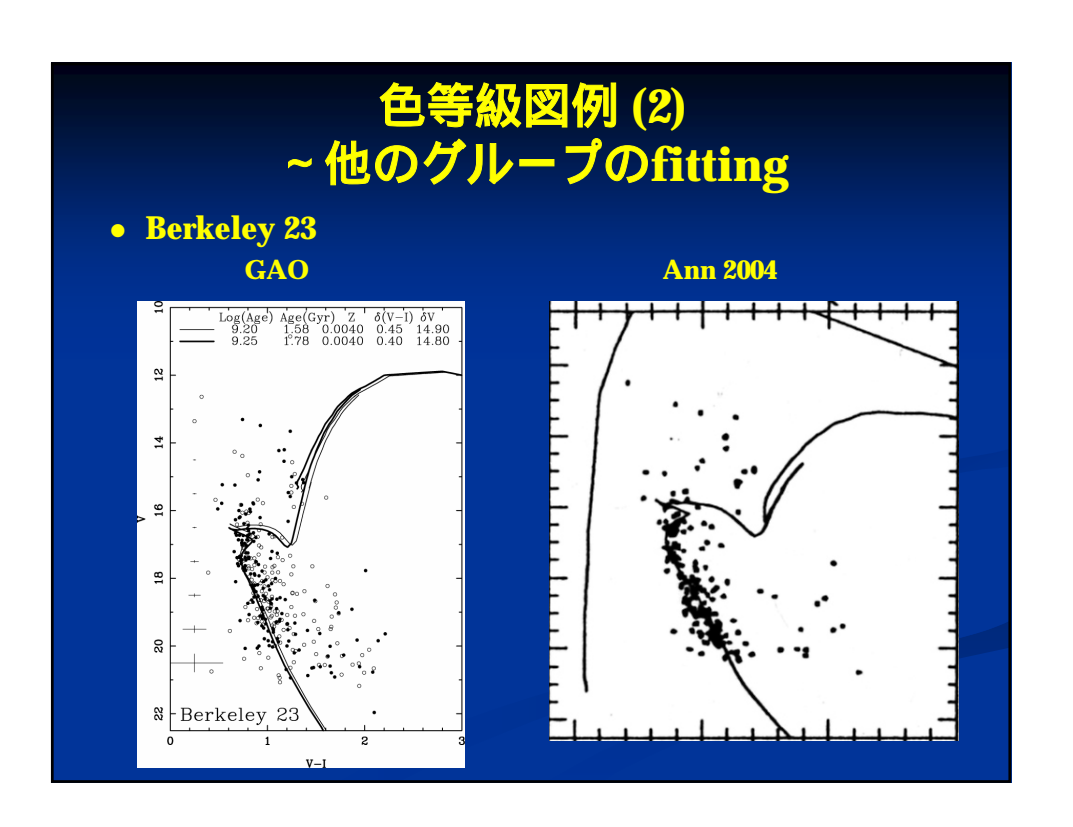


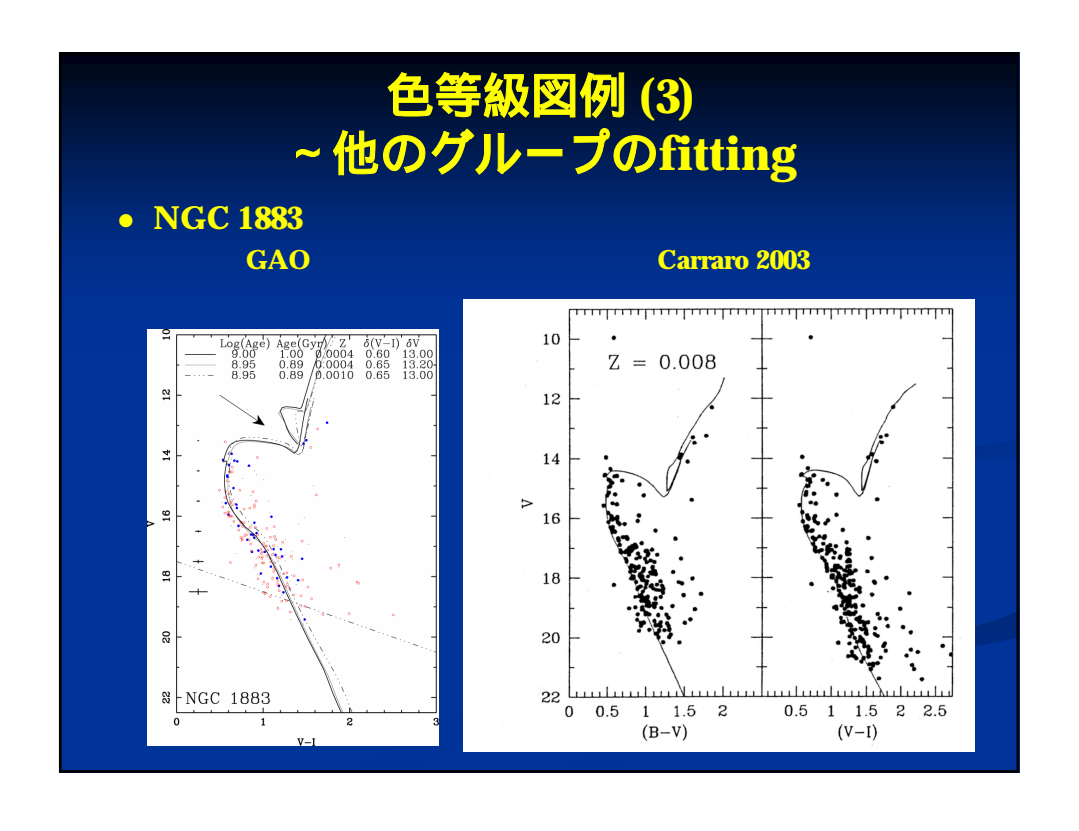
## 年齢、金属量、距離推定の方法

- Isochrone fitting
  - > Padova group
    - Bertelli 1994; Giraldi 2000
    - RC / AGB phase が利用可能
  - > 概算を確認、定量的に精密な推定へ
- 年齢の精度 = ~ 0.1
  - > Equivalent Evolutionary Pointあてはめ
  - > convective overshootingの影響を 入れないと年齢を underestimate
- 金属量の精度 = ~0.3 dex
  - > Padova metallicity grid 1 step
  - > 分光金属量と30% Gratton (2000)
- 距離精度
  - > カラー 吸収量  $A_V = 4.3 E(V-I)$
  - > 典型的に15%、まれに30%









## 結果(1) ~ 年齡分布

- 球状星団相当の年齢の星団なし
  - > Friel の結果は convective overshootを考慮しない Vで 年齢を求めており、20~40億年の 星団で古〈評価される
- 32/33 はヒヤデスかそれより 古い
- 1~4 Gyr の星団数は倍増
- 星団形成が有意に卓越した 時期は?

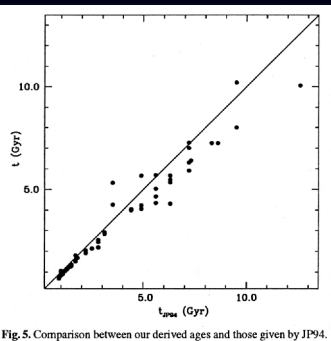
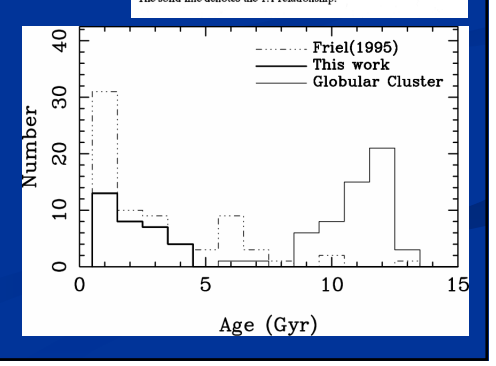
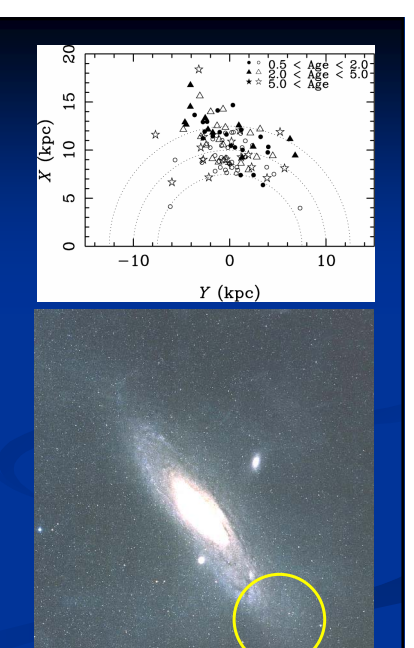


Fig. 5. Comparison between our derived ages and those given by JP94. The solid line denotes the 1:1 relationship.



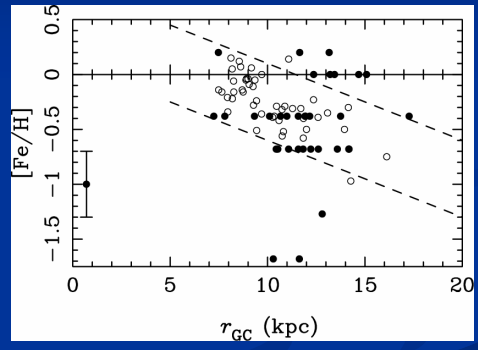
## 結果(2) ~ Disk上の分布

- 最遠の星団 ~ 18 kpc (Biurakan 7?)
  - > それでも Friel (1995) に比べ 遠い星団が多い
  - > それでも M 31 に投影すると 極近傍といえる
- Lynga カタログの星団は r<sub>cc</sub> ~ 15 kpc が限界か
  - > 限界等級 V20
- 銀河円盤外縁の研究には SDSSクラスのサーベイが 必要、EISクラスが望ましい



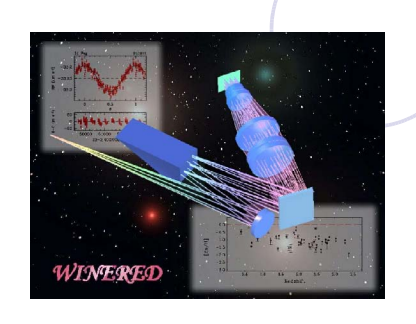
## 結果(3) ~ 金属量勾配

- ばらつきが非常に大きい
  - ▶ 測光による金属量精度以上 (と思っている)
- 超低金属量星团
  - > 主系列の曲がりから、金属量が 低いのは大間違いではない
  - HVCの降着にともなう星形成 の結果か
- 高金属量星団
  - > RGBの曲がりからかなり強く 言えるものもある
  - > 成因が説明しにくい



銀河系研究会 2006 (国立天文台三鷹)

## 近赤外高分散分光による 銀河系構造 / 化学組成の研究



東大天文センター 小林 尚人

共同研究者

東大天文センター WINERED チーム 近藤荘平、安井千香子、南篤志本原顕太郎、池田優二(フォトコーディング)

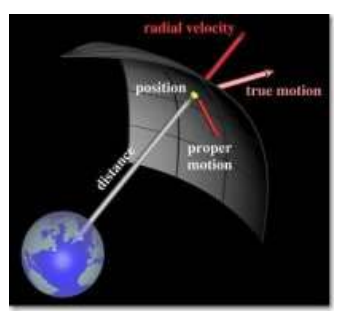
名大環境 イマージョングレーティング開発チーム 平原靖大、所仁志、ほか

## 内容

- 1. 背景 アストロメトリーの時代を見据えて
- 2. 近赤外高分散分光による銀河系の運動
- 3. 近赤外高分散分光による銀河系の化学組成
- 4. 現状と将来への展望 地上の近赤外高分散分光

# 1.背景 アストロメトリーの時代を見据えて

#### 銀河系の星の情報



| T(K)        | $[Z/Z_0] = -0.5$ | log g = 4.5 |      | B-V (ms)          |
|-------------|------------------|-------------|------|-------------------|
| 1500        | 7                | Summer      | F0   | 0.3               |
| 1000        | ·                | - Munustry  |      |                   |
|             | V                | Lutumere    |      |                   |
| ****        | A                | 1 remarks   | G0   | 0.6               |
| 5000        | A temper         | utruntif.   |      |                   |
| 5000 T      | Andreadh.        | nd-methyla  | K0   | 0.9               |
| ****        | Allen Allen      | Munum       |      |                   |
| 4000        | A-Lalle          | Mune        |      |                   |
| 2000 - July | h-               | Amr         | M0   | 1.45              |
| 8500        | 8600             | 8700 A(Å)   | Muna | ri & Castelli 200 |

## 位置、距離 固有運動

視線運動

化学組成

アストロメトリ

地上高分散分光

→ 6 次元位相空間での完全な情報

# 1.背景 アストロメトリーの時代を見据えて

可視アストロメトリ(GAIA)の場合



## RAVE RAdial Velocity Experiment

http://www.rave-survey.aip.de/rave/

- ・ GAIA アストロメトリ衛星のサポート
- ・ 可視高分散分光により視線速度、化学組成を
- ・ 波長域 8400-8750 Å で Ca triplet を用いる
- 1.2m UK-Schmidt 望遠鏡 (AAO)
- ・2003-2010の8年間
- ・ 全天で100万個(バルジ/ハロ-10万個) が目標

# 1.背景 アストロメトリーの時代を見据えて

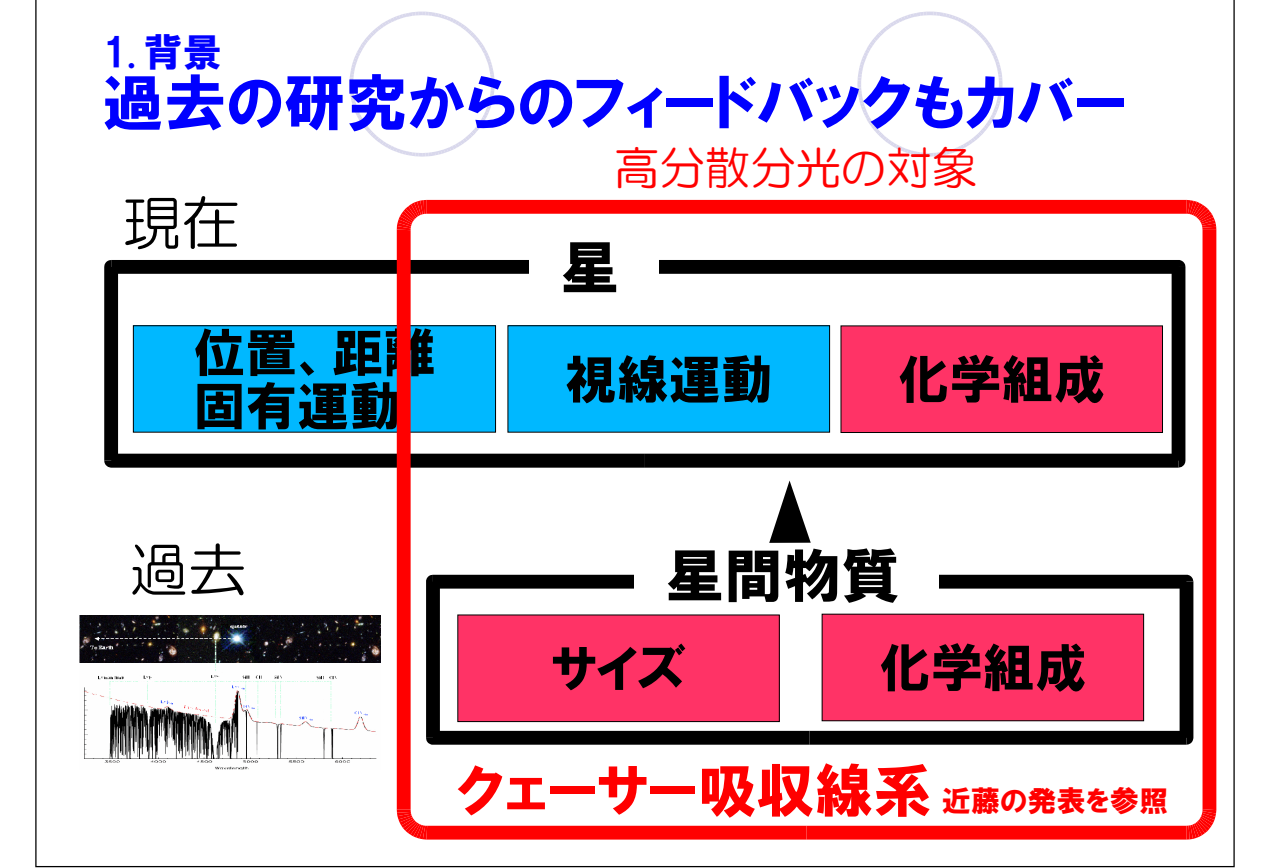
われわれのアプローチ

## JASMINE+ 近赤外高分散分光

- 近赤外線での銀河系研究
- ・バルジ方向銀河面/星生成領域に強い
- ・波長域 0.9-1.35μm
- ・バルジ星100万個が目標
- ・まず1天体用、次に、多天体化
- ・ 専用的望遠鏡が必要(海外中口径)







# 2. 近赤外高分散分光による銀河系の運動 Embedded young clusters

## 1. バルジ / Thin disk 渦状腕の運動

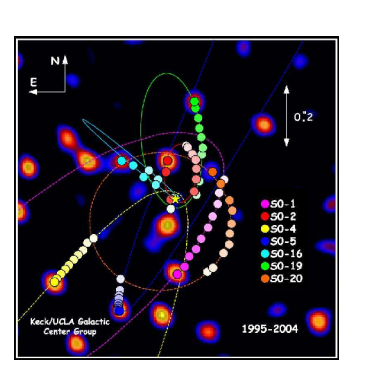
- 赤外でしか見えない
- 可視で見る HII 領域と比較してより深く e.g., 銀河系内縁部
- 電波観測と相補的

## 2. 各クラスター内の運動

- ・ 星団の形成過程
- 星団の散逸過程 ~108yr
- 分子雲運動との比較

## 3. 銀河中心のクラスター

- ・ 固有運動から明確な BH の存在
- ・視線速度の観測が未だない
  - → より高精度な運動決定



## 3. 近赤外高分散分光による銀河系の化学組成 **星の金属吸収線の観測**

## 1. 多数の金属吸収線

• O, Fe, Si, Mg, Ti, 等(1-2.5um にわたる)

Melendez et al. 2003

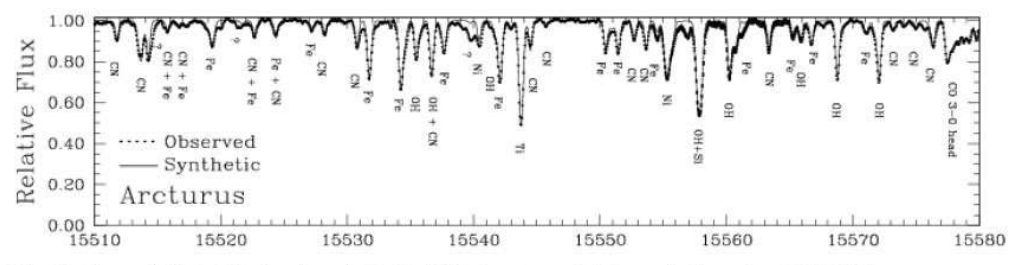


Fig. 7. Observed (dotted line) and synthetic (solid line) spectra of Arcturus in the region 1.551-1.558 µm.

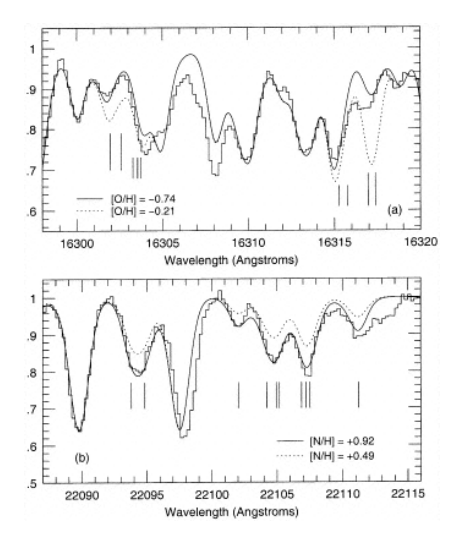
多数の吸収線から kinematics が高精度に求まる
 実際、系外惑星のドップラーサーチにも最適と考えられている

• 可視と比較すると観測例が極端に少ない 化学組成を求める solid な手法の確立が必要

## 3. 近赤外高分散分光による銀河系の化学組成 星の金属吸収線の観測

## 2. 減光に強い

• 銀河中心でも観測できる



Carr et al. 2000

- GC IRS7 (M2 supergiant)
   実際 系外或是のドップラーサ
  - 実際、系外惑星のドップラーサ ーチにも最適と考えられている
- 金属量は太陽近傍程度
   [Fe/H]~-0.02
   0 が少なく、N が多い(ドレッジアップを見ている?)

### 4.現状と将来への展望 近赤外高分散分光の現状

8mクラスの望遠鏡の登場で可視レベルの観測に近づいた

現在稼働中の高感度赤外線分光器

Keck NIRSPEC (R<30000)
VLT ISAAC (R<10000)
Gemini GNIRS (R<10000)
Subaru IRCS (R<20000)

### **──** K~15 等級程度までできるように

今までは K~12mag がせいぜい

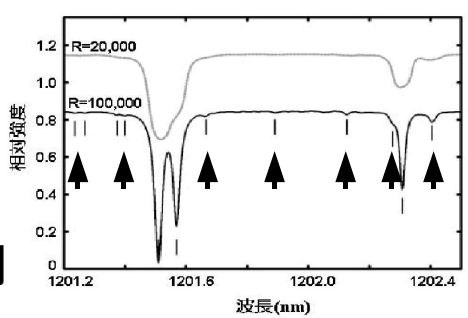
## 4.現状と将来への展望 近赤外高分散分光の次のステップ

・重要な微弱元素の検出が必要

→ 1) 高分散化

分解能 R:2万 → 10万

イマージョン型回折格子



・より遠い天体を定常的に観測

**2)高感度化** 

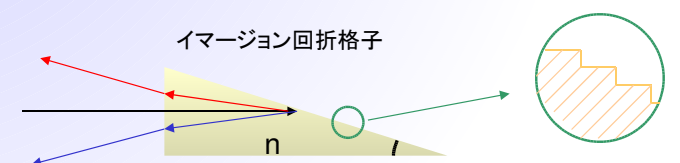
従来の約2倍

波長範囲を限定 (0.9-1.35 µ m) して 光学系を最適化

AR コートやグレーティングの効率が高くな

# イマージョン型回折格子

エシェル分光器の波長分解能
R = 2 n φ tan θ / s D
n: 屈折率、s:スリット幅、φ:コリメータビーム径
θ:ブレーズ角、D:望遠鏡口径

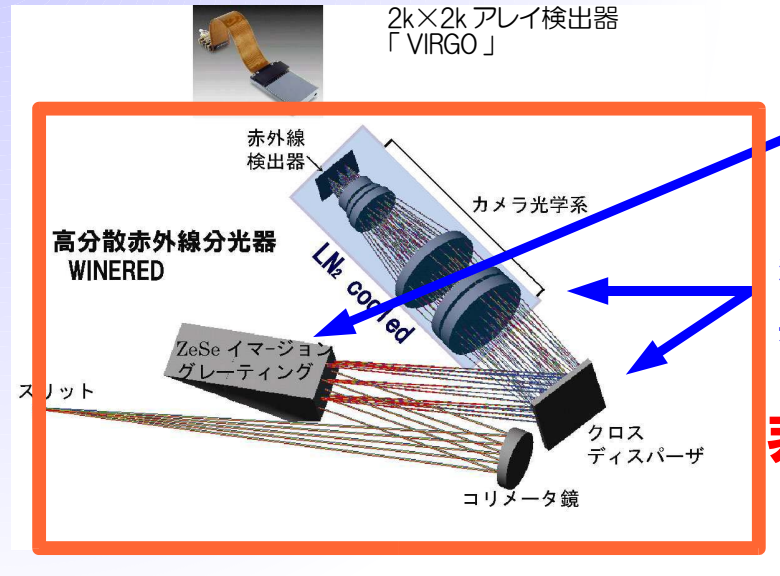


**コンパクト化**→ 製作が容易
コストダウン

コストダウン 製作期間短縮 メインテナンス

近赤外用 ZnSe (n=2.4) のイマージョン型回折格子を 共同開発中 (名大、理研)

# WINERED の特徴



WINERED: Warm near Infrared Echelle-spectrograph to Realize Extreme Dispersion

イマージョン型 回折格子

波長範囲を限定 (0.9-1.35μm)して 光学系を最適化

非冷却

→製作が容易

コストダリン 製作期間短縮 メインテナン

# 非冷却コンセプトの検討

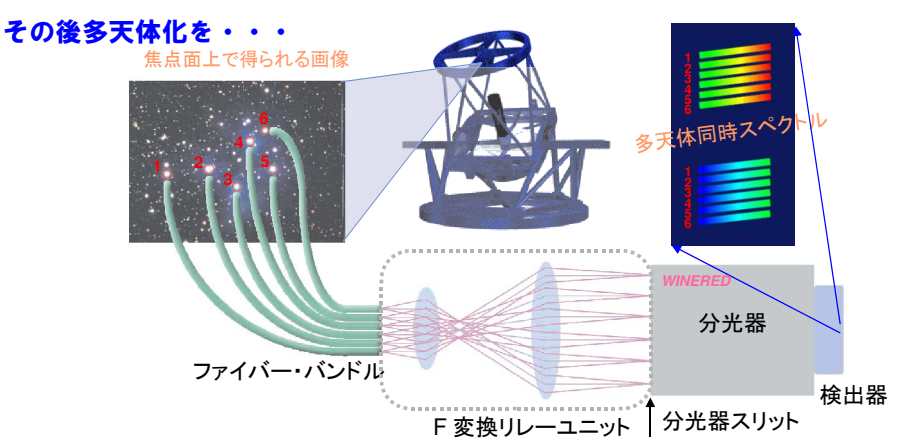


( 近藤)

## 4. 現状と将来への展望 **近赤外「多天体」高分散分光器**

#### WINERED開発スケジュール

2006 低読み出し回路の製作と評価、光学系の組み立て調整 2007 イマージョン型回折格子の完成、装置全体の組み上げ、試験観測 2008 本格観測、サイエンス



銀河系の構造研究には多天体化が重要

# 近赤外高分散分光による QSO/GRB吸収線系の観測

## 近藤荘平(東大理 天文センター)

#### 共同研究者

小林尚人、美濃和陽典、安井千香子、本原顕太郎(東大理 天文センター) 池田優二(フォトコーディング)、 Chis Churchill(New Mexico State Univ)、 辻本拓司、高遠徳尚、家正則、IRCS/AOチーム(国立天文台)

1 高赤方偏移クェーサー吸収線系

# 銀河系研究とクェーサー吸収線

大きな目標

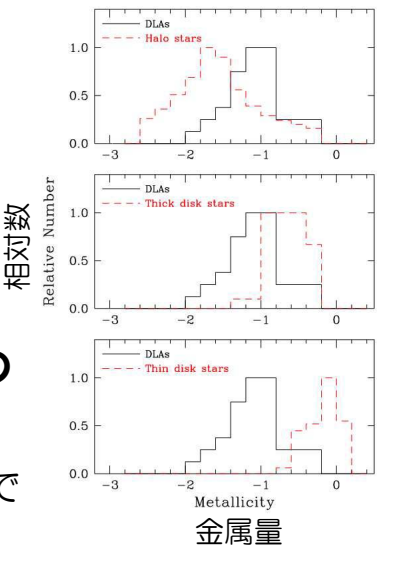
銀河系の形成過程の解明

銀河系の星が星間物質から どのような過程を 経て形成されたか?

着日点

銀河系の星と<u>過去の星間物質</u>の 金属量・元素組成を比較

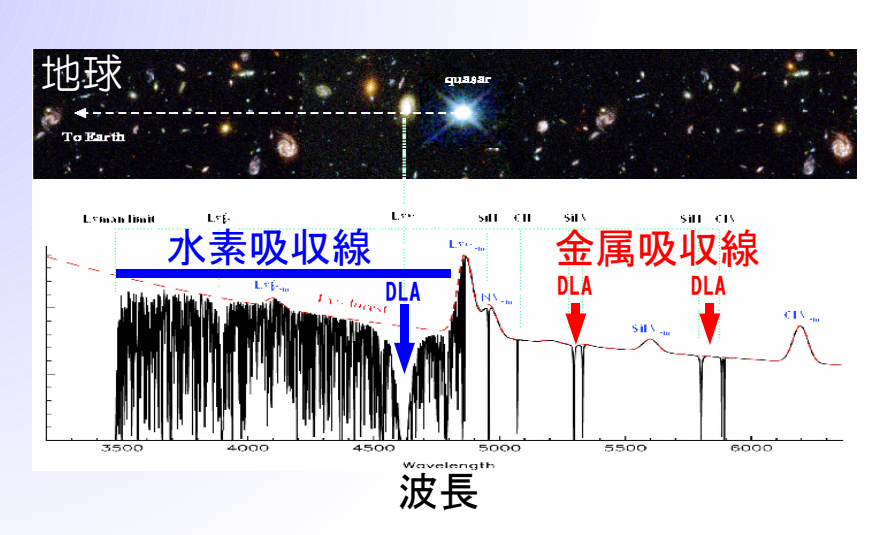
過去の星間物質: クェーサー吸収線で捕らえる



(Pettini et al. 1997)

クェーサーの吸収線はいろいろな星の対象として使える 星の進化をクェーサー吸収線で直接見る

# クェーサー吸収線系



DLA (Damped Lyman-α System) :非常にコラム密度の高いガス雲 (log N(HI)[cm<sup>-2</sup>]> 20.3)

─▶ 強い金属吸収線を示す

**DLAは宇宙論的スケールの化学進化を調べる強力なプローブ** 

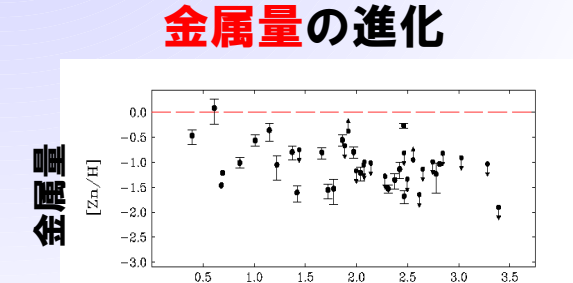
## 銀河間物質の化学進化

目標

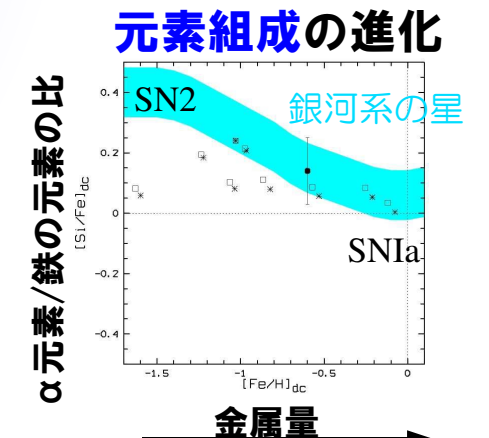
0.8

### 宇宙論的なスケールでの化学進化の解明

現在までの観測状況(可視光高分散観測による)



赤方偏移



(時間)

金属量進化の指標

1.7

データ点がまだまだ少なく、ばらつきも大きい

── より高感度な観測でデータ点を増やすことが必要

# 赤外線観測の重要性

| SNII | Call | 1.4 | 1.6 | 1.8 | 2 | 2.2 | 2.4 | 2.6 | 2.8 | 3 | 3.2 | 3.4 | 3.5 | 3.9 | 3.4 | 3.6 | 3.8 | 4 | 4.2 | 4.4 | 4.8 | 5.5 | 5.2 | 5.4 | 5.8 | 5.8 | 5.8 | 5.8 | 5.8 | 5.8 | 5.8 | 5.8 | 5.8 | 5.8 | 5.8 | 5.8 | 5.8 | 5.8 | 5.8 | 5.8 | 5.8 | 5.8 | 5.8 | 5.8 | 5.8 | 5.8 | 5.8 | 5.8 | 5.8 | 5.8 | 5.8 | 5.8 | 5.8 | 5.8 | 5.8 | 5.8 | 5.8 | 5.8 | 5.8 | 5.8 | 5.8 | 5.8 | 5.8 | 5.8 | 5.8 | 5.8 | 5.8 | 5.8 | 5.8 | 5.8 | 5.8 | 5.8 | 5.8 | 5.8 | 5.8 | 5.8 | 5.8 | 5.8 | 5.8 | 5.8 | 5.8 | 5.8 | 5.8 | 5.8 | 5.8 | 5.8 | 5.8 | 5.8 | 5.8 | 5.8 | 5.8 | 5.8 | 5.8 | 5.8 | 5.8 | 5.8 | 5.8 | 5.8 | 5.8 | 5.8 | 5.8 | 5.8 | 5.8 | 5.8 | 5.8 | 5.8 | 5.8 | 5.8 | 5.8 | 5.8 | 5.8 | 5.8 | 5.8 | 5.8 | 5.8 | 5.8 | 5.8 | 5.8 | 5.8 | 5.8 | 5.8 | 5.8 | 5.8 | 5.8 | 5.8 | 5.8 | 5.8 | 5.8 | 5.8 | 5.8 | 5.8 | 5.8 | 5.8 | 5.8 | 5.8 | 5.8 | 5.8 | 5.8 | 5.8 | 5.8 | 5.8 | 5.8 | 5.8 | 5.8 | 5.8 | 5.8 | 5.8 | 5.8 | 5.8 | 5.8 | 5.8 | 5.8 | 5.8 | 5.8 | 5.8 | 5.8 | 5.8 | 5.8 | 5.8 | 5.8 | 5.8 | 5.8 | 5.8 | 5.8 | 5.8 | 5.8 | 5.8 | 5.8 | 5.8 | 5.8 | 5.8 | 5.8 | 5.8 | 5.8 | 5.8 | 5.8 | 5.8 | 5.8 | 5.8 | 5.8 | 5.8 | 5.8 | 5.8 | 5.8 | 5.8 | 5.8 | 5.8 | 5.8 | 5.8 | 5.8 | 5.8 | 5.8 | 5.8 | 5.8 | 5.8 | 5.8 | 5.8 | 5.8 | 5.8 | 5.8 | 5.8 | 5.8 | 5.8 | 5.8 | 5.8 | 5.8 | 5.8 | 5.8 | 5.8 | 5.8 | 5.8 | 5.8 | 5.8 | 5.8 | 5.8 | 5.8 | 5.8 | 5.8 | 5.8 | 5.8 | 5.8 | 5.8 | 5.8 | 5.8 | 5.8 | 5.8 | 5.8 | 5.8 | 5.8 | 5.8 | 5.8 | 5.8 | 5.8 | 5.8 | 5.8 | 5.8 | 5.8 | 5.8 | 5.8 | 5.8 | 5.8 | 5.8 | 5.8 | 5.8 | 5.8 | 5.8 | 5.8 | 5.8 | 5.8 | 5.8 | 5.8 | 5.8 | 5.8 | 5.8 | 5.8 | 5.8 | 5.8 | 5.8 | 5.8 | 5.8 | 5.8 | 5.8 | 5.8 | 5.8 | 5.8 | 5.8 | 5.8 | 5.8 | 5.8 | 5.8 | 5.8 | 5.8 | 5.8 | 5.8 | 5.8 | 5.8 | 5.8 | 5.8 | 5.8 | 5.8 | 5.8 | 5.8 | 5.8 | 5.8 | 5.8 | 5.8 | 5.8 | 5.8 | 5.8 | 5.8 | 5.8 | 5.8 | 5.8 | 5.8 | 5.8 | 5.8 | 5.8 | 5.8 | 5.8 | 5.8 | 5.8 | 5.8 | 5.8 | 5.8 | 5.8 | 5.8 | 5.8 | 5.8 | 5.8 | 5.8 | 5.8 | 5.8 | 5.8 | 5.8 | 5.8 | 5.8 | 5.8 | 5.8 | 5.8 | 5.8 | 5.8 | 5.8 | 5.8 | 5.8 | 5.8 | 5.8 | 5.8 | 5.8 | 5.8 | 5.8 | 5.8 | 5.8 | 5.8 | 5.8 | 5.8 | 5.8 | 5.8 | 5.8 | 5.8 | 5.8 |

波長

1.2

1.1

高赤方偏移DLAの観測には高感度赤外線高分散分光が必要

1.3

Wavelength (µm)

# 赤外線高分散観測の現状

#### 8mクラスの望遠鏡の登場で初めて可能となった

現在稼働中の高感度赤外線分光器

 Keck
 NIRSPEC
 (R<30000)</th>

 VLT
 ISAAC
 (R<10000)</td>

 Gemini
 GNIRS
 (R<10000)</td>

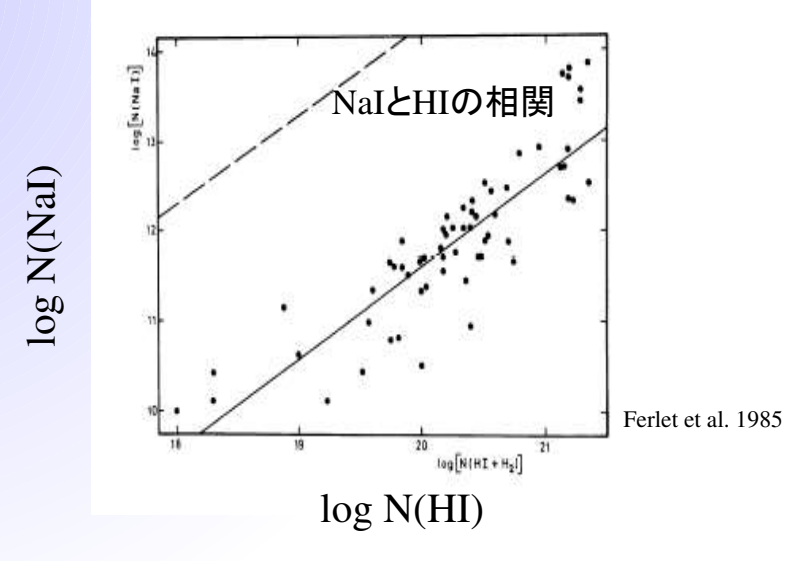
 Subaru
 IRCS
 (R<20000)</td>

#### → すばる望遠鏡 IRCSによる観測的研究

今回特に、NaID吸収線に注目した研究を紹介

# 2. 高赤方偏移Nal吸収線の観測

# Nalの特徴 1:冷たいガスの指標

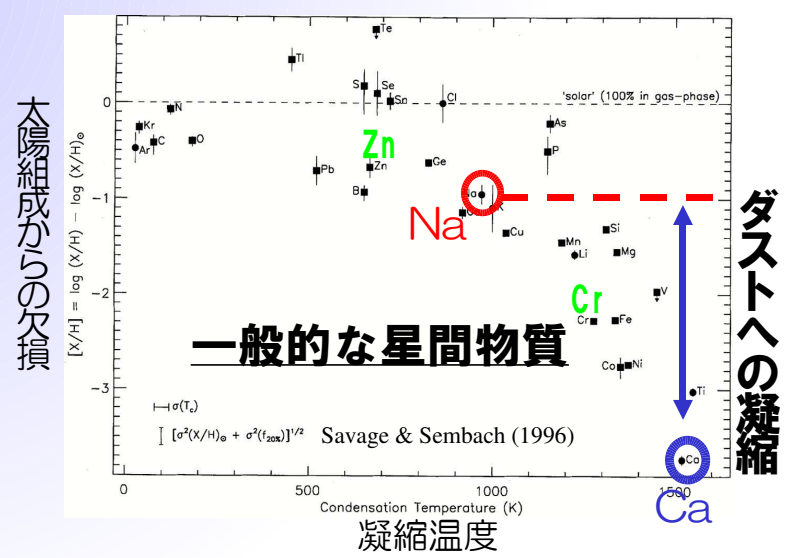


Nalは中性の比較的濃い冷たいガス(数100K)をトレース

## 冷たいガスの物理状態の良い指標

星生成に直接かかわる

## Nalの特徴2: ダスト凝縮の優れた指標



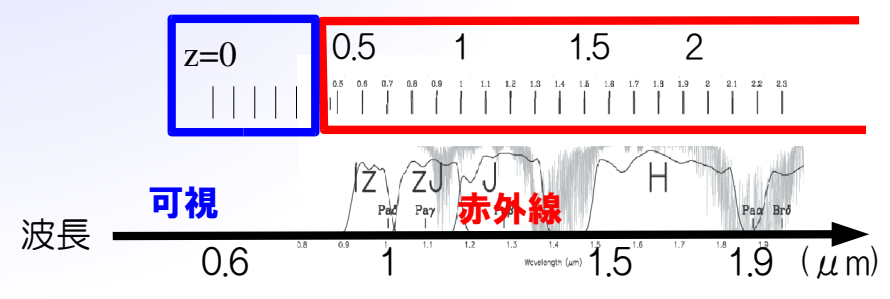
Na/Caの比較で金属の<mark>ダストへの凝縮度</mark>がわかる

金属量を求める上での重要なパラメータ

Na/Caは、Zn/Cr以上に有力な指標

# NaID線(入入5891,5897)の観測的特徴

- ・静止系紫外のNa I (入入 3303.3,3303.9) 吸収線よりも 静止系可視Na I D吸収線(入入 5891,5897) のほうが強い(70倍) →より弱い吸収線系まで検出できる
- ・NaID線は他の金属吸収線に比べずっと長波長にある →他の金属吸収線とオーバーラップする可能性がほとんどない
- 対して、**高赤方偏移** (z>0.5) のNa I D線を観測するには 高赤方偏移Na I D線の位置



 $\rightarrow$ 

近赤外線高分散分光が必要だが NaID線の近赤外の観測が全くされていなかった

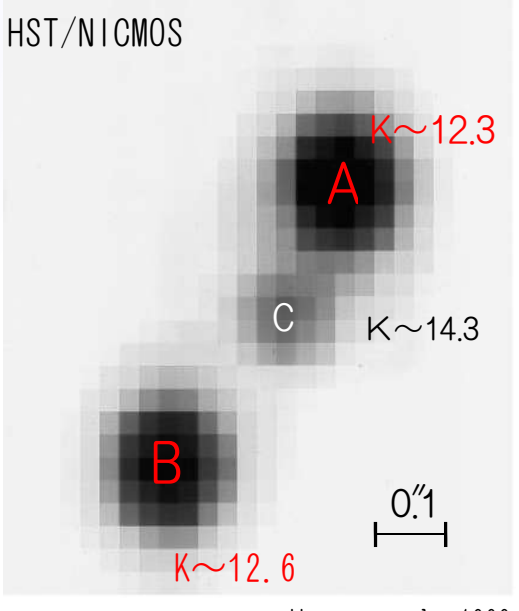
# 観測天体: APM08279+5255

#### APM08279+5255

- ・Ultraluminous QSO (zem=3.991, L~10<sup>15</sup>L。) 非常に明るい
- 重力レンズQSO

#### APM08279+5255への吸収線系(DLA)

Petitjean et al. 2000 レンズ天体候補 ウェーサー z=1.062 z=1.181 z=2.974

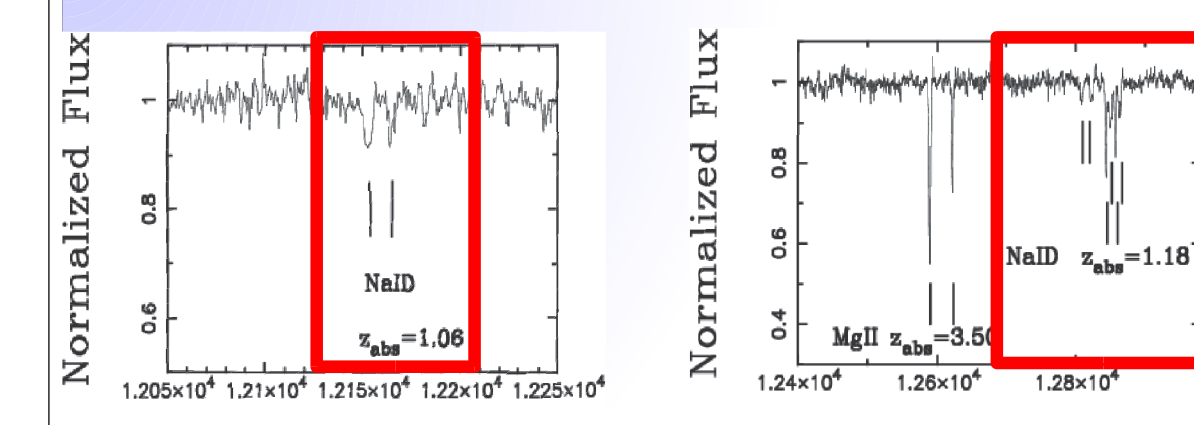


Ibata et al. 1999

Na I D線 (A A 5891, 5897) を赤外線高分散分光観測



## 結果:全体のスペクトル



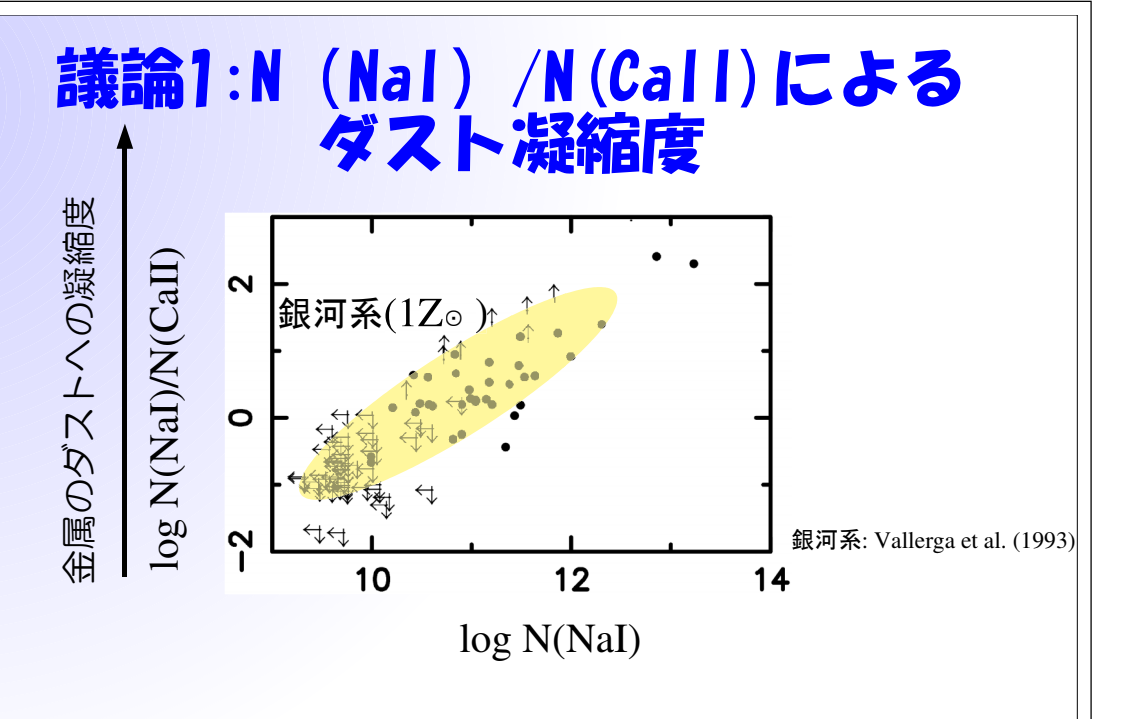
Wavelength (A)

0".6-sli R=5000  $\triangle$  v=60 km/s)

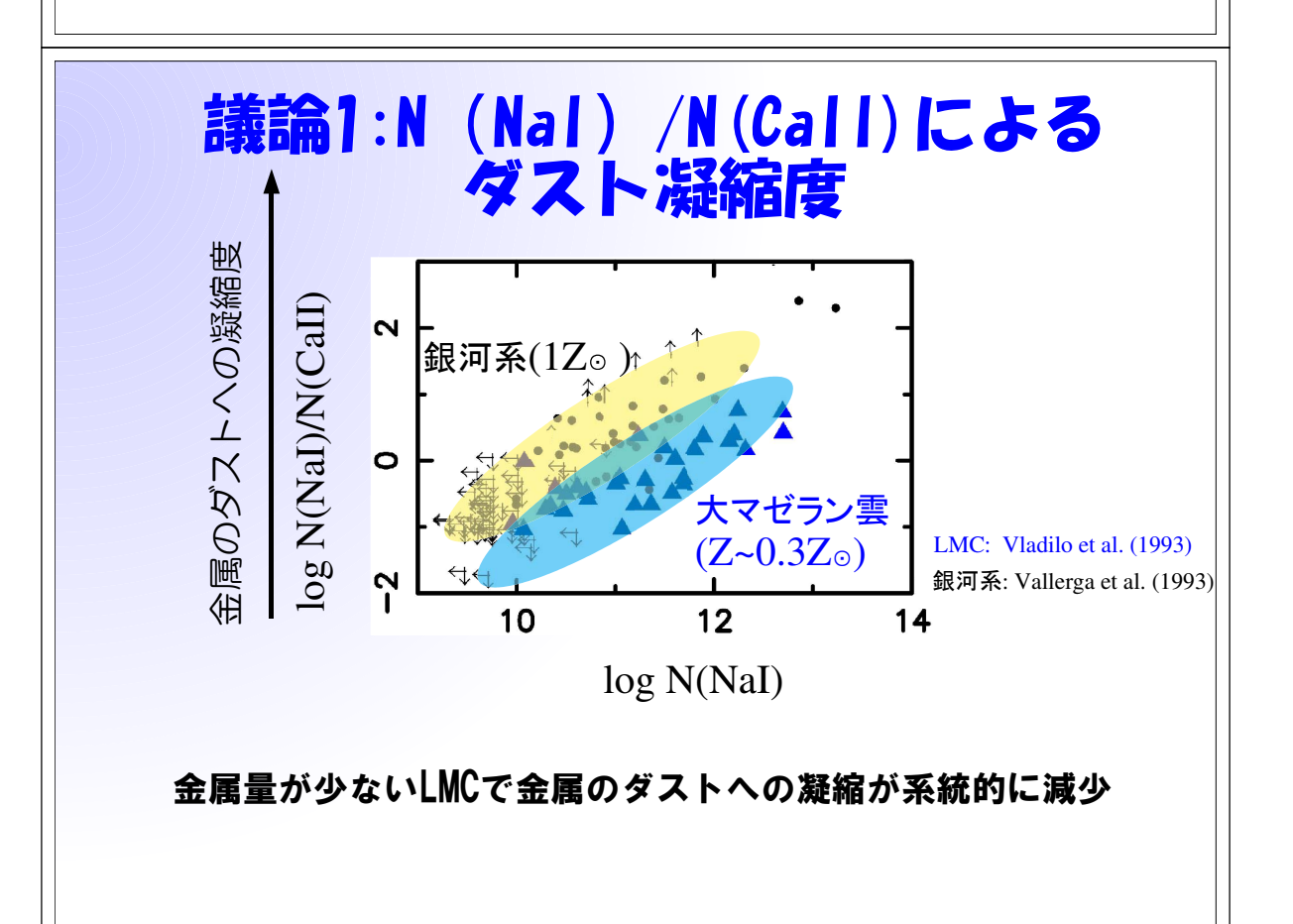
Wavelength (A)

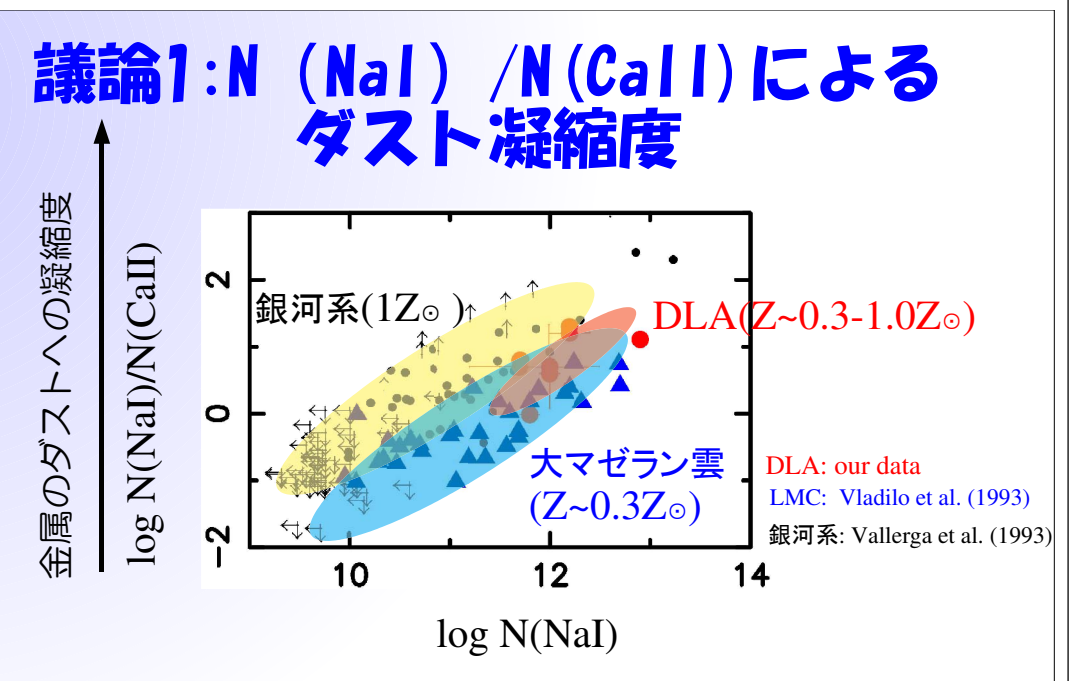
Na I D線 (z=1.18)

Zabs=1, 06, 1, 18のNa I D吸収線を明確に検出



コラム密度が大きいほど金属のダストへの凝縮が大きい



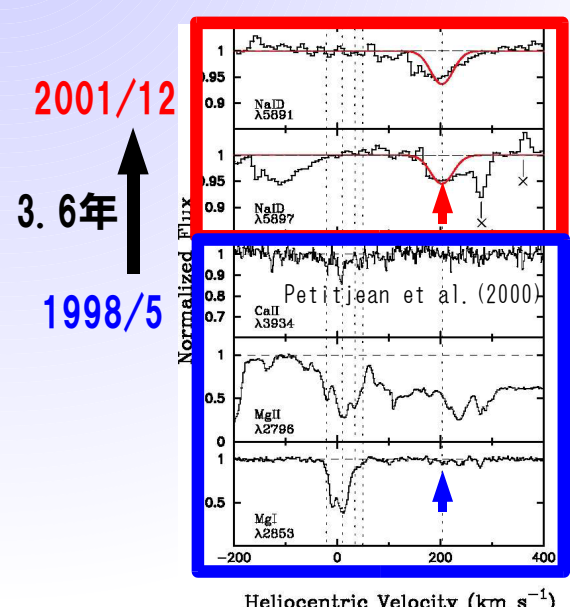


DLAにおいても金属量が少なくなると金属のダストへの凝縮が減少

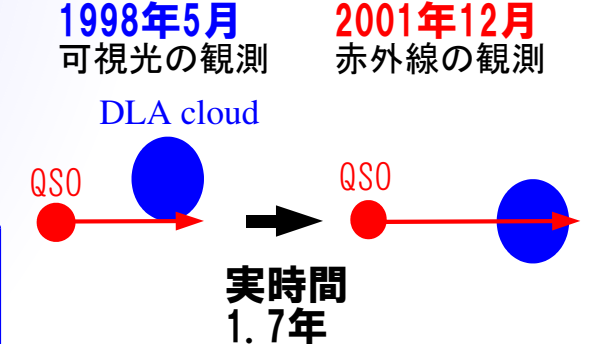
高赤方偏移において、金属のダストへの凝縮が小さいことを N(Nal)/N(Call)で示した

# 議論2: 固有運動の検出

zabs=1.173 Mg|| system (→ 新DLA)



Heliocentric Velocity (km s<sup>-1</sup>)



- 移吸収線系の 動の初検出
- のスケールを 200AU

(雲の視線に対する速度: ~400 km/sを仮定)

## 「NalD吸収線の観測」のまとめ

- APM08279+5255(z=3.991)の近赤外線高分散分光 観測(Jバンド)
- N(Nal)/N(Call)によるダスト凝縮

DLAにおいて金属のダストへの凝縮が小さく なることを示した

● 赤方偏移吸収線系の固有運動の初検出

吸収線雲のスケールを推定

Kondo et al. 2006, ApJ accepted

3. 次世代の近赤外高分散分光器「WINERED」の展望

# 次世代の近赤外高分散分光器への要求

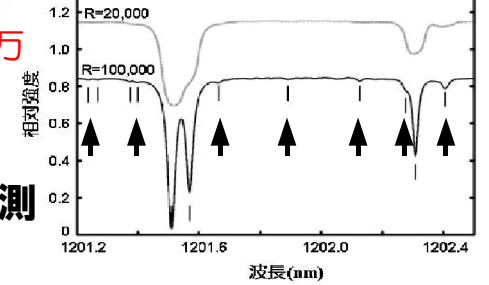
#### z>3での化学進化を明らかにする

・重要な微弱元素(とくに Zn||.Mn||)の検出が必要

**──** 1 )**高分散化** 

分解能 R:2万 → 10万

イマージョン型回折格子



・z>3のクェーサーを定常的に観測

**→** 2) 高感度化

従来の約2倍

波長範囲を限定(0.9-1.35μm)して 光学系を最適化

ARコートやグレーティングの効率が高くなる

我々のグループでは、これらを満たした「WINERED」を開発中

# 近赤外線でのクェーサー吸収線の 観測の現状と展望

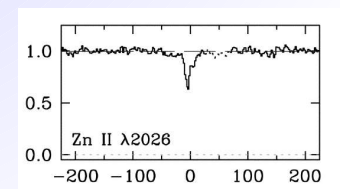
R=20,000 R=100,000 ターゲット

現状(すばるIRCS) J 16-17

明るいQSOs

2008-  $\lceil W \mid NERED \rfloor$  J 18-19 J 16-17 ~100 QSOs (z>3)

S/N=100 w/8-hrs



Zn | | z=1.0 [Fe/H]  $\sim$ -1.2 (Pettini et al. 2000)

「Fe/H]~-3のDLA(N(HI)~1021 [cm-2])の微弱なZnllの吸収線の検出が可能に

WINEREDで、z>3の金属量・元素組成の 進化の研究がはじめて可能に

# 近赤外線でのGRB吸収線観測の展望

R=20.000 R=100.000 ターゲット

現状 J 16-17 明るいQSOs

2008-「WINERED」 <u>J 18-19</u> <u>J 16-17</u> GRBs (z>6以上)

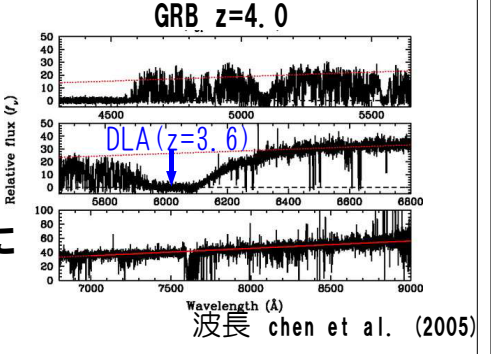
#### 観測的特徴と現状

GRBの残光は非常の明るい(最大 J~15)

・ 可視光での観測が行われている (最高 z=6.3 Kawai et al.)

#### 展望

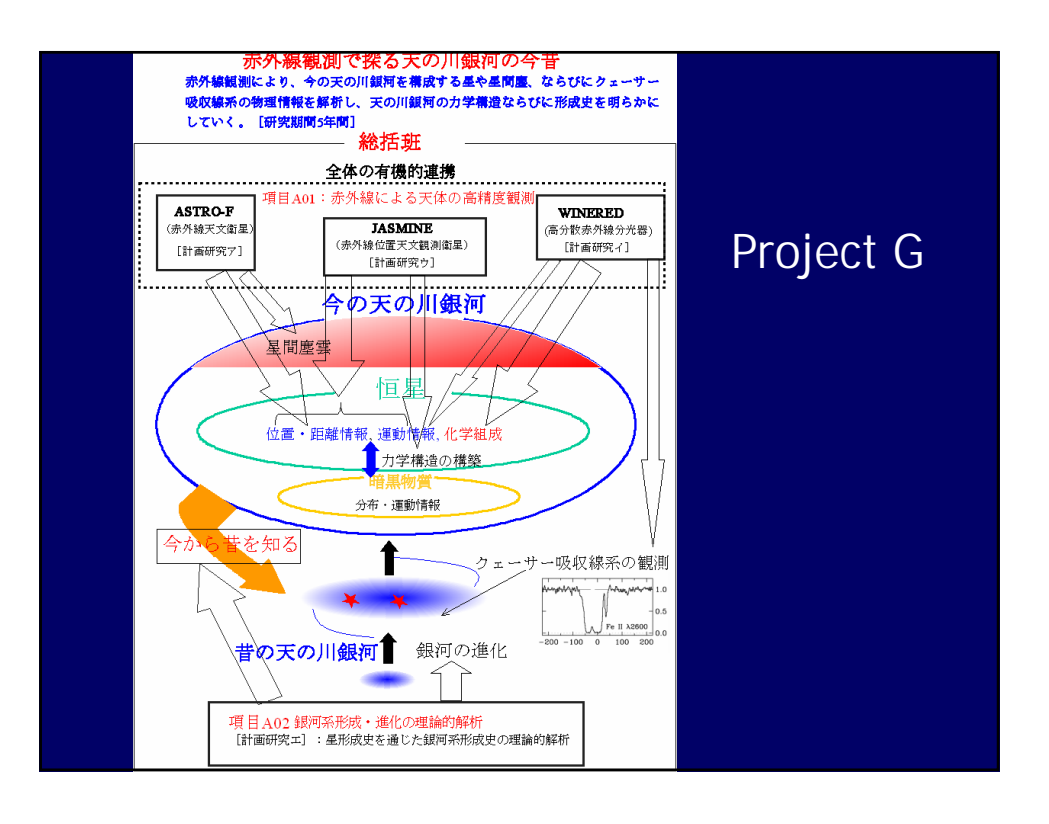
- ・ 宇宙の再電離がいつ起ったかを明らかに
- 化学進化で重要な指標であるZn. Mnの吸収線の赤外線分光観測



WINEREDによるGRB吸収線の観測から 化学進化の研究が大いに発展//

#### 星に刻まれた化石情報から天の川 銀河の歴史をさぐりたい

西亮一 新潟大学自然科学系



#### ◆星形成史としての銀河形成・進化

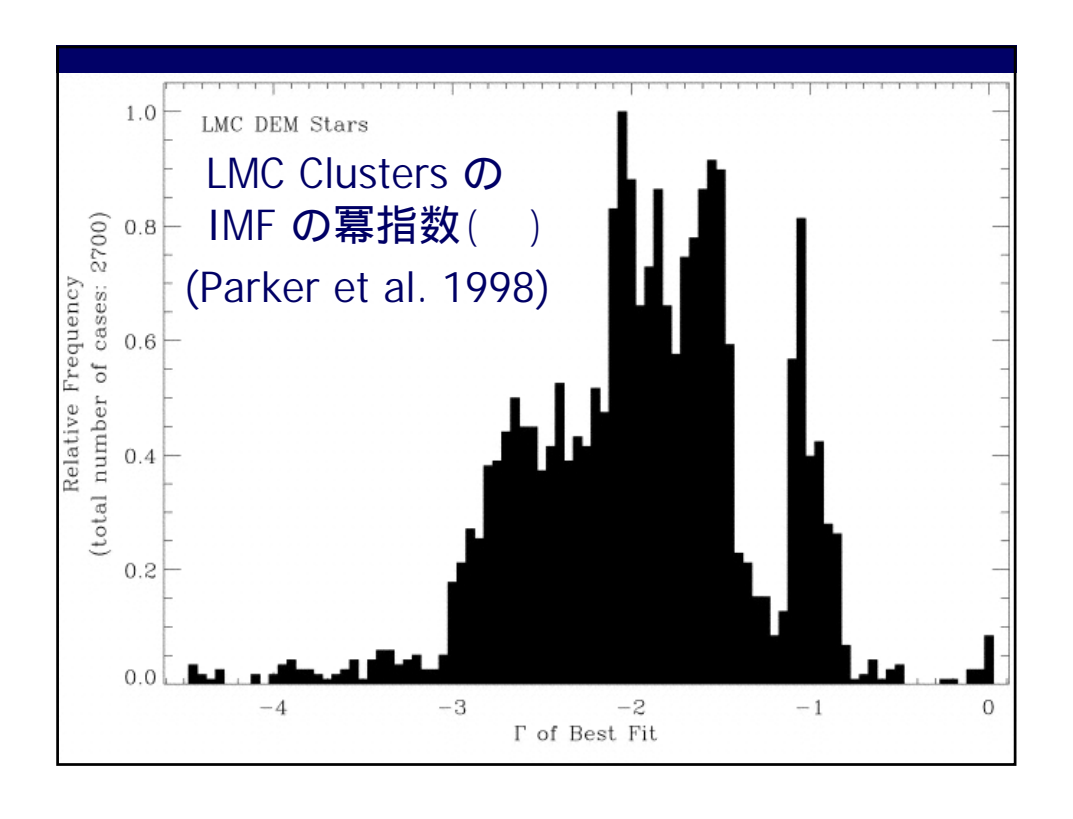
- ◆主要構成天体は星 我々の銀河系ではバリオンの大半が星
- ◆活動性も多くは星起源 星の光,超新星爆発, etc.
- ◆進化も星が主として駆動 ガス量の減少,重元素汚染, etc.

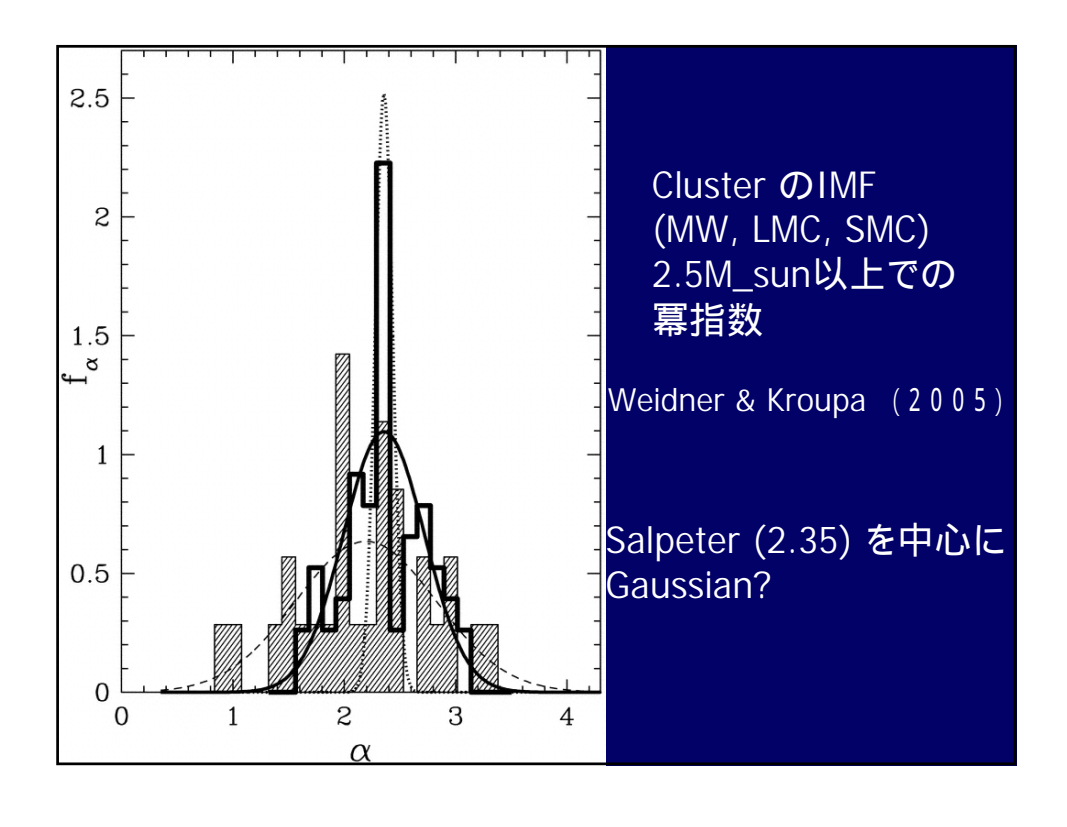


大局的星形成を表す量(IMF, SFR)が必要

#### **◆**集団的星形成

- ◆星の大部分は巨大分子雲で形成される
- ◆星形成領域の物理的性質?
- ◆IMFやSFRは領域に依存?





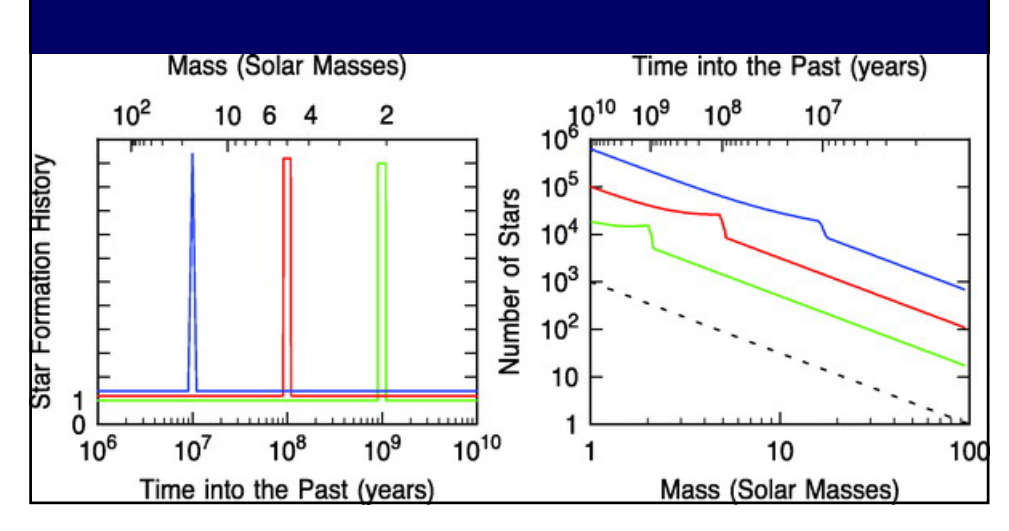
#### ◆IMF のばらつきの理由

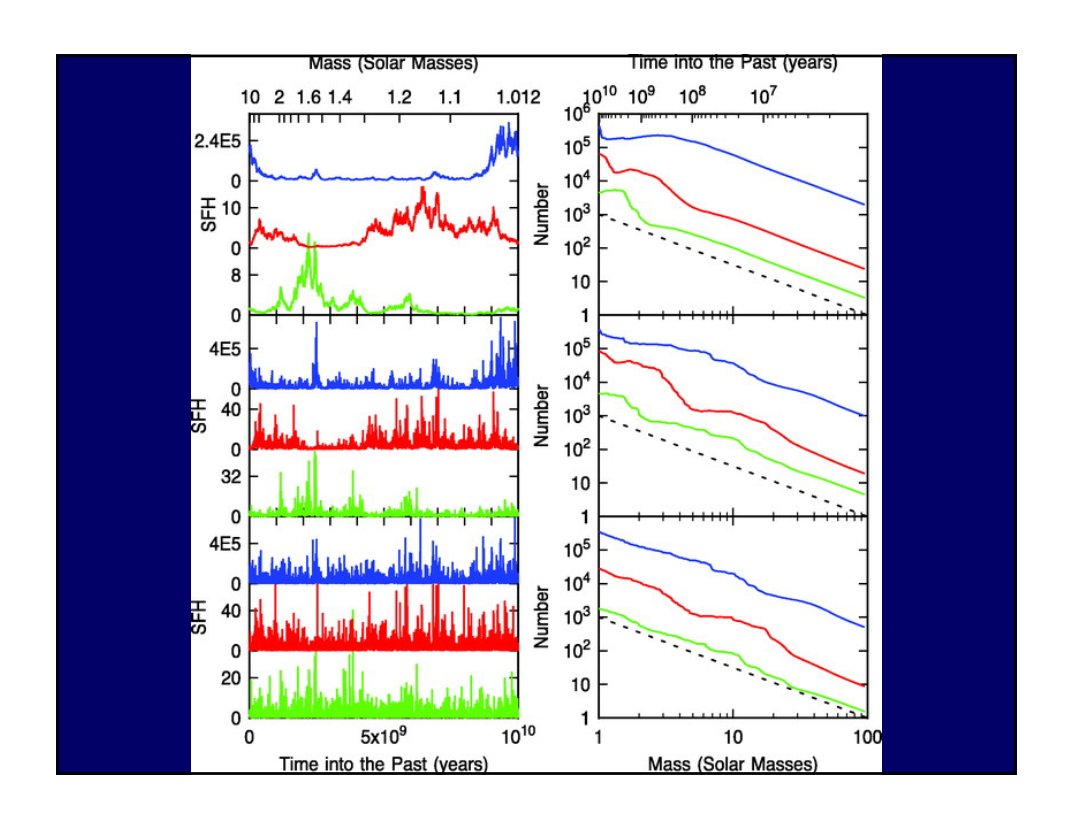
#### Cluster:

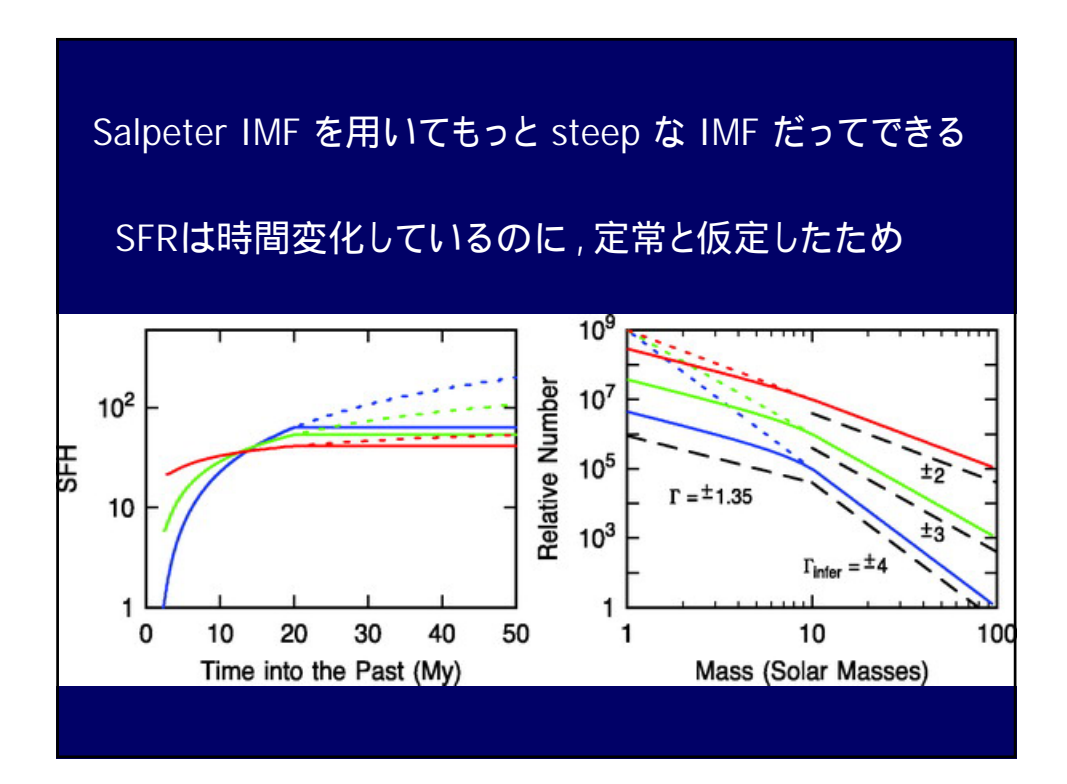
星の数が少ないことによる統計揺らぎ mass segregation 巨大分子雲による tidal effect など

Field (銀河): 星形成史の影響









#### ◆IMF のばらつきの理由

#### Cluster:

星の数が少ないことによる統計揺らぎ mass segregation 巨大分子雲による tidal effect など cluster への所属? Field (銀河): 星形成史の影響

本当か それだけか <u>位置天文衛星を</u>用いて検証

- ◆Hipparcos data の解析 (Chereul et al. 1998, 1999)
- ◆125pc内の A-F 矮星 (Distance limited sample) 空間分布および速度空間分布 3-D wavelet 解析 Hyades cluster からの evapolation (GMC との相互作用) 3個の新しい cluster の発見 star formation history は全〈定常ではない 5×108 yr 程度の burst (Gould belt など)

#### ◆Hipparcos data の限界

- ◆領域が狭い
  cluster からの evaporation 解析には不十分
  125pc まで
  10km/s × 10<sup>8</sup> yr = 1 kpc
  星形成領域による変化はわからない
- ◆Mass range が不十分 (IMFは?)
- ◆精度不足?3-D wavelet 解析を基本としている6-D をフルに使いたい

## ◆星形成領域による違い?

- ◆Age-Metallicity relation の分散 銀河内は一様ではない
- ◆Metallicity によって IMF は変わる?
- ◆環境効果?(UVなど)

# Age metallicity relation (MW) (Meusinger et al. 1991)

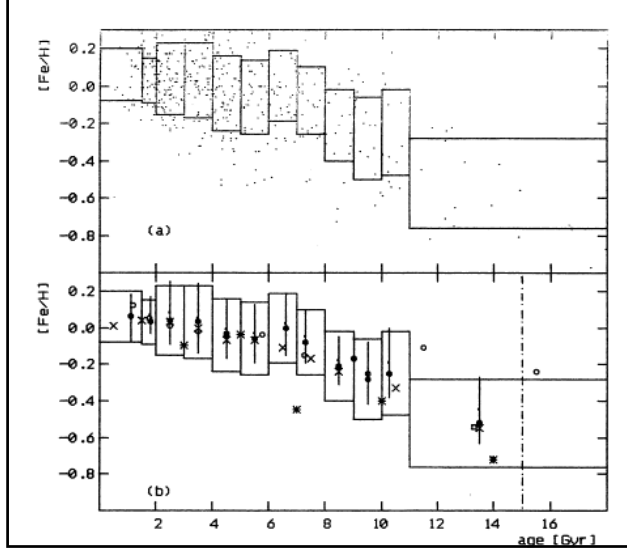


Fig. 2a and b. The age-metallicity relation (AMR): a [Fe/H] and ages for 536 stars of our AMR sample. The boxes indicate the widths of the age ranges and the dispersions in [Fe/H], respectively, in the age bins. b The mean AMR (full circles) in comparison with the data from Twarog (1980b; crosses), Carlberg et al. (1985; open circles) and Nissen et al. (1985; asterisks). The open square in the age bin of the oldest stars is the corresponding data point when the three stars with ages in excess of 15 Gyr are included, however, with ages of 15 Gyr (dashed-dotted line as age limit in this case). Also shown is the AMR for the relative metal abundance [Me/H] (small dots with error bars) using the photometric calibration from Nissen (1981) and Ardeberg et al. (1983)

- ◆IMF や SFR についての理解はまだまだ不十分
- ◆領域,時刻などで異なる可能性
- ◆環境の影響も
- ◆Metallicity のばらつき



星形成領域を空間的時間的に分解して 解析する必要

#### ♦計画

◆ 6次元位相空間情報 (JASMINEなど)が
Hipparcos よりはるかに充実する予定
位相空間 (6-D)での解析手法の確立
cluster 分解過程の simulation と位相空間
での振る舞いの研究
IMF, SFRの環境依存性の研究
星形成過程の変化による銀河進化への
影響の研究

星形成に重点をおいた銀河進化史の研究へ

# 銀河系の力学構造とトーラス構築法

#### 上田晴彦(秋田大学)

郷田直輝·矢野太平·官谷幸利· 出田誠(国立天文台) 小山博子(早稲田大学) 樽家篤史(東京大学)

#### はじめに

- ・なぜ、力学構造を研究するのか? 位置天文学(自然科学の最古の分野の ひとつ)に大きな進展が期待できるから!
- ・これまで地上観測が主であった ヒッパルコス衛星の成功により、スペー スからの観測という新たな時代に突入

- ・ところが、ヒッパルコス衛星により距離が正確に測られた範囲は、太陽から100pc程度にすぎない。
- ・今後10年程度の間に、銀河バルジ程度までの距離を正確にきめることが出来る、2 析高い精度の観測計画が進められている。

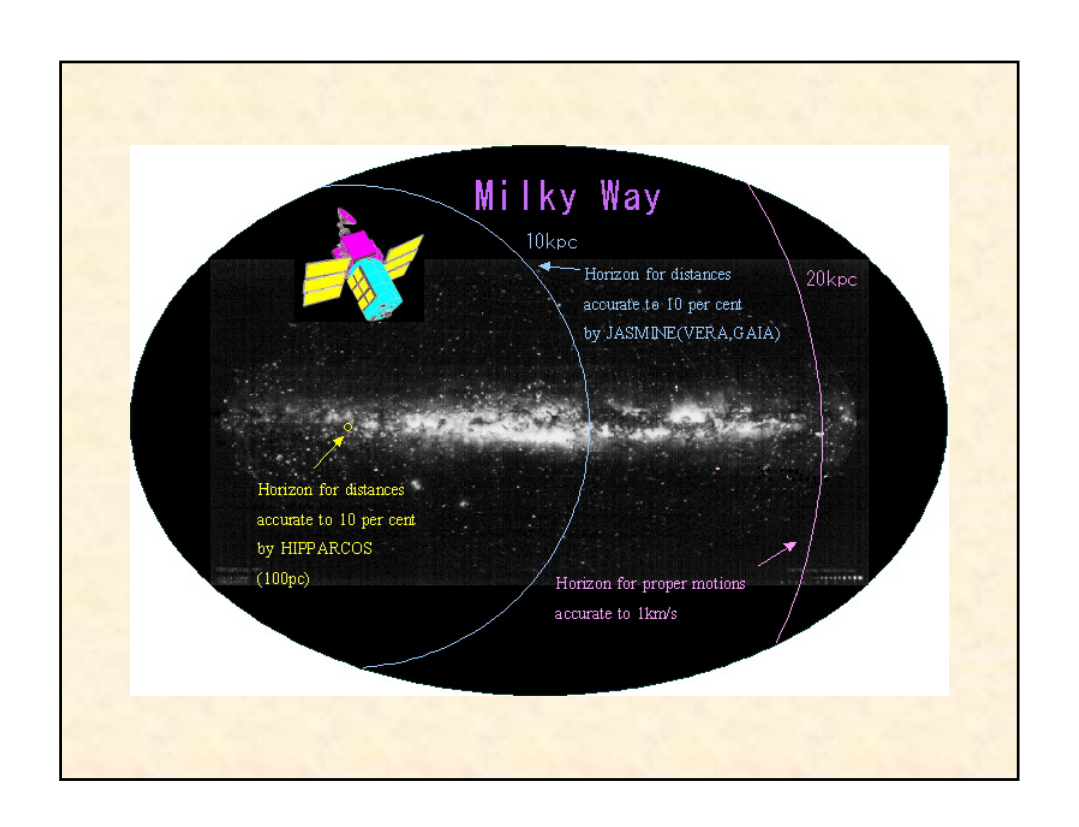
GAIA, JASMINE,

#### **JASMINE**

·日本の赤外線探査に よる位置天文衛星計 画

(Japan Astrometry
Satellite Mission for
INfrared Exploration)





・銀河系内のかなりの部分の星の位置、速 度を観測できると、何がわかる?

銀河系の力学構造を決定することが出来る。

銀河形成史の研究に発展 SPH、Semi-analytic model

# 位置天文学への期待

- 国立天文台の若手メンバー(7名)を中心 として、銀河系の力学構造を決定する手法 の研究をおこなっている。
- 本プロジェクトでおこなわれている研究の中で、いわゆる「トーラス構築法」と呼ばれているものについての概要を述べるとともに、初期の解析結果を報告する。

#### 銀河系の力学構造の決定

- 銀河系は定常状態であると仮定 位相分布関数は6次元
- 観測から得られる情報は2次元的位置、天体までの距離、固有運動、および視線速度 観測された星の6次元位相分布関数はわかる。

• 観測できるのは、重力物質のご〈一部(暗い星、 ダークマターに関する情報はなし)

欲しいのは銀河系を構成する全ての重力物質の 位相分布関数。

重力物質の位相分布関数 観測された星の位相分布関数

• 観測データには加速度情報が含まれないため、 重力ポテンシャルも直接はわからない。

#### どうすればよい?

• 定常状態の銀河の場合、その星の軌道のほとんどは規則軌道と考えられる。

強いジーンズの定理により、位相分布関数は3つの孤立積分量のみの関数 $\mathbf{f}(\mathbf{I_1},\mathbf{I_2},\mathbf{I_3})$ となる。

#### やるべきこと

- 1)(適当な)孤立積分量を探し出す。
- 2)理論モデルのテンプレート(雛形)と比較し、力学構造を決める。

#### 孤立積分量

• 孤立積分量として作用変数を考えると都合が良い。

$$J = \frac{1}{2\pi} \oint pdq$$

(Galactic Dynamics: Binney & Tremaine 1987)

• しかし一般には作用変数は解析的に解くことが出来ないので、観測データ(位置と速度)との比較が出来ない。

母関数によって、解析的に解けている場合と結びつける。 (トーラス構築法: McGill & Binney 1990)

#### トーラス構築法の原理

#### 用意するもの

A) Toy ハミルトニアン H o(J)

作用・角変数  $(J,\theta)$  が (p,q) の関数として解析的に書き下すことが出来るもの。 具体的には調和振動子型またはケプラー型のハミルトニアン。

B) Target ハミルトニアン H (J')

銀河系の重力ポテンシャルを表現するハミルトニアン。作用・角変数 $(J',\theta')$ を(p',q')の関数として解析的に書き下すことが出来ない。

- C)N個の正準変数のペア  $(J_i', \theta_i)$
- D) (トライアルな) 母関数
   S

   母関数による変換

$$\mathbf{J} = \nabla_{\mathbf{\theta}} S(\mathbf{\theta}, \mathbf{J}')$$
$$\mathbf{\theta} = \nabla_{\mathbf{J}'} S(\mathbf{\theta}, \mathbf{J}')$$

・どのように母関数Sを決定するか? トーラス構築法の本質

#### 母関数の決め方

- 1)用意されたN組の正準変数のペア $(J_i', \theta_i)$ から、トライアルな母関数を使って $(J_i, \theta_i)$ を計算 (ただし  $J_i' = const$  に設定しておく)
- 2)  $(J_i, \theta_i)$  から  $(p_i, q_i)$  を計算
- 3) これからターゲットハミルトニアン  $H_{i}(p_{i},q_{i})$  のエネルギーを計算

4)N組のペアごとにエネルギーが計算されるが、  $J_i' = const$  としているので、エネルギーは 一定のはず。

しかし母関数がうまく設定されていないと、一定でなくなる。

それらのバラツキ具合(分散)を計算

- 5)分散が最小になるように、Sを決めなおす。
- 6)1)~5)を繰り返し、最終的に母関数Sを定める

## 実際の解析結果

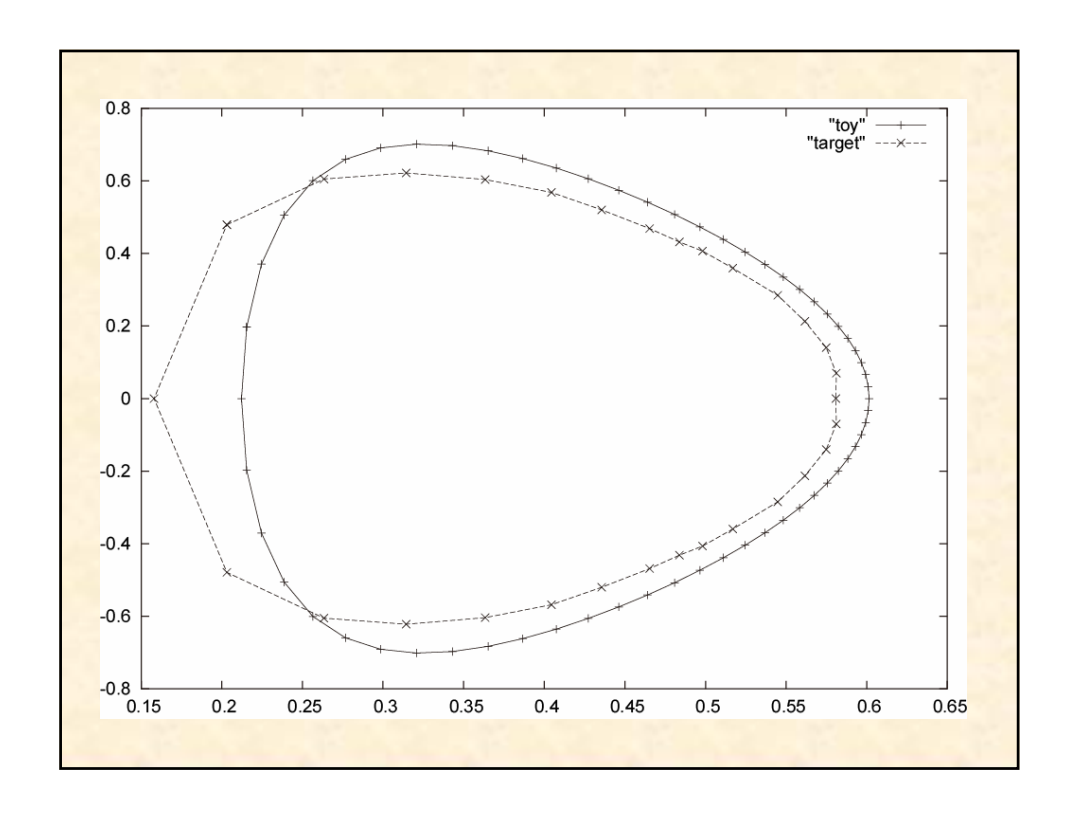
トイハミルトニアンおよびTargetハミルトニアンを以下のように設定し、実際にトーラス構築法を実行した。

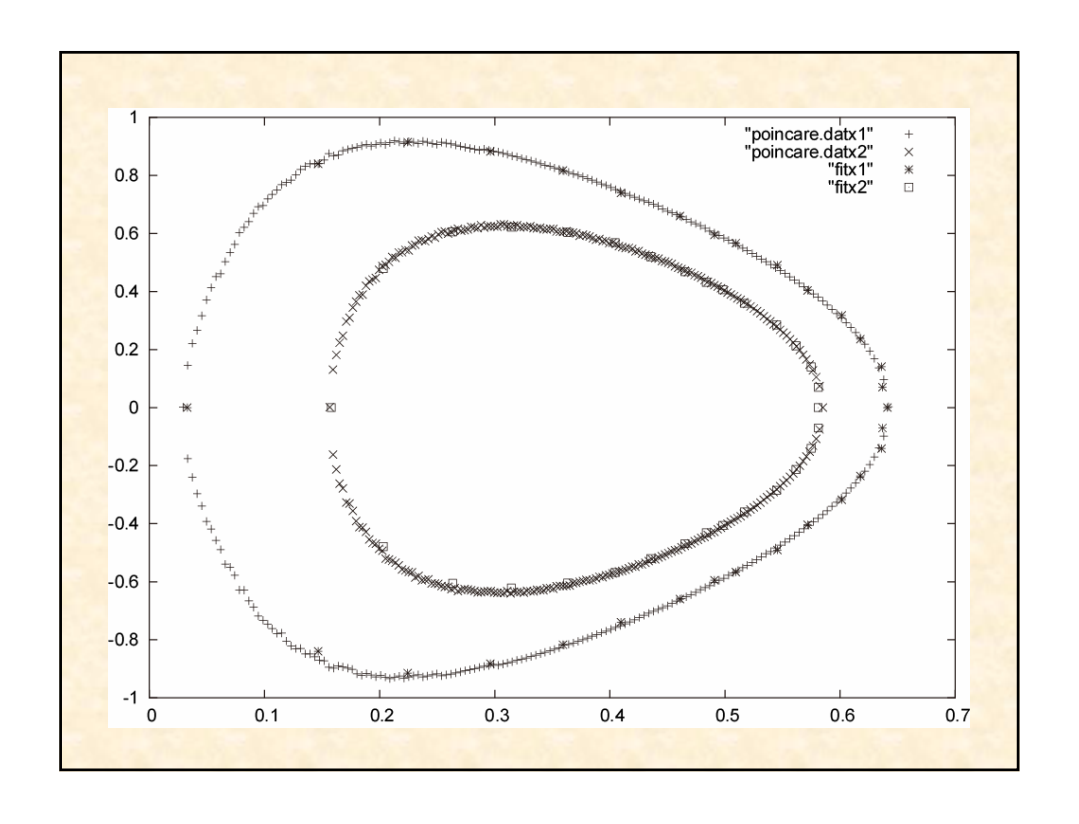
1) Toyハミルトニアン (isochrone potential)

$$H_0 = \frac{1}{2}P_r^2 + \frac{P_\theta^2}{2r^2} + \frac{-k}{b + \sqrt{b^2 + r^2}}$$

2) Targetハミルトニアン(logarithmic potential)

$$H_0 = \frac{1}{2}P_r^2 + \frac{P_\theta^2}{2r^2} + \frac{1}{2}\log(x^2 + \frac{y^2}{q^2} + R_c^2)$$





#### 現状のまとめ

- ToyトーラスとTargetトーラスの差があまりない単純なマッピングの場合、トーラス構築法はうまく働くことが分かった。
- 一般の場合には、エネルギーの分散値が 小さくなるという条件だけでは、トーラス構 築法はうまく働かないようである。

#### 今後の課題

- 1)トーラス構築法の弱点をはっきりさせる。
  - ・どのような場合にうま〈働き、どのような場合にはうま〈 働かないか、の理解
  - ・どのような条件をつけると、一般にうま〈働〈かについて の考察
- 2) 3次元に拡張する。

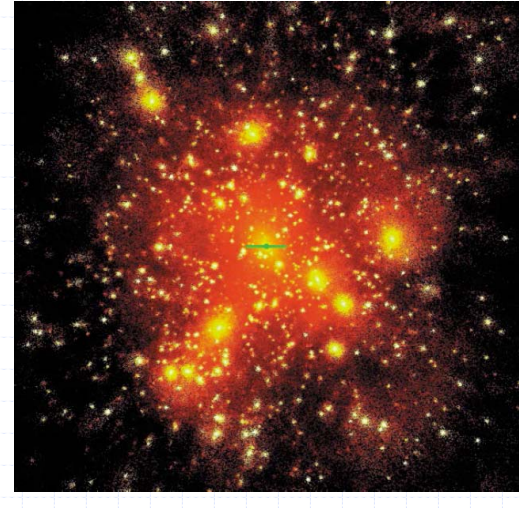
# 皆さんも、参加して みませんか?

# 暗黒物質サブハローと 銀河円盤との力学相互作用

林 寛人、千葉 柾司(東北大)

#### 1. Introduction

#### 1.1 暗黒物質(CDM)サブハロー

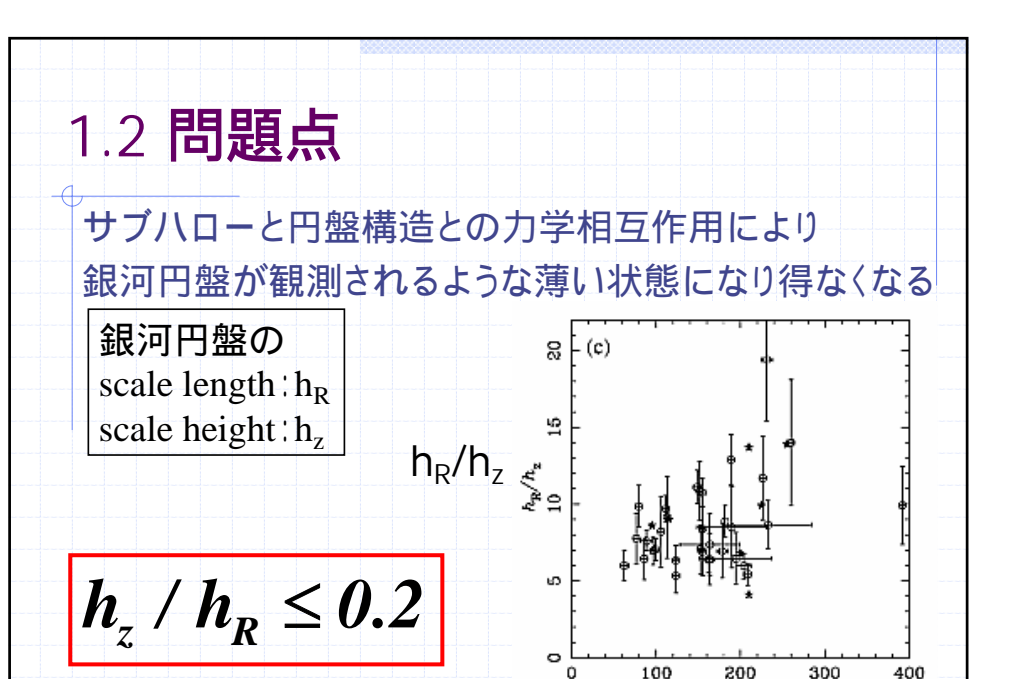


◆mass functionはホストハローの質量にほとんど依存せずほぼ等しい形

$$rac{dN}{dM_{
m Sub}} \propto M_{
m Sub}^{lpha} \ -1.7 \leq lpha \leq -1.9$$

◆速度分布は radialに非等方の傾向

(B. Moore



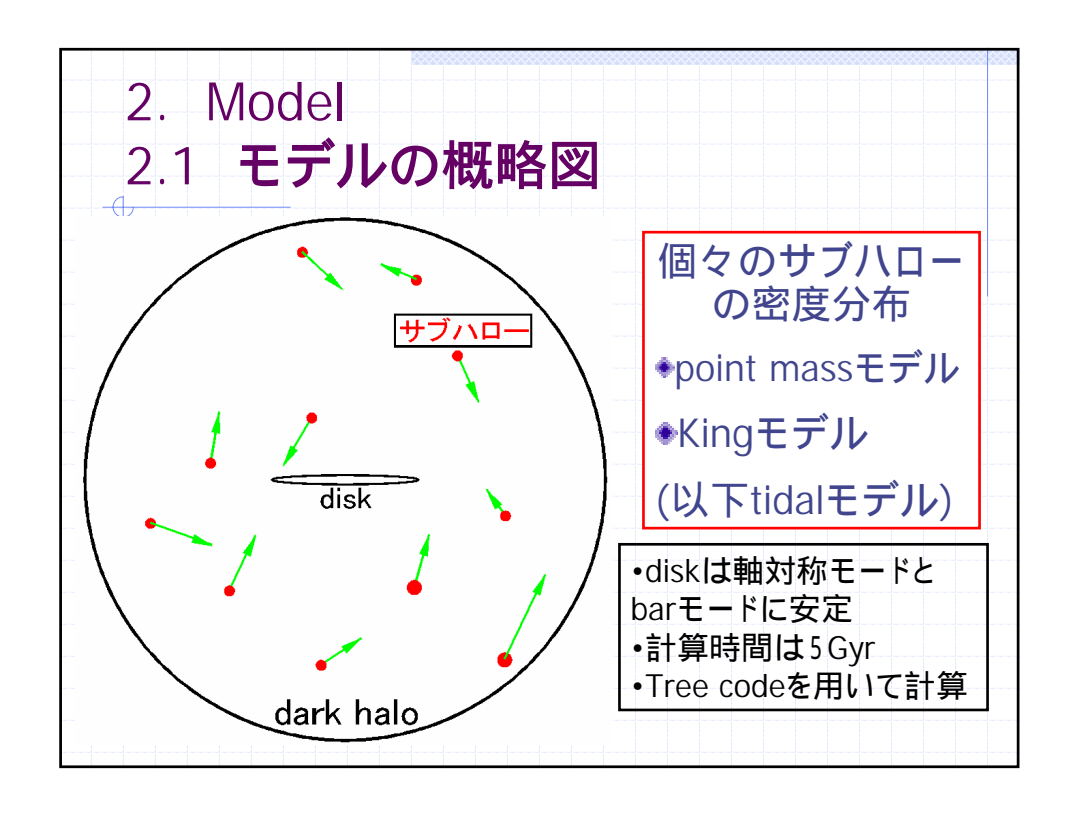
 $v_{\text{max}} \text{ (km s}^{-1}\text{)}$ 

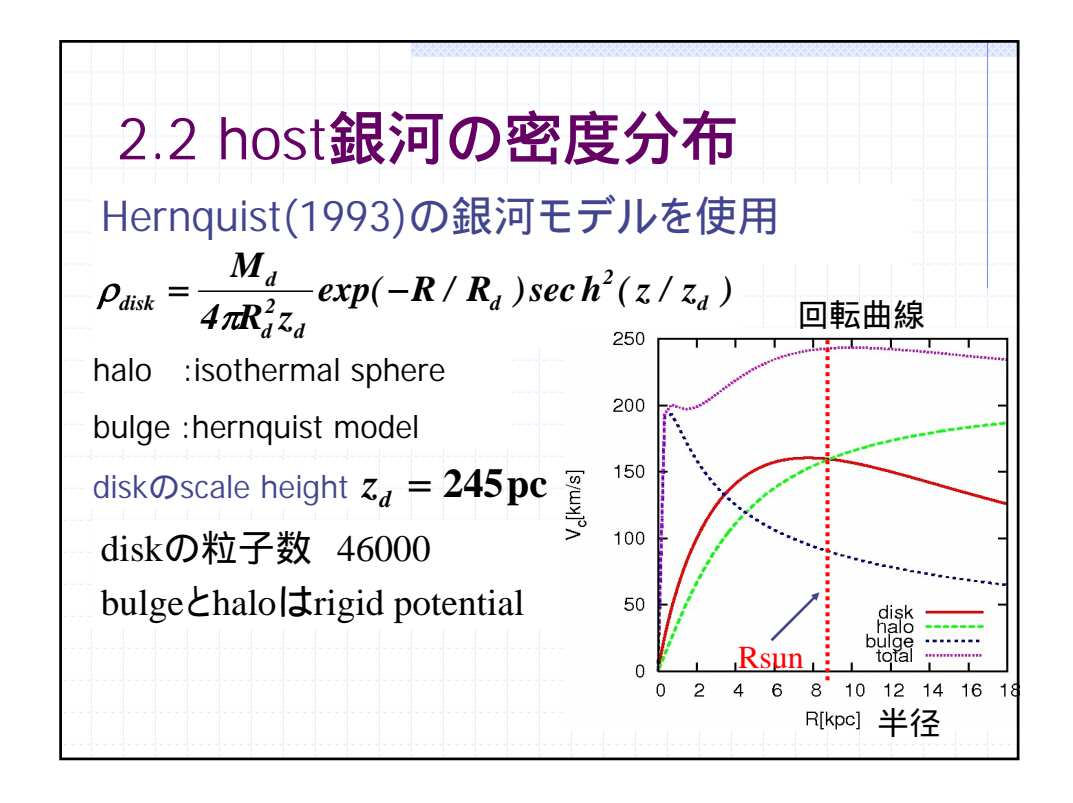
Kregel et al.(2002) 回転曲線の最大値

#### 1.3 本研究の目的

今までの研究から現在のサブハローの分布では サブハローは銀河円盤にほとんど影響しない しかし今までの研究ではサブハローがdiskに与え る効果について定量的な評価がなされていない

薄い円盤を含む銀河モデルの中で 詳細なN体計算を行いサブハローが 円盤に与える効果を定量的に得る





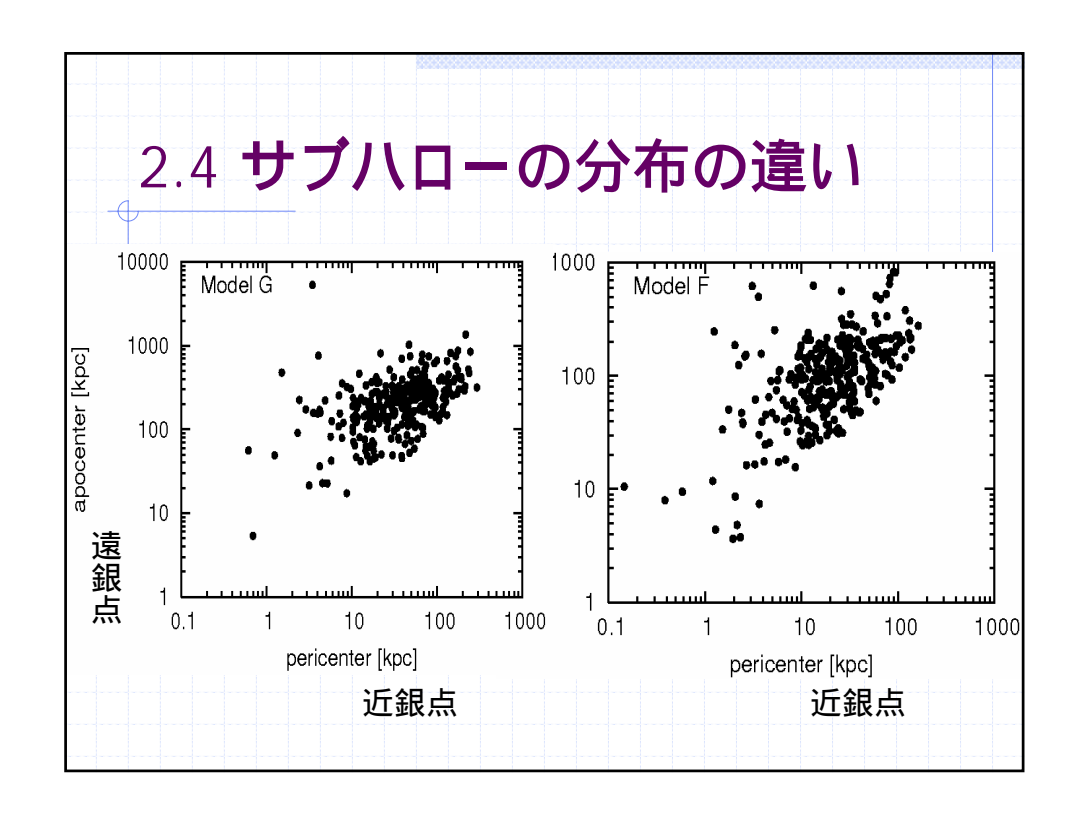
#### 2.3 サブハロー系の初期条件

- ◆サブハロー系の空間分布・速度分布

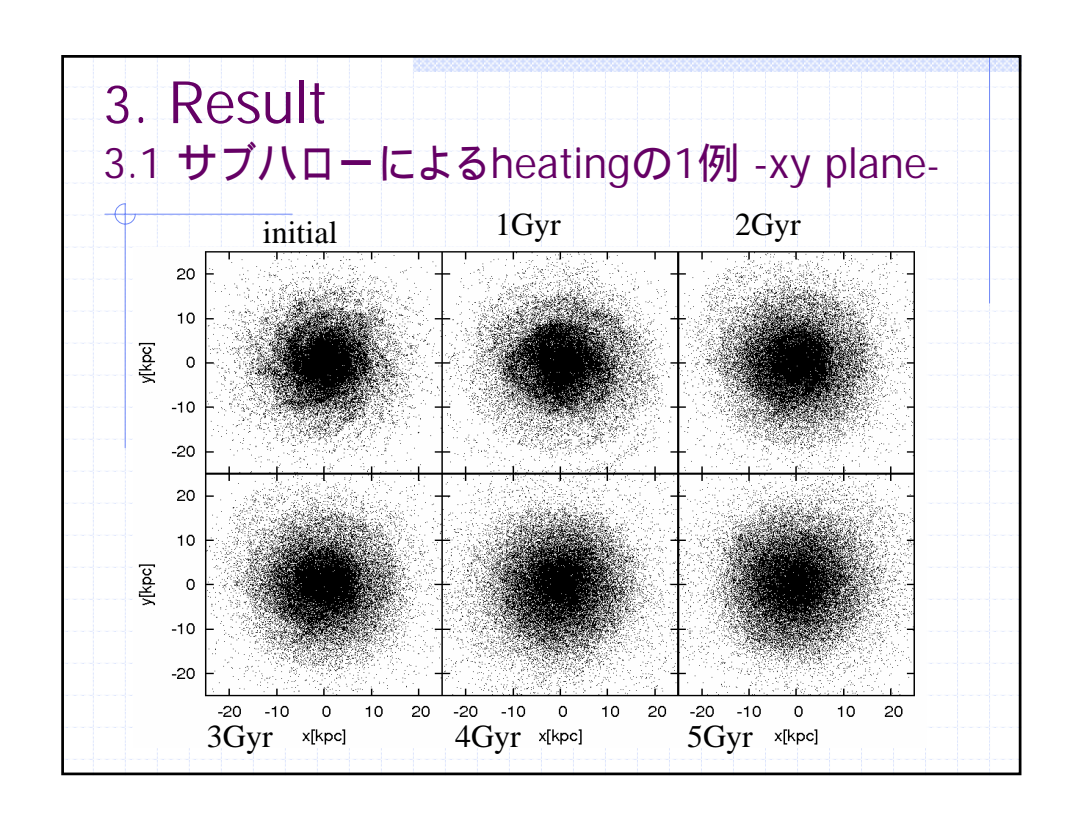
$$\rho = \frac{M}{2\pi} \frac{a}{r} \frac{1}{(a+r)^3}$$
 :aはパラメータ

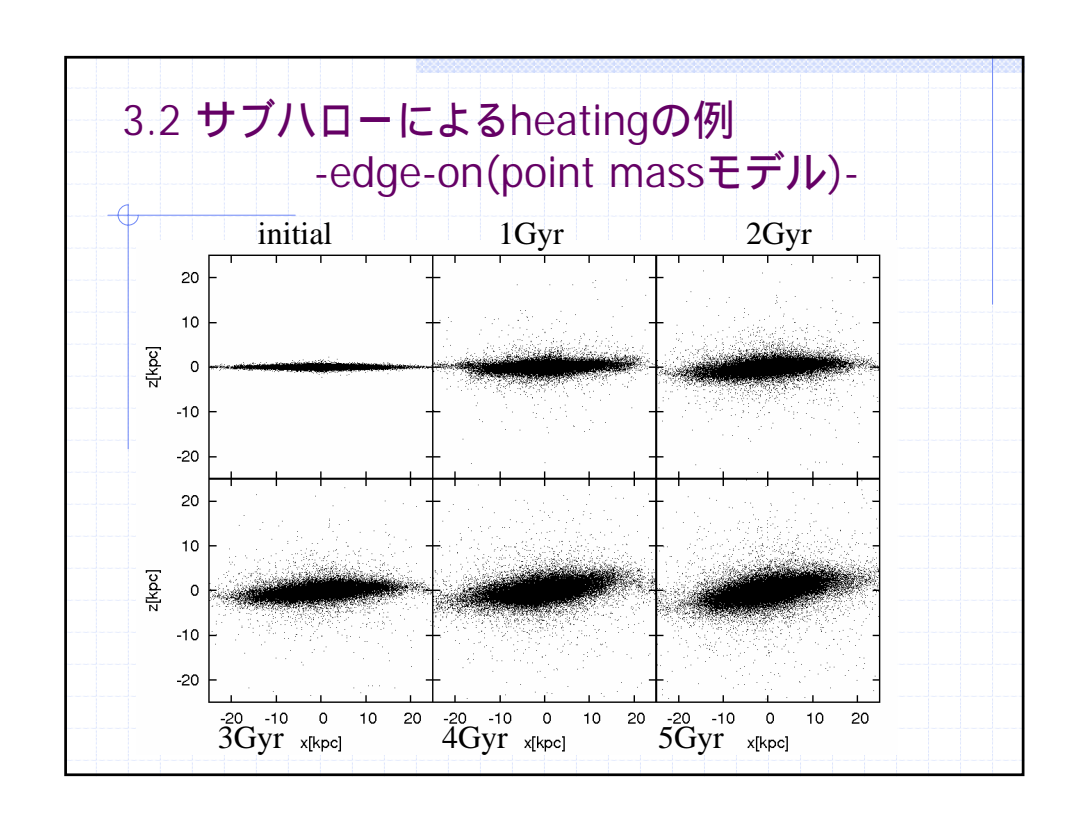
速度分布は等方の場合と =0.5を仮定

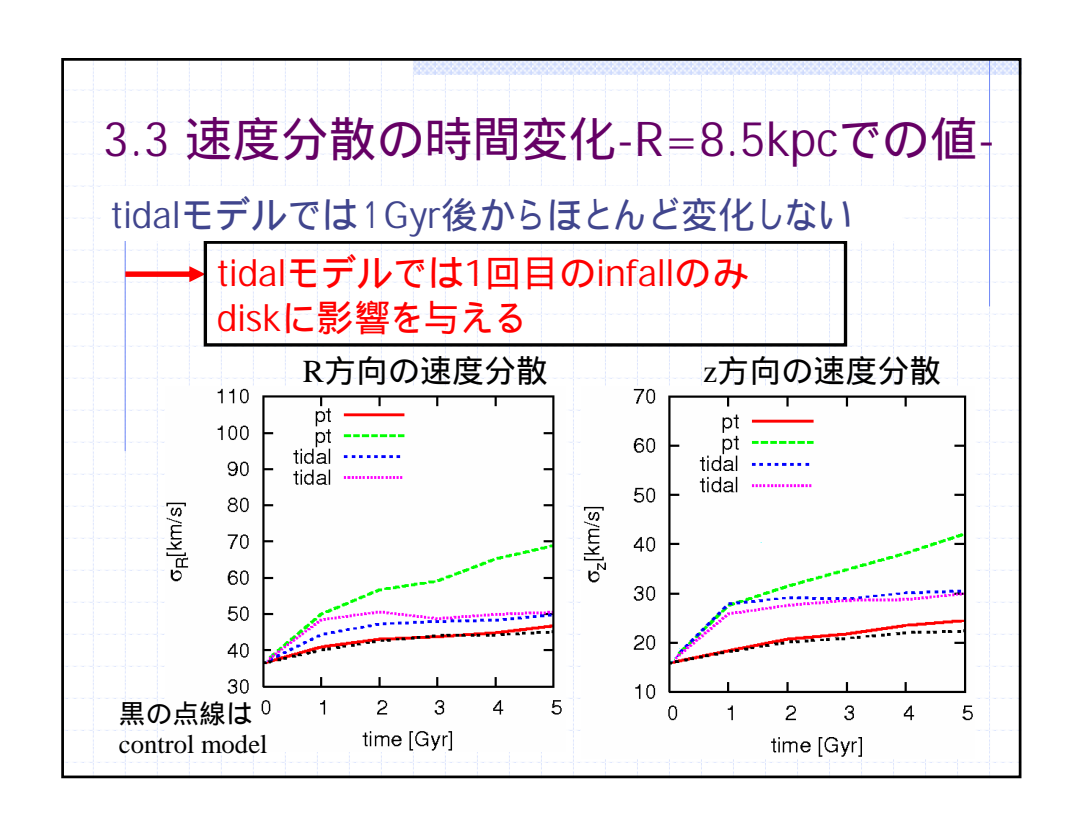
$$\beta = 1 - \frac{\overline{v_{\theta}^2}}{v_{x}^2}$$
:非等方性を表すパラメータ

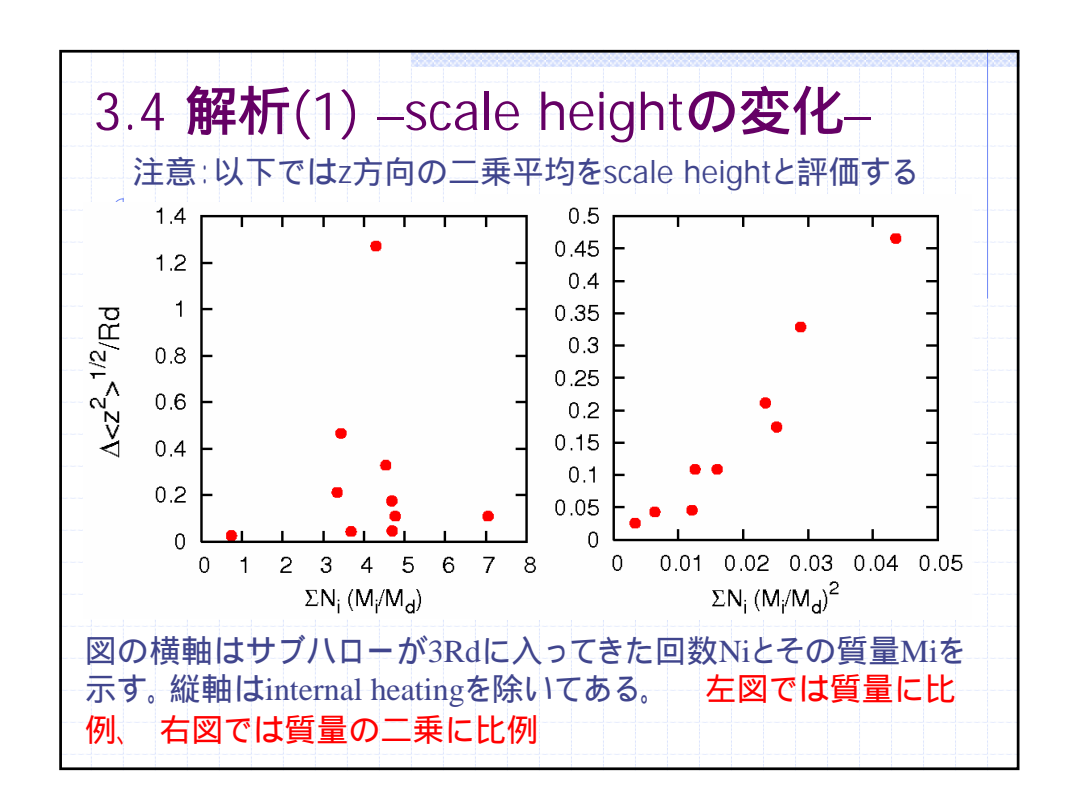


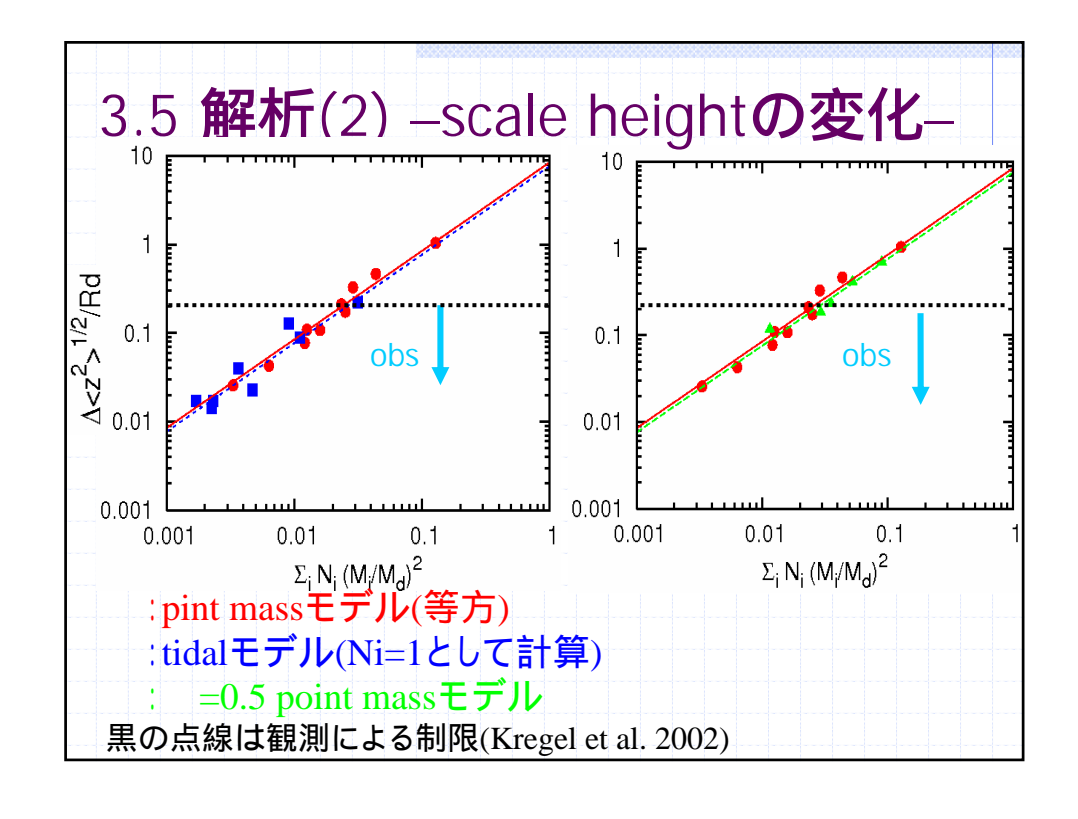
|             | model          | 総数    | scale length | MEM.T                 | $M_{low}[M_{\odot}]$ | 粒子数  | ī |  |  |  |      |
|-------------|----------------|-------|--------------|-----------------------|----------------------|------|---|--|--|--|------|
|             | point mass モデル | 40.30 | scale length | $M_{high}[M_{\odot}]$ | TATION [164©]        | 和工厂数 | 1 |  |  |  | <br> |
|             | A A            | 784   | 20           | 108                   | 108                  |      | l |  |  |  | <br> |
|             | В              | 784   | 40           | 108                   | 108                  |      |   |  |  |  |      |
|             | C              | 392   | 40           | 2×10 <sup>8</sup>     | 2 × 10 <sup>8</sup>  |      | l |  |  |  |      |
|             | D              | 261   | 40           | 3×10 <sup>8</sup>     | 3 × 10 <sup>8</sup>  |      |   |  |  |  |      |
| <del></del> | E              | 200   | 50           | 4 × 10 <sup>8</sup>   | $4 \times 10^{8}$    |      |   |  |  |  | <br> |
|             | F              | 318   | 25           | 109                   | 108                  |      | ١ |  |  |  |      |
|             | G              | 313   | 80           | 10 <sup>9</sup>       | 108                  |      | l |  |  |  |      |
|             | Н              | 175   | 40           | 1010                  | 108                  |      | ١ |  |  |  |      |
|             | I              | 1141  | 50           | 1010                  | 10 <sup>7</sup>      |      |   |  |  |  |      |
|             | J              | 1959  | 40           | 10 <sup>9</sup>       | 10 <sup>7</sup>      |      |   |  |  |  |      |
|             | tidal モデル      |       |              |                       |                      |      |   |  |  |  |      |
|             | K              | 318   | 25           | 10 <sup>9</sup>       | 108                  | 182  | ١ |  |  |  |      |
|             | L              | 172   | 40           | 10 <sup>10</sup>      | 108                  | 182  | ١ |  |  |  |      |
|             | Ĺ              | 172   | 40           | 10 <sup>10</sup>      | 108                  | 485  |   |  |  |  |      |
|             | M              | 362   | 7            | 10 <sup>9</sup>       | 108                  | 182  |   |  |  |  |      |
|             | N              | 200   | 50           | $4 \times 10^{8}$     | $4 \times 10^{8}$    | 182  |   |  |  |  |      |
|             | 0              | 112   | 20           | $7 \times 10^{8}$     | $7 \times 10^{8}$    | 182  | l |  |  |  |      |
|             | P              | 280   | 15           | 10 <sup>10</sup>      | 108                  | 170  | l |  |  |  |      |
|             | Q              | 173   | 7            | 10 <sup>10</sup>      | 108                  | 170  |   |  |  |  |      |
|             | <u> </u>       | 173   | 7            | 10 <sup>10</sup>      | 108                  | 数千個  | l |  |  |  |      |
|             | β = 0.5 モデル    |       |              |                       |                      |      | 1 |  |  |  |      |
|             | R              | 197   | 40           | 10 <sup>10</sup>      | 108                  |      |   |  |  |  |      |
|             | S              | 362   | 25           | 10 <sup>9</sup>       | 10 <sup>8</sup>      |      |   |  |  |  |      |
|             | T              | 200   | 25           | 10 <sup>9</sup>       | 108                  |      | l |  |  |  |      |
|             | U              | 249   | 40           | 10 <sup>9.3</sup>     | 108                  |      |   |  |  |  |      |
|             | V              | 361   | 45           | 10 <sup>9</sup>       | 108                  |      |   |  |  |  |      |











#### 4. Discussion

- 4.1 結果の考察
- サブハロー系によるdisk heatingの 効果を与える一般式

$$\frac{z_d}{R_d} = A \sum_i N_i \left( \frac{M_i}{M_d} \right)^2$$

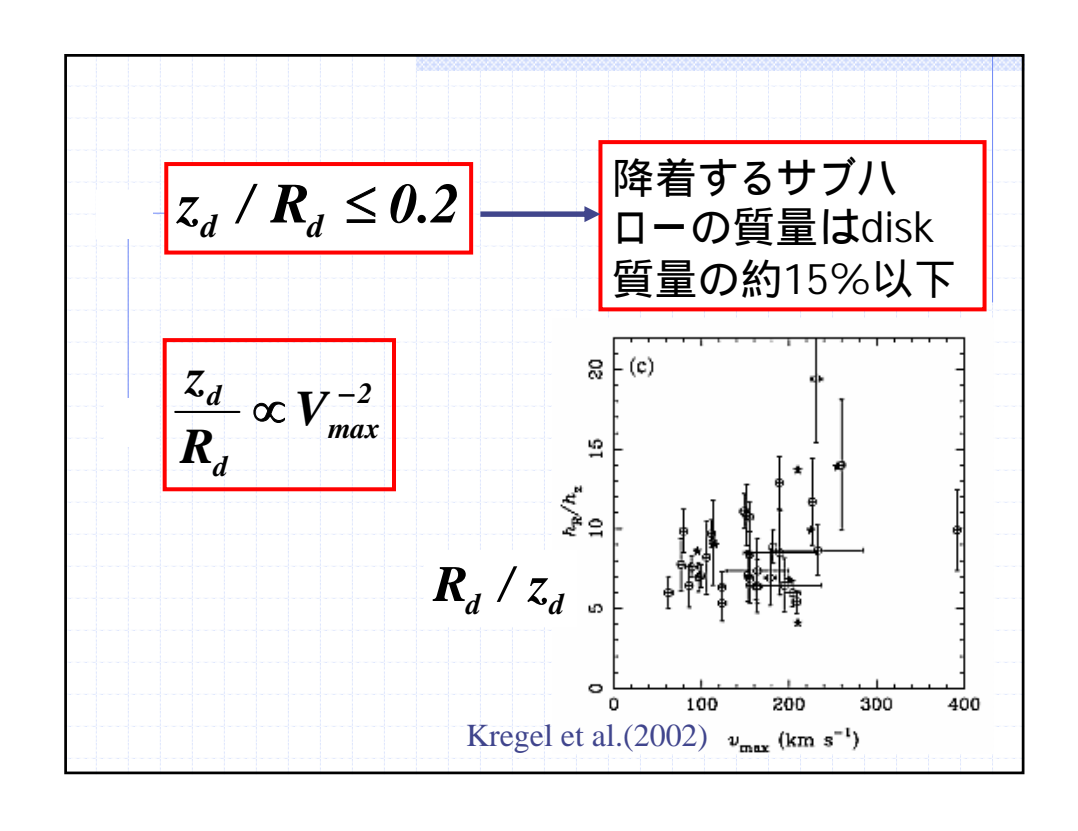
Z<sub>d</sub>:scale height R<sub>d</sub>:scale length M<sub>d</sub>:disk mass A:constant

Niの計算の仕方 point massモデル

> Niは質量Miのサブハローがある時間t内に 3Rd以内に入って〈る回数

tidalモデル(Kingモデル)

Niは質量Miのサブハローが3Rd以内に入ってくる総数



#### 5. Conclusion

- ◆disk heatingはサブハローの質量に 強い依存性を持っている
- ◆disk質量の約15%の以上の質量が diskにaccreteしてくると観測される以上 にdiskはheat upされる



中島 紀 (国立天文台) <u>森川</u> 雅博 (お茶大)

#### N-体計算の結果得られるカスプ構造

■ CDM cosmology に基づく、シミュレーションの結果 えられる暗黒物質ハローの密度プロファイル(例: NFW profile) は、rの小さいところで、

$$\rho(r) \propto r^{-\alpha} \quad (\alpha = 1 \sim 1.5)$$

で振舞うような、カスプ(尖端がとがった構造)をもつ。 この道のパイオニアの Navarro, Frenk & White は、 「プロファイルは平衡状態を表している」、 といって いる。

いったいどんな平衡なのか?

#### カスプ構造の平衡

- 密度プロファイルからも、ただちに熱平衡にないことはわかる。無衝突粒子系の緩和時間は非常に長く、 大局的熱平衡は期待されない。
- 一方、力学平衡(例:圧力平衡)は、緩和時間が短いので、起こりうる。普通のガスの自己重力系なら、静水圧平衡、
  - $dp / dr = \rho GM(r) / r^2,$
  - $M(r) = 4 \pi \rho r^2 dr.$
  - を要求するところだが、暗黒物質の相互作用が弱いので、 無衝突系として扱う必要がある。

## 定常的ジーンズ方程式

- 無衝突ボルツマン方程式を速度空間で積分すると、ジーンズ方程式が得られる。このジーンズ方程式の、速度分散が等方的で、定常的(時間を含まない)場合に、

  - $p = m n(r) \sigma^2 ,$

m: 粒子質量、 n(r): 数密度、 σ: 速度分散 と定義してやると、ジーンズ方程式と静水圧平衡の 式は、全〈同じ形になる。

#### 力学的安定条件

- 静水圧平衡/定常的ジーンズ方程式の原点 における安定条件は、
  - r = 0 で、p > 0 であり、かつ有限。(ジーンズ 方程式の場合、密度、速度分散が有限という意味)。
  - この安定条件の特徴は、平衡条件の式の右辺が、密度プロファイルを与えれば、決まるので、 密度プロファイルの冪の条件として、求まること。
  - $\rho(r) \propto r^{-\alpha}$  に対して、  $\alpha \leq 1$  が安定条件。

#### 安定条件 α≤1 が意味すること

- いくつかの可能性
  - N-体計算の結果得られたカスプが、力学平衡にない。
  - 自己重力のみの鋭いカスプは存在しない。
  - 鋭いカスプ (α>1) があるなら、中心に重力源 (質量)があるはずである。
- ちなみに、ここまで暗黒物質で議論してきたが、同じ条件は、どんな質量分布にも成り立っ。

#### 現実の宇宙(銀河スケール)

- 渦巻き銀河、ガスのある銀河
  - 回転曲線から、質量分布が得られる場合がある。
  - Dwarfs, LSBG, bulgeless-normal galaxies の場合 constant—density cores があるという(Gentile et al. 2004)。 ただし、星の引き方が微妙で、α(DM) = 0.73 (Simon et al. 2005) という結果もある。このような銀河には、中心核活動は見られない。(たぶんBH はない。)
- ■我々の銀河
  - Flat rotation curve 0.1 ~ 200 kpc? (Sofue & Rubin 2001).
  - α ~ 2 に対応(不安定)。 中心に BH が存在。
- 多〈の渦巻き銀河
  - Flat rotation curves を持ち、なおかつ、中心付近で、回転速度が急激に増えるものがある。多分、中心に、Stellar clusters か、BHs のような重力源があると思われる。

## 現実の宇宙(銀河団スケール)

- 重力レンズ (特に Strong lensing)の結果
  - CL 0024+1654 (Tyson et al. 1998)
  - A1689 (Broadhurst et al. 2005)
  - ソフトコアか、浅いカスプ(α<1)。
  - Radial & tangential critical curves のある三つの銀河団から求めた平均 α=0.52 (Sand et al. 2004)。
  - 一般には、銀河団では、鋭いカスプはなさそう。
- 例外: A383:
  - 但し、鋭いカスプは、cD galaxy でつくられているらしい (Smith et al. 2001)。
- 中心付近は、銀河の寄与が大き〈解析が難しい。

#### 玄人向け(Part 2)...時間が許せば

- カスプの密度が非常に高くなると
  - 量子統計(ボソンかフェルミオンか)が、状態方程 式にきいてくる。
  - さらに、高密度では、静水圧平衡の式を、 Tolman-Oppenheimer-Volkoff の相対論的な平 衡の式に置き換える必要がある。
  - しかし、結果は簡単で、カスプはいつも不安定と いう結果になる。 (Nakajima 2006a)
- ちなみに、A1689 の flat top 構造は、eV mass の縮退したフェルミオンで再現できる。 (Nakajima & Morikawa 2006b).

#### TOV 方程式の安定性

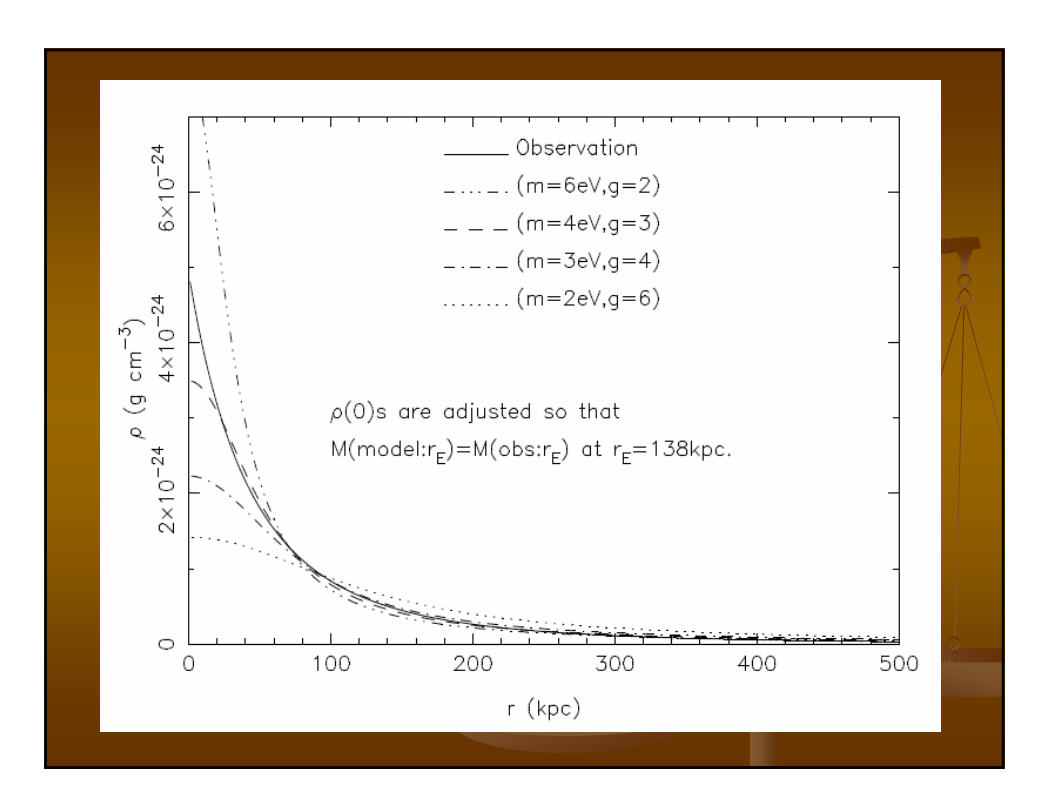
- カスプの局所慣性系において、ガスの状態方程式が
  - p ∞p β で与えられるとき、 β>1 が条件。
  - ■ボーズガス、古典理想気体、はつぶれる。
  - 少なくとも部分的に縮退した Fermi gas のみ安定。 但し、β>1 では、dp/dr = 0 となり、flat top.
  - 結局、相対論的カスプはない。
- 縮退したフェルミガスのみ、flat top な構造を つくりうる。

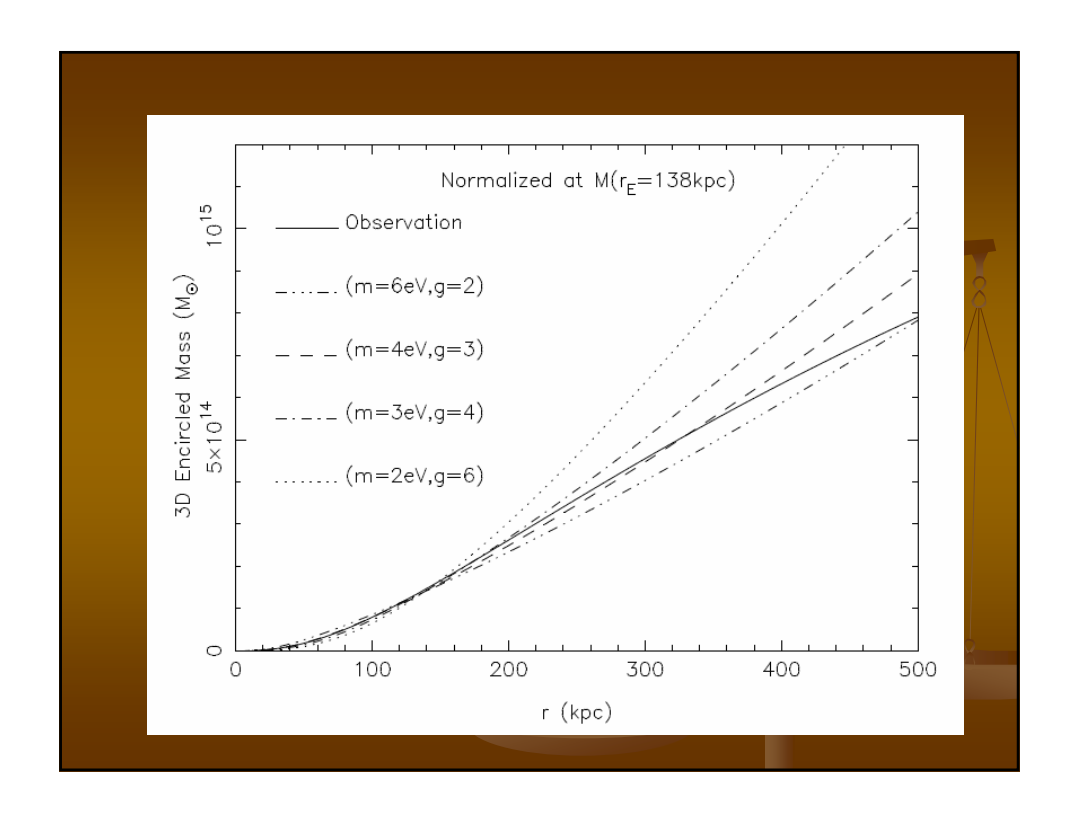
#### 現実の宇宙とフェルミ縮退

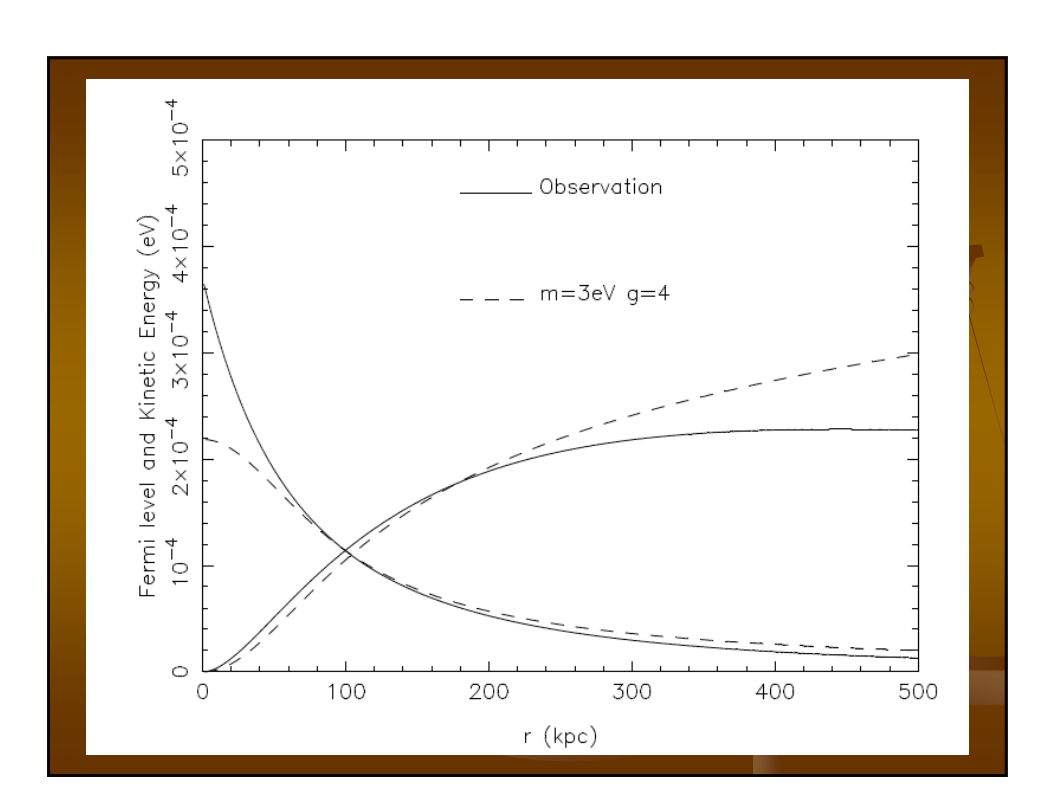
- Mass m の粒子の造る自己重力系の大きさ は、m<sup>-2</sup> に比例。
  - m = 1 Gev r = 10 km ..... Neutron star
  - $\blacksquare$  m = 1 eV r = 10 <sup>19</sup> km = 300 kpc
  - eV mass particles は、cluster core scale の自己重力系を造る。
- Cluster of galaxies, A1689 のコア
  - $\rho \sim 10^{-24}$  g/cc,  $n \sim 10^{-11}$  /cc for m=1 eV.
  - 非相対論的粒子に対して、ドブロイ波長>n -1/3.
  - 相対論的にはならなくとも、縮退はありうる。

#### 現象論的状態方程式

- T = 0 で、非相対論的完全縮退
- T large で、古典的理想気体に漸近
- Thermal energy を、それに釣り合う Encircled mass による重力エネルギーで置 き換える。3/2 kT = GmM(r) / r.
- $p = P_D (1 + 5/2 g kT/E_f)$
- このEOSと静水圧平衡の式からできた微分方程式を積分。解は、ρ(0), m, g (統計重率) できまる。







#### 重力レンズ法による 太陽系外惑星系の発見

MOAによる暗天体の研究

#### 名古屋大学太陽地球環境研究所 村木 綏

#### 目次

- 1. 研究目的 (dark matter, extra-solar planets)
- 2. 研究方法 マイクロ重力レンズ法
- 3. バリオニックダークマターは存在するのか?(LMC)
- 4. 2000-2004年のMOA I システムの成果 (GC)
- 5. 太陽系外地球型惑星の発見(Nature event)
- 6. 新MOA計画 -MOA IIスタートとその現状

MOA = Microlensing Observations in Astrophysics

#### 共同研究者

P. Yock (Auckland), J. Hearnshaw (Canterbury), P. Kilmartin (Mt. John observatory), D. Sullivan (Victoria), I. Bond (Massey univ. New Zealand)

#### 1. 研究目的

(I) 我々の銀河のダークマターの研究

Paczynski's suggestion 1986

Discovery of Macho 1993

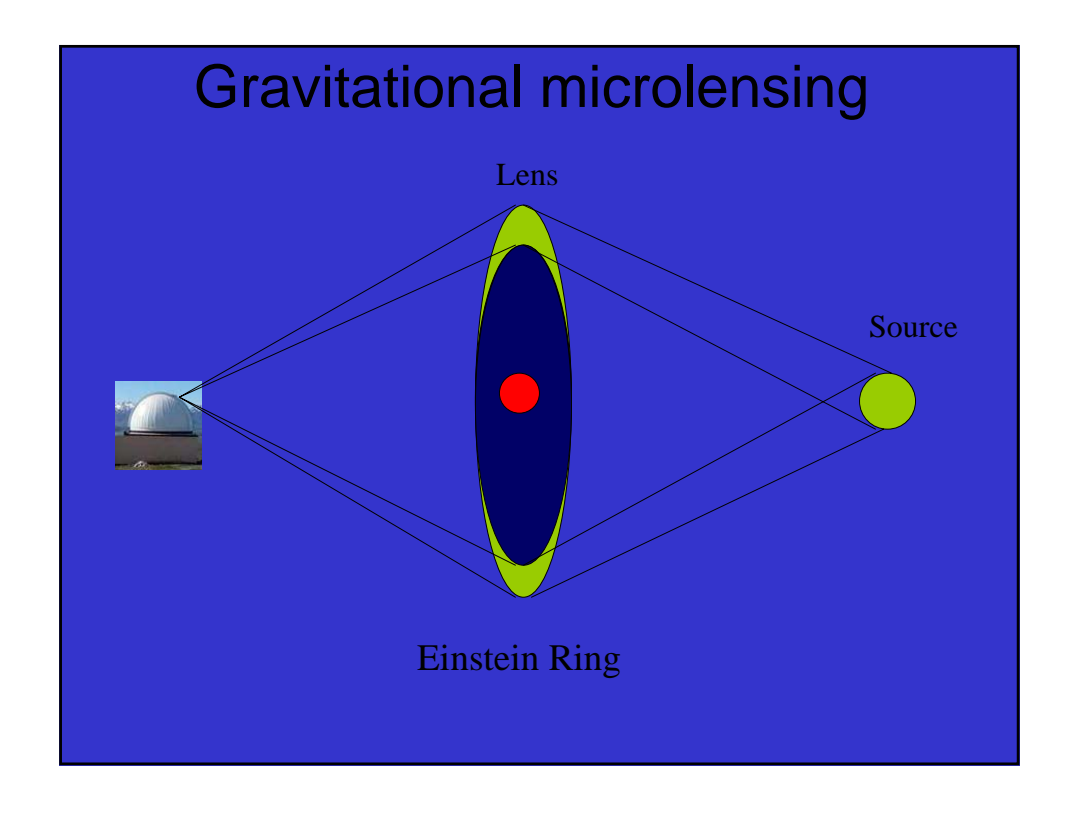
Famous debates in 1998

(II) 太陽系外地球型惑星の発見

Discovery of Planet

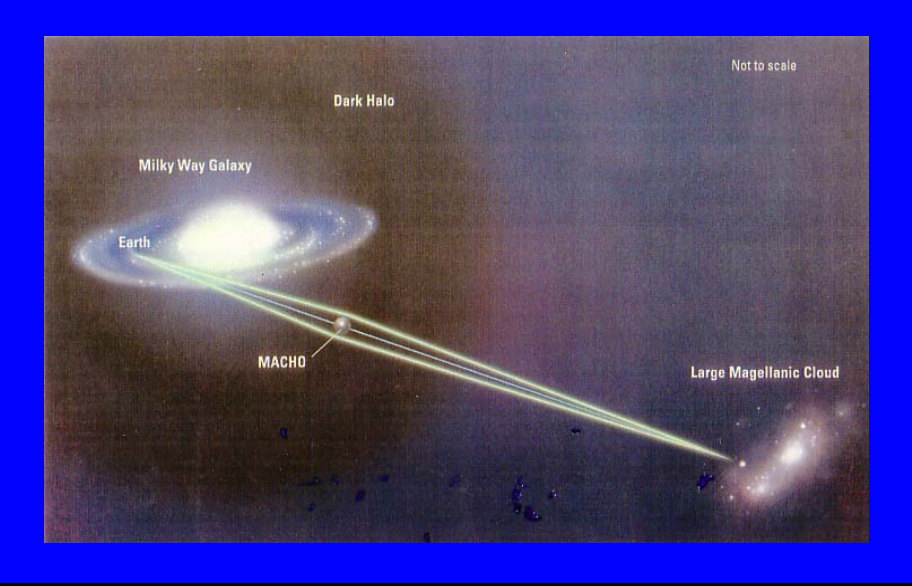
by OGLE and MOA 2003

Macho = MAssive Compact Halo Objects



#### 2. 研究方法

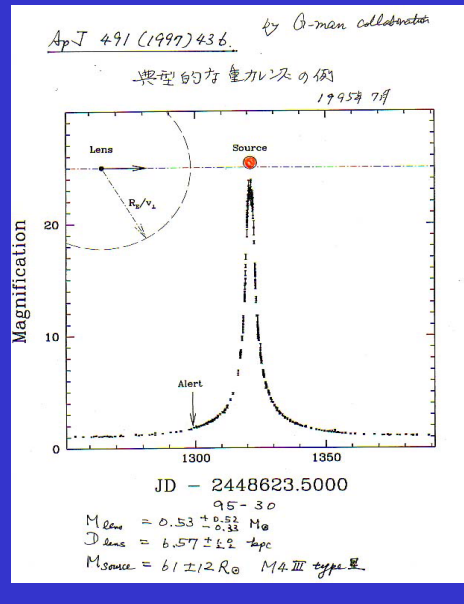
重カレンズで暗天体を見つけよう

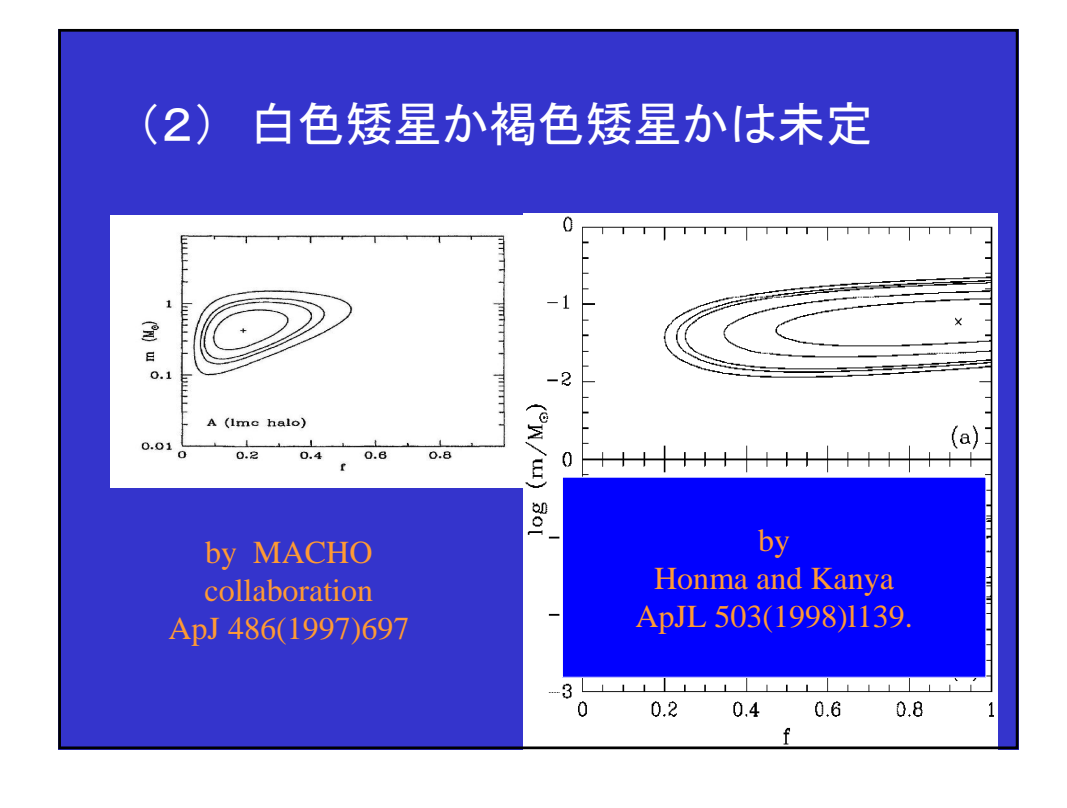


#### 3. MACHOの探索の結果

- (1)確かにマイクロ重カレンズ効果はある
- (2)白色矮星か褐色矮星かは論争中

# (1)確かにマイクロ重力レンズ効果はある





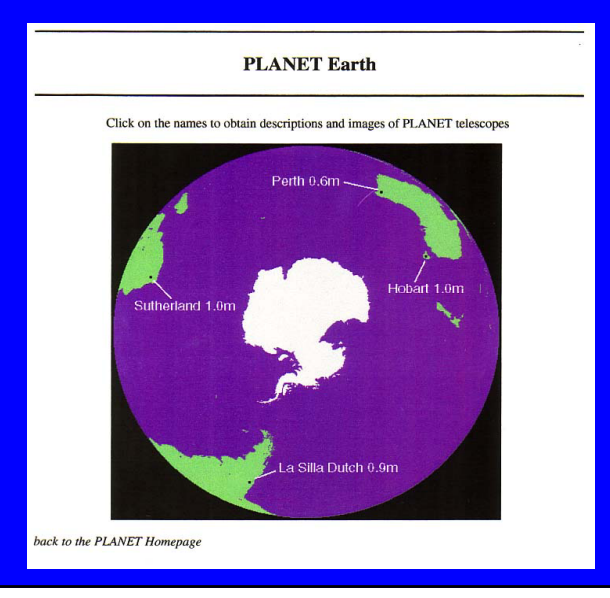
## (2)の論争の内容

- ① HaloにMACHOは少なくとも20%はある。 MACHO collaborationの結論
- ② Haloには褐色矮星が一杯つまっている。 本間-官谷の解析 → VELAに期待

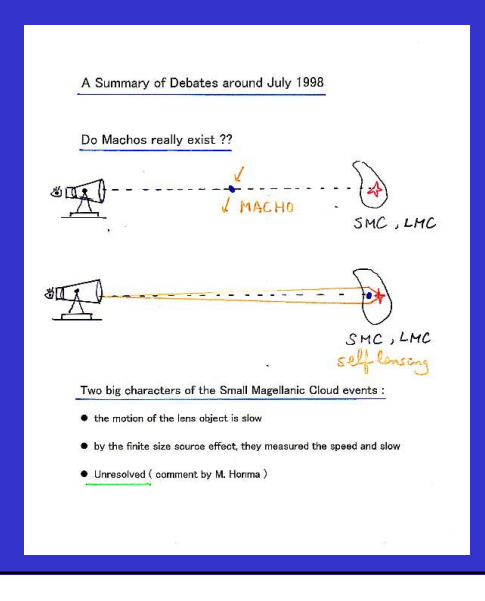
#### MACHOがあるという結論そのもの に対してクレームがついた。

→ 1998年のScience に載った論争 Science 281 (1998) 332 by J Glanz

## 4.Planet groupからの 新しい問題提起



## Machoは本当にあるのか? Self lensing と違うのか?



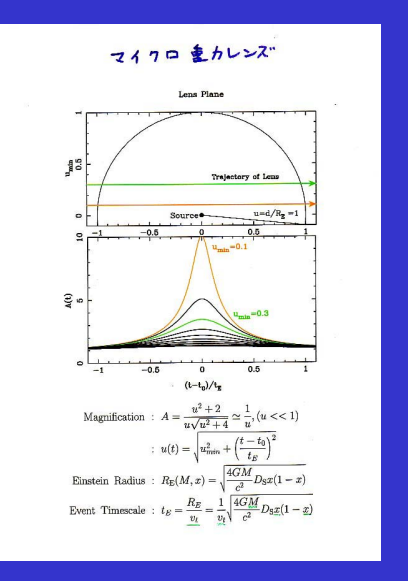
#### Microlensing Basics (2) 縮退を解く

#### Microlensing by Galactic MACHOs $\bullet$ image splitting $<10^{-3}~\rm arc~sec$ $\Rightarrow$ undetectable! • Amplification can be large:

$$A = \frac{u^2 + 2}{u\sqrt{u^2 + 4}} \sim \frac{1}{u} \; ; \quad u \equiv \frac{r}{R_E}$$

· Amplification varies in time:  $\Delta t = R_E/v_t$ ;  $v_t \sim 200 \text{km/s}$ 

$$\Delta t \approx 0.2 \, \mathrm{yr.} \sqrt{M/M_\odot}$$
 discovered  $\approx 21 \, \mathrm{days} \; \mathrm{for} \; M = 0.08 M_\odot$   $\approx 2 \, \mathrm{days} \; \mathrm{for} \; M = 10^{-3} M_\odot$   $\approx 30 \, \mathrm{min} \; \mathrm{for} \; M = 10^{-7} M_\odot$   $\approx 20 \, \mathrm{years} \; \mathrm{for} \; M = 10^{4} M_\odot$  not yet  $\sim 1 \, \mathrm{year} \; \mathrm{for} \; M = 25 \, \mathrm{Mo}$  not yet  $\sim 1 \, \mathrm{year} \; \mathrm{for} \; M = 25 \, \mathrm{Mo}$  not yet  $\sim 1 \, \mathrm{year} \; \mathrm{for} \; M = 25 \, \mathrm{Mo}$ 



#### 5. 結論

- Machoの存在は依然不明である。 何故なら Machoの距離が測れないからである。
- そこで縮退を解く方法が提案された。
  - (1) EAGLE eventsをねらえ!

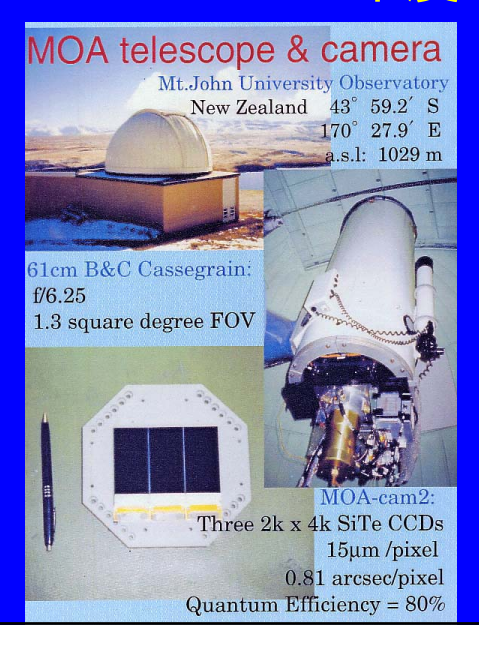
by Nakamura and Nishi

- (2) finite source effectをねらえ! binary lens events を集める
- (3) Parallax eventを集めよ!

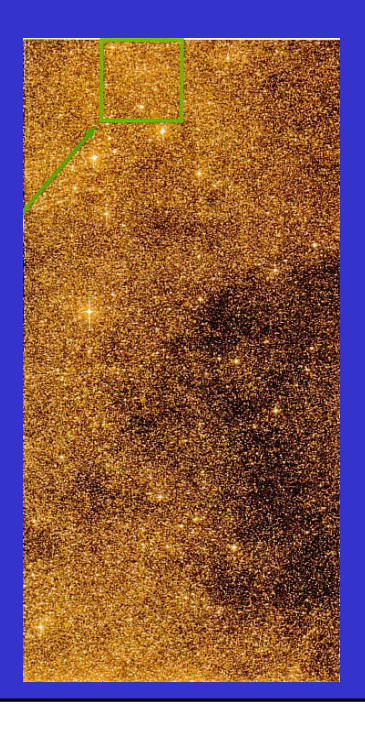
従って大型装置が必要となる。

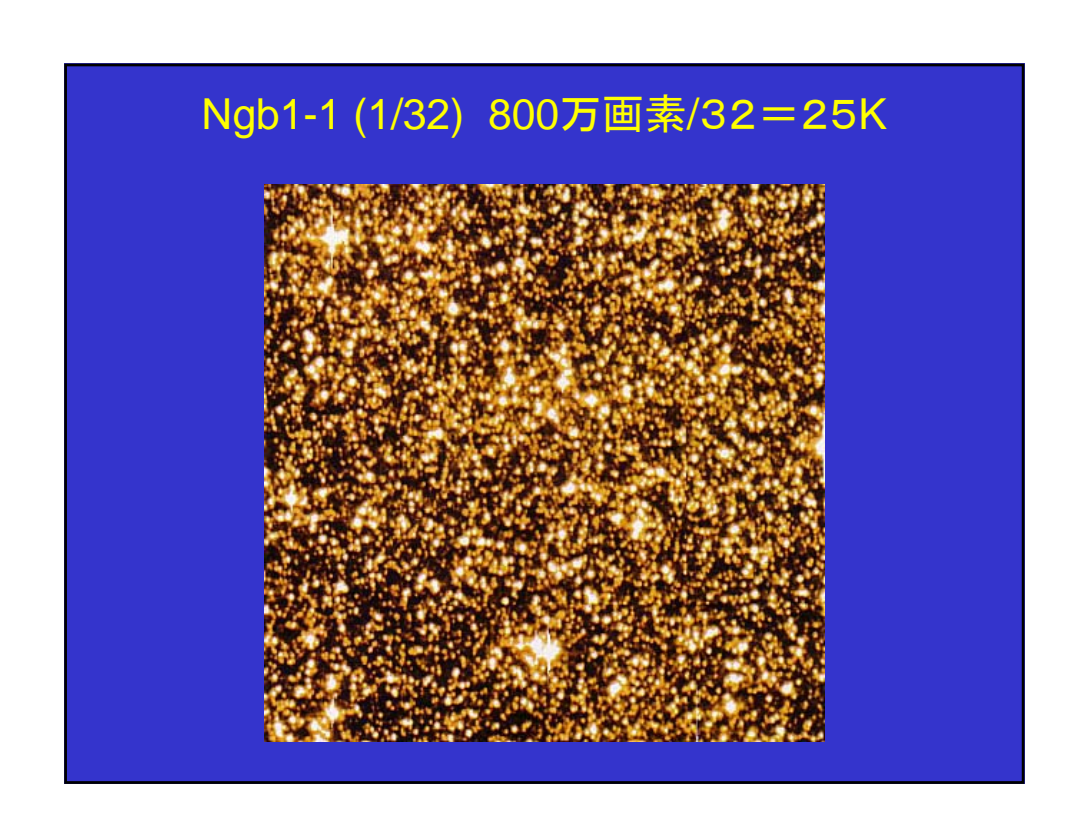
(1.8m望遠鏡 + 80million pixel CCD camera)

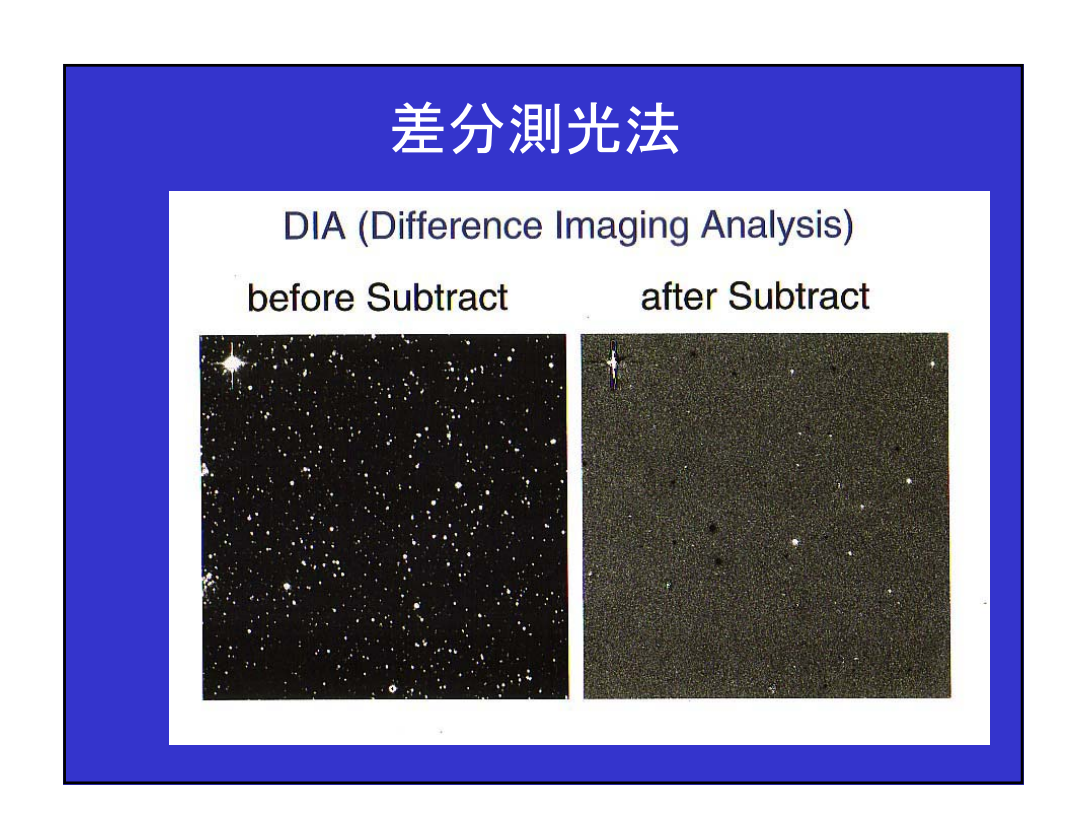
## 6. MOA 2000-2004 年度の紹介



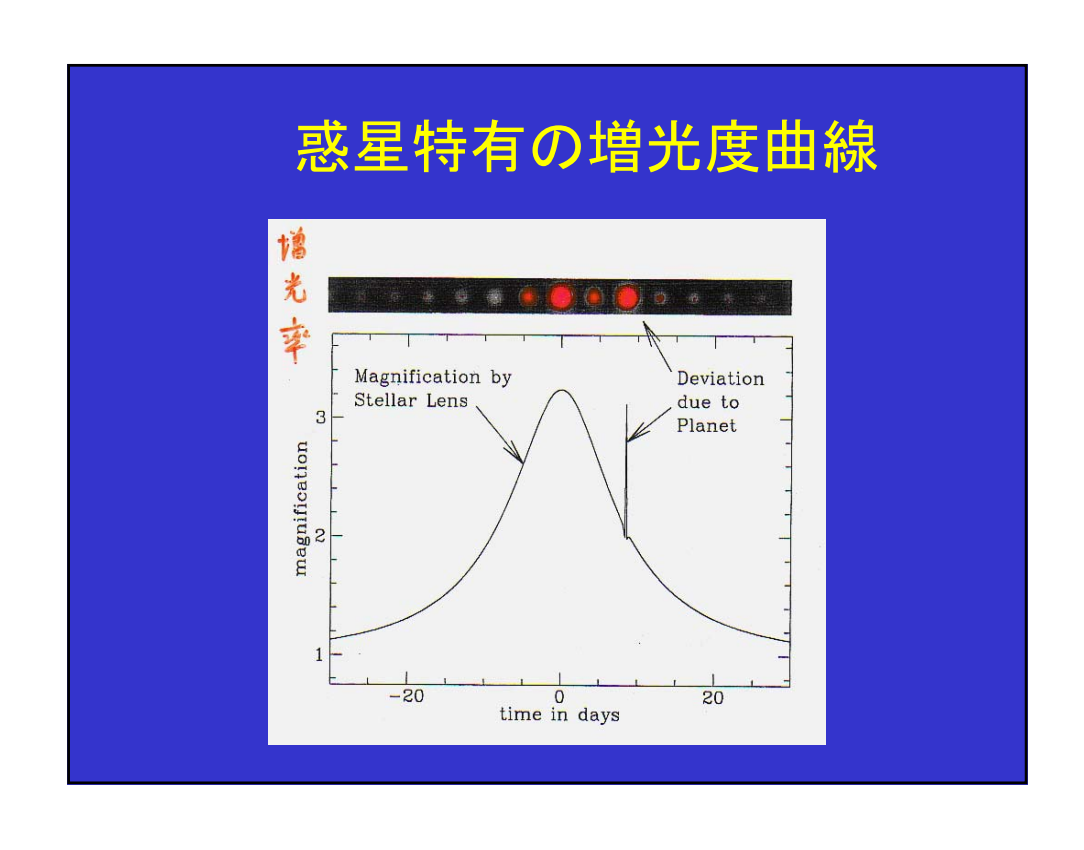
One tip of CCD ngb1-1 Dophot 50 min DIA 10 min green zone 1/32



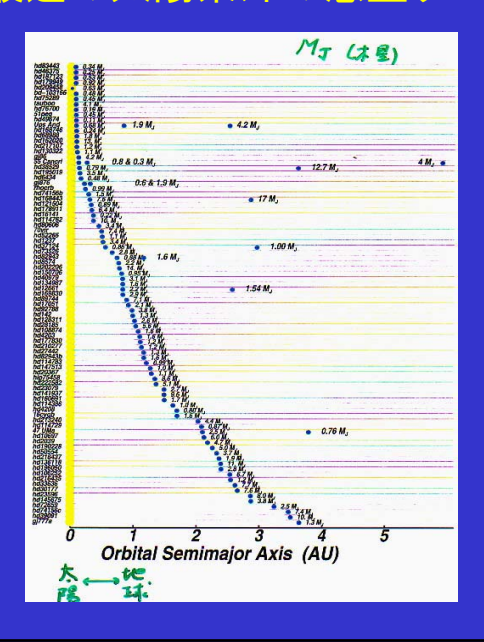




# 

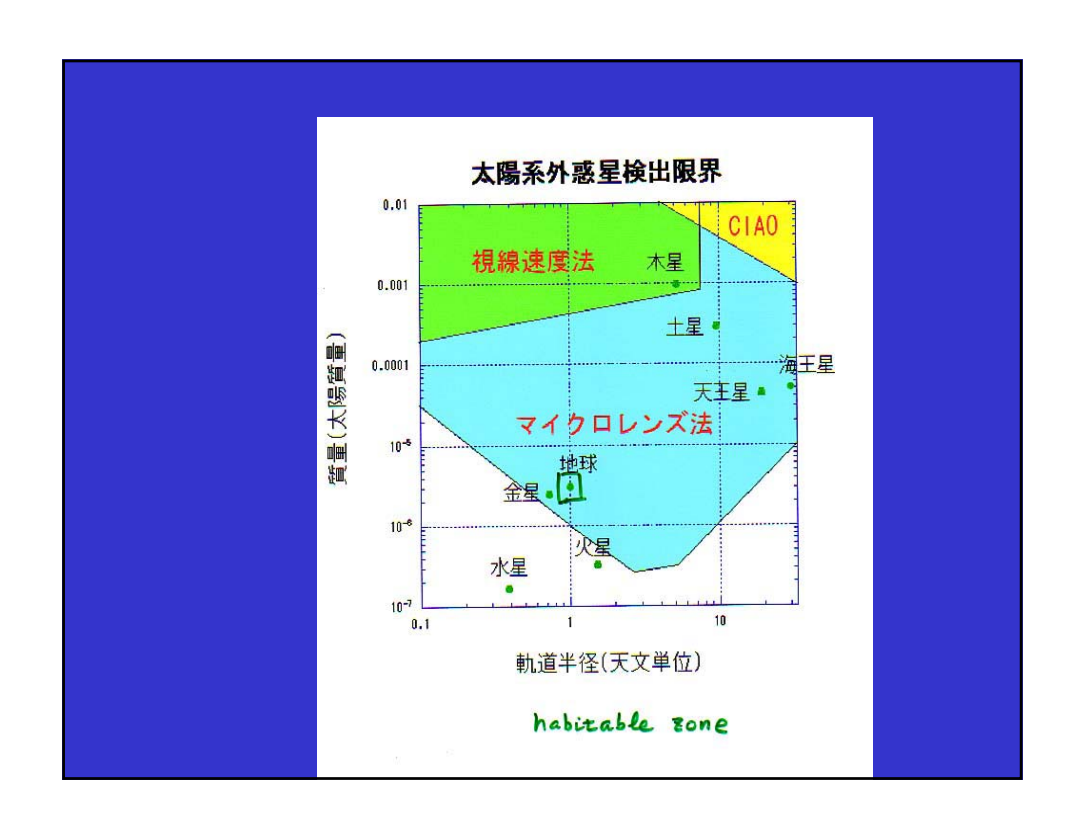


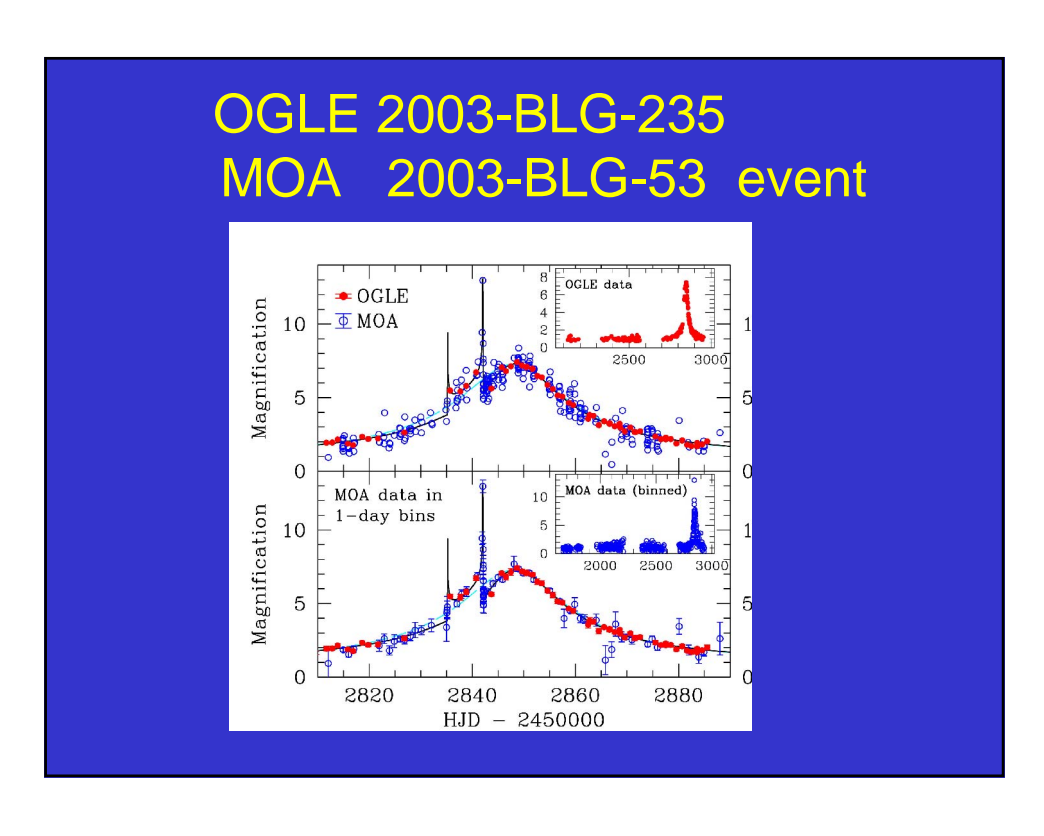
#### 最近の太陽系外の惑星リスト



#### 太陽系外惑星

- 太陽の回りを周回する重い惑星が多い
- これは単なる観測のバイアスではないのか?
- 理論的には最初の分子雲の重さによる
- 地球型惑星を見れるのは現在重力レンズのみ
- ここにMOA-OGLEへの期待がある

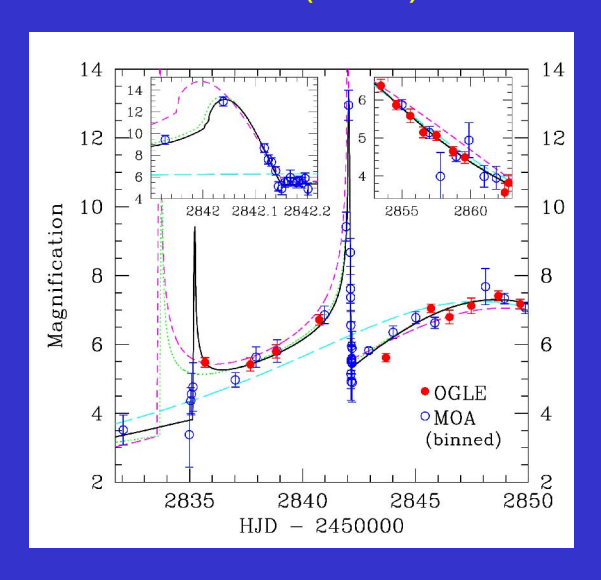




#### Finite source effectを使うと何がわかるか

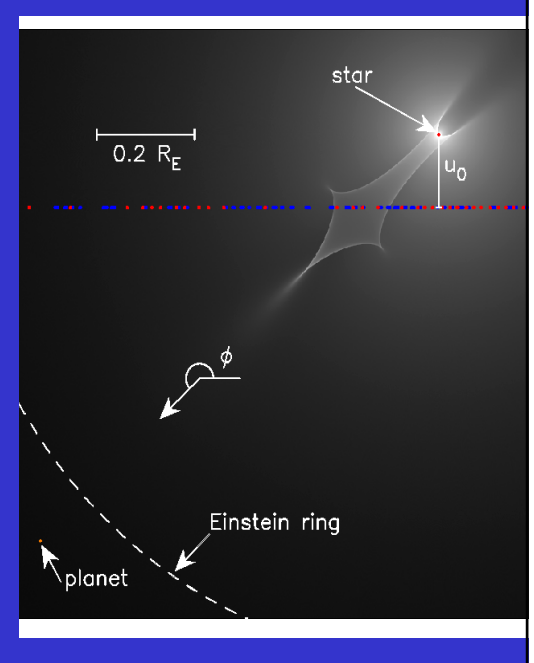
- 1. Source starの色から星の大きさが推定できる 今回はG-starで 等級がI=19.7等だから 銀河中心部の星であることがわかる。(8kpc)
- すると星の視野角がわかる。
   (今回は0.50±0.05 μ arc sec)
- 3. するとレンズ天体の相対速度が求まる (今回はR\*=5.8x10<sup>5</sup>km, 1.4hours, v=50km/s)
- 4. するとレンズ天体のEinstein半径が求まる (今回は50km x 61days/2≈1.3x108km≈1AU)

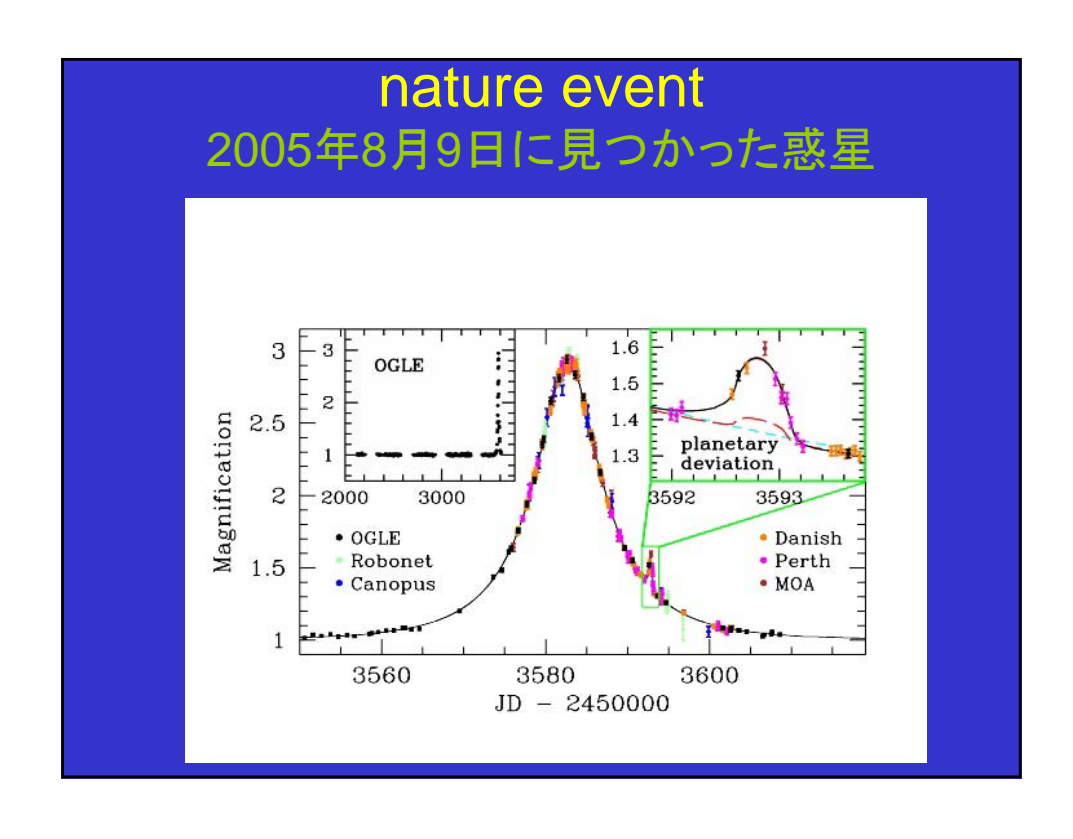
#### MOA-2003-BLG-53 OGLE2003-BLG-235 event APJL 606 (2004) L155



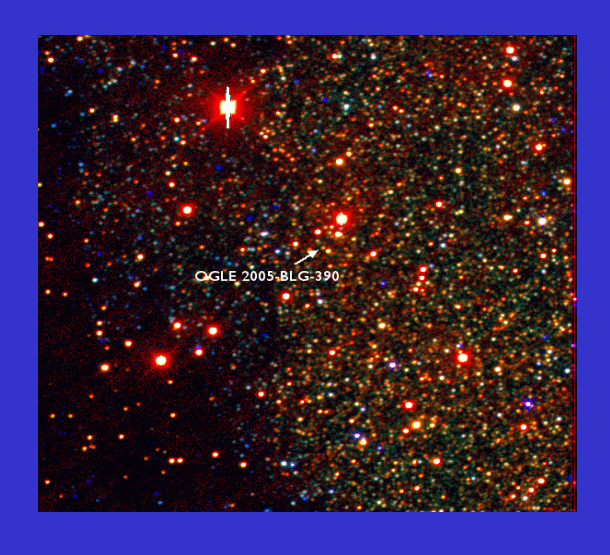
# • Fit parameter $t_E = 61.6 \pm 1.8 \text{ days}$ $u_{min} = 0.133 \pm 0.003$ $A_{projection} = 1.12R_E$ $M_{planet}/M_{source} = 0.0039 \pm 0.007$ $t^* = 0.059 \pm 0.007$ days or $\theta */\theta = 0.00096$ $\pm 0.00011$ $D_{low} = 5.2 \text{kpc}$ , $M_{low} = 0.36$

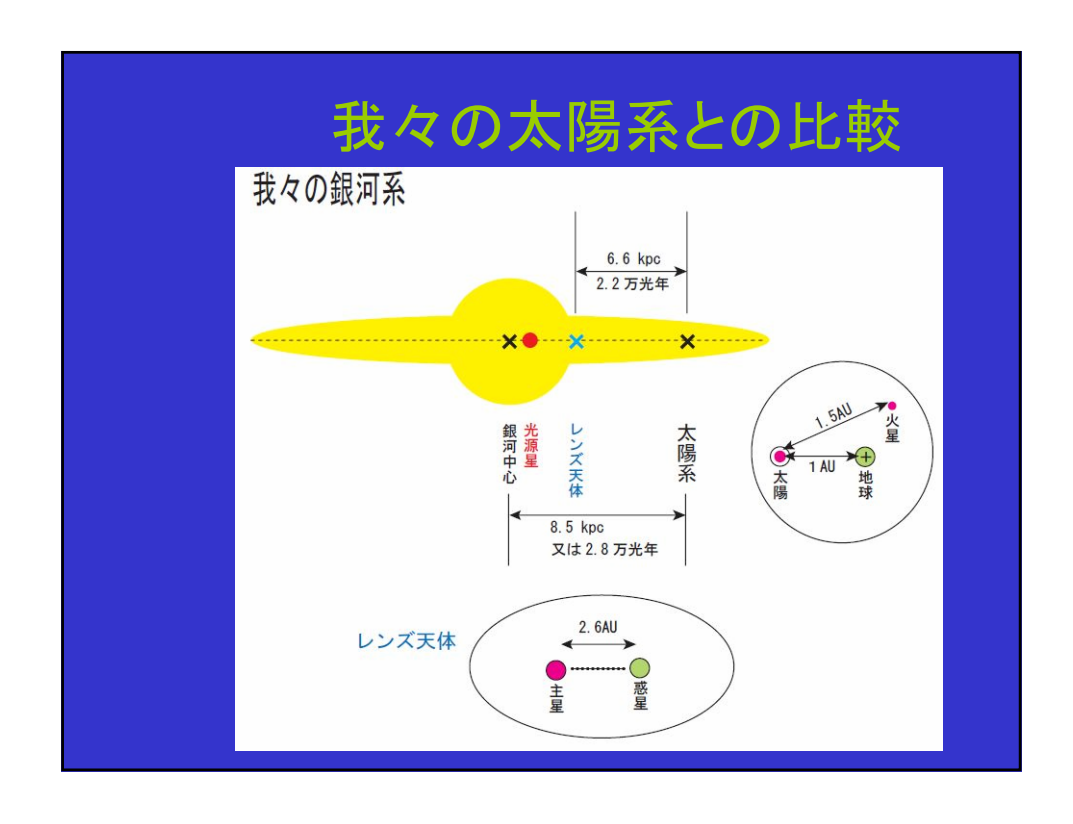






#### 光源に利用した星





#### "太陽系の兄弟"のパラメーター

• 主な数値

光源として利用した星の性質

• 距離: 2.8万光年かなた、銀河中心近傍の星

• 半径: 太陽の9.6倍の赤色巨星

• 惑星系

• 距離: 2.2万光年かなた、銀河中心付近

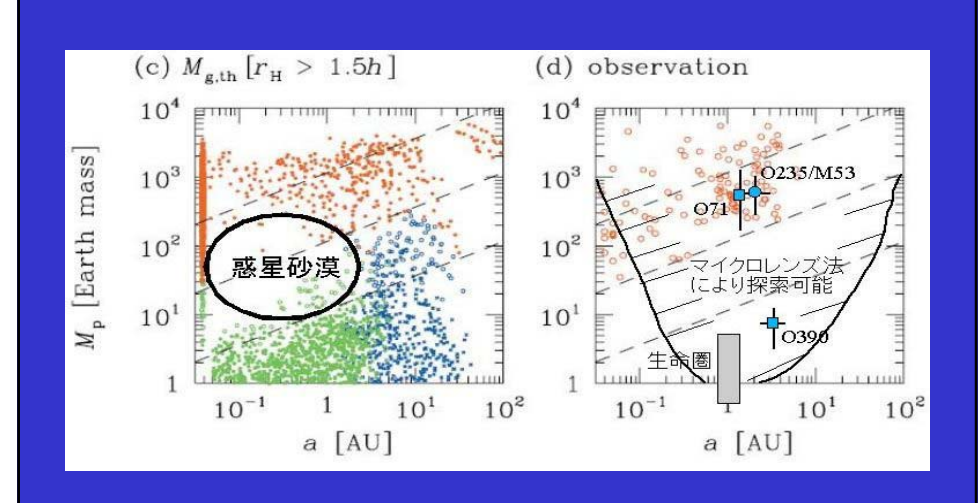
• 質量(主星): 太陽の1/5

(惑星): 地球の5.5倍

• 軌道: 惑星は太陽-地球間の2.6倍

• 温度:零下 – 220度と予想

#### 今回の発見の科学的意義



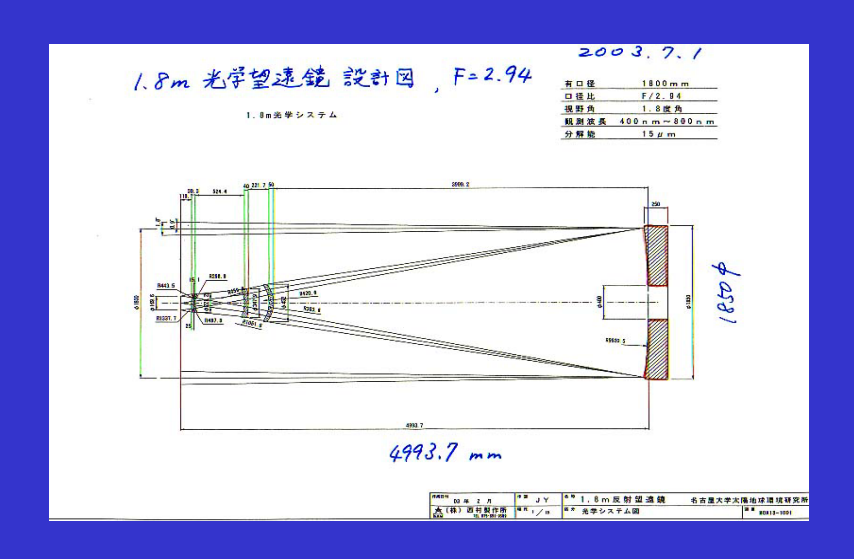
## 8. MOA 1.8m の建設報告



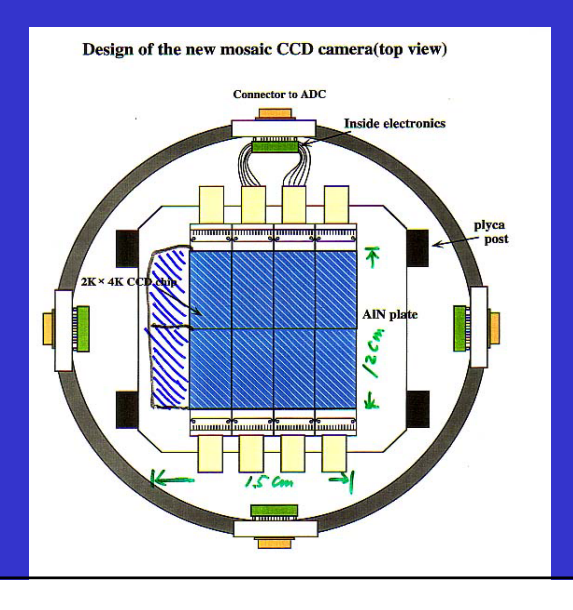
# Mt. John observatory of Canterbury university (1031m) Lake Tekapo (713m)



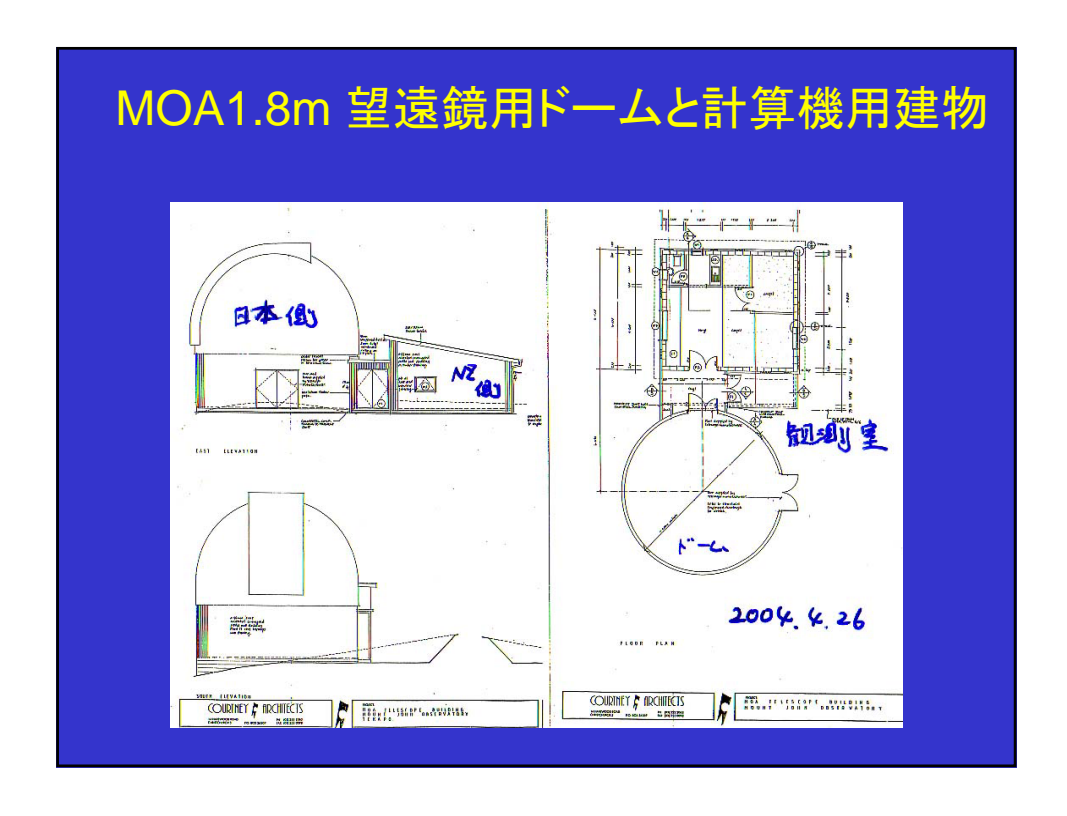
#### 1.8m 望遠鏡設計図



#### Large CCD camera 8k x 10k で 2 平方度を一挙に見よう!



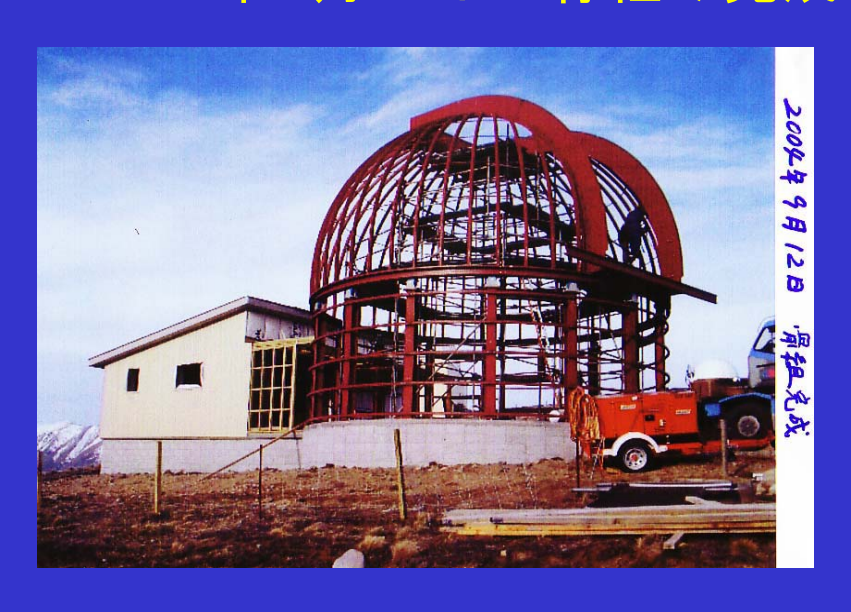




## 2004年9月 ドームの建設始まる



## 2004年9月12日 骨組み完成



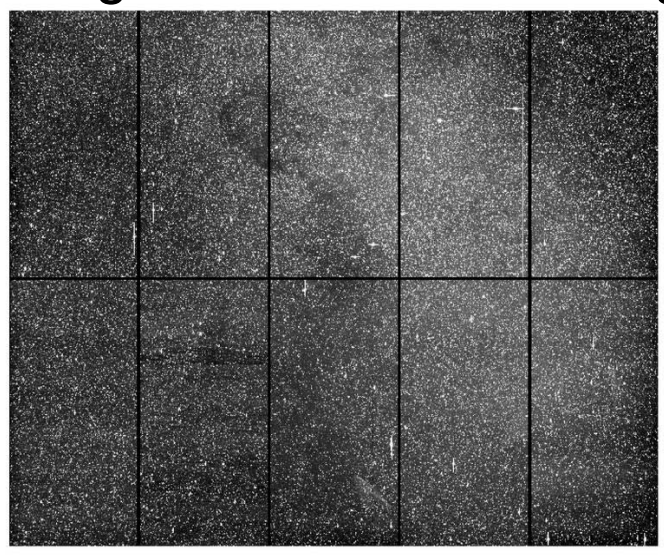
1.8m望遠鏡の完成 2004年10月末



## December 1st 2004 opening ceremony

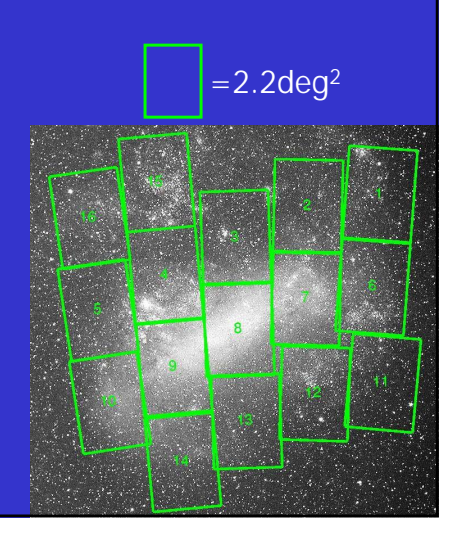


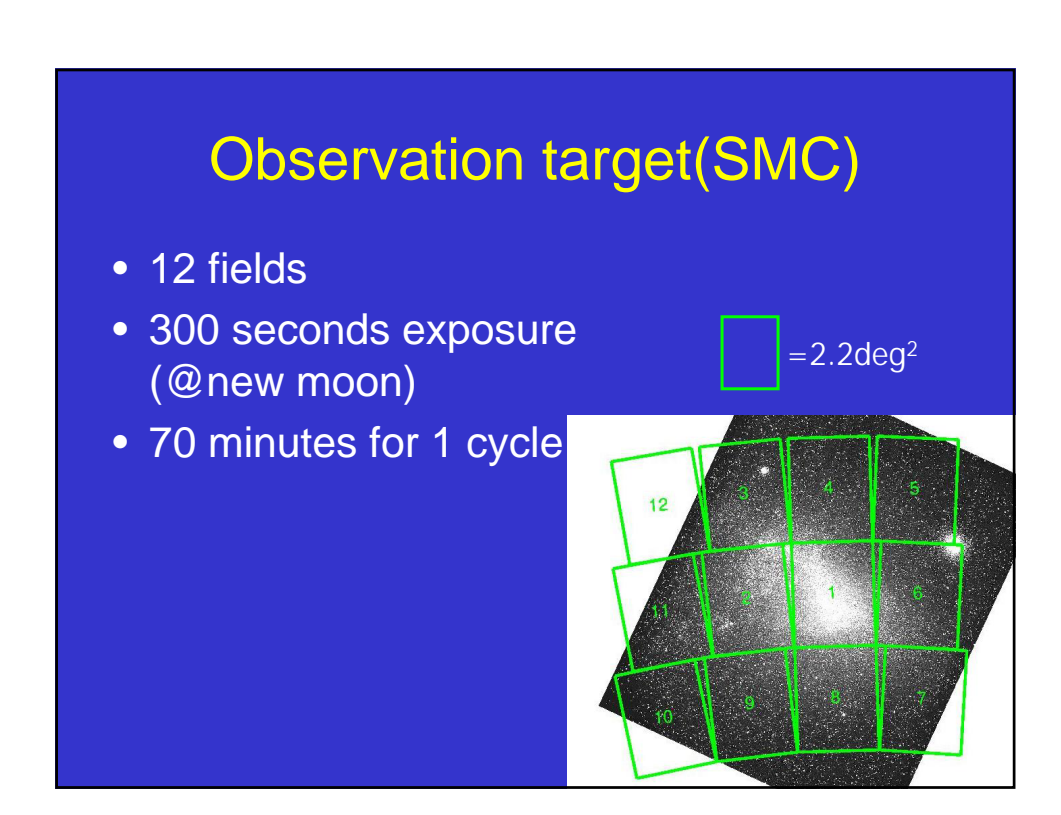
## Image of the Galactic Bulge

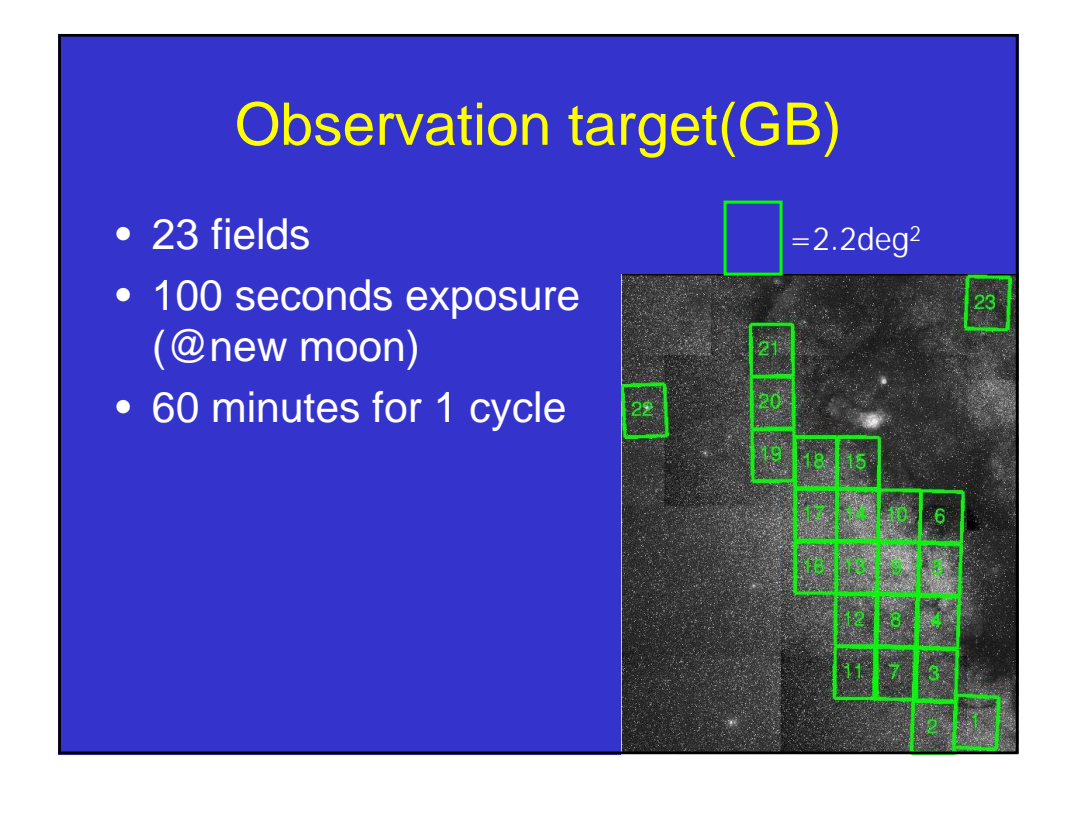


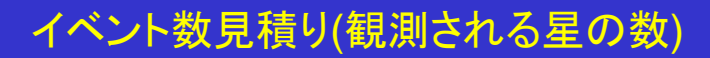
## Observation target(LMC)

- 16 fields
- 300 seconds exposure (@new moon)
- 90 minutes for 1 cycle



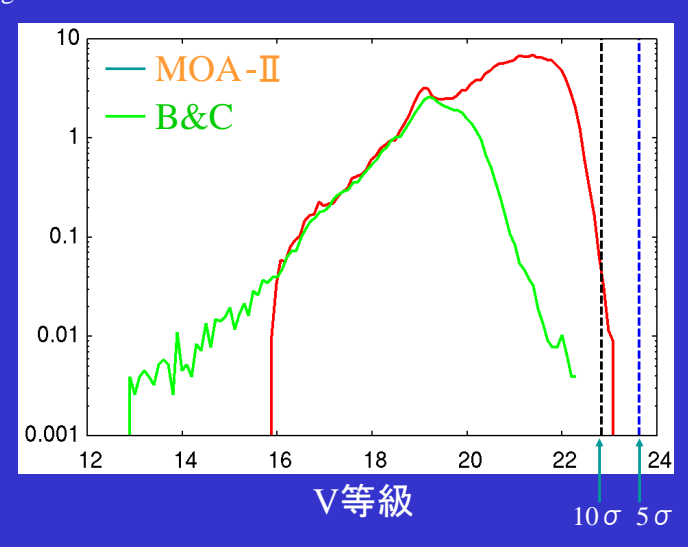






DoPHOTによる光度関数(LMC2)と限界等級

Stars/mag/arcmin2



## Limiting magnitude

Estimating V-band limit magnitudes for uncondensed field(Imc2) & dense field(Imc8) Airmass: 1.1

Seeing: 1.5 arcsec

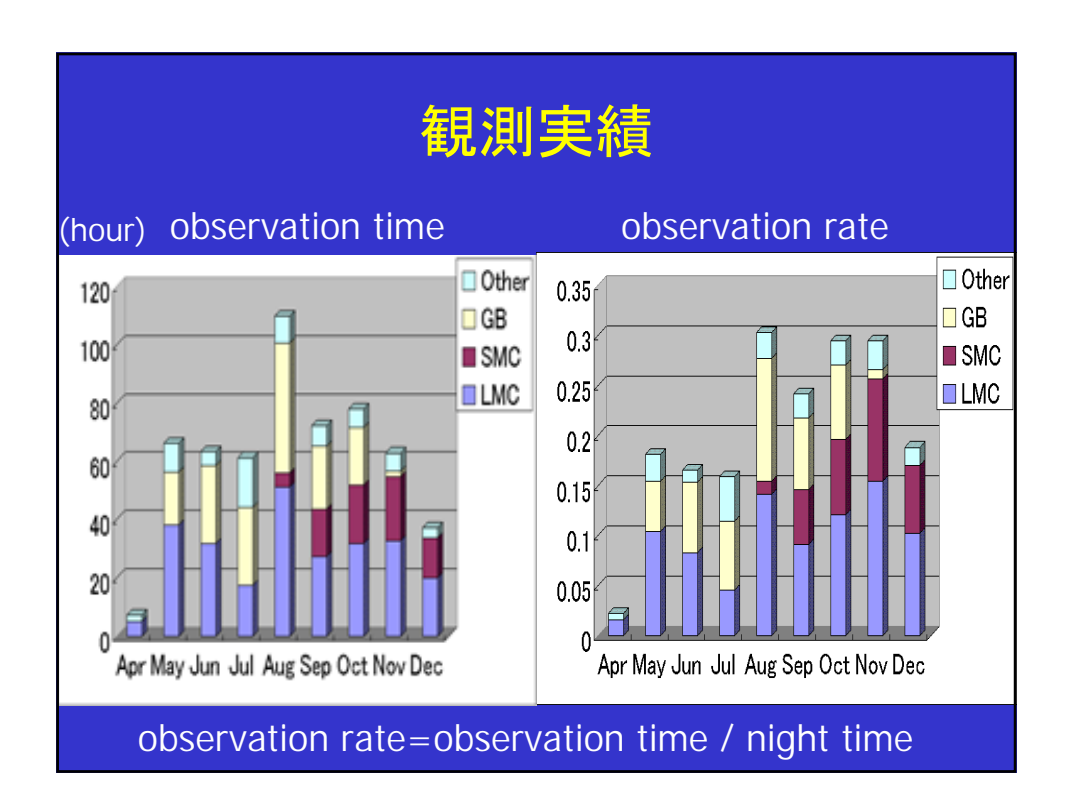
Readout noise: 3.7 ADU Gain: 1.9 electrons/ADU

lmc2: sky background=21.63mag/arcsec<sup>2</sup>

 $-> V_{limit} = 22.8 \text{ mag}(S/N>10)$ 

lmc8: sky background=20.85mag/arcsec<sup>2</sup>

 $-> V_{limit} = 22.5 \text{ mag}(S/N>10)$ 



#### Number of stars

- Estimation of observing number of stars in whole our LMC fields
- assumption: core 3 fields, each region we observe 12M stars/field;
   outer 13 fields we see 5M stars/field

12.3Mstars \* 3fields + 4.8Mstars \* 13fields ~ 100Mstars

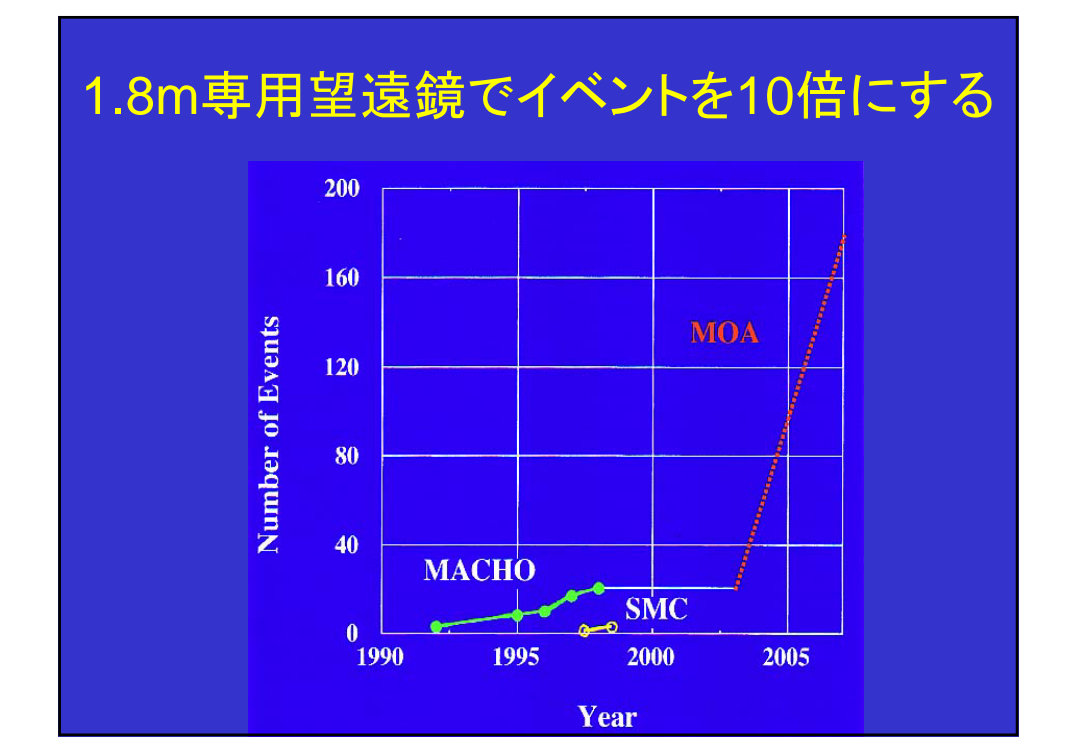
#### **Event rate**

 Event rate can be estimated roughly with observing number of stars

100Mstars \* (365 / t) \*  $\varepsilon$  \*  $\tau$  events/year where t~80 days: event time scale,

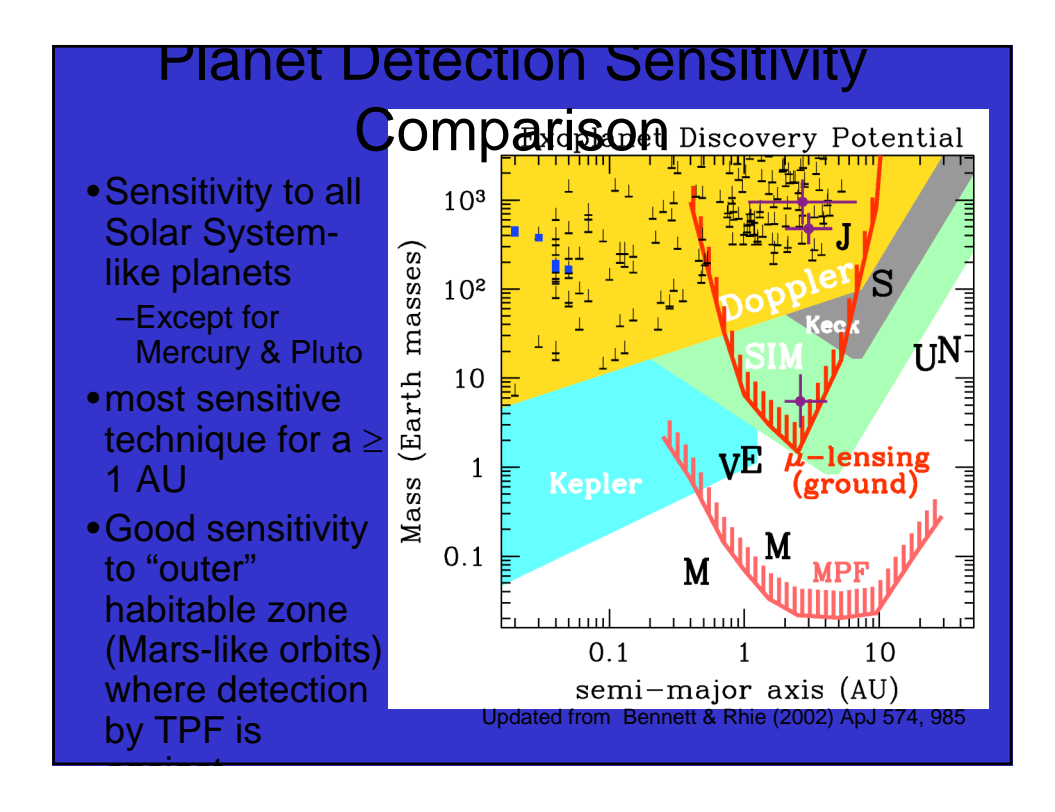
 $\varepsilon$ : detection efficiency,  $\tau \sim 10^{-7}$ : optical depth

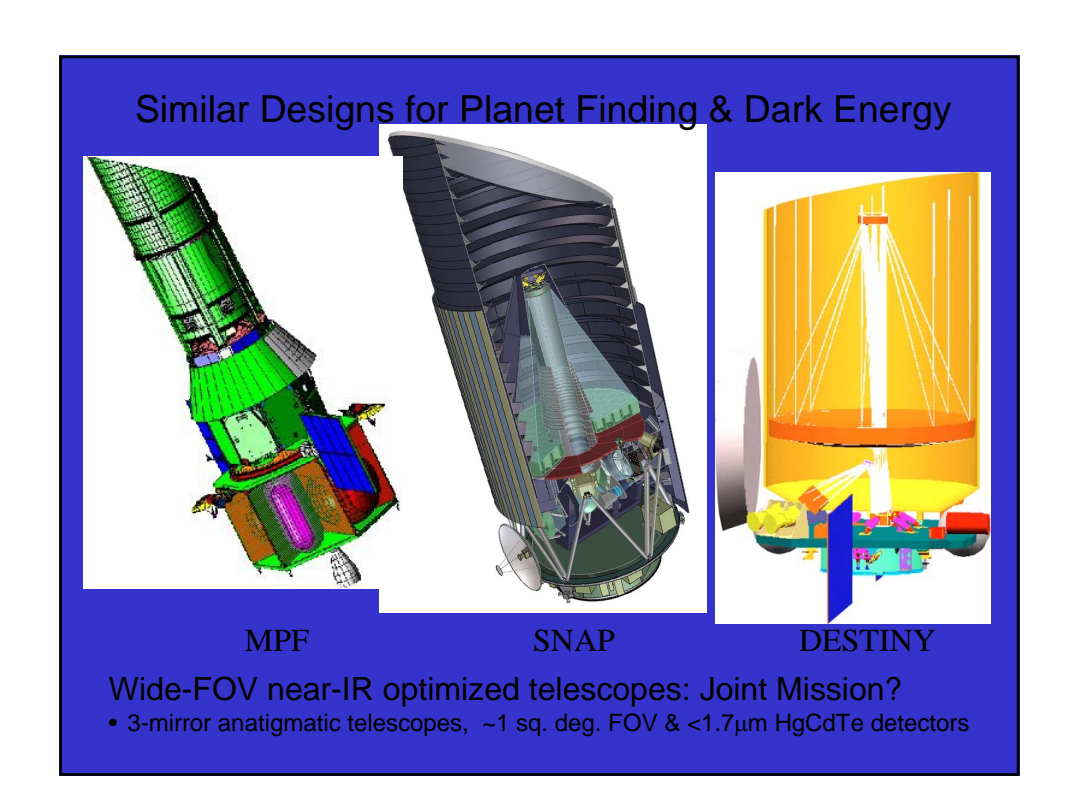
-> 46 \*  $\varepsilon$  events/year



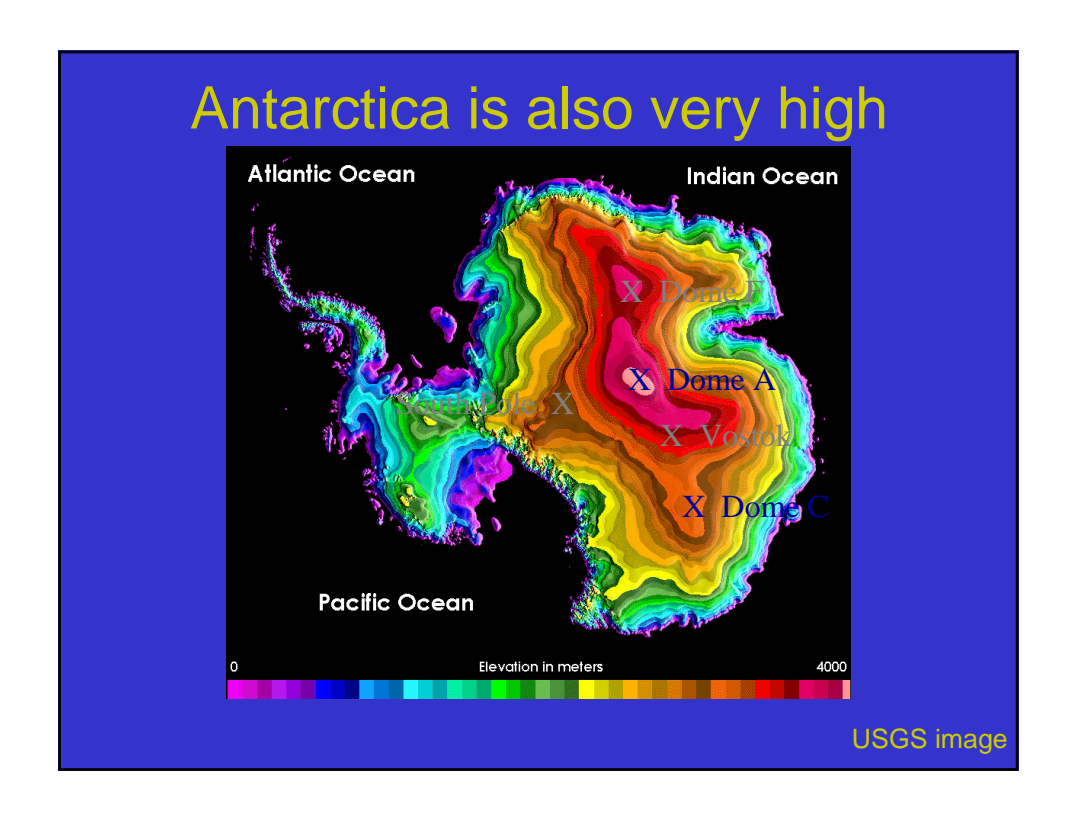
#### 将来計画

- 衛星から
- 地上から









# もっとイベントを!

- ·美しい自然と南十字星の 輝く Tekapo に来てね。
- 今後ともMOAを宜しく!
- ・ご静聴ありがとうございました。 The End

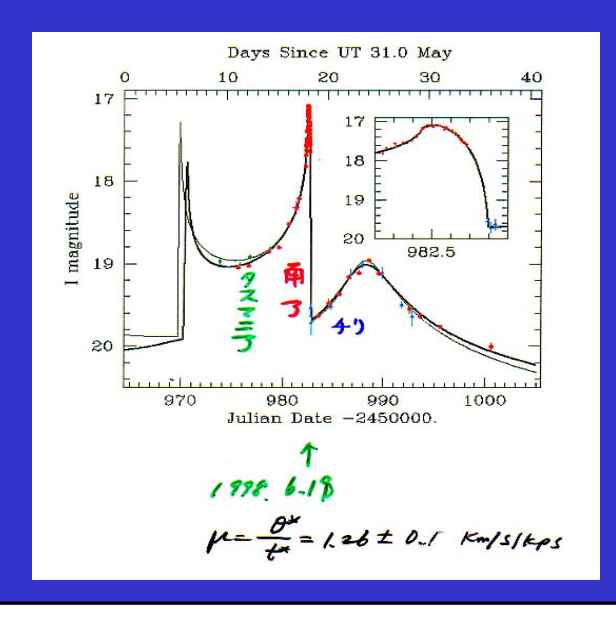


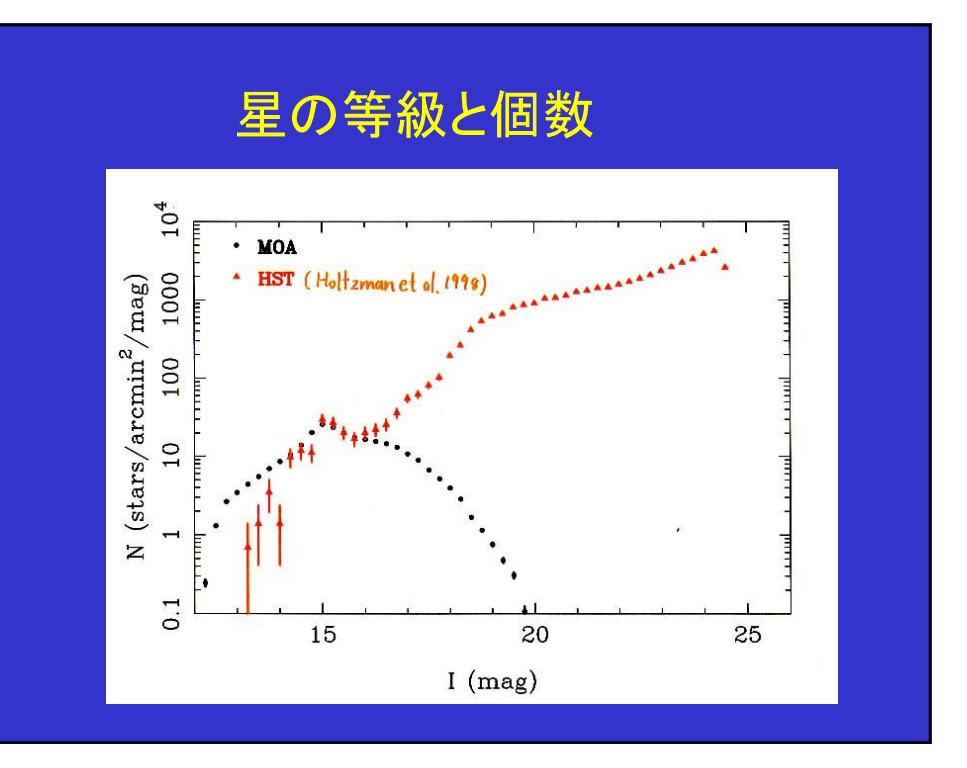
# New MOA telescope f=3, d=1.8m

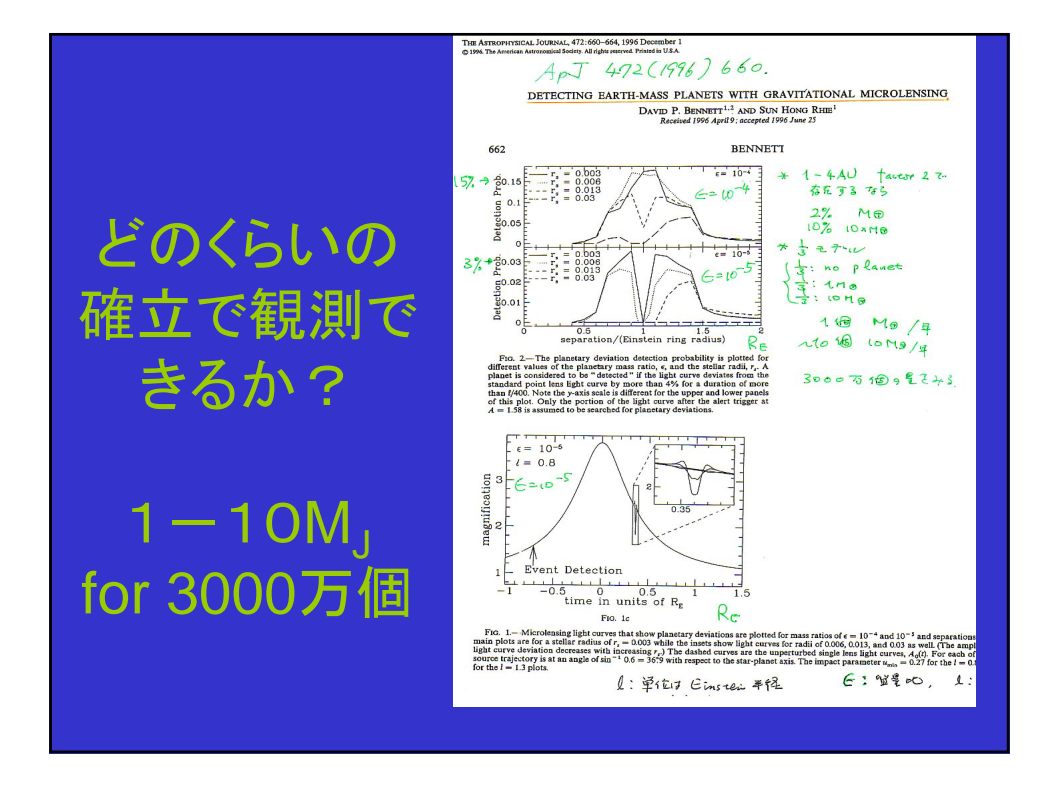


MOA

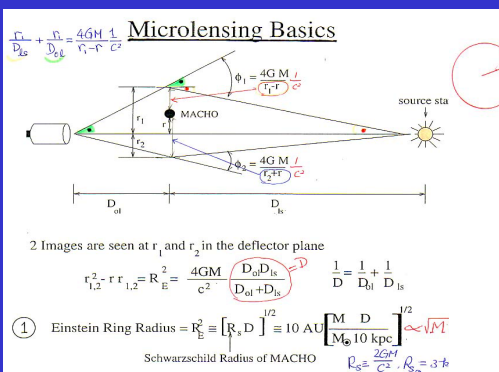
### SMC event by the Planet collaboration







# Microlensing Basics (1)



4GM  $\equiv \frac{R_s}{R_-} \equiv \left[ R_s/D \right]^{1/2} \quad D = 3 \times 10^{1/2} \text{ km} = 3$ light deflection:  $\phi_i = \frac{1}{c^2(r_i - r)}$  $\approx 10^3$  [M/M<sub> $\odot$ </sub>] arc sec

Amplification:  $A = \frac{u^2 + 2}{u \left[u^2 + 4\right]^{1/2}}$ 

② 增幅率 は波長によらない。 ←→ 定光星と区別

~ 否万個の星を見て1回。 マッチュの massicatらない。

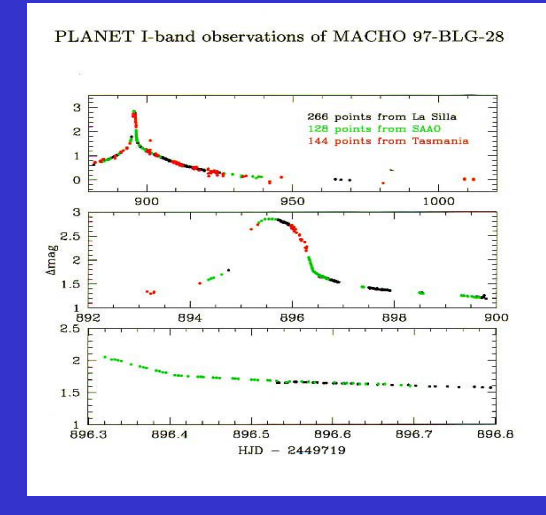
奏 見される 確幸 Microlensing Detection Probability (or optical depth  $\equiv \tau$ )  $M_{
m halo}/M_{
m MACHO} imes \pi R_E^2 imes R_{
m halo}$ 4πR3 Nalo NO-の手積  $\approx \frac{M_{\rm halo}/M_{\rm MACHO}}{r_{\rm 3}} \times \pi \underline{GM_{\rm MACHO}} R_{\rm halo} \times R_{\rm halo}$ Machoのmassに依存しない。  $pprox rac{GM_{
m halo}}{R_{
m halo}} \sim rac{v_{
m rot}^2}{c^2} pprox 10^{-6}$ 300 km

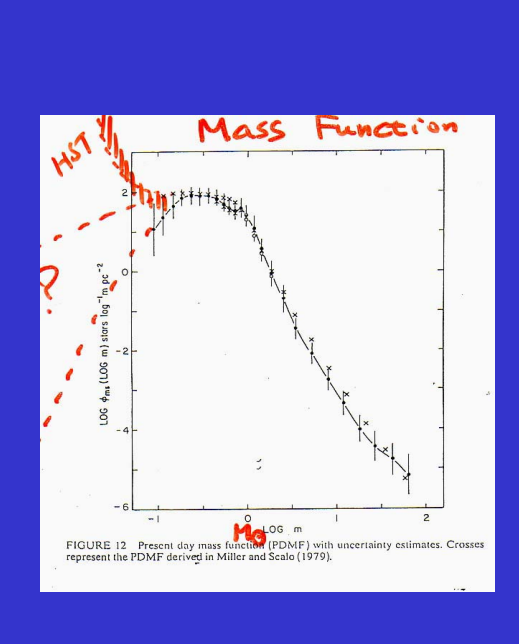
 $p = 5 \times 10^{-7}$  for source stars in the LMC and a"standard" halo model.

### We must survey $> 10^6$ stars in:

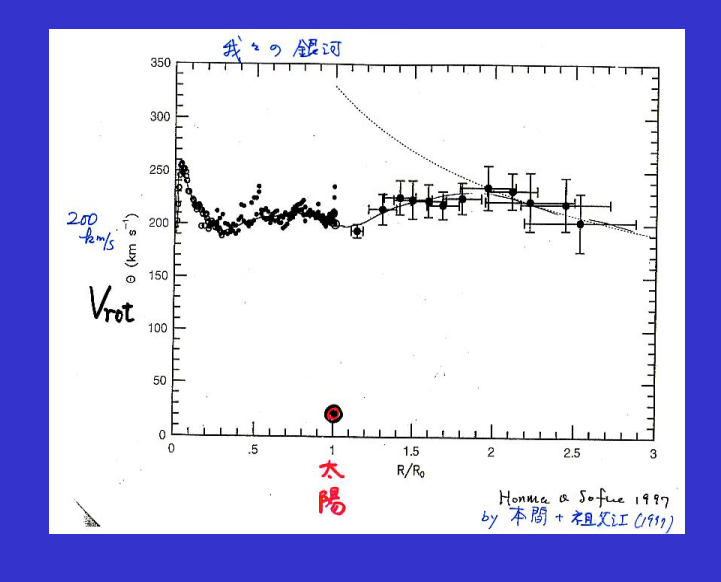
- the Magellanic Clouds LMC, SMC
- the Galactic Bulge (?) → 惑星探索
- M31 and M33 (??) → Subarre !

### MACHO 97-BLG-28event observed by the PLANET collaboration

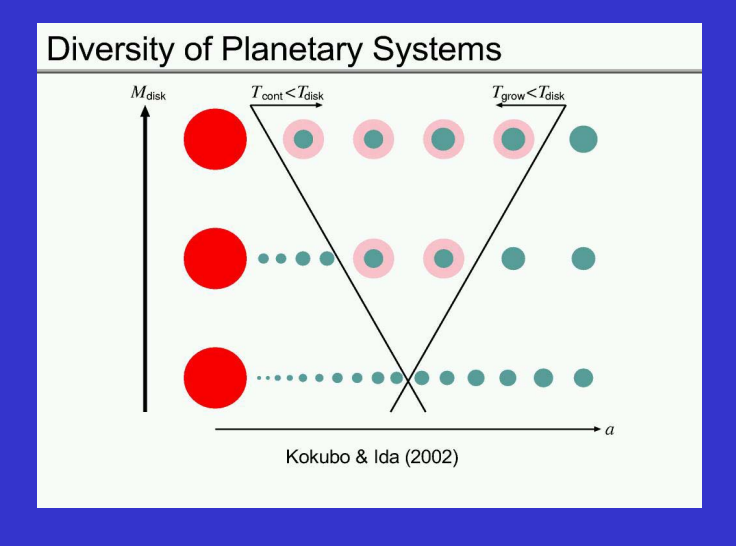








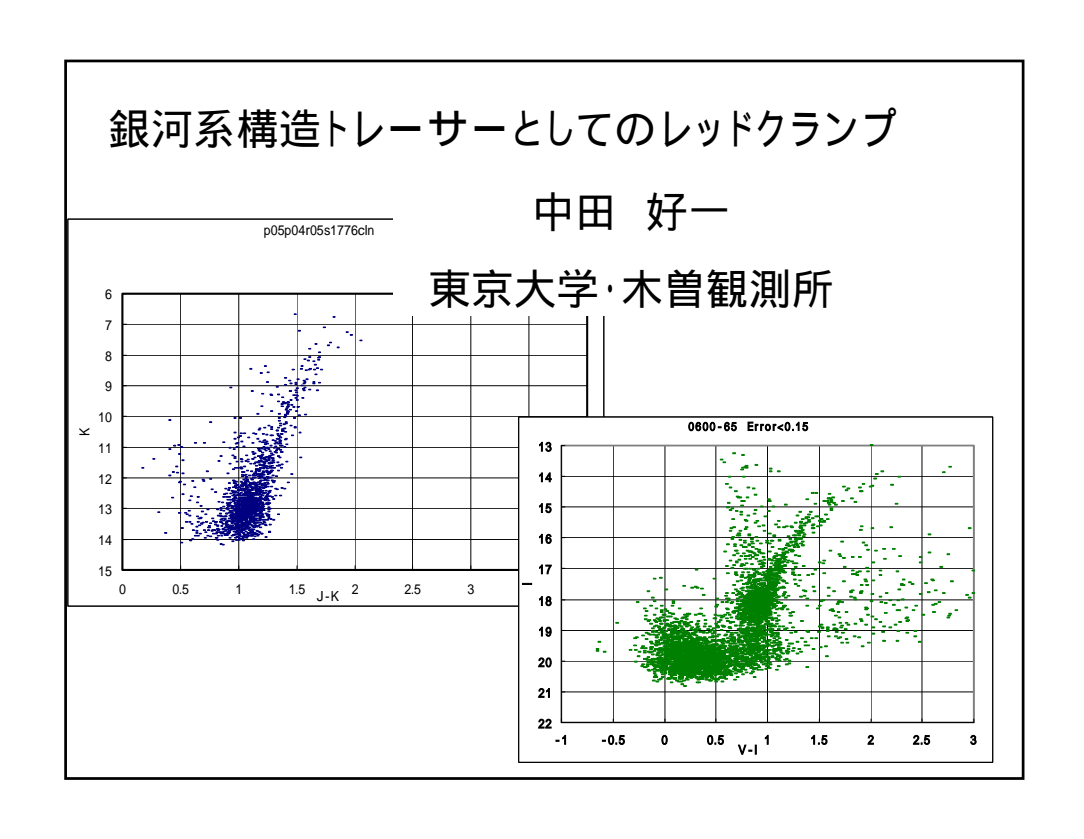
# by Kokubo-Ida (2002)

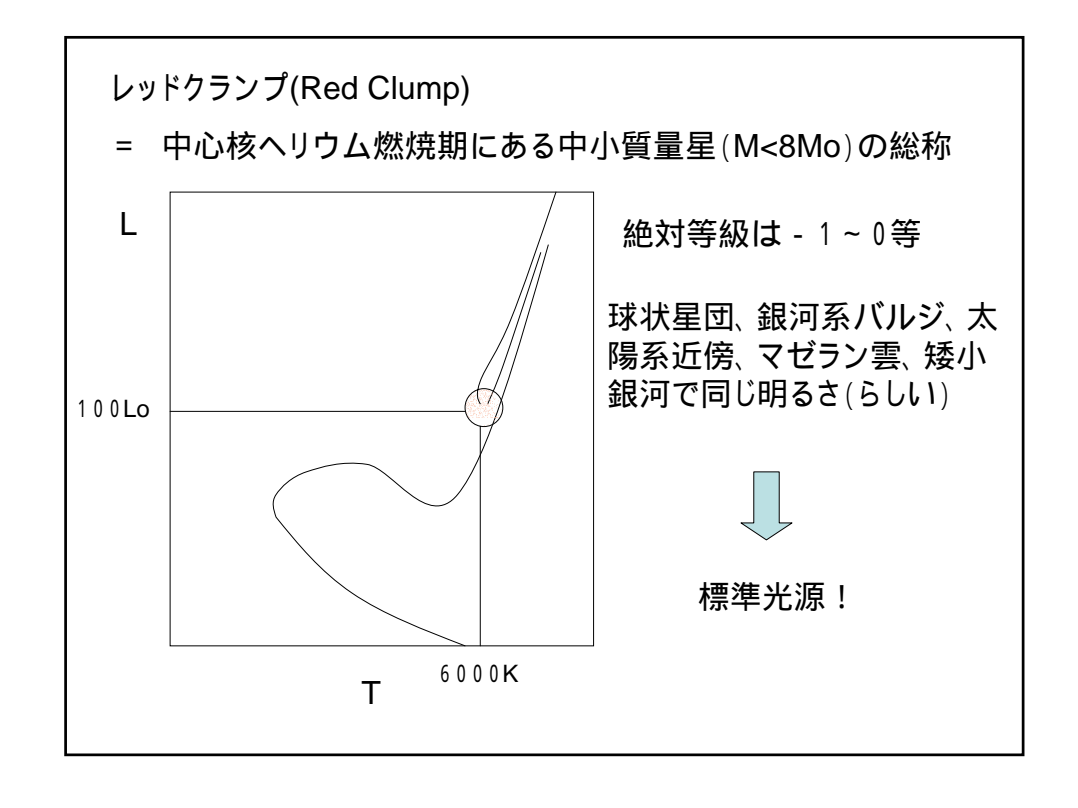


### もっとイベントを!

- ・美しい自然と南十字星の displayが愛地球博 NZパビリオンで待っています。 MOA望遠鏡もでます。
- 今後ともMOAを宜しく!
- ・ご静聴ありがとうございました。 The End



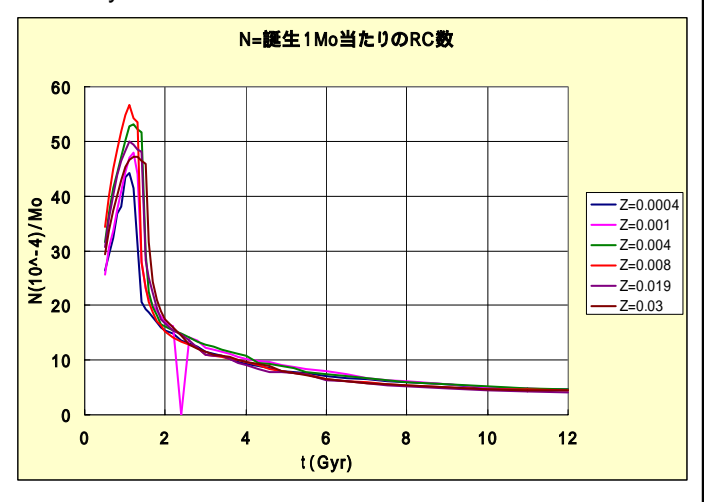


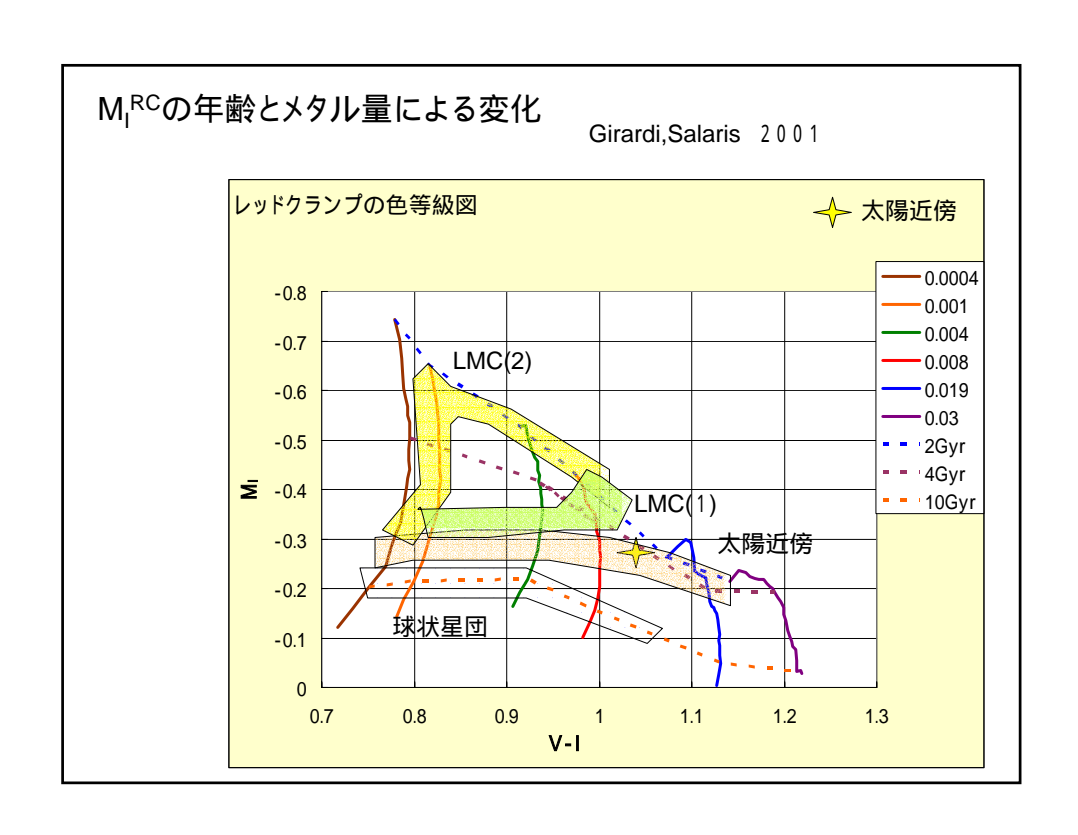


### 星形成1Moにつき何個のRC星が現在存在するか

- - - 年齢とメタル量による変化 (Girardi/Salaris2001)

t = 1Gyr付近にピーク: t = 1 - 2Gyrを含む連続的な星形成が起きている と1Gyr時点でのメタルのRCが支配的になる。





### 太陽近傍レッドクランプ星の絶対等級

### Paczynski/Stanek 1998

ヒッパルコスの視差誤差 < 10% の664星

**--**>

 $M_{l.m} = -0.185 \pm 0.016$ 

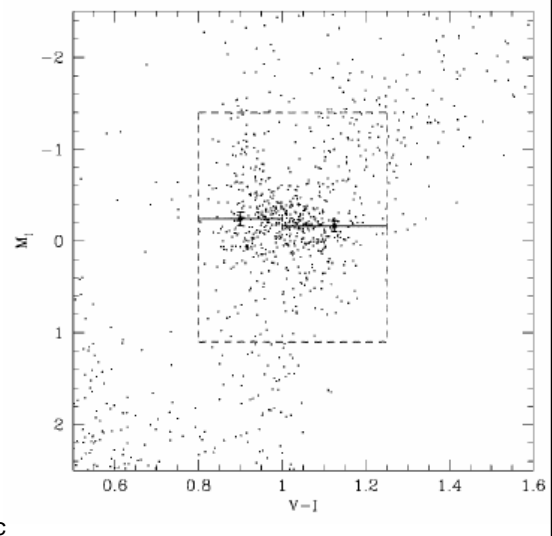
補正(1): 明るい星は遠くても

誤差が小さい。

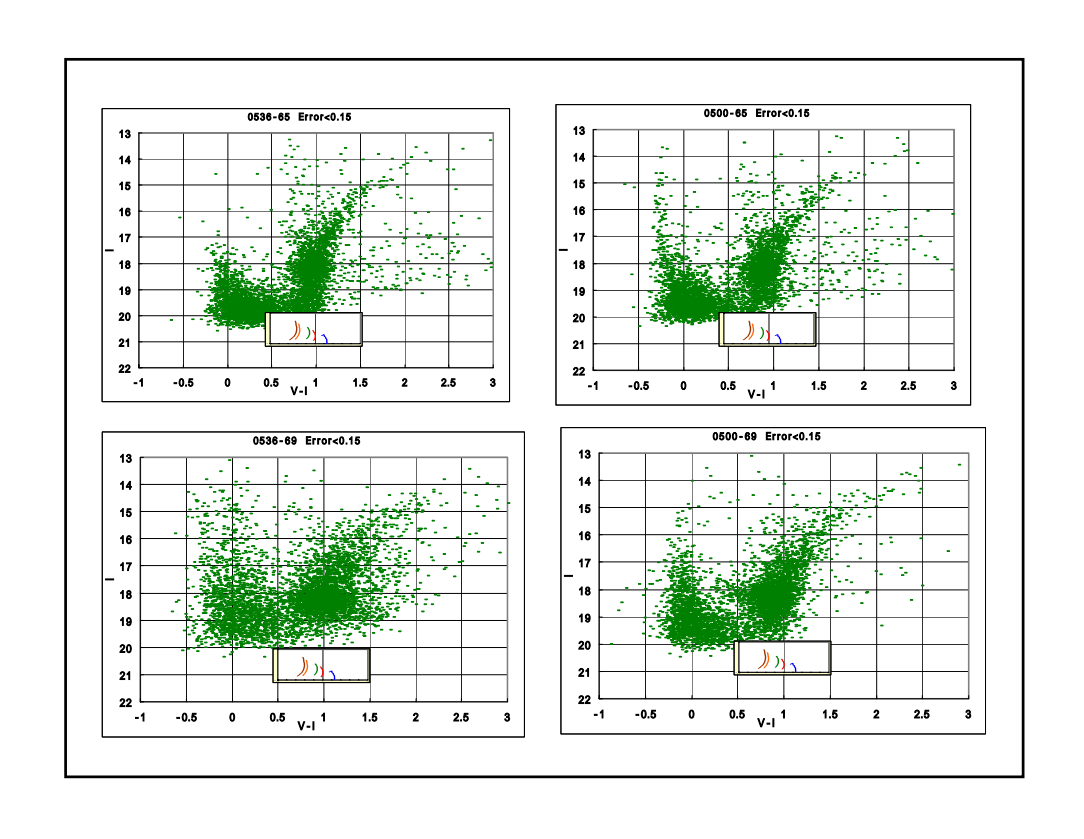
 $M_{l,m} = -0.125 \pm 0.019$ 

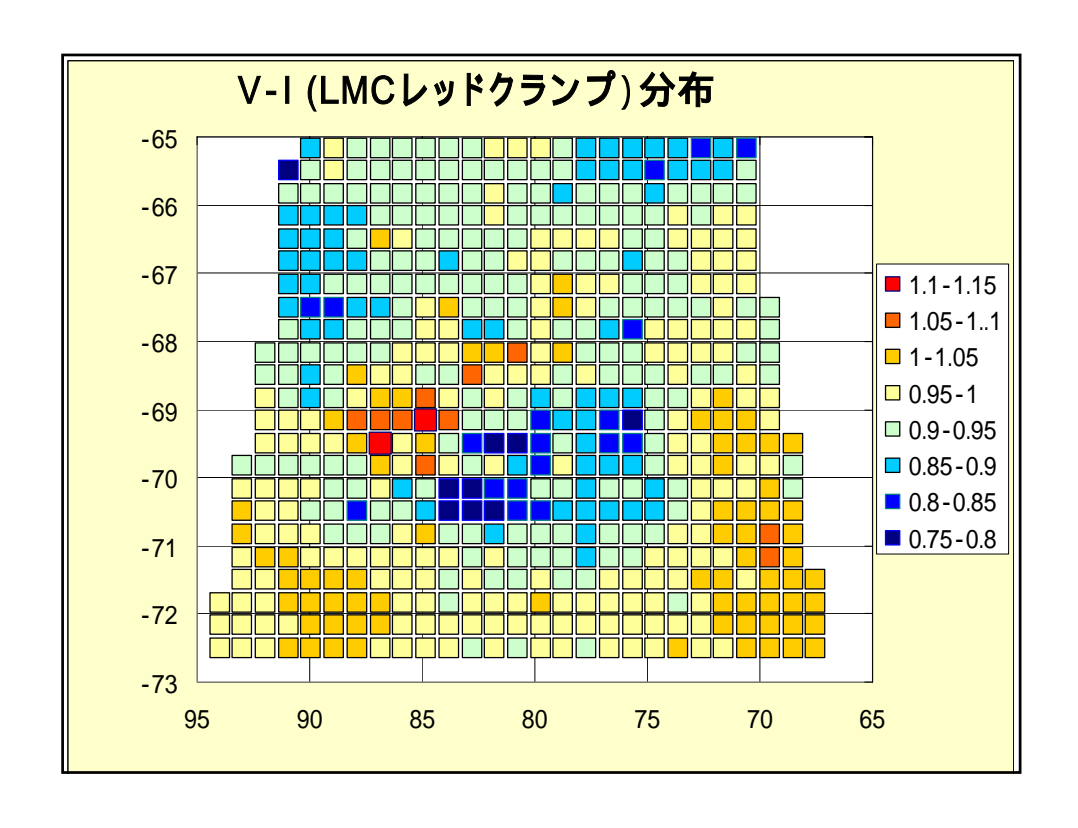
補正(2): 星間減光 A<sub>I</sub>=1.75/kpc

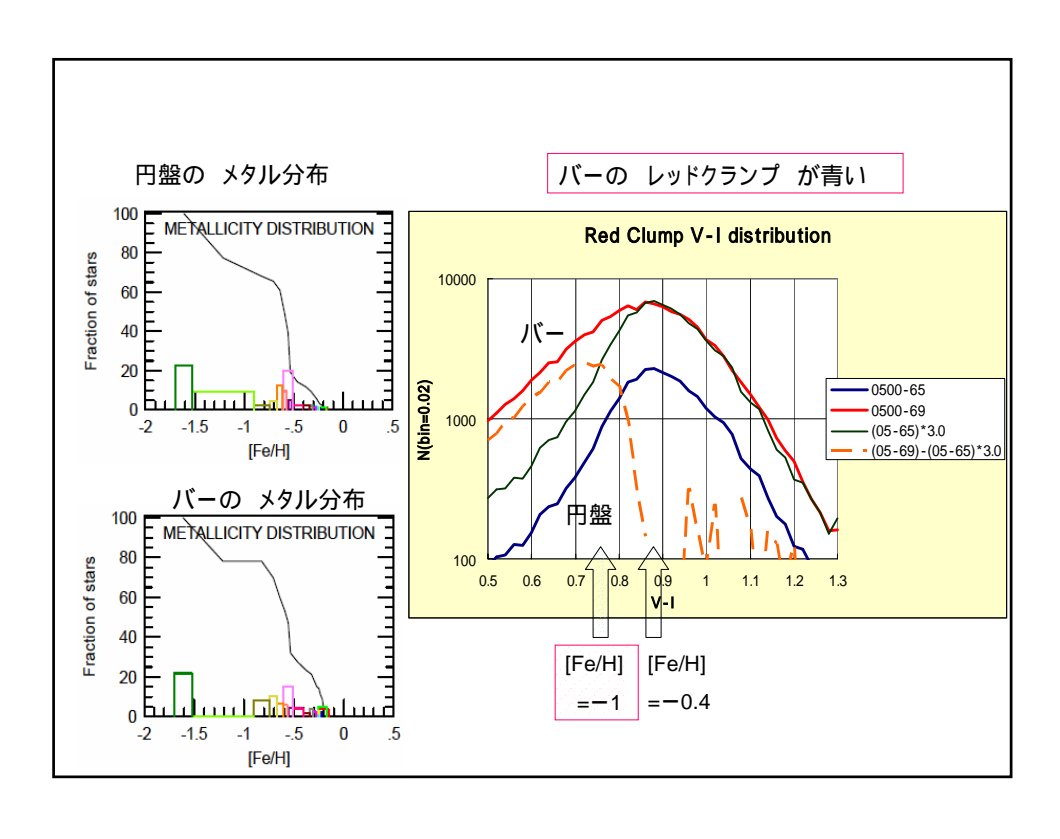
 $M_{l,m} = -0.279 \pm 0.088$ 

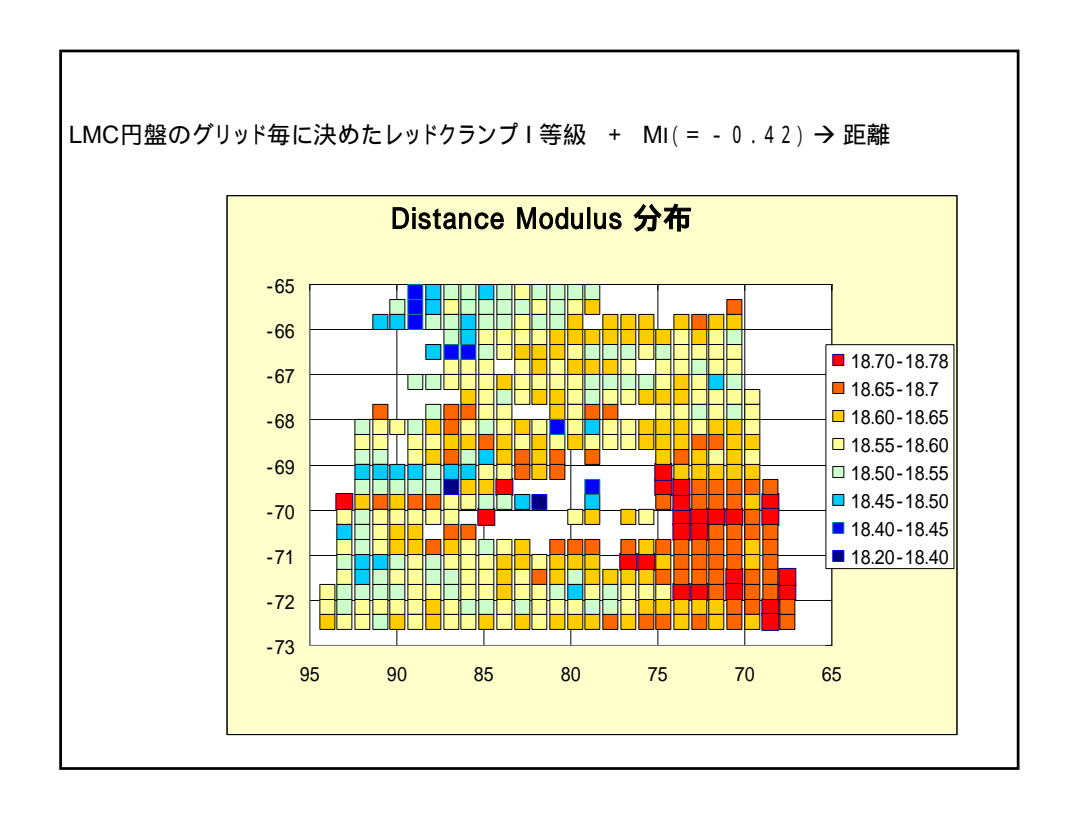


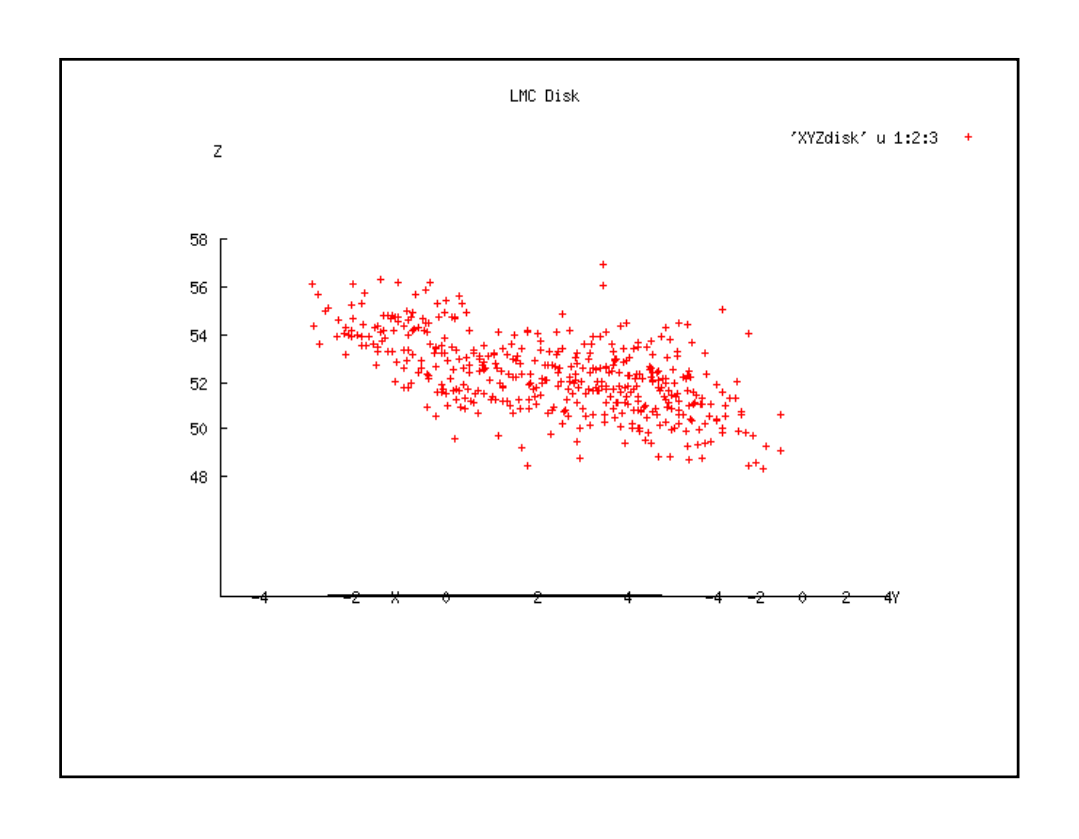
太陽近傍のレッドクランプ星

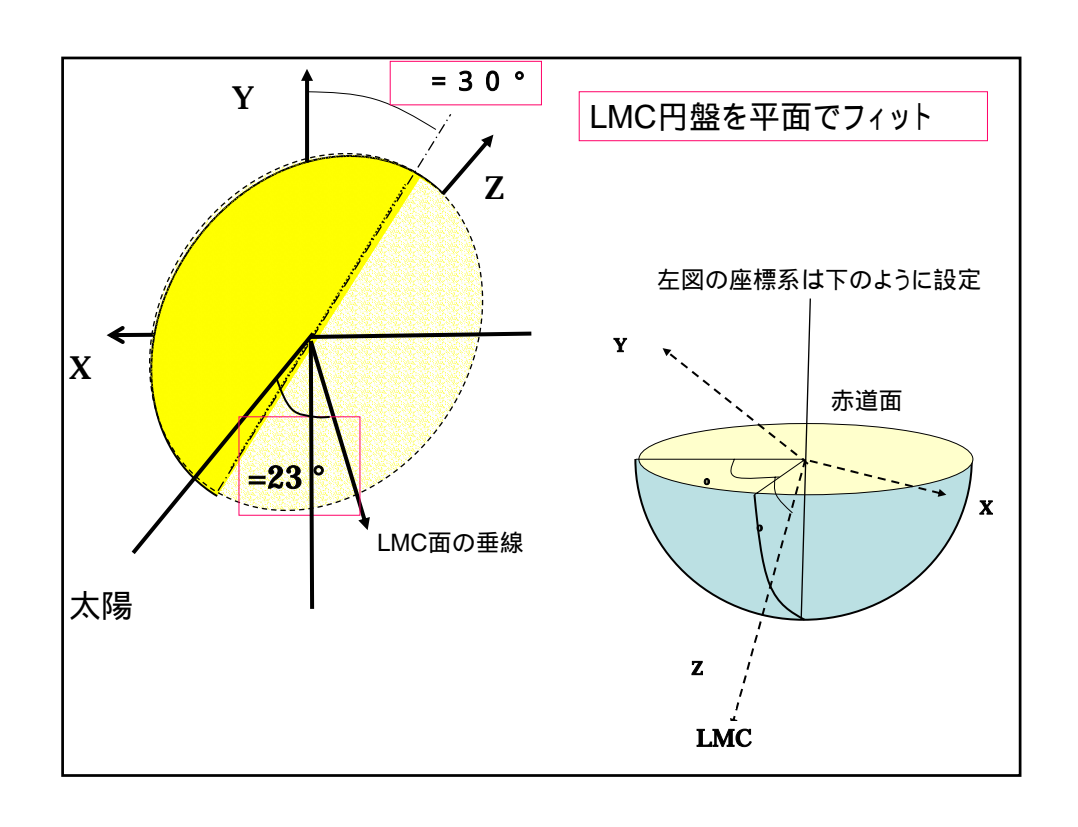


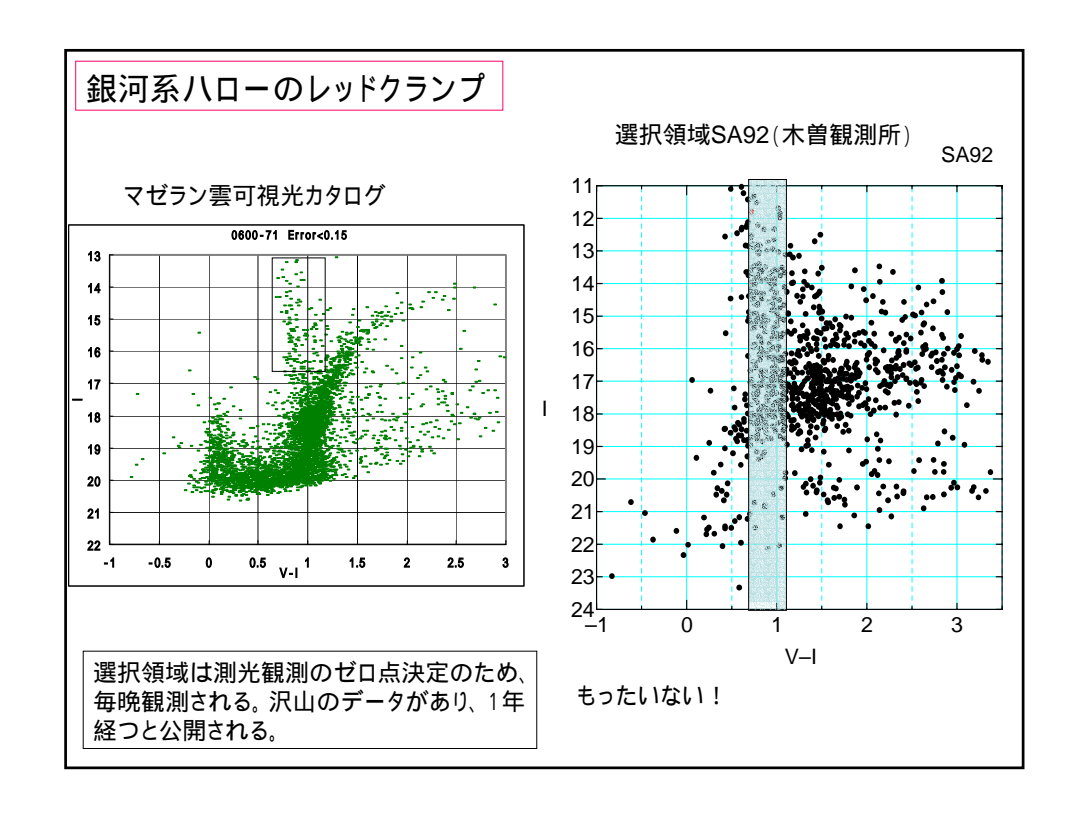


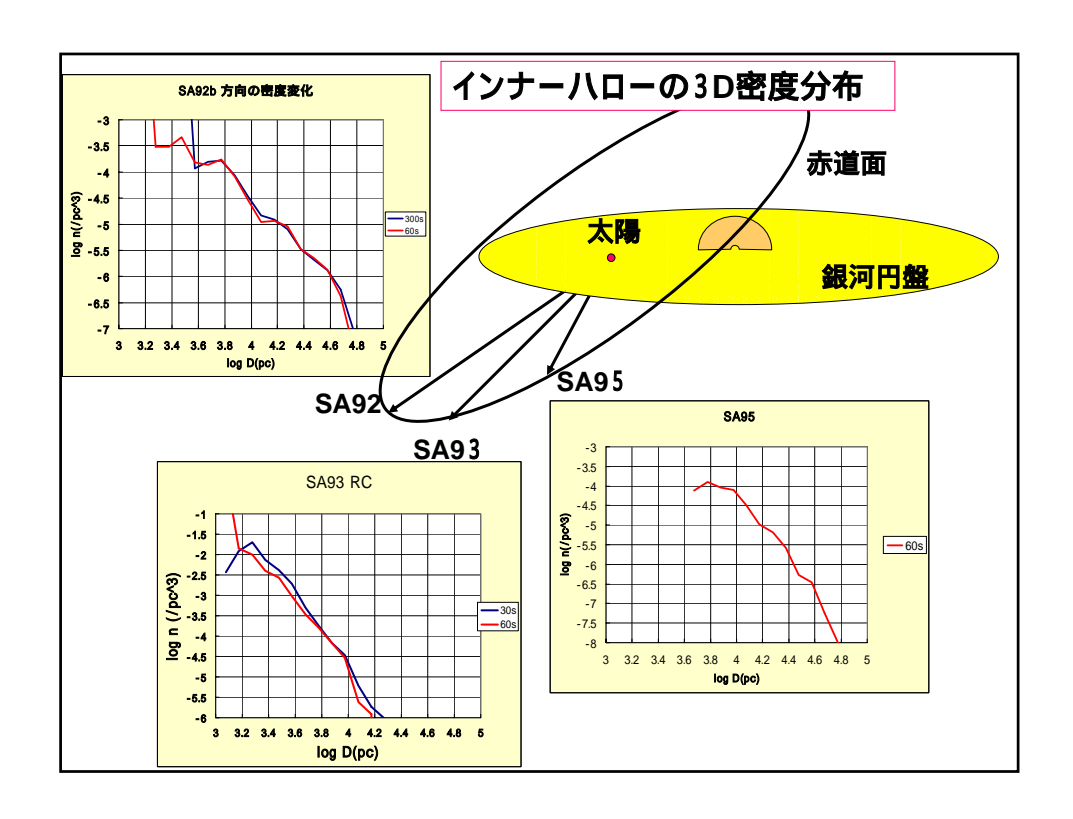






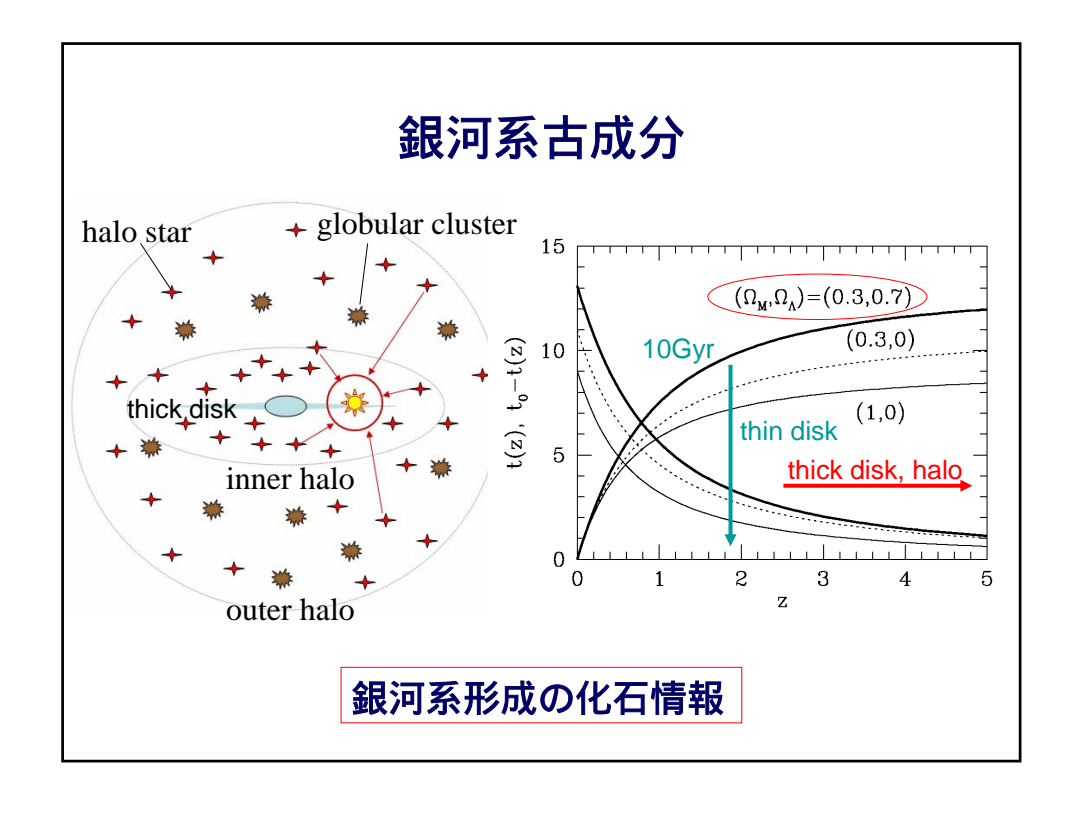


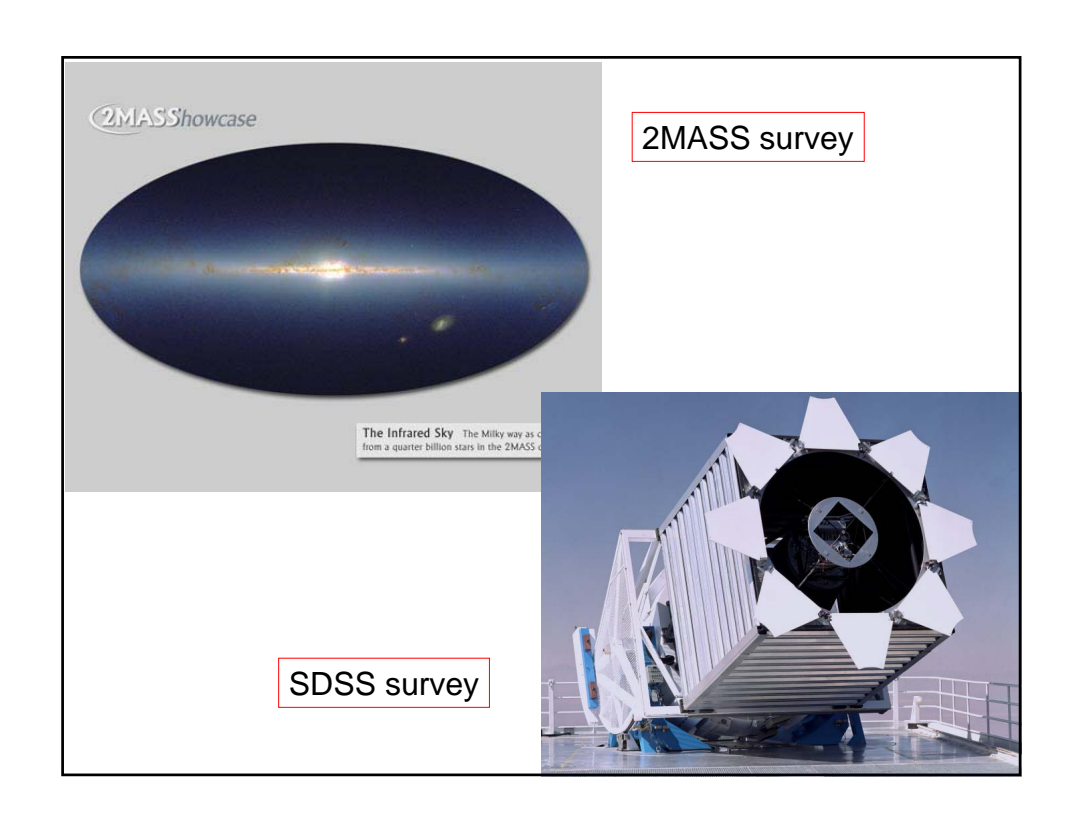


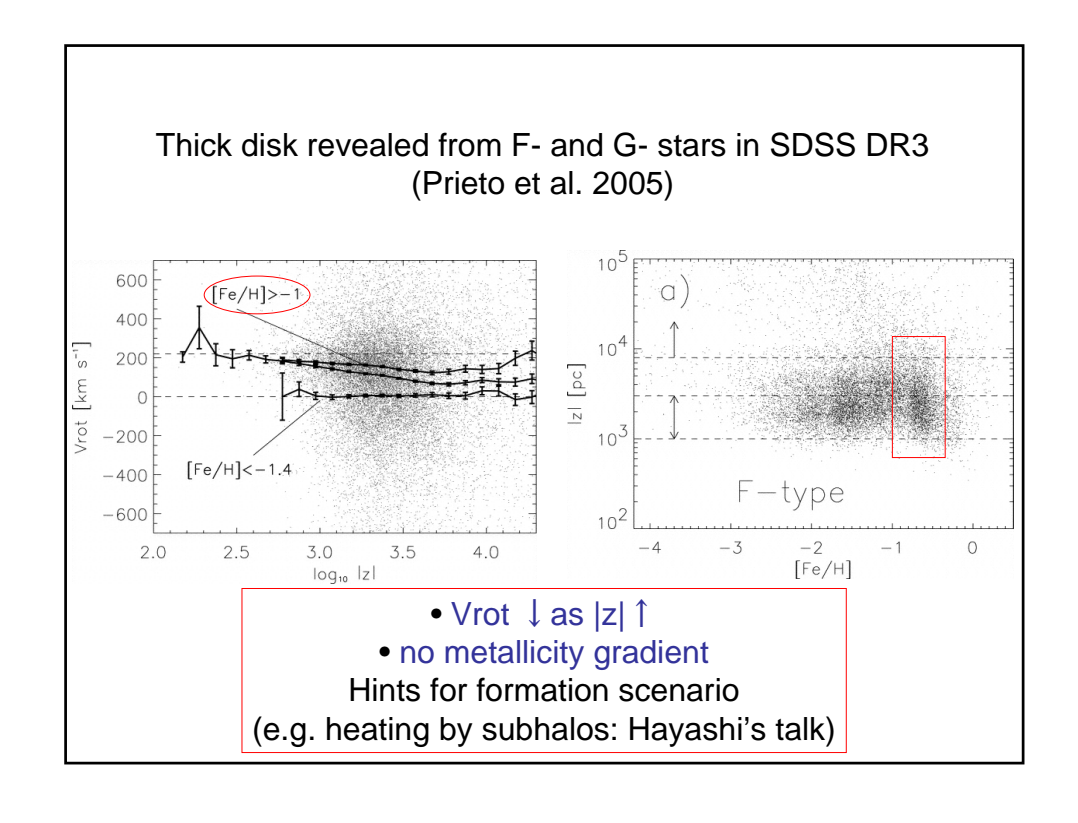


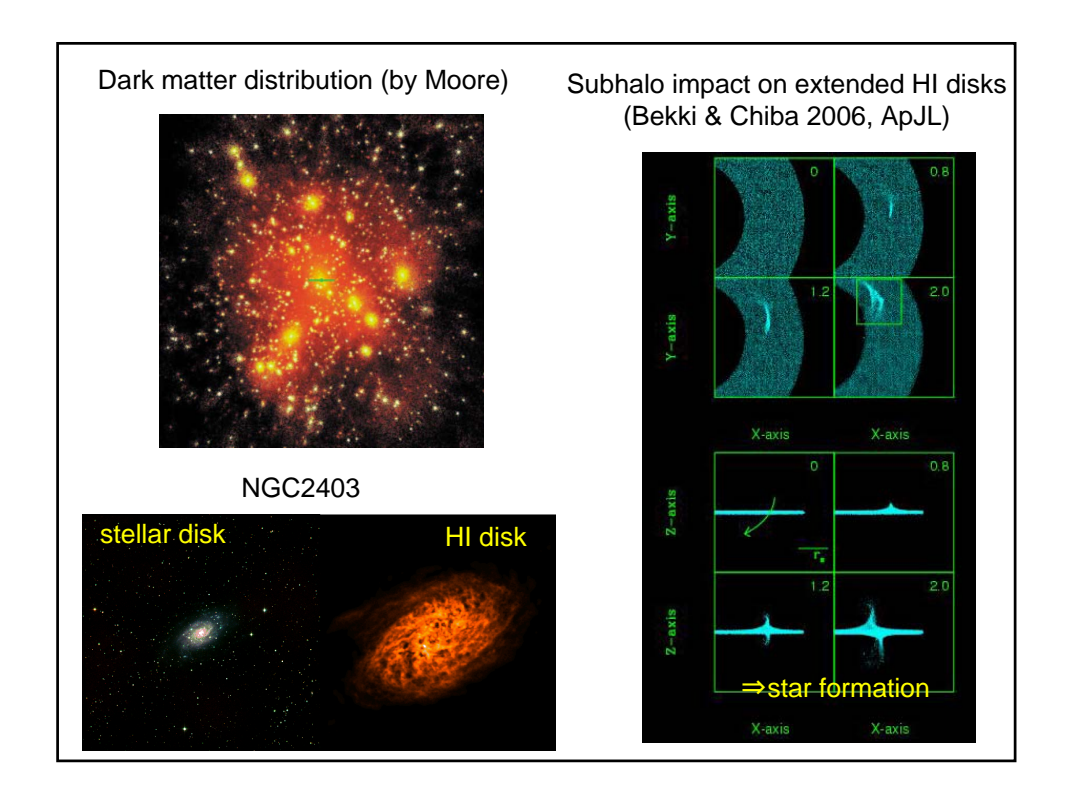
### 銀河系古成分の動力学構造

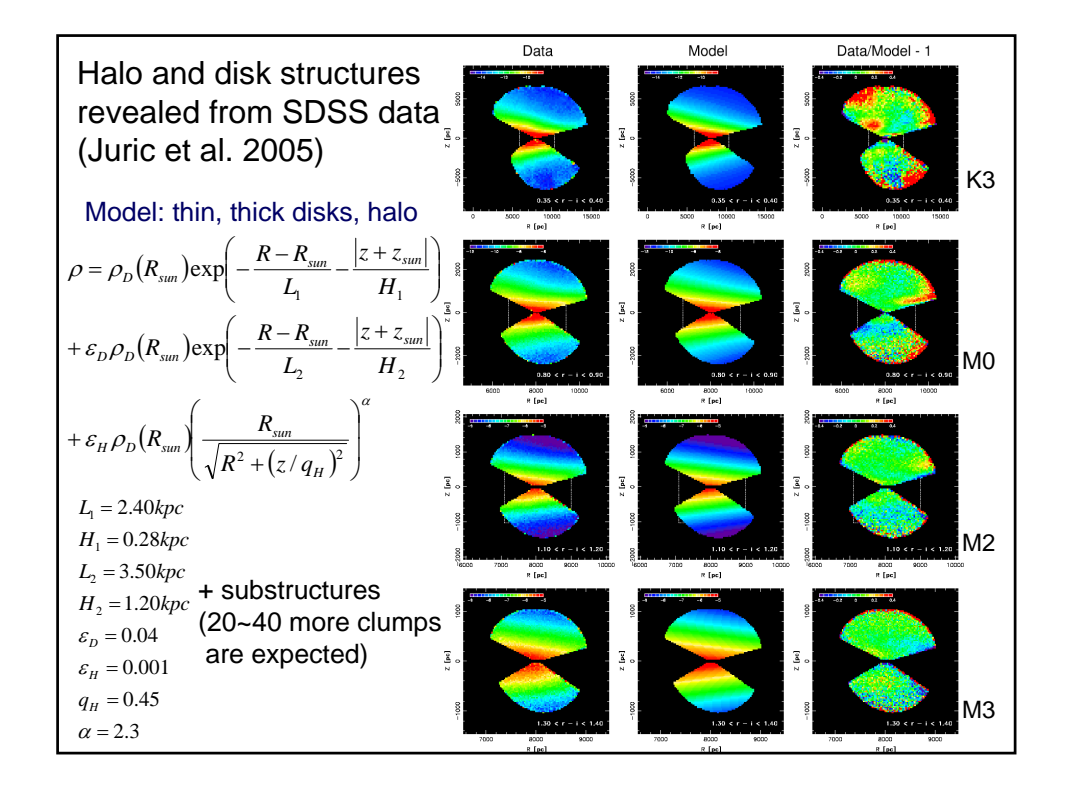
千葉柾司 (東北大)

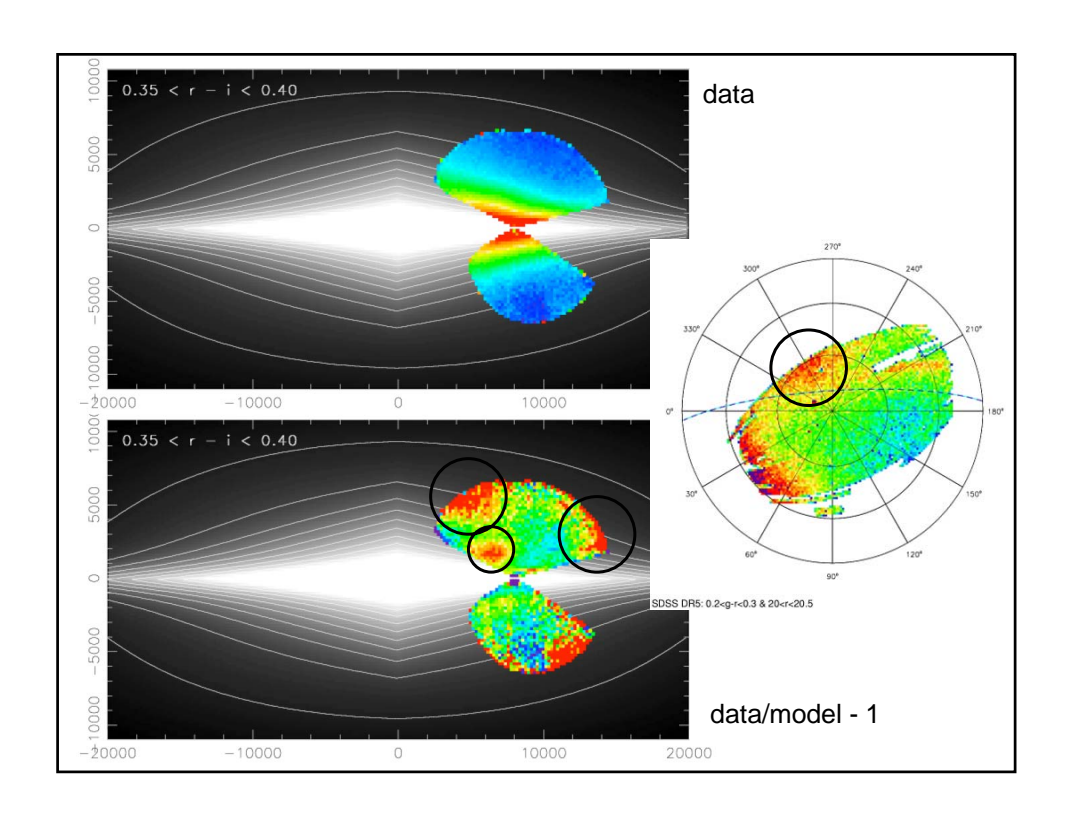


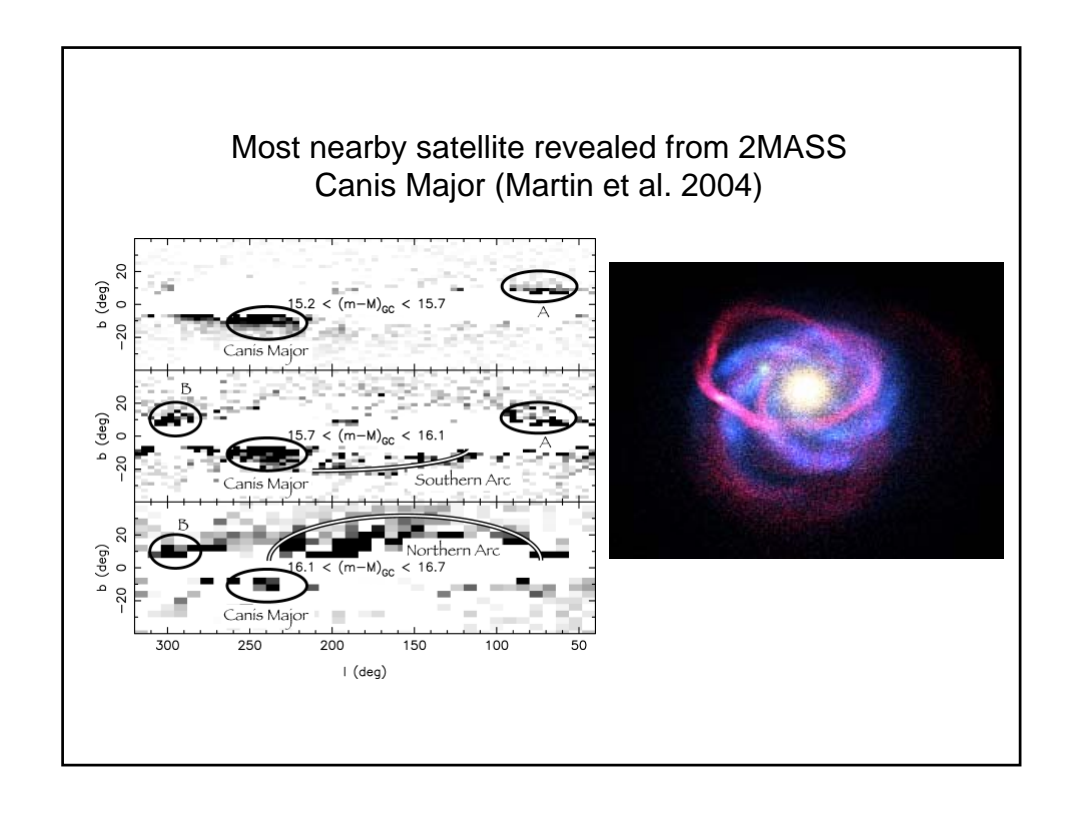


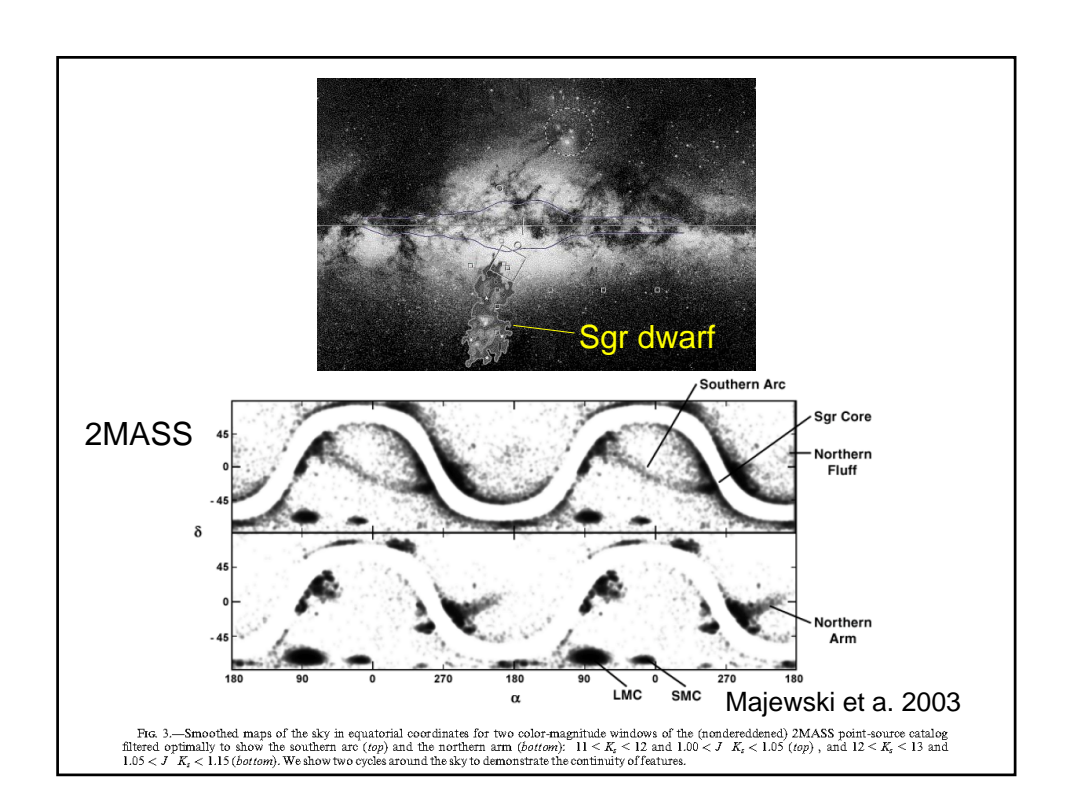


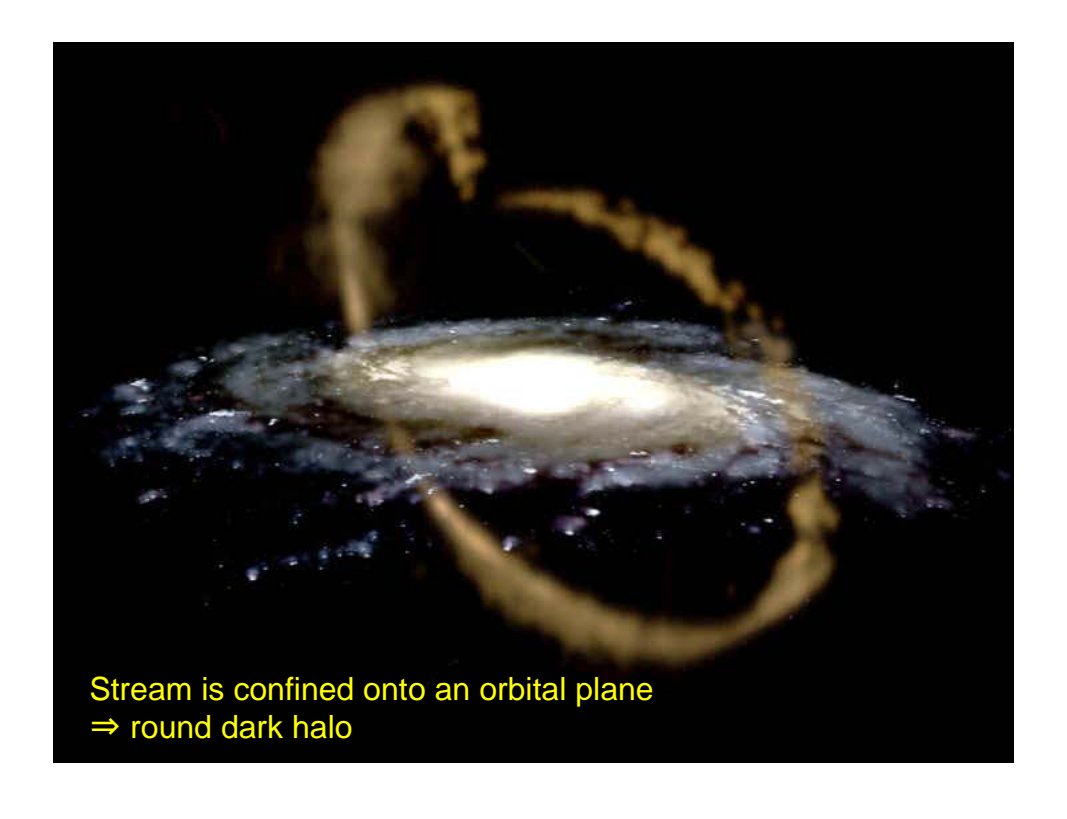


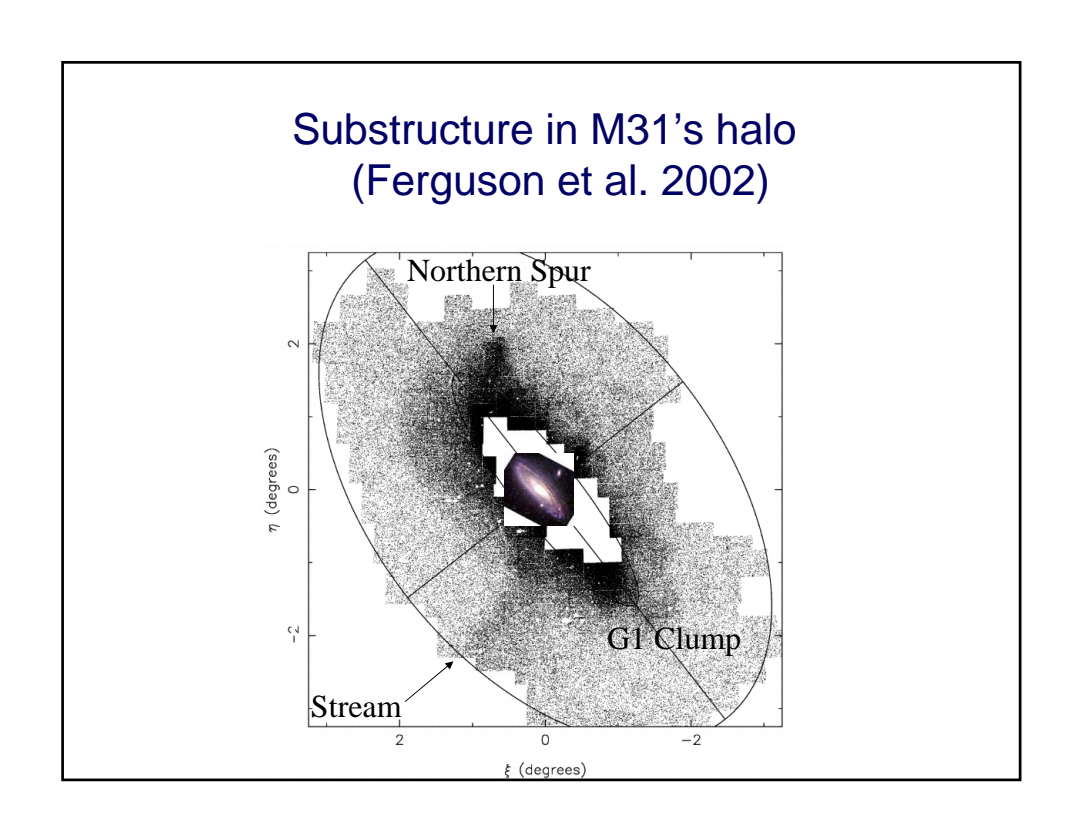


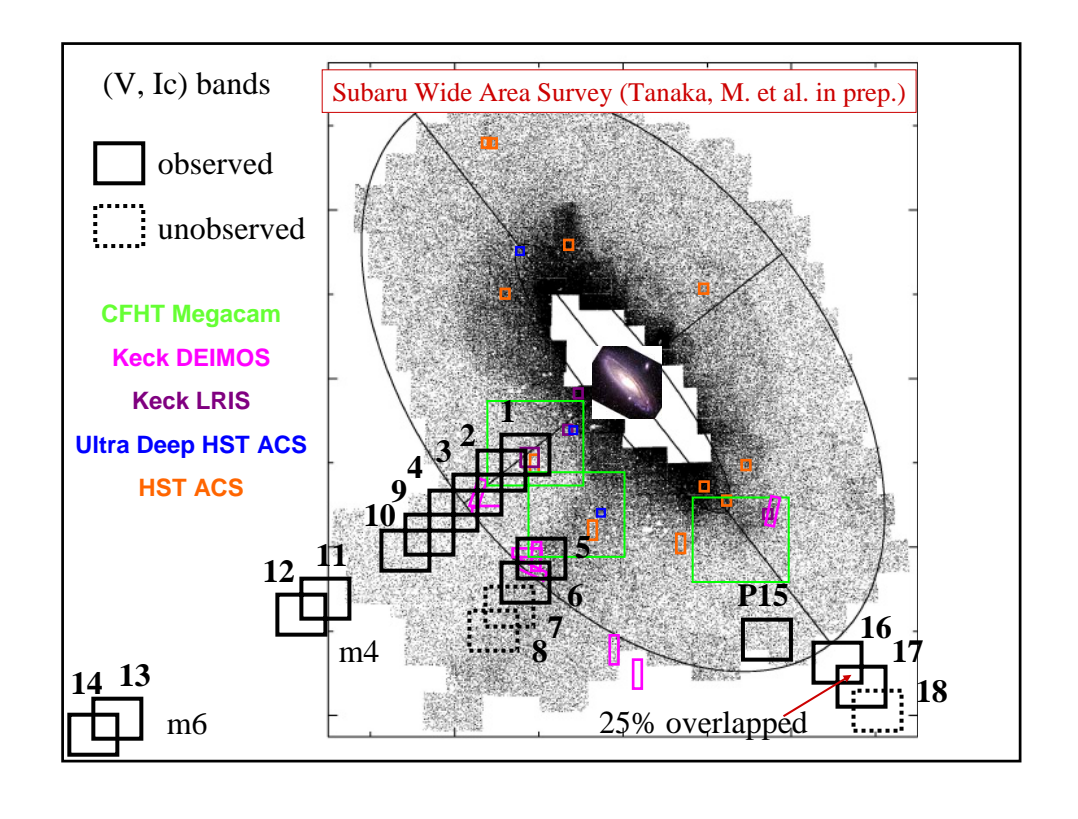


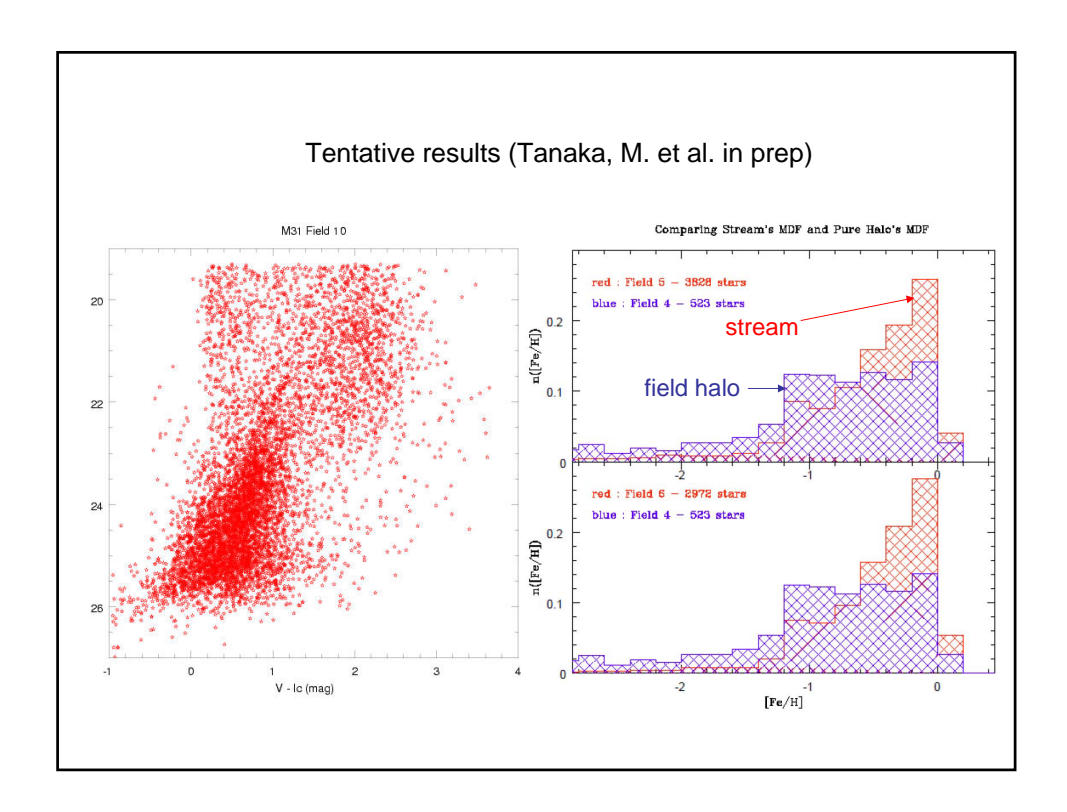








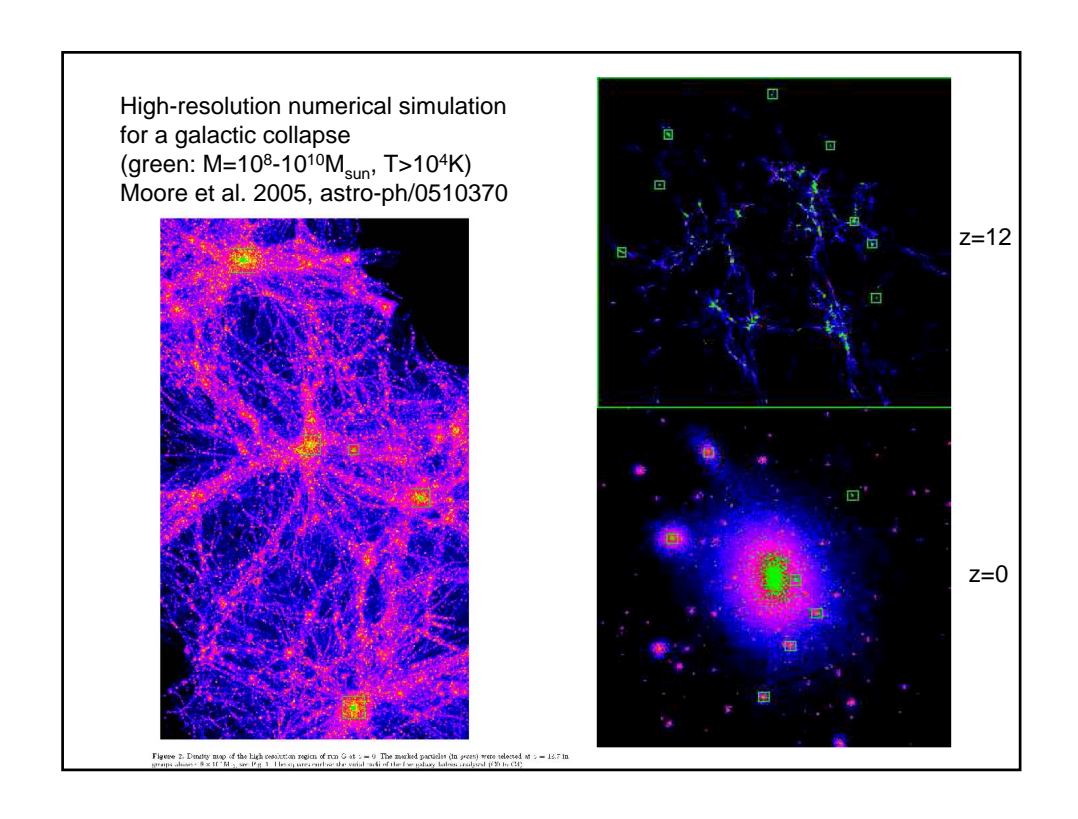


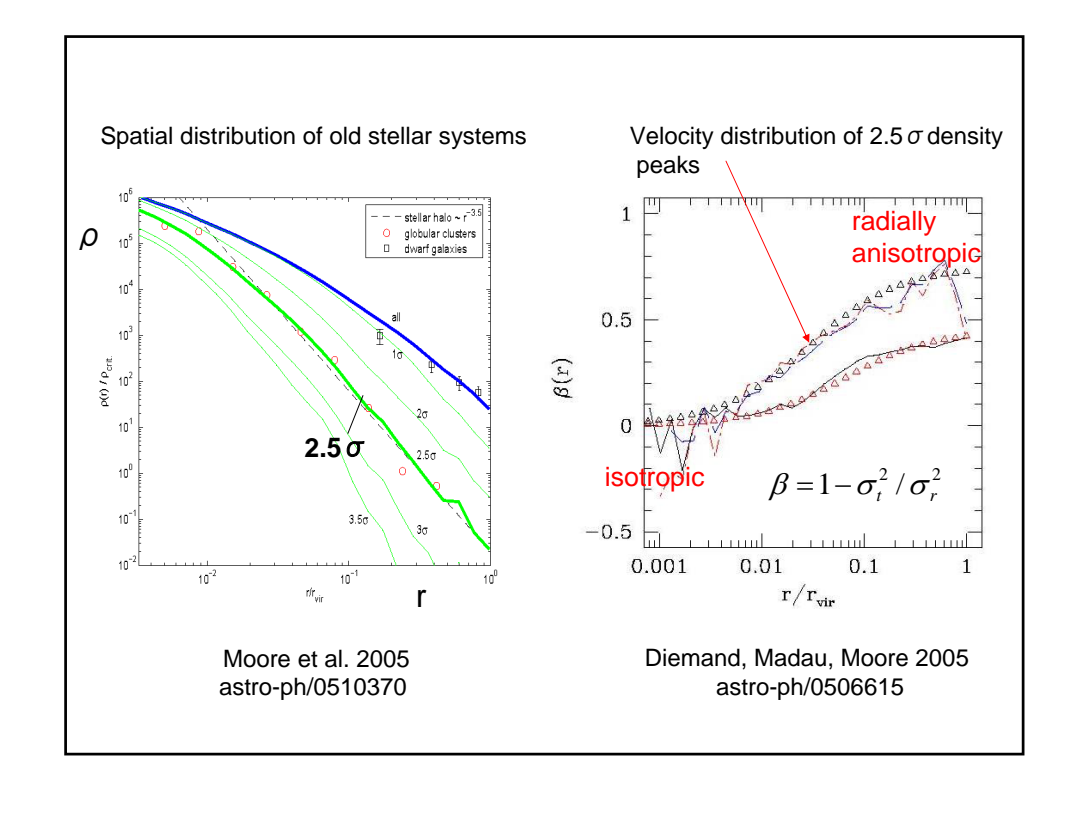


### 銀河系古成分の特徴

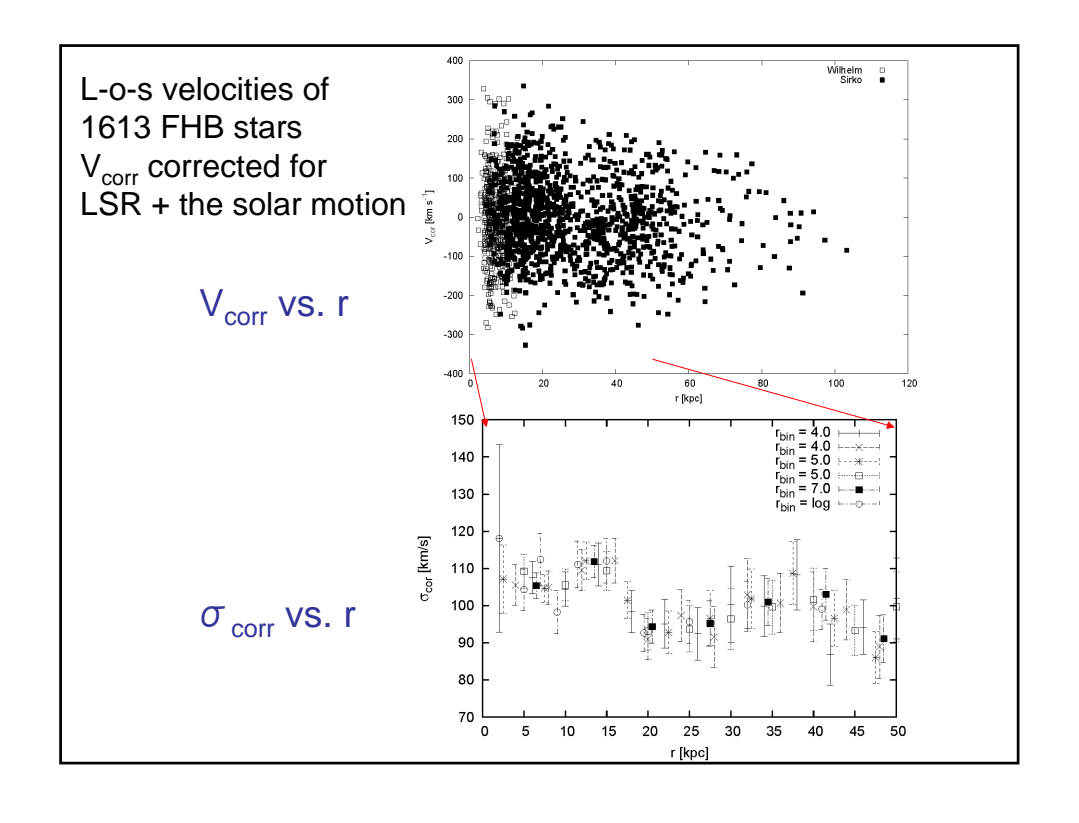
- Extended
  - Halo:  $\rho$  ∝  $r^{\alpha}$ ,  $\alpha$  ~ 3
  - Thick disk:  $\rho$  ∝ exp(-z/H), H~1kpc
- Lots of substructures
  - Evidence for dwarf merging
- Old age (>10Gyr)
- [α/Fe] overabundant

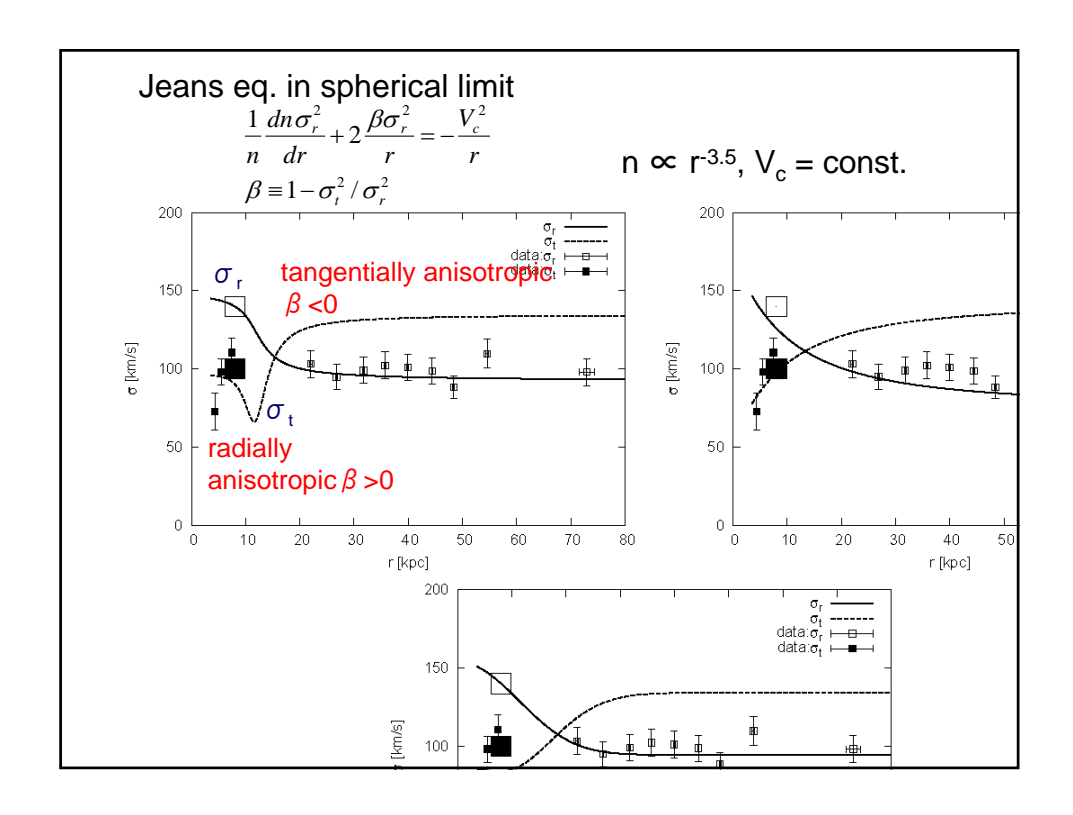
**CDM-based galaxy formation?** 

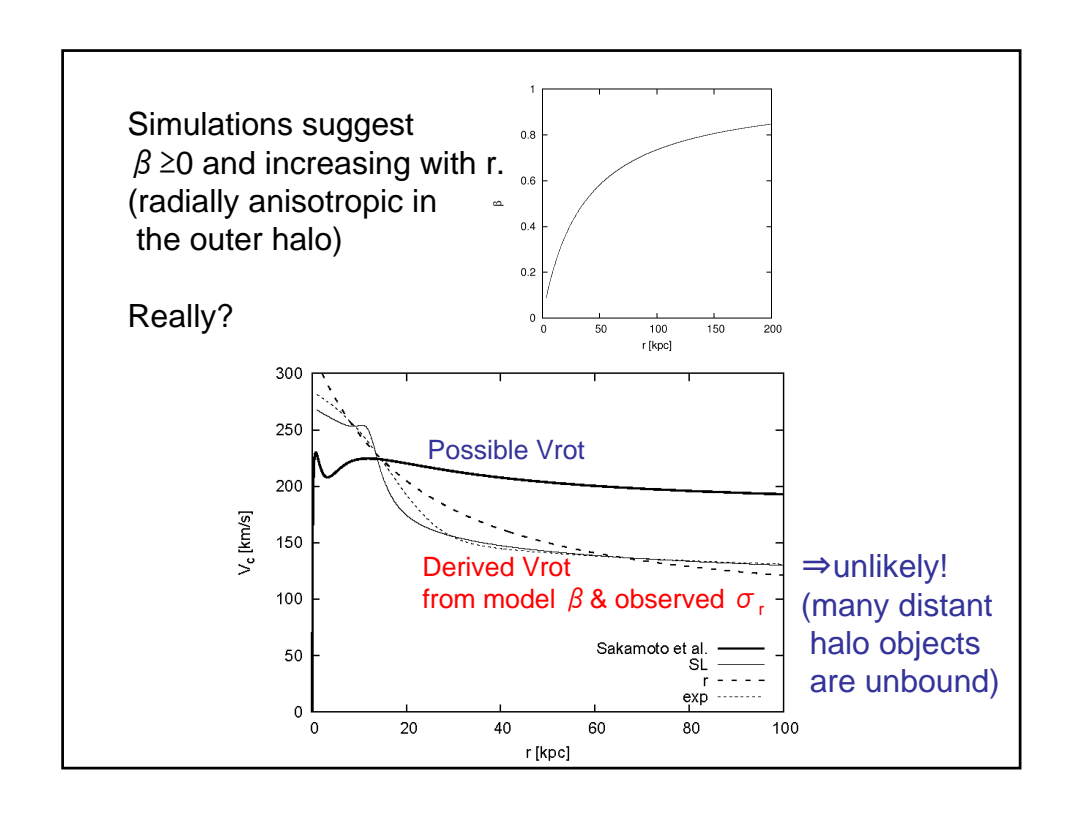


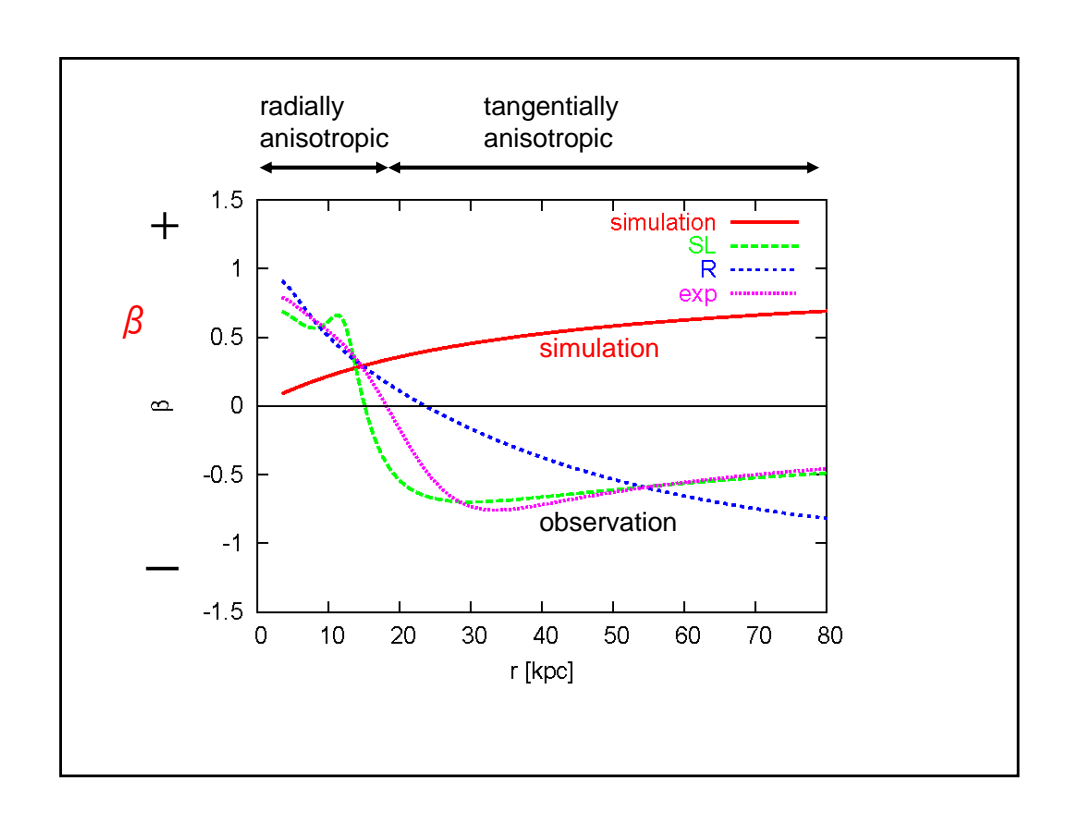


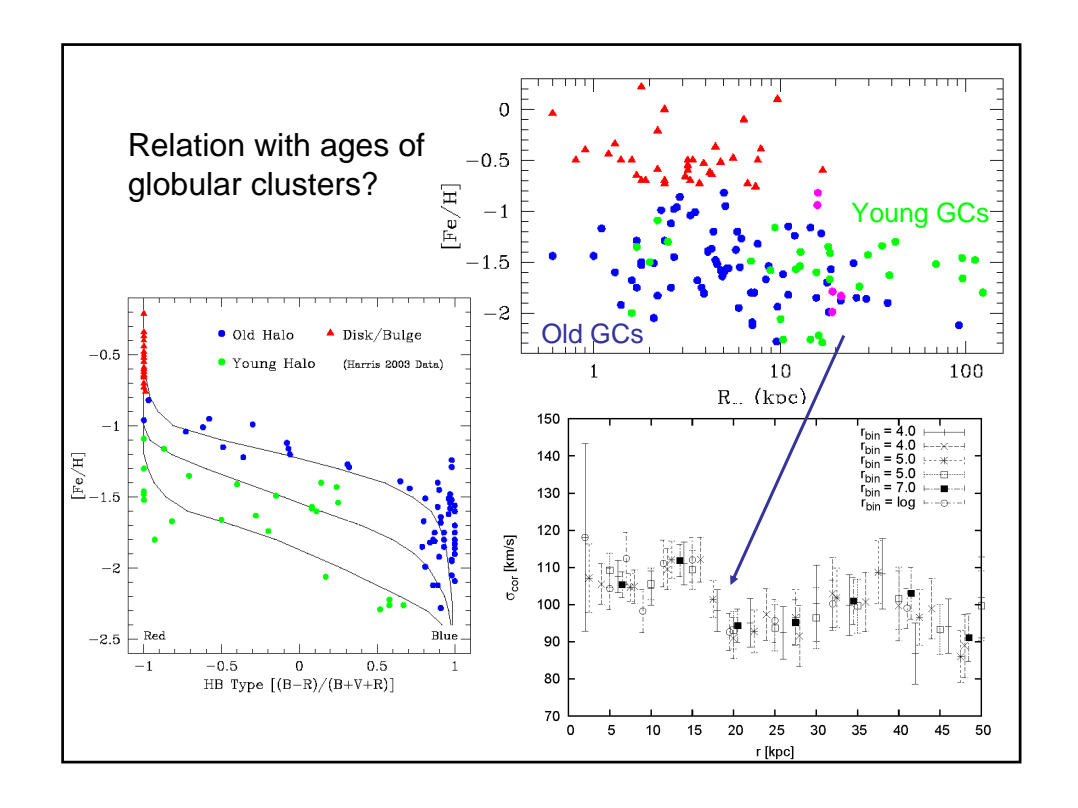
# Field Horizontal Branch (FHB) stars as halo tracers • Bright and many • Accurate distance is available ⇒ halo kinematics, mass distribution of a dark halo Yamada, M. (2006, Master thesis) using 444 FHBs in Wilhelm et al. (1999) 1169 FHBs in Sirko et al. (2003)











### Issues

- ハロー天体の速度構造の理解
  - 銀河形成数値実験、データ解析の改良
  - 球状星団の年齢分布の関連
- ダークハローの大局的な質量分布
  - 総質量、分布、形、サブストラクチャー
- 化学元素パターンと動力学構造との関連
  - 矮小銀河降着の効果

# Wide-field, fiber-fed, multi-object spectrograph (WFMOS)

- Dark energy survey (determination of w)
- Galactic archaeology survey

~4,500 targets in a FOV~1.5deg,

R~1,000 - 40,000

Operation 2012? ~

Table 1. Summary of the Baseline Survey Parameters.

| Survey               | R <sub>lim</sub><br>(AB<br>mag) | Target<br>Surface<br>Density<br>(deg <sup>-2</sup> ) | Total<br>Area<br>(deg²) | Total<br>Sample<br>Size (#<br>objects) | Total<br>Survey<br>Time <sup>1</sup><br>(hrs/nights) |
|----------------------|---------------------------------|--|-------------------------|--|--|
| Dark Energy          | 22.7                            | 1000   | 2000                    | 2 x 10 <sup>8</sup>                    | 1530/153   |
| z = 0.5 - 1.3        |                                 |  |                         |  |  |
| Dark Energy          | 24.5                            | 2000   | 300                     | 6 x 10 <sup>5</sup>                    | 1360/136   |
| z = 2.3 - 3.3        |                                 |  |                         |  |  |
| Galactic<br>High-Res | 17                              | 500  | 3000                    | 1.5 x 10 <sup>8</sup>                  | 4900/490   |
| Galactic<br>Low-Res  | 21                              | 1000   | 500                     | 0.5 x 10 <sup>8</sup>                  | 1400/140   |

<sup>&</sup>lt;sup>1</sup> Includes factor of 1.7 to account for weather and assumes average of 10 hours per night.

### Structure of Galactic Dark Halos

名古屋大学 吉田直紀

# 銀河サイズハローの構造について

- 1 系内矮小銀河の速度分散、質量、存在数
  - ダークマター質量
  - 初期パワースペクトル
- 2 矮小銀河の中心密度プロファイル 線観測の可能性

### Cold Dark Matter Model



Generic prediction

- 1. Near scale-invariance
- ⇒ Rich small-scale structure
- 2. Objects form hierarchically: "bottom-up"
- ⇒ Mergers unavoidable

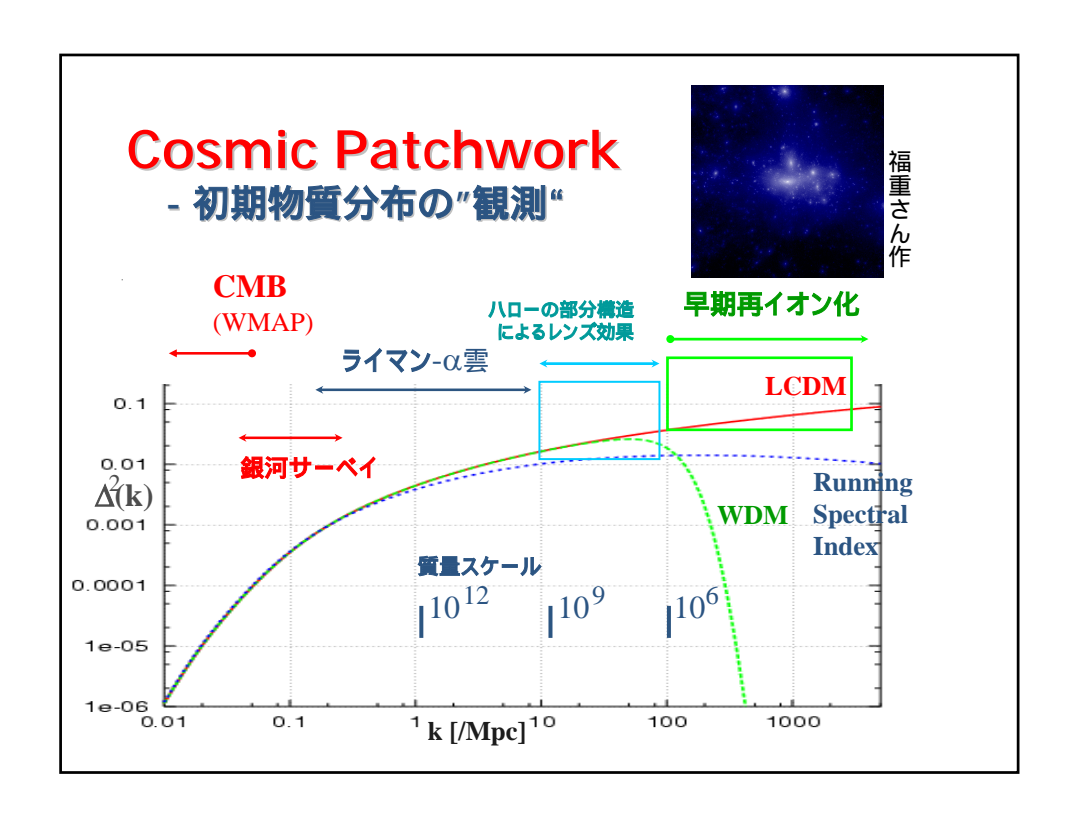
# Crisis on Small Scales – now and then -

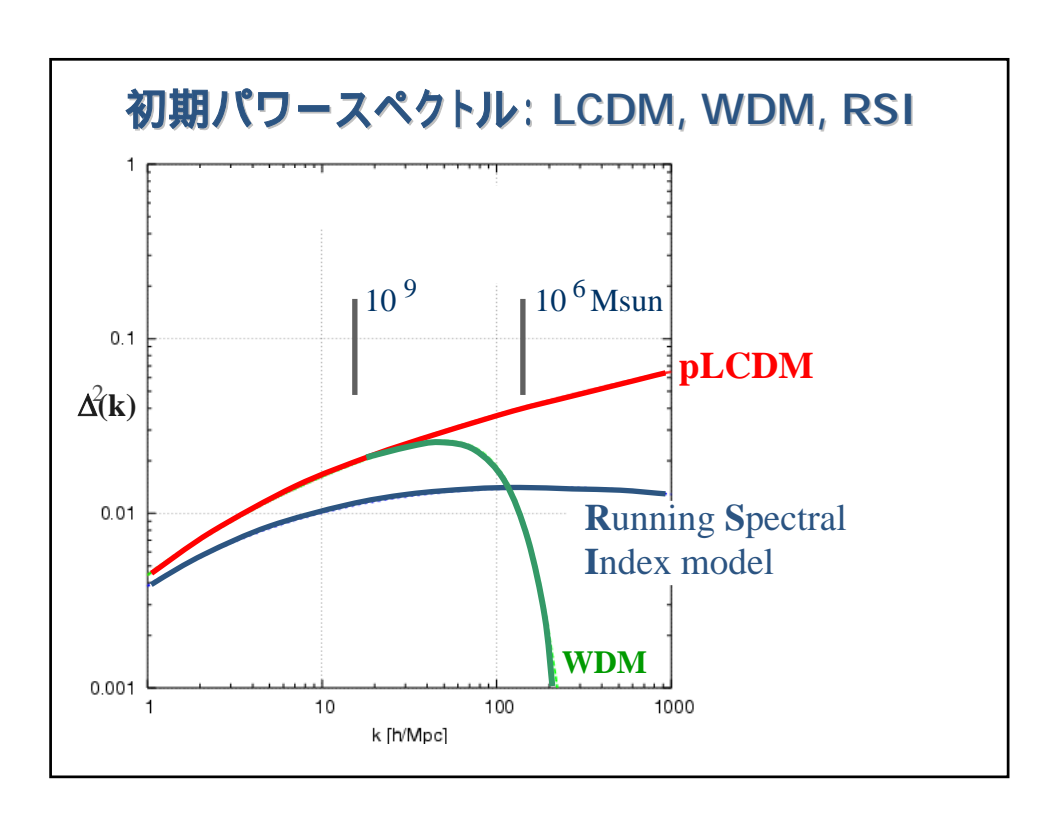
- ■回転曲線と密度プロファイル
- 衛星銀河の数とサブハローの量

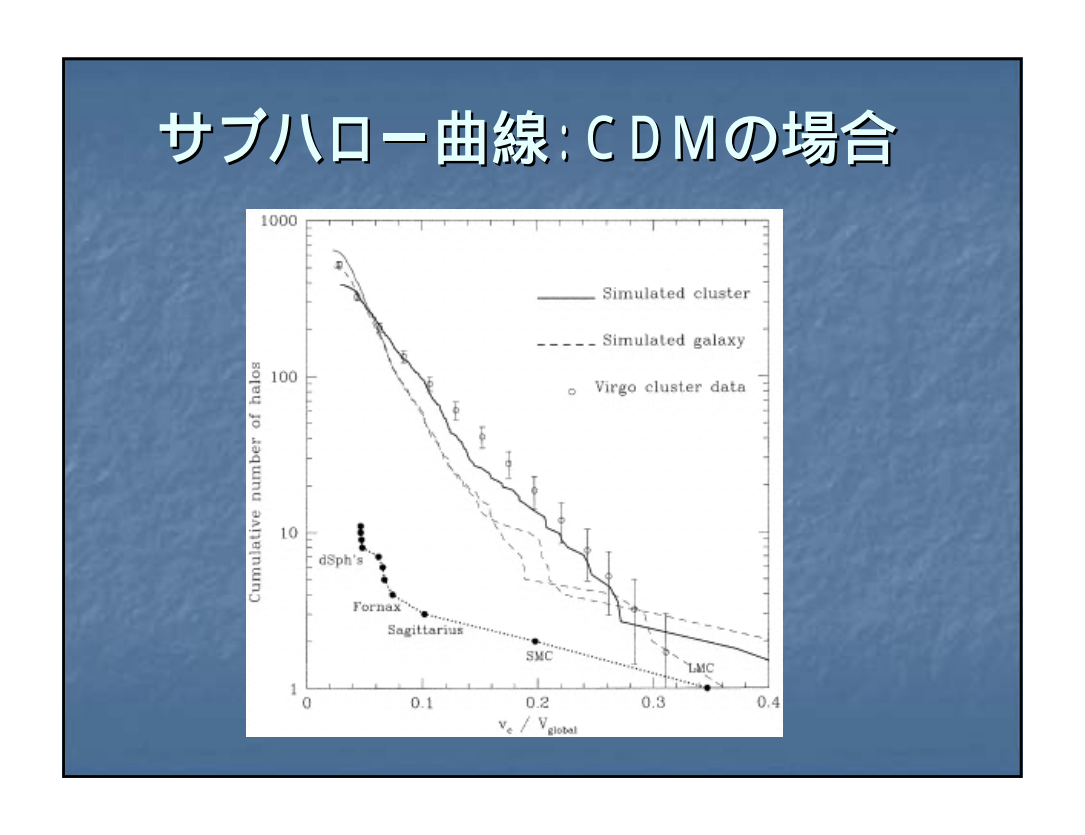
Dark side

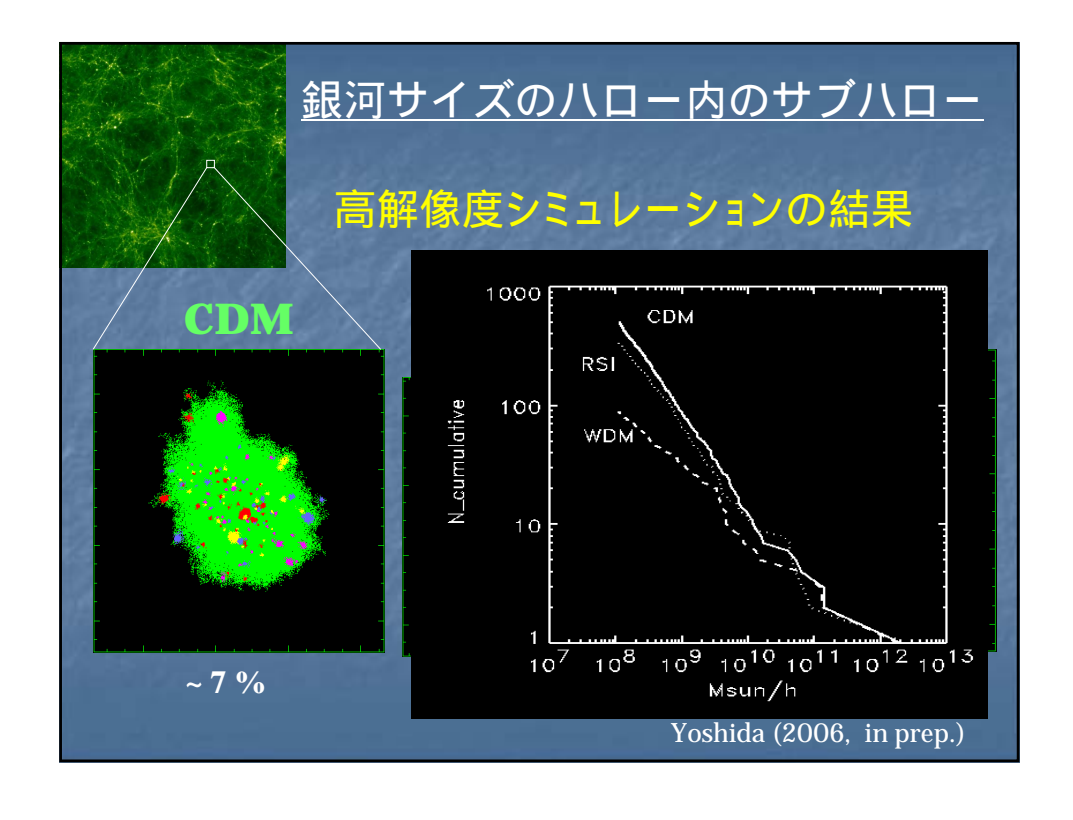
**Bright side** 

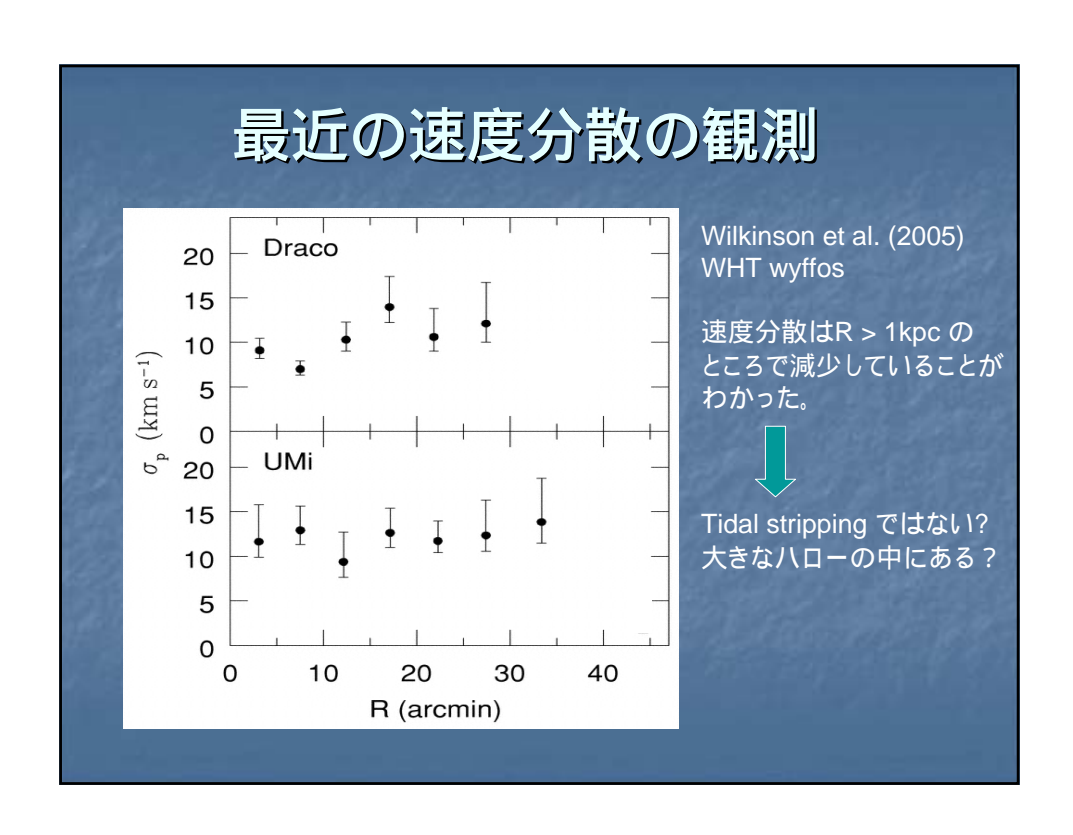
Interaction Initial condition Feedback (mechanical, radiative)

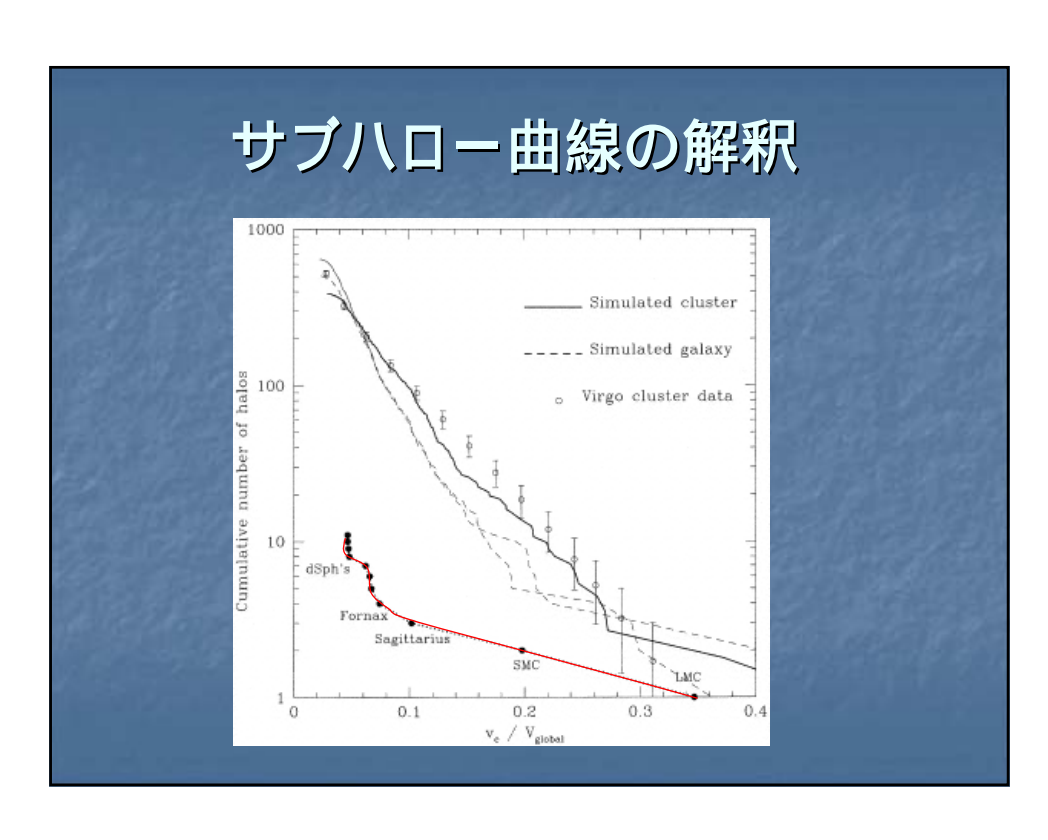




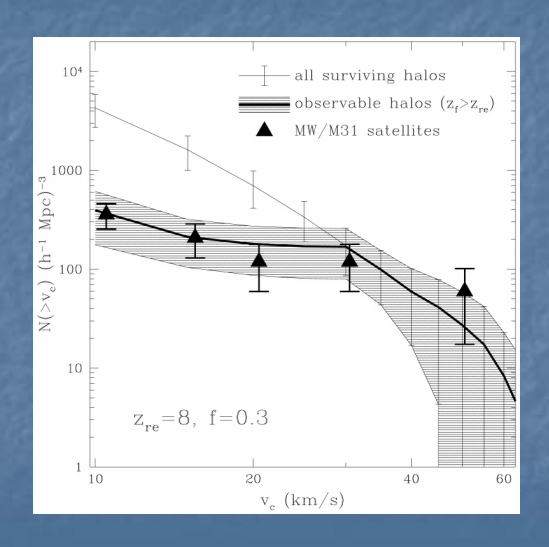








# 再イオン化原因説



Bullock et al. (2001) Benson et al. (2002) Kravtsov et al. (2003)

再イオン化時期以降 IGMの温度が高く 保たれ、それ以下の 温度(質量)の天体が できなかった、とする説

### ハローの内部構造を探るには

- 銀河系周辺の巨大暗黒ガス雲のサーベイ
- 重力レンズによるダークマターサブハロー の検出 (遠方銀河、MW、M31、、、)
- Neutralinoの対消滅による 線 (銀河中心、サブハロー中心から)



### Neutralinos as Cold Dark Matter

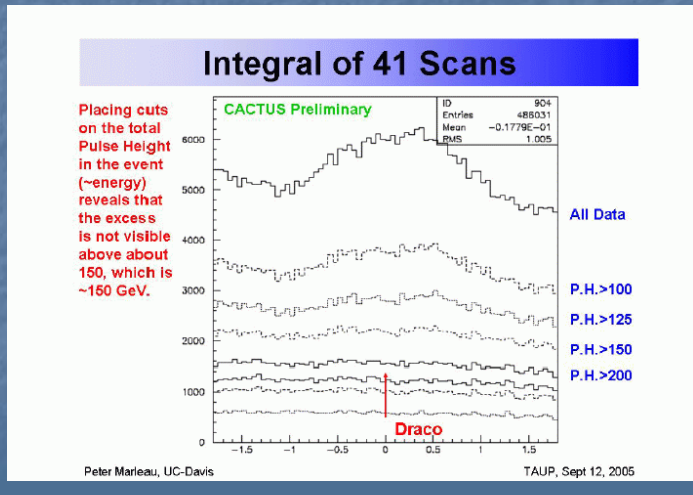
- Why neutralinos, why not anything else?素粒子物理のポピュラーモデル SUSY50Gev < mx < 10 TeV</li>
- Why annihilating?
   消滅断面積と残留量
   σv xx = 3 x 10<sup>-27</sup> / (Ωx ħ²) cm³ s⁻¹
   ~ 3 x 10<sup>-26</sup> cm³ s⁻¹
   Totani (2004)

### Dark matter annihilation

■ 消滅シグナル
continuum/line gamma-rays, e<sup>±</sup>, p, ap, v

gamma-ray excess positron/antiproton excess in cosmic rays from particular regions

# Gamma-rays from Draco - a smoking gun?



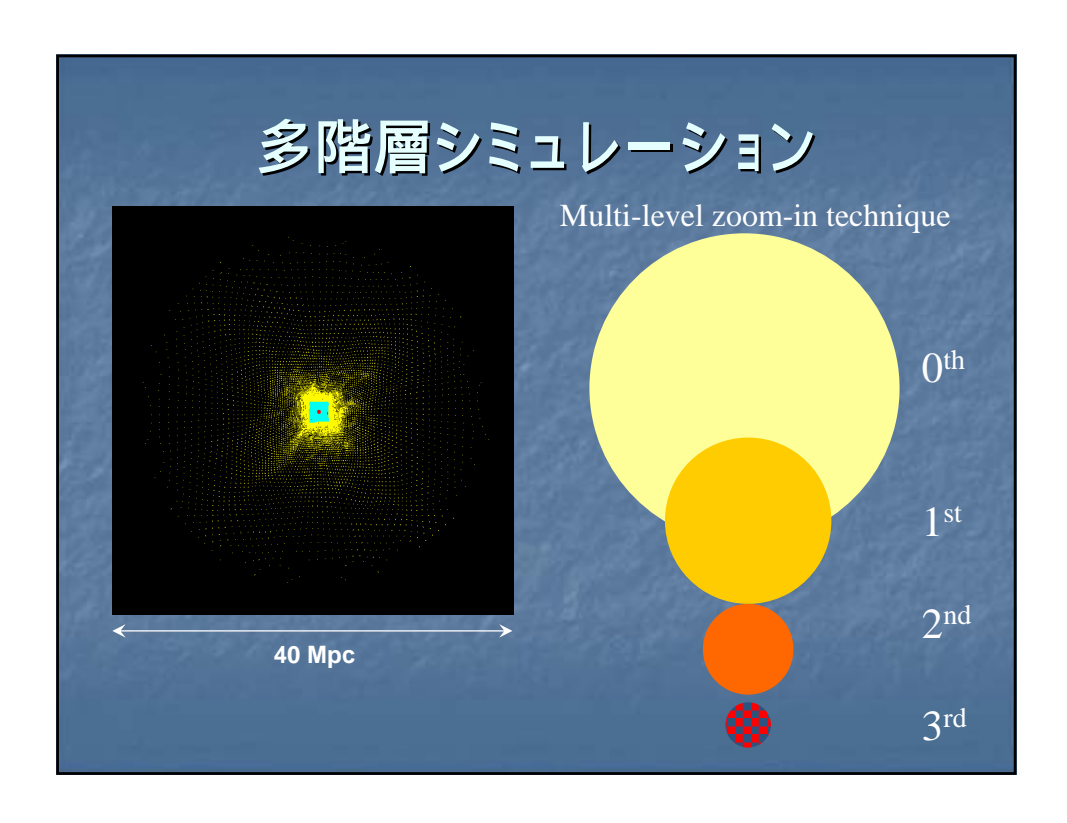
TAUP meeting, P. Marleau

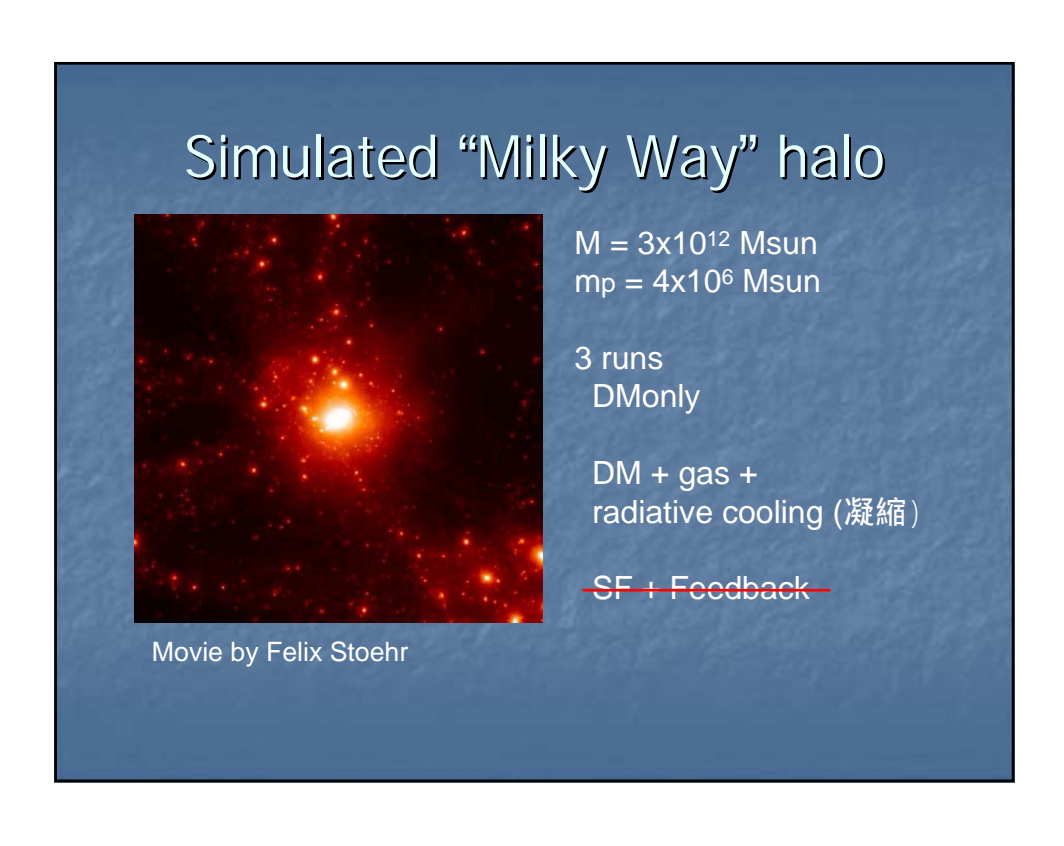
# 密度プロファイルとDM消滅率

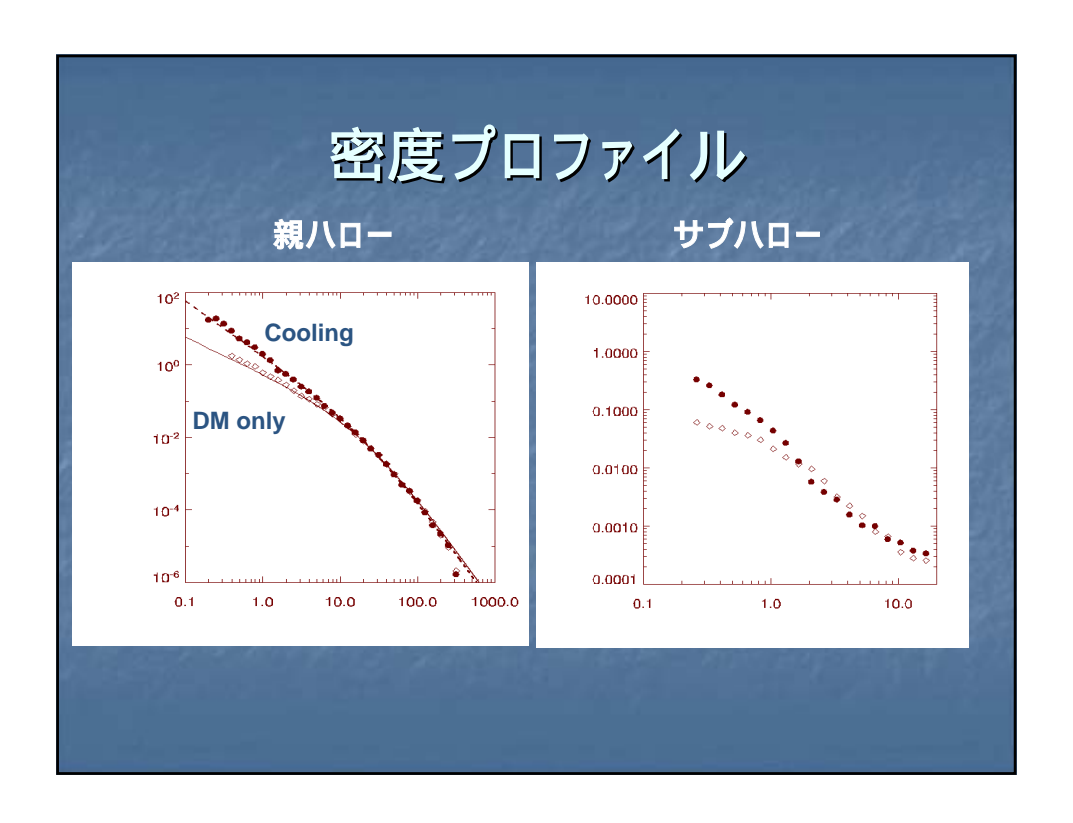
- 密度最大の場所(=ハロー/サブハロー中心) からのシグナルが最大
- 中心付近ではガスの分布に多大に影響をうける (e.g. Gnedin et al. 2005)

$$F = \frac{\langle \sigma v \rangle}{2m_x^2} \int \frac{\rho^2(r)}{4\pi D^2} \, \mathrm{d}^3 x$$

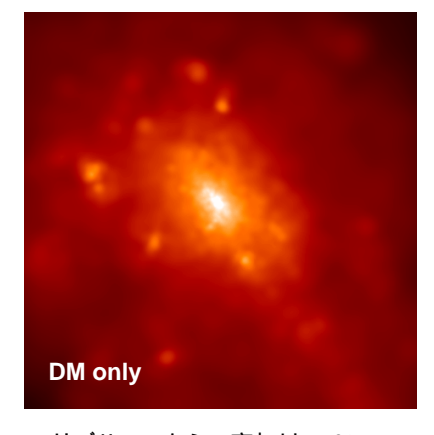
■ p ~ r-1.5 で中心で発散



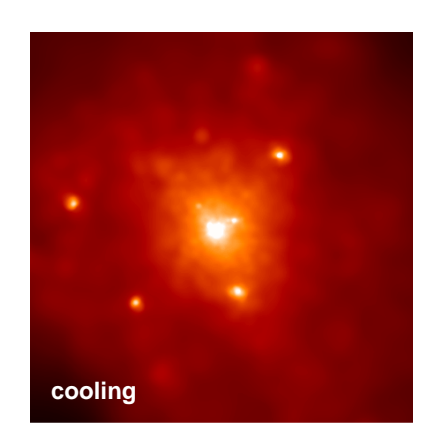




# 線シグナル(~ρ²)



サブハローからの寄与は<2%



この場合は個々のサブハローは明るい

実際の分布が右図に近いなら、サブハローを検出できる可能性が極めて高い

### まとめ

- サブハローの量、ダークマター、銀河形成 観測量(速度分散、回転曲線)の解釈 と詳細なモデル化の必要
- サブハローの密度プロファイルbaryonic physics を含めた詳細な計算SFR, feebackについての"観測からの"inputGLASTによる直接観測

#### CDM構造形成と銀河系の化学組成進化

長島雅裕(京大理)

ref) Nagashima & Okamoto, 2006, ApJ in press Nagashima & Yoshii, 2004, ApJ, 610, 23

- 1. Introduction CDM構造形成過程
- 2. 銀河系形成への準解析的アプローチ
- 3. 銀河系の化学組成
- 4. 超新星フィードバックの役割
- 5. Summary

#### 参考(関連)ポスター

P11 長島雅裕 微小HI雲の進化から銀河ディスクガスを探る P17 小山博子 Tully-Fisher関係における超新星フィードバックに伴う力学応答の重要性

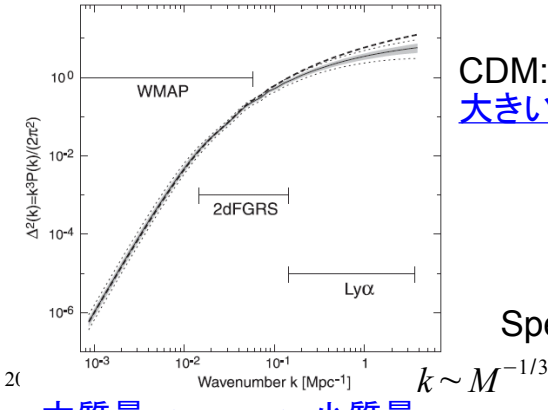
### Introduction - CDM構造形成過程

近年、多くの観測により、ACDMモデルが標準に

バリオン密度<<CDM密度 →構造形成はCDMの性質で決まる

2

$$k^3 P(k) \simeq \sigma^2 = \langle \delta^2 \rangle$$

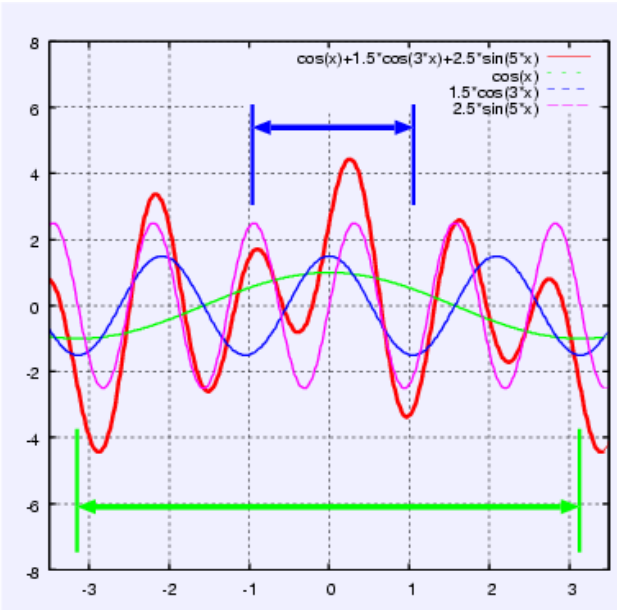


CDM: small scale の密度揺らぎの振幅大 大きい天体は小さい天体の合体で作られる

Spergel et al.(2003)

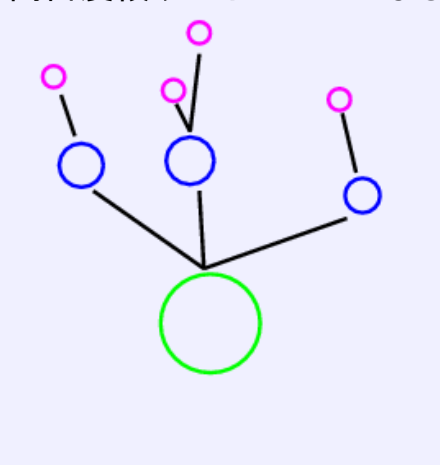
► 小質量

#### Hierarchical Clustering



密度揺らぎ場のモデル Fourier mode の重ね合わせ

高密度領域からハローになる



バリオンガスは、基本的にダークハロー内部で進化 2006/3銀河形成過程も階層的に考えなければならない

銀河形成へのアプローチ

どうやって理論的に銀河をつくるか?複雑な物理過程を解かねばならない

- ダークハローの形成

- ガスの冷却 (密度分布など)

- 星形成 (タイムスケール、効率など)

- 超新星爆発の効果 (加熱効率など)

- 銀河の合体 (タイムスケールなど)

等々。しかし、ただでさえ、よくわかっていないプロセス(星形成など) があるのにどうするか?→パラメータを導入してモデル化する

・シミュレーション

ダークマターのダイナミクスは(ちゃんとやれば)大体マジメに解けるガスはまだまだ(resolution はせいぜい分子雲スケール) 実行時間がかかるのでごく少数のモデルのみ計算可能

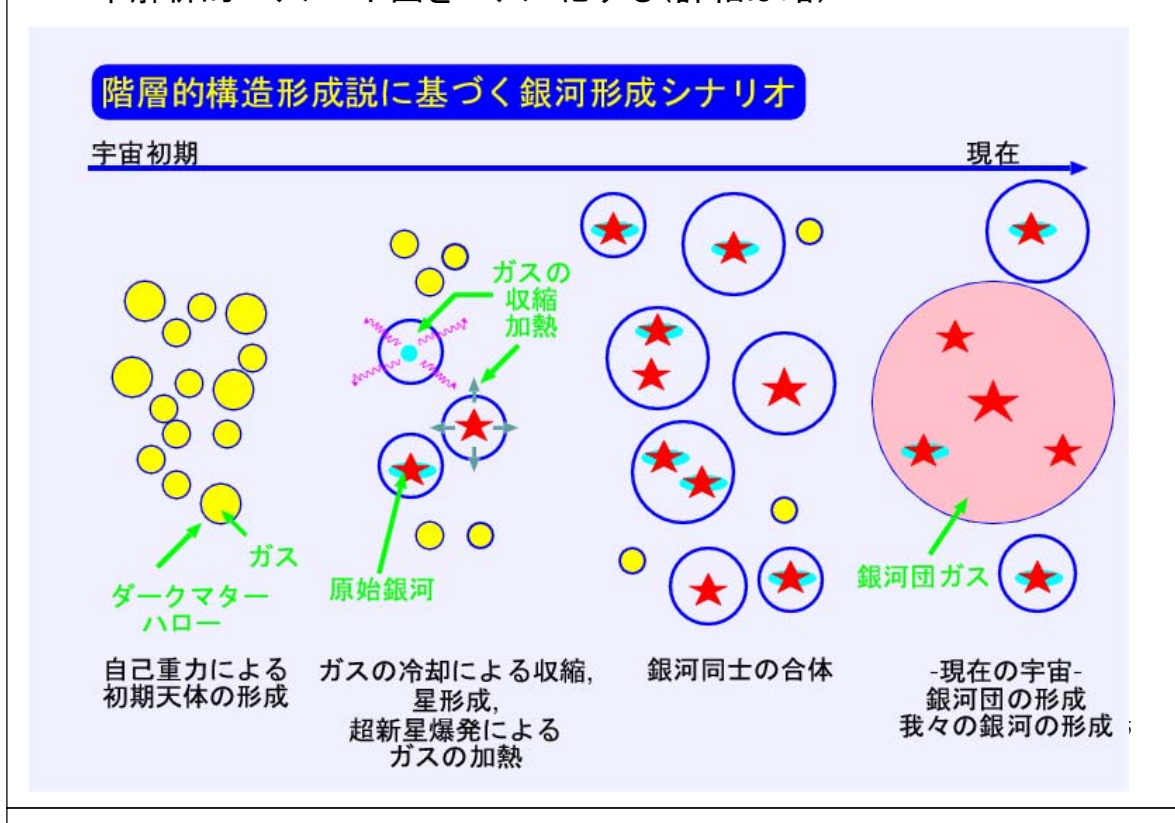
・ 準解析的モデル

銀河スケールで物理過程をモデル化(イメージしやすい) 実行時間短い→広いパラメータ空間を調べられる

お互い相補的(得手不得手がある; どちらも追求する必要がある)

3

準解析的モデル: 下図をモデル化する(詳細は略)



### 準解析的モデルの流れ

- 1. <u>ダークハローの形成史の構築</u> 拡張Press-Schechterを使う 質量関数は Yahagi et al.(2004) のN体計算へのフィットを使う
- 2. <u>個々のハローでのガスの冷却</u> ホットガスはvirial温度、コア入りisothermal分布
- 3. 冷えたガスからの星形成

$$\psi(SFR) = M_{\text{cold}}/\tau_*(V_c)$$

4. 超新星爆発による冷えたガスの加熱(フィードバック)

$$\dot{M}_{hot} = \beta(V_c) \psi$$

- 5. 銀河同士が合体するかどうかの判定
  - dynamical friction による central-satellite merger
  - random collision による satellite-satellite merger 合体するなら major/minor merger の判定(質量比による) major ならバルジ形成、minor ならディスクに吸収

光度などを計算しつつ、2以降をz=0まで繰り返す

2006/02/22

## パラメータの決定

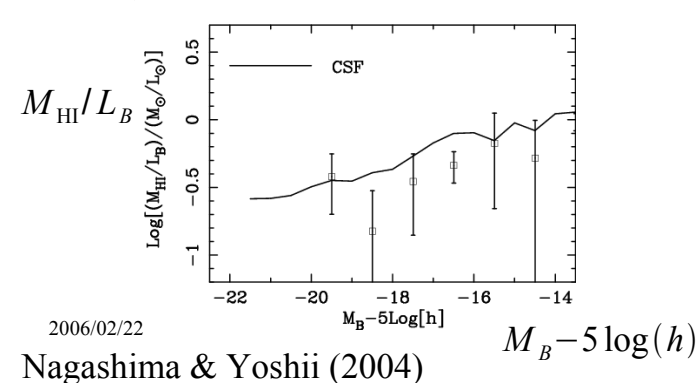
#### モデルパラメータを近傍銀河の統計を使って決める

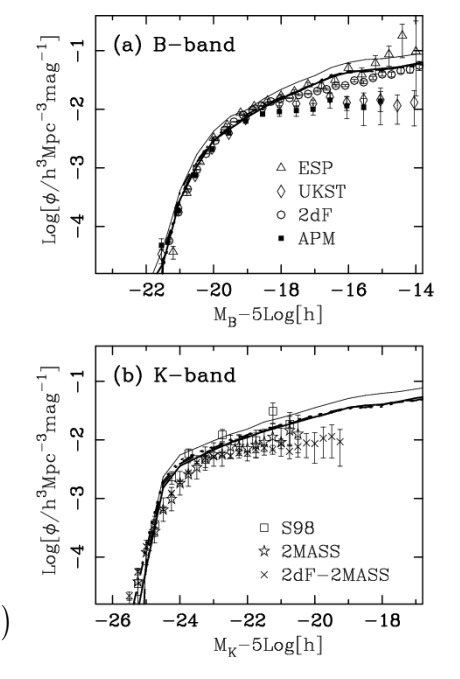
#### 重要なフリーパラメタ

- ・超新星フィードバックの効率→光度関数 ・星形成タイムスケール→ガスの割合
- など。

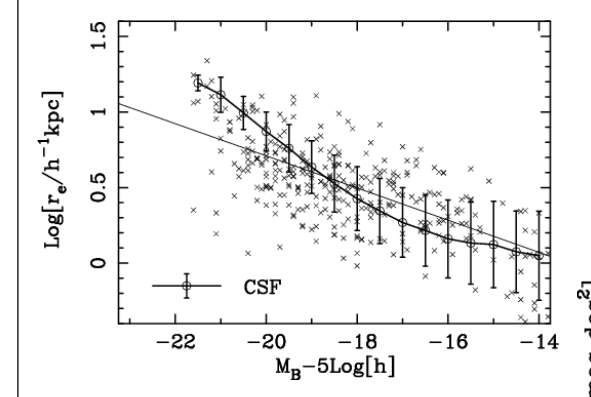
#### 物理的に示唆のあるパラメタ

- ・銀河の合体のタイムスケール・ハローの角運動量(ディスクサイズ) など。



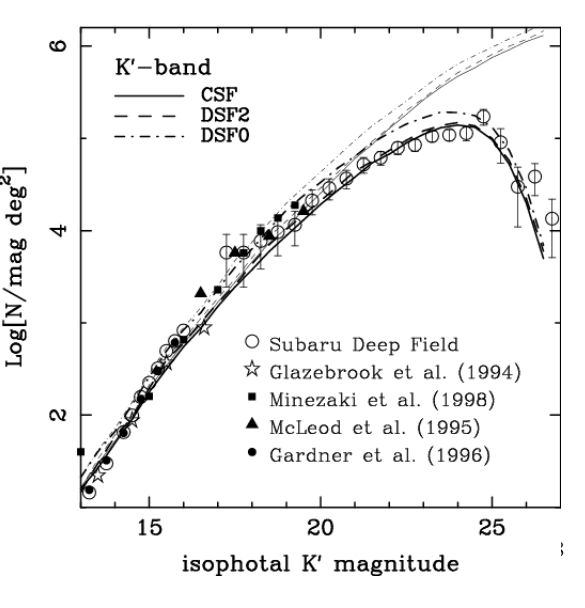


## モデルの特徴(1)



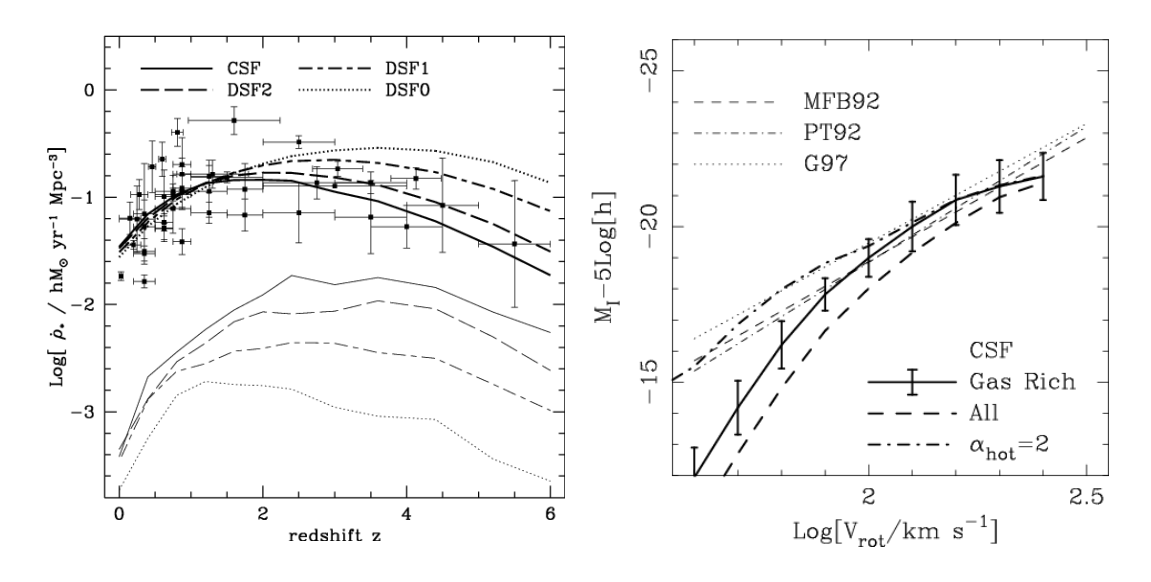
disk size-mag. relation 標準的なスピンパラメタ分布 +ガスの角運動量保存で 再現可能

#### K-band galaxy counts



2006/02/22

## モデルの特徴(2)



●Tully-Fisher についてはP17小山ポスターも参照

9

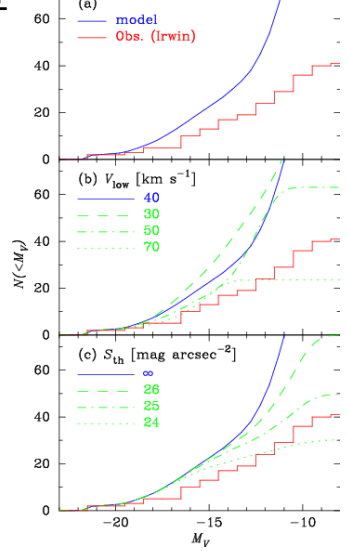
#### 銀河系の化学組成進化

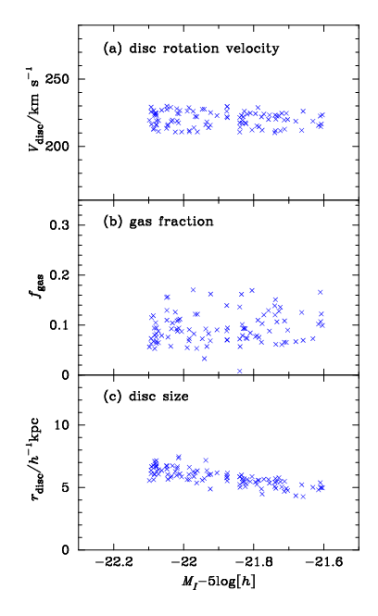
- ・このモデルに、la型超新星による重元素生成過程を加える
- ・寿命は(とりあえず簡単のため) 1.5Gyr に固定(多少ふる)

•Vc=220km/sのハロー内で、

銀河系に似た銀河をピックアップ

ヒックアッフ (MW-like銀河)



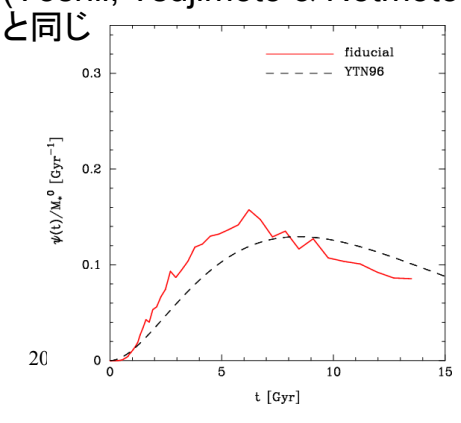


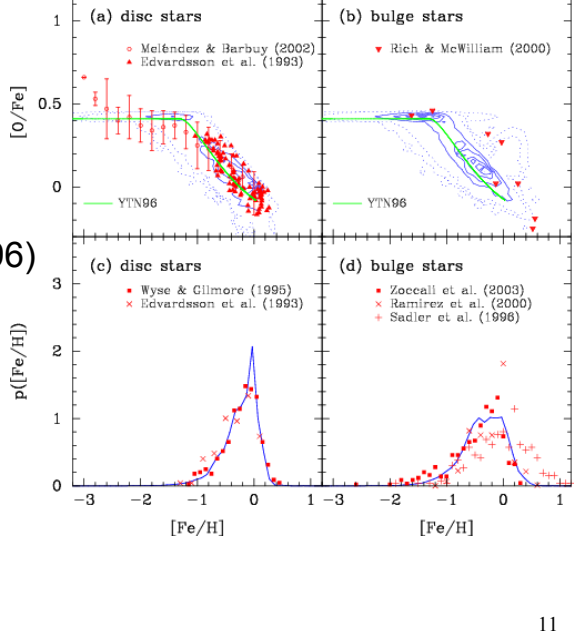
2006/02/22

### 星の[O/Fe], [Fe/H]

- ・MW-like銀河100個の平均
- ・良く観測を再現している
- •G-dwarf問題現れない
- ・CDM宇宙でも、銀河系は 作れる

星形成史: 大体one-zone model (Yoshii, Tsujimoto & Notmoto 1996)

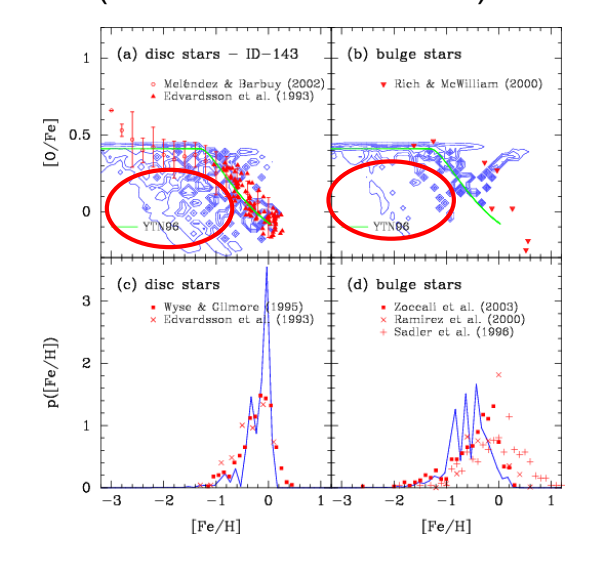


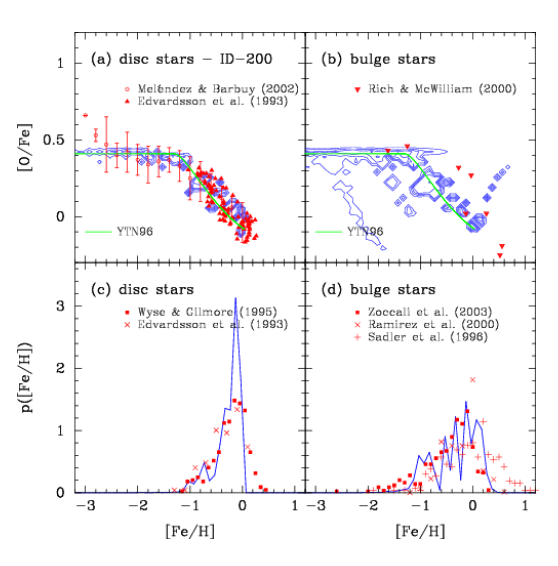


#### 個性はどれぐらいあるか?

- 大きなトレンドは同じ
- -satellite銀河の合体史に依存して、low-[Fe/H], low-[O/Fe]の星が わずかに存在しているかもしれない

(satelliteの痕跡?→後述)





#### G-dwarf problemとの関係

traditional (infall) model では、infall term を付けることで G-dwarf problem を回避した。

モデルにはそのような「手で加えた」項はない。 →何が効いているのか?

#### free-fall も cooling も timescale は宇宙年齢より十分短い

$$au_{\text{ff}} \sim 1/\sqrt{G\rho} \sim 1.5 \, \text{Gyr} (1+z)^{-3/2} \ll au_H$$
  
 $au_{\text{cool}} \simeq kT/n \, \Lambda \sim 0.5 \, \text{Gyr} (T/10^6 \, \text{K}) (\Lambda/10^{-23})^{-1} (1+z)^{-3} \ll au_H$ 

ほっとけば、10Gyr程度の infall などあり得ない。 →一旦冷えて銀河に降ってきたガスを、超新星フィードバックにより 再びあたため、ハローにかえしてやるプロセスが重要

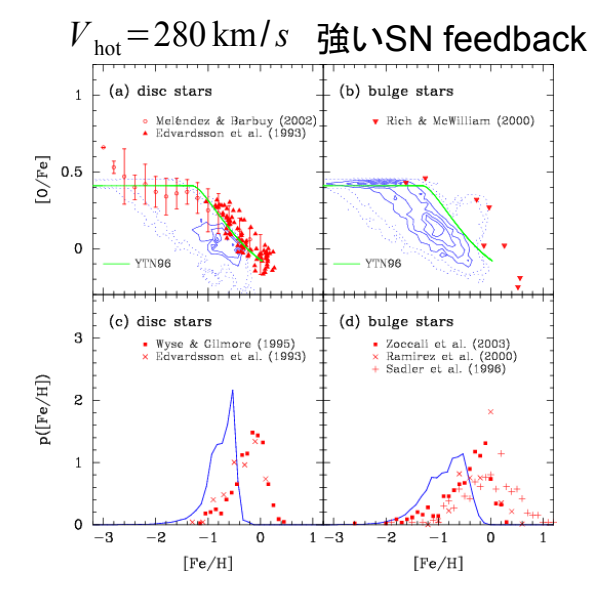
このサイクルで、少しづつ enrich しながら、平均するとゆっくり ディスクにガスを供給する

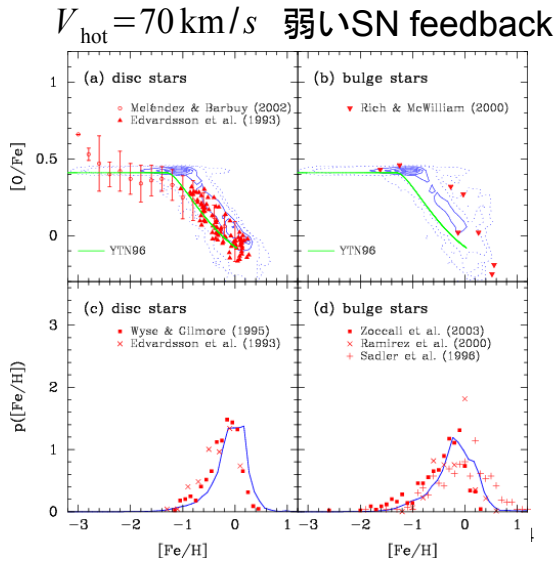
2006/02/22 13

## 超新星フィードバック

$$\dot{M}_{hot} = \beta(V_c) \psi$$
,  $\beta = \left(\frac{V_c}{V_{hot}}\right)^{-4}$ 

#### フィードバックは重元素量を減らす

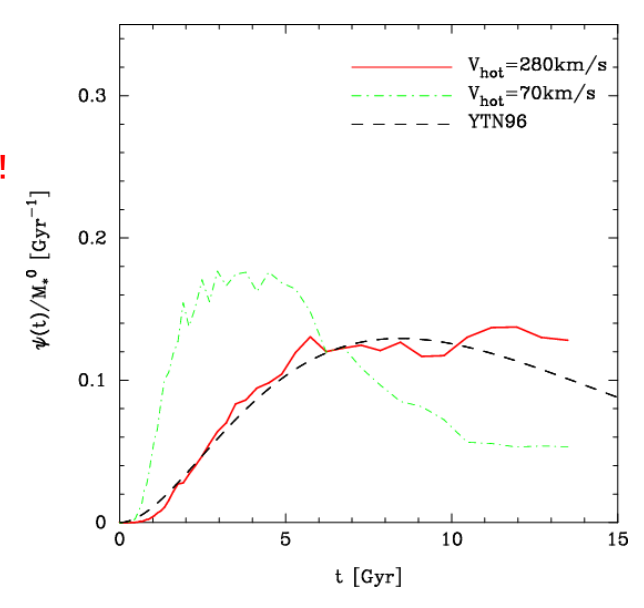




## 超新星フィードバック

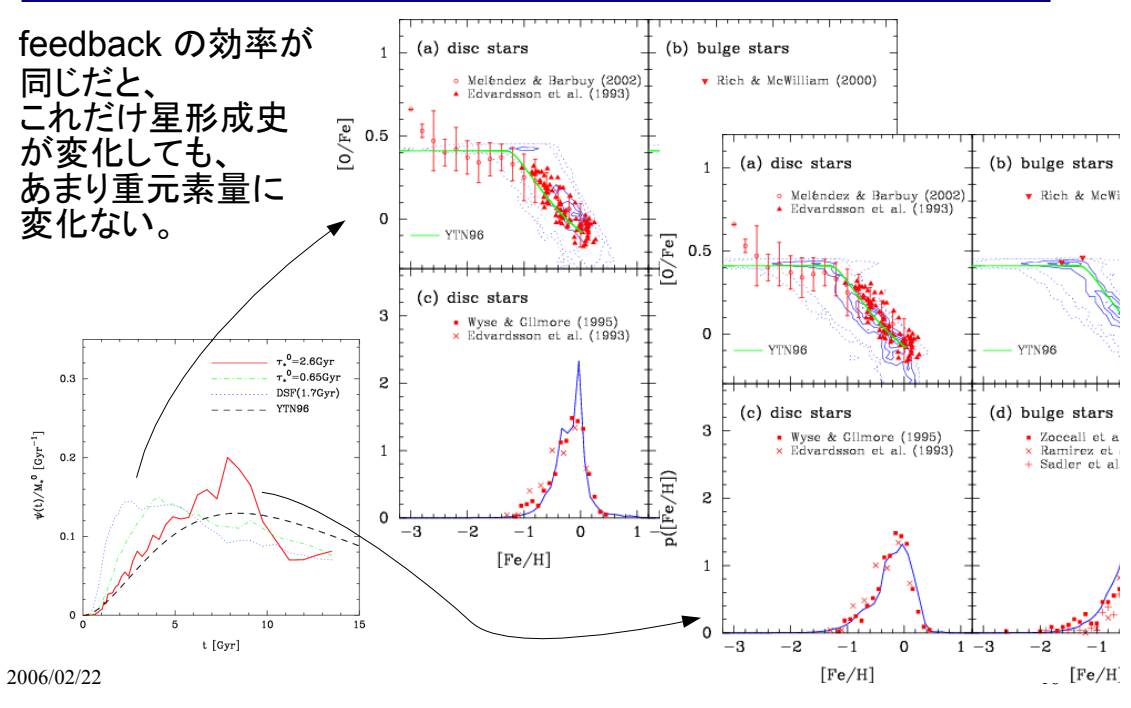
星形成史には それほど大きな違いはない

→重元素量の進化にとって、 星形成史は本質ではない!



2006/02/22

## **星形成タイムスケールの効果**



#### 超新星フィードバックと重元素量の進化

星の重元素量の平均(mass-weighted)は、

$$x \equiv (\alpha + \beta) t / \tau_*$$

18

$$\langle Z_*(t)\rangle = Z_c^0 + \frac{\alpha y}{\alpha + \beta} \frac{1 - e^{-x} - x e^{-x}}{1 - e^{-x}} \to Z_c^0 + \frac{\alpha y}{\alpha + \beta} \quad (x \to \infty)$$

α: locked-up mass fraction, ~0.8

β: feedbackの強さ

∴ β大きいと、yield y は、あたかも y/(β/α) と補正されたかのように振舞う →SN feedback は重元素量を減らす

少し重元素を含んだガスをハローに放出

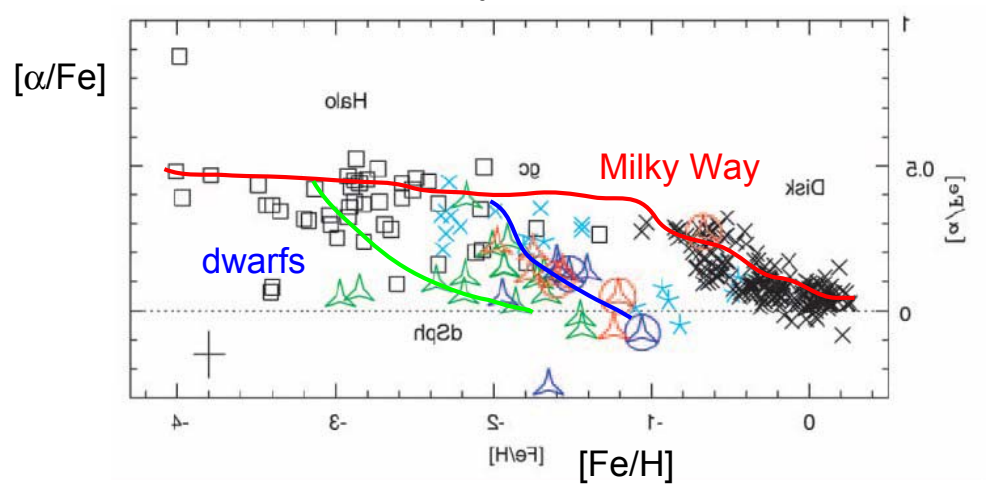
- →次のガス冷却で、重元素を少し含んだガスが降着
- →銀河は少し成長して feedback 少し弱くなる
- →また少し星を作り、少し重元素を増やす

この繰り返しで metal-poor star をあまり作らずに、enrich をすすめる

2006/02/22

#### dwarf は feedback の情報を含む?

近傍矮小銀河の観測(Tolstoy et al. 2003)



矮小銀河にフィードバックの痕跡を見つけられるか? →折れ曲がりと、重力ポテンシャルの深さ/初期のガスの割合

→折れ曲がりと、重力ポテンシャルの深さ/初期のガスの割合 2006/02/22 などに関係づけられるかも??

#### Summary

- ・ 準解析的モデルで銀河系サイズの銀河について、 重元素量の進化と銀河形成の物理過程との関係について調べた。
- ・超新星フィードバックは本質的に重要である。 →dwarf galaxies から情報を得られるかも
- \*small scale の物理過程が重要
  - ←数値シミュレーションでは分解するのが大変な領域
  - →"sub-grid physics" についての理解を進める必要がある 特に、
    - ●分子雲形成
    - ●分子雲内での星形成効率
    - ●超新星フィードバックの色々なスケールでの効き方 さらに関連して、ディスクの構造の理解(厚み方向)も重要である →ガスの圧力構造と関係、磁場?宇宙線?……
- 私のポスター(P11「微小HI雲の進化から銀河ディスクガスを探る」) も見てください

19



# 初期銀河八口一質量関数と炭素過剰超金属欠乏星

小宮 悠(北海道大学) 共同研究者 須田拓馬、藤本正行 (北海道大学) 茂山俊和、皆口裕樹 (東京大学) 青木和光 (国立天文台)



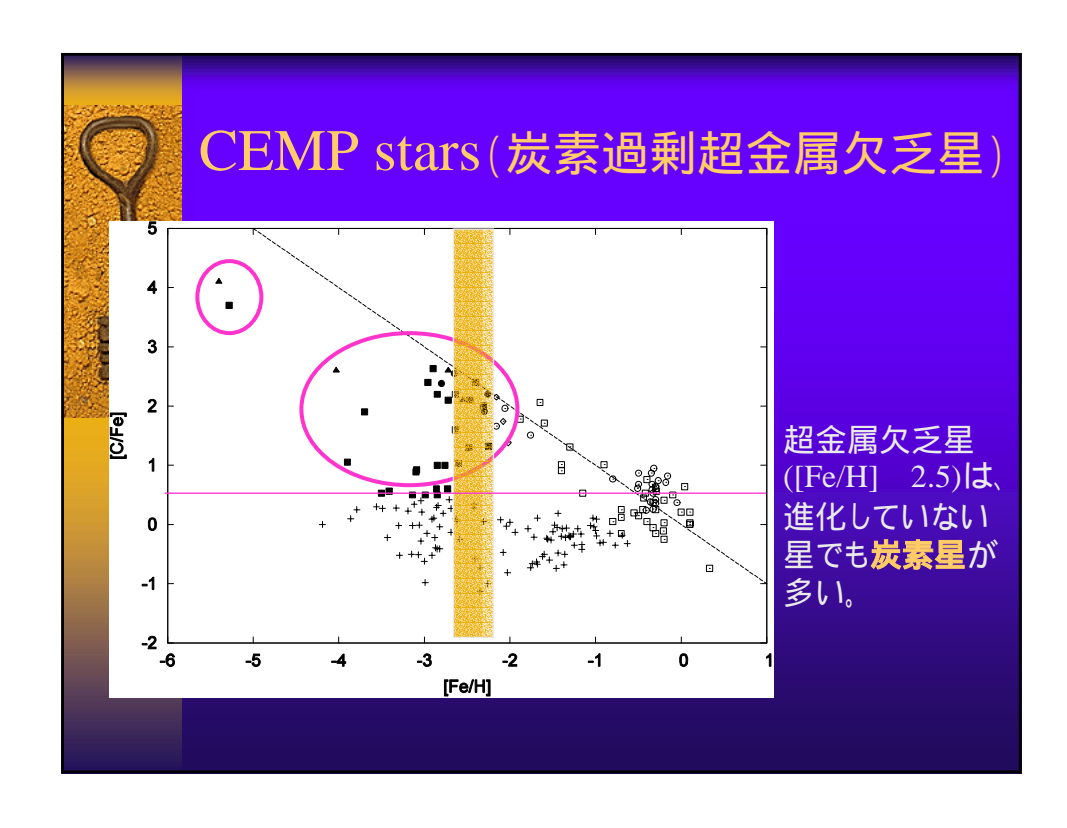
#### 概要

- ◆ 超金属欠乏星(EMP star)
  - <u> 銀河の初期を知る手がかり</u>
- 小質量星しか 残っていない
- ◆ 炭素過剰超金属欠乏星(CEMP star)
  - 中質量星との連星だったと考えられる
    - 銀河初期の中質量星のprobe
- •そのために・・・
  - -中質量EMP starの進化計算
  - -EMP starの観測との比較
- •連星起源説の検証
- •初期ハローIMFの推定



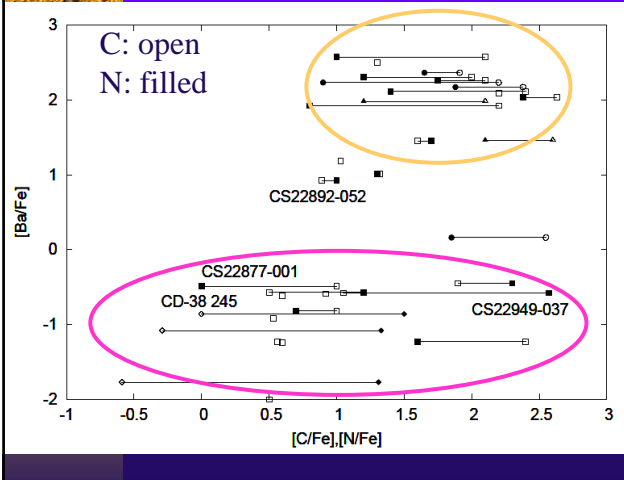
#### 目次

- CEMP stars OBinary Scenario
  - 1. CEMP stars、EMP starsの観測的特徴
  - 2. 超金属欠乏星の進化
  - 3. 比較·検証
- ◆ CEMP starsが描く初期銀河ハロー
  - 1. CEMP starsの統計
  - 2. 初期ハローIMFの推定
  - 3. 銀河ハローの進化





#### C, N, S-process

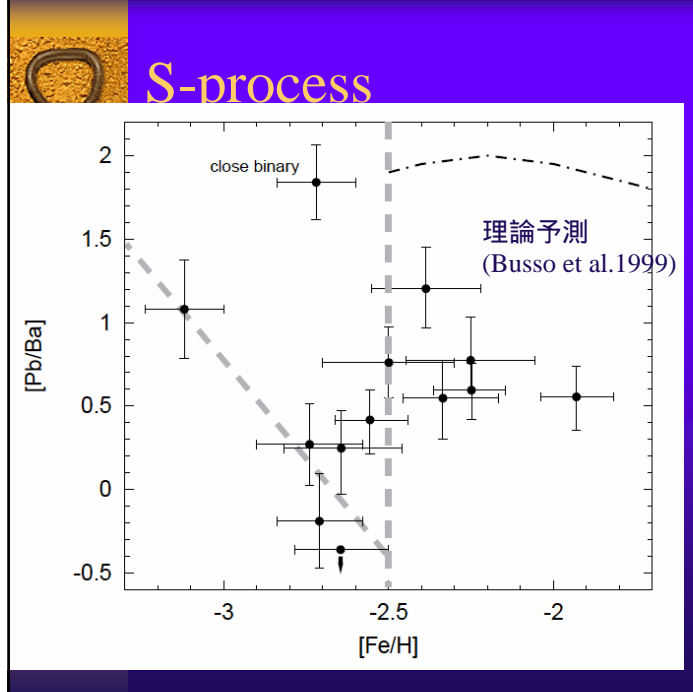


S-process元素 (中性子捕獲元素)の 多い星(CEMP-s)と、 少ない星(CEMP-nos) の2種類に分かれる。

CEMP-sは、Nも増加。 ただしCよりは少ない。

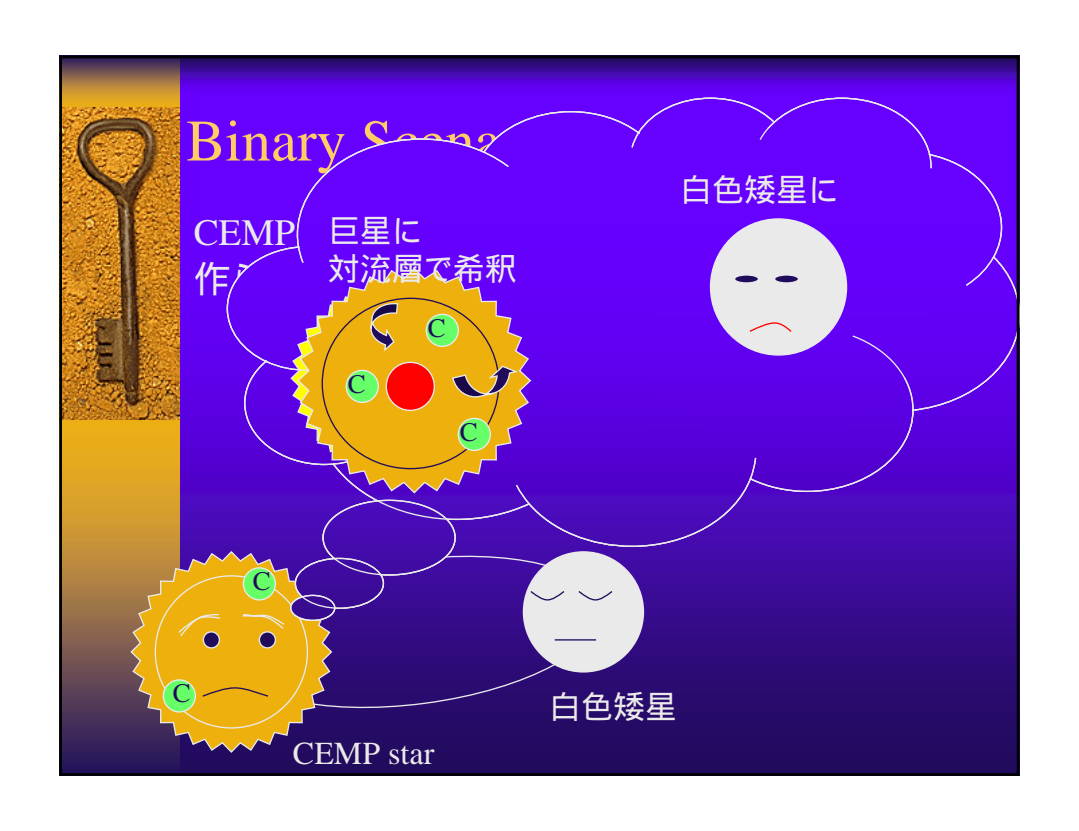
CEMP-nosではNの増加の無いものから、C の10倍あるものまで 多様。

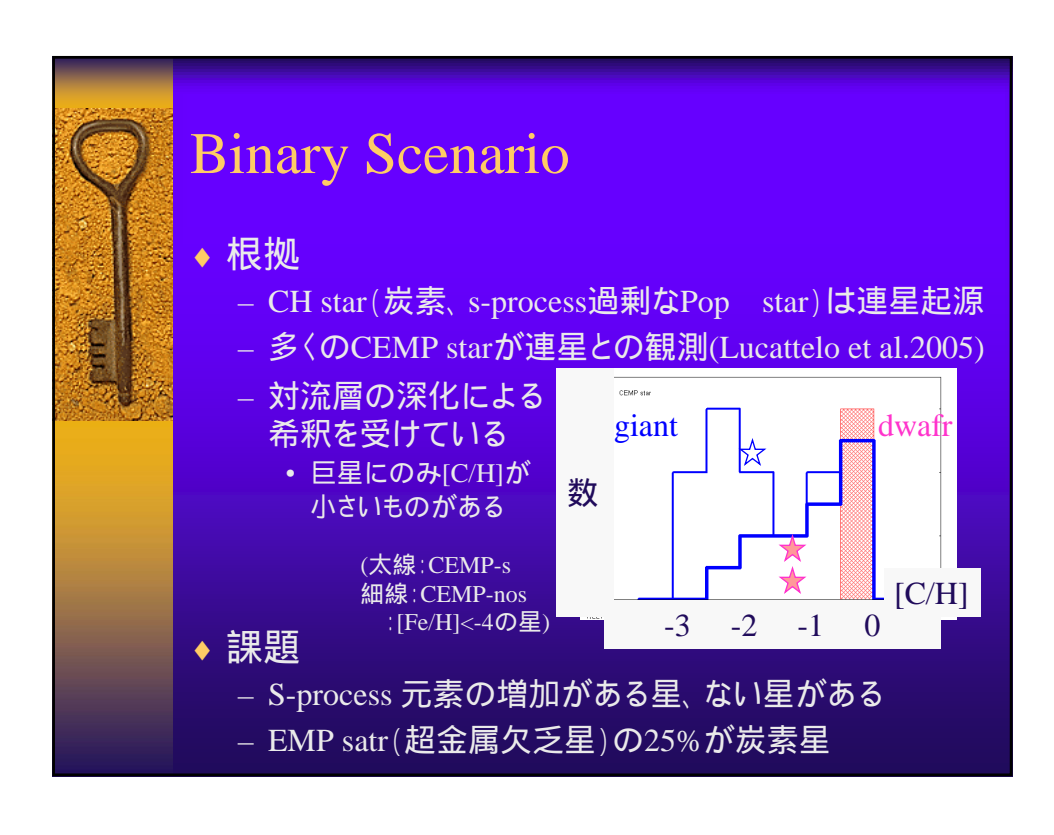
N-rich star (N/C~10)もある



[Fe/H]~-2.5を境に、 s-process元素中の 組成比が変化

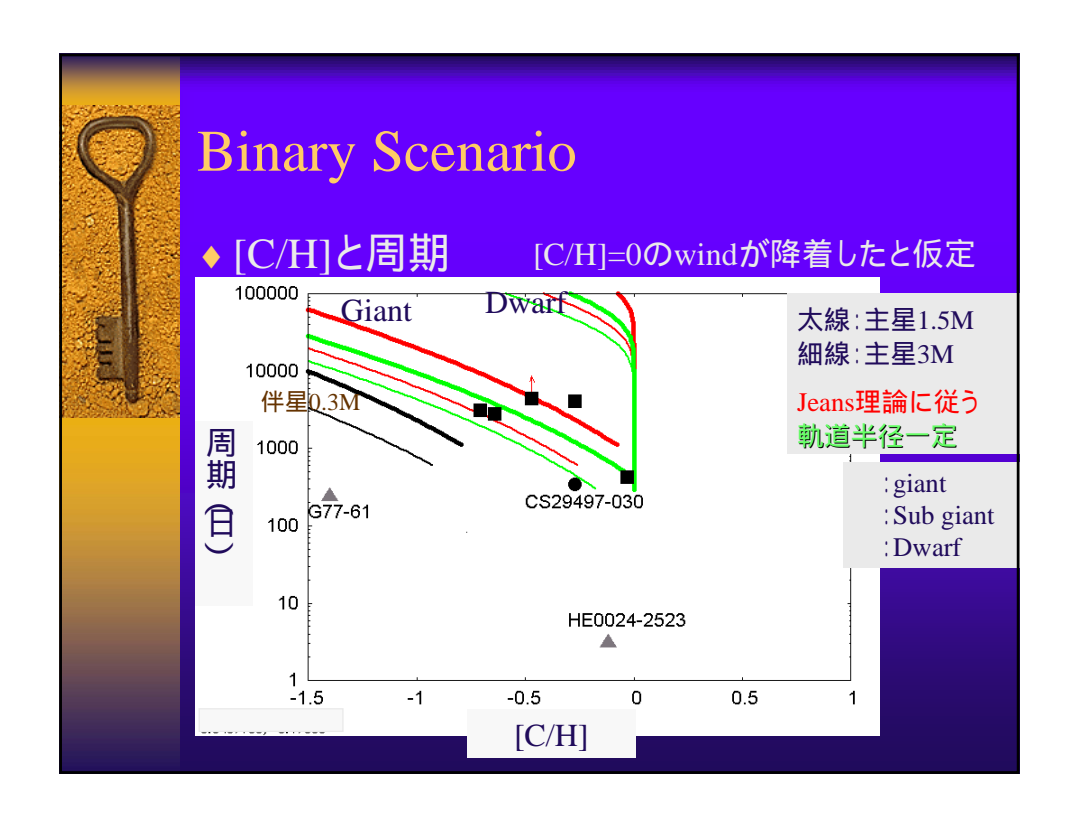
S-process元素の形 成機構が異なる?

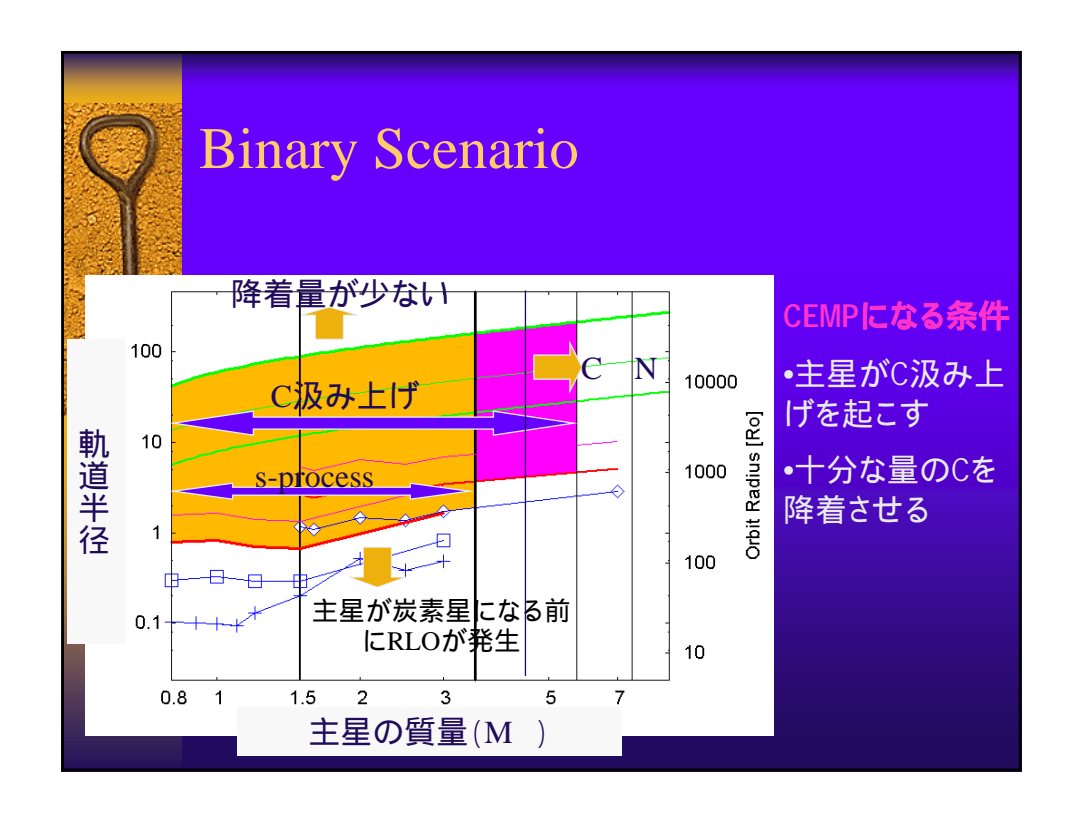


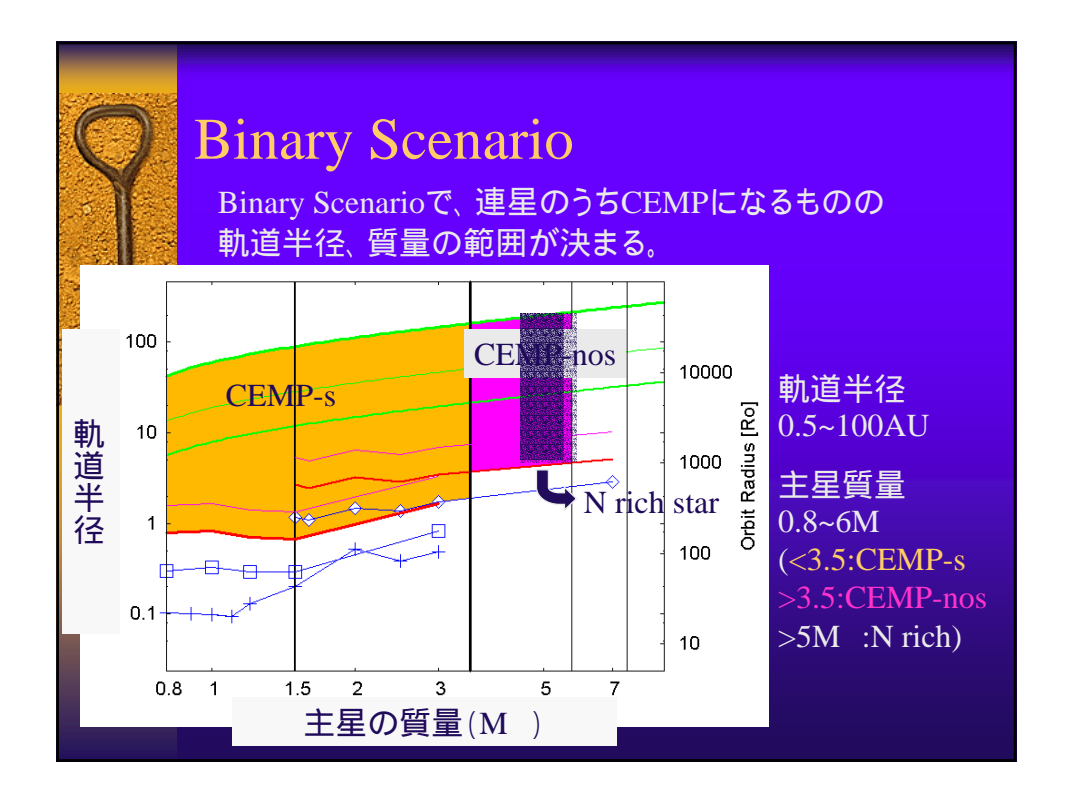














## CEMP star の統計

- ◆ 観測 (HK survey, HES survey)
- 1. EMP starの総数は~3×10<sup>5</sup>個
- 2. そのうち20~25%がCEMP
- 3. CEMPの1/3~1/4がCEMP-nos
  - ♦ N-rich な星がCEMP-nosと同数程度ある



## CEMP star の統計

#### ♦ 仮定

- 主星の質量分布: (review by Chabrier et al.2003)  $\xi(\log m) \propto m^{-1.35}$  : m > 0.8M

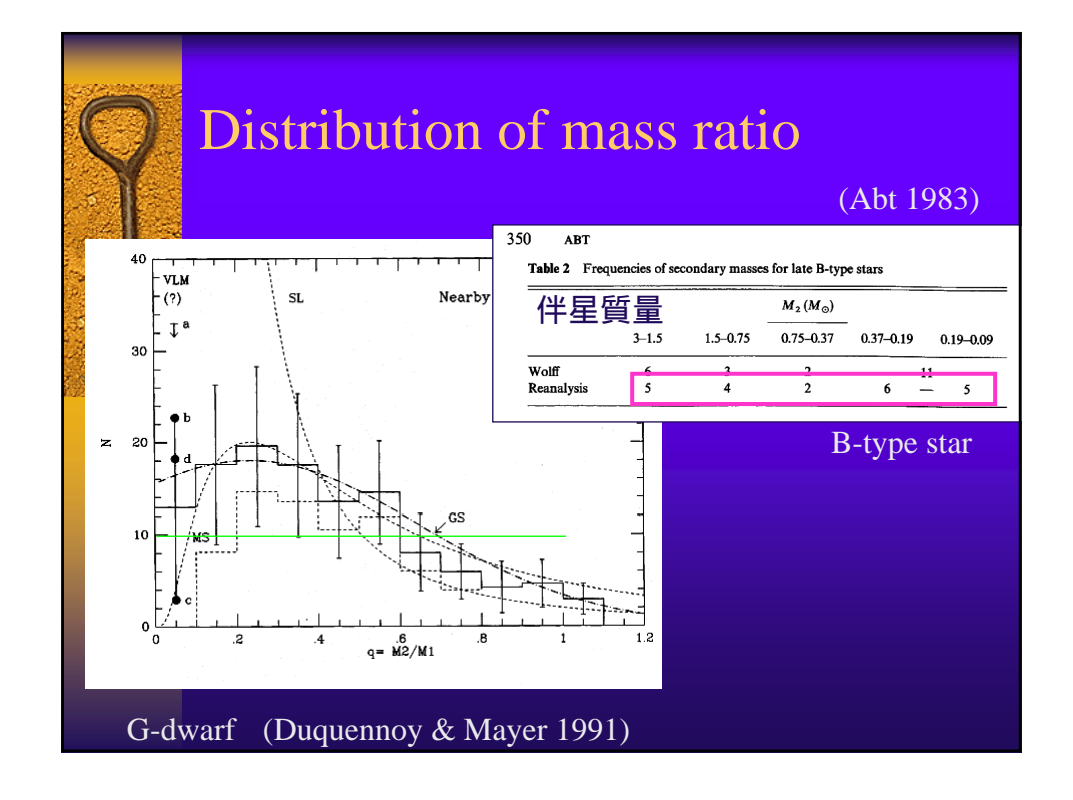
$$\propto \exp\left(-\frac{\left(\log m - \log 0.22\right)^2}{2 \times 0.33^2}\right) : m < 0.8M$$

\_ 軌道半径分布 周期分布 (Duquennoy & Mayer 1991)

$$f(\log P(day)) \propto \exp\left(-\frac{(\log P - 4.8)^2}{2 \times 2.3^2}\right)$$

- 連星の質量比分布

$$n(q) = const.$$
  $(q=M_2/M_1)$ 





## 初期銀河八ローIMFの推定

◆種族 と同じIMFとすると、

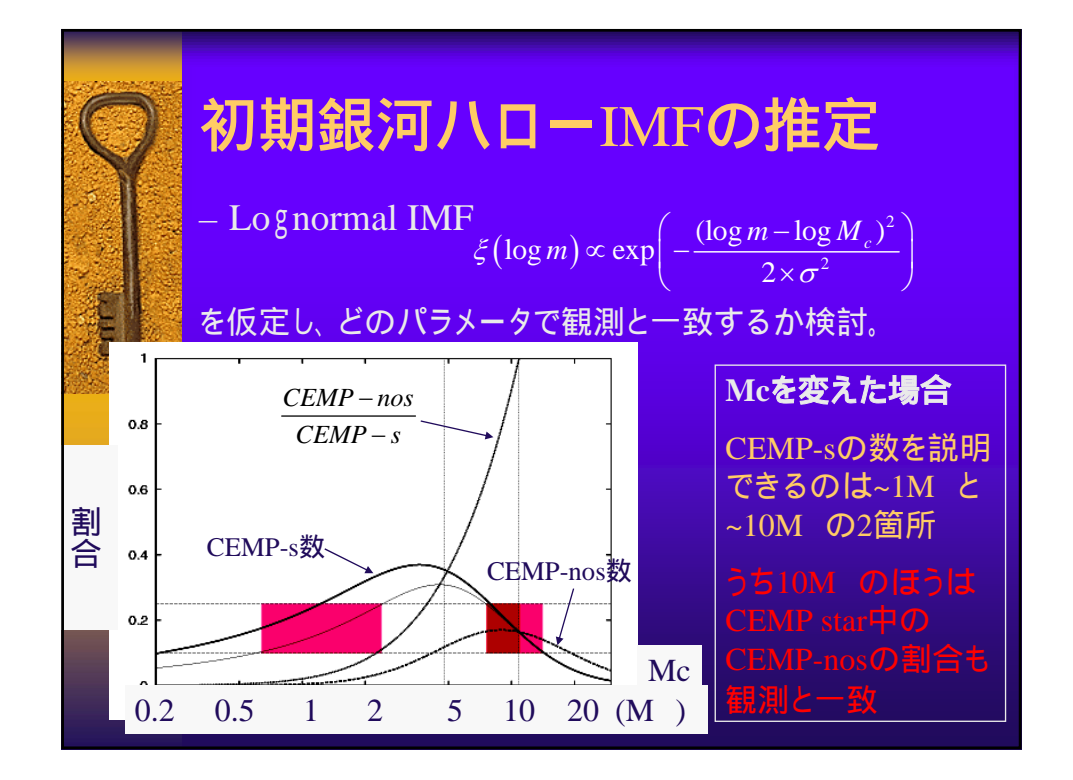
#### CEMP-sの数

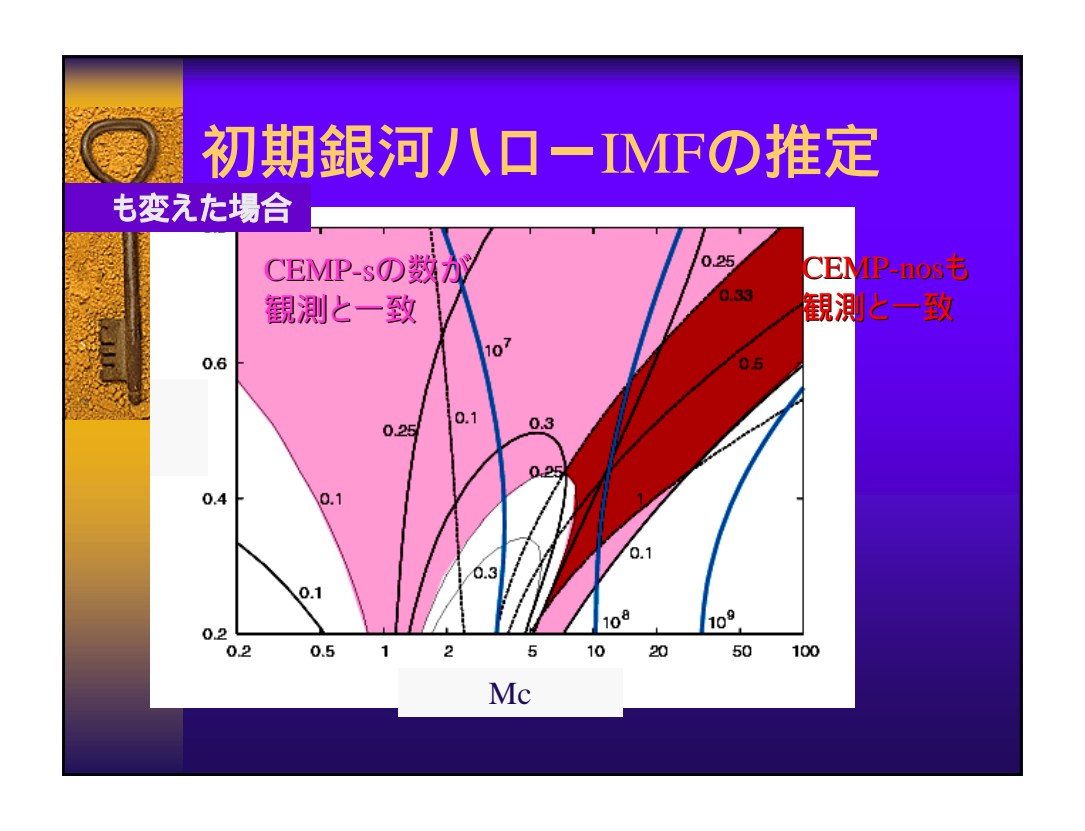
やや足りない

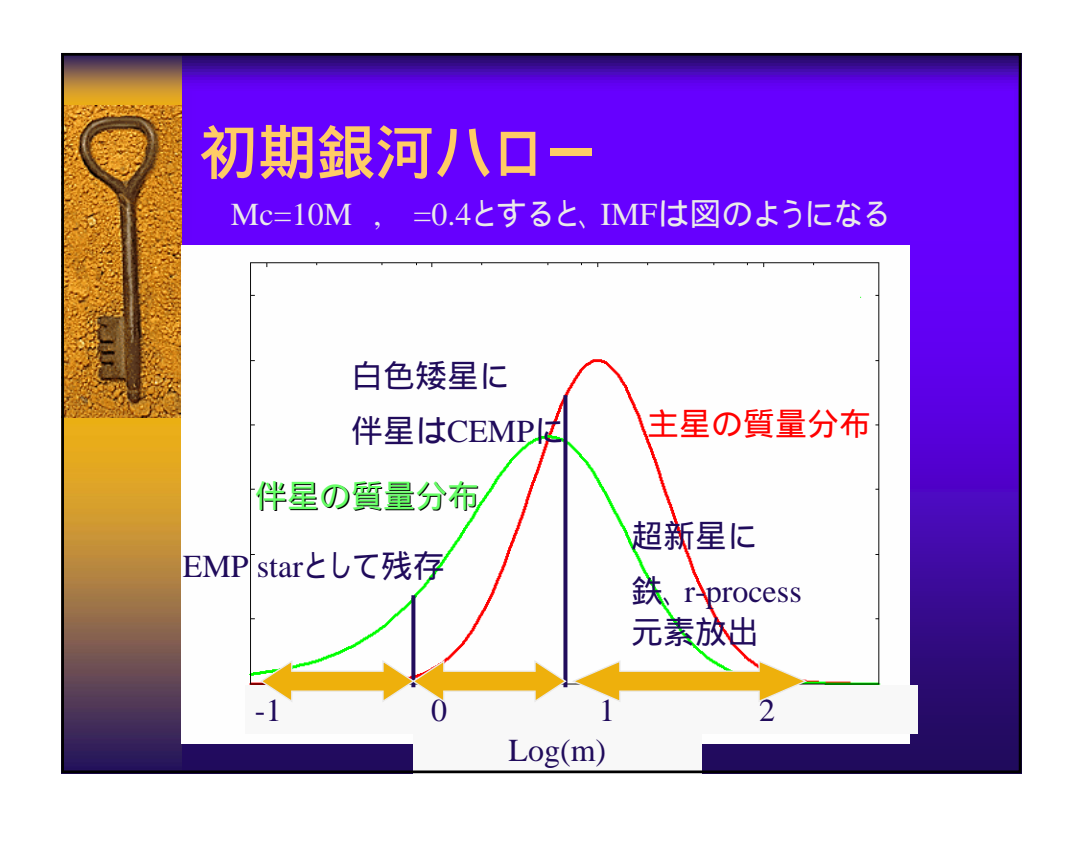
$$\psi_{CEMP-nos} = \int_{0.08}^{0.8} dM_2 N_s (L(M_2)) \int_{3.5}^6 \xi(M_1) \frac{n(M_2/M_1)}{M_1} dM_1 \int_{A_{TDU}(M_1)}^{A_M(M_1)} f(A) dA$$
連星のうちの $0.3\%$  全然足りない

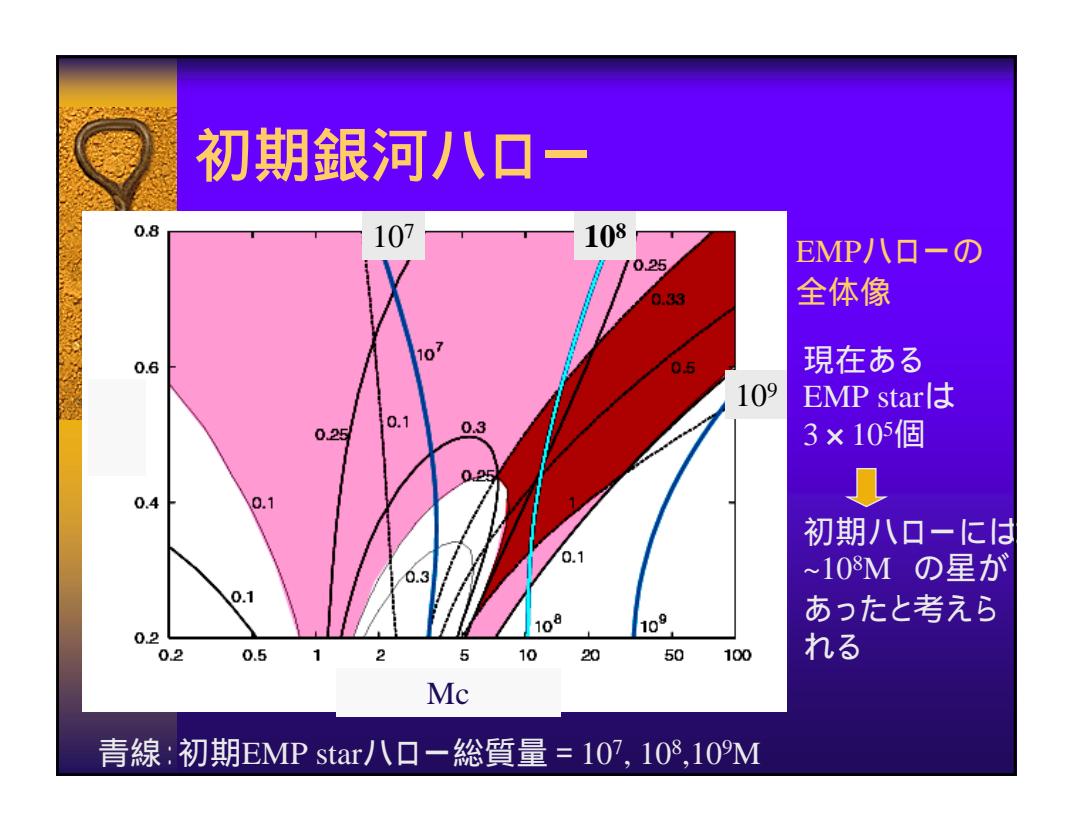


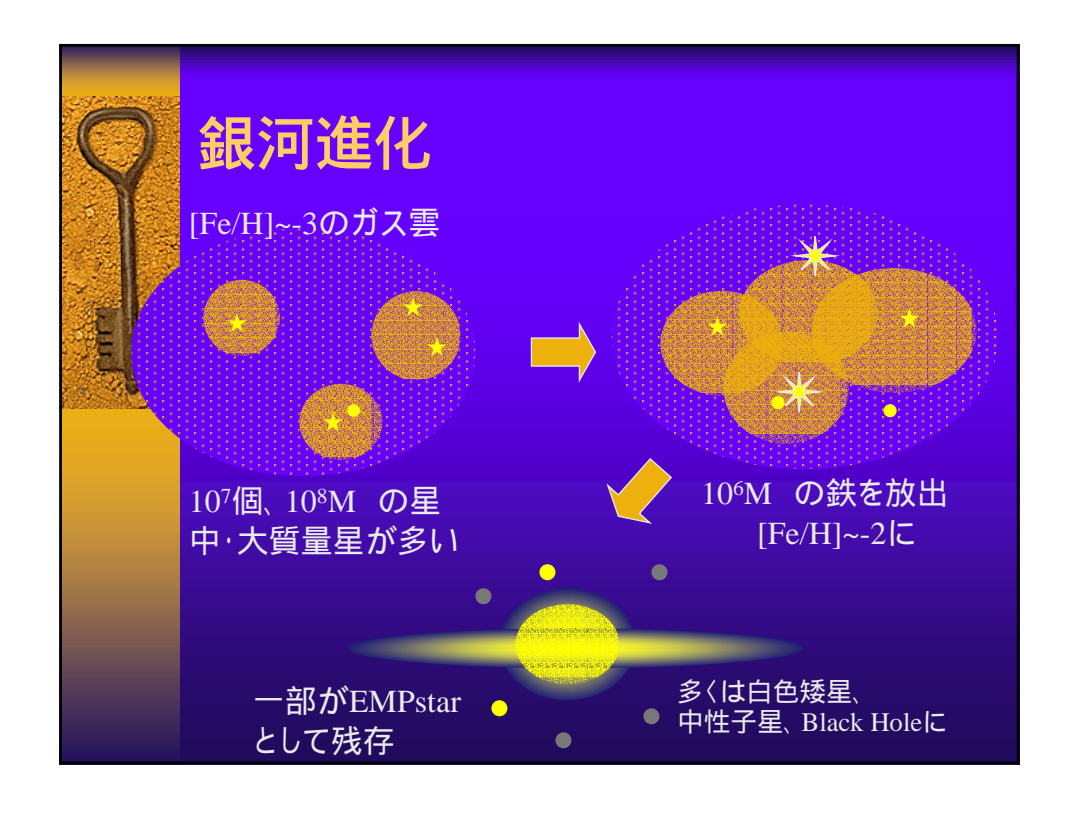
➡ IMFが現在と異なっていたと考えられる













#### ハローの進化

- ◆ EMP はすべて連星で生まれた
  - 全連星の10%がEPM として生き残る
  - CEMP-s, CEMP-nos: 22~40%(伴星WD)
  - SN 連星: 60~40% ( 単独星)

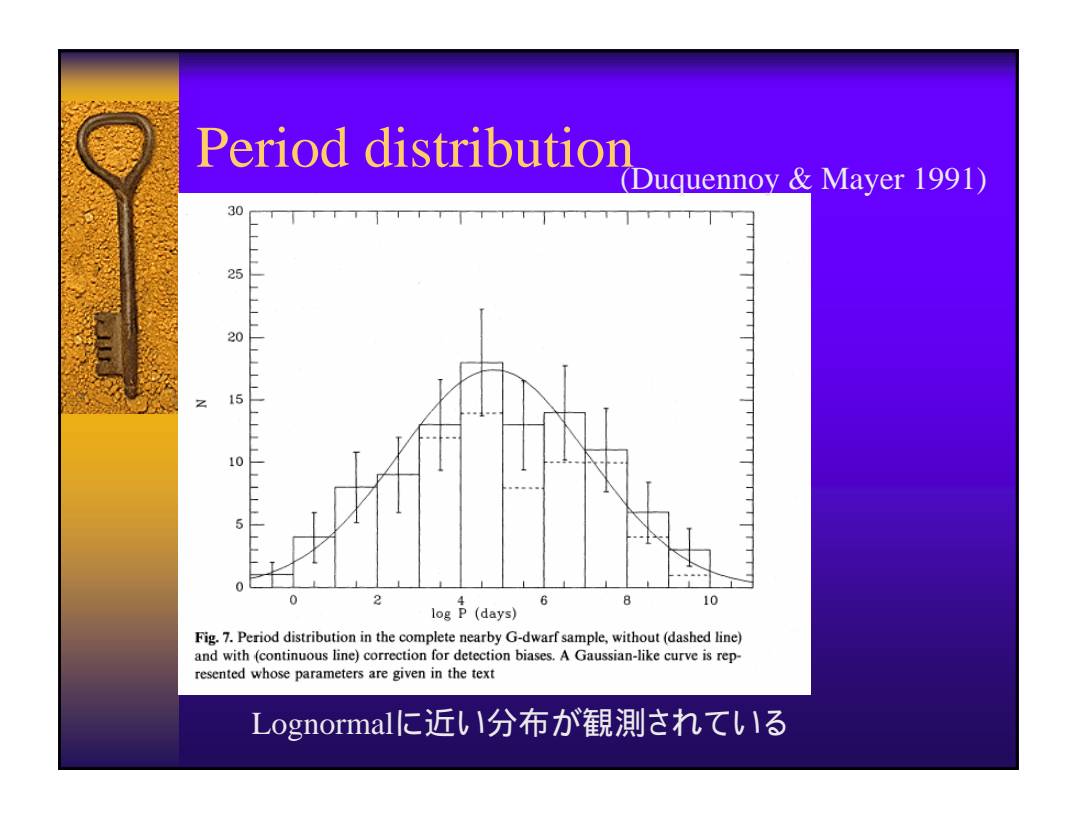
個々の超新星についての情報を保存? r-process元素の増加

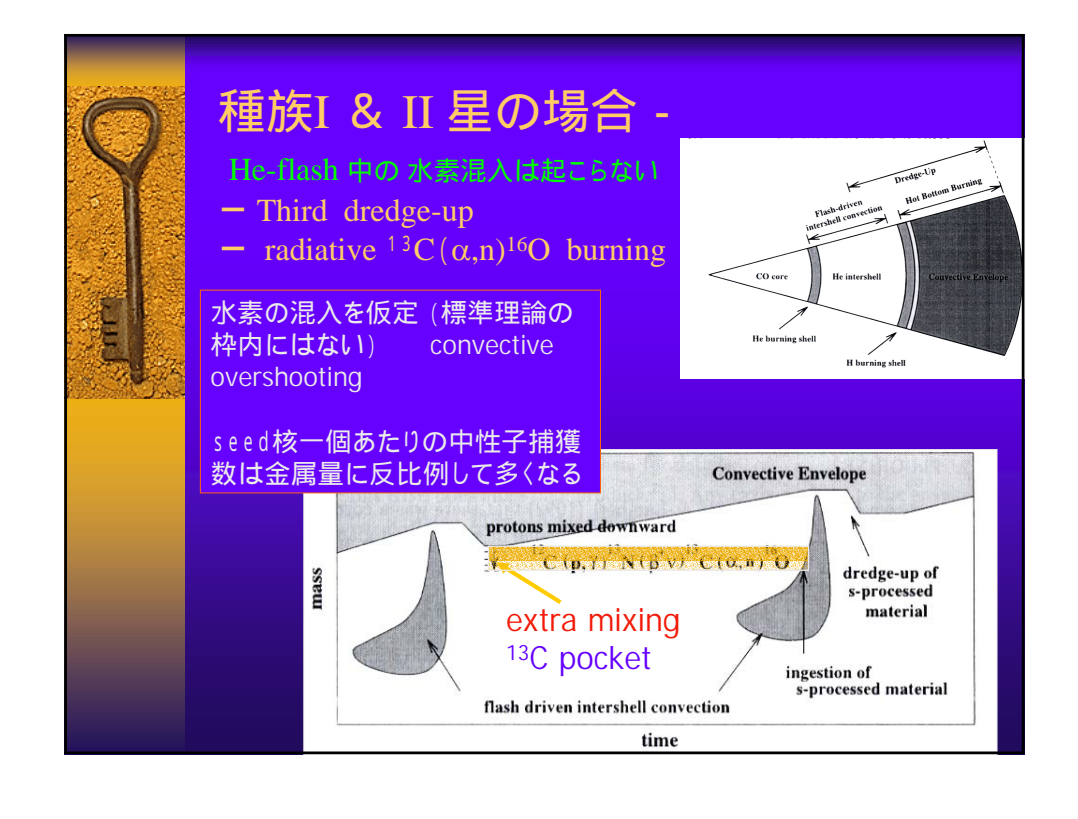
- ◆ 全 EMP 数 ~3×10<sup>5</sup> 個 10<sup>7</sup> 個、全質量10<sup>8</sup>M の連星が必要
- ◆ [Fe/H]~-2.5でIMFが変化 c.f., 球状星団はすべて [Fe/H] > -2.5



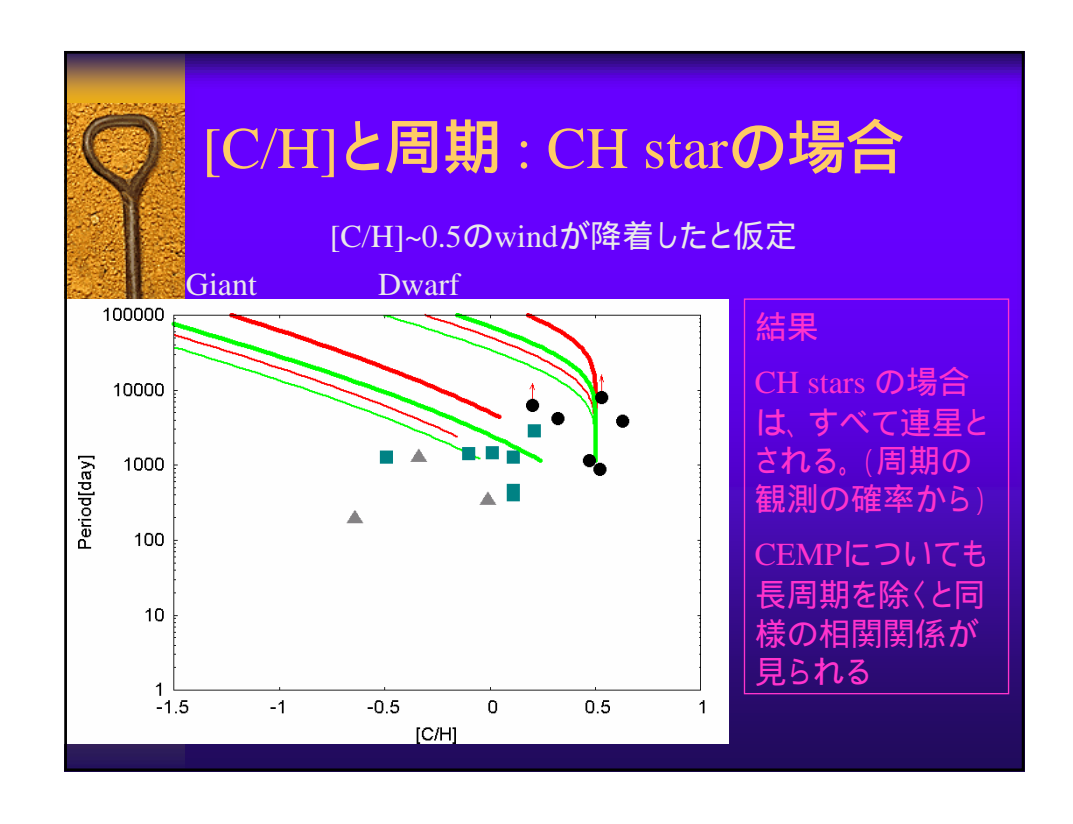
#### Conclusions

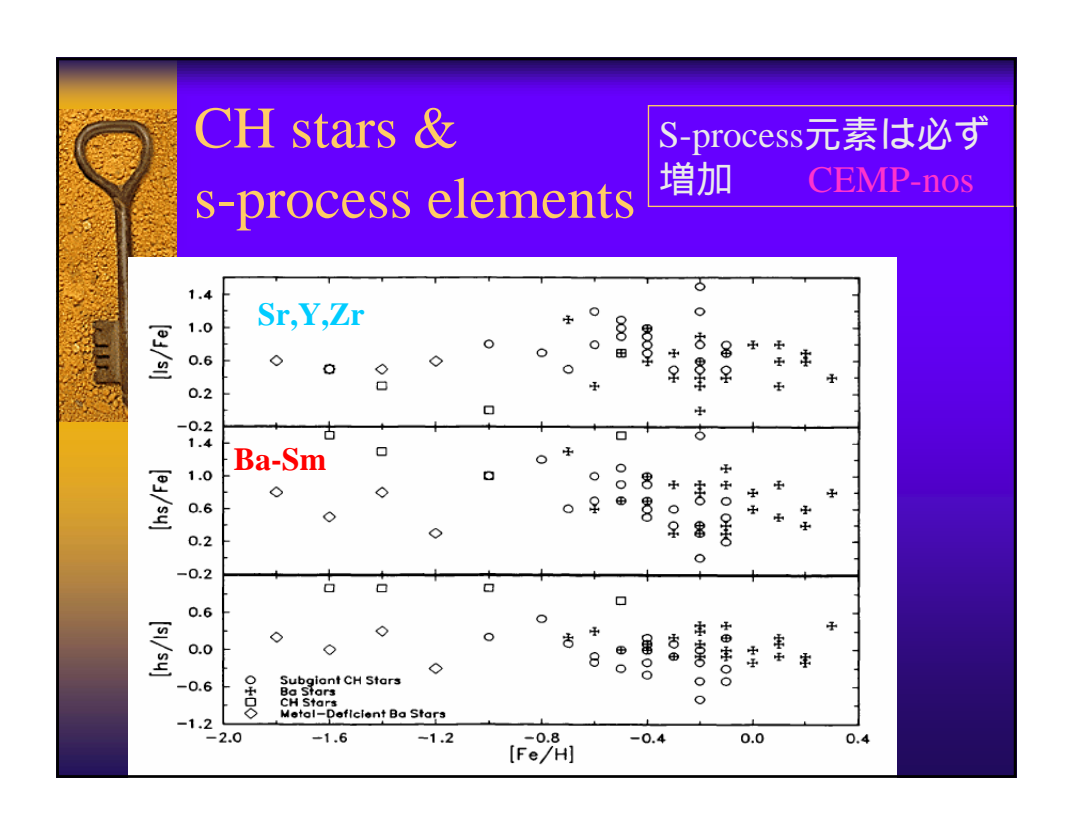
- ◆ CEMP star はBinary scenarioで説明できる
  - 数、組成、周期 を説明可能
- ◆ 超金属欠乏星は初期銀河ハローの探査に有用
  - 特に連星は、より重かった主星の情報も残している
  - 恒星進化、連星系進化の解明が条件
- ◆ 銀河初期([Fe/H]<-2.5)では10M 程度を中心としたIMFが示唆される

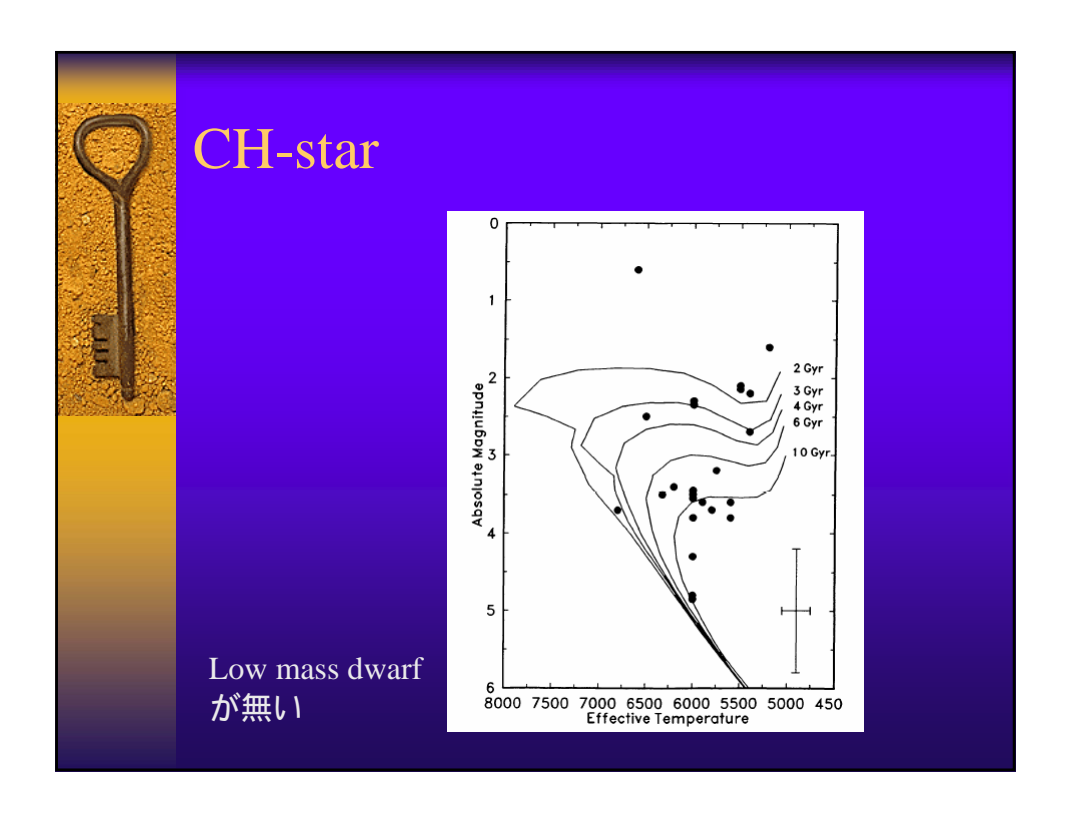


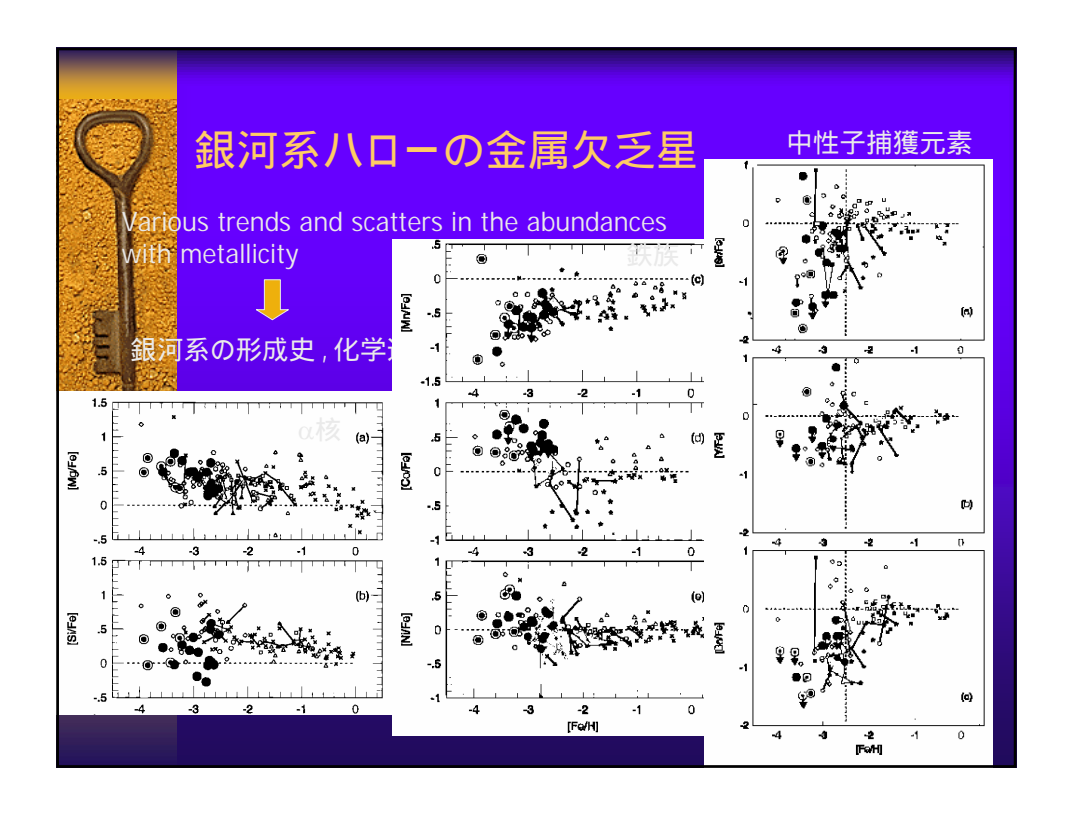


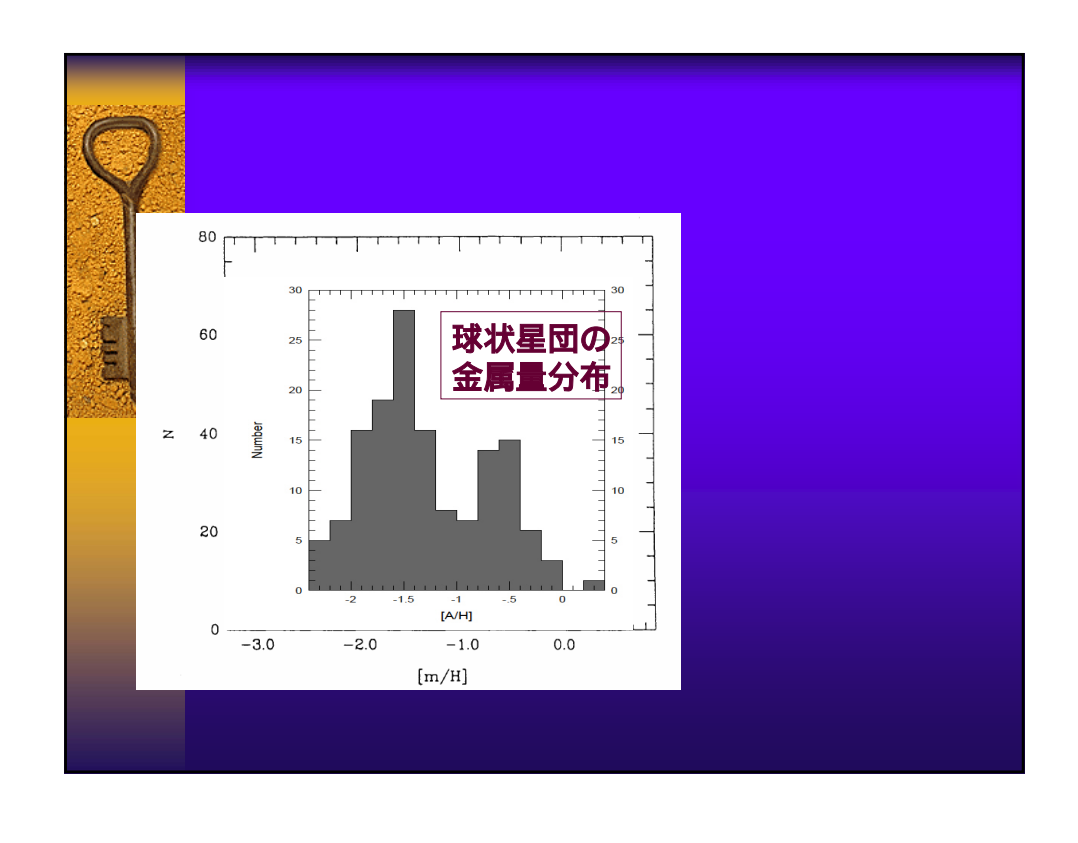


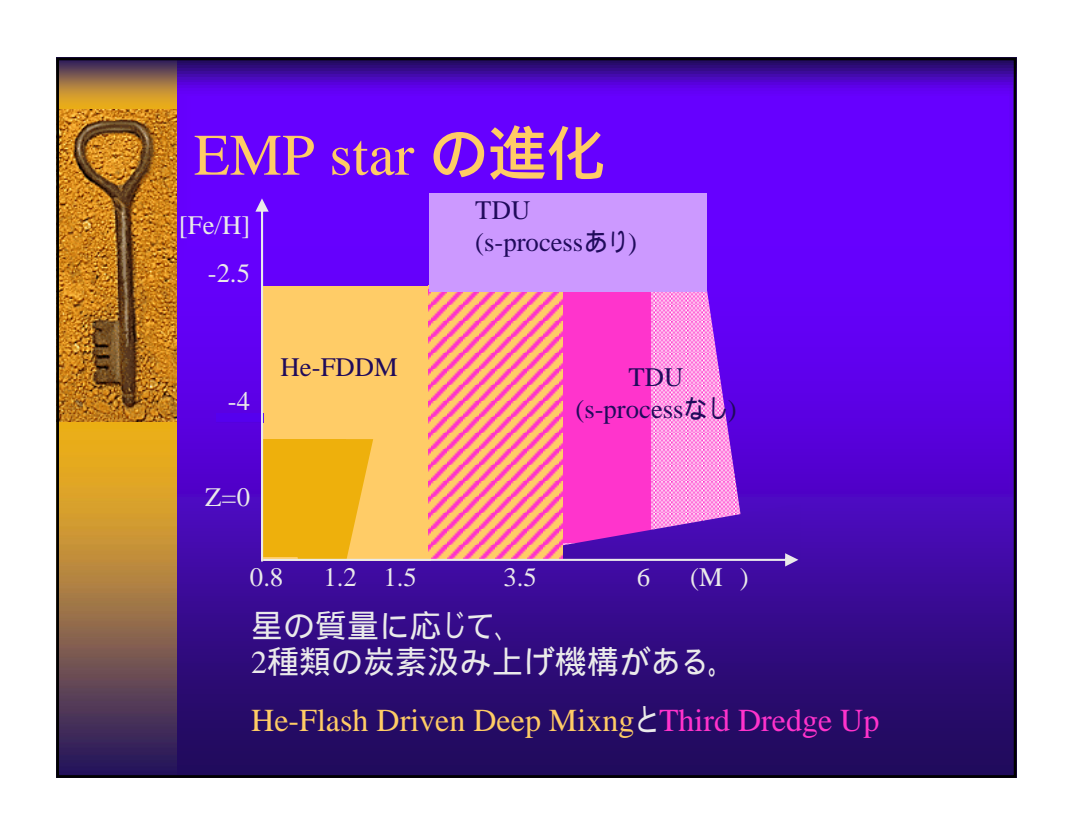














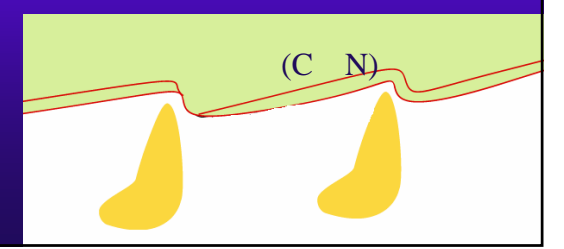


#### 恒星進化:超金属欠乏星の場合(2)

- ◆ 3.5~6M の星:Third dredge up EMPではs-process形成は起きない
- ◆ 5M 以上の星では
  - Third dredge upに加えて、hot bottom burningが発生
  - CNサイクルにより窒素が増加
  - 最大で N/C~10

結果 Cのみ増加

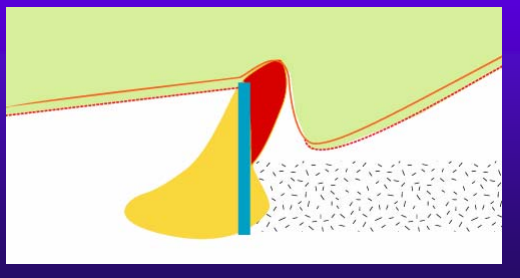
5M 以上ではN増加





### EMP star(超金属欠乏星) の進化

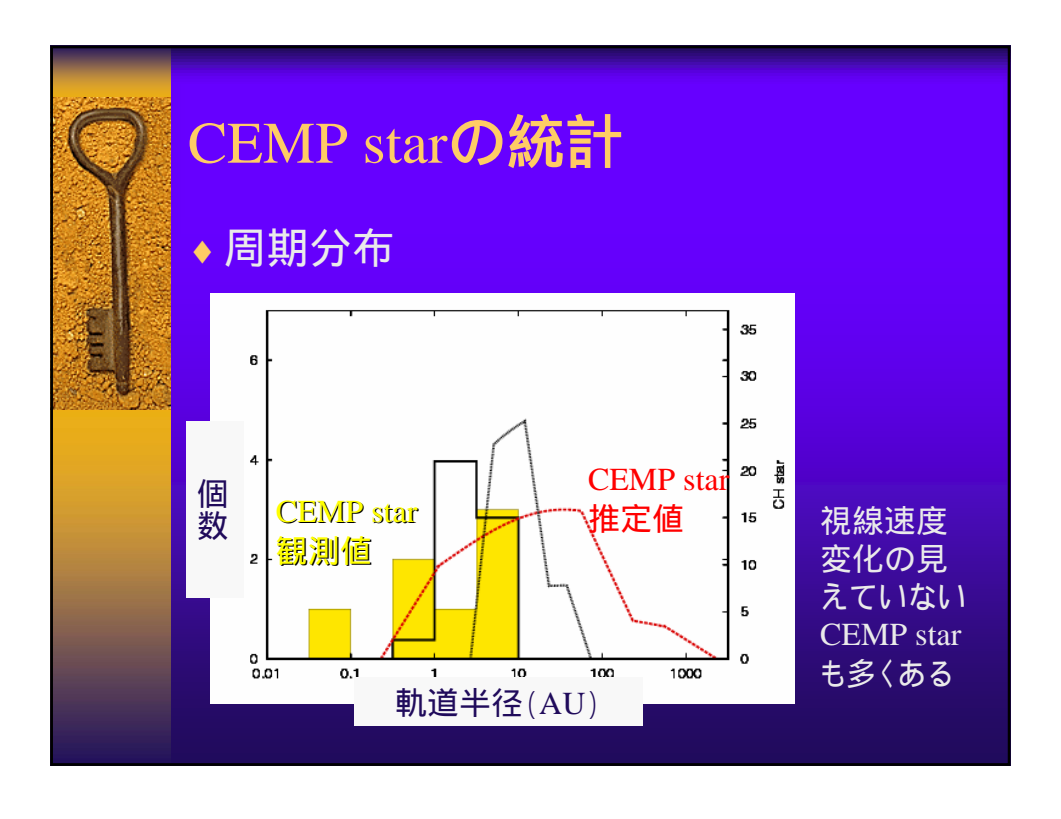
- He flash driven deep mixing
- He core flashが水素層まで到達
  - H shell flashが発生して汲み上げが起きる

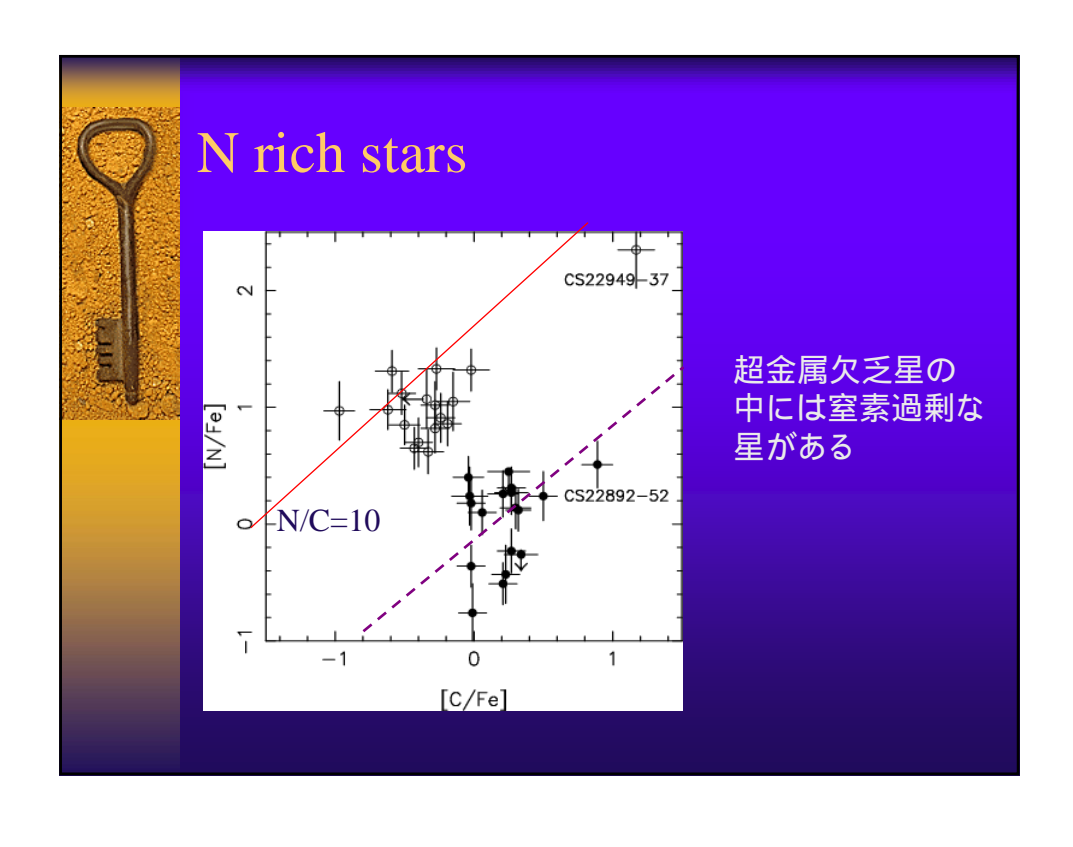


結果

C(炭素)に加え、N (窒素)も増加

S-process元素は 作られるが表面に は出ない

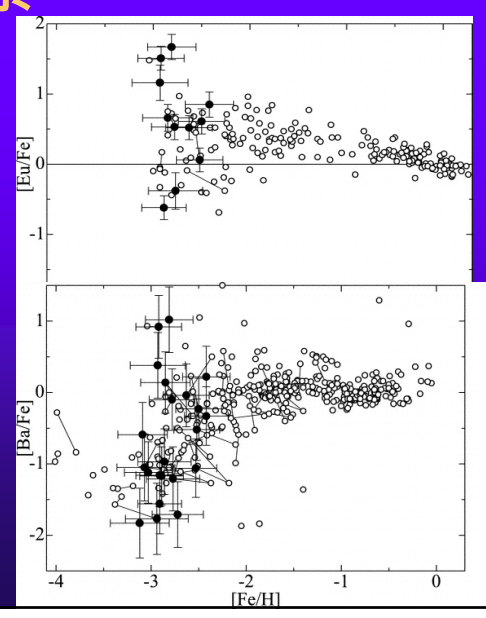






R-process元素

超金属欠乏星では r-orocess元素 (超新星起源元素) の組成に大きな ばらつきがある。





#### CEMP star の統計

♦数

Pop の場合に比べて広いパラメータ スペースでCEMPになれる。

$$\frac{N(CEMP)}{N(CHstar)} = \frac{\int_{0.8}^{3.5} \xi(M_1) \frac{n(M_2/M_1)}{M_1} dM_1 \int_{A_{Hc-FDDM}(M_1)}^{A_{M,CEMP}(M_1)} f(A) dA}{\int_{1.5}^{5} \xi(M_1) \frac{n(M_2/M_1)}{M_1} dM_1 \int_{A_{TDU}(M_1)}^{A_{M,CH}(M_1)} f(A) dA} = 14$$

f(A)軌道半径分布、 n(q)質量比分布、 (m) IMF

EMP starのうち CEMP-sの割合は、 Pop starのうちのCH starの割合の14倍になる



## CEMP star**の統計**

- ♦ Giant ¿Dwarf
  - CEMP starの質量分布は n(q) で決まるため、 通常のIMFと異なる
  - GiantとDwarfの比率も変わってくる

Binary Sbenarioの推定

Giant : Sub giant : Dwarf 63% : 10% : 27%

観測

26個:4個:4個 (76%:12%:12%)

## PROGRAPEによる 銀河シミュレーション

中里直人 理化学研究所

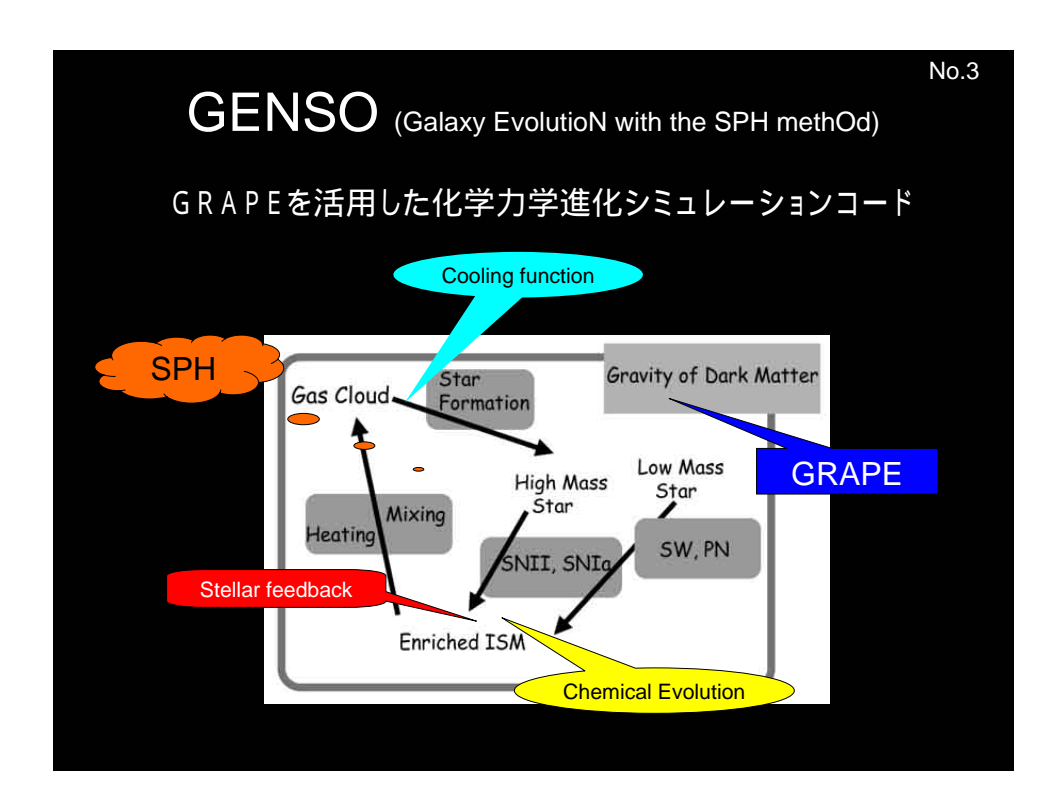
#### 銀河という複雑な天体

No.2



銀河は様々な構成要素からなっている

」は様々な構成安系からなってい 主に、恒星の集団 + ガス雲



## SPH百万粒子の計算を一ヶ月で

- 目的:SPH&N-bodyシミュレーションで銀河 進化を精密に調べたい
- 現状

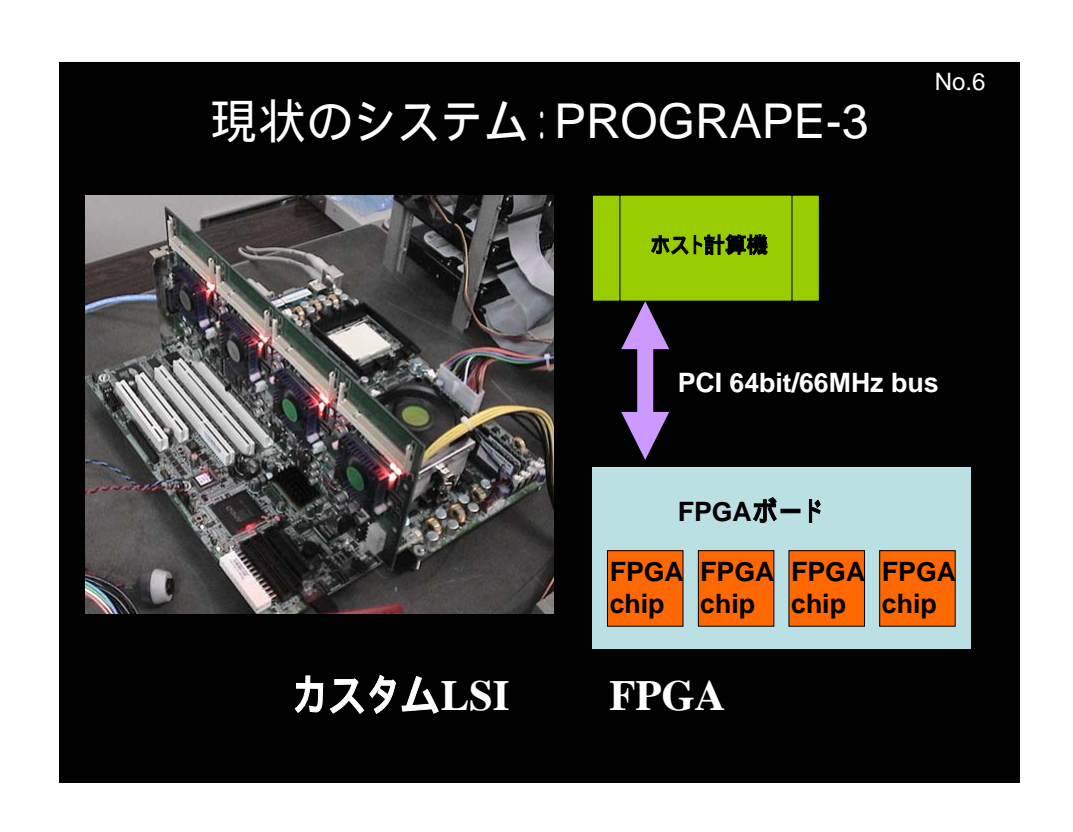
 $N_{sph}$ ~ 60k model :10 days (PC + GRAPE6)

- SPHの部分を10倍以上高速にしたい
  - 見込みのありそうな手法:
    - 1. Massively Parallel Computer
    - 2. "PC+GRAPE" クラスター
    - 3. ハードウエアによる加速

No.4

#### GRAPE からPROGRAPEへ

- GRAPEではカスタムLSIを利用
  - 任意の機能を持ったLSIを発注できる
  - 利点
    - 高速に動作する
    - チップ単価が安い~数万円/チップ
  - 欠点
    - 一度設計を決めたら、機能は変化できない - 固定パイプラインからSIMD型GRAPE-DRへ
    - 半導体技術の微細化により設計コスト増大GRAPE-6 ~ 1億円
- GRAPEのよい所を残して、さらに汎用を持たせたい! PROGRAPE



#### 低コストPROGRAPEボード

- PGRを様々なハードウエアに移植すると同時に、新規PROGRAPE-4ボードを開発
  - 低価格FPGAチップ(Spartan-3)の採用
  - 無駄な回路を省いた設計
  - PCI-Xを採用(理論性能 1GB/sec)
  - XC3S5000 4個搭載
  - PROGRAPE-3と同等のスライス数
  - PROGRAPE-3より大幅に安い予定

本研究の一部は、IPA未踏ソフトウエア開発事業の援助を受けています

No.8

#### FPGAでの数値計算の現状

- これまで整数(固定小数)演算が主流
- ようや〈最近、浮動小数点演算が実用的になりつつある
  - ただし、倍精度の計算は現状ではまだ難しい
  - 換言すると、並列可能な演算器数が少ないため、 ピーク性能がでない
- 数TflopsまではカスタムLSIより低コスト
- FPGAは汎用演算器(FPU)として使える
  - 原理的には粒子法に限らず
- ただし、「プログラム」するのは結構難しい

No.9

#### PROGRAPEでできること

•GRAPE 
$$\frac{d\overrightarrow{v_i}}{dt} = -G\sum \frac{m_j(\overrightarrow{r_i} - \overrightarrow{r_j})}{(|\overrightarrow{r_i} - \overrightarrow{r_i}|^2 + \varepsilon^2)^{3/2}}$$

•PGR 
$$\vec{F}_i = \sum_i \vec{f}(\vec{X}_i, \vec{X}_j)$$

- 演算が複雑で、パラメーターが多い問題用
  - 天体シミュレーションでの応用想定
    - SPH法による流体シミュレーション
  - 重力相互作用も含む
  - 分子間力、多体力など、様々な可能性

#### SPH相互作用

No.10

• 総和形式の相互作用という意味では重力と 似ているが、かなり"ややこしい"相互作用

$$\rho_{i} = \sum_{j} m_{j} W(\vec{r}_{i} - \vec{r}_{j}; h), h = \frac{1}{2} (h_{i} + h_{j})$$

$$\rho_{i} (\nabla \cdot \vec{v}_{i}) = \sum_{j} (\vec{v}_{i} - \vec{v}_{j}) \cdot \nabla W(\vec{r}_{i} - \vec{r}_{j}; h)$$

$$\rho_{i} (\nabla \times \vec{v}_{i}) = \sum_{j} (\vec{v}_{i} - \vec{v}_{j}) \times \nabla W(\vec{r}_{i} - \vec{r}_{j}; h)$$

$$\frac{d\overrightarrow{v_i}}{dt} = -\sum_{i} m_i \left( \frac{P_i}{\rho_i^2} + \frac{P_j}{\rho_j^2} + \Pi_{ij} \right) \nabla W(\overrightarrow{r_i} - \overrightarrow{r_j}; h)$$

$$\frac{d\overrightarrow{u_i}}{dt} = \sum m_j \left( \frac{P_i}{\rho_i^2} + \frac{1}{2} \Pi_{ij} \right) (\overrightarrow{v_i} - \overrightarrow{v_j}) \cdot \nabla W(\overrightarrow{r_i} - \overrightarrow{r_j}; h)$$

No.12

#### 演算精度のテスト(1)

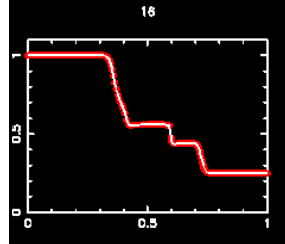
- 演算精度がSodの衝撃波管問題にどの程度 影響するのか?
  - 浮動小数点形式:  $s \times f \times 2^{\exp}$

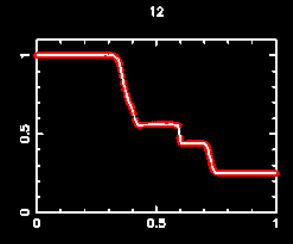
<del>符号</del> 指数部 仮数部

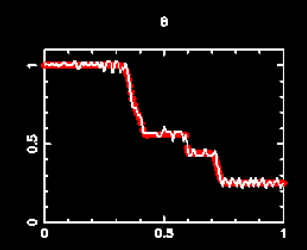
- CPUでの演算:単精度 または 倍精度
  - 単精度では指数部8ビット 仮数部24ビット
  - 倍精度では指数部11ビット 仮数部53ビット
- PROGRAPEでは任意の精度を使用可能
  - 仮数部が小さいほどFPGAを有効利用できる

#### 演算精度のテスト(2)

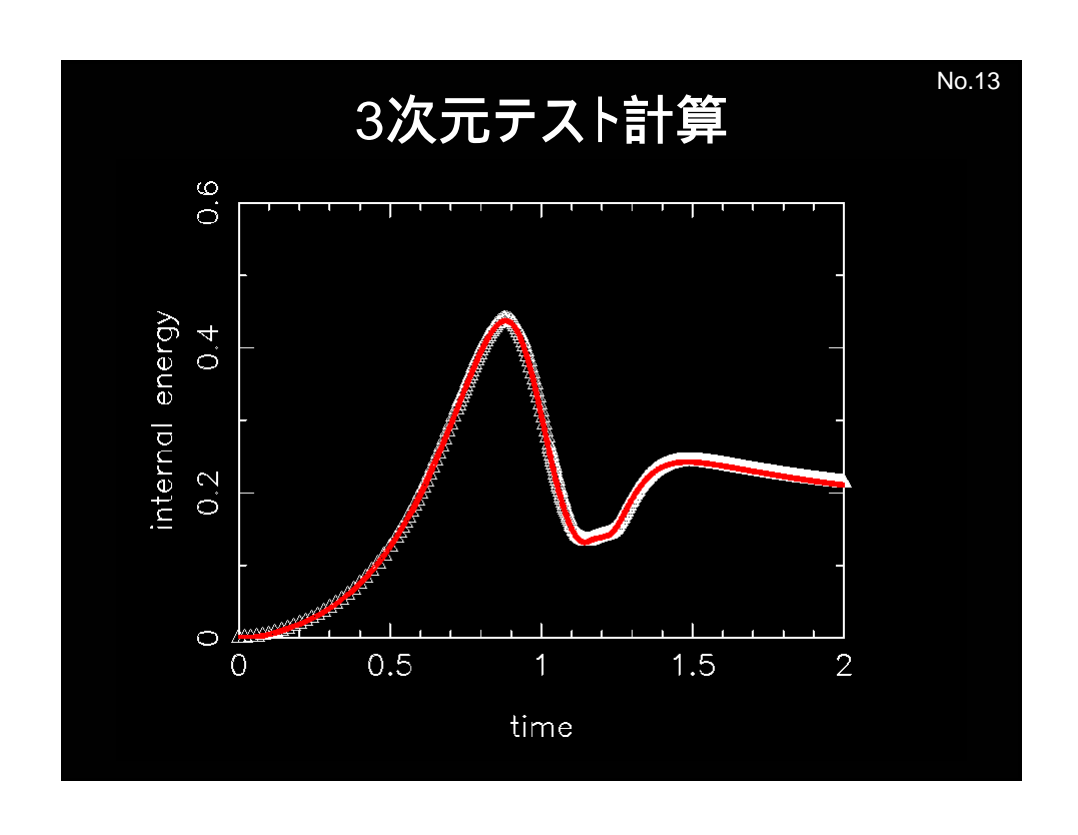
• 指数部は8ビットに固定して仮数部のビット幅 を変えた場合の変化について調べた

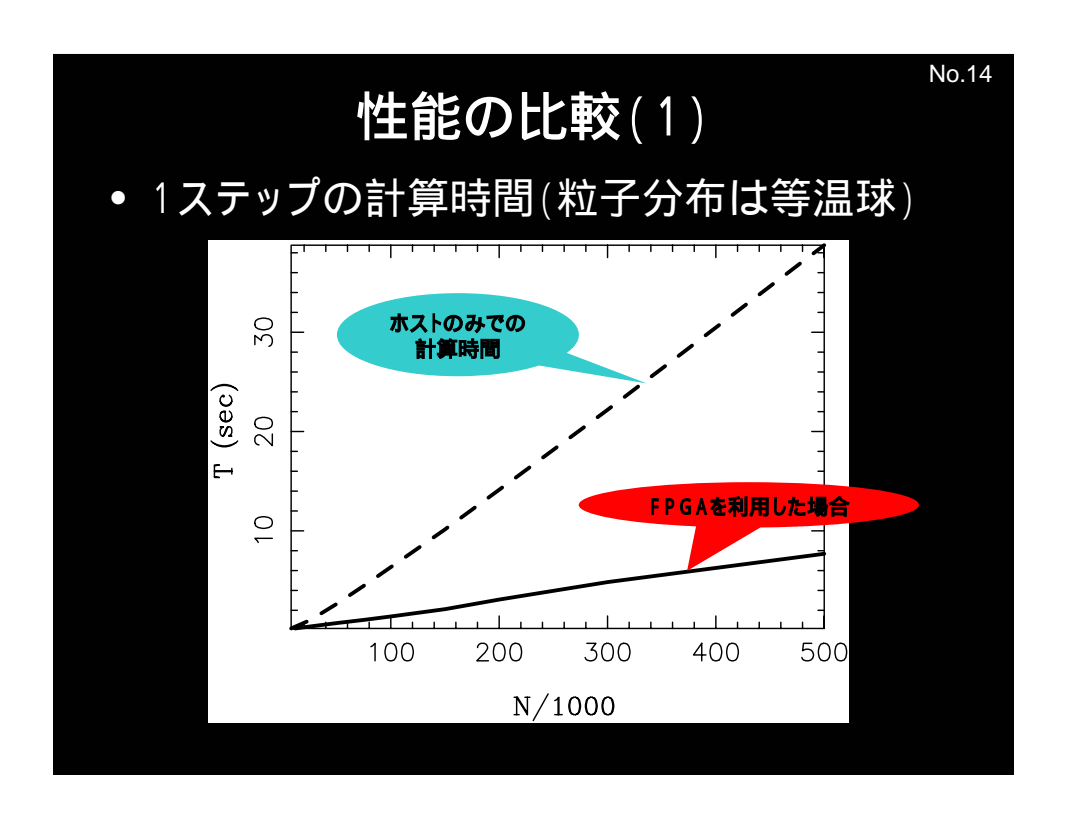






- 16ビット: ほぼ倍精度と違いがない
- 12ビット: 多少人工的な振動
- 8ビット:人工的な振動が見られる



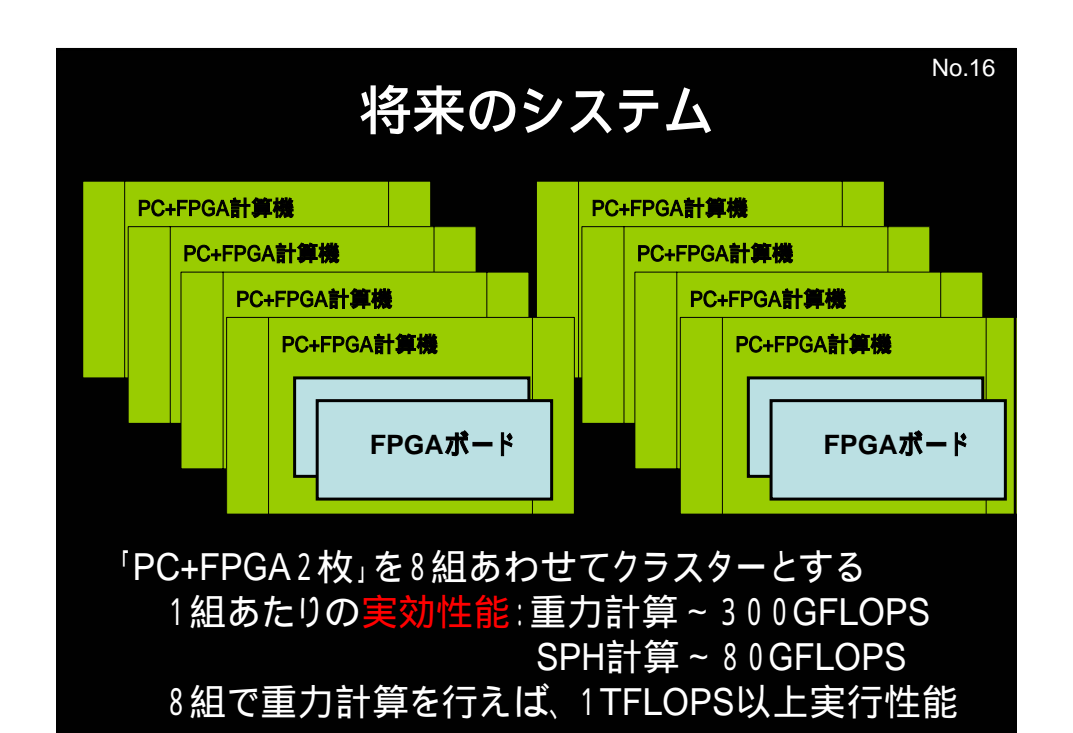


#### 性能の比較(2)

#### 自己重力計算も含んだ場合の現実的な比較

| N      | HOST | PROGRAPE 1          | PROGRAPE 2          | PROGRAPE 2T          |
|--------|------|---------------------|---------------------|----------------------|
| 25000  | 2.30 | 1.39 ( <b>1.6</b> ) | $0.54 \ (4.3)$      | 0.49 (4.7)           |
| 50000  | 6.63 | 3.35 ( <b>2.0</b> ) | 1.30 ( <b>5.1</b> ) | 0.97 (6.8)           |
| 100000 | 17.8 | 7.96 ( <b>2.2</b> ) | 3.47 ( <b>5.1</b> ) | 1.95~( <b>9.1</b> )  |
| 500000 | 107  | 45.7 ( <b>2.3</b> ) | 51.9 ( <b>2.1</b> ) | 9.62 ( <b>11.1</b> ) |

#### ホスト(倍精度演算)より、5倍から11倍速い



#### まとめ

- FPGAによるスーパーコンピューティング
  - 低精度浮動小数点演算が実行可能になった
  - 準汎用的なGRAPE型計算機の構築
    - プログラミングシステムの開発
    - SPH法ぐらい複雑な演算も可能
    - 演算性能は銀河シミュレーションに最適
      - 重力 約300GFLOPS
      - SPH 約80GFLOPS
- SPH法による天体物理シミュレーション
  - より高解像度のシミュレーション
  - 100万体銀河シミュレーションが現実的に

## 宇宙の再電離と 小質量天体での星形成

# 須佐 元(立教大学理学部) Collaborators

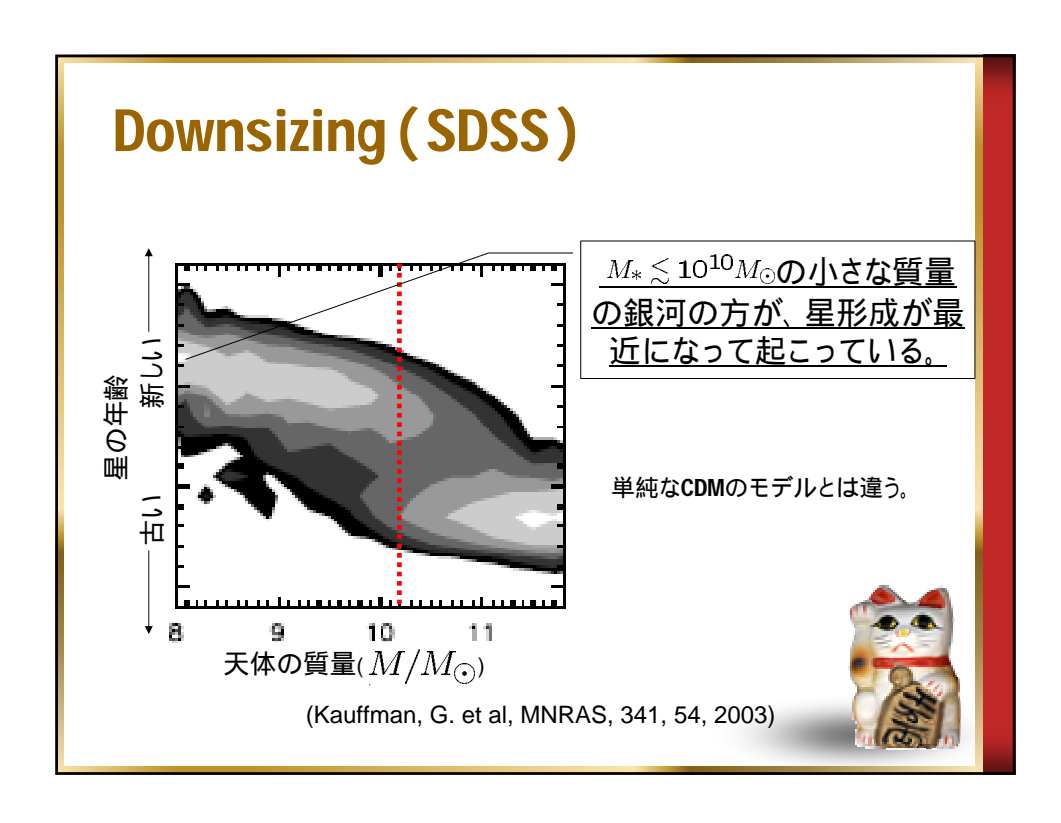
<u>米谷貴信</u>(立教大学理学部) できたて修論 大須賀健(立教大学理学部)

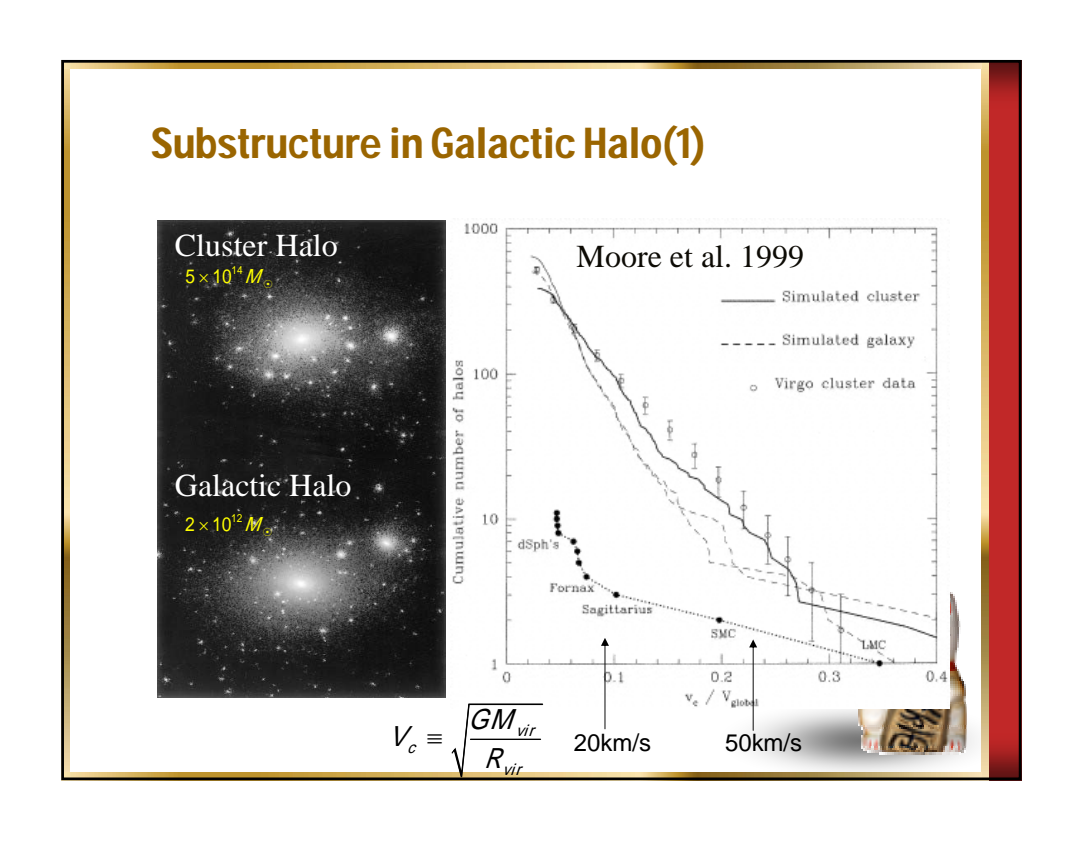


#### もくじ

- Introduction
  - Key observational evidence
  - Impacts of Reionization on GF
- This work
- Results
- Summary







#### **Substructure in Galactic Halo (2)**

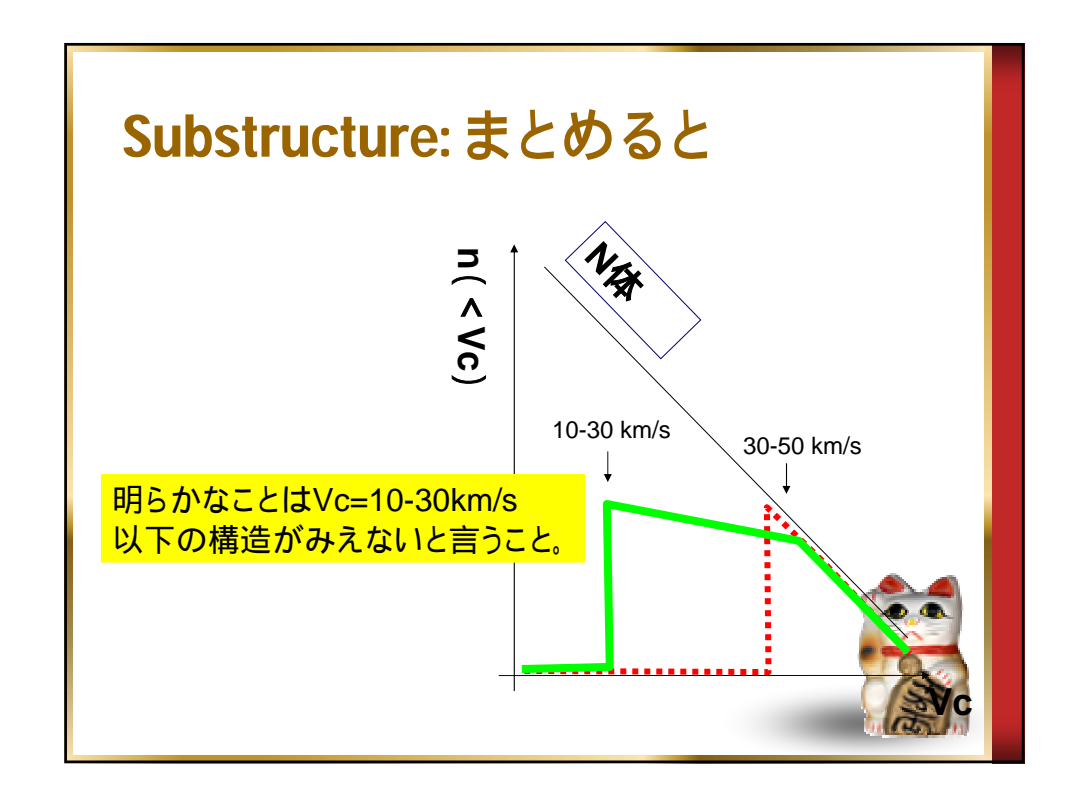
Hayashi et al (2003), Stoehr et al (2002) :

 $\sigma: 10 \text{km/s}$   $\longleftrightarrow$   $V_c: 30-50 \text{km/s}$ 

Kazantzidis et al. (2004)

 $\sigma$ : 10km/s  $\iff V_c$ : 20-30km/s





#### まとめると

- ◆ 2e+11Msunに特徴的な質量があり、それよりも小さい銀河は活発な星形成が起きており、 それよりも大きな銀河では古い星。
- ◆ Vc < 10-30 km/sよりも小さな銀河がない。</p>
  - 特徴的なスケールの存在は重力以外の物理が 重要な役割を担っていることを示している。
  - ➡ 再電離?

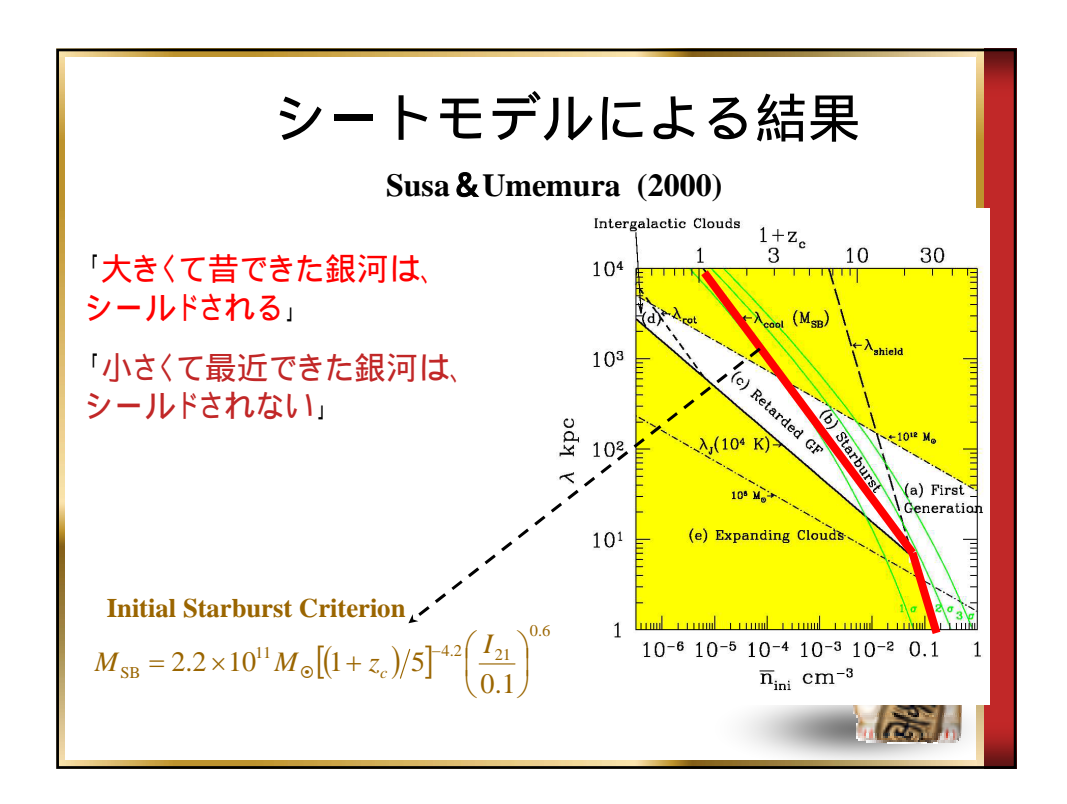
#### Impact of reionization (1)

- **Φ DM**ポテンシャルが深ければ(Vc > 20km/s)、 電離ガスをハロー中に閉じ込められる。
- ●しかし電離加熱が遮蔽されなければ、ガスは 1万度以上に加熱される。



星形成が阻害される





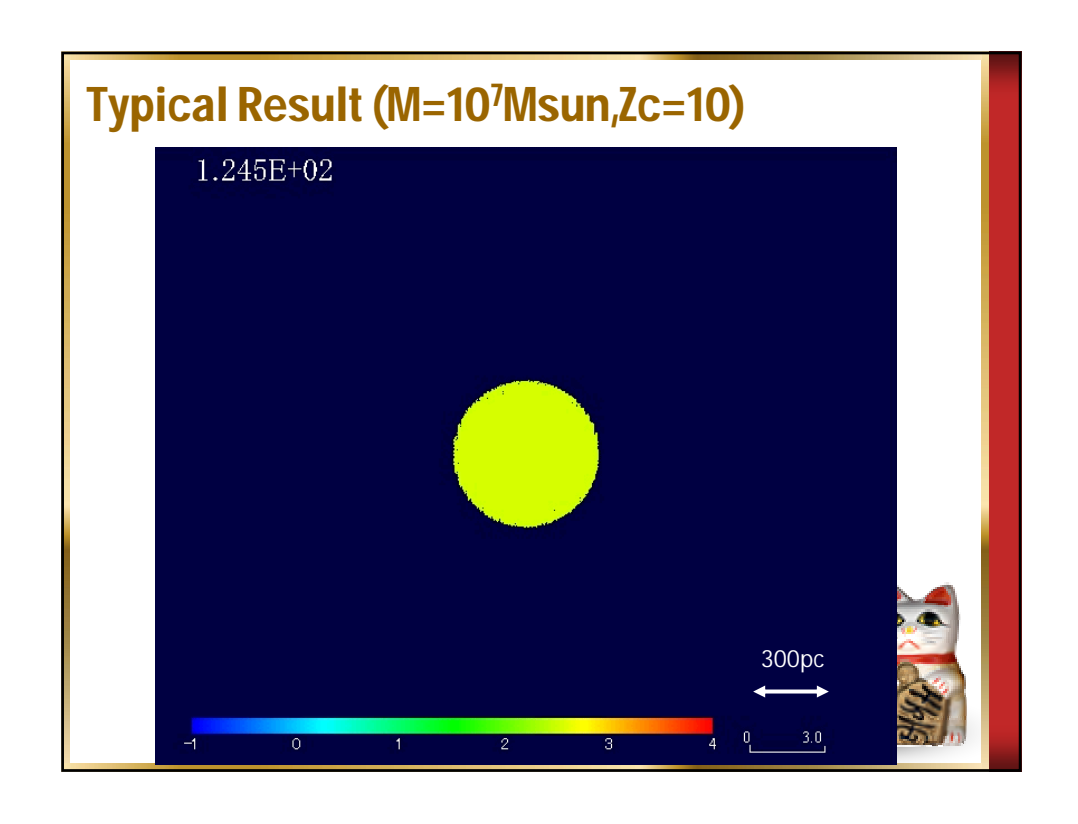
## Impact of reionization (2)

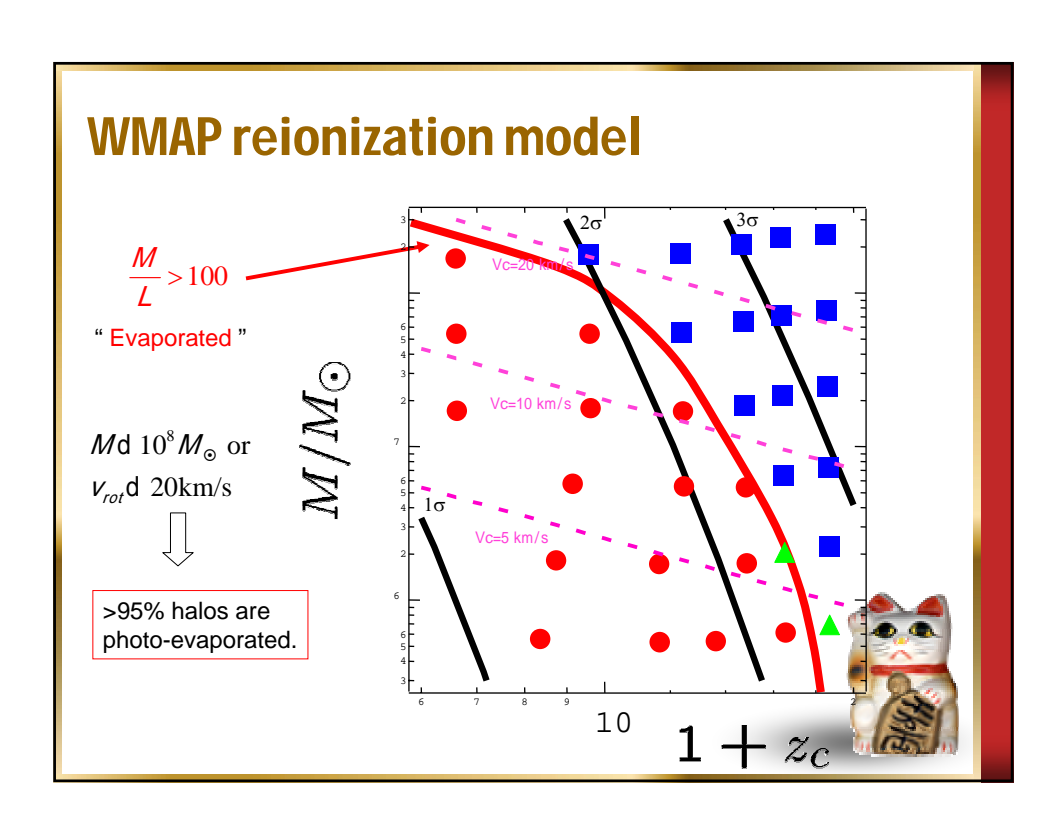
- 電離が起きると加熱もおきる ガスは1万度
- ◆ DMポテンシャルが浅ければ(Vc < 20km/s)、 電離ガスをハロー中に閉じ込められない。



星形成の原料となるガスは雲散霧消する







#### 仮説

- Down sizing シールディング
- ◆小質量銀河の下限値 光蒸発



#### 変化するUV field @ 0<z<5

QSO proximity effect

$$I_{\nu_L} = 10^{-21\pm0.5} \, \mathrm{ergs \ s^{-1} cm^{-2} str^{-1} \ Hz^{-1}} \quad (2 \le z \le 4)$$

Bajtlik, Duncan & Ostriker 1988; Giallongo et al. 1996
$$I_{\nu_L} = 10^{-23} - 10^{-22} \, \mathrm{ergs \ s^{-1} cm^{-2} str^{-1} \ Hz^{-1}} \quad (0.03 \le z \le 1)$$

Scott et al. 2002, Kulkarni & Fall 1996

Shape truncation of HI at the edge of spirals

$$I_{\nu_L} = 10^{-24} - 10^{-23} \, {\rm ergs \ s^{-1} cm^{-2} str^{-1} \ Hz^{-1}} \quad (z=0)$$
 Maloney 1993, Colberi & Salpeter 1993, Dove & Shull 1994

H emission from HI cloud

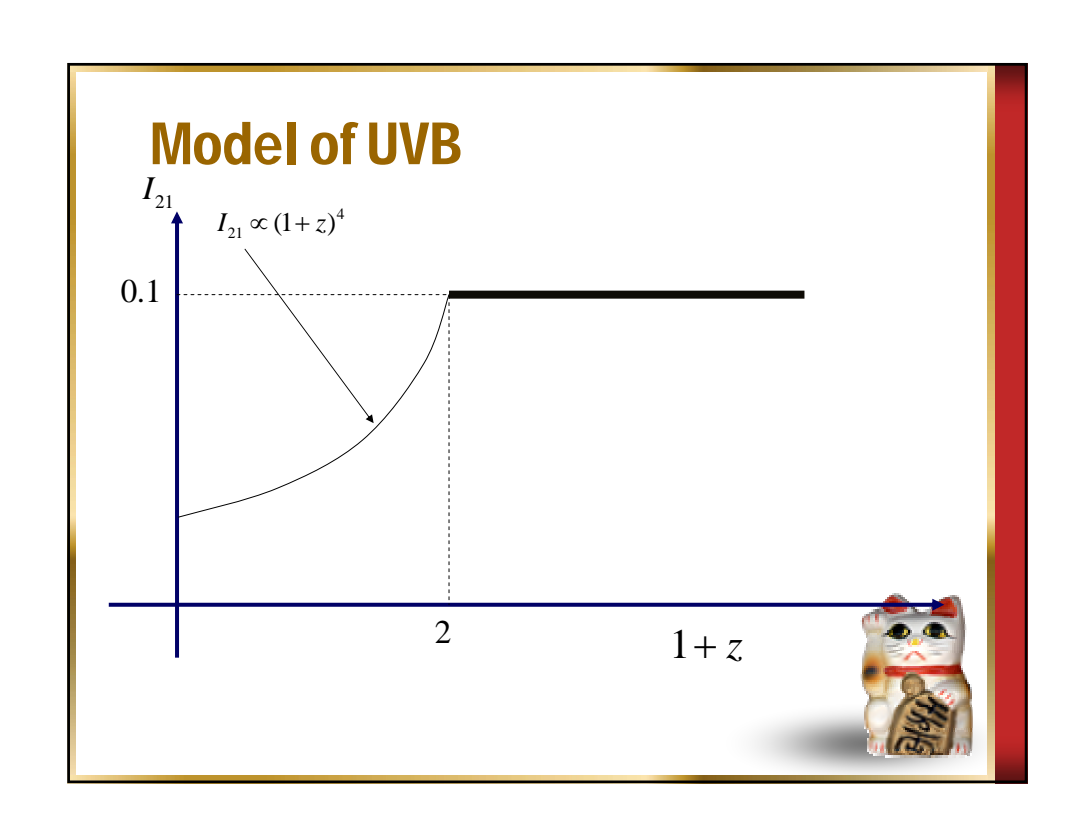
$$I_{\nu_L} < 3.8 \times 10^{-23} \, {\rm ergs \ s^{-1} cm^{-2} str^{-1} \ Hz^{-1}}$$
 ( $z = 0$ )  
e.g. Weymann et al 2001



#### 今回の研究 (Yoneya, Susa, Ohsuga 2006]

- ◆ Vc < 20 km/s程度でガスが蒸発してしまった ダークハローはそのままずっと"ダーク"なのか(UVBのへたり)?
- ◆ "光蒸発が近傍銀河のVcの下限値を与える" という仮説の検証





#### **Initial configuration**

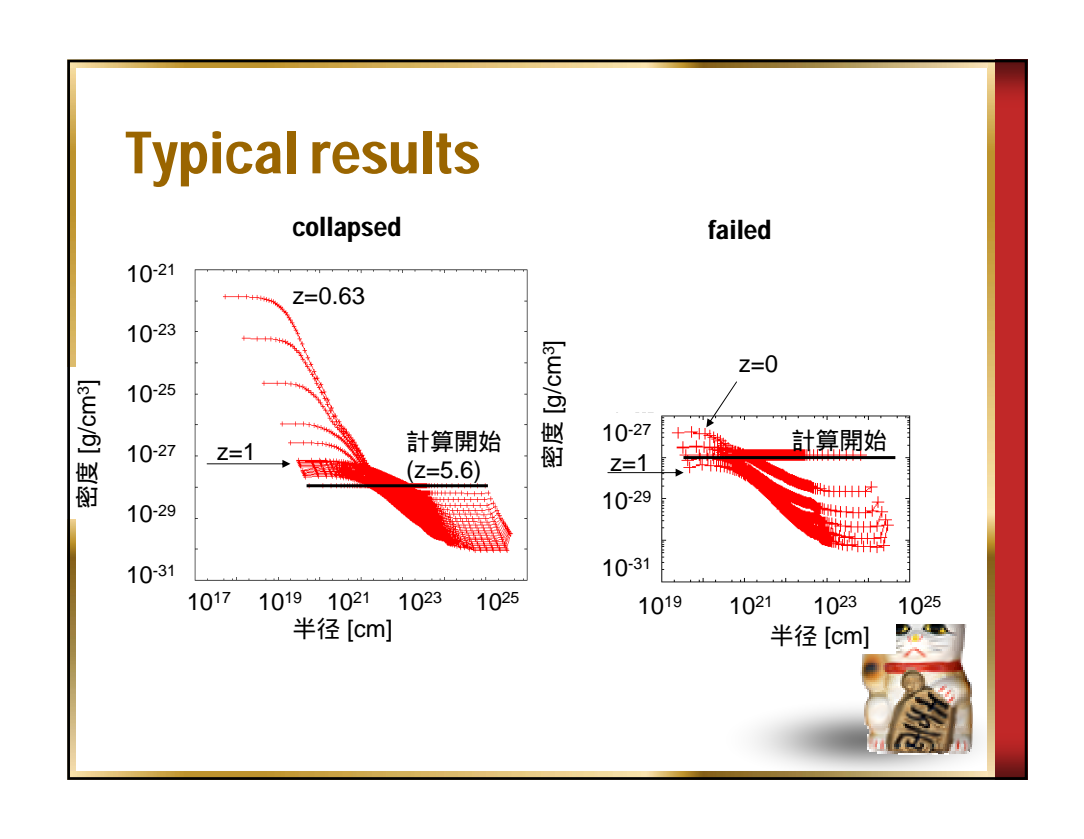
- 宇宙密度で宇宙膨張する一様なガス分布
  - ●むかし蒸発した
  - •宇宙膨張している
- Boundary condition
  - ◆計算領域よりもかなり遠くに取られた宇宙膨張する境界

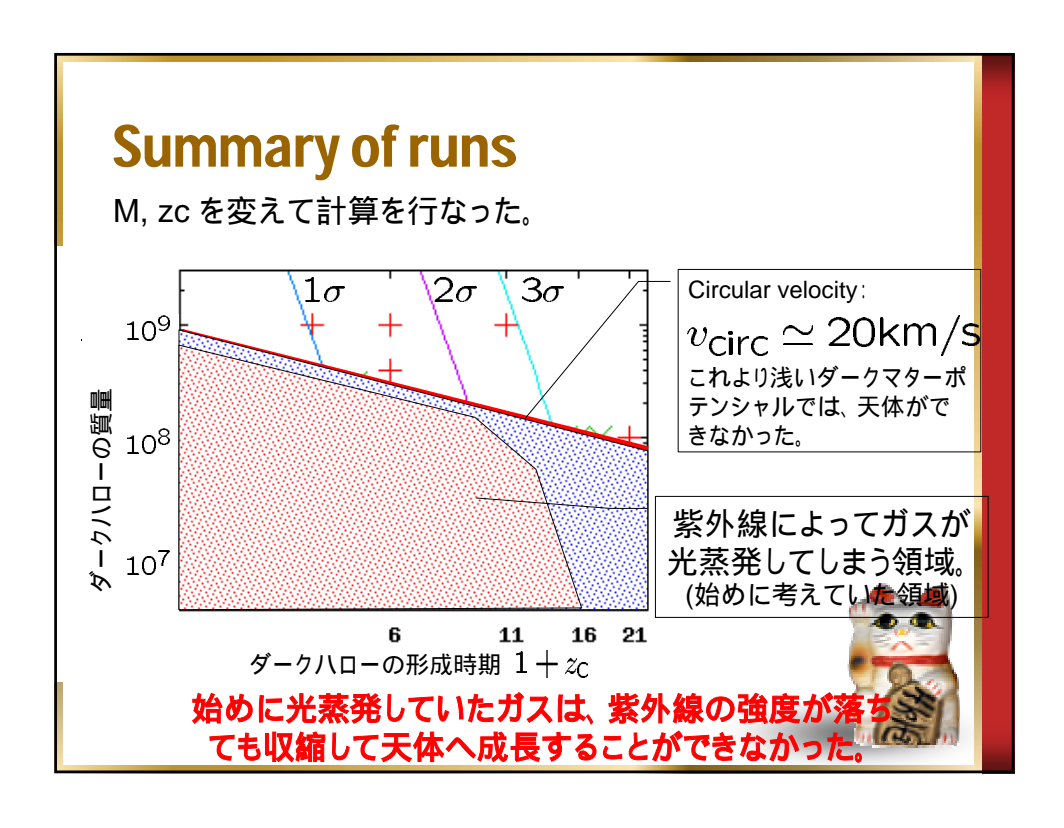


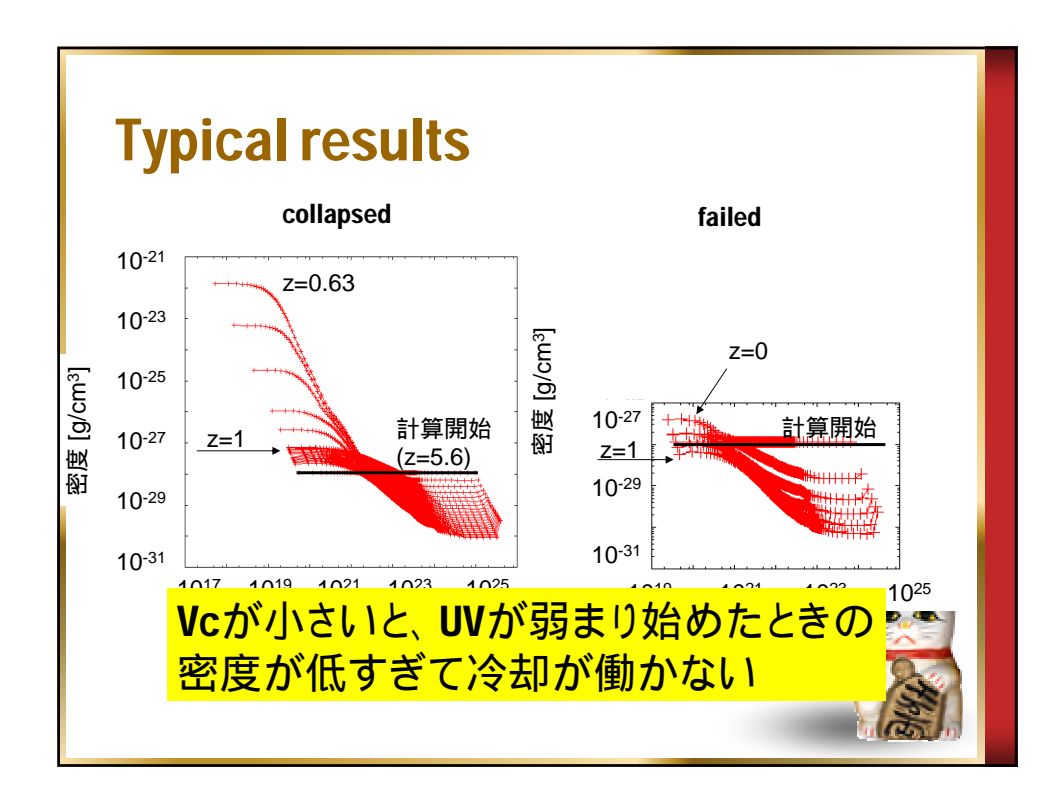
## **Physics included**

- ♥ 球対称流体
- NFW fixed potential (M, z<sub>c</sub>)
- Radiative Cooing by H, Metals (0.01 Zsun), H<sub>2</sub>
- Transfer of ioinizing photons
- Photoheating









#### **Summary & TO DO**

- 再電離は1)加熱による星形成の阻害と2)光蒸発の二段階で銀河形成にNegativeな効果を持つ。
- ◆ 後者についてz<1でUVBが弱まることによる効果を調べた。
- ◆ その結果、一度蒸発したハローには、背景放射の光子が弱まったとしても、再びガスが降着し、銀河に進化することはないことがわかった。
- したがって光蒸発がdwarf galaxyのVcの下限を決めているとして矛盾はない。
- High velocity cloud?
- ◆ もう少し大きいハローに関する計算 Down sizing?
  - ◆ 本質的に多次元の計算 FIRSTのターゲット



## 銀河団における矮小銀河問題

加瀬啓之、牧野淳一郎 (東京大学・天文学専攻) 船渡陽子 (東京大学・広域システム科学系)

銀河団における矮小銀河問題 - p. 1/19

#### 概要

銀河形成論の主要テーマの一つである「矮小銀河問題」と呼ばれる問題に対し、 その何が問題を明らかにするため、

- シミュレーションの信頼性を評価し、
- これまでの議論への影響を調べた。

#### その結果、

• 銀河団スケールでも同様の問題が存在し得る。 という結果を得た。

#### 目次

- ・ はじめに…矮小銀河問題
- 数值計算
- 結果
- ・まとめ

銀河団における矮小銀河問題 - p. 3/19

#### 宇宙の構造形成

宇宙の構造形成の標準理論 Cold Dark Matter シナリオ (White & Rees 1978)

- ダークマターハローのポテンシャルの底で銀河や銀河団が形成される。
- ダークマターハローは衝突合体で成長する。

宇宙論的N体計算によって、大規模構造は 観測を良く再現する結果が得られている。 (Davis et al. 1985)



個々のハローの内部構造に関する議論へ

#### サブハローの形成:銀河と銀河団

ーつのハローの粒子数を増やす *→ 多数の*細かい密度ピーク = サブハロー





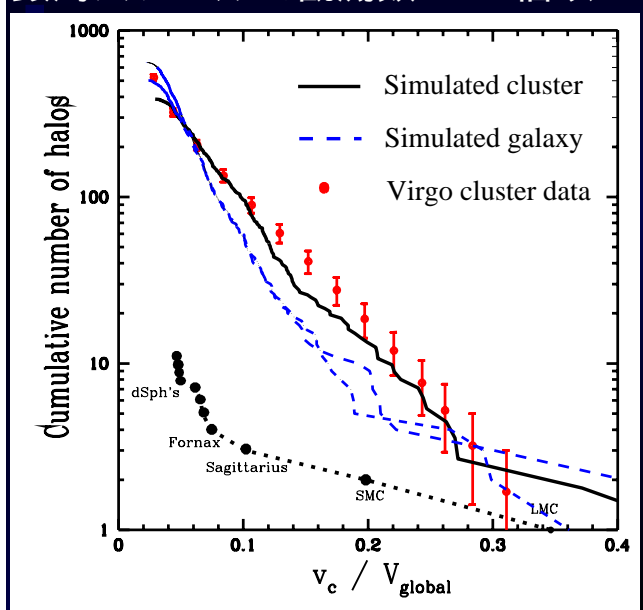
(Moore et al. 1999)

銀河団ハロー(左)と銀河ハロー(右)は相似的な構造サブハローは矮小銀河や銀河に対応?

見河団における矮小銀河問題 \_ p 5/19

#### 矮小銀河問題

構造形成シミュレーションから得られるサブハローの個数は 銀河スケールで観測数の 10 倍以上 (Moore et al. 1999)



横軸:回転速度

 $(V(r) = \sqrt{GM(< r)/r} \, \mathcal{O}$ 

最大値)

縦軸:累積個数

実線:銀河団

点線:銀河 のサブハロー

:銀河団の銀河

:銀河系の衛星銀河

銀河団における矮小銀河問題 – p. 6/19

#### 提案されている解決案

DMの小さいスケールの性質がわずかに異なる
→小さい構造ができない、又は壊れやすいモデル

• Self Interacting DM etc...

銀河として見えないサブハローがある → どのサブハローが見えているか

- 現在時刻で最も大きいいくつか 星は極中心部だけ存在 (Stoher et al.2001)
- 全質量領域の特定の一部 星形成が起こるに十分な質量 ⇒ 潮汐で小さく (Kravtsov et al.2004)

その他...

根河団における矮小銀河問題 - p. 7/19

#### 研究の目的及び手法

- 構成粒子数:数十体  $\Longrightarrow$  2 体緩和等で個数や  $V_c$  自体が変わる。  $\Longleftrightarrow$  個数分布自体が信頼できない。
  - $\downarrow \downarrow$
- 個数分布の信頼性を評価し、真の分布を得る。
   ⇒より粒子数の大きい計算を行い、
   低分解能の結果との比較から
   実際の分布を推定する。

#### 数值計算

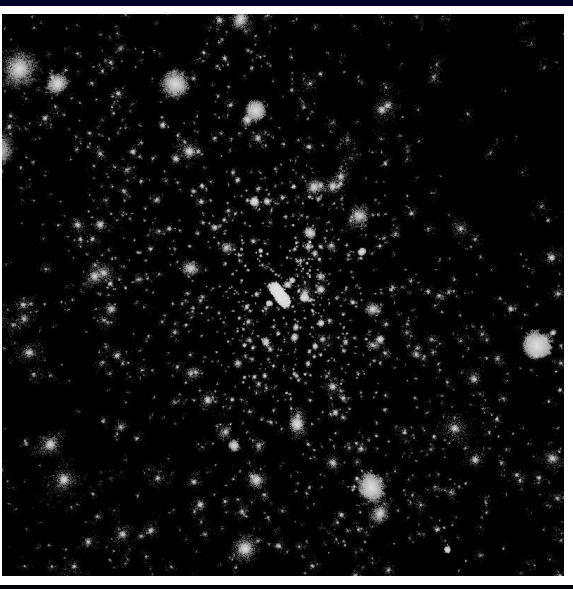
- 宇宙モデル...SCDM (Moore et al.1999 と同じ)
- re-simulation 法 (Navarro et al.1996)
  - 粗い計算 → 特定の領域を高分解能化
  - 初期条件はGRAFIC2(Bertschinger 2001) で生成
  - 銀河×1、銀河団×2、それぞれ3段階の分解能
- GRAPE6-A 搭載 PC(4 並列)、Barnes-Hut 型ツリー法
- 検出…階層化 Friends of Friends 法 (Klypin et al.1999)
  - ・ 粒子数 10 体以上を検出する
  - 重力的に束縛した系のみ(Pfitzer et al.1997)

銀河団における矮小銀河問題 – p. 9/19

#### 銀河ハローとサブハロー

半径  $330\mathrm{kpc}$ , 質量  $2.1 imes10^{12}\mathrm{M}_\odot$ , サブハロー 1346 個左:密度分布, 右:検出したサブハロー





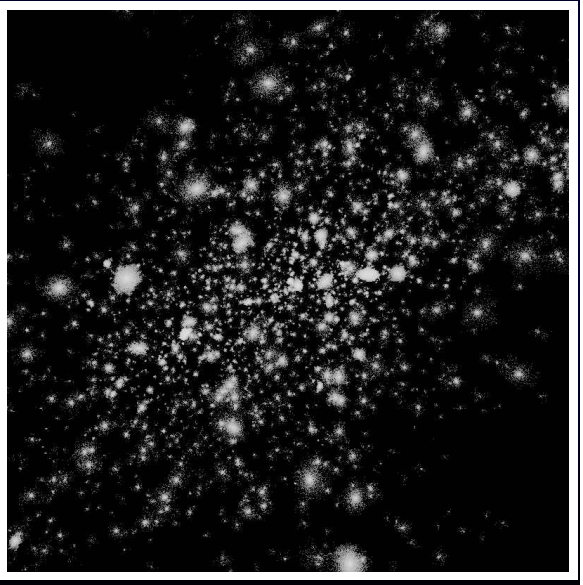
銀河団における矮小銀河問題 – p. 10/19

#### 銀河団ハロー1とサブハロー

半径 $3.0 \mathrm{Mpc}$ ,質量 $1.6 \times 10^{15} \mathrm{M}_{\odot}$ ,サブハロー2019個 右:検出したサブハロ-

左:密度分布,

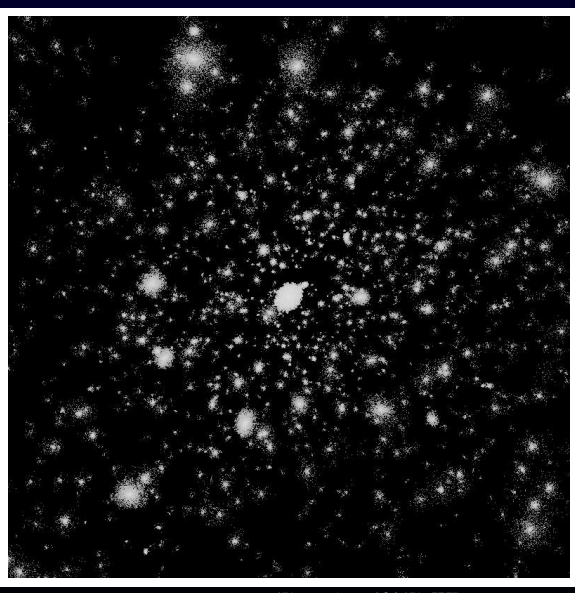




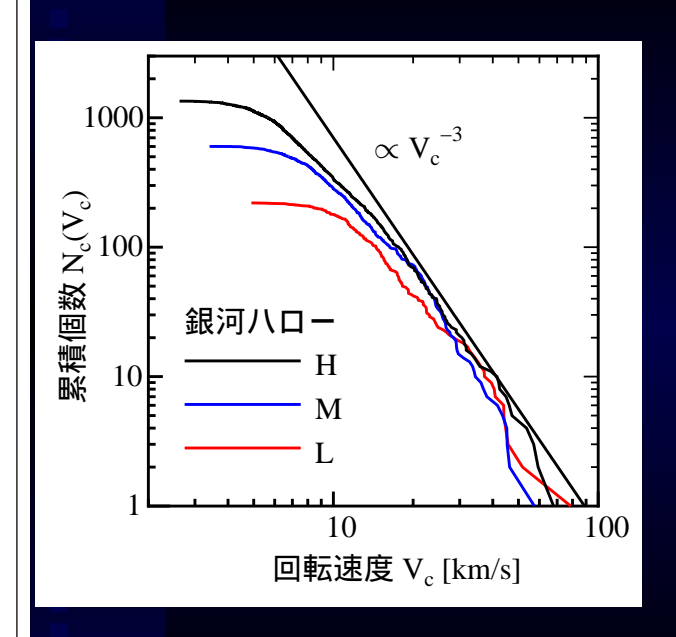
## 銀河団ハロー2とサブハロー

半径  $2.4 \mathrm{Mpc}$ , 質量  $8.2 \times 10^{14} \mathrm{M}_{\odot}$ , サブハロー 1010 個 右:検出したサブハロ-左:密度分布,





## 銀河八ロー: $V_c$ に対する累積個数

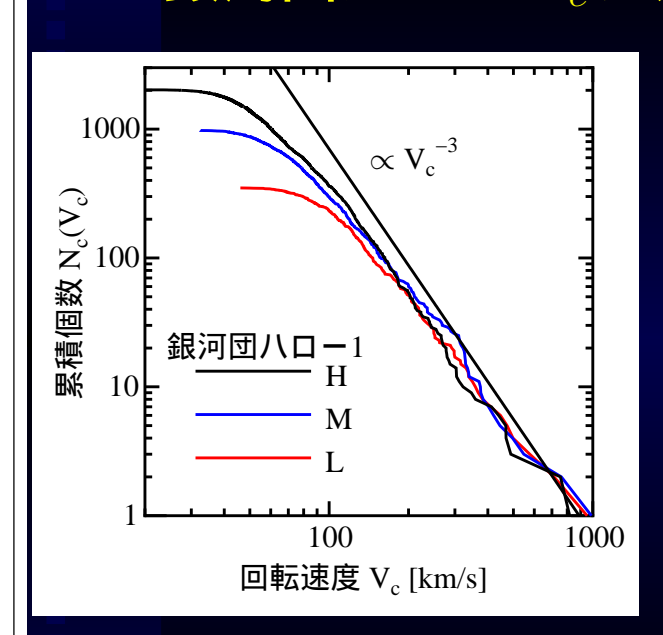


#### 

• 分解能の上昇  $\Rightarrow N_c \propto V_c^{-3}$  に漸近

| |河団における矮小銀河問題 \_ n 13/19

## 銀河団八ロー: $V_c$ に対する累積個数



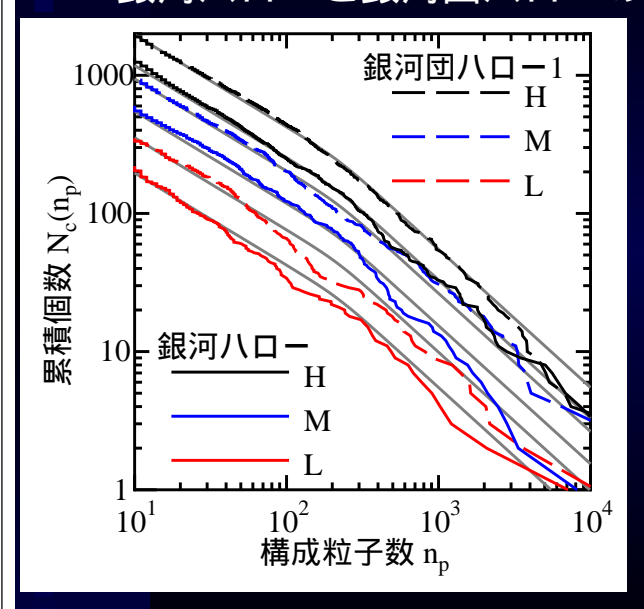
質量分解能

|   | $5.1 \times 10^8 \mathrm{M}_{\odot}$ |  |  |  |
|---|--------------------------------------|--|--|--|
| M | $1.2 \times 10^8 \mathrm{M}_{\odot}$ |  |  |  |
| L | $4.1 \times 10^9 \mathrm{M}_{\odot}$ |  |  |  |

・銀河ハローと同様の 傾向

## 構成粒子数 $n_p$ に対する累積個数

銀河ハローと銀河団ハローの結果をまとめてプロット



適当な関数でフィット

$$N_c(n_p) \propto \frac{1}{\left(\frac{n_p}{n_0}\right)^{\frac{2}{3}} \left(1 + \left(\frac{n_p}{n_0}\right)^{5}\right)^{\frac{1}{15}}}$$

- 粒子数に対する 依存性が同じ  $n_0 = 220$
- 物理スケールは 全て異なる

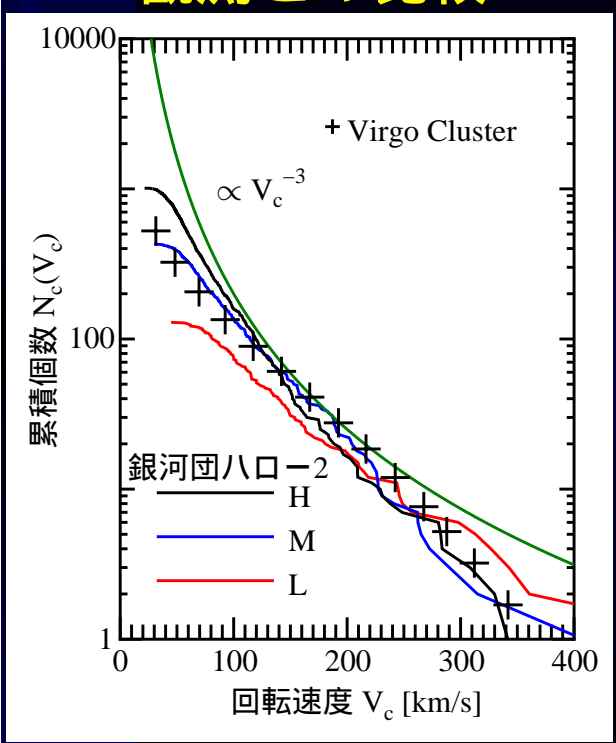
最河団における矮小銀河問題 − p. 15/1

#### 個数分布と分解能

- $V_c^{-3}$  に漸近 $\Leftrightarrow$ 小質量側でずれ
- ・ 粒子数に対する傾向が 異なるスケールと解像度で全て一致 ⇒→ 個数が減る理由は数値的

↓ これまでの議論は正しいか

#### 観測との比較



Moore et al. 1999 での おとめ座銀河団と比較

- 中解像度と良く合う
- 銀河団での「一致」は 偶然

銀河団における矮小銀河問題 – p. 17/19

#### まとめ

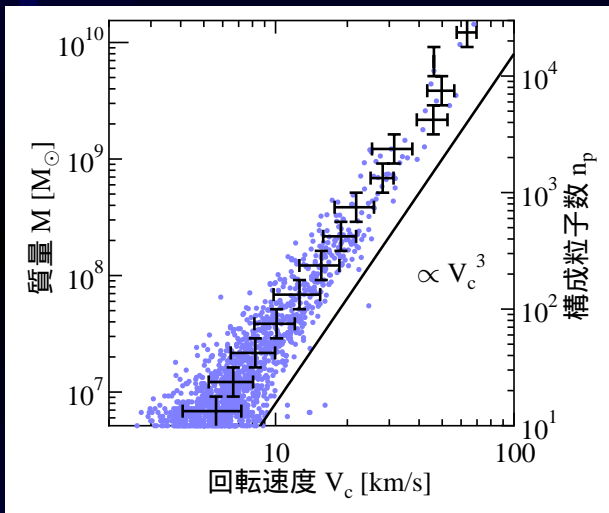
サブハローの個数分布への分解能の影響を見た。

- 粒子数 100 体未満のサブハローは 数値的な効果で減少
- M99での銀河団での一致は偶然
- 銀河団でも10<sup>11</sup>M<sub>☉</sub>辺りから観測より多い
- サブハローの質量は潮汐によって90%以上 減少することがある(Kravtsov et al. 2004他) ⇒ 銀河のできない銀河ハローの存在?

↓ 「矮小銀河問題」は より深刻な問題

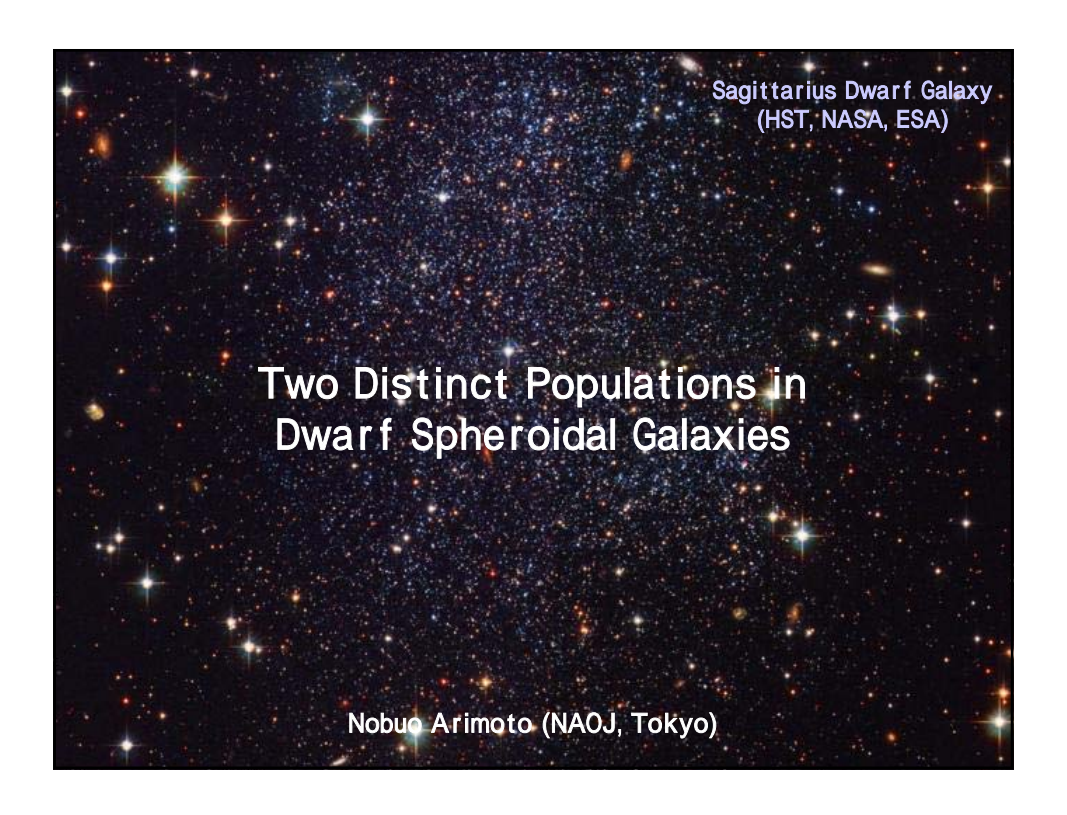
## 回転速度 $V_c$ に対する質量M

#### 銀河ハロー内のサブハロー



- ・およそ $M \propto V_c^3$
- ・分散が大きい
- 分散は物理的

銀河団における矮小銀河問題 – p. 19/19

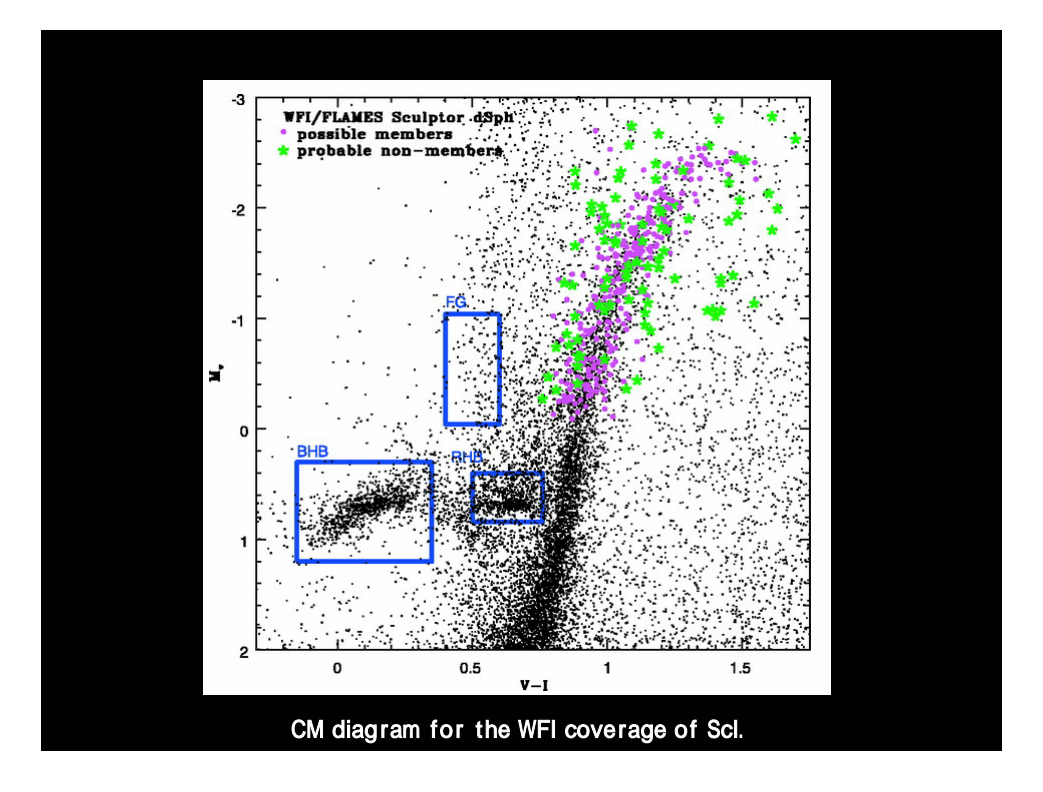


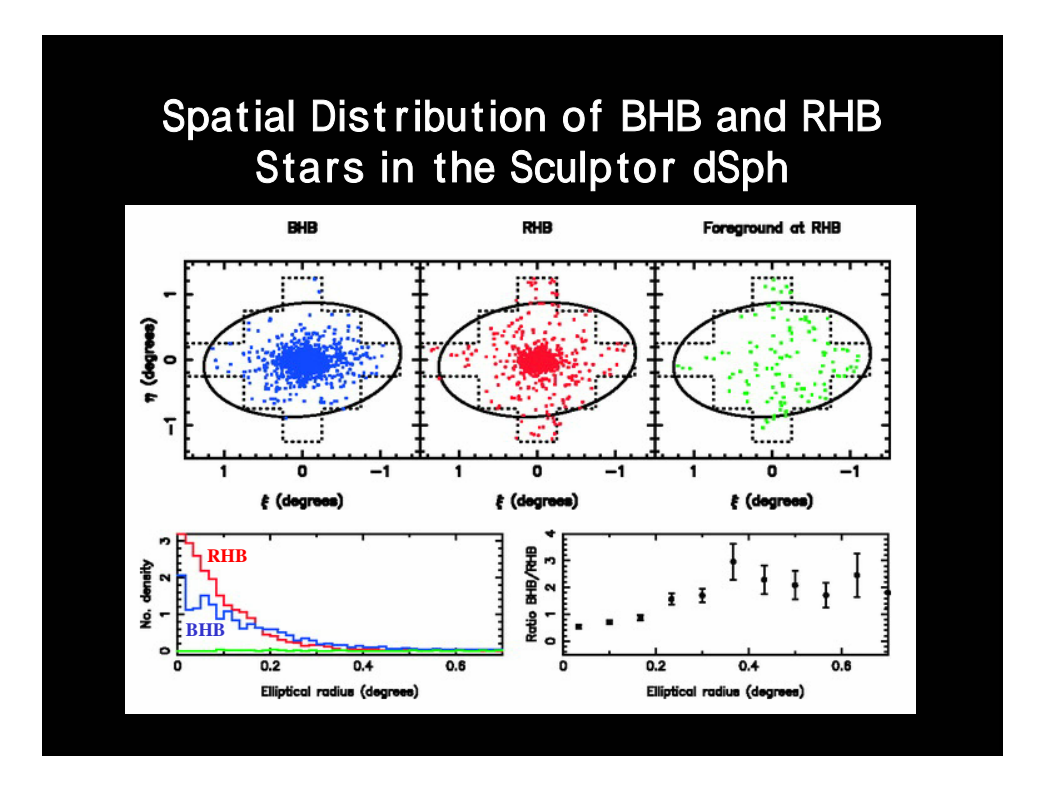
# Two Distinct Ancient Populations in the Sculpter Dwarf Spheroidal Galaxy

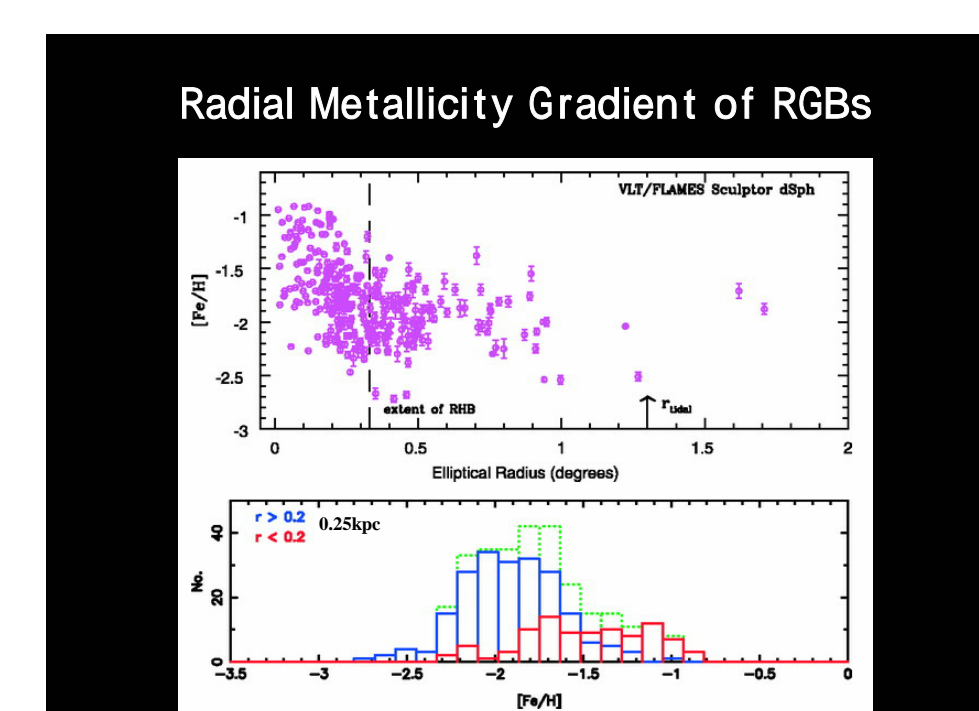
Tolstoy et al. (2004) ApJL 617, 119

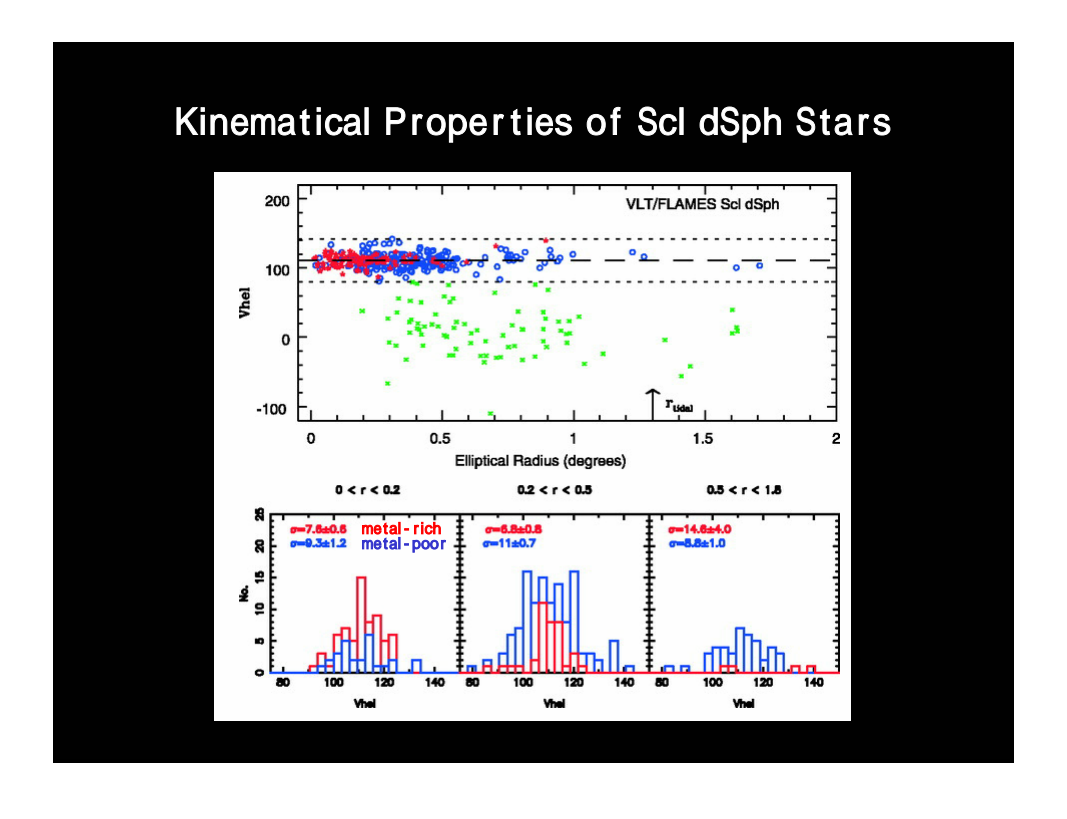
The First Result from DART
 (Dwarf Abundances and Radial velocity Team )

E.Tolstoy, M.J.Irwin, A.Helmi, G.Battaglia, P.Jablonka, V.Hill, K.A.Venn, M.D.Shetrone, B.Letarte, A.A.Cole, F.Primas, P.Francois, N.Arimoto, K.Sadakane, A.Kaufer, T.Szeifert, T.Abel









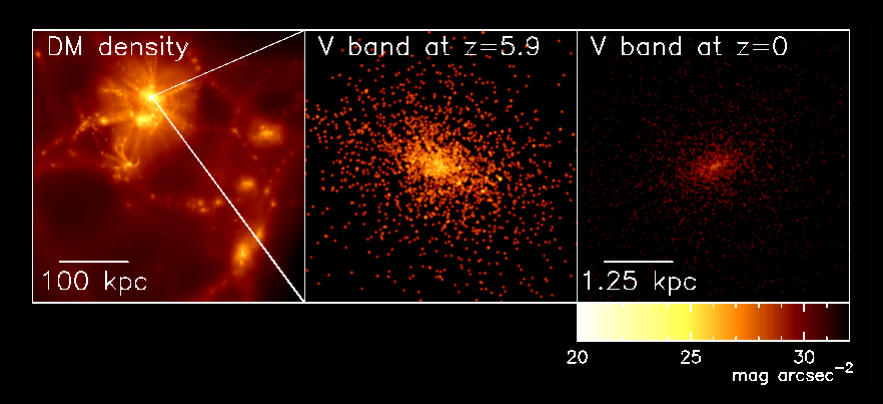
# Two Distinct Ancient Populations in the Sculptor Dwarf Spheroidal Galaxy

- The Sculptor dSph contains two distinct stellar components, one metal-rich, -0.9 > [Fe/H] > -1.7, and one metal-poor, -1.7 > [Fe/H] > -2.8.
- The metal-rich population is more centrally concentrated than the metal-poor one, and on average appears to have a lower velocity dispersion = 7 ± 1 km/s, whereas metal-poor stars have = 11 ± 1 km/s.

# What Mechanism Can Create Two Ancient stellar Compositions in a Small dSph Galaxy?

- The formation of these dSph galaxies began with an initial burst of star formation, resulting in a stellar population with a mean [Fe/H]<-2. Subsequent supernovae explosions would have been sufficient to cause gas and metal loss such that star formation was inhibited until the remaining gas could sink deeper into the center and begin star formation again (Mori et al. 2002).
- Another possible cause is external influences, such as minor mergers, or accretion of additional gas at later epoch.
- Events surrounding the epoch of re-ionization strongly influenced the evolution of these small galaxies and resulted in stripping of photo-evaporation of the outer layers of gas in the dSph galaxy, meaning that the subsequent more metalenhanced star formation occurred only in the central regions (Susa & Umemura 2004).

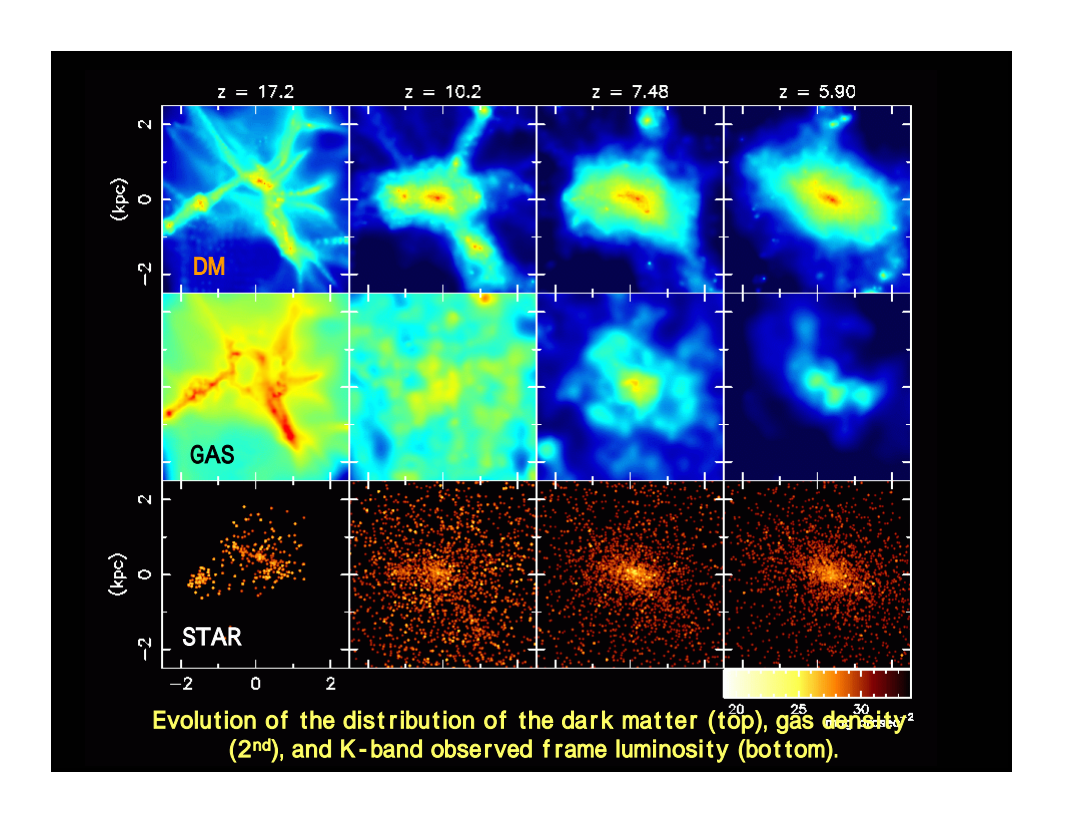
#### Origin of Two Distinct Populations in Dwarf Spheroidal Galaxies

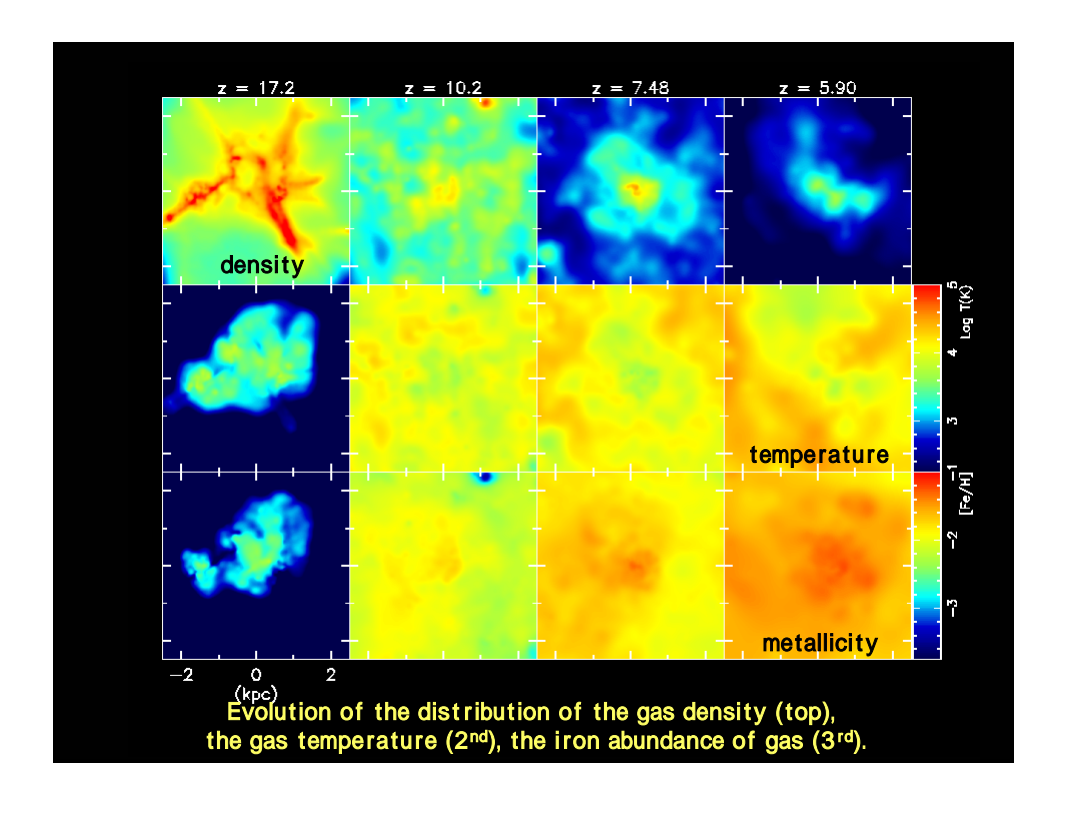


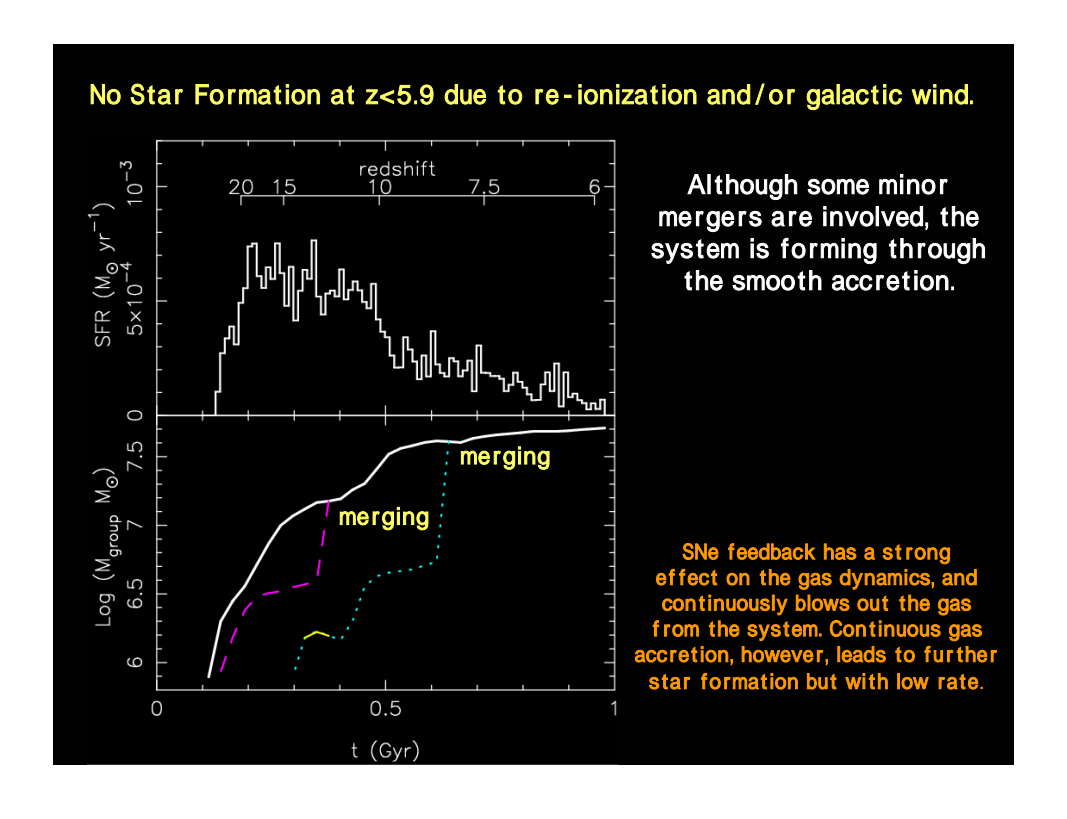
Hierarchical Growth (DM=287,491, gas=233,280) Kawata, Arimoto, Cen & Gibson (2006)

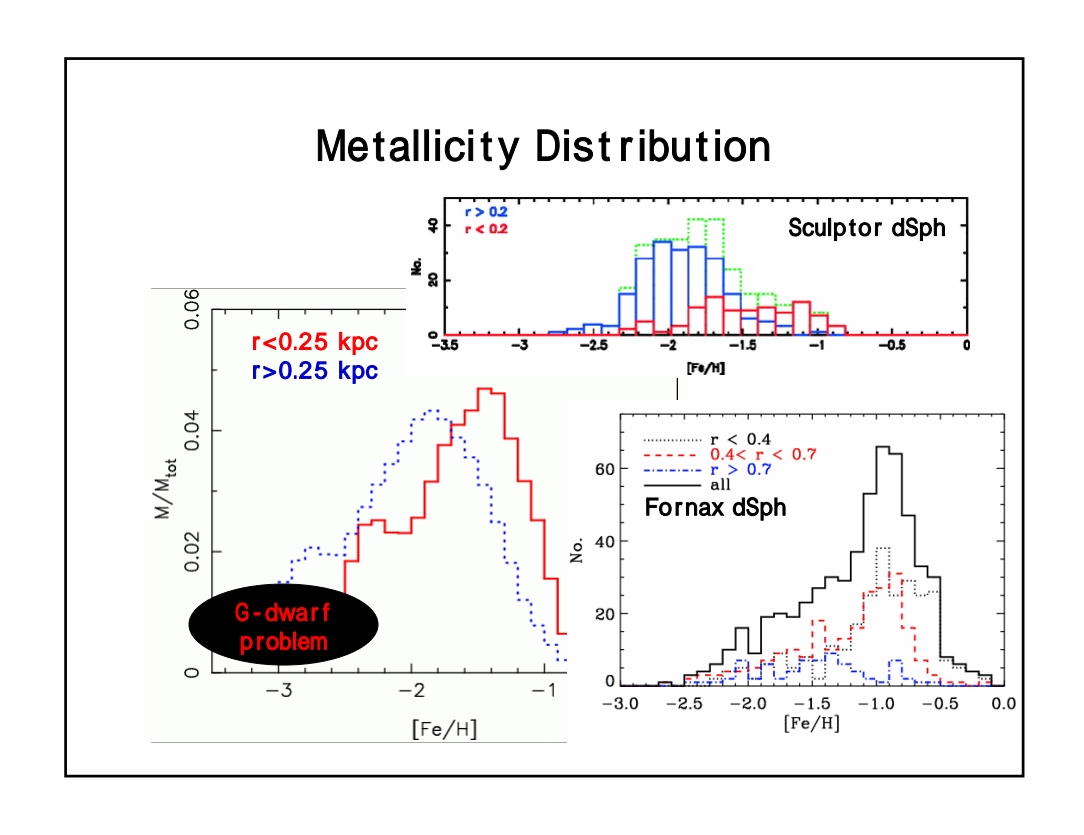
#### Galactic Chemodynamics Code (GCD+) Kawata & Gibson (2003) MNRAS 340, 908

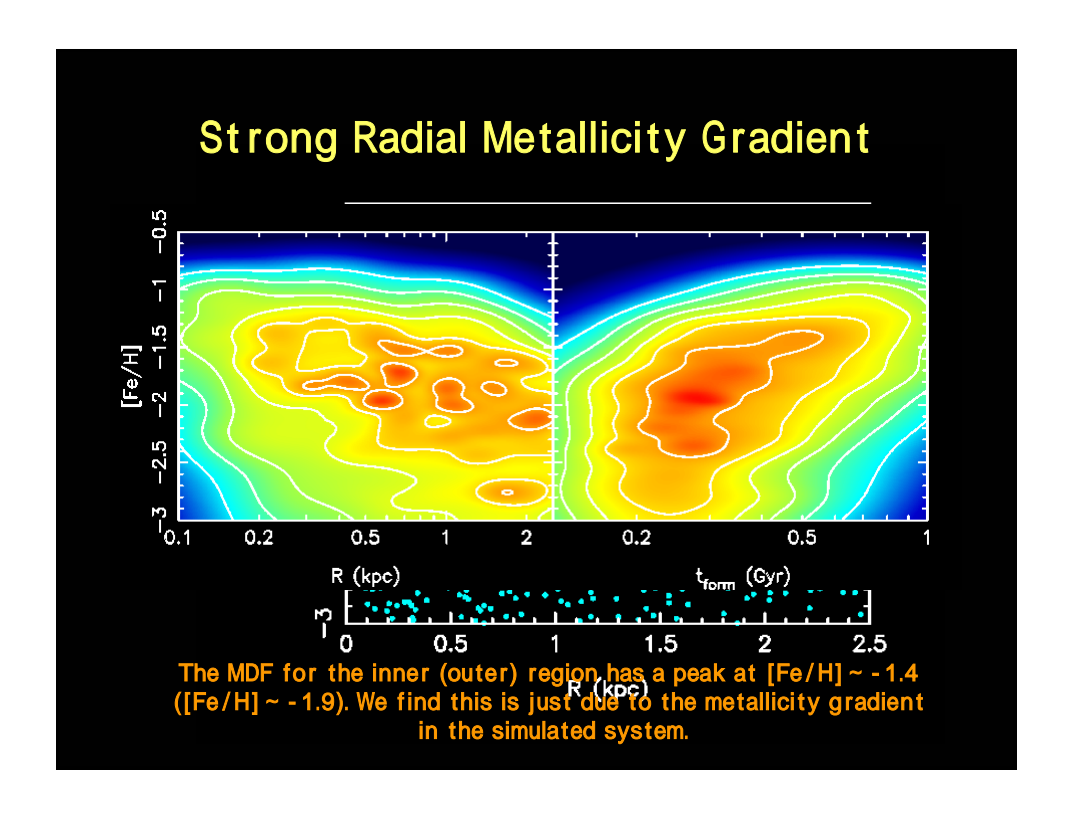
- Three dimensional tree N-body/smoothed particle hydrodynamics (SPH) code which incorporates
- · Self-gravity,
- · Hydrodynamics,
- Radiative cooling,
- · Star formation,
- Supernovae feedback,
- · Metal enrichment by SNell and SNe la,
- Mass-loss from intermediate mass stars,
- · Chemical enrichment history of gas and stars.

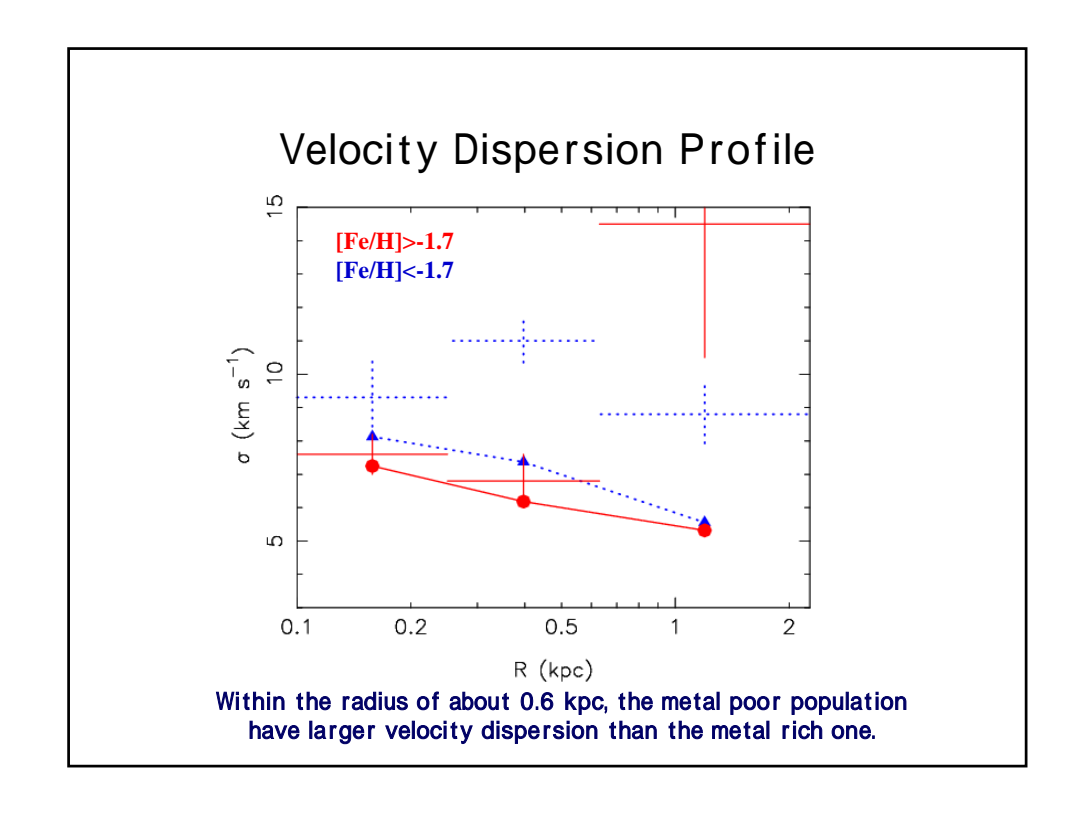










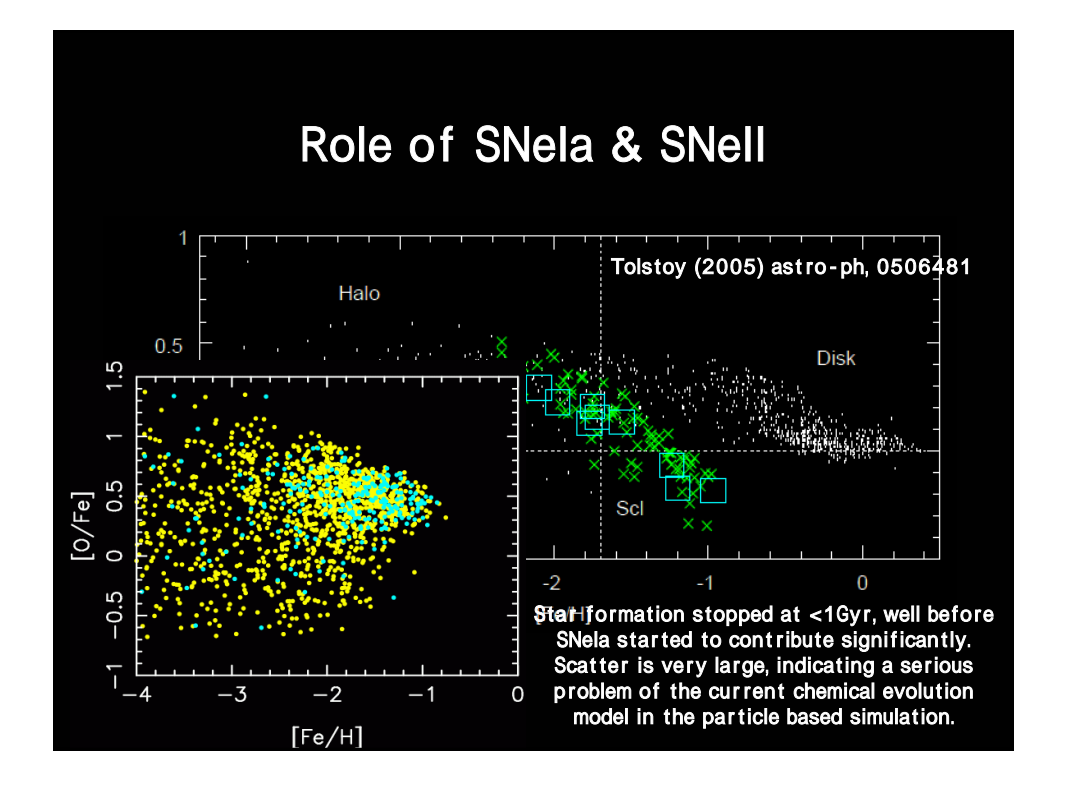


#### Caveats

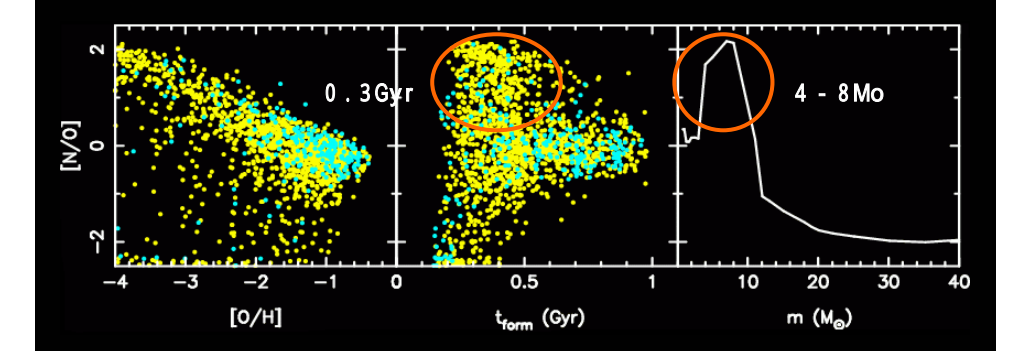
Our simulation demonstrates that a system formed at a high redshift can reproduce the two stellar populations whose chemical and dynamical properties are distinctive.

#### However.

- In the observational data, there are no stars at [Fe/H]<-2.8, while the simulated galaxy has a significant fraction of stars with such low metallicity (G-dwarf problem).
- The velocity dispersion of our simulated galaxy is too small compared with the observed values.
- The V-band magnitude of the simulated galaxy (Mv=-7.23) is also small compared with the Sculptor dSph (Mv=-10.7).



#### Role of Intermediate Mass Stars



The enriched gas is blown out at a high redshift around z=17, due to a strong feedback by SNell and relatively shallow potential of subgalactic clumps. As a result, the chemical enrichment by the massive stars becomes less important and the enrichment from intermediate mass stars (4-8Mo) becomes important.

#### Sculpter dSph Simulation

In the simulation dwarf spheroidals formed via hierarchical clustering, but stars formed from cold gas and stars at the galaxy center tend to form from metal-enriched infall gas, which builds up the metallicity gradient.

Infalling gas has larger rotational velocity and small velocity dispersion.

# The Origin and Dynamics of the Local Group of Galaxies

T. Sawa, C. Sato, H. Shirokane (Aichi University of Education) and

M. Fujimoto (Nagoya University)

M31, M32, NGC205

#### Introduction

- Since the discovery of the Magellanic Stream, the dynamics of the Magellanic System is extensively studied. Tidal models of the Galaxy-LMC-SMC system success to reproducing the geometrical and dynamical structure of the MS (Murai and Fujimoto 1980, Gardiner, Sawa and Fujimoto 1994), and orbits of the LMC and SMC are well determined.
- However, some problems are remain.

LMC & SMC

### **Remaining Problems**

- The origins of the LMC and SMC
  - Did they initially form as satellite galaxies of the Galaxy, or did they fall into the Galaxy from another region.
- Large orbital angular momenta of the Magellanic
   Clouds around the Galaxy

The tidal model in which the Magellanic Clouds formed in the neighborhood of the Galaxy cannot explain such large orbital angular momenta.

Some questions about must be answered through a more-global model for the LGG.

M33

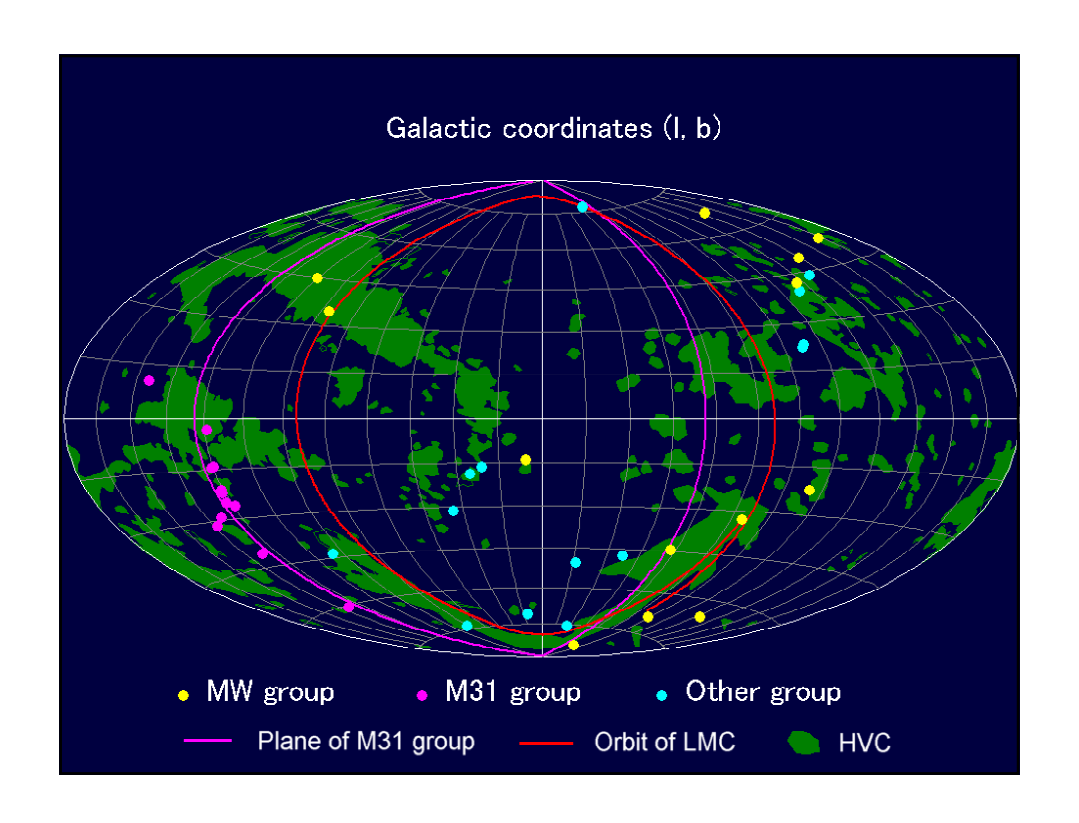
### **Sky Distribution of LGG**

- Many dwarf galaxies are distributed near the great circle perpendicular to the galactic plane.
- Magellanic Stream lies along this great circle.
- Members of M31 are distributed near this circle



A big dynamical event occurred in the neighborhood of the Galaxy about 10 Gyr ago

NGC3109



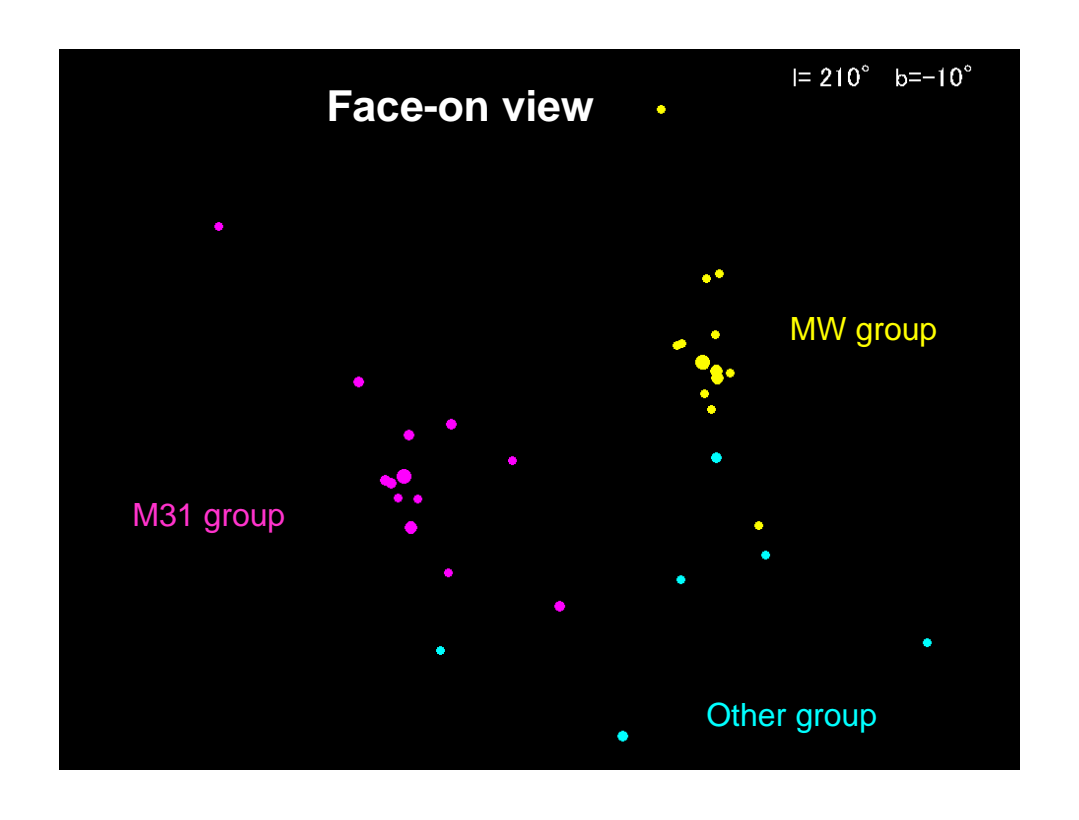
### 3-dimensional distribution of LGG

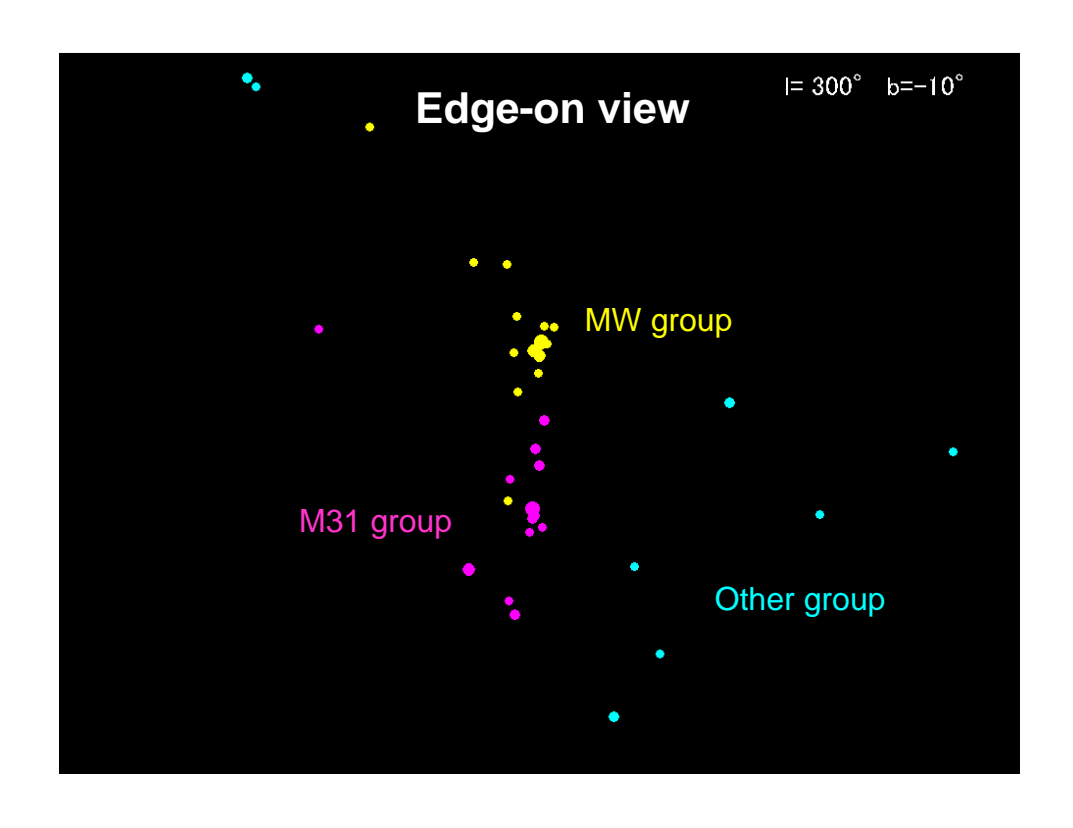
• Many LGG members are distributed in a coplanar way



An off-center hydrodynamical collision occurred some 10 Gyr ago between the primordial gas-rich M31 and the similar Galaxy, and compressed the halo gas to form the LGG dwarf galaxies.

NGC55





# Galaxy interaction and dwarf galaxies

• A many young dwarf galaxies are observed around the violently merging gas-rich galaxies (Deeg et al. 1998, A & Ap Suppl. 129, 445)

It suggests the possibility that dwarf galaxies of Local Group are formed by the off-collision between the Galaxy and M31

Colliding Galaxies NGC 4038 and NGC 4039

HST • WFPC2

PRC97-34a • ST Scl OPO • October 21, 1997 • B, Whitmore (ST Scl) and NASA

# Our Model (SF Model)

Sawa and Fujimoto 2005, PASJ, 57

Many dwarf galaxies of LGG is formed by the off-center collision of proto-M31 and proto-Galaxy in early universe, and scattered in the present position.

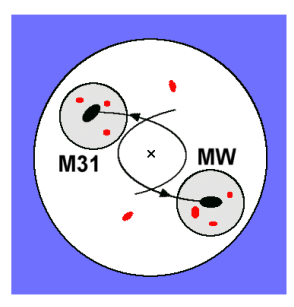
**SMC** 

### Scenario of our model



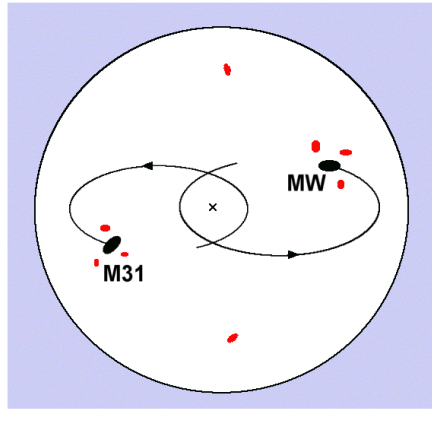
10 Gyr ago

Two massive proto-galaxies made a off-center collision.



5 Gyr ago

The newborn dwarf galaxies are scattered on the orbital plane of the Galaxy and M31.



Present time

M31 is again approaching us.

# Assumption

- M31 and the Galaxy have massive halo
- The radius of massive halo is 200 300 kpc
- The radius of the proto galaxy is 120 kpc
- The collision is occurred about 10 Gyr ago
- LMC and SMC were formed by the collision

· AAT 51

Anglo-Australian Observatory

Leo-I

# **Basic equation**

$$M_{A}r_{A} = - A \cdot G - F_{GA}$$

$$M_{\rm G} r_{\rm G} = - \frac{1}{\rm G} A - F_{\rm AG}$$

$$M_{\rm G} \dot{r}_{\rm G} = - \frac{1}{16} \frac{1}{$$

$$M_{\rm S}r_{\rm S} = _{\rm S}($$
  $_{\rm A} +$   $_{\rm G} +$   $_{\rm L}) - F_{\rm AS} - F_{\rm GS}$ 

$$M_{\rm D} r_{\rm D} = - {}_{\rm D} \left( {}_{\rm A} + {}_{\rm G} + {}_{\rm L} + {}_{\rm S} \right)$$

F Dynamical Friction

M mass of galaxy gravitation potential

NGC185 & 147

### The orbit of M3

The orbits of LMC and SMC are well determined by the presence of Magellanic Stream.

LMC and SMC were also formed by the collision of M31 and the Galaxy

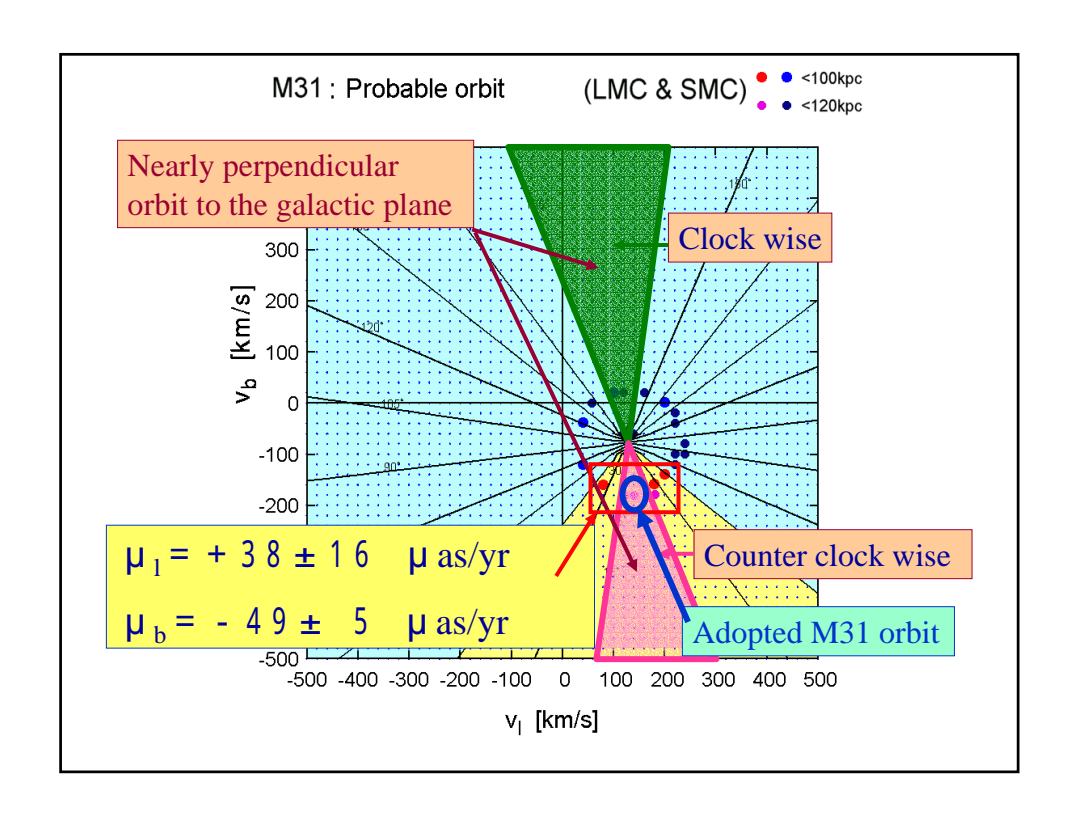
These conditions give the restriction fo orbits of M31.

# **Determination of the M31 orbit**

The orbits of LMC and SMC of that by Gardiner, Sawa & Fujimoto (1994) are used

Four bodies problem of M31-Galaxy-LMC-SMC are solved.

We search the M31 orbits such as the LMC and SMC are formed by the collision of M31 and the Galaxy.



# Relation between the collision time and radius of massive halo

Number of possible orbits of M31

| radius \ time | 9-10 Gyr 10 -11 | Gyr | 11-12 Gyr |
|---------------|-----------------|-----|-----------|
| 200-kpc       | 1               |     | 1.        |
| 230 kpc       | 1               |     | ,         |
| 250 kpc       | 4 2             |     | -         |
| 280 kpc       | . 4 3           |     |           |
| 300 kpc       | 5               |     |           |

 $V_{l}$ =20 km/s ,  $V_{b}$ =20 km/s

NGC6822

# Orbits of the Galaxy group

- Angle between the orbital planes of M31 and dwarf galaxy is less than 30 °
- Dwarf galaxy orbits the Galaxy counterclockwise seen from the present position of the sun
- Dwarf galaxy located the formation site about 10-12 Gyr ago

Sextans A

# Orbit of M31 group

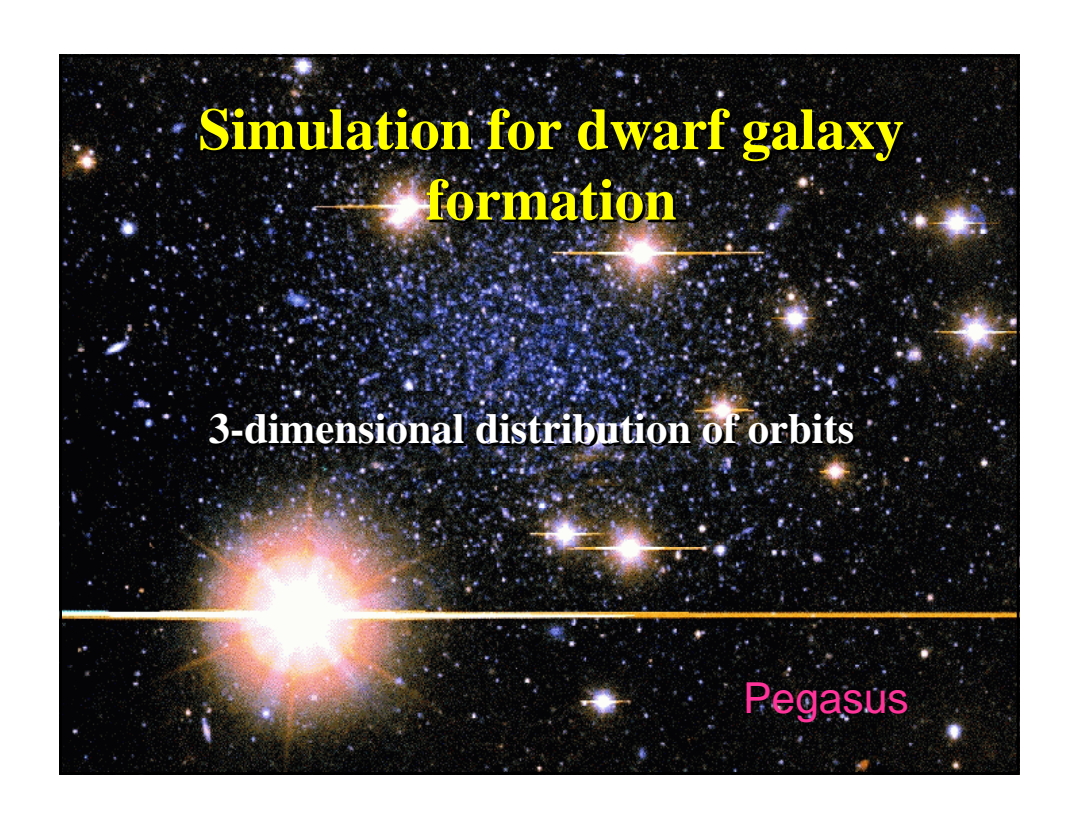
- Angle between the orbital planes of M31 and dwarf galaxy is less than 30°
- Orbital angular momentum of dwarf galaxy.
   has the same direction as that of M31
- Dwarf galaxy located the formation site about 10-12 Gyr ago

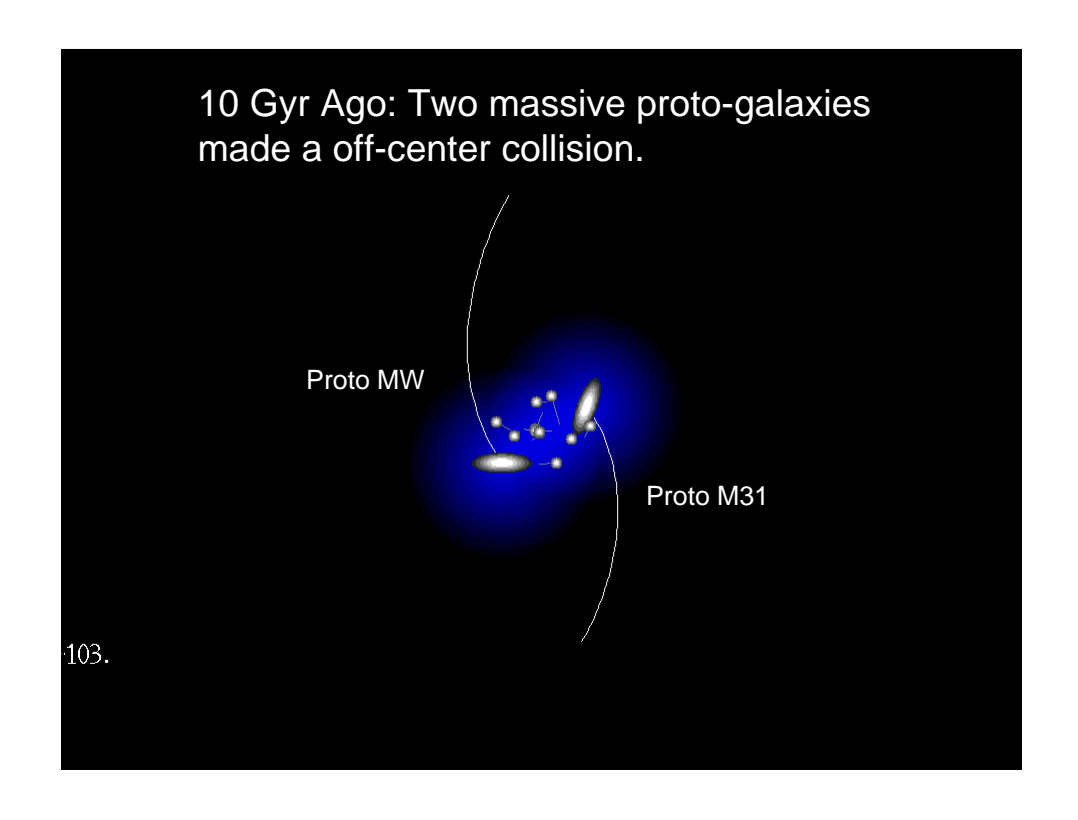
IC10

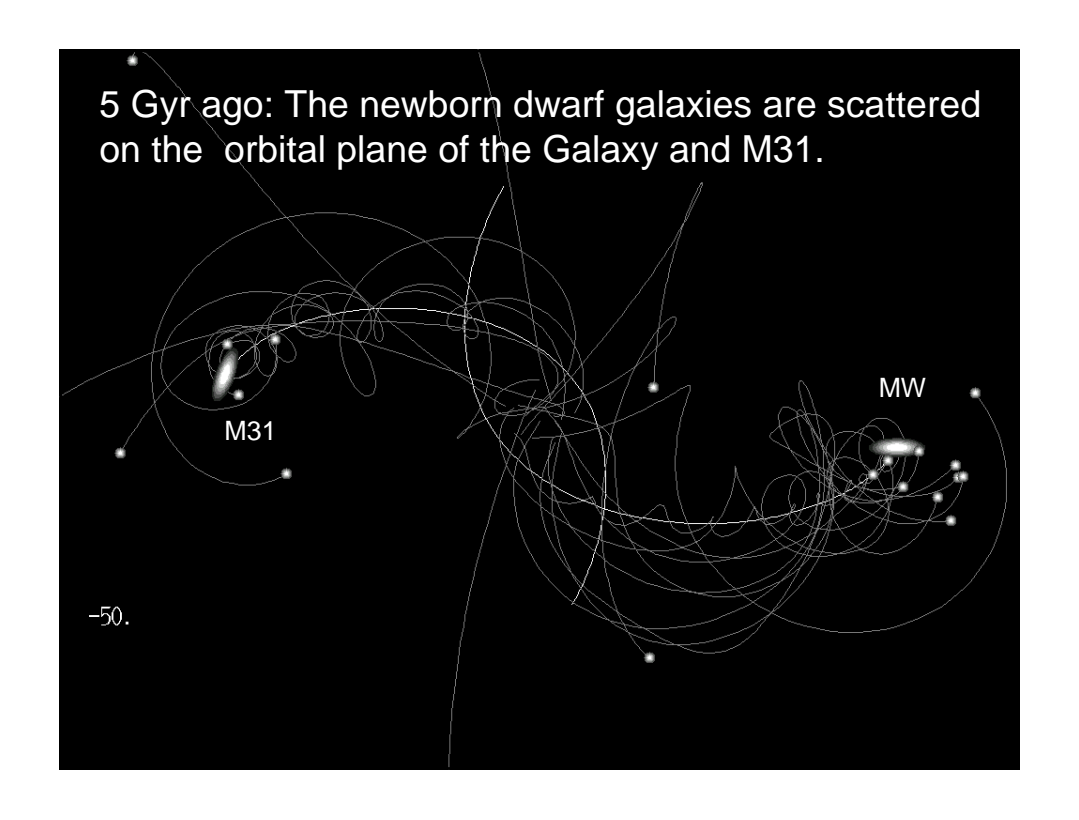
### A Sheet of score for model orbits

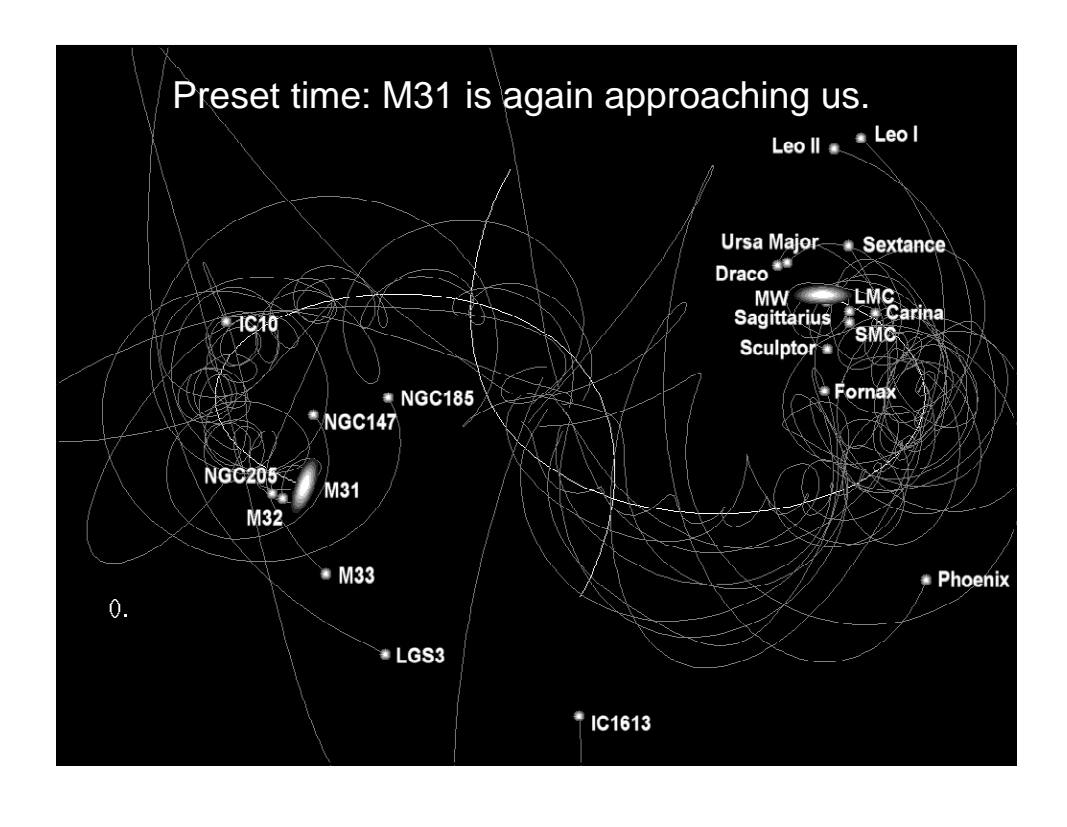
| WLM     | × | Sculptor   |      | Sextans B  | × | Sagittarius |   |
|---------|---|------------|------|------------|---|-------------|---|
| NGC55   | × | LGS3       | 4.   | NGC3109    | × | SagDIG      | × |
| IC10    |   | IC1613     |      | Antlia     | × | NGC6822     | × |
| NGC147  |   | And II     |      | Leo I      |   | DDO 210     | × |
| And III | - | M33        |      | Sextans A  | × | IC5152      | × |
| NGC185  |   | Phoenix    | 2000 | Sextans    |   | Tucana      |   |
| NGC205  |   | Fornax     |      | Leo II     |   | UKS2323-326 | × |
| M32     |   | EGB0427+63 | ×    | GR8        | × | Pegasus     |   |
| M31     |   | LMC        |      | Ursa Minor |   |             |   |
| And I   |   | Carina     |      | Draco      |   |             |   |
| SMC     |   | Leo A      | ×    | Milky Way  |   |             |   |

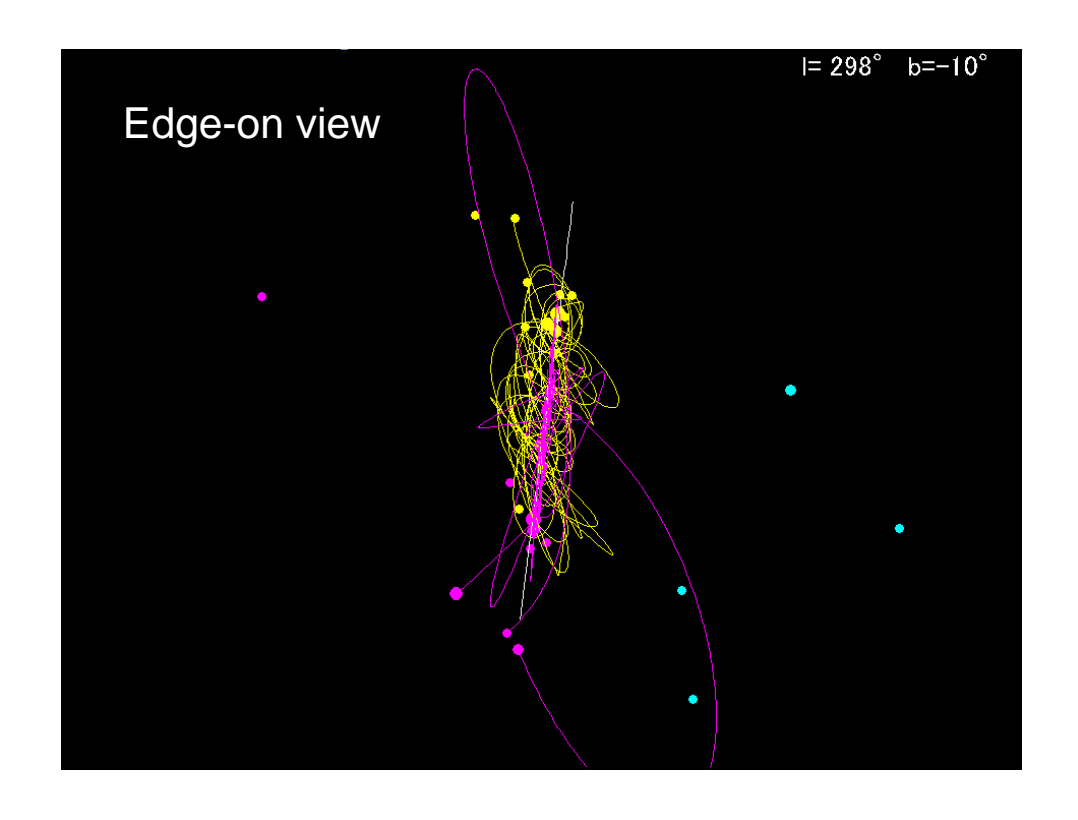
Possible orbits: 23/37 (62%) Our Galaxy

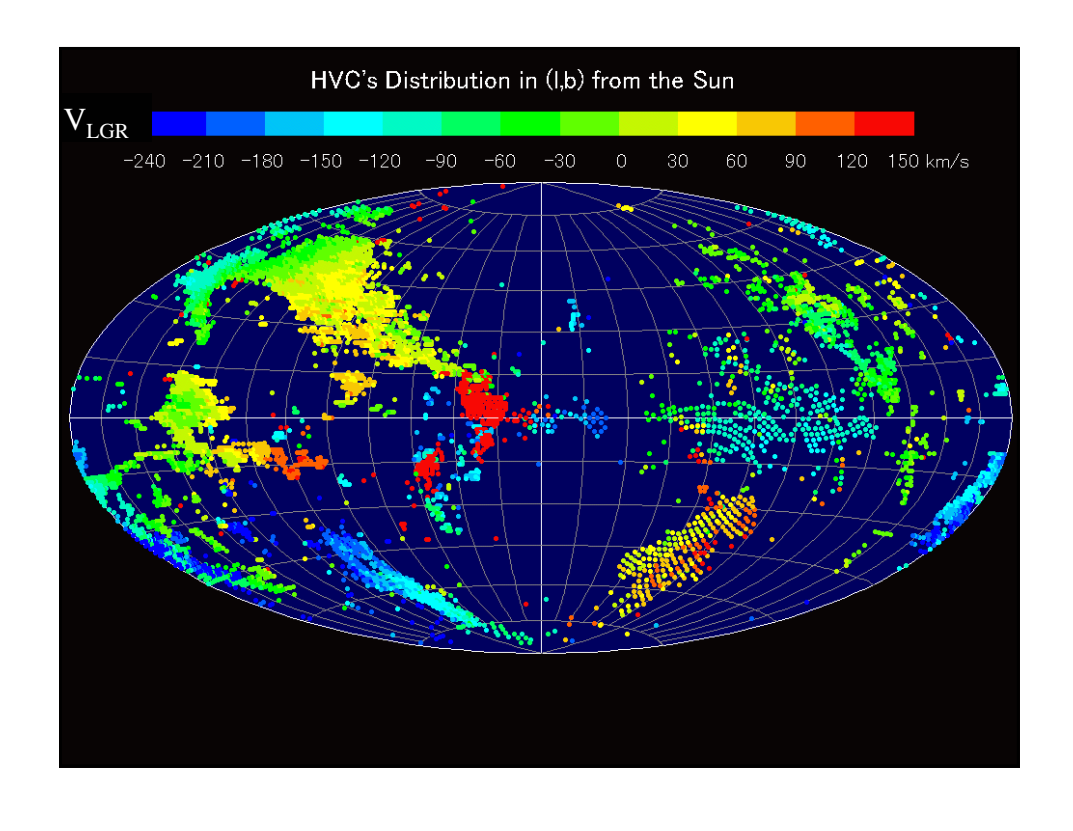








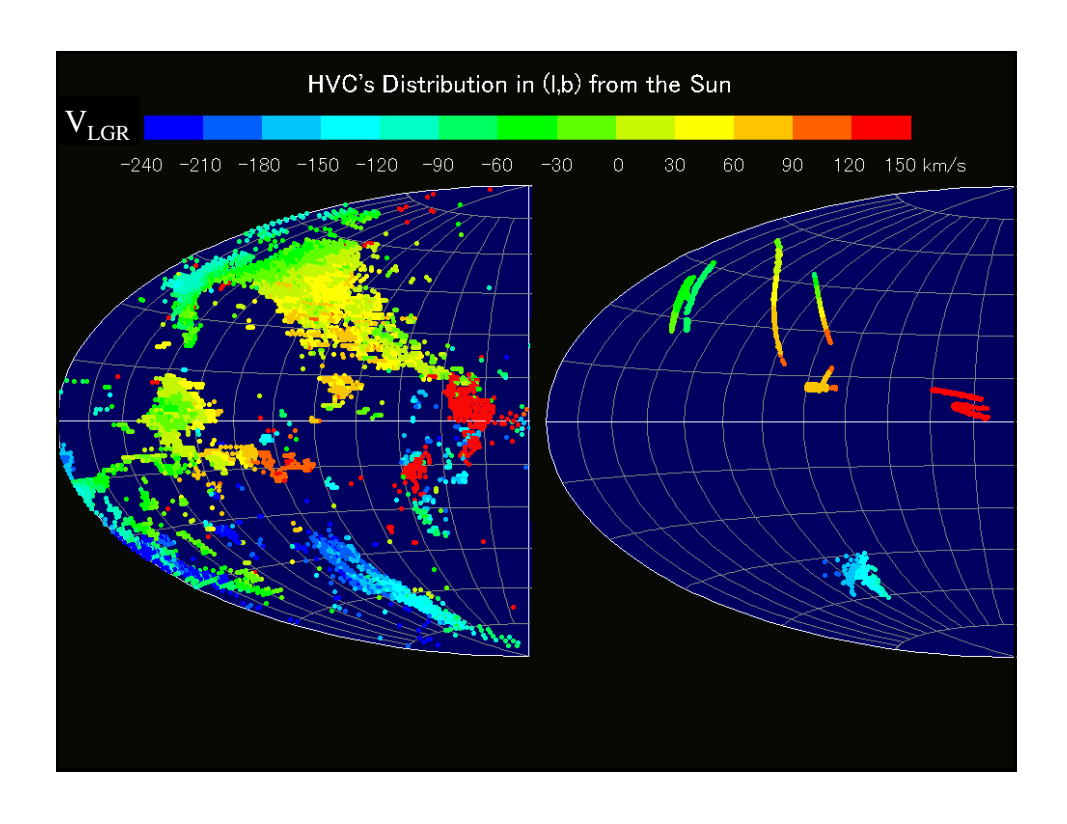




# A Model of the origin of HVCs

- Some HVCs are formed by collision of M31 and the Galaxy, too.
- We search the HVC orbits which satisfy the present position and radial velocity.

WLM



### **Summary**

- LGG members of the Galaxy group and M31 group distribute in a coplanar way
- It is possible to explain that these dwarf galaxies and some HVC were formed by the off-center collision between the Galaxy and M31 (SF model)
- The Galaxy and M31 need to have dark halo of 200 300 kpc radius, respectively
- We predict the proper motion of M31 as follows;

$$\mu_{l} = +3.8 \pm 1.6 \ \mu as/yr$$
 Phoenix

#### 銀河系研究会2006

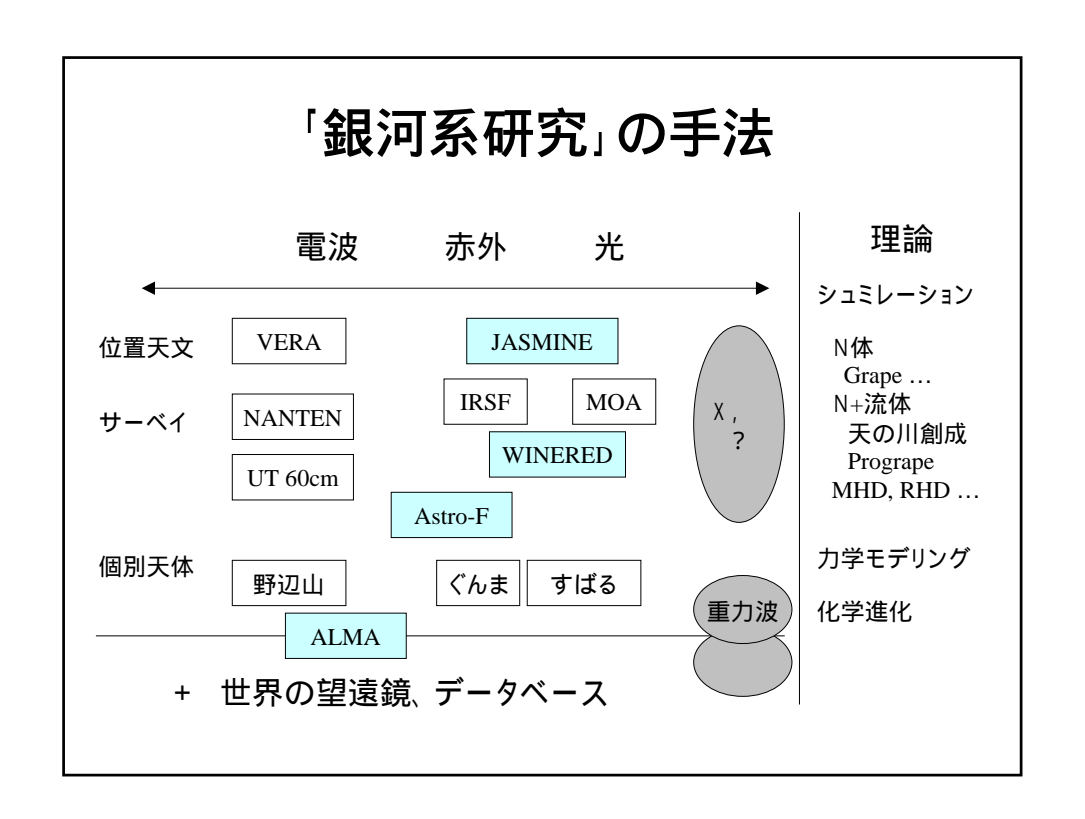
発表:口頭42件、ポスター18件 参加者:~70名

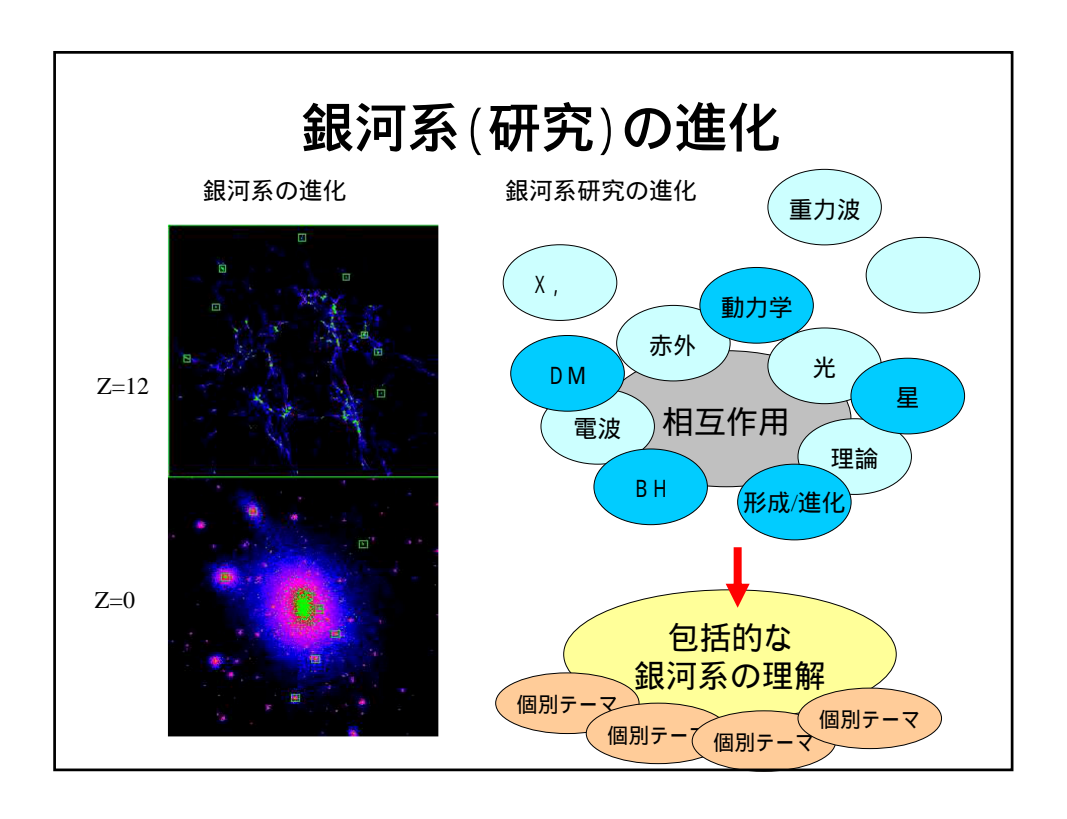
#### 研究テーマ

- 銀河系構造、ダイナミクス
- 銀河系形成、進化
- 星、惑星、形成
- ブラックホール
- ダークマター etc.

空間スケール: 1AU~1 Mpc (10^11), 時間スケール: 10 min~13 Gyr (10^14)

銀河系:天文学・天体物理学の一大実験室





### これから

「銀河系」はますます面白い!

さらなる相互作用と、「銀河系研究」の活性化を目指して

- 銀河系研究会 ~ 3年ごと定期的にできれば
- 学会の企画セッション 2007年をターゲット 「高精度観測時代の銀河系研究(仮)」